

ΑΛΚΙΝΟΥ Ε. ΜΑΖΗ

# ΦΥΣΙΚΗ

Β' ΛΥΚΕΙΟΥ

ΟΡΓΑΝΙΣΜΟΣ  
ΕΚΔΟΣΕΩΣ  
ΔΙΔΑΚΤΙΚΩΝ  
ΒΙΒΛΙΩΝ

ΑΘΗΝΑ  
1978





46062

ΑΛΚΙΝΟΟΥ Ε. ΜΑΖΗ

Φ Υ Σ Ι Κ Η

Φ Υ Σ Ι Κ Η

Β' ΛΥΚΕΙΟΥ

Μέ απόφαση τῆς Ἑλληνικῆς Κυβερνήσεως τὰ δι-  
δακτικά βιβλία τοῦ Δημοτικοῦ, Γυμνασίου καί Λυ-  
κείου τυπώνονται ἀπό τόν Ὄργανισμό Ἐκδόσεως  
Διδακτικῶν Βιβλίων καί μοιράζονται ΔΩΡΕΑΝ.

# ΦΥΣΙΚΗ

Με έγκριση της Ελληνικής Κυβερνήσεως τα δι-  
δακτικά βιβλία του Δημοτικού Γυμνασίου και Λυ-  
κείου τυπώνονται από τον Οργανισμό Έκδοσης  
Διδακτικών Βιβλίων και κυκλοφορούν ΔΩΡΕΑΝ.

## ΑΛΚΙΝΟΟΥ Ε. ΜΑΖΗ

## Ιδιότητες τών μαγνητῶν

## 1. Μαγνήτες. Μαγνητισμός

Από την αρχαιότητα ήταν γνωστό ότι ο φυσικός μαγνήτης ( $Fe_3O_4$ ) έχει την ιδιότητα να έλκει μικρά σωματίδια σιδήρου ή χάλυβα. Αιτή η ιδιότητα ονομάζεται μαγνητισμός και ο μαγνήτης ονομάζεται μαγνητισμός.

Αν με ένα φυσικό μαγνήτη τρίψουμε πολλές φορές και κατά την ίδια φορά μία ράβδο χάλυβα, παρατηρούμε ότι ο χάλυβας γίνεται μαγνήτης και λέγεται τεχνητός μαγνήτης. Σήμερα κατασκευάζουμε εύκολα τεχνητούς μαγνήτες με τη βοήθεια του ηλεκτρικού ρεύματος και δίνουμε οριστούς διάφορα σχήματα (σχ. 1). Τους τεχνητούς μαγνήτες τους κατασκευάζουμε από χάλυβα ή από ορισμένα κράματα.



Σχ. 1. Τεχνητοί μαγνήτες.

## 2. Πόλοι του μαγνήτη

Μέσα σε ρινίσματα σιδήρου βυθίζουμε ένα μαγνήτη. Όταν σηκώσουμε το μαγνήτη, βλέπουμε ότι τα ρινίσματα έχουν προσκολληθεί στις δύο άκρες του μαγνήτη, που ονομάζονται πόλοι του μαγνήτη.

Με νήμα κρεμάμε ένα μαγνήτη έτσι, ώστε να μπορεί να στρέφεται γύρω από κατακόρυφο άξονα (σχ. 2). Ο μαγνήτης ισορροπεί πάντοτε σε τέτοια θέση, ώστε ο ένας πόλος του να στρέφεται προς το Βορρά και ο άλλος πόλος του προς το Νότο. Γι' αυτό οι δύο πόλοι του μαγνήτη ονομάζονται αντίστοιχα βόρειος πόλος (N, North = Βορράς) και νότιος πόλος (S, South = Νότος).

ΟΡΓΑΝΙΣΜΟΣ ΕΚΔΟΣΕΩΣ ΔΙΔΑΚΤΙΚΩΝ ΒΙΒΛΙΩΝ

Αθήνα 1978



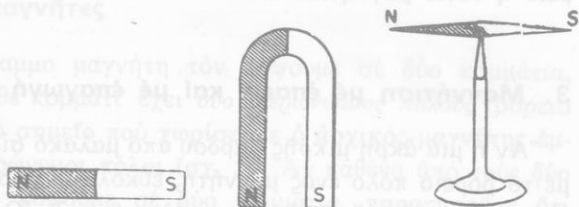
# Μαγνητισμός

## Ίδιότητες τῶν μαγνητῶν

### 1. Μαγνήτες. Μαγνητισμός

Ἀπό τήν ἀρχαιότητα ἦταν γνωστό ὅτι ὁ φυσικός μαγνήτης ( $\text{Fe}_3\text{O}_4$ ) ἔχει τήν ιδιότητα νά ἔλκει μικρά κομμάτια σιδήρου ἢ χάλυβα. Αὐτή ἡ ιδιότητα τοῦ φυσικοῦ μαγνήτη ὀνομάζεται **μαγνητισμός**.

Ἄν μέ ἕνα φυσικό μαγνήτη τρίψουμε πολλές φορές καί κατά τήν ἴδια φορά μιά ράβδο χάλυβα, παρα-



Σχ. 1. Τεχνητοί μαγνήτες.

τηροῦμε ὅτι ὁ χάλυβας γίνεται *μόνιμος μαγνήτης* καί λέγεται *τεχνητός μαγνήτης*. Σήμερα κατασκευάζουμε εύκολα τεχνητούς μαγνήτες μέ τή βοήθεια τοῦ ηλεκτρικοῦ ρεύματος καί δίνουμε σ' αὐτούς διάφορα σχήματα (σχ. 1). Τοῦς τεχνητούς μαγνήτες τοῦς κατασκευάζουμε ἀπό χάλυβα ἢ ἀπό ὀρισμένα κράματα.

### 2. Πόλοι τοῦ μαγνήτη

Μέσα σέ ρινίσματα σιδήρου βυθίζουμε ἕνα μαγνήτη. Ὄταν σηκώσουμε τό μαγνήτη, βλέπουμε ὅτι τά ρινίσματα ἔχουν προσκολληθεῖ στίς δύο ἄκρες τοῦ μαγνήτη, πού ὀνομάζονται *πόλοι* τοῦ μαγνήτη.

Μέ νῆμα κρεμάμε ἕνα μαγνήτη ἔτσι, ὥστε νά μπορεῖ νά στρέφεται γύρω ἀπό κατακόρυφο ἄξονα (σχ. 2). Ὁ μαγνήτης ἰσορροπεῖ πάντοτε σέ τέτοια θέση, ὥστε ὁ ἕνας πόλος του νά στρέφεται πρὸς τό Βορρά καί ὁ ἄλλος πόλος του πρὸς τό Νότο. Γι' αὐτό οἱ δύο πόλοι τοῦ μαγνήτη ὀνομάζονται ἀντίστοιχα *βόρειος πόλος* (N, North = Βορράς) καί *νότιος πόλος* (S, South = Νότος).

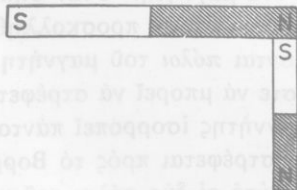
*Ἀμοιβαία ἐπίδραση τῶν πόλων.* Στόν ἕνα πόλο μιᾶς μαγνητικῆς

βελόνης, πού μπορεί νά στρέφεται ἐλεύθερα γύρω ἀπό κατακόρυφο ἄξονα, πλησιάζουμε διαδοχικά τούς δύο πόλους ἑνός μαγνήτη. Τότε εὐκόλα διαπιστώνουμε ὅτι μεταξύ δύο ὁμώνυμων πόλων ἀναπτύσσεται ἀμοιβαία ἀπωση, ἐνῶ μεταξύ δύο ἐτερόνυμων πόλων ἀναπτύσσεται ἀμοιβαία ἔλξη. Ἡ δύναμη πού ἀναπτύσσεται μεταξύ δύο μαγνητικῶν πόλων καθὼς καί ἄλλα μαγνητικά φαινόμενα ἐρμηνεύονται εὐκόλα, ἂν ὑποθέσουμε ὅτι σέ κάθε μαγνητικό πόλο ὑπάρχει ἕνα ἰδιαίτερο φυσικό μέγεθος, πού ὀνομάζεται **ποσότητα μαγνητισμοῦ** ( $m$ ) καί θεωρεῖται ὡς θετική ( $+m$ ) ἢ ἀρνητική ( $-m$ ), ἀντίστοιχα γιά ἕνα βόρειο ἢ νότιο μαγνητικό πόλο.

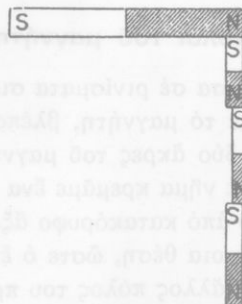
### 3. Μαγνήτιση μέ ἐπαφή καί μέ ἐπαγωγή

Ἄν ἡ μιά ἄκρη μικρῆς ράβδου ἀπό μαλακό σίδηρο ἔρθει *σέ ἐπαφή* μέ τό βόρειο πόλο ἑνός μαγνήτη, εὐκόλα διαπιστώνουμε ὅτι ἡ ἄλλη ἄκρη τῆς ράβδου ἔγινε βόρειος πόλος (σχ. 2). Ὁ τρόπος μέ τόν ὁποῖο ἔγινε μαγνήτης ἡ ράβδος τοῦ μαλακοῦ σιδήρου, ὀνομάζεται *μαγνήτιση μέ ἐπαφή*. Ἡ μαγνητισμένη ράβδος μπορεί νά μαγνητίσει μέ τόν ἴδιο τρόπο μιά δευτέρα μικρή ράβδο μαλακοῦ σιδήρου, αὐτή μιά ἄλλη καί ἔτσι σχηματίζεται μιά σειρά ἀπό μικρές μαγνητισμένες ράβδους (σχ. 3). Ἡ μαγνήτιση τοῦ μαλακοῦ σιδήρου εἶναι *προσωρινή* καί διαρκεῖ, ὅσο ὁ μαλακός σίδηρος βρίσκεται σέ ἐπαφή μέ τό μαγνήτη.

Ἡ μικρή ράβδος τοῦ μαλακοῦ σιδήρου μαγνητίζεται ἀκόμη καί ὅταν βρεθεῖ σέ μικρή ἀπόσταση ἀπό τό βόρειο πόλο



Σχ. 2. Μαγνήτιση μέ ἐπαφή.



Σχ. 3. Μαγνήτιση μέ ἐπαφή μιάς σειρᾶς ράβδων μαλακοῦ σιδήρου.

του μαγνήτη (σχ. 4). Αυτός ο τρόπος μαγνητίσεως του μαλακού σιδήρου ονομάζεται *μαγνήτιση με επαγωγή*. Και σ' αυτή την περίπτωση ή μαγνήτιση του μαλακού σιδήρου είναι *προσωρινή* και διαρκεί, όσο ο μαλακός σίδηρος βρίσκεται κοντά στο μαγνήτη.

Αν αντί για μαλακό σίδηρο χρησιμοποιήσουμε στά παραπάνω πειράματα μιά ράβδο από χάλυβα, παρατηρούμε ότι και ο χάλυβας μαγνητίζεται *με επαφή* και *με επαγωγή*, αλλά ή μαγνήτισή του είναι *μόνιμη*.

#### 4. Στοιχειώδεις μαγνήτες

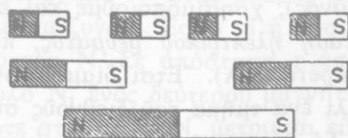
Αν έναν ευθύγραμμο μαγνήτη τον κόψουμε σε δύο κομμάτια, παρατηρούμε ότι κάθε κομμάτι έχει δύο *ετερώνυμους πόλους* (βόρειο και νότιο πόλο). Στο σημείο που χωρίστηκε ο αρχικός μαγνήτης εμφανίστηκαν δύο ετερώνυμοι πόλοι (σχ. 5). Αν καθένα από τους δύο νέους μαγνήτες τον κόψουμε σε δύο κομμάτια, παρατηρούμε ότι κάθε κομμάτι έχει πάλι δύο ετερώνυμους πόλους. Από τό πείραμα αυτό συμπεραίνουμε ότι είναι αδύνατο *νά απομονώσουμε* ένα μαγνητικό πόλο, γιατί οί δύο μαγνητικοί πόλοι, ο βόρειος και ο νότιος, εμφανίζονται πάντοτε στις δύο άκρες ενός μαγνήτη.

Αν μπορούσαμε *νά εξακολουθήσουμε* τό χωρίσμα ενός μαγνήτη ως τά ελάχιστα τμήματά του, δηλαδή ως τά μόρια ή τά άτομά του, τότε θά βλέπαμε ότι κάθε μόριο ή άτομο του μαγνήτη είναι ένας μικρότατος μαγνήτης, πού έχει δύο ετερώνυμους πόλους και ονομάζεται *στοιχειώδης ή μοριακός μαγνήτης*.

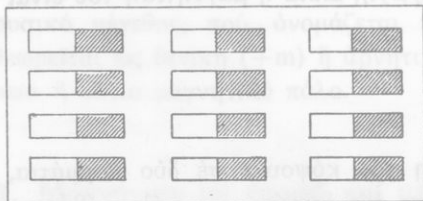
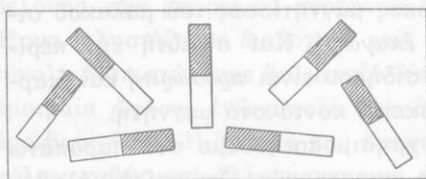
Μέσα σε μιά ράβδο από μαλακό σίδηρο ή χάλυβα πού *δέν είναι*



Σχ. 4. Μαγνήτιση με επαγωγή.



Σχ. 5. Αδύνατη ή απομόνωση ενός μαγνητικού πόλου.



Σχ. 6. Στοιχειώδεις μαγνήτες σε άμαγνήτιση και σε μαγνητισμένη ράβδο σιδήρου.

μαγνητισμένη, οι στοιχειώδεις μαγνήτες διατάσσονται άτακτα (σχ. 6). Όταν όμως αυτή ή ράβδος έρθει σε έπαφή με ένα μαγνητικό πόλο ή βρεθεί σε μικρή απόσταση από αυτόν, τότε οι στοιχειώδεις μαγνήτες διατάσσονται μέσα στή ράβδο έτσι, ώστε στις δύο άκρες της εμφανίζονται δύο έτερόνυμοι πόλοι. Μέσα στή ράβδο οι στοιχειώδεις μαγνήτες σχηματίζουν παράλληλα νήματα. Όταν απομακρυνθεί ό πόλος, πού προκάλεσε τή μαγνήτιση τής ράβδου, τότε στό μαλακό σί-

δηρο ή διάταξη τών στοιχειωδών μαγνητών άμέσως καταστρέφεται και ό μαλακός σίδηρος απομαγνητίζεται, δηλαδή ή μαγνήτισή του ήταν προσωρινή, ενώ αντίθετα στό χάλυβα ή διάταξη τών στοιχειωδών μαγνητών διατηρείται και ό χάλυβας εξακολουθεί νά είναι μαγνήτης, δηλαδή ή μαγνήτισή του είναι μόνιμη.

## 5. Συστήματα μονάδων στό Μαγνητισμό

Από τά έξι θεμελιώδη μεγέθη του διεθνούς συστήματος (SI) στή Μηχανική χρησιμοποιούμε μόνο τά τρία μηχανικά μεγέθη του (μήκος, μάζα, χρόνος) και έτσι διαμορφώνεται τό σύστημα MKS, πού αποτελεί ένα τμήμα του διεθνούς συστήματος. Στο Μαγνητισμό και τόν Ηλεκτρισμό, εκτός από τά τρία μηχανικά μεγέθη (μήκος, μάζα, χρόνος), χρησιμοποιούμε και ένα τέταρτο θεμελιώδες μέγεθος, τήν ένταση ηλεκτρικού ρεύματος, πού ως θεμελιώδη μονάδα έχει τό Ampère (1 A). Έτσι διαμορφώνεται τό σύστημα MKSA, πού είναι πάλι ένα τμήμα του διεθνούς συστήματος μονάδων (SI).

Τό σύστημα CGS έπεκτείνεται και στό Μαγνητισμό και σ' αυτή τήν περίπτωση αποτελεί τό ηλεκτρομαγνητικό σύστημα μονάδων (σύστημα HMM). Αλλά σήμερα γενικά χρησιμοποιούμε τό σύστη-



μα MKSA, γιατί οι μονάδες του είναι κατάλληλες για τις πάρα πολλές εφαρμογές στην τεχνική. Για να μην προκληθεί καμιά σύγχυση, θα ξεετάσουμε τα μαγνητικά φαινόμενα χρησιμοποιώντας το γενικά παραδεκτό σύστημα MKSA και έπειτα θα δούμε σε μία ιδιαίτερη παράγραφο (§ 15) πώς εφαρμόζουμε το ηλεκτρομαγνητικό σύστημα μονάδων (HMM) στα φαινόμενα του Μαγνητισμού.

## 6. Νόμος του Coulomb

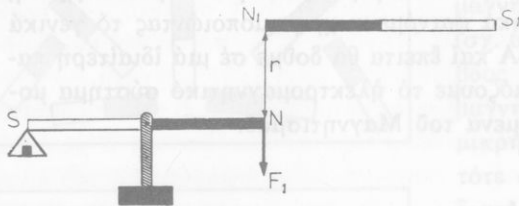
Δύο μαγνητικοί πόλοι, που τους θεωρούμε ως σημεία, βρίσκονται στο κενό (ή στον αέρα), έχουν ποσότητες μαγνητισμού  $m_1$  και  $m_2$  και η μεταξύ τους απόσταση είναι  $r$ . Πειραματικώς βρίσκουμε ότι για τη μαγνητική δύναμη  $F$  (έλξη ή άπωση) που αναπτύσσεται μεταξύ αυτών των δύο πόλων, ισχύει ο νόμος του Coulomb:

Η έλξη ή η άπωση ( $F$ ) που αναπτύσσεται μεταξύ δύο ποσοτήτων μαγνητισμού ( $m_1$  και  $m_2$ ) είναι ανάλογη με το γινόμενο των ποσοτήτων μαγνητισμού και αντίστροφως ανάλογη με το τετράγωνο της αποστάσεώς τους ( $r$ ).

$$\text{νόμος του Coulomb} \quad F = K_{\text{μαγν}} \cdot \frac{m_1 \cdot m_2}{r^2} \quad (1)$$

όπου  $K_{\text{μαγν}}$  είναι μία σταθερή, που εξαρτάται από τις μονάδες και από το μέσο που υπάρχει γύρω από τις δύο ποσότητες μαγνητισμού. Η μαγνητική δύναμη  $F$  είναι θετική (άπωση), αν οι δύο ποσότητες μαγνητισμού είναι ομώνυμες και αρνητική (έλξη), αν οι δύο ποσότητες μαγνητισμού είναι ετερόνυμες.

*Πειραματική απόδειξη.* Ο νόμος του Coulomb αποδεικνύεται πειραματικώς με τη διάταξη που δείχνει το σχήμα 7. Ένας μακρύς και λεπτός μαγνήτης NS αποτελεί τη φάλαγγα ζυγοῦ. Έστω  $m$  ή ποσότητα μαγνητισμού του βόρειου πόλου του N. Σε απόσταση  $r$  από τον πόλο N φέρνουμε άλλο βόρειο πόλο  $N_1$  ενός δεύτερου μαγνήτη  $N_1S_1$ . Η άπωση  $F_1$ , που εξασκεῖται τότε στον πόλο N, μετρίεται εύκολα με τα σταθμά που βάζουμε στο δίσκο του ζυγοῦ. Αν η απόσταση μεταξύ των δύο πόλων γίνει  $2r$ ,  $3r$ ,  $4r$ , η άπωση που εξασκεῖται στον



Σχ. 7. Σχηματική παράσταση της διατάξεως για την απόδειξη του νόμου του Coulomb.

$N_2S_2$  έχει ποσότητα μαγνητισμού  $m_2$ . Αν ο πόλος  $N_2$  από την ίδια απόσταση  $r$  εξασκεί στον πόλο  $N$  διπλάσια άπωση ( $2F_1$ ), τότε πρέπει να δεχτούμε ότι η ποσότητα μαγνητισμού  $m_2$  του πόλου  $N_2$  είναι διπλάσια από την ποσότητα μαγνητισμού  $m_1$  του πόλου  $N_1$ . Άρα οι ποσότητες μαγνητισμού  $m_1$  και  $m_2$  είναι ανάλογες με τις δυνάμεις  $F_1$  και  $F_2$ , τις οποίες εξασκούν αυτές οι δύο ποσότητες μαγνητισμού από την ίδια απόσταση  $r$  σε μία τρίτη ποσότητα μαγνητισμού  $m$ , δηλαδή έχουμε :

$$\frac{m_1}{m_2} = \frac{F_1}{F_2}$$

Ο πόλος  $N_1$  εξασκεί στον πόλο  $N$  μία άπωση  $F_1$ , που είναι ανάλογη με την ποσότητα μαγνητισμού  $m_1$  του πόλου  $N_1$ . Σύμφωνα με το αξίωμα της δράσεως και αντιδράσεως και ο πόλος  $N$  εξασκεί στον πόλο  $N_1$  αντίθετη άπωση  $F_1$ , που είναι ανάλογη με την ποσότητα μαγνητισμού  $m$  του πόλου  $N$ . Ωστε η άπωση  $F_1$  είναι ανάλογη και με την ποσότητα μαγνητισμού  $m$  και με την ποσότητα μαγνητισμού  $m_1$ , δηλαδή είναι ανάλογη με τό γινόμενο  $m \cdot m_1$  τῶν δύο ποσοτήτων μαγνητισμοῦ.

α. Ο νόμος του Coulomb στο σύστημα μονάδων MKSA. Όταν οι δύο μαγνητικοί πόλοι  $m_1$  και  $m_2$  βρίσκονται στο κενό (ή στον αέρα), τότε ορίστηκε (1960) ότι η μαγνητική σταθερή  $K_{\text{μαγν}}$  έχει την τιμή:

$$\text{μαγνητική σταθερή του Coulomb} \quad K_{\text{μαγν}} = 10^{-7} \frac{\text{N}}{\text{A}^2}$$

Μονάδα ποσότητας μαγνητισμού. Στο σύστημα MKSA μονάδα ποσότητας μαγνητισμού είναι τό:

$$1 \text{ Ampère} \cdot \text{mètre} \text{ (1 άμπέρ επί μέτρο) ή } 1 \text{ A} \cdot \text{m}$$

Ή αν στην εξίσωση (1) βάλουμε την τιμή της σταθερής  $K_{\text{μαγν}}$ ,  $m_1 = m_2 = 1 \text{ A} \cdot \text{m}$  και  $r = 1 \text{ m}$ , βρίσκουμε:

$$F = 10^{-7} \frac{\text{N}}{\text{A}^2} \cdot \frac{(1 \text{ A} \cdot \text{m})^2}{(1 \text{ m})^2} \quad \text{καί} \quad F = 10^{-7} \text{ N}$$

Έτσι έχουμε τον ακόλουθο όρισμό :

**Μονάδα ποσότητας μαγνητισμού (1 A · m)** είναι ή ποσότητα μαγνητισμού ή όποια, όταν βρίσκεται μέσα στό κενό σέ απόσταση ενός μέτρου (1 m) από ίση ποσότητα μαγνητισμού, έξασκεί σ' αυτή δύναμη (F) ίση μέ  $10^{-7}$  Newton.

Ήντε στό σύστημα MKSA ό νόμος του Coulomb για τό κενό (ή τον άέρα) δίνεται από την εξίσωση:

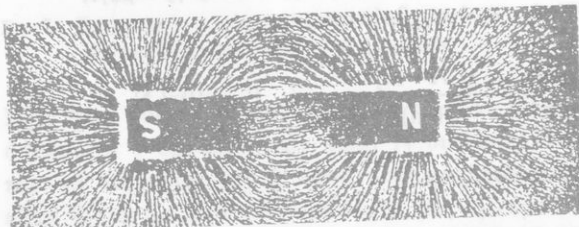
$$\text{νόμος του Coulomb} \quad F = 10^{-7} \cdot \frac{m_1 \cdot m_2}{r^2} \quad \left\{ \begin{array}{l} 10^{-7} \text{ σέ } \text{N/A}^2 \\ m_1, m_2 \text{ σέ } \text{A} \cdot \text{m} \\ r \text{ σέ } \text{m} \\ F \text{ σέ } \text{N} \end{array} \right. \quad (2)$$

β. Μαγνητικό δίπολο. Από τίς μετρήσεις βρήκαμε ότι οι δύο ετερόνυμοι πόλοι ενός μαγνήτη (δηλαδή ό βόρειος και ό νότιος) έχουν κατ' απόλυτη τιμή την ίδια ποσότητα μαγνητισμού ( $\pm m$ ), πού τή θεωρούμε συγκεντρωμένη σέ δύο όρισμένα σημεία κοντά στις άκρες του μαγνήτη. Δύο ίσοι (κατ' απόλυτη τιμή) ετερόνυμοι πόλοι, πού βρίσκονται σέ σταθερή μεταξύ τους απόσταση, αποτελούν ένα μαγνητικό δίπολο.

# Μαγνητικό πεδίο

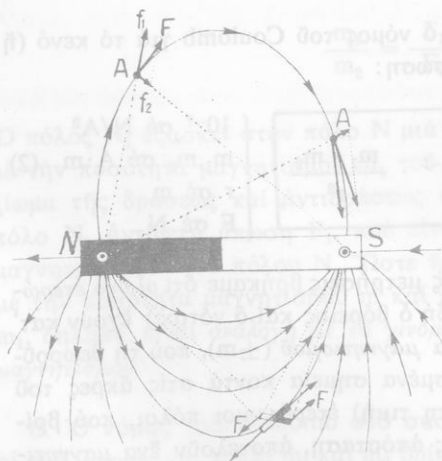
## 7. Μαγνητικό φάσμα. Όρισμός του μαγνητικού πεδίου

Κάτω από μιά οριζόντια γυάλινη πλάκα τοποθετούμε έναν ευθύγραμμο μαγνήτη. Πάνω στην πλάκα ρίχνουμε ρινίσματα σιδήρου καί χτυπάμε ελαφρά τήν πλάκα. Τά ρινίσματα αναπηδούν καί διατάσσονται σε κανονικές γραμμές, πού αρχίζουν από τόν έναν πόλο καί καταλήγουν στόν άλλο (σχ. 8). Αυτές οί γραμμές όνο-



Σχ. 8. Μαγνητικό φάσμα.

μάζονται *μαγνητικές δυναμικές γραμμές* καί τό σύστημα τών γραμμών πού σχηματίζεται πάνω στην πλάκα όνομάζεται *μαγνητικό φάσμα*. Αν πάνω στην πλάκα βάλουμε μικρές μαγνητικές βελόνες, παρατηρούμε ότι κάθε



Σχ. 9. Εξήγηση του μαγνητικού φάσματος.

βελόνη, όταν ήρεμήσει, έχει τή διεύθυνση τής έφαπτομένης μιάς δυναμικής γραμμής (σχ. 9). Αυτή ή θέση τής μαγνητικής βελόνης όφείλεται στις μαγνητικές δυνάμεις, πού έξασκούν στους δύο πόλους της οί δύο πόλοι του μαγνήτη. "Ωστε τό μαγνητικό φάσμα σχηματίζεται, γιατί τά ρινίσματα του σιδήρου *μαγνητίζονται* μέ έπαγωγή καί γίνονται μικροί μαγνήτες, οί όποιοι διατάσσονται κατά τή

διεύθυνση της έφαπτομένης σε κάθε σημείο της δυναμικής γραμμής.

Τό μαγνητικό φάσμα αισθητοποιεί μιὰ ιδιότητα πού άποκτᾶ ό χῶρος γύρω άπό τό μαγνήτη. Δηλαδή σε κάθε ποσότητα μαγνητισμοῦ, πού έρχεται μέσα σ' αυτόν τό χῶρο, εξασκοῦνται μαγνητικές δυνάμεις οί όποϊες όφείλονται στό μαγνήτη. Τότε λέμε ότι γύρω άπό τό μαγνήτη ὑπάρχει *μαγνητικό πεδίο*. Ὡστε:

**Μαγνητικό πεδίο** ονομάζεται ἕνας χῶρος, όταν σε κάθε ποσότητα μαγνητισμοῦ πού ὑπάρχει μέσα σ' αυτόν εξασκοῦνται μαγνητικές δυνάμεις (έλξεις ἢ άπώσεις).

## 8. Στοιχεῖα τοῦ μαγνητικοῦ πεδίου

α. Μαγνητική έπαγωγή τοῦ μαγνητικοῦ πεδίου. Ἐνα μαγνητικό πεδίο σχηματίζεται στό κενό (ἢ στόν ἀέρα). Σε ἕνα σημείο Α τοῦ μαγνητικοῦ πεδίου ὑπάρχει μιὰ ποσότητα μαγνητισμοῦ  $m$  (σχ. 10). Τότε τό μαγνητικό πεδίο εξασκεῖ σ' αὐτή τήν ποσότητα μαγνητισμοῦ μιὰ δύναμη  $F$ . Στο σύστημα *MKSA* ισχύει ό ἀκόλουθος όρισμός:

Μαγνητική έπαγωγή ( $\vec{B}$ ) τοῦ μαγνητικοῦ πεδίου σε ἕνα σημείο του ονομάζεται τό πηλίκο τῆς δυνάμεως  $\vec{F}$  πού ἐνεργεῖ στήν ποσότητα μαγνητισμοῦ  $m$ , (ἡ όποία βρίσκεται σ' αὐτό τό σημείο), διά τῆς ποσότητας μαγνητισμοῦ  $m$ .

$$\text{μαγνητική έπαγωγή} \quad \vec{B} = \frac{\vec{F}}{m} \quad (1)$$

Ἡ μαγνητική έπαγωγή εἶναι ἄνυσμα ( $\vec{B}$ ), πού ἔχει φορέα τό φορέα τῆς δυνάμεως, μέτρο ἴσο μέ τό πηλίκο  $B = F/m$  καί φορά κατά σύμβαση τή φορά τῆς δυνάμεως  $F$ , όταν αὐτή ἐνεργεῖ σε θετική ποσότητα μαγνητισμοῦ  $+m$ .

Ἀπό τήν ἐξίσωση  $B = F/m$  συνάγεται ότι ἡ μαγνητική έπαγωγή σε ἕνα σημείο τοῦ μαγνητικοῦ πεδίου



σχ. 10. Ἡ μαγνητική έπαγωγή  $\vec{B}$  στο σημείο Α τοῦ μαγνητικοῦ πεδίου.

αριθμητικῶς είναι ἴση μὲ τὴ δύναμη πού ἐξασκεῖ τὸ πεδίο στὴ μονάδα θετικῆς ποσότητας μαγνητισμοῦ, ὅταν αὐτὴ βρίσκεται στὸ θεωρούμενο σημεῖο τοῦ μαγνητικοῦ πεδίου.

*Μονάδα μαγνητικῆς ἐπαγωγῆς.* Ἄν στὴν ἐξίσωση  $B = F/m$  βάλουμε  $F = 1 \text{ N}$  καὶ  $m = 1 \text{ A} \cdot \text{m}$ , βρίσκουμε  $B = 1 \text{ MKSA}$ . Ἡ μονάδα μαγνητικῆς ἐπαγωγῆς ὀνομάζεται *Tesla* (1 T). Ἄρα:

Σὲ ἓνα σημεῖο μαγνητικοῦ πεδίου ἡ μαγνητικὴ ἐπαγωγή  $B$  εἶναι ἴση μὲ 1 Tesla (1 T), ὅταν σὲ μαγνητικὸ πόλο, πού βρίσκεται σ' αὐτὸ τὸ σημεῖο καὶ ἔχει ποσότητα μαγνητισμοῦ 1 μονάδα MKSA ( $1 \text{ A} \cdot \text{m}$ ), ἐξασκεῖται δύναμη ἴση μὲ 1 Newton (1 N).

μονάδα μαγνητικῆς ἐπαγωγῆς	$1 \text{ Tesla (1T)} = \frac{1\text{N}}{1 \text{ A} \cdot \text{m}} \quad \text{ἢ} \quad 1 \text{ T} = 1 \frac{\text{N}}{\text{A} \cdot \text{m}}$
----------------------------	---

β. Ὑπολογισμὸς τῆς μαγνητικῆς ἐπαγωγῆς. Ἔχουμε ἓνα μακρὺ εὐθύγραμμο μαγνήτη NS, πού ὁ βόρειος πόλος του N ἔχει ποσότητα μαγνητισμοῦ  $+m$  (σχ. 11). Ἐπειδὴ ὁ μαγνήτης ἔχει μεγάλο μήκος, μποροῦμε κατὰ προσέγγιση νά θεωρήσουμε ὅτι ὁ πόλος N εἶναι μονωμένος καὶ δημιουργεῖ γύρω του ἓνα μαγνητικὸ πεδίο. Σ' ἓνα σημεῖο A τοῦ μαγνητικοῦ πεδίου φέρνουμε τὸ βόρειο πόλο  $N_1$  ἑνὸς ἄλλου μαγνήτη  $N_1S_1$ . Ὁ πόλος  $N_1$  ἔχει ποσότητα μαγνητισμοῦ  $+m_1$  καὶ ἐπομένως ὁ πόλος N ἐξασκεῖ στὸν πόλο  $N_1$  δύναμη  $F$  ἴση μὲ:

$$F = K_{\text{μαγν}} \cdot \frac{m \cdot m_1}{r^2}$$

Ἄρα ἡ μαγνητικὴ ἐπαγωγή  $B$  στὸ σημεῖο A τοῦ μαγνητικοῦ πεδίου εἶναι:

$$B = \frac{F}{m_1} = K_{\text{μαγν}} \cdot \frac{m}{r^2} \quad \text{ἢ} \quad B = 10^{-7} \cdot \frac{m}{r^2} \quad \left\{ \begin{array}{l} 10^{-7} \text{ σέ } \text{N/A}^2 \\ m \text{ σέ } \text{A} \cdot \text{m} \\ r \text{ σέ } \text{m} \\ B \text{ σέ } \text{T} \end{array} \right.$$

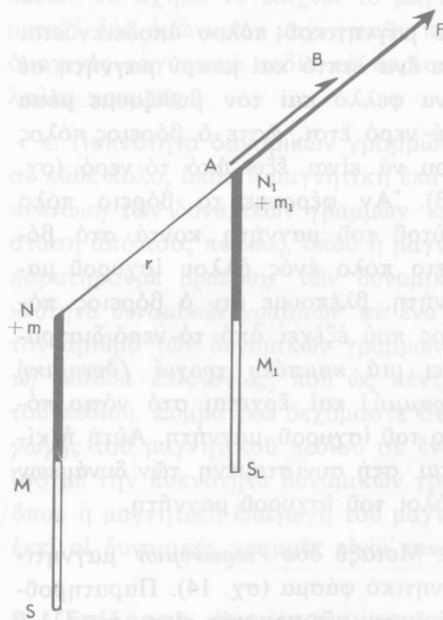
ὅπου  $m$  εἶναι ἡ ποσότητα μαγνητισμοῦ πού δημιουργεῖ τὸ μαγνητικὸ πεδίο.

**Παράδειγμα.** Ένας βόρειος μαγνητικός πόλος έχει ποσότητα μαγνητισμού  $m = 5 \text{ A}\cdot\text{m}$ . Σε απόσταση  $r = 50 \text{ cm}$  από αυτό τον πόλο ή μαγνητική επαγωγή έχει μέτρο ίσο μέ:

$$B = 10^{-7} \cdot \frac{m}{r^2} = 10^{-7} \frac{\text{N}}{\text{A}^2} \cdot \frac{5 \text{ A}\cdot\text{m}}{(0,5 \text{ m})^2} \quad \text{καί} \quad B = 20 \cdot 10^{-7} \frac{\text{N}}{\text{A}\cdot\text{m}} \quad \text{ή} \quad \text{T}$$

γ. Δυναμική γραμμή του μαγνητικού πεδίου. Σε ένα σημείο A του μαγνητικού πεδίου βρίσκεται ένας σημειακός βόρειος πόλος N και η μαγνητική επαγωγή στο σημείο A είναι  $\vec{B}$  (σχ. 12). Για να αισθητοποιούμε το μαγνητικό πεδίο σε κάθε σημείο του, έχουμε τις *δυναμικές γραμμές* του μαγνητικού πεδίου, για τις οποίες ισχύει ο εξής ορισμός :

**Δυναμική γραμμή του μαγνητικού πεδίου ονομάζεται ή γραμμή που σε κάθε σημείο της τό άνυσμα της μαγνητικής επαγωγής ( $\vec{B}$ ) είναι εφαπτόμενο αυτής της γραμμής.**



Σχ. 11. Η δύναμη  $\vec{F}$  που ενεργεί στον πόλο  $N_1$  και ή μαγνητική επαγωγή  $\vec{B}$  στο σημείο A του πεδίου.



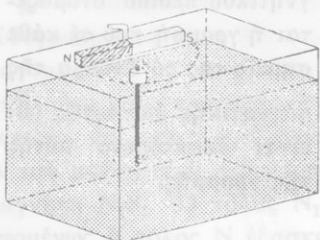
Σχ. 12. Τό άνυσμα  $\vec{B}$  είναι εφαπτόμενο της δυναμικής γραμμής.

Ἐπειδή σέ κάθε σημείο τοῦ μαγνητικοῦ πεδίου ἡ μαγνητική ἐπαγωγή εἶναι ἓνα ὀρισμένο ἄνυσμα ( $\vec{B}$ ), συνάγεται ὅτι ἀπό ἓνα σημείο τοῦ μαγνητικοῦ πεδίου περνάει *μόνο μιά* δυναμική γραμμή. Αὐτή ἔχει *φορά* τή φορά τοῦ ἄνυσματος τῆς μαγνητικῆς ἐπαγωγῆς. Ἀπό τή φορά, πού κατά συνθήκη δεχόμαστε γιά τό ἄνυσμα τῆς μαγνητικῆς ἐπαγωγῆς, προκύπτει ὅτι ἡ δυναμική γραμμή ἔχει φορά *ἀπό τό βόρειο πρὸς τό νότιο πόλο* τοῦ μαγνήτη (σχ. 9).

Ἀπό τά παραπάνω μπορούμε νά δώσουμε γιά τή δυναμική γραμμή τόν ἐξῆς ἐμπειρικό *ὀρισμό* :

**Δυναμική γραμμή τοῦ μαγνητικοῦ πεδίου εἶναι ἡ τροχιά πού διαγράφει ἓνας βόρειος μαγνητικός πόλος (m) μέ τήν ἐπίδραση τοῦ μαγνητικοῦ πεδίου.**

Αὐτή ἡ κίνηση ἑνός βόρειου μαγνητικοῦ πόλου ἀποδεικνύεται μέ τό ἐξῆς πείραμα. Στερεώνουμε ἓνα λεπτό καί μακρὺ μαγνήτη σέ

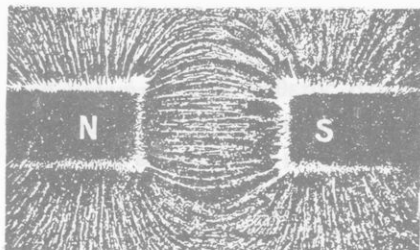


Σχ. 13. Κίνηση ἑνός βόρειου μαγνητικοῦ πόλου.

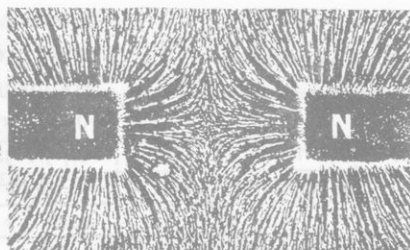
ἓνα φελλό καί τόν βυθίζουμε μέσα σέ νερό ἔτσι, ὥστε ὁ βόρειος πόλος του νά εἶναι ἐξω ἀπό τό νερό (σχ. 13). Ἄν φέρουμε τό βόρειο πόλο αὐτοῦ τοῦ μαγνήτη κοντά στό βόρειο πόλο ἑνός ἄλλου ἰσχυροῦ μαγνήτη, βλέπουμε ὅτι ὁ βόρειος πόλος πού ἐξέχει ἀπό τό νερό διαγράφει μιά *καμπύλη τροχιά (δυναμική γραμμή)* καί ἔρχεται στό νότιο πόλο τοῦ ἰσχυροῦ μαγνήτη. Αὐτή ἡ κίνηση τοῦ βόρειου πόλου ὀφείλεται στή συνισταμένη τῶν δυνάμεων πού ἐξασκοῦν σ' αὐτόν οἱ δύο πόλοι τοῦ ἰσχυροῦ μαγνήτη.

δ. Ὅμογενές μαγνητικό πεδίο. Μεταξύ δύο *ἐτερόνομων* μαγνητικῶν πόλων σχηματίζουμε τό μαγνητικό φάσμα (σχ. 14). Παρατηροῦμε ὅτι σ' αὐτή τήν περίπτωση οἱ δυναμικές γραμμές εἶναι *παράλληλες*. Αὐτό τό μαγνητικό πεδίο λέγεται *ὀμογενές*. Γενικά ἀποδεικνύεται ὅτι στό ὀμογενές μαγνητικό πεδίο τό ἄνυσμα τῆς μαγνητικῆς ἐπαγωγῆς ( $\vec{B}$ ) σέ ὅλα τά σημεία τοῦ πεδίου ἔχει τήν ἴδια διεύθυνση,





Σχ. 14. Όμογενές μαγνητικό πεδίο μεταξύ δύο ετερόνυμων μαγνητικών πόλων.



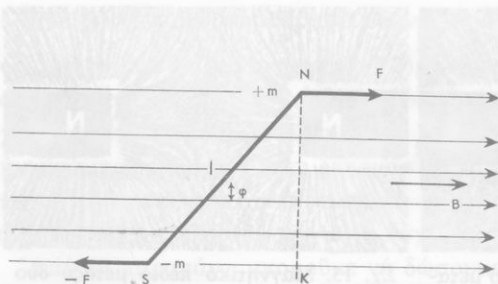
Σχ. 15. Μαγνητικό πεδίο μεταξύ δύο όμώνυμων μαγνητικών πόλων.

τήν ίδια φορά και τό ίδιο μέτρο, δηλαδή ή μαγνητική επαγωγή είναι σταθερή σέ όλα τά σημεία τοῦ πεδίου. Ένας πεταλοειδής μαγνήτης ανάμεσα στους δύο βραχίονές του σχηματίζει όμογενές μαγνητικό πεδίο. Τό σχήμα 15 δείχνει τό μαγνητικό φάσμα πού σχηματίζεται μεταξύ δύο όμώνυμων μαγνητικών πόλων (άνομοιογενές πεδίο). Ένα όμογενές μαγνητικό πεδίο τό παριστάνουμε μέ ίσαπέχουσες παράλληλες γραμμές.

ε. Πυκνότητα δυναμικῶν γραμμῶν. Στό μαγνητικό φάσμα κοντά σέ κάθε πόλο, όπου ή μαγνητική επαγωγή είναι μεγάλη, παρατηρούμε *πύκνωση* τῶν δυναμικῶν γραμμῶν καί αντίθετα σέ μεγαλύτερη απόσταση ἀπό τοὺς πόλους, όπου ή μαγνητική επαγωγή είναι μικρότερη, παρατηρούμε *ἀραίωση* τῶν δυναμικῶν γραμμῶν. Ὀνομάζουμε *πυκνότητα δυναμικῶν γραμμῶν* σέ ἕνα σημείο τοῦ μαγνητικοῦ πεδίου τόν ἀριθμό τῶν δυναμικῶν γραμμῶν οἱ ὁποῖες περνοῦν *κάθετα ἀπό τή μονάδα ἐπιφάνειας*, πού ὡς κέντρο ἔχει τό θεωρούμενο σημείο τοῦ πεδίου. Συμβατικά δεχόμαστε ὅτι τό μέτρο τῆς μαγνητικῆς επαγωγῆς τοῦ μαγνητικοῦ πεδίου σέ ἕνα σημείο του ἀριθμητικῶς είναι ἴσο μέ τήν πυκνότητα δυναμικῶν γραμμῶν σ' αὐτό τό σημείο. Ἐτσι, όπου ή μαγνητική επαγωγή τοῦ μαγνητικοῦ πεδίου είναι *μεγαλύτερη*, ἐκεῖ οἱ δυναμικές γραμμές είναι *πυκνότερες*.

## 9. Ἐπίδραση όμογενοῦς μαγνητικοῦ πεδίου σέ μαγνητικό δίπολο

Μέσα σέ όμογενές μαγνητικό πεδίο πού ἔχει μαγνητική επαγωγή  $B$ , βρίσκεται εὐθύγραμμος μαγνήτης πού μπορεῖ νά στρέφεται γύρω



Σχ. 16. Στο μαγνητικό δίπολο NS ενεργεί μηχανική ροπή.

από άξονα κάθετο στις δυναμικές γραμμές (σχ. 16). Οί δύο πόλοι N και S του μαγνήτη έχουν αντίστοιχα ποσότητες μαγνητισμού  $+m$  και  $-m$ , και η απόσταση μεταξύ τους είναι  $l$ . Σε κάθε πόλο του μαγνήτη τό μαγνητικό πεδίο εξασκεί μία δύναμη, πού έχει μέτρο  $F = B \cdot m$  και είναι παράλληλη μέ τις δυναμικές γραμμές. Όταν ο μαγνήτης σχηματίζει γωνία  $\varphi$  μέ τή διεύθυνση τών δυναμικών γραμμών, τότε στό μαγνήτη ενεργεί ζεύγος δυνάμεων, πού τείνει νά περιστρέψει τό μαγνήτη και νά κάνει τόν άξονά του παράλληλο μέ τις δυναμικές γραμμές του μαγνητικού πεδίου. Η ροπή ( $M$ ) του ζεύγους πού ενεργεί στό μαγνήτη έχει μέτρο:

$$M = F \cdot (NK) \quad \text{ή} \quad M = B \cdot m \cdot l \cdot \eta\mu \varphi \quad (1)$$

Τό γινόμενο  $m \cdot l$ , δηλαδή τό γινόμενο τής ποσότητας μαγνητισμού ( $m$ ) του ενός πόλου του μαγνήτη επί τήν απόσταση ( $l$ ) τών δύο πόλων του, είναι μέγεθος σταθερό και χαρακτηριστικό γι' αυτόν τό μαγνήτη και ονομάζεται *μαγνητική ροπή* ( $M^*$ ) του μαγνήτη.

μαγνητική ροπή μαγνήτη  $M^* = m \cdot l$

(2)

Άρα ή εξίσωση (1) γράφεται ως εξής:

ροπή πού εξασκείται  
σε μαγνητικό δίπολο  $M = M^* \cdot B \cdot \eta\mu \varphi$

(3)

Η μαγνητική ροπή ( $M^*$ ) ενός μαγνήτη είναι *άνυσμα*, πού έχει *φορέα* τόν κατά μήκος άξονα του μαγνήτη, *φορά* από τό νότιο πόλο

Σ προς τό βόρειο πόλο N και μέτρο ίσο μέ τό γινόμενο  $m \cdot l$  (σχ. 17). Όταν ό άξονας του μαγνήτη είναι κάθετος στις δυναμικές γραμμές ( $\varphi = 90^\circ$ ), τότε ή ροπή του ζεύγους πού ένεργεί στό μαγνήτη έχει τή μεγαλύτερη τιμή της  $M = M^* \cdot B$ . Ένω, όταν ό άξονας του μαγνήτη έχει τή διεύθυνση των δυναμικών γραμμών ( $\varphi = 0^\circ$ ), τότε ό μαγνήτης *ισορροπεί* μέ τήν επίδραση δύο αντίθετων δυνάμεων πού ένεργούν στους δύο πόλους του. Από τά παραπάνω καταλήγουμε στό εξής συμπέρασμα :



Σχ. 17. Η μαγνητική ροπή είναι τό άνυσμα  $\vec{M}^*$ .

Όταν ένα μαγνητικό δίπολο βρίσκεται μέσα σε όμογενές μαγνητικό πεδίο μέ μαγνητική έπαγωγή  $\vec{B}$ , τότε τό μαγνητικό πεδίο τείνει νά περιστρέψει τό μαγνητικό δίπολο γύρω από άξονα κάθετο στις δυναμικές γραμμές έτσι, ώστε τό άνυσμα της μαγνητικής ροπής  $\vec{M}^*$  νά άποκτήσει τήν ίδια διεύθυνση και φορά μέ τό άνυσμα της μαγνητικής έπαγωγής  $\vec{B}$  του μαγνητικού πεδίου.

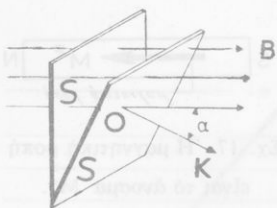
*Μονάδα μαγνητικής ροπής.* Άν στην εξίσωση (2) βάλουμε  $m = 1 \text{ A} \cdot \text{m}$  και  $l = 1 \text{ m}$ , βρίσκουμε  $M^* = 1 \text{ MKSA}$  - μαγνητικής ροπής. Ωστε:

Στό σύστημα MKSA μονάδα μαγνητικής ροπής είναι ή μαγνητική ροπή ενός μαγνητικού διπόλου πού οι πόλοι του απέχουν 1 m και καθένας από αυτούς έχει μία μονάδα ποσότητας μαγνητισμού (1 A·m).

μονάδα μαγνητικής ροπής	$1 \text{ A} \cdot \text{m} \cdot 1 \text{ m}$	ή	$1 \text{ A} \cdot \text{m}^2$
(MKSA)			

## 10. Μαγνητική ροή

Μέσα σε όμογενές μαγνητικό πεδίο, πού έχει μαγνητική έπαγωγή B, έχουμε μία επιφάνεια, ή όποία έχει έμβαδό S και ή κάθετη στην



Σχ. 18. Από την επιφάνεια S περνάει μαγνητική ροή (Φ).

επιφάνεια σχηματίζει γωνία  $\alpha$  με τις δυναμικές γραμμές του πεδίου (σχ. 18). Τότε ισχύει ο εξής όρισμός :

Όνομάζεται μαγνητική ροή (Φ) το γινόμενο της μαγνητικής επαγωγής (B) του μαγνητικού πεδίου επί το έμβαδό (S) της επιφάνειας και επί το συνημίτονο της γωνίας  $\alpha$  (συν  $\alpha$ ).

$$\text{μαγνητική ροή} \quad \Phi = B \cdot S \cdot \text{συν } \alpha \quad (1)$$

\*Αν η επιφάνεια S είναι κάθετη στις δυναμικές γραμμές του πεδίου ( $\alpha = 0^\circ$ ), τότε η μαγνητική ροή έχει τη μέγιστη τιμή της:

$$\Phi = B \cdot S \quad (2)$$

Μονάδα μαγνητικής ροής. \*Αν στην εξίσωση (2) βάλουμε  $B = 1$  Tesla (1 T) και  $S = 1 \text{ m}^2$ , βρίσκουμε  $\Phi = 1 \text{ MKSA}$ . \*Η μονάδα μαγνητικής ροής ονομάζεται Weber (1 Wb). \*Άρα:

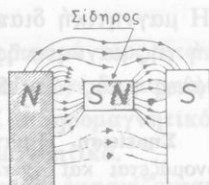
\*Ένα Weber (1 Wb) είναι η μαγνητική ροή που περνάει από μία επιφάνεια, η οποία έχει έμβαδό  $1 \text{ m}^2$  και είναι κάθετη στις δυναμικές γραμμές ομογενούς μαγνητικού πεδίου με μαγνητική επαγωγή 1 Tesla (1 T).

$$\text{μονάδα μαγνητικής ροής} \quad 1 \text{ Weber (1 Wb)} = 1 \text{ Tesla} \cdot 1 \text{ m}^2 \quad \text{ή} \quad 1 \text{ Wb} = 1 \text{ T} \cdot \text{m}^2$$

## 11. Μαγνητική διαπερατότητα του σιδήρου

Σχηματίζουμε τό μαγνητικό φάσμα ενός ισχυρού πεταλοειδή μαγνήτη. \*Ανάμεσα στους δύο βραχίονές του τό μαγνητικό πεδίο είναι όμογενές, σχηματίζεται μέσα στον αέρα και έχει σταθερή μαγνητική επαγωγή  $B_0$ . Στο διάκενο που υπάρχει ανάμεσα στους δύο βραχίονες του μαγνήτη, τοποθετούμε μία μικρή κυλινδρική ράβδο από μαλακό

σίδηρο έτσι, ώστε η βάση του κυλίνδρου, που έχει έμβαδό  $S$ , να είναι κάθετη στις δυναμικές γραμμές του πεδίου. Σχηματίζουμε πάλι το μαγνητικό φάσμα (σχ. 19). Βλέπουμε ότι τώρα το μαγνητικό πεδίο δέν είναι όμογενές. Οί δυναμικές γραμμές λυγίζουν και προσπαθούν να περάσουν όσο είναι δυνατό περισσότερες μέσα από τό σίδηρο. Σύγχρονα ή ράβδος μαγνητίζεται μέ έπαγωγή και στις δύο άκρες τής ράβδου σχηματίζονται νότιος και βόρειος πόλος.



Σχ. 19. Οί δυναμικές γραμμές προσπαθούν να περάσουν μέσα από τό σίδηρο.

Όταν δέν υπήρχε ό σίδηρος μέσα στο μαγνητικό πεδίο, τότε στον άερα από μία επιφάνεια μέ έμβαδό  $S$  περνούσε μαγνητική ροή  $\Phi_0 = B_0 \cdot S$ . Όταν μέσα στο μαγνητικό πεδίο ύπάρχει ό σίδηρος, τότε από τήν επιφάνεια μέ τό ίδιο έμβαδό  $S$  περνούν πολύ περισσότερες δυναμικές γραμμές και έπομένως ή μαγνητική έπαγωγή αυξάνει και γίνεται  $B$  (§ 8ε). Σ' αυτή τήν περίπτωση από τήν επιφάνεια  $S$  περνάει μαγνητική ροή  $\Phi = B \cdot S$ . Ό λόγος  $\Phi/\Phi_0$  ονομάζεται μαγνητική διαπερατότητα ( $\mu$ ) του σιδήρου. Ωστε είναι :

$$\mu = \frac{\Phi}{\Phi_0} = \frac{B \cdot S}{B_0 \cdot S} \quad \text{ήρα} \quad \begin{array}{c} \text{μαγνητική} \\ \text{διαπερατότητα} \end{array} \quad \mu = \frac{B}{B_0} \quad (1)$$

Η μαγνητική διαπερατότητα  $\mu$  δέν έχει διαστάσεις. Από τά παραπάνω καταλήγουμε στα εξής συμπεράσματα:

I. Ό σίδηρος, όταν εισάγεται μέσα σέ μαγνητικό πεδίο, μαγνητίζεται και προκαλεί μεγάλη συγκέντρωση τών δυναμικών γραμμών του πεδίου.

II. Μαγνητική διαπερατότητα ( $\mu$ ) του σιδήρου ονομάζεται ό λόγος τής μαγνητικής ροής ( $\Phi$ ), που περνάει κάθετα από μία επιφάνεια του σιδήρου μέ έμβαδό  $S$ , πρós τή μαγνητική ροή  $\Phi_0$ , που περνάει από τήν ίδια επιφάνεια στον άερα.

III. Όταν μέσα σέ μαγνητικό πεδίο, που στον άερα έχει μαγνητική έπαγωγή  $B_0$ , εισάγεται σίδηρος, τότε ή μαγνητική έπαγωγή του πεδίου γίνεται ίση μέ  $B = \mu \cdot B_0$ .

Ἡ μαγνητική διαπερατότητα ( $\mu$ ) τοῦ σιδήρου ἐξαρτᾶται ἀπὸ τὴν τιμὴ τῆς μαγνητικῆς ἐπαγωγῆς  $B_0$  τοῦ πεδίου καὶ μπορεῖ νὰ λάβει μεγάλες τιμές (ὡς 15 000).

**Σημείωση.** Ἡ μαγνητική διαπερατότητα  $\mu$  πού ὀρίσαμε ἀπὸ τὴν ἐξίσωση (1) ὀνομάζεται καὶ *σχετικὴ μαγνητικὴ διαπερατότητα*, δηλαδή σχετικὰ μὲ τὴ μαγνητικὴ διαπερατότητα τοῦ κενοῦ ἢ τοῦ ἀέρα.

## 12. Μαγνητικὴ κατάταξη τῶν ὑλικῶν

Ἡ πειραματικὴ ἔρευνα ἀπέδειξε ὅτι ὅλα τὰ ὑλικά, ὅταν βρεθοῦν μέσα σὲ μαγνητικὸ πεδίο, παρουσιάζουν *μαγνητικὲς ιδιότητες*. Ἀνάλογα μὲ αὐτὲς τὶς ιδιότητες τὰ διάφορα ὑλικά κατατάσσονται σὲ τρεῖς κατηγορίες, τὰ *διαμαγνητικά*, τὰ *παραμαγνητικά* καὶ τὰ *σιδηρομαγνητικά* ὑλικά.

α. Τὰ *διαμαγνητικά* ἔχουν μαγνητικὴ διαπερατότητα *λίγο μικρότερη* ἀπὸ τὴ μονάδα ( $\mu < 1$ ). Τὰ περισσότερα ὑλικά εἶναι διαμαγνητικά. Οἱ πῶς χαρακτηριστικοὶ ἀντιπρόσωποι αὐτῶν τῶν ὑλικῶν εἶναι τὸ βισμούθιο, ὁ χαλκός, ὁ ἄνθρακας.

β. Τὰ *παραμαγνητικά* ἔχουν μαγνητικὴ διαπερατότητα *λίγο μεγαλύτερη* ἀπὸ τὴ μονάδα ( $\mu > 1$ ). Τέτοια ὑλικά εἶναι τὸ ἀργίλιο, τὸ χρώμιο, τὸ ὑγρὸ ὀξυγόνο.

γ. Τὰ *σιδηρομαγνητικά* εἶναι λίγα καὶ ἔχουν μαγνητικὴ διαπερατότητα *πολύ μεγαλύτερη ἀπὸ τὴ μονάδα* ( $\mu \gg 1$ ). Τέτοια ὑλικά εἶναι ὁ σίδηρος, τὸ νικέλιο, τὸ κοβάλτιο καὶ μερικά κράματα. Τὰ σιδηρομαγνητικά ὑλικά ἔχουν τὰ ἑξῆς ιδιαίτερα χαρακτηριστικά: 1) Ἀποκτοῦν ἰσχυρὴ μαγνήτιση μὲ τὴν ἐπίδραση ἀσθενῶν μαγνητικῶν πεδίων. 2) Ἡ μαγνητικὴ διαπερατότητά τους ἐξαρτᾶται ἀπὸ τὴ μαγνητικὴ ἐπαγωγή τοῦ πεδίου πού προκαλεῖ τὴ μαγνήτισή τους. 3) Μποροῦν νὰ διατηρήσουν τὴ μαγνήτισή τους καὶ ὅταν βρίσκονται ἔξω ἀπὸ τὸ μαγνητικὸ πεδίο (π.χ. οἱ μόνιμοι μαγνήτες). 4) Εἶναι σιδηρομαγνητικά, ἐφόσον ἡ θερμοκρασία τους εἶναι μικρότερη ἀπὸ ἓνα ὄριο (θερμοκρασία Curie), πού εἶναι χαρακτηριστικὸ γιὰ κάθε ὑλικό (π.χ. γιὰ τὸ σίδηρο εἶναι 770°C). 5) Ἐχουν πολὺ μεγάλες ἐφαρμογές στὴν τεχνική.

Ἀπὸ τὰ παραπάνω συνάγονται τὰ ἑξῆς συμπεράσματα:

I. Η ύλη έχει γενικά μαγνητικές ιδιότητες.

II. Τά διάφορα υλικά, ανάλογα με τή συμπεριφορά τους όταν βρεθούν μέσα σε μαγνητικό πεδίο, διακρίνονται σε διαμαγνητικά ( $\mu < 1$ ), παραμαγνητικά ( $\mu > 1$ ) και σιδηρομαγνητικά ( $\mu \gg 1$ ). Τά περισσότερα υλικά είναι διαμαγνητικά.

III. Ό διαμαγνητισμός και ό παραμαγνητισμός εμφανίζονται μόνο όταν τό υλικό βρίσκεται μέσα σε μαγνητικό πεδίο, ενώ ό σιδηρομαγνητισμός εμφανίζεται και όταν όρισμένα υλικά βρίσκονται έξω από μαγνητικό πεδίο.

**Παρατήρηση.** Σε άλλο κεφάλαιο θά-δούμε πώς έρμηνεύονται οί μαγνητικές ιδιότητες τής ύλης.

### 13. Μαγνητική διαπερατότητα του κενού

Στό σύστημα MKSA τό κενό έχει όρισμένη μαγνητική διαπερατότητα  $\mu_0$ . Η θεωρητική και ή πειραματική έρευνα απέδειξαν ότι: στό σύστημα MKSA ή μαγνητική διαπερατότητα  $\mu_0$  του κενού έχει τήν τιμή:

$$\text{μαγνητική διαπερατότητα του κενού} \quad \mu_0 = 4\pi \cdot 10^{-7} \frac{\text{N}}{\text{A}^2} \quad (1)$$

Σχέση μεταξύ τών μαγνητικών σταθερών  $K_{\text{μαγν}}$  και  $\mu_0$ . Άποφασίσθηκε (1960) ότι στό σύστημα MKSA ή μαγνητική σταθερή  $K_{\text{μαγν}}$  θά έχει τήν εξής τιμή:

$$K_{\text{μαγν}} = 10^{-7} \frac{\text{N}}{\text{A}^2} \quad (2)$$

Άπό τίς σχέσεις (1) και (2) βρίσκουμε ότι οί δύο μαγνητικές σταθερές  $K_{\text{μαγν}}$  και  $\mu_0$  συνδέονται μεταξύ τους με τή σχέση:

$$\text{μαγνητικές σταθερές} \quad K_{\text{μαγν}} = \frac{\mu_0}{4\pi} = 10^{-7} \frac{\text{N}}{\text{A}^2} \quad (3)$$

**Παρατήρηση.** Έπομένως ο νόμος του Coulomb σε συνάρτηση με τη μαγνητική διαπερατότητα του κενού  $\mu_0$  δίνεται από την εξίσωση:

$$\text{νόμος του Coulomb (για τό κενό)} \quad F = \frac{\mu_0}{4\pi} \cdot \frac{m_1 \cdot m_2}{r^2} \quad \left\{ \begin{array}{l} \mu_0/4\pi \text{ σε } \text{N/A}^2 \\ m_1, m_2 \text{ σε } \text{A} \cdot \text{m} \\ r \text{ σε } \text{m} \\ F \text{ σε } \text{N} \end{array} \right.$$

#### 14. Ένταση μαγνητικού πεδίου

Στό κενό (ή τόν άέρα) ύπάρχει ένα μαγνητικό πεδίο και σε ένα σημείο του Α ή μαγνητική επαγωγή είναι  $B_0$ . Τότε έχουμε τόν εξής όρισμό:

Στό σύστημα MKSA όνομάζεται ένταση (H) τού μαγνητικού πεδίου σε ένα σημείο του τό πηλίκο τής μαγνητικής επαγωγής ( $B_0$ ), πού ύπάρχει σ' αυτό τό σημείο, διά τής μαγνητικής διαπερατότητας τού κενού ( $\mu_0$ ).

$$\text{ένταση μαγνητικού πεδίου} \quad \vec{H}_0 = \frac{\vec{B}_0}{\mu_0}$$

Η ένταση μαγνητικού πεδίου είναι άνυσμα ( $\vec{H}_0$ ), πού έχει φορέα και φορά τό φορέα και τή φορά τού άνύσματος τής μαγνητικής επαγωγής ( $B_0$ ) και μέτρο ίσο μέ τό πηλίκο  $H_0 = B_0/\mu_0$ . Είναι φανερό ότι, άν τό μαγνητικό πεδίο είναι όμογενές, τότε ή έντάσή του ( $H_0$ ) είναι σε όλα τά σημεία τού πεδίου σταθερή (κατά διεύθυνση, φορά και μέτρο).

Άν στήν εξίσωση

$$H_0 = \frac{B_0}{\mu_0} \quad \text{βάλουμε} \quad B_0 = \frac{\mu_0}{4\pi} \cdot \frac{m}{r^2}, \quad \text{βρίσκουμε:}$$

$$\text{ένταση μαγνητικού πεδίου} \quad H_0 = \frac{m}{4\pi r^2} \quad \left\{ \begin{array}{l} m \text{ σε } \text{A} \cdot \text{m} \\ r \text{ σε } \text{m} \\ H \text{ σε } \text{A/m} \end{array} \right. \quad (1)$$



όπου  $m$  είναι η ποσότητα μαγνητισμού που δημιουργεί το μαγνητικό πεδίο.

*Μονάδα έντασης μαγνητικού πεδίου.* Αν στην εξίσωση (1) είναι  $m = 1 \text{ A} \cdot \text{m}$  και  $r = 1 \text{ m}$ , βρίσκουμε  $H_0 = 1 \text{ A/m}$ .

Ωστε στο σύστημα MKSA μονάδα έντασης μαγνητικού πεδίου είναι τό *1 Ampère κατά μέτρο* ( $1 \text{ A/m}$ ).

$$\text{μονάδα έντασης μαγνητικού πεδίου} \quad 1 \frac{\text{A}}{\text{m}}$$

*Παράδειγμα.* Ένας βόρειος μαγνητικός πόλος με ποσότητα μαγνητισμού  $m = 37,68 \text{ A} \cdot \text{m}$  βρίσκεται μέσα στον άερα. Πόση είναι η ένταση ( $H_0$ ) και η μαγνητική επαγωγή ( $B_0$ ) σε απόσταση  $r = 50 \text{ cm}$  από αυτό τον πόλο;

Η ένταση του μαγνητικού πεδίου είναι :

$$H_0 = \frac{m}{4\pi r^2} = \frac{37,68 \text{ A} \cdot \text{m}}{12,56 \cdot 0,25 \text{ m}^2} \quad \text{καί} \quad H_0 = 12 \frac{\text{A}}{\text{m}}$$

Η μαγνητική επαγωγή του μαγνητικού πεδίου είναι:

$$B_0 = 10^{-7} \cdot \frac{m}{r^2} = 10^{-7} \frac{\text{N}}{\text{A}^2} \cdot \frac{37,68 \text{ A} \cdot \text{m}}{0,25 \text{ m}^2} \quad \text{καί}$$

$$B_0 = 150,72 \cdot 10^{-7} \frac{\text{N}}{\text{A} \cdot \text{m}} \quad \text{ή} \quad \text{T}$$

### \*15. Έξιιώσεις και μονάδες στο ηλεκτρομαγνητικό σύστημα μονάδων (HMM)<sup>(1)</sup>

α. Νόμος του Coulomb. Στο ηλεκτρομαγνητικό σύστημα μονάδων (σύστημα HMM) η μαγνητική σταθερή  $K_{\text{μαγν}}$  για το κενό (ή τον άερα) είναι ίση με τή μονάδα και δέν έχει διαστάσεις.

(1) Η παράγραφος αυτή δέν είναι απαραίτητη για τήν κατανόηση τών φαινομένων και για τίσ μετρήσεις τών μαγνητικών μεγεθών, αλλά δείχνει τίσ σημαντικές διαφορές που υπάρχουν μεταξύ τών συστημάτων MKSA και HMM.

Παρατήρηση. Έπομένως ο νόμος του Coulomb σε συνάρτηση με τη μαγνητική σταθερά μαγνητική σταθερή του Coulomb  $K_{\text{μαγν}} = 1$

Έπομένως στο σύστημα HMM ο νόμος του Coulomb για το κενό (ή τον άερα) δίνεται από την εξίσωση:

$$\text{νόμος του Coulomb} \quad F = \frac{m_1 \cdot m_2}{r^2} \quad (1)$$

Μονάδα ποσότητας μαγνητισμού. Αν στην εξίσωση (1) βάλουμε

$$m_1 = m_2 = m, \quad r = 1 \text{ cm} \text{ και } F = 1 \text{ dyn, βρίσκουμε:}$$

$$m = r \cdot \sqrt{F} = 1 \text{ cm} \cdot \sqrt{1 \text{ dyn}} = 1 \text{ HMM} \cdot \text{ποσότητας μαγνητισμού}$$

Αυτή η μονάδα ποσότητας μαγνητισμού ορίζεται σε συνάρτηση με δύο μηχανικές μονάδες του συστήματος CGS (cm και dyn) και ορίζεται ως εξής:

Ήλεκτρομαγνητική μονάδα ποσότητας μαγνητισμού (1 HMM ποσότητας μαγνητισμού) είναι η ποσότητα μαγνητισμού πού, όταν βρίσκεται στο κενό σε απόσταση 1 cm από ίση ποσότητα μαγνητισμού, εξασκεί σ' αυτή δύναμη ίση με 1 dyn.

Από αυτή τη μονάδα προκύπτουν άλλες μονάδες του ηλεκτρομαγνητικού συστήματος.

β. Ένταση μαγνητικού πεδίου. Σε ένα σημείο A του μαγνητικού πεδίου υπάρχει μία ποσότητα μαγνητισμού m. Το πεδίο εξασκεί σ' αυτή την ποσότητα μαγνητισμού μία δύναμη F και ισχύει ο εξής ορισμός:

Όνομάζεται ένταση ( $\vec{H}$ ) του μαγνητικού πεδίου σε ένα σημείο του τό πηλίκο της δυνάμεως ( $\vec{F}$ ) πού ενεργεί στην ποσότητα μαγνητισμού m διά της ποσότητας μαγνητισμού m.

$$\text{ένταση μαγνητικού πεδίου} \quad \vec{H} = \frac{\vec{F}}{m}$$

Ἡ ἔνταση μαγνητικοῦ πεδίου εἶναι ἄνυσμα ( $\vec{H}$ ) πού ἔχει φορέα τό φορέα τῆς δυνάμεως  $F$ , μέτρο ἴσο μέ τό πηλίκο  $H = F/m$  καί φορά κατά σύμβαση τή φορά τῆς δυνάμεως  $F$ , ὅταν αὐτή ἐνεργεῖ σέ θετική ποσότητα μαγνητισμοῦ  $+m$ .

*Μονάδα ἐντάσεως μαγνητικοῦ πεδίου.* Ἐάν στήν ἐξίσωση  $H = F/m$  βάλουμε  $F = 1$  dyn καί  $m = 1$  HMM—ποσότητας μαγνητισμοῦ, βρίσκουμε  $H = 1$  HMM- ἐντάσεως μαγνητικοῦ πεδίου. Αὐτή ἡ μονάδα ὀνομάζεται *Oersted* (1 Oe).

$$1 \text{ Oersted (1 Oe)} = \frac{1 \text{ dyn}}{1 \text{ HMM-ποσότητας μαγνητισμοῦ}}$$

Ἐπιλογισμὸς τῆς ἐντάσεως μαγνητικοῦ πεδίου. Ἐνας μαγνητικός πόλος ἔχει ποσότητα μαγνητισμοῦ  $m$ . Ἐάν σέ ἀπόσταση  $r$  ἀπὸ αὐτό τὸν πόλο φέρουμε μιά ἄλλη ποσότητα μαγνητισμοῦ  $m_1$ , τότε σ' αὐτή τὴν ποσότητα μαγνητισμοῦ ἐξασκεῖται δύναμη:

$$F = \frac{m \cdot m_1}{r^2} \quad \text{ἄρα } H = \frac{F}{m_1} \quad \text{καί } H = \frac{m}{r^2} \quad \left\{ \begin{array}{l} m \text{ σέ HMM} \\ r \text{ σέ cm} \\ H \text{ σέ Oe} \end{array} \right.$$

ὅπου  $m$  εἶναι ἡ ποσότητα μαγνητισμοῦ πού δημιουργεῖ τό μαγνητικό πεδίο. Βρίσκουμε ὅτι εἶναι:

$$1 \text{ Ampère/mètre (1 A/m)} = 4\pi \cdot 10^{-3} \text{ Oersted (Oe)}$$

γ. Δυναμική γραμμὴ μαγνητικοῦ πεδίου. Γιά τὴ δυναμικὴ γραμμὴ ἰσχύουν οἱ ὀρισμοὶ πού ἰσχύουν καί στό σύστημα MKSA, μέ τὴ διαφορά ὅτι στό σύστημα HMM ἐφαπτόμενο τῆς δυναμικῆς γραμμῆς σέ κάθε σημεῖο τῆς εἶναι τό ἄνυσμα ( $\vec{H}$ ) τῆς ἐντάσεως τοῦ μαγνητικοῦ πεδίου.

Στό ὁμογενές μαγνητικό πεδίο ἡ ἔντασή του εἶναι σταθερὴ σέ ὅλα τὰ σημεῖα του.

δ. Μαγνητικὴ ροπὴ μαγνήτη. Καί στό σύστημα HMM ἡ μαγνητικὴ ροπὴ ( $M^*$ ) ἐνός μαγνήτη ὀρίζεται ἀπὸ τὴν ἐξίσωση:

$$\text{μαγνητικὴ ροπὴ } M^* = m \cdot l$$

Άπό αὐτή τήν ἐξίσωση βρίσκουμε:

1 HMM-μαγνητικῆς ροπῆς = 1 HMM ποσότητας μαγνητισμοῦ · cm

Ἡ ροπή (M) τοῦ ζεύγους πού ἐξασκεῖ τό ὁμογενές μαγνητικό πεδίο σέ ἓνα μαγνήτη ἔχει μέτρο:

$$M = M^* \cdot H \cdot \eta \mu \phi$$

ε. Μαγνητική ροή. Ἡ μαγνητική ροή (Φ) ὀρίζεται ἀπό τή γενική ἐξίσωση

$$\text{μαγνητικὴ ροή} \quad \Phi = H \cdot S \cdot \text{συν } \alpha$$

Ἄν  $\alpha = 0^\circ$  τότε εἶναι  $\Phi = H \cdot S$ . Ἄπό αὐτή τήν ἐξίσωση ὀρίζεται ἡ μονάδα μαγνητικῆς ροῆς, ἡ ὁποία ὀνομάζεται Maxwell (1 Mx):

$$1 \text{ Maxwell (1 Mx)} = 1 \text{ Oersted} \cdot \text{cm}^2$$

Βρίσκουμε ὅτι εἶναι  $1 \text{ Weber (1 Wb)} = 10^8 \text{ Maxwell}$

στ. Μαγνητικὴ διαπερατότητα τοῦ σιδήρου. Ἐνα ὁμογενές μαγνητικό πεδίο σχηματίζεται στό κενό (ἢ τόν ἀέρα) καί ἔχει ἔνταση  $H_0$ . Τότε ἀπό μιά ἐπιφάνεια, πού ἔχει ἔμβαδό S καί εἶναι κάθετη στίς δυναμικές γραμμές, περνάει μαγνητικὴ ροή  $\Phi_0 = H_0 \cdot S$ . Ἄπό τήν ἴδια ἐπιφάνεια σιδήρου περνάει μαγνητικὴ ροή  $\Phi = B \cdot S$ , ὅπου B εἶναι ἓνα μέγεθος πού ὀνομάζεται μαγνητικὴ ἐπαγωγή. Ὁ λόγος  $\Phi/\Phi_0$  ὀνομάζεται μαγνητικὴ διαπερατότητα ( $\mu$ ) τοῦ σιδήρου.

$$\mu = \frac{\Phi}{\Phi_0} = \frac{B \cdot S}{H_0 \cdot S} \quad \text{ἄρα} \quad \begin{array}{l} \text{μαγνητικὴ} \\ \text{διαπερατότητα} \end{array} \quad \mu = \frac{B}{H_0}$$

Ἄπό τήν τελευταία ἐξίσωση βρίσκουμε  $B = \mu \cdot H_0$ . Ἡ μαγνητικὴ διαπερατότητα ( $\mu$ ) δέν ἔχει διαστάσεις.

Ἡ μονάδα μαγνητικῆς ἐπαγωγῆς ὀνομάζεται Gauss καί ὀρίζεται ἀπό τήν ἐξίσωση  $B = \mu \cdot H_0$  ὡς ἐξῆς:

1 Gauss εἶναι ἡ μαγνητικὴ ἐπαγωγή ἡ ὁποία δημιουργεῖται σέ ἓνα ὕλικό, πού ἔχει μαγνητικὴ διαπερατότητα ἴση μέ τή μονάδα ( $\mu = 1$ ), ὅταν ἡ ἔνταση τοῦ μαγνητικοῦ πεδίου εἶναι ἴση μέ 1 Oersted ( $H = 1 \text{ Oe}$ ).

Στό σύστημα HMM ή ένταση (H) μαγνητικού πεδίου και η μαγνητική επαγωγή (B) μαγνητικού πεδίου έχουν τις ίδιες διαστάσεις και γι' αυτό πολύ συχνά στό σύστημα HMM αυτά τά δύο μεγέθη (H και B) μετριοῦνται μέ τήν ίδια μονάδα τό *1 Gauss*. Βρίσκουμε ότι είναι:

$$1 \text{ Tesla (1 T)} = 10^4 \text{ Gauss}$$

ζ. Μαγνητική διαπερατότητα τοῦ κενού. Στό ηλεκτρομαγνητικό σύστημα μονάδων έχουμε ότι:

Ἡ μαγνητική διαπερατότητα τοῦ κενού  $\mu_0$  είναι ἴση μέ τή μονάδα καί δέν ἔχει διαστάσεις.

μαγνητική διαπερατότητα τοῦ κενού  $\mu_0 = 1$

**Παρατήρηση.** Ἀπό τήν παραπάνω σύντομη ἐπισκόπηση διαπιστώνουμε ότι τά συστήματα MKSA καί HMM παρουσιάζουν μεταξύ τους σημαντικές διαφορές καί είναι σκόπιμο νά χρησιμοποιεῖται πάντοτε τό ἴδιο σύστημα μονάδων.

## Μαγνητικό πεδίο τῆς Γῆς

### 16. Μαγνητική ἀπόκλιση

Ἐλαφριά μαγνητική βελόνη μπορεῖ νά στρέφεται πάνω σέ ὀριζόντιο ἐπίπεδο γύρω ἀπό κατακόρυφο ἄξονα. Ἡ βελόνη ἰσορροπεῖ σέ τέτοια θέση, ὥστε ὁ κατά μήκος ἄξονάς της ἔχει διεύθυνση σχεδόν ἀπό Βορρά πρὸς Νότο. Τό κατακόρυφο ἐπίπεδο πού περνάει ἀπό τόν κατά μήκος ἄξονα τῆς βελόνης λέγεται *μαγνητικός μεσημβρινός*. Αὐτός σχηματίζει μέ τό γεωγραφικό μεσημβρινό τοῦ τόπου μιά γωνία ( $\alpha$ ) πού λέγεται *μαγνητική ἀπόκλιση* (σχ. 20). Αὐτή χαρακτηρίζεται ὡς *ἀνατολική* ἢ *δυτική*, ὅταν ἀντίστοιχα ὁ βόρειος πόλος



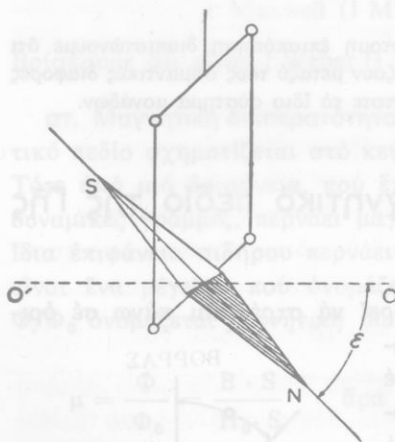
Σχ. 20. Μαγνητική ἀπόκλιση ( $\alpha$ ).

της βελόνης βρίσκεται ανατολικά ή δυτικά του γεωγραφικού μεσημβριού. Ωστε:

**Μαγνητική απόκλιση** ενός τόπου ονομάζεται η γωνία που σχηματίζει σ' αυτό τον τόπο ο μαγνητικός μεσημβρινός με το γεωγραφικό μεσημβρινό.

## 17. Μαγνητική έγκλιση

Έλαφριά μαγνητική βελόνη μπορεί να στρέφεται πάνω σε κατακόρυφο επίπεδο γύρω από κατακόρυφο άξονα που περνάει από το κέντρο βάρους της (σχ. 21). Η βελόνη ισορροπεί σε τέτοια θέση, ώστε ο κατά μήκος άξονάς της βρίσκεται πάνω στο επίπεδο του μαγνητικού μεσημβριού και σχηματίζει με το οριζόντιο επίπεδο γωνία ( $\epsilon$ ), που λέγεται **μαγνητική έγκλιση**.

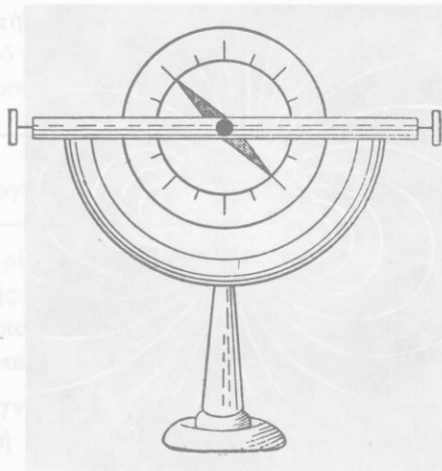


Σχ. 21. Μαγνητική έγκλιση ( $\epsilon$ ).

Αυτή χαρακτηρίζεται ως **θετική** ή **αρνητική**, όταν αντίστοιχα ο βόρειος πόλος της βελόνης βρίσκεται κάτω ή πάνω από το οριζόντιο επίπεδο. Σ' ολόκληρο τό βόρειο ήμισφαιριο της Γης η έγκλιση είναι θετική, ενώ στο νότιο ήμισφαιριο είναι αρνητική. Ωστε:

**Μαγνητική έγκλιση** ενός τόπου ονομάζεται η γωνία που σχηματίζει σ' αυτό τον τόπο ο κατά μήκος άξονας της μαγνητικής βελόνης με το οριζόντιο επίπεδο, όταν η βελόνη στρέφεται πάνω στο επίπεδο του μαγνητικού μεσημβριού γύρω από οριζόντιο άξονα.

Με τη συσκευή που δείχνει τό σχήμα 22 βρίσκουμε εύκολα την



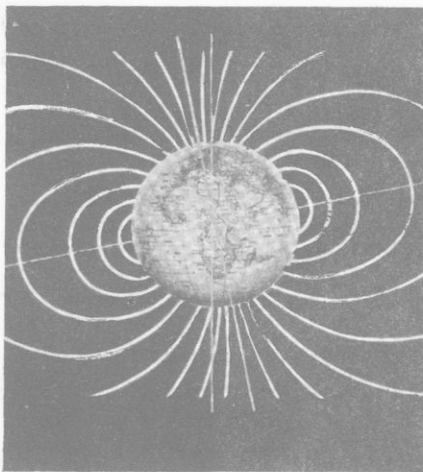
Σχ. 22. Διάταξη για τή μέτρηση τής μαγνητικής έγκλίσεως και άποκλίσεως (ό γωνιομετρικός κύκλος όριζόντιος).

άπόκλιση καί τήν έγκλιση σ' έναν τόπο, όταν ό γωνιομετρικός κύκλος εΐναι άντίστοιχα όριζόντιος ή κατακόρυφος.

## 18. Γήινο μαγνητικό πεδίο

Σέ κάθε τόπο ή μαγνητική βελόνη άποκλίσεως ίσορροπεΐ έτσι, ώστε ό κατά μήκος άξονάς της νά έχει όρισμένη διεύθυνση. Αυτό τό φαινόμενο δείχνει ότι γύρω άπό τή Γή υπάρχει μαγνητικό πεδίο, πού ονομάζεται **γήινο μαγνητικό πεδίο**. Η διεύθυνση τής μαγνητικής βελόνης έγκλίσεως εΐναι ή διεύθυνση μιās δυναμικής γραμμής του γήινου μαγνητικού πεδίου. Σέ έναν τόπο οί δυναμικές γραμμές του μαγνητικού πεδίου τής Γής εΐναι σχεδόν ευθείες παράλληλες, δηλαδή τό μαγνητικό πεδίο εΐναι όμογενές.

Στόν ίσημερινό ή έγκλιση εΐναι σχεδόν ίση μέ μηδέν ( $\epsilon = 0^\circ$ ), καί ή μαγνητική βελόνη έγκλίσεως εΐναι σχεδόν όριζόντια. Όσο όμως προχωρούμε προς βορρά ή έγκλιση συνεχώς αυξάνει καί σε μιά περιοχή κοντά στο βόρειο πόλο τής Γής ή έγκλιση γίνεται ίση μέ  $90^\circ$  ( $\epsilon = 90^\circ$ ), δηλαδή εκεί ή μαγνητική βελόνη έγκλίσεως εΐναι κατακόρυφη έχοντας τό βόρειο πόλο της προς τά κάτω. Τό ίδιο συμβαίνει καί σε μιά περιοχή κοντά στο νότιο πόλο τής Γής, αλλά εκεί ή κατακόρυφη βελόνη έχει προς τά κάτω τό νότιο πόλο της. Αυτές οί δύο περιοχές τής Γής εΐναι οί δύο **μαγνητικοί πόλοι** τής Γής. Οί

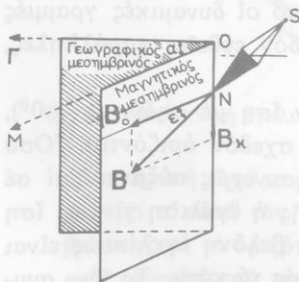


Σχ. 23. Σχηματική παράσταση του γήινου μαγνητικού πεδίου.

δυναμικές γραμμές του γήινου μαγνητικού πεδίου της Γης βγαίνουν από το γήινο μαγνητικό πόλο, που βρίσκεται στο νότιο ημισφαίριο και ο οποίος από μαγνητική άποψη είναι βόρειος μαγνητικός πόλος. Οι δυναμικές γραμμές διαγράφουν στο χώρο μεγάλες καμπύλες γραμμές και καταλήγουν στο γήινο μαγνητικό πόλο που βρίσκεται στο βόρειο ημισφαίριο (σχ. 23). Έτσι ο πλανήτης μας συμπεριφέρεται ως μαγνητικό δίπολο, που ο άξονάς του (γεωμαγνητικός άξονας) σχηματίζει με το γεωγραφικό ά-

ξονα της Γης γωνία περίπου ίση με  $12^\circ$ .

Τά τελευταία χρόνια μελετάμε το γήινο μαγνητικό πεδίο σε μεγάλη ύψη με αεροπλάνα, πυραύλους και τεχνητούς δορυφόρους. Δέν ξέρουμε ακόμη με ακρίβεια σε ποιά αιτία οφείλεται το γήινο μαγνητικό πεδίο. Ή πιο πιθανή αιτία φαίνεται ότι είναι ηλεκτρικά ρεύματα, που κυκλοφορούν στο έσωτερικό της Γης ή και στην ατμόσφαιρα.



Σχ. 24. Οι δύο συνιστώσες  $B_0$  και  $B_x$  της μαγνητικής έπαγωγής  $B$  του γήινου μαγνητικού πεδίου.

## 19. Μαγνητικά στοιχεία ενός τόπου

Στό σχήμα 24 φαίνονται τά επίπεδα του γεωγραφικού μεσημβρινού (Γ) και του μαγνητικού μεσημβρινού (Μ) ενός τόπου. Σ' αυτό τον τόπο αντιστοιχεί ορισμένη μαγνητική απόκλιση (α) και ορισμένη μαγνητική έγκλιση (ε). Ή μαγνητική έπαγωγή του γήινου μαγνητικού πεδίου σ' αυτό τον τόπο είναι τό άνυσμα  $B$ , που έχει τή διεύθυνση της μαγνητικής βελόνης έγκλίσεως και ά-



ναλύεται σε δύο συνιστώσες, την *οριζόντια συνιστώσα*  $B_0$  και την *κατακόρυφη συνιστώσα*  $B_K$ . Από το σχηματιζόμενο ορθογώνιο τρίγωνο βρίσκουμε ότι η συνιστώσα  $B_0$  έχει μέτρο:

οριζόντια συνιστώσα της μαγνητικής επαγωγής	$B_0 = B \cdot \sin \varepsilon$
--	----------------------------------

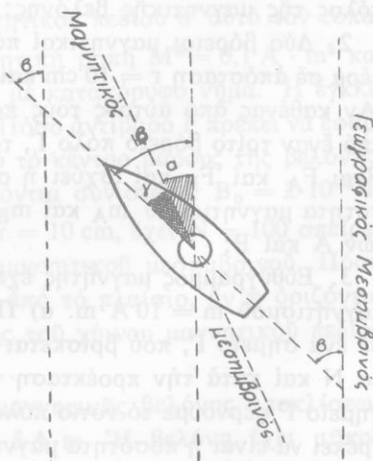
Τά μεγέθη  $B_0$  και  $\varepsilon$  προσδιορίζονται πειραματικώς και έτσι βρίσκουμε την τιμή της μαγνητικής επαγωγής  $B$  σε έναν τόπο. Η οριζόντια συνιστώσα  $B_0$  είναι περίπου ίση με  $B_0 = 2 \cdot 10^{-5} \text{ T}$ . Από τη μελέτη του γήινου μαγνητικού πεδίου συνάγεται ότι:

**Τά στοιχεία του γήινου μαγνητικού πεδίου σε έναν τόπο είναι η μαγνητική απόκλιση ( $\alpha$ ), η μαγνητική εγκλιση ( $\varepsilon$ ) και η μαγνητική επαγωγή ( $B$ ).**

*Μεταβολές τῶν μαγνητικῶν στοιχείων ἑνός τόπου.* Τά μαγνητικά στοιχεία ἑνός τόπου παρουσιάζουν κανονικές ἡμερήσιες καί ἐτήσιες μεταβολές. Ἀλλά πολλές φορές τά μαγνητικά στοιχεία παρουσιάζουν ἀπότομες μεταβολές, πού ὀνομάζονται *μαγνητικές θύελλες* καί συνοδεύουν ὀρισμένα φαινόμενα, ὅπως εἶναι οἱ σεισμοί, τό πολικό σέλας, οἱ κηλίδες τοῦ Ἡλίου.

## 20. Μαγνητική Πυξίδα

Ἐφαρμογή τοῦ γήινου μαγνητικοῦ πεδίου ἔχουμε στήν *πυξίδα*, πού τή χρησιμοποιοῦμε γιά νά προσανατολιζόμαστε πάνω στό ὀριζόντιο ἐπίπεδο. Ἡ πυξίδα εἶναι μαγνητική βελόνη ἀποκλίσεως καί ὁ κατά μήκος ἀξονάς της (SN) δείχνει τή διεύθυνση τοῦ *μαγνητικοῦ μεσημβρινοῦ*. Ἄν εἶναι γνωστή ἡ μαγνητική ἀπόκλιση ( $\alpha$ ), τότε εὐκολά βρίσκουμε τή διεύθυνση τοῦ *γεωγραφικοῦ μεσημβρινοῦ* (σχ. 25).



Σχ. 25. Ἡ χρήση τῆς πυξίδας στή ναυσιπλοΐα.

Ἡ ναυτική πυξίδα ἀποτελεῖται ἀπὸ σύστημα εὐθύγραμμων μαγνητῶν καὶ πάνω τους εἶναι στερεωμένος ὀριζόντιος δίσκος πού δείχνει τὰ σημεῖα τοῦ ὀρίζοντα. Τό σύστημα τῶν εὐθύγραμμων μαγνητῶν ἀντιστοιχεῖ μέ ἕνα μαγνήτη, πού στρέφεται γύρω ἀπό κατακόρυφο ἄξονα στερεωμένο σέ δοχεῖο. Αὐτό εἶναι στερεωμένο ἔτσι, ὥστε ὁ ἄξονας περιστροφῆς τοῦ μαγνήτη νά εἶναι πάντοτε κατακόρυφος καί νά μή ἐπηρεάζεται ἀπό τούς κλυδωνισμούς τοῦ σκάφους. Στό ἐσωτερικό τοῦ δοχείου εἶναι χαραγμένη μικρή εὐθεῖα (γραμμὴ πίστωσης) πού δείχνει τή διεύθυνση τοῦ κατά μήκος ἄξονα τοῦ πλοίου. Ὅταν ὁ πλοίαρχος ξέρει τή μαγνητική ἀπόκλιση  $\alpha$  καί τή γωνία  $\beta$  πού πρέπει νά σχηματίζει ὁ ἄξονας τοῦ πλοίου μέ τό γεωγραφικό μεσημβρινό, βρίσκει ἀμέσως τή γωνία  $\gamma$  πού πρέπει νά σχηματίζει ὁ ἄξονας τοῦ πλοίου μέ τό μαγνητικό μεσημβρινό (σχ. 25).

## ΠΡΟΒΛΗΜΑΤΑ

1. Ὁ βόρειος πόλος  $N$  ἑνός μαγνήτη ἔχει ποσότητα μαγνητισμοῦ  $m = 10 \text{ A} \cdot \text{m}$  καί ἔλκει τό νότιο πόλο  $S_1$  μιᾶς μαγνητικῆς βελόνης μέ δύναμη  $F = 0,01 \text{ N}$ , ὅταν ἡ ἀπόσταση αὐτῶν τῶν δύο πόλων εἶναι  $r = 1,5 \text{ cm}$ . Πόση ποσότητα μαγνητισμοῦ  $m_1$  ἔχει κάθε πόλος τῆς μαγνητικῆς βελόνης;

2. Δύο βόρειοι μαγνητικοὶ πόλοι  $A$  καί  $B$  βρίσκονται μέσα στόν ἀέρα σέ ἀπόσταση  $r = 10 \text{ cm}$  καί ἀπωθοῦνται μέ δύναμη  $F = 0,204 \text{ N}$ . Ἄν καθένας ἀπό αὐτούς τούς πόλους βρεθεῖ στήν ἴδια ἀπόσταση  $r$  ἀπό ἕναν τρίτο βόρειο πόλο  $\Gamma$ , τόν ἀπωθεῖ μέ δύναμη πού ἀντίστοιχα εἶναι  $F_A$  καί  $F_B$  καί ἰσχύει ἡ σχέση  $F_A = 2F_B$ . Πόση εἶναι ἡ ποσότητα μαγνητισμοῦ  $m_A$  καί  $m_B$  τοῦ βόρειου πόλου τῶν δύο μαγνητῶν  $A$  καί  $B$ ;

3. Εὐθύγραμμος μαγνήτης ἔχει στό βόρειο πόλο του  $N$  ποσότητα μαγνητισμοῦ  $m = 10 \text{ A} \cdot \text{m}$ . α) Πόση εἶναι ἡ μαγνητική ἐπαγωγή  $B$  σέ ἕνα σημεῖο  $\Gamma$ , πού βρίσκεται σέ ἀπόσταση  $r = 5 \text{ cm}$  ἀπό τόν πόλο  $N$  καί κατά τήν προέκταση τοῦ ἄξονα  $SN$  τοῦ μαγνήτη; β) Στό σημεῖο  $\Gamma$  φέρνουμε τό νότιο πόλο  $S'$  μιᾶς μαγνητικῆς βελόνης. Πόση πρέπει νά εἶναι ἡ ποσότητα μαγνητισμοῦ  $m'$  τοῦ πόλου  $S'$ , ἄν θέλουμε νά ἐνεργεῖ σ' αὐτό τόν πόλο ἕλξη ἐξαιτίας τοῦ πόλου  $N$  τοῦ μαγνήτη ἴση μέ  $F = 10^{-4} \text{ N}$ ;

4. Εὐθύγραμμος μαγνήτης ἔχει μήκος  $l = 8 \text{ cm}$  καὶ κάθε πόλος του ἔχει ποσότητα μαγνητισμοῦ  $|m| = 40 \text{ A}\cdot\text{m}$ . Πόση εἶναι ἡ μαγνητικὴ ἐπαγωγὴ  $B$  σὲ ἓνα σημεῖο  $A$ , πού βρίσκεται πάνω στὴν κάθετη στὴ μέση  $O$  τοῦ μαγνήτη καὶ σὲ ἀπόσταση  $r = 3 \text{ cm}$  ἀπὸ τὸ  $O$ ;

5. Εὐθύγραμμος μαγνήτης ἔχει μήκος  $l = 20 \text{ cm}$  καὶ κάθε πόλος του ἔχει ποσότητα μαγνητισμοῦ  $|m| = 10 \text{ A}\cdot\text{m}$ . Μὲ διάμετρο τὸ μήκος  $l$  τοῦ μαγνήτη γράφουμε ἡμιπερίφεια κύκλου. Πόση εἶναι ἡ μαγνητικὴ ἐπαγωγὴ  $B$  σὲ ἓνα σημεῖο  $M$  τῆς περιφέρειας, πού ἀπέχει  $r = 10 \text{ cm}$  ἀπὸ τὸ βόρειο πόλο  $N$  τοῦ μαγνήτη; Πόση εἶναι στὸ σημεῖο  $M$  ἡ ἔνταση  $H$  τοῦ μαγνητικοῦ πεδίου;

6. Μικρὴ μαγνητικὴ βελὸν ἔχει μαγνητικὴ ροπή  $M^* = 0,005 \text{ A}\cdot\text{m}^2$  καὶ κρέμεται ἀπὸ τὸ κέντρο βάρους τῆς μὲ κατακόρυφο νῆμα. Ἡ βελὸν βρίσκεται μέσα σὲ ὁμογενές μαγνητικὸ πεδίο, πού ἔχει μαγνητικὴ ἐπαγωγὴ  $B$  καὶ γιὰ νὰ διατηρήσουμε τὴ μαγνητικὴ βελὸν κάθετη στὶς δυναμικὲς γραμμὲς τοῦ πεδίου, ἐφαρμόζουμε ζευγὸς δυνάμεων, πού ἔχει ροπή  $M = 2 \cdot 10^{-5} \text{ N}\cdot\text{m}$ . Πόση εἶναι ἡ μαγνητικὴ ἐπαγωγὴ  $B$  τοῦ πεδίου;

7. Σὲ ἓναν τόπο ἡ ἔγκλιση εἶναι  $\varepsilon = +60^\circ$  καὶ ἡ ὀριζόντια συνιστώσα τῆς μαγνητικῆς ἐπαγωγῆς τοῦ γήινου μαγνητικοῦ πεδίου εἶναι  $B_0 = 2 \cdot 10^{-5} \text{ T}$ . Πόση εἶναι ἡ κατακόρυφη συνιστώσα  $B_k$  καὶ ἡ μαγνητικὴ ἐπαγωγὴ  $B$  τοῦ γήινου μαγνητικοῦ πεδίου σ' αὐτὸ τὸν τόπο;

8. Μαγνητικὴ βελὸν ἔχει μαγνητικὴ ροπή  $M^* = 0,1 \text{ A}\cdot\text{m}^2$  καὶ κρέμεται ἀπὸ τὸ κέντρο βάρους τῆς μὲ κατακόρυφο νῆμα. Ἡ ἔγκλιση σ' αὐτὸ τὸν τόπο εἶναι  $\varepsilon = +60^\circ$ . Πόσο ἀντίβαρο  $F$  πρέπει νὰ ἐφαρμόσουμε σὲ ἀπόσταση  $a = 2 \text{ cm}$  ἀπὸ τὸ κέντρο βάρους τῆς βελὸνης, γιὰ νὰ διατηρεῖται ὀριζόντια; Ὄριζόντια συνιστώσα  $B_0 = 2 \cdot 10^{-5} \text{ T}$ .

9. Κυκλικὸ πλαίσιο ἔχει ἀκτίνα  $r = 10 \text{ cm}$ , ἔχει  $N = 100$  σπεῖρες καὶ εἶναι κάθετο στὸ ἐπίπεδο τοῦ μαγνητικοῦ μεσημβρινοῦ. Πόση εἶναι ἡ μαγνητικὴ ροή πού περνάει ἀπὸ τὸ πλαίσιο, ἂν ἡ ὀριζόντια συνιστώσα τῆς μαγνητικῆς ἐπαγωγῆς τοῦ γήινου μαγνητικοῦ πεδίου εἶναι  $B_0 = 2 \cdot 10^{-5} \text{ T}$ ;

10. Ὁ κάθε πόλος μιᾶς μικρῆς μαγνητικῆς βελὸνης ἀποκλίσεως ἔχει ποσότητα μαγνητισμοῦ  $|m| = 5 \text{ A}\cdot\text{m}$ . Ἡ βελὸν ἔχει μήκος  $l = 10 \text{ cm}$  καὶ ἡ ὀριζόντια συνιστώσα τῆς μαγνητικῆς ἐπαγωγῆς τοῦ γήινου μαγνητικοῦ πεδίου εἶναι  $B_0 = 2 \cdot 10^{-5} \text{ T}$ . Πόσο ἔργο ζοδεύου-

με, όταν απομακρύνουμε τη βελόνη κατά  $60^\circ$  από τη θέση της ισορροπίας της;

14. Ευθύγραμμος μαγνήτης NS έχει μήκος  $l = 20$  cm και στηρίζεται κατακόρυφα πάνω σε οριζόντιο επίπεδο με τό βόρειο πόλο του N. Με μιά μικρή μαγνητική βελόνη αποκλίσεως βρίσκουμε ότι σε ένα σημείο A του οριζόντιου επιπέδου δέν υπάρχει οριζόντια συνιστώσα του μαγνητικού πεδίου. Τό σημείο A απέχει 15 cm από τό σημείο στηρίξεως N. Ή οριζόντια συνιστώσα της μαγνητικής επαγωγής του γήινου μαγνητικού πεδίου είναι  $B_0 = 2 \cdot 10^{-5}$  T. Πόση είναι ή μαγνητική ροπή του μαγνήτη;

\*12. Δύο βόρειοι μαγνητικοί πόλοι A και B, πού ό καθένας έχει ποσότητα μαγνητισμού  $m = 80$  HMM βρίσκονται σε απόσταση μεταξύ τους  $r = 5$  cm. Μέ πόση δύναμη απωθούνται; Πόση είναι ή ένταση H του μαγνητικού πεδίου σε απόσταση  $r_1 = 2$  cm από έναν πόλο Γ, πού έχει ποσότητα μαγνητισμού  $m = 300$  HMM;

\*13. Μέ πόσες μονάδες HMM ποσότητας μαγνητισμού ισοδυναμεί ή μονάδα ποσότητας μαγνητισμού MKSA, δηλαδή τό  $1 \text{ A} \cdot \text{m}$ ; Πόση είναι ή ένταση του μαγνητικού πεδίου σε απόσταση  $r = 4$  cm από ένα βόρειο πόλο, πού έχει τήν παραπάνω ποσότητα μαγνητισμού;

\*14. Ευθύγραμμος μαγνήτης έχει μήκος  $l = 5$  cm και κάθε πόλος του έχει ποσότητα μαγνητισμού  $m = 60$  HMM. α) Πόση είναι ή μαγνητική ροπή του μαγνήτη; β) Ήν ένα όμογενές μαγνητικό πεδίο έχει ένταση  $H = 200$  Oe, πόση μαγνητική ροή  $\Phi$  περνάει από μία επιφάνεια πού είναι κάθετη στις δυναμικές γραμμές και έχει έμβαδό  $S = 20$  cm<sup>2</sup>;

# Ἡλεκτρισμός

## Στατικός ἠλεκτρισμός

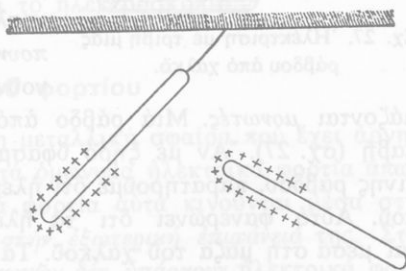
### ΗΛΕΚΤΡΙΚΟ ΦΟΡΤΙΟ

#### 21. Θεμελιώδη φαινόμενα

Ἐξί αἰῶνες π.Χ. ὁ Θαλής ὁ Μιλήσιος ἀνακάλυψε ὅτι τὸ ἤλεκτρο (κεχριμπάρι), ὅταν τρίβεται μὲ μάλλινο ὕφασμα, ἀποκτᾷ τὴν ιδιότητα νὰ ἔλκει ἐλαφρά σώματα (π.χ. τρίχες, κομματάκια χαρτί, μικρά φτερά). Αὐτὴ ἡ ιδιότητα ποῦ ἔχει τὸ ἤλεκτρο ὀνομάστηκε **ἠλεκτρισμός**. Πειραματικῶς βρέθηκε ὅτι αὐτὴ τὴν ιδιότητα τὴν ἔχουν καὶ πολλὰ ἄλλα σώματα (γυαλί, ἐβονίτης, θεῖο κ.ἄ.).

Ἡλεκτρίζουμε μὲ τριβὴ δύο γυάλινες ράβδους καὶ κρεμάμε τὴ μιά μὲ νῆμα ἀπὸ μετάξι (σχ. 26). Ἄν στὴ ράβδο ποῦ κρέμεται πλησιάσουμε τὴν ἄλλη ράβδο, παρατηροῦμε ὅτι μεταξύ τῶν δύο ράβδων ἀναπτύσσεται ἀμοιβαία ἄπωση. Τὸ ἴδιο παρατηροῦμε καὶ μὲ δύο ἠλεκτρισμένες ράβδους ἐβονίτη. Ἄν ὅμως στὴν ἠλεκτρισμένη γυάλινη ράβδο πλησιάσουμε τὴν ἠλεκτρισμένη ράβδο ἐβονίτη, παρατηροῦμε ὅτι μεταξύ τῶν δύο ράβδων ἀναπτύσσεται ἀμοιβαία ἔλξη. Ὅταν ἓνα σῶμα εἶναι ἠλεκτρισμένο, λέμε ὅτι ἔχει πάνω του **ἠλεκτρικό φορτίο**.

Ἀπὸ τὰ παραπάνω ἀπλά πειράματα διαπιστώνουμε ὅτι ὑπάρχουν δύο εἶδη ἠλεκτρικοῦ φορτίου, ἐκεῖνο ποῦ ἀναπτύσσεται στὸ γυαλί καὶ λέγεται **θετικό ἠλεκτρικό φορτίο** καὶ ἐκεῖνο ποῦ ἀναπτύσσεται στὸν ἐβονίτη καὶ λέγεται **ἀρνητικό ἠλεκτρικό φορτίο**.



Σχ. 26. Ἄπωση ὁμώνυμων ἠλεκτρικῶν φορτίων.

Επίσης από τὰ παραπάνω ἀπλά πειράματα καταλήγουμε στοῦ ἐξῆς συμπέρασμα:

**Τὰ ὁμόνυμα ἠλεκτρικά φορτία ἀπωθοῦνται, ἐνῶ τὰ ἐτερόνυμα ἔλκονται.**

## 22. Μονωτές, ἀγωγοί, ἡμιαγωγοί

Ὅταν ἠλεκτρίσουμε μέ τριβή μιὰ ράβδο ἀπὸ γυαλί ἢ ἐβονίτη, παρατηροῦμε ὅτι τὰ ἐλαφρά σώματα κολλᾶνε μόνο στοῦ μέρος τῆς ράβδου πού τρίψαμε. Ἐπομένως μόνο σ' αὐτό τὸ μέρος τῆς ράβδου ὑπάρχει ἠλεκτρικό φορτίο, πού δέν μετακινεῖται πρὸς τὰ ὑπόλοιπα τμήματα τῆς ράβδου. Τὰ ὑλικά, ὅπως τὸ γυαλί καὶ ὁ ἐβονίτης, πού δέν ἐπιτρέπουν στά ἠλεκτρικά φορτία νά κινουῦνται μέσα στή μάζα τους, ὀνο-



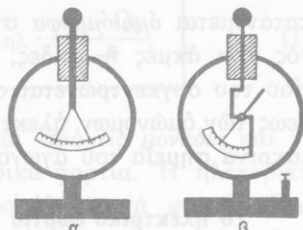
Σχ. 27. Ἠλέκτριση μέ τριβή μιᾶς ράβδου ἀπὸ χαλκοῦ.

μάζονται *μονωτές*. Μιὰ ράβδο ἀπὸ χαλκοῦ τὴν κρατᾶμε μέ γυάλινη λαβή (σχ. 27). Ἄν μέ ξηρό ὕφασμα τρίψουμε ἓνα τμήμα τῆς χάλκινης ράβδου, παρατηροῦμε ὅτι ἠλεκτρίζεται ὅλη ἡ ράβδος τοῦ χαλκοῦ. Αὐτὸ φανερώνει ὅτι τὰ ἠλεκτρικά φορτία εὐκόλα κινουῦνται μέσα στή μάζα τοῦ χαλκοῦ. Τὰ ὑλικά, ὅπως ὁ χαλκός, πού ἐπιτρέπουν στά ἠλεκτρικά φορτία νά κινουῦνται μέσα στή μάζα τους, ὀνομάζονται *ἀγωγοί*. Τέτοια ὑλικά εἶναι τὰ μέταλλα, τὰ ὕδατικά διαλύματα τῶν ὀξέων, τῶν βάσεων, τῶν ἀλάτων, τὸ σῶμα τῶν ζώων, τὸ ὑγρὸ ἔδαφος. Σέ μερικά ὑλικά, ὅπως π.χ. τὸ πυρίτιο καὶ τὸ γερμάνιο, ἡ ἠλεκτρικὴ συμπεριφορὰ τους εἶναι ἐνδιάμεση μεταξὺ τῶν ἀγωγῶν καὶ τῶν μονωτῶν καὶ γι' αὐτὸ τὰ ὑλικά αὐτὰ ὀνομάζονται *ἡμιαγωγοί*.

## 23. Ἠλεκτροσκόπιο

Τὸ ἠλεκτροσκόπιο εἶναι ἓνα ἀπλό, ἀλλὰ πολὺ χρήσιμο ὄργανο. Ἀποτελεῖται ἀπὸ μεταλλικὴ ράβδο πού στή μιὰ ἄκρη τῆς ἔχει μεταλλικὴ σφαῖρα ἢ δίσκο καὶ στήν ἄλλη ἄκρη τῆς εἶναι κολλημένες δύο

στενόμακρες ταινίες από άλουμίνιο (σχ. 28α). Η ράβδος είναι στερεωμένη σε γυάλιγο ή μεταλλικό δοχείο με λαιμό από ένα μονωτικό ύλικό. Αν στή σφαίρα του ηλεκτροσκοπίου άκουμπήσουμε ένα ηλεκτρισμένο σώμα (π.χ. γυάλινη ράβδος), παρατηρούμε ότι η ράβδος *ήλεκτριζεται με έπαφή* και οι ταινίες του άλουμινίου άπωθοούνται, γιατί έχουν όμώ-  
 νυμα ηλεκτρικά φορτία. Τό ηλεκτροσκόπιο έκφορτίζεται, αν στή σφαίρα του ηλεκτροσκοπίου άκουμπήσουμε τό χέρι μας. Αντί για ταινίες από άλουμίνιο τό ηλεκτροσκόπιο μπορεί νά έχει ένα λεπτό μεταλλικό δείκτη πού άπωθεείται από τήν όμώνυμα ηλεκτρισμένη ράβδο του όργάνου (σχ. 28β). Η άπόκλιση του δείκτη είναι άνάλογη μέ τό ηλεκτρικό φορτίο πού έχει τό ηλεκτροσκόπιο.



Σχ. 28. Ήλεκτροσκόπιο.

## 24. Κατανομή του ηλεκτρικού φορτίου

Ας θεωρήσουμε μιά μονωμένη μεταλλική σφαίρα πού έχει άρνη-  
 τικό ηλεκτρικό φορτίο. Ήπειδή τά όμώνυμα ηλεκτρικά φορτία άπω-  
 θοούνται μεταξύ τους, γι' αυτό τά φορτία αυτά κινοούνται μέσα στή  
 μάζα τής σφαίρας και έρχονται στήν *έξωτερική επιφάνειά* της. Στο  
 έσωτερικό των ηλεκτρισμένων άγωγών *δέν υπάρχουν* ηλεκτρικά φορ-  
 τία. Αυτό τό διαπιστώνουμε πειραματικώς μέ ένα κοίλο ηλεκτρισμένο  
 άγωγό, πού είναι μονωμένος (σχ. 29). Στήν άκρη γυάλινης ράβδου  
 είναι στερεωμένο ένα μεταλλικό σφαιρίδιο (τό  
 λέμε δοκιμαστικό σφαιρίδιο). Όταν τό ουδέτερο  
 σφαιρίδιο έρθει σέ έπαφή μέ τήν έξωτερική επι-  
 φάνεια του άγωγού, τό σφαιρίδιο παίρνει από  
 τόν άγωγό λίγο ηλεκτρικό φορτίο (ήλέκτριση μέ  
 έπαφή). Μέ τό ηλεκτροσκόπιο βλέπουμε ότι τό  
 σφαιρίδιο είναι ηλεκτρισμένο. Αντίθετα τό σφαι-  
 ρίδιο δέν παίρνει καθόλου ηλεκτρικό φορτίο,  
 όταν έρχεται σέ έπαφή μέ τήν έσωτερική επι-  
 φάνεια του κοίλου άγωγού.



Σχ. 29. Κατανομή του φορτίου σέ άγωγό.

Σέ ένα σφαιρικό άγωγό τό ηλεκτρικό φορτίο

κατανέμεται *ομοιόμορφα* στην εξωτερική επιφάνειά του. "Αν ο άγωγός έχει άκμές ή άκίδες, τότε μεγάλο μέρος του ηλεκτρικού φορτίου του συγκεντρώνεται σ' αυτά τά σημεία, γιατί εξαιτίας τής άπώσεως τών *ομώνυμων* ηλεκτρικών φορτίων, αυτά καταφεύγουν στά *πιο μακρινά* σημεία του άγωγού. "Ωστε:

Τό ηλεκτρικό φορτίο *ύπάρχει πάντοτε στην εξωτερική επιφάνεια τών άγωγών* και κατανέμεται *ομοιόμορφα μόνο στους σφαιρικούς άγωγούς*.

## 25. Συστήματα μονάδων στόν 'Ηλεκτρισμό

"Όπως στό Μαγνητισμό έτσι και στόν 'Ηλεκτρισμό χρησιμοποιούμε γενικά τό *σύστημα MKSA* πού, όπως είδαμε, (§ 5) είναι ένα τμήμα του διεθνούς συστήματος (SI). Τό σύστημα CGS *έπεκτείνεται* και στόν 'Ηλεκτρισμό και σ' αυτή τήν περίπτωση *άποτελεί τό ηλεκτροστατικό σύστημα μονάδων (σύστημα ΗΣΜ)*. Τά δύο συστήματα μονάδων, τό *ηλεκτρομαγνητικό σύστημα (ΗΜΜ)* και τό *ηλεκτροστατικό σύστημα (ΗΣΜ)* *άνήκουν στό άπόλυτο σύστημα μονάδων CGS*. Θά *έξετάσουμε* τά ηλεκτρικά φαινόμενα χρησιμοποιώντας τό σύστημα MKSA και για νά μή προκληθεί καμιά σύγχυση θά δοϋμε σέ μία *ιδιαίτερη παράγραφο (§ 44)* πώς εφαρμόζουμε τό ηλεκτροστατικό σύστημα (ΗΣΜ) στά ηλεκτροστατικά φαινόμενα.

## 26. Νόμος του Coulomb

Δύο ηλεκτρικά φορτία  $Q_1$  και  $Q_2$ , πού τά θεωρούμε ως σημεία, βρίσκονται στό κενό (ή στόν *άέρα*) και ή μεταξύ τους *άπόσταση* είναι  $r$ . Σ' αυτή τήν περίπτωση βρίσκουμε *ότι ή δύναμη (έλξη ή άπωση)* πού *άναπτύσσεται* μεταξύ αυτών τών δύο ηλεκτρικών φορτίων *δίνεται* από τόν *άκόλουθο νόμο του Coulomb*:

"Η *έλξη ή ή άπωση (F)* πού *άναπτύσσεται* μεταξύ δύο σημειακών ηλεκτρικών φορτίων ( $Q_1$  και  $Q_2$ ) είναι *άνάλογη* μέ τό *γινόμενο τών ηλεκτρικών φορτίων* και *άντιστρόφως ανάλογη* μέ τό *τετράγωνο τής άποστάσεώς τους (r)*.



$$\text{νόμος του Coulomb} \quad F = K_{\eta\lambda} \cdot \frac{Q_1 \cdot Q_2}{r^2} \quad (1)$$

όπου  $K_{\eta\lambda}$  είναι μία σταθερή, που εξαρτάται από τις μονάδες και το μέσο που υπάρχει γύρω από τα δύο ηλεκτρικά φορτία. Η ηλεκτρική δύναμη  $F$  είναι θετική (άπωση), αν τα δύο ηλεκτρικά φορτία είναι ομώνυμα, και αρνητική (έλξη), αν τα δύο ηλεκτρικά φορτία είναι ετερόνυμα.

α. Ο νόμος του Coulomb στο σύστημα μονάδων MKSA. Η μονάδα ηλεκτροικού φορτίου στο σύστημα MKSA ονομάζεται *Coulomb* (1 Cb) και, όπως θα δούμε σε άλλο κεφάλαιο, η μονάδα αυτή σε συνάρτηση με τις θεμελιώδεις μονάδες είναι

$$1 \text{ Coulomb (1 Cb)} = 1 \text{ Ampère} \cdot 1 \text{ sec} \quad \text{ή} \quad 1 \text{ Cb} = 1 \text{ A} \cdot \text{sec}$$

Όταν τα δύο ηλεκτρικά φορτία  $Q_1$  και  $Q_2$  βρίσκονται στο κενό (ή στον αέρα), τότε ορίστηκε (\*), ότι η ηλεκτρική σταθερή  $K_{\eta\lambda}$  έχει την τιμή:

$$\text{ηλεκτρική σταθερή του Coulomb} \quad K_{\eta\lambda} = 9 \cdot 10^9 \frac{\text{N} \cdot \text{m}^2}{\text{Cb}^2}$$

Όστε στο σύστημα MKSA ο νόμος του Coulomb για το κενό (ή τον αέρα) δίνεται από την εξίσωση:

$$\text{νόμος του Coulomb} \quad F = 9 \cdot 10^9 \cdot \frac{Q_1 \cdot Q_2}{r^2} \quad \left\{ \begin{array}{l} 9 \cdot 10^9 \text{ N} \cdot \text{m}^2 / \text{Cb}^2 \\ Q_1, Q_2 \text{ σε Cb} \\ r \text{ σε m} \\ F \text{ σε N} \end{array} \right.$$

(\*). Ορίστηκε ότι η ηλεκτρική σταθερή  $K_{\eta\lambda}$  θα έχει την τιμή:

$$\text{ηλεκτρική σταθερή} \quad K_{\eta\lambda} = K_{\mu\alpha\gamma\nu} \cdot c^2$$

όπου  $c$  είναι η ταχύτητα του φωτός στο κενό ( $c = 3 \cdot 10^8 \text{ m/sec}$ ). Άρα είναι:

$$K_{\eta\lambda} = 10^{-7} \frac{\text{N}}{\text{A}^2} \cdot 9 \cdot 10^{16} \frac{\text{m}^2}{\text{sec}^2} \quad \text{ή} \quad K_{\eta\lambda} = 9 \cdot 10^9 \frac{\text{N} \cdot \text{m}^2}{\text{A}^2 \cdot \text{sec}^2} \quad \text{ή} \quad \frac{\text{N} \cdot \text{m}^2}{\text{Cb}^2}$$

*Ἡλεκτροστατικός ὀρισμός τῆς μονάδας ἠλεκτρικοῦ φορτίου.* Ἄν στήν τελευταία ἐξίσωση βάλουμε  $Q_1 = Q_2 = 1 \text{ Coulomb}$  καί  $r = 1 \text{ m}$ , βρίσκουμε:

$$F = 9 \cdot 10^9 \frac{\text{N} \cdot \text{m}^2}{\text{Cb}^2} \cdot \frac{(1 \text{ Cb})^2}{(1 \text{ m})^2} \quad \text{ἄρα } F = 9 \cdot 10^9 \text{ N}$$

Ἔτσι ἔχουμε τόν ἀκόλουθο ὀρισμό:

**1 Coulomb (1 Cb) εἶναι τό ἠλεκτρικό φορτίο τό ὁποῖο, ὅταν βρισκεται μέσα στό κενό σέ ἀπόσταση ἑνός μέτρου (1 m) ἀπό ἴσο ἠλεκτρικό φορτίο, ἐξασκεῖ σ' αὐτό δύναμη (F) ἴση μέ  $9 \cdot 10^9 \text{ N}$ .**

*Παρατήρηση.* Ἀπό τόν ὀρισμό τῆς μονάδας 1 Cb βλέπουμε ὅτι ἡ ἐλξη ἢ ἡ ἀπωση πού ἀναπτύσσεται μεταξύ τῶν δύο ἴσων ἠλεκτρικῶν φορτίων εἶναι μιά πάρα πολύ μεγάλη δύναμη, ἴση μέ 900 000 000 kp. Γενικά οἱ ἠλεκτρικές δυνάμεις εἶναι πολύ μεγάλες.

## ΠΡΟΒΛΗΜΑΤΑ

15. Δύο σημειακά θετικά φορτία ἴσα βρίσκονται μέσα στὸν ἀέρα σέ ἀπόσταση  $r = 10 \text{ cm}$  τό ἓνα ἀπό τό ἄλλο καί ἐξασκοῦν ἀμοιβαία ἄπωση  $F = 400 \text{ N}$ . Πόσο εἶναι κάθε φορτίο;

16. Δύο σημειακά θετικά φορτία  $Q_1 = 3 \text{ mCb}$  καί  $Q_2 = 0,4 \text{ mCb}$  βρίσκονται μέσα στὸν ἀέρα σέ ἀπόσταση  $r$  τό ἓνα ἀπό τό ἄλλο καί ἀπαθοῦνται μέ δύναμη  $F = 3 \cdot 10^4 \text{ N}$ . Πόση εἶναι ἡ ἀπόσταση  $r$ ;

17. Δύο ὁμοιες πολύ μικρές σφαῖρες, πού καθεμιά ἔχει μάζα  $m = 0,25 \text{ gr}$ , κρέμονται ἀπό τό ἴδιο σημεῖο μέ δύο μονωτικά νήματα μήκους  $l = 50 \text{ cm}$  καί ἀρχικά βρίσκονται σέ ἐπαφή μεταξύ τους. Σέ κάθε σφαῖρα δίνουμε τό ἴδιο φορτίο  $+q$  καί τότε οἱ δύο σφαῖρες ἀπομακρύνονται καί ἰσορροποῦν σέ τέτοια θέση, ὥστε τά δύο νήματα σχηματίζουν γωνία  $90^\circ$ . Πόσο εἶναι τό φορτίο  $q$  κάθε σφαίρας;  $g = 9,8 \text{ m/sec}^2$ .

18. Δύο ἴσες μικρές μεταλλικές σφαῖρες, πού καθεμιά θεωρεῖται ὡς σημεῖο μέ ἀσήμαντη μάζα, ἔχουν ἀντίστοιχα φορτίο  $q_1 = 16 \cdot 10^{-14} \text{ Cb}$  καί  $q_2 = -6,4 \cdot 10^{-14} \text{ Cb}$  καί ἡ μεταξύ τους ἀπόσταση εἶναι  $r_1 = 20 \text{ cm}$ . Ἐπειτα οἱ δύο σφαῖρες ἀπομακρύνονται καί ἡ ἀπόστασή

τους γίνεται  $r_2 = 50 \text{ cm}$ . Νά συγκριθοῦν οἱ δυνάμεις πού ἀναπτύσσονται μεταξύ τῶν σφαιρῶν στίς δύο θέσεις.

19. Στίς ἄκρες Α καί Β μιᾶς εὐθείας, πού ἔχει μήκος 15 cm, ὑπάρχουν δύο θετικά ἠλεκτρικά φορτία, πού ἀντίστοιχα εἶναι  $Q_A$  καί  $Q_B = 2Q_A$ . Σέ ποιό σημεῖο τῆς εὐθείας ΑΒ πρέπει νά βρίσκεται τό ἠλεκτρικό φορτίο  $q = +1 \text{ Cb}$ , ὥστε οἱ δύο δυνάμεις πού ἐνεργοῦν σ' αὐτό ἐξαιτίας τῶν δύο φορτίων νά ἔχουν συνισταμένη ἴση μέ μηδέν;

## ΗΛΕΚΤΡΙΚΟ ΠΕΔΙΟ

### 27. Ὅρισμός τοῦ ἠλεκτρικοῦ πεδίου

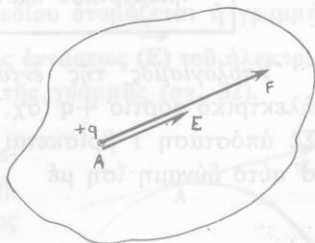
Ὄταν ἓνα σῶμα εἶναι ἠλεκτρισμένο, τό ἠλεκτρικό φορτίο του ἐξασκεῖ ἕλξη ἢ ἀπόωση σέ κάθε ἄλλο ἠλεκτρικό φορτίο πού ὑπάρχει μέσα στό χῶρο γύρω ἀπό τό ἠλεκτρισμένο σῶμα. Τότε λέμε ὅτι γύρω ἀπό τό ἠλεκτρισμένο σῶμα δημιουργεῖται *ἠλεκτρικό πεδίο*. Ὄστε:

Ἡλεκτρικό πεδίο ὀνομάζεται ἓνας χῶρος, ὅταν σέ κάθε ἠλεκτρικό φορτίο πού ὑπάρχει μέσα σ' αὐτόν ἐξασκοῦνται ἠλεκτρικές δυνάμεις (ἕλξεις ἢ ἀπώσεις).

### 28. Στοιχεῖα τοῦ ἠλεκτρικοῦ πεδίου

α. Ἐνταση τοῦ ἠλεκτρικοῦ πεδίου.

Ἐνα ἠλεκτρικό πεδίο σχηματίζεται στό κενό (ἢ στόν ἀέρα). Σέ ἓνα σημεῖο Α τοῦ ἠλεκτρικοῦ πεδίου ὑπάρχει *ἠλεκτρικό φορτίο*  $q$  (σχ. 30). Τότε τό ἠλεκτρικό πεδίο ἐξασκεῖ σ' αὐτό τό ἠλεκτρικό φορτίο μιᾶ *δύναμη*  $F$ . Στό σύστημα  $MKSA$  ἰσχύει ὁ ἀκόλουθος ὀρισμός:



Σχ. 30. Ἐνταση τοῦ ἠλεκτρικοῦ πεδίου στό σημεῖο Α.

Ἐνταση ( $\vec{E}$ ) τοῦ ἠλεκτρικοῦ πεδίου σέ ἓνα σημεῖο του ὀνομάζεται τό πηλίκο τῆς δυνάμεως  $\vec{F}$  πού ἐνεργεῖ στό ἠλεκτρικό φορτίο  $q$  (πού βρίσκεται σ' αὐτό τό σημεῖο) διά τοῦ ἠλεκτρικοῦ φορτίου  $q$ .

ένταση ηλεκτρικού πεδίου

$$\vec{E} = \frac{\vec{F}}{q}$$

Ἡ ένταση ηλεκτρικού πεδίου είναι *άνυσμα* ( $\vec{E}$ ), πού έχει *φορέα* τό φορέα τῆς δυνάμεως  $F$ , *μέτρο* ἴσο μέ τό πηλίκο  $E = F/q$  καί *φορά* κατά σύμβαση τή φορά τῆς δυνάμεως  $F$ , όταν αὐτή ἐνεργεῖ σέ θετικό ηλεκτρικό φορτίο  $+q$ .

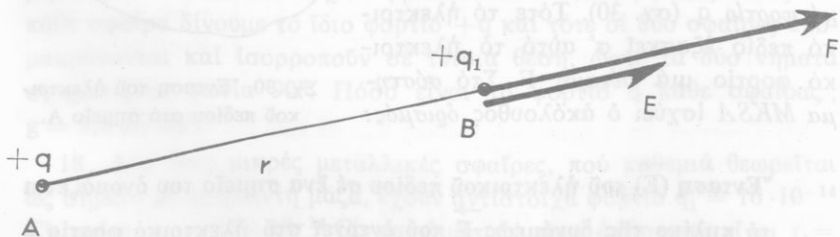
Ἀπό τήν ἐξίσωση  $E = F/q$  συνάγεται ὅτι ἡ ένταση τοῦ μαγνητικού πεδίου σέ ἕνα σημεῖο τοῦ ἀριθμητικῶς εἶναι ἴση μέ τή δύναμη πού ἐξασκεῖ τό πεδίο *στή μονάδα θετικοῦ ηλεκτρικοῦ φορτίου* ( $+1 \text{ Cb}$ ), όταν αὐτή βρίσκεται στό θεωρούμενο σημεῖο τοῦ ηλεκτρικοῦ πεδίου.

*Μονάδα έντάσεως ηλεκτρικοῦ πεδίου.* Ἄν στήν ἐξίσωση  $E = F/q$  βάλουμε  $F = 1 \text{ N}$  καί  $q = 1 \text{ Cb}$ , βρίσκουμε  $E = 1 \text{ MKSA}$ . Ἄρα:

**Μονάδα έντάσεως ηλεκτρικοῦ πεδίου εἶναι ἡ ένταση ηλεκτρικοῦ πεδίου πού σέ ηλεκτρικό φορτίο ἴσο μέ  $1 \text{ Coulomb}$  ( $1 \text{ Cb}$ ) ἐξασκεῖ δύναμη ἴση μέ  $1 \text{ Newton}$  ( $1 \text{ N}$ ).**

$$\text{μονάδα έντάσεως ηλεκτρικοῦ πεδίου} \quad \frac{1 \text{ Newton}}{1 \text{ Coulomb}} \quad \text{ἢ} \quad 1 \frac{\text{N}}{\text{Cb}}$$

*Ὑπολογισμός τῆς έντάσεως ηλεκτρικοῦ πεδίου.* Ἐνα σημειακό ηλεκτρικό φορτίο  $+q$  (σχ. 31) δημιουργεῖ γύρω του ηλεκτρικό πεδίο. Σέ ἀπόσταση  $r$  βρίσκεται ηλεκτρικό φορτίο  $+q_1$  καί ἐξασκεῖται σ' αὐτό δύναμη ἴση μέ



Σχ. 31. Τό φορτίο  $+q$  δημιουργεῖ ηλεκτρικό πεδίο.

$$F = K_{\eta\lambda} \cdot \frac{q \cdot q_1}{r^2}$$

\*Αρα στο σημείο B ή ένταση E του ηλεκτρικού πεδίου είναι:

$$E = \frac{F}{q_1} = K_{\eta\lambda} \cdot \frac{q}{r^2} \quad \text{ή} \quad \boxed{E = 9 \cdot 10^9 \cdot \frac{q}{r^2}} \quad \left\{ \begin{array}{l} 9 \cdot 10^9 \text{ N} \cdot \text{m}^2 / \text{Cb}^2 \\ q \text{ σε Cb} \\ r \text{ σε m} \\ E \text{ σε N/Cb} \end{array} \right.$$

όπου q είναι τό ηλεκτρικό φορτίο πού δημιουργεί τό ηλεκτρικό πεδίο.

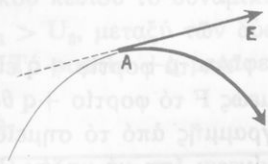
*Παράδειγμα.* \*Αν είναι  $q = +0,05 \text{ Cb}$  και  $r = 10 \text{ cm}$ , τότε ή ένταση του ηλεκτρικού πεδίου είναι:

$$E = 9 \cdot 10^9 \frac{\text{N} \cdot \text{m}^2}{\text{Cb}^2} \cdot \frac{0,05 \text{ Cb}}{0,01 \text{ m}^2} \quad \text{καί} \quad E = 45 \cdot 10^9 \frac{\text{N}}{\text{Cb}}$$

β. Δυναμική γραμμή του ηλεκτρικού πεδίου. \*Η ένταση του ηλεκτρικού πεδίου διαφέρει από τό ένα σημείο στο άλλο. \*Η μορφή του ηλεκτρικού πεδίου αισθητοποιείται μέ τή βοήθεια των *δυναμικών γραμμών*.

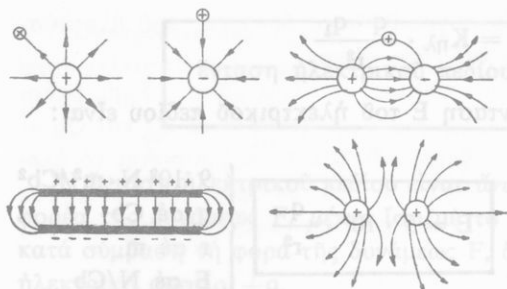
Δυναμική γραμμή του ηλεκτρικού πεδίου ονομάζεται ή γραμμή πού σε κάθε σημείο της τό άνυσμα της έντάσεως ( $\vec{E}$ ) του ηλεκτρικού πεδίου είναι εφαπτόμενο αούτης της γραμμής (σχ. 32).

\*Από κάθε σημείο του ηλεκτρικού πεδίου περνάει *μόνο μιά* δυναμική γραμμή, πού έχει *φορά* τή φορά του άνυσματος της έντάσεως του πεδίου. Για τή δυναμική γραμμή μπορούμε νά δώσουμε τόν έξης *εμπειρικό ορισμό*:



Σχ. 32. Δυναμική γραμμή.

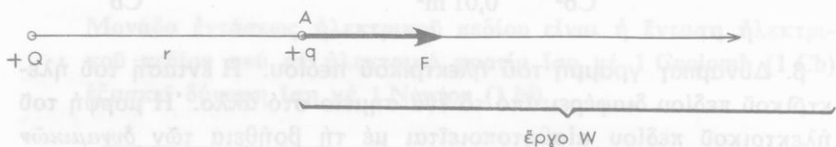
Δυναμική γραμμή του ηλεκτρικού πεδίου είναι ή τροχιά πού διαγράφει ένα θετικό ηλεκτρικό φορτίο (+q) μέ τήν επίδραση του ηλεκτρικού πεδίου.



Σχ. 33. Διάφορες μορφές ηλεκτρικών πεδίων.

Στό σχήμα 33 φαίνονται διάφορες μορφές ηλεκτρικών πεδίων. Μεταξύ δύο μεταλλικών πλακών, που είναι παράλληλες και έχουν ίσα αλλά αντίθετα ηλεκτρικά φορτία (+q και -q), σχηματίζεται ομογενές ηλεκτρικό πεδίο, που οι δυναμικές γραμμές του είναι παράλληλες και ή έντασή του είναι σταθερή σε όλα τα σημεία.

γ. Δυναμικό σε ένα σημείο του ηλεκτρικού πεδίου. Ένα σημειακό ηλεκτρικό φορτίο +Q παράγει γύρω του ηλεκτρικό πεδίο (σχ. 34).



Σχ. 34. Γιά τόν όρισμό του δυναμικού στό σημείο A.

Στό σημείο A, που βρίσκεται σε απόσταση r, υπάρχει θετικό ηλεκτρικό φορτίο +q και ενεργεί σ' αυτό ή ηλεκτροστατική δύναμη:

$$F = K_{\eta\lambda} \cdot \frac{Q \cdot q}{r^2}$$

Αν τό φορτίο +q είναι ελεύθερο, τότε μέ τήν επίδραση τής δύναμης F τό φορτίο +q θά κινηθεῖ κατά μήκος μιᾶς εὐθείας δυναμικῆς γραμμῆς ἀπό τό σημείο A ὡς τό ἄπειρο ( $r = \infty$ ), ὅπου ή δύναμη F γίνεται ἴση μέ μηδέν ( $F = 0$ ). Ἀλλά κατά τή μεταφορά του φορτίου +q ἀπό τό σημείο A ὡς τό ἄπειρο, τό ηλεκτρικό πεδίο παράγει ἔργο W. Τότε ἔχουμε τόν ἐξῆς ὄρισμό:

**Δυναμικό (U) του ηλεκτρικού πεδίου σε ένα σημείο του ονομάζεται τό πηλίκο του έργου (W), που παράγεται ἀπό τό πεδίο**

κατά τη μεταφορά του φορτίου  $+q$  από το θεωρούμενο σημείο  
 ως το άπειρο, διά του φορτίου  $q$ .

$$\text{δυναμικό σέ σημείο του ηλεκτρικού πεδίου} \quad U = \frac{W}{+q} \quad (1)$$

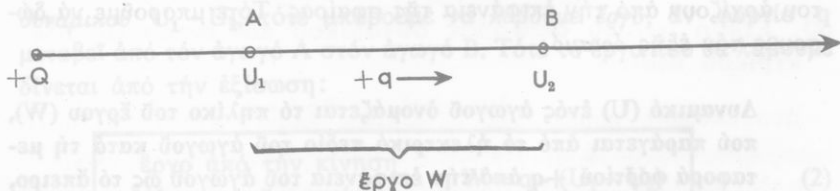
Τό δυναμικό είναι μονόμετρο μέγεθος και είναι θετικό ή αρνητικό, ανάλογα με τό φορτίο  $Q$  πού είναι ή αίτια του πεδίου. Άν είναι  $-Q$ , τότε τό δυναμικό στό σημείο  $A$  είναι αρνητικό, γιατί γιά τή μεταφορά του φορτίου  $+q$  από τό σημείο  $A$  ως τό άπειρο πρέπει νά δαπανηθεί έργο  $W$ .

*Μονάδα δυναμικού.* Άν στήν εξίσωση (1) βάλουμε  $W = 1 \text{ Joule}$  και  $q = 1 \text{ Coulomb}$ , βρίσκουμε  $U = 1 \text{ MKSA}$ . Στό σύστημα MKSA ή μονάδα δυναμικού ονομάζεται *Volt* (1 V) και ορίζεται ως έξης:

Σέ ένα σημείο του ηλεκτρικού πεδίου τό δυναμικό είναι 1 Volt (1 V), όταν φορτίο 1 Coulomb (1 Cb), μεταφερόμενο εξαιτίας του πεδίου από τό σημείο αυτό ως τό άπειρο, παράγει έργο ίσο μέ 1 Joule.

$$\text{μονάδα δυναμικού } 1 \text{ Volt} = \frac{1 \text{ Joule}}{1 \text{ Coulomb}} \quad \text{ή} \quad 1 \text{ V} = 1 \frac{\text{Joule}}{\text{Cb}}$$

δ. Διαφορά δυναμικού μεταξύ δύο σημείων του ηλεκτρικού πεδίου. Σέ δύο σημεία  $A$  και  $B$  (σχ. 35) του ηλεκτρικού πεδίου τό δυναμικό αντίστοιχα είναι  $U_1$  και  $U_2$ . Έπειδή είναι  $U_1 > U_2$ , μεταξύ των δύο σημείων υπάρχει διαφορά δυναμικού  $U_1 - U_2$ . Τό φορτίο  $+q$  μεταφε-



Σχ. 35. Διαφορά δυναμικού μεταξύ των σημείων  $A$  και  $B$  του ηλεκτρικού πεδίου.

ρόμενο εξαιτίας του πεδίου από το σημείο A στο σημείο B παράγει έργο W και τότε ισχύει ο ακόλουθος ορισμός:

Διαφορά δυναμικού ( $U_1 - U_2$ ) μεταξύ δύο σημείων του ηλεκτρικού πεδίου ονομάζεται το πηλίκο του έργου (W), που παράγεται από το πεδίο κατά τη μεταφορά του φορτίου  $+q$  από το ένα σημείο ως το άλλο, διά του φορτίου  $+q$ .

$$\text{διαφορά δυναμικού } U_1 - U_2 = \frac{W}{+q} \quad (2)$$

Αν στην εξίσωση (2) είναι  $W = 1 \text{ Joule}$  και  $q = 1 \text{ Cb}$ , τότε είναι  $U_1 - U_2 = 1 \text{ Volt}$ . Ωστε:

Η διαφορά δυναμικού μεταξύ δύο σημείων του ηλεκτρικού πεδίου είναι ίση με 1 Volt, όταν κατά τη μεταφορά φορτίου 1 Coulomb από το ένα σημείο ως το άλλο το πεδίο παράγει έργο ίσο με 1 Joule.

$$U_1 - U_2 = 1 \text{ Volt} = \frac{1 \text{ Joule}}{1 \text{ Coulomb}} = 1 \frac{\text{Joule}}{\text{Cb}}$$

## 29. Δυναμικό άγωγού και διαφορά δυναμικού μεταξύ δύο άγωγων

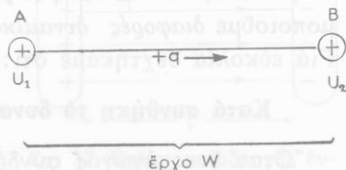
Μιά μικρή μεταλλική σφαίρα (άγωγός) έχει ηλεκτρικό φορτίο  $+Q$ , που κατανέμεται ομοιόμορφα στην επιφάνειά της. Το φορτίο της σφαίρας δημιουργεί ηλεκτρικό πεδίο και οι δυναμικές γραμμές του αρχίζουν από την επιφάνεια της σφαίρας. Τότε μπορούμε να δώσουμε τον εξής ορισμό:

Δυναμικό (U) ενός άγωγού ονομάζεται το πηλίκο του έργου (W), που παράγεται από το ηλεκτρικό πεδίο του άγωγού κατά τη μεταφορά φορτίου  $+q$  από την επιφάνεια του άγωγού ως το άπειρο, διά του φορτίου  $+q$ .



$$\text{δυναμικό άγωγού} \quad U = \frac{W}{+q}$$

Δύο μικρές μεταλλικές σφαίρες Α και Β (σχ. 36) έχουν αντίστοιχα δυναμικό  $U_1$  και  $U_2$  και είναι  $U_1 > U_2$ . Τότε μεταξύ των δύο άγωγών υπάρχει διαφορά δυναμικού  $U_1 - U_2$ . Οί δύο άγωγοί δημιουργούν ηλεκτρικό πεδίο, τό όποιο κατά τή μεταφορά τοῦ φορτίου  $+q$  από τόν άγωγό Α στόν άγωγό Β παράγει έργο  $W$ . Τότε ισχύει ή γνωστή (§ 28 δ) εξίσωση :



Σχ. 36. Διαφορά δυναμικού μεταξύ δύο άγωγών Α και Β.

$$\text{διαφορά δυναμικού} \quad U_1 - U_2 = \frac{W}{+q} \quad (1)$$

μεταξύ δύο άγωγών

Ή διαφορά δυναμικού μετριέται σέ Volt. Είναι φανερό ότι ή εξίσωση (1) εκφράζει τό έργο πού παράγεται, όταν φορτίο 1 Coulomb μεταφέρεται εξαιτίας τοῦ πεδίου από τόν άγωγό Α στόν άγωγό Β. Γενικά τό ηλεκτρικό φορτίο *πηγαίνει πάντοτε από τόν άγωγό μέ τό μεγαλύτερο δυναμικό πρós τόν άγωγό μέ τό μικρότερο δυναμικό*. Ή διαφορά δυναμικού μεταξύ δύο άγωγών ονομάζεται καί τάση. "Όταν λέμε π.χ. ότι μεταξύ δύο άγωγών υπάρχει τάση  $U_1 - U_2 = 220$  Volt, έννοοῦμε ότι κατά τή μεταφορά φορτίου 1 Coulomb από τόν ένα άγωγό στόν άλλο παράγεται έργο ίσο μέ 220 Joule.

α. "Έργο παραγόμενο από ηλεκτρικό φορτίο. "Από τήν εξίσωση (1) συμπεραίνουμε ότι, αν μεταξύ δύο άγωγών Α και Β υπάρχει διαφορά δυναμικού  $U_1 - U_2$ , τότε μπορούμε νά λάβουμε έργο, αν φορτίο  $q$  μεταβεί από τόν άγωγό Α στόν άγωγό Β. Τότε τό έργο πού θά λάβουμε δίνεται από τήν εξίσωση :

$$\text{Έργο από τήν κίνηση} \quad W = q \cdot (U_1 - U_2) \quad (2)$$

ηλεκτρικού φορτίου

Ἡ κίνηση τοῦ ἠλεκτρικοῦ φορτίου  $q$  ἀπὸ τὸν ἓνα ἄγωγὸ στὸν ἄλλο εἶναι εὐκόλη, ἂν συνδέσουμε τοὺς δύο ἄγωγούς μὲ σύρμα. Ἡ ἐξίσωση (2), ὅπως θὰ δοῦμε σὲ ἄλλα κεφάλαια, ἔχει πάρα πολλές ἐφαρμογές.

**β. Δυναμικὸ τοῦ ἐδάφους.** Σὲ ὅλες τὶς πρακτικὲς ἐφαρμογές χρῆσιμοποιοῦμε *διαφορὲς δυναμικοῦ* καὶ ὄχι τὶς ἀπόλυτες τιμὲς δυναμικοῦ. Γιά εὐκολία δεχτήκαμε ὅτι:

**Κατὰ συνθήκη τὸ δυναμικὸ τοῦ ἐδάφους εἶναι ἴσο μὲ μηδέν.**

Ὅταν ἓνας ἄγωγὸς συνδέεται μὲ τὸ ἔδαφος, ἔχει πάντοτε τὸ δυναμικὸ τοῦ ἐδάφους (δηλαδὴ ἔχει δυναμικὸ μηδέν) καὶ λέμε ὅτι ὁ ἄγωγὸς εἶναι *προσγειωμένος*.

Ἄν ἓνας ἄγωγὸς ἔχει π.χ. δυναμικὸ  $U = 60 \text{ V}$ , τότε ἡ διαφορά δυναμικοῦ μεταξὺ τοῦ ἄγωγου καὶ τοῦ ἐδάφους εἶναι ἴση μὲ  $U - 0 = U = 60 \text{ V}$ . Αὐτὸ σημαίνει ὅτι, ἂν φορτίο  $1 \text{ Cb}$  μεταφερθεῖ ἀπὸ τὸν ἄγωγὸ στὸ ἔδαφος, τότε παράγεται ἔργο ἴσο μὲ  $60 \text{ Joule}$ .

**γ. Δυναμικὸ σφαιρικοῦ ἄγωγου.** Σφαιρικός ἄγωγὸς ἔχει ἀκτίνα  $R$  καὶ ἠλεκτρικὸ φορτίο  $q$ . Ἀποδεικνύεται ὅτι τὸ δυναμικὸ ( $U$ ) τοῦ σφαιρικοῦ ἄγωγου εἶναι ἀνάλογο μὲ τὸ ἠλεκτρικὸ φορτίο ( $q$ ) καὶ ἀνστρόφως ἀνάλογο μὲ τὴν ἀκτίνα του ( $R$ ). Στὸ σύστημα MKSA τὸ δυναμικὸ τοῦ σφαιρικοῦ ἄγωγου δίνεται ἀπὸ τὴν ἐξίσωση:

δυναμικὸ σφαιρικοῦ ἄγωγου	$U = 9 \cdot 10^9 \cdot \frac{Q}{R}$	$\left\{ \begin{array}{l} 9 \cdot 10^9 \text{ N} \cdot \text{m}^2/\text{Cb}^2 \\ Q \text{ σέ Cb} \\ R \text{ σέ m} \\ U \text{ σέ V} \end{array} \right.$
------------------------------	--------------------------------------	---

### 30. Σχέση μεταξὺ διαφορᾶς δυναμικοῦ καὶ ἐντάσεως ἠλεκτρικοῦ πεδίου

Δύο ἐπίπεδες παράλληλες μεταλλικὲς πλάκες ἔχουν ἴσα ἀλλὰ ἐτερόνυμα ἠλεκτρικὰ φορτία καὶ ἡ ἀπόστασή τους εἶναι  $l$  (σχ. 37). Μεταξὺ τῶν δύο πλακῶν σχηματίζεται ὁμογενὲς ἠλεκτρικὸ πεδίο, ποῦ ἔχει σταθερὴ ἐνταση  $E$  καὶ ἡ διαφορά δυναμικοῦ μεταξὺ τῶν δύο

πλακών είναι  $U$ . Στή μιά άκρη  $A_1$  μιās δυναμικής γραμμής  $A_1A_2$  φέρνουμε ήλεκτρικό φορτίο  $q$ . Τότε στο φορτίο αυτό ένεργεί ή δύναμη  $F = E \cdot q$ , ή όποια μετακινεί τό φορτίο  $q$  κατά διάστημα  $A_1A_2 = l$  και παράγει έργο :

$$W = F \cdot l \quad \eta \quad W = E \cdot q \cdot l$$

Όπως ξέρουμε (§ 29α) τό έργο αυτό είναι ίσο μέ  $W = q \cdot U$ . Άρα έχουμε τήν εξίσωση :

$$E \cdot q \cdot l = q \cdot U \quad \eta \quad E \cdot l = U \quad \text{και}$$

$$E = \frac{U}{l} \quad (1)$$

Η εξίσωση (1) φανερώνει ότι ή ένταση ( $E$ ) όμογενοϋς ήλεκτρικού πεδίου είναι ίση μέ τή μεταβολή τοϋ δυναμικοϋ κατά μονάδα μήκους τής δυναμικής γραμμής. Άν στήν εξίσωση (1) βάλουμε  $U = 1 \text{ Volt}$  και  $l = 1 \text{ m}$ , βρίσκουμε  $E = 1 \text{ MKSA}$ . Ωστε στό σύστημα MKSA μονάδα έντάσεως ήλεκτρικοϋ πεδίου είναι :

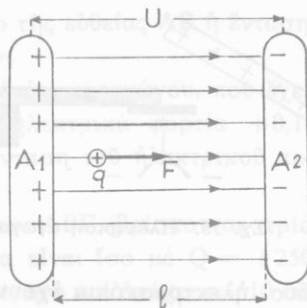
$$\text{μονάδα έντάσεως ήλεκτρικοϋ πεδίου} \quad \frac{1 \text{ Volt}}{1 \text{ m}} \quad \eta \quad 1 \frac{\text{V}}{\text{m}}$$

**Παρατήρηση.** Οι μονάδες έντάσεως ήλεκτρικοϋ πεδίου  $1 \text{ N/Cb}$  και  $1 \text{ V/m}$  είναι ισοδύναμες, γιατί είναι :

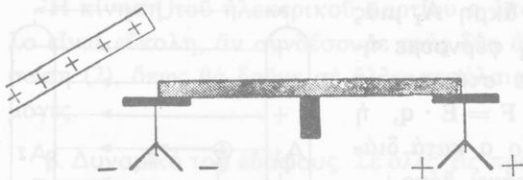
$$1 \frac{\text{V}}{\text{m}} = 1 \frac{\text{Joule/Cb}}{\text{m}} = 1 \frac{\text{N} \cdot \text{m}}{\text{m} \cdot \text{Cb}} = 1 \frac{\text{N}}{\text{Cb}}$$

### 31. Ηλέκτριση άγωγοϋ μέ έπαγωγή

Πάνω στοϋς δίσκους δύο όμοιων ήλεκτροσκοπίων στηρίζουμε τίς δύο άκρες μιās μεταλλικής ράβδου πού έχει άρκετό μήκος (σχ. 38). Στή μιά άκρη τής μεταλλικής ράβδου πλησιάζουμε μιά ήλεκτρι-



Σχ. 37. Σχέση μεταξύ τής έντάσεως  $E$  τοϋ ήλεκτρικοϋ πεδίου και τής τάσεως  $U$ .



Σχ. 38. Ήλεκτριση άγωγού με επαγωγή.

σμένη γυάλινη ράβδο, χωρίς όμως νά έρθουν σέ επαφή οί δύο ράβδοι. Παρατηρούμε ότι και τά δύο ήλεκτροσκοπία αποκτούν ήλεκτρικά φορτία. Εύκολα διαπιστώνουμε ότι τά δύο ήλεκτροσκοπία έχουν έτερόνυμα ήλεκτρικά φορτία. Μόλις απομακρύνουμε τή γυάλινη ράβδο, άμέσως τά ήλεκτρικά φορτία τών δύο ήλεκτροσκοπίων εξαφανίζονται. Αυτό δείχνει ότι τά έτερόνυμα φορτία τών δύο ήλεκτροσκοπίων ήταν κατ' άπόλυτη τιμή ίσα.

Ή μεταλλική ράβδος και τά στελέχη τών δύο ήλεκτροσκοπίων, στά όποία στηρίζεται ή ράβδος, άποτελούν ένα συνεχή μεταλλικό άγωγό. Όταν ό άγωγός βρεθεί μέσα στό ήλεκτρικό πεδίο πού δημιουργεί τό φορτίο τής γυάλινης ράβδου, τότε ό άγωγός ήλεκτρίζεται και στις δύο άκρες του έμφανίζονται ίσα έτερόνυμα ήλεκτρικά φορτία. Αυτός ό τρόπος ήλεκτρίσεως τοῦ άγωγού ονομάζεται ήλεκτρίση με έπαγωγή. Ωστε:

Όταν άγωγός βρεθεί μέσα σέ ήλεκτρικό πεδίο, αναπτύσσονται με έπαγωγή στόν άγωγό ίσα έτερόνυμα ήλεκτρικά φορτία, πού προϋπάρχουν μέσα στή μάζα τοῦ άγωγού.

Παρατήρηση. Όταν ή γυάλινη ράβδος βρίσκεται κοντά στόν άγωγό, συνδέουμε τόν άγωγό με τό έδαφος. Τό άπωθούμενο θετικό φορτίο ξεφεύγει στό έδαφος. Αν διακόψουμε τή συγκοινωνία με τό έδαφος και απομακρύνουμε τή γυάλινη ράβδο, άπομένει στόν άγωγό τό άρνητικό φορτίο, πού δέν έξουδετερώνεται. Με αυτό τόν τρόπο μπορεί ένας άγωγός νά διατηρήσει μόνο τό ένα είδος φορτίου.

## ΠΡΟΒΛΗΜΑΤΑ

20. Σέ ένα σημείο βρίσκεται ήλεκτρικό φορτίο  $Q = +0,5 \text{ Cb}$ . Πόση είναι ή ένταση τοῦ ήλεκτρικοῦ πεδίου σέ άπόσταση 5 cm και 10 cm από τό φορτίο Q;

21. Στις άκρες εϋθείας AB μήκους 15 cm βρίσκονται δύο ήλεκτρι-

κά φορτία  $+Q$  και  $+4Q$ . Σέ ποιό σημείο τῆς εὐθείας  $AB$  ἡ ἔνταση τοῦ ἠλεκτρικοῦ πεδίου εἶναι ἴση μέ μηδέν;

22. Στίς τέσσερις κορυφές  $A, B, \Gamma, \Delta$  ἑνός τετραγώνου, πού ἔχει πλευρά  $4\text{ cm}$ , βρίσκονται ἀντίστοιχα τά ἠλεκτρικά φορτία  $+0,1, +0,1, -0,1$  καί  $-0,1\text{ Cb}$ . Πόση εἶναι ἡ ἔνταση τοῦ ἠλεκτρικοῦ πεδίου στό κέντρο τοῦ τετραγώνου;

23. Στίς κορυφές ἰσοπλευροῦ τριγώνου  $AB\Gamma$  βρίσκονται τρία ἴσα θετικά ἠλεκτρικά φορτία, πού τό καθένα εἶναι ἴσο μέ  $Q = +250\text{ }\mu\text{Cb}$ . Ἐνα σημείο  $\Delta$  βρίσκεται μέσα στό τρίγωνο καί ἀπέχει  $r = 10\text{ cm}$  ἀπό κάθε κορυφή τοῦ τριγώνου. Πόση εἶναι ἡ ἔνταση τοῦ ἠλεκτρικοῦ πεδίου στό σημείο  $\Delta$ ;

24. Μεταξύ δύο σημείων ἠλεκτρικοῦ πεδίου ὑπάρχει διαφορά δυναμικοῦ  $U = 6\text{ V}$ . Πόσο ἠλεκτρικό φορτίο πρέπει νά μεταφερθεῖ ἀπό τό ἕνα σημείο στό ἄλλο, γιά νά παραχθεῖ ἔργο ἴσο μέ  $120\text{ Joule}$ ;

25. Δύο παράλληλες μεταλλικές πλάκες ἔχουν ἴσα ἑτερόνυμα φορτία. Ἄν ἡ ἀπόστασή τους εἶναι  $l = 5,25\text{ mm}$  καί ἡ διαφορά δυναμικοῦ μεταξύ τῶν δύο πλακῶν εἶναι  $U = 1500\text{ V}$ , πόση εἶναι ἡ ἔνταση τοῦ ἠλεκτρικοῦ πεδίου; Πόση δύναμη ἐνεργεῖ σέ ἠλεκτρικό φορτίο  $q = +2 \cdot 10^{-4}\text{ Cb}$ , πού ἔρχεται μέσα σ' αὐτό τό ἠλεκτρικό πεδίο;

26. Μεταξύ δύο παράλληλων μεταλλικῶν πλακῶν πού ἀπέχουν μεταξύ τους  $l = 5\text{ cm}$  ὑπάρχει τάση  $U = 20\,000\text{ V}$ . Πόσο ἔργο παράγεται, ὅταν ἕνα φορτίο  $q = +5 \cdot 10^{-8}\text{ Cb}$  μεταφέρεται ἀπό τό ἠλεκτρικό πεδίο ἀπό τή θετική ὡς τήν ἀρνητική πλάκα;

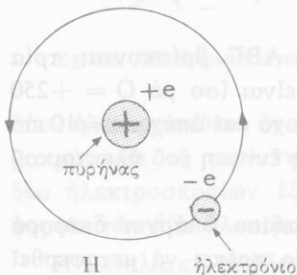
27. Σφαιρικός ἀγωγός ἔχει ἀκτίνα  $R = 50\text{ cm}$ . Πόσο εἶναι τό δυναμικό του, ἄν τό φορτίο του εἶναι  $Q = 10^{-3}\text{ Cb}$ ; Πόσο φορτίο πρέπει νά ἔχει αὐτός ὁ ἀγωγός, ὥστε τό δυναμικό του νά εἶναι ἴσο μέ  $10^5\text{ V}$ ;

## ΦΥΣΗ ΤΟΥ ΗΛΕΚΤΡΙΣΜΟΥ

### 32. Στοιχειώδεις ἠλεκτρικό φορτίο

Τά ἠλεκτρικά φορτία (θετικά καί ἀρνητικά) ἀναπτύσσονται πάνω στά σώματα μέ τριβή ἢ ἀναπτύσσονται πάνω στους ἀγωγούς, ὅταν αὐτοί βρεθοῦν μέσα σέ ἠλεκτρικό πεδίο. Ἄρα μέσα στά ἄτομα τῆς ὕλης ὑπάρχουν ἠλεκτρικά φορτία, πού ἐκδηλώνονται, μόνο ὅταν

δημιουργηθούν κατάλληλες συνθήκες. Τό απλούστερο άτομο είναι τό *άτομο υδρογόνου*. Ἡ θεωρητική καί ἡ πειραματική ἔρευνα ἀπέδειξαν ὅτι τό *άτομο υδρογόνου* ἀποτελεῖται ἀπό δύο πολύ μικρά σωματίδια, τόν *πυρήνα* καί τό *ἠλεκτρόνιο*. Ὁ πυρήνας βρίσκεται στό κέντρο τοῦ ἀτόμου, ὀνομάζεται εἰδικότερα *πρωτόνιο* καί ἔχει *θετικό* ἠλεκτρικό φορτίο (σχ. 39). Γύρω ἀπό τόν πυρήνα περιφέρεται πολύ γρήγορα τό *ἠλεκτρόνιο*, πού ἔχει *ἀρνητικό* ἠλεκτρικό φορτίο καί ἡ μάζα του εἶναι περίπου ἴση μέ τό 1/1840 τῆς μάζας τοῦ ἀτόμου υδρογόνου. Τό ἀρνητικό φορτίο τοῦ ἠλεκτρονίου εἶναι κατ' ἀπόλυτη τιμή ἴσο μέ τό θετικό φορτίο τοῦ πρωτονίου, ὀνομάζεται **στοιχειῶδες ἠλεκτρικό φορτίο (e)** καί εἶναι τό μικρότερο ὡς σήμερα γνωστό ἠλεκτρικό φορτίο πού βρίσκουμε στή Φύση. Ἡ ἔλξη πού ὁ πυρήνας ἐξασκεῖ στό ἠλεκτρόνιο εἶναι ἡ κεντρομόλος δύναμη, ἡ ὁποία συγκρατεῖ τό ἠλεκτρόνιο πάνω στήν κυκλική τροχιά του. Μέ τίς μετρήσεις βρήκαμε ὅτι :



Σχ. 39. Σχηματική παράσταση τοῦ ἀτόμου υδρογόνου.

Τό **στοιχειῶδες ἠλεκτρικό φορτίο (e)** κατ' ἀπόλυτη τιμή εἶναι ἴσο μέ  $1,6 \cdot 10^{-19}$  Cb.

στοιχειῶδες ἠλεκτρικό φορτίο	$ e  = 1,6 \cdot 10^{-19}$ Cb
------------------------------	-------------------------------

**Δομή τῶν ἀτόμων (\*).** Κάθε *άτομο* ἀποτελεῖται ἀπό τόν *πυρήνα*, πού ἔχει ὀρισμένο θετικό φορτίο, καί ἀπό τὰ *ἠλεκτρόνια*, πού περιφέρονται γύρω ἀπό τόν πυρήνα καί ἔχουν ὀλικό ἀρνητικό φορτίο ἴσο μέ τό θετικό φορτίο τοῦ πυρήνα. Ὅλοι οἱ πυρήνες, ἐκτός ἀπό τόν πυρήνα τοῦ ἀτόμου υδρογόνου, περιέχουν ὀρισμένα *πρωτόνια* καί ὀρισμένα *νετρόνια*. Τό *νετρόνιο* εἶναι *οὐδέτερο* σωματίδιο, πού ἡ μάζα του εἶναι σχεδόν ἴση μέ τή μάζα τοῦ πρωτονίου. Κάθε εἶδος

(\*) Ἐδῶ ἀναφέρονται λίγα στοιχεῖα γιά τή δομή τοῦ ἀτόμου, ἀπαραίτητα γιά τήν ἐρμηνεία τῶν φαινομένων πού θά ἐξετάσουμε. Πιο λεπτομερῆς περιγραφή τοῦ ἀτόμου θά γίνει στήν Ἀτομική καί Πυρηνική Φυσική.

άτομου έχει μέσα στον πυρήνα του *ορισμένο αριθμό πρωτονίων*, π.χ. ο πυρήνας του ατόμου ήλιου έχει δύο πρωτόνια και επομένως έχει θετικό φορτίο  $+2e$ , ενώ ο πυρήνας του ατόμου



Σχ. 40. Άτομο ήλιου, οξυγόνου και νατρίου.

οξυγόνου έχει οκτώ πρωτόνια και γι' αυτό έχει θετικό φορτίο  $+8e$ . Στο *ουδέτερο άτομο* το θετικό φορτίο του πυρήνα είναι ίσο και αντίθετο με το ολικό αρνητικό φορτίο των ηλεκτρονίων που περιφέρονται γύρω από τον πυρήνα. Ωστε σε κάθε είδος ατόμου γύρω από τον πυρήνα περιφέρονται *τόσα ηλεκτρόνια*, όσα είναι τα πρωτόνια του πυρήνα, π.χ. στο άτομο ήλιου υπάρχουν δύο ηλεκτρόνια που έχουν αρνητικό φορτίο  $-2e$ , ενώ στο άτομο οξυγόνου υπάρχουν οκτώ ηλεκτρόνια που έχουν ολικό αρνητικό φορτίο  $-8e$  (σχ. 40).

Τά ηλεκτρόνια διατάσσονται γύρω από τον πυρήνα πάνω σε *όμοκεντρους φλοιούς* σύμφωνα με ορισμένο νόμο της Άτομικης Φυσικής. Ειδικότερα τά ηλεκτρόνια του εξωτερικού φλοιού ονομάζονται *ηλεκτρόνια σθένους*. Από την πειραματική και τη θεωρητική έρευνα καταλήξαμε στα ακόλουθα γενικά συμπεράσματα:

- I. Κάθε άτομο αποτελείται από τον πυρήνα, που έχει θετικό φορτίο, και από τά ηλεκτρόνια, που περιφέρονται γύρω από τον πυρήνα και έχουν αρνητικό ηλεκτρικό φορτίο.
- II. Τά θετικά φορτία υπάρχουν πάντοτε στους πυρήνες των ατόμων, ενώ τά αρνητικά φορτία μεταφέρονται πάντοτε από τά ηλεκτρόνια. Αδτά είναι ίδια σε όλα τά άτομα της ύλης.
- III. Τά θετικά και τά αρνητικά ηλεκτρικά φορτία είναι πάντοτε *άκέραια πολλαπλάσια του στοιχειώδους ηλεκτρικού φορτίου* ( $e$ ).

### 33. Έμφάνιση ηλεκτρικῶν φορτίων

Τά φαινόμενα του ηλεκτρισμού οφείλονται στην *ικανότητα* που έχουν τά ηλεκτρόνια *νά φεύγουν* από ένα άτομο και *νά πηγαίνουν* σε ένα άλλο άτομο. Όταν όμως από ένα ουδέτερο άτομο *φύγουν* ένα

ή περισσότερα ηλεκτρόνια, καταστρέφεται ή ισορροπία μεταξύ των ετερόνυμων φορτίων του ατόμου και το υπόλοιπο του ατόμου είναι ένα θετικό *ión* που έχει θετικό φορτίο (+e, +2e, +3e). Αντίθετα αν σε ένα ουδέτερο άτομο προστεθούν ένα ή περισσότερα ηλεκτρόνια, τότε σχηματίζεται *αρνητικό íon*, που έχει αρνητικό φορτίο (-e, -2e, -3e). "Ωστε ένα σώμα είναι *ουδέτερο*, όταν τα άτομα του είναι ούδέτερα." Αν τα άτομα ενός σώματος χάσουν ηλεκτρόνια, το σώμα εμφανίζεται ηλεκτρισμένο με *θετικό* φορτίο. Αντίθετα, αν τα άτομα ενός σώματος προσλάβουν ηλεκτρόνια, το σώμα εμφανίζεται ηλεκτρισμένο με *αρνητικό* φορτίο. Γενικά λοιπόν μπορούμε να πούμε ότι:

**"Ένα σώμα έχει θετικό φορτίο, όταν έχει χάσει ηλεκτρόνια και, αντίθετα, έχει αρνητικό φορτίο, όταν έχει αποκτήσει πλεονάζοντα ηλεκτρόνια.**

#### 34. Τά ελεύθερα ηλεκτρόνια των μετάλλων

Στά άτομα των μετάλλων *τά ηλεκτρόνια σθένους* είναι ένα, δύο ή τρία και συνδέονται πολύ χαλαρά με τον πυρήνα. Έτσι αυτά τα ηλεκτρόνια εύκολα ξεφεύγουν από την έλξη του πυρήνα και κινούνται διαρκώς και άτακτα μέσα στη μάζα του μετάλλου, όπως ακριβώς κινούνται τα μόρια ενός αερίου που είναι κλεισμένο μέσα σε δοχείο. Τά ηλεκτρόνια που κινούνται άτακτα μέσα στη μάζα του μετάλλου τά ονομάζουμε *ελεύθερα ηλεκτρόνια*, και αποτελούν ένα τεράστιο πλήθος (σε 1 cm<sup>3</sup> χαλκού υπάρχουν πάνω από  $8 \cdot 10^{22}$  ελεύθερα ηλεκτρόνια). Η χαρακτηριστική ηλεκτρική συμπεριφορά των μετάλλων οφείλεται στα ελεύθερα ηλεκτρόνια τους. "Ωστε:

**Στά μέταλλα τά ηλεκτρόνια σθένους ξεφεύγουν από τά άτομα και σχηματίζουν τά ελεύθερα ηλεκτρόνια, που διαρκώς κινούνται άτακτα μέσα στη μάζα του μετάλλου.**

#### 35. Έξήγηση της ηλεκτρίσεως των σωμάτων

α. *Ηλέκτριση με τριβή.* "Όταν τρίβουμε δύο διαφορετικά σώματα τό ένα πάνω στό άλλο (π.χ. γυαλί και ύφασμα), τότε τά σώματα έρχονται σε πολύ στενή έπαφή μεταξύ τους. Εύκολα διαπιστώνουμε ότι αυτά τά δύο σώματα αποκτούν ίσα ετερόνυμα ηλεκτρικά φορτία.



Αυτό συμβαίνει, γιατί ηλεκτρόνια έφυγαν από τό ένα σώμα καί πήγαν στό άλλο. Έτσι τά δύο σώματα εμφανίζονται ηλεκτρισμένα αλλά τό ένα σώμα έχει θετικό φορτίο, ενώ τό άλλο σώμα έχει αρνητικό φορτίο. Ωστε:

Όταν δύο διαφορετικά σώματα μέ τήν τριβή έρχονται σέ στενή έπαφή μεταξύ τους, τότε ηλεκτρόνια πηγαίνουν από τό ένα σώμα στό άλλο καί έτσι στά δύο σώματα εμφανίζονται ίσα έτερόνυμα ηλεκτρικά φορτία.

β. *Ήλέκτριση μέ έπαφή.* Ένα σώμα Α, πού έχει αρνητικό φορτίο, έρχεται σέ έπαφή μέ ένα μονωμένο ουδέτερο άγωγό Β. Τότε ένα μέρος από τά ηλεκτρόνια πού πλεονάζουν στό σώμα Α πηγαίνει στόν άγωγό Β. Έτσι καί ο άγωγός Β άποκτά αρνητικό φορτίο. Αντίθετα, άν τό σώμα Α έχει θετικό φορτίο καί έρθει σέ έπαφή μέ τόν ουδέτερο άγωγό Β, τότε ένα μέρος από τά ελεύθερα ηλεκτρόνια του άγωγού Β πηγαίνει στό σώμα Α. Έτσι καί ο άγωγός Β άποκτά θετικό φορτίο. Καί στίς δύο περιπτώσεις λέμε ότι ο άγωγός Β ηλεκτρίστηκε μέ έπαφή. Ωστε:

Όταν ένα σώμα, πού έχει ηλεκτρικό φορτίο (θετικό ή αρνητικό), έρχεται σέ έπαφή μέ μονωμένο ουδέτερο άγωγό, τότε ή φεύγουν από τόν άγωγό ή έρχονται σ' αυτόν ηλεκτρόνια καί έτσι εμφανίζεται στόν άγωγό ηλεκτρικό φορτίο (θετικό ή αρνητικό).

γ. *Ήλέκτριση μέ έπαγωγή.* Όταν μονωμένος ουδέτερος άγωγός βρεθεί μέσα σέ ηλεκτρικό πεδίο, τότε εξαιτίας του ηλεκτρικού πεδίου πολλά ελεύθερα ηλεκτρόνια του άγωγού μετακινούνται καί σέ δύο περιοχές του άγωγού εμφανίζονται ίσα έτερόνυμα ηλεκτρικά φορτία. Ωστε:

Ή ήλέκτριση μέ έπαγωγή ενός άγωγού όφείλεται στή μετακίνηση των ελεύθερων ηλεκτρονίων του άγωγού εξαιτίας του ηλεκτρικού πεδίου.

δ. *Ήλέκτριση των μονωτών.* Αντίθετα μέ τούς άγωγούς οί μονω-

τές δέν ἔχουν ἐλεύθερα ἠλεκτρόνια. Στό μονωτή, ἂν ἀπό μιά περιοχὴ του ἀφαιρεθοῦν ἠλεκτρόνια ἢ σέ μιά περιοχὴ του προστεθοῦν ἠλεκτρόνια, τὰ ἠλεκτρικά φορτία παραμένουν ἐντοπισμένα σ' αὐτὴ τὴν περιοχὴ. Ὡστε:

**Οἱ μονωτές, ἐπειδὴ δέν ἔχουν ἐλεύθερα ἠλεκτρόνια, διατηροῦν ἐντοπισμένα τὰ ἠλεκτρικά φορτία πού ἀναπτύσσονται σέ μιά περιοχὴ τους.**

## ΠΡΟΒΛΗΜΑΤΑ

28. Πόσα ἠλεκτρόνια πλεονάζουν σέ ἓναν ἀγωγό Α πού ἔχει φορτίο  $Q_A = -6,4 \text{ Cb}$ ; Πόσα ἠλεκτρόνια ἔχει χάσει ἓνας ἀγωγός Β πού ἔχει φορτίο  $Q_B = +3,2 \text{ Cb}$ ;

29. Δύο ἑτερόνυμα στοιχειώδη ἠλεκτρικά φορτία  $+e$  καὶ  $-e$  βρίσκονται σέ ἀπόσταση  $r = 1 \text{ mm}$  τό ἓνα ἀπὸ τό ἄλλο. Μὲ πόση δύναμη ἔλκονται αὐτὰ τὰ δύο φορτία;

30. Μεταξύ δύο ἀγωγῶν ὑπάρχει διαφορά δυναμικοῦ  $U = 1 \text{ V}$ . Ἐνα ἠλεκτρόνιο ἐξαιτίας τοῦ ἠλεκτρικοῦ πεδίου πηγαίνει ἀπὸ τόν ἓναν ἀγωγό στόν ἄλλο. Πόσο ἔργο παράγεται, ὅταν γίνεται αὐτὴ ἡ μετακίνηση τοῦ ἠλεκτρονίου;

31. Ὁ ἀτομικός πυρήνας νατρίου ἔχει φορτίο  $q = +11e$ . Μὲ πόση δύναμη αὐτός ὁ πυρήνας ἀπωθεῖ ἓνα πρωτόνιο, ὅταν ἡ μεταξύ τους ἀπόσταση εἶναι  $r = 10^{-7} \text{ cm}$ ;

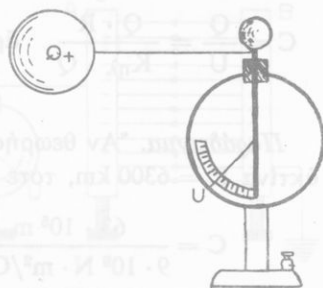
32. Μεταξύ δύο ὀριζόντιων μεταλλικῶν πλακῶν, πού ἡ ἀπόστασή τους εἶναι  $l = 2 \text{ cm}$ , θέλουμε νά διατηρηθεῖ αἰωρούμενη μιά μικρὴ σταγόνα λαδιοῦ, πού ἔχει μάζα  $m = 10^{-12} \text{ gr}$  καὶ φορτίο  $q = +2e$ . Πόση τάση πρέπει νά ὑπάρχει μεταξύ τῶν δύο πλακῶν;  $g = 9,8 \text{ m/sec}^2$ .

## ΧΩΡΗΤΙΚΟΤΗΤΑ ΑΓΩΓΟΥ — ΠΥΚΝΩΤΕΣ

### 36. Χωρητικότητα ἀγωγοῦ

Τό δυναμικό ἑνός ἀγωγοῦ τό μετράμε μὲ εἰδικό ὄργανο, πού ὀνομάζεται ἠλεκτρομέτρο καὶ εἶναι βαθμολογημένο σέ Volt (σχ. 41).

Ένας μονωμένος άγωγός έχει φορτίο  $Q$  και με το ήλεκτρομέτρο βρίσκουμε ότι έχει δυναμικό  $U$ . Αν το φορτίο του άγωγού γίνει  $2Q, 3Q, \dots$ , βρίσκουμε ότι το δυναμικό του άγωγού γίνεται αντίστοιχα  $2U, 3U, \dots$ . Παρατηρούμε ότι το πηλίκο του φορτίου διά του δυναμικού του άγωγού διατηρείται σταθερό. Από αυτό το πείραμα καταλήγουμε στον όρισμό ενός νέου φυσικού μεγέθους, που ονομάζεται *χωρητικότητα* του άγωγού.



Σχ. 41. Μέτρηση του δυναμικού ενός άγωγού.

**Χωρητικότητα ( $C$ )** ενός άγωγού ονομάζεται το σταθερό πηλίκο του φορτίου ( $Q$ ) διά του δυναμικού ( $U$ ) του άγωγού.

$$\text{χωρητικότητα άγωγού} \quad C = \frac{Q}{U} \quad (1)$$

*Μονάδα χωρητικότητας.* Αν στην εξίσωση (1) βάλουμε  $Q = 1$  Coulomb και  $U = 1$  Volt, βρίσκουμε  $C = 1$  MKSA. Στο σύστημα MKSA ή μονάδα χωρητικότητας ονομάζεται *Farad* (1 F) και ορίζεται ως εξής:

**1 Farad (1 F)** είναι η χωρητικότητα άγωγού, ο οποίος, όταν έχει φορτίο 1 Coulomb, έχει δυναμικό ίσο με 1 Volt.

$$\begin{array}{l} \text{μονάδα} \\ \text{χωρητικότητας} \end{array} \quad 1 \text{ Farad} = \frac{1 \text{ Coulomb}}{1 \text{ Volt}} \quad \text{ή} \quad 1 \text{ F} = 1 \frac{\text{Cb}}{\text{V}}$$

Στην πράξη χρησιμοποιούμε συνήθως δύο πολύ μικρότερες μονάδες, το *μικροφαράντ* (1  $\mu\text{F}$ ) και το *πικοφαράντ* (1 pF), που είναι

$$1 \mu\text{F} = 10^{-6} \text{ F} \quad \text{και} \quad 1 \text{ pF} = 10^{-6} \mu\text{F} = 10^{-12} \text{ F}$$

**Χωρητικότητα σφαιρικού άγωγού.** Σφαιρικός άγωγός έχει ακτίνα  $R$ , φορτίο  $Q$  και δυναμικό (§ 29γ) ίσο με  $U = K_{\eta\lambda} \cdot Q/R$ . Ο άγωγός αυτός έχει χωρητικότητα:

$$C = \frac{Q}{U} = \frac{Q \cdot R}{K_{\eta\lambda} \cdot Q} \quad \text{\AA} \text{ρα} \quad C = \frac{R}{K_{\eta\lambda}} \quad \left\{ \begin{array}{l} R \text{ σε m} \\ K_{\eta\lambda} \text{ σε } N \cdot m^2 / Cb^2 \\ C \text{ σε F} \end{array} \right.$$

**Παράδειγμα.** Αν θεωρήσουμε τή Γῆ ως σφαιρικό άγωγό πού έχει άκτίνα  $R = 6300 \text{ km}$ , τότε ή χωρητικότητα τής Γῆς εἶναι:

$$C = \frac{63 \cdot 10^5 \text{ m}}{9 \cdot 10^9 \text{ N} \cdot \text{m}^2 / \text{Cb}^2} = 7 \cdot 10^{-4} \text{ F} \quad \text{\AA} \text{ η } C = 700 \mu\text{F}$$

### 37. Ἐνέργεια φορτισμένου άγωγού

Ἄγωγός έχει ήλεκτρικό φορτίο  $Q$ , δυναμικό  $U$  καί χωρητικότητα

$$C = \frac{Q}{U} \quad \text{\AA} \text{ρα εἶναι } Q = C \cdot U \quad (1)$$

Γιά νά φορτισθεῖ αὐτός ό άγωγός, δαπανήθηκε ενέργεια, ή όποία μένει *αποταμιευμένη* πάνω στόν άγωγό. Ἀποδεικνύεται ότι ή *ενέργεια* ( $E_{\eta\lambda}$ ) πού έχει τότε ό άγωγός δίνεται άπό τήν εξίσωση:

<div style="display: flex; align-items: center; justify-content: center;"> <div style="text-align: center; margin-right: 20px;"> <p>ένέργεια φορτισμένου άγωγού</p> </div> <div style="text-align: center;"> <math>E_{\eta\lambda} = \frac{1}{2} Q \cdot U</math> </div> </div>	$\left\{ \begin{array}{l} Q \text{ σε } Cb \\ U \text{ σε } V \\ E_{\eta\lambda} \text{ σε } \text{Joule} \end{array} \right.$
---	--

Ἡ τελευταία εξίσωση μπορεί νά λάβει καί τήν εξῆς μορφή:

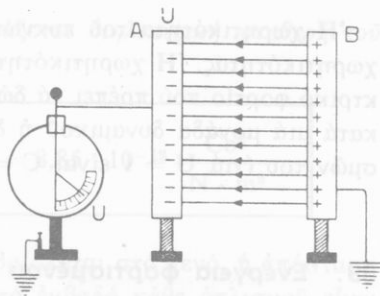
$$E_{\eta\lambda} = \frac{1}{2} C \cdot U^2 \quad \text{\AA} \text{ η } E_{\eta\lambda} = \frac{1}{2} \cdot \frac{Q^2}{C}$$

### 38. Πυκνωτής

Εἶναι γνωστό (§ 36) ότι ένας μονωμένος άγωγός, πού έχει ήλεκτρικό φορτίο  $Q$ , έχει *σταθερή* χωρητικότητα  $C = Q/U$ . Ἐκτελούμε τό εξῆς πείραμα : Μιά μεταλλική πλάκα  $A$  (σχ. 42) εἶναι μονωμένη, έχει άρνητικό φορτίο  $-Q$  καί δυναμικό κατ' άπόλυτη τιμή ἴσο μέ  $U$ . Στήν πλάκα  $A$  πλησιάζουμε μία άλλη όμοια πλάκα  $B$ , πού εἶναι προσ-

γειωμένη. Παρατηρούμε ότι τό δυναμικό της πλάκας A *ελαττώνεται* και έπομένως ή χωρητικότητα της *αυξάνει*. Τό πείραμα αυτό δείχνει ότι ή χωρητικότητα ενός φορτισμένου άγωγού *αυξάνει*, όταν σ' αυτό τόν άγωγό πλησιάσει άλλος προσγειωμένος άγωγός.

Τό σύστημα των δύο άγωγών A και B ονομάζεται *πυκνωτής* και οι δύο άγωγοί ονομάζονται *όπλισμοί* τού πυκνωτή. "Όταν κοντά στην πλάκα A φέρουμε την πλάκα B, αυτή ήλεκτρίζεται με έπαγωγή, τά άρνητικά φορτία φεύγουν στο έδαφος και πάνω στην πλάκα B μένουν τά θετικά φορτία. Τότε οι δύο όπλισμοί έχουν ίσα έτερόνυμα φορτία +Q και -Q. Μεταξύ των δύο όπλισμών σχηματίζεται *όμογενές ήλεκτρικό πεδίο*.



Σχ. 42. Έπίπεδος πυκνωτής.

Χωρητικότητα πυκνωτή. 'Ο προσγειωμένος όπλισμός B έχει δυναμικό μηδέν, ενώ ό άλλος όπλισμός A έχει ένα δυναμικό U. "Ωστε μεταξύ των δύο όπλισμών υπάρχει διαφορά δυναμικού (ή τάση) ίση με U. "Αν συνδέσουμε με σύρμα τούς δύο όπλισμούς, τά φορτία των δύο όπλισμών εξαφανίζονται και λέμε ότι έγινε *έκφόρτιση* τού πυκνωτή. Αυτό συμβαίνει, γιατί τά ήλεκτρόνια πού πλεονάζουν στόν όπλισμό A και πού έχουν όλικό φορτίο -Q, έρχονται στόν όπλισμό B και εξουδετερώνουν τό θετικό φορτίο του +Q. "Ωστε κατά την έκφόρτιση μετακινείται από τόν έναν όπλισμό στόν άλλο ήλεκτρικό φορτίο πού, κατ' άπόλυτη τιμή, είναι ίσο με Q. Αυτό τό φορτίο τό ονομάζουμε *ήλεκτρικό φορτίο τού πυκνωτή*. Κατ' αναλογία με τόν όρισμό πού δώσαμε γιά τή χωρητικότητα άγωγού, έχουμε τόν άκόλουθο *όρισμό* :

Χωρητικότητα (C) πυκνωτή ονομάζεται τό σταθερό πηλίκο τού ήλεκτρικού φορτίου (Q) τού πυκνωτή διά της διαφοράς δυναμικού (U) πού υπάρχει μεταξύ των δύο όπλισμών του.

$$\text{χωρητικότητα πυκνωτή} \quad C = \frac{Q}{U}$$

Ἡ χωρητικότητα τοῦ πυκνωτῆ μετρίεται μέ τίς γνωστές μονάδες χωρητικότητας. Ἡ χωρητικότητα (C) τοῦ πυκνωτῆ ἐκφράζει τό ἠλεκτρικό φορτίο πού πρέπει νά δώσουμε στόν πυκνωτή, γιά νά ἀυξηθεῖ κατά μιά μονάδα δυναμικοῦ ἢ διαφορά δυναμικοῦ μεταξύ τῶν ὀπλισμῶν του (γιά  $U = 1$  εἶναι  $C = Q$ ).

### 39. Ἐνέργεια φορτισμένου πυκνωτῆ

Ὅπως ἕνας φορτισμένος ἀγωγός, ἔτσι καί ἕνας φορτισμένος πυκνωτής ἔχει ἀποταμιευμένη ἐνέργεια. Ἄν ὁ πυκνωτής ἔχει ἠλεκτρικό φορτίο Q καί μεταξύ τῶν ὀπλισμῶν του ὑπάρχει διαφορά δυναμικοῦ U (ἢ τάση), τότε ἡ ἐνέργεια τοῦ πυκνωτῆ εἶναι :

ἐνέργεια πυκνωτῆ

$$E_{\eta\lambda} = \frac{1}{2} Q \cdot U$$

$$\left\{ \begin{array}{l} Q \text{ σέ Cb} \\ U \text{ σέ V} \\ E_{\eta\lambda} \text{ σέ Joule} \end{array} \right.$$

Ἐπειδή ἡ χωρητικότητα τοῦ πυκνωτῆ εἶναι  $C = Q/U$ , ἡ παραπάνω ἐξίσωση γράφεται καί ὡς ἐξῆς :

$$E_{\eta\lambda} = \frac{1}{2} C \cdot U^2 \quad \text{καί} \quad E_{\eta\lambda} = \frac{1}{2} \cdot \frac{Q^2}{C}$$

### 40. Ἐπίπεδος πυκνωτής

Ὁ ἐπίπεδος πυκνωτής ἀποτελεῖται ἀπό δύο ἐπίπεδους παράλληλους ὀπλισμούς καί ἡ ἀπόσταση τοῦ ἑνός ὀπλισμοῦ ἀπό τόν ἄλλο εἶναι  $l$ . Ἡ ἐπιφάνεια κάθε ὀπλισμοῦ ἔχει ἐμβαδό S καί μεταξύ τῶν δύο ὀπλισμῶν ὑπάρχει κενό (ἢ ἀέρας). Ἀποδεικνύεται ὅτι στό σύστημα MKSA ἡ χωρητικότητα ( $C_0$ ) ἐπίπεδου πυκνωτῆ δίνεται ἀπό τήν ἐξίσωση :

χωρητικότητα ἐπίπεδου  
πυκνωτῆ

$$C_0 = \epsilon_0 \cdot \frac{S}{l}$$

$$\left\{ \begin{array}{l} \epsilon, \text{ σέ } Cb^2/(N \cdot m^2) \\ S \text{ σέ } m^2 \\ l \text{ σέ } m \\ C \text{ σέ } F \end{array} \right.$$

όπου  $\epsilon_0$  είναι μία σταθερή, που ονομάζεται *διηλεκτρική σταθερή του κενού* και είναι ίση με:

$$\text{διηλεκτρική σταθερή του κενού} \quad \epsilon_0 = 8,85 \cdot 10^{-12} \frac{\text{Cb}^2}{\text{N} \cdot \text{m}^2}$$

*Παράδειγμα.* Επίπεδος πυκνωτής βρίσκεται στο κενό, ή απόσταση των όπλισμών του είναι  $l = 5 \text{ mm}$ , το έμβασό κάθε όπλισμού είναι  $S = 2 \text{ m}^2$  και η τάση μεταξύ των όπλισμών του είναι  $U = 10^4 \text{ V}$ . Θά υπολογίσουμε τη χωρητικότητα ( $C_0$ ) του πυκνωτή και την ένταση ( $E$ ) του ομογενοῦς ηλεκτρικοῦ πεδίου που σχηματίζεται μεταξύ των όπλισμών του.

Ἡ χωρητικότητα είναι:

$$C_0 = \epsilon_0 \cdot \frac{S}{l} = 8,85 \cdot 10^{-12} \frac{\text{Cb}^2}{\text{N} \cdot \text{m}^2} \cdot \frac{2 \text{ m}^2}{5 \cdot 10^{-3} \text{ m}} \quad \text{καί}$$

$$C_0 = 3,54 \cdot 10^{-9} \text{ F} (*)$$

Ἡ ένταση του ηλεκτρικοῦ πεδίου είναι:

$$E = \frac{U}{l} = \frac{10^4 \text{ V}}{5 \cdot 10^{-3} \text{ m}} \quad \text{καί} \quad E = 2 \cdot 10^6 \text{ V/m} \quad (\text{ἢ N/Cb})$$

Σχέση μεταξύ των ηλεκτρικῶν σταθερῶν  $K_{\eta\lambda}$  καί  $\epsilon_0$ . Στο σύστημα MKSA τό κενό ἔχει ὀρισμένη *διηλεκτρική σταθερή*  $\epsilon_0$ . Ἡ θεωρητική καί ἡ πειραματική ἔρευνα ἀπέδειξαν ὅτι ἡ *ἡλεκτρική σταθερή*  $K_{\eta\lambda}$  καί ἡ *διηλεκτρική σταθερή του κενού*  $\epsilon_0$  συνδέονται μεταξύ τους μέ τή σχέση:

$$\text{οἱ δύο ἡλεκτρικές σταθερές} \quad K_{\eta\lambda} = \frac{1}{4\pi\epsilon_0} = 9 \cdot 10^9 \frac{\text{N} \cdot \text{m}^2}{\text{Cb}^2}$$

(\*) Ἔχουμε ;  $\frac{\text{Cb}^2}{\text{N} \cdot \text{m}} = \frac{\text{Cb}^2}{\text{Joule}} = \frac{\text{Cb}}{\text{Joule/Cb}} = \frac{\text{Cb}}{\text{V}} = \text{F}$

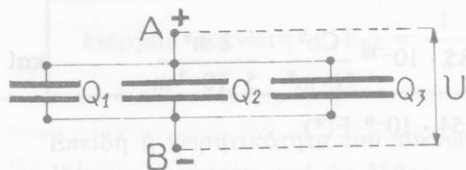
**Παρατήρηση.** Σύμφωνα με την παραπάνω σχέση στο σύστημα MKSA ο νόμος του *Coulomb* για το κενό (ή τον άερα) σε συνάρτηση με τη διηλεκτρική σταθερή του κενού  $\epsilon_0$  δίνεται από την εξίσωση:

$$F_0 = K_{ηλ} \cdot \frac{Q_1 \cdot Q_2}{r^2} \quad \text{ή} \quad F_0 = \frac{1}{4\pi\epsilon_0} \cdot \frac{Q_1 \cdot Q_2}{r^2} \quad \left\{ \begin{array}{l} \epsilon_0 \text{ σε } \text{Cb}^2/(\text{N} \cdot \text{m}^2) \\ Q_1, Q_2 \text{ σε } \text{Cb} \\ r \text{ σε } \text{m} \\ F_0 \text{ σε } \text{N} \end{array} \right. \quad (1)$$

#### 41. Σύνδεση πυκνωτών

Αν συνδέσουμε κατάλληλα πολλούς πυκνωτές, σχηματίζουμε μία *συστοιχία πυκνωτών*. Οί πίο άπλοί τρόποι συνδέσεως τών πυκνωτών είναι ή *παράλληλη σύνδεση* και ή *σύνδεση κατά σειρά*.

α. *Παράλληλη σύνδεση.* Στην *παράλληλη σύνδεση* οί πυκνωτές συν-



Σχ. 43. Παράλληλη σύνδεση πυκνωτών.

δέονται όπως φαίνεται στο σχήμα 43 (δηλαδή συνδέονται όλοι μαζί οί θετικοί και όλοι μαζί οί άρνητικοί όπλισμοί). Αν οί πυκνωτές έχουν χωρητικότητα  $C_1, C_2, C_3$ , τότε άποδεικνύεται ότι ή *όλική χωρητικότητα*

$C_{ολ}$  τής συστοιχίας δίνεται από την εξίσωση :

$$\text{παράλληλη σύνδεση} \quad C_{ολ} = C_1 + C_2 + C_3$$

*Απόδειξη.* Στους δύο όπλισμούς κάθε πυκνωτή εφαρμόζεται ή *ίδια τάση*  $U$ . Άσπε οί πυκνωτές έχουν ήλεκτρικά φορτία:

$$Q_1 = C_1 \cdot U \quad Q_2 = C_2 \cdot U \quad Q_3 = C_3 \cdot U$$

Τό *όλικό φορτίο*  $Q_{ολ}$  τής συστοιχίας είναι:

$$Q_{ολ} = Q_1 + Q_2 + Q_3 \quad \text{ή} \quad Q_{ολ} = (C_1 + C_2 + C_3) \cdot U$$

Η *όλική χωρητικότητα*  $C_{ολ}$  τής συστοιχίας είναι :

$$C_{ολ} = \frac{Q_{ολ}}{U} \quad \text{άρα} \quad C_{ολ} = C_1 + C_2 + C_3$$

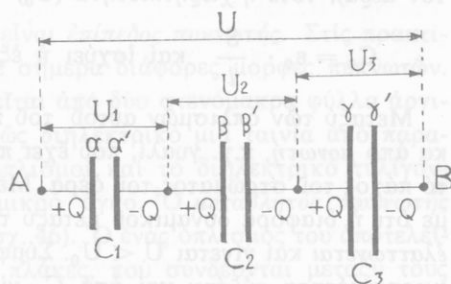
β. *Σύνδεση κατά σειρά.* Στή *σύνδεση κατά σειρά* οί πυκνωτές συν-



δέονται όπως φαίνεται στο σχήμα 44 (δηλαδή ο αρνητικός όπλισμός του πρώτου πυκνωτή συνδέεται με το θετικό όπλισμό του δεύτερου πυκνωτή κ.ο.κ.). Αν οι πυκνωτές έχουν χωρητικότητα  $C_1, C_2, C_3$ , τότε αποδεικνύεται ότι η *ολική χωρητικότητα*  $C_{ολ}$  της συστοιχίας δίνεται από την εξίσωση:

$$\text{σύνδεση κατά σειρά} \quad \frac{1}{C_{ολ}} = \frac{1}{C_1} + \frac{1}{C_2} + \frac{1}{C_3}$$

*Απόδειξη.* Στόν όπλισμό α του πρώτου πυκνωτή δίνουμε φορτίο  $+Q$ . Τότε ο άλλος όπλισμός α' ηλεκτρίζεται με επαγωγή και στόν όπλισμό α' παραμένει το φορτίο  $-Q$ , ενώ το ομώνυμο φορτίο  $+Q$  πηγαίνει στόν όπλισμό β του δεύτερου πυκνωτή. Για τον ίδιο λόγο ο όπλισμός γ του τρίτου πυκνωτή έχει φορτίο  $+Q$ . Ωστε κάθε πυκνωτής έχει το ίδιο ηλεκτρικό φορτίο  $Q$ . Η τάση που εφαρμόζεται σε κάθε πυκνωτή είναι:



Σχ. 44. Σύνδεση πυκνωτών κατά σειρά.

$$U_1 = \frac{Q}{C_1} \quad U_2 = \frac{Q}{C_2} \quad U_3 = \frac{Q}{C_3}$$

Η *ολική τάση*  $U$  που εφαρμόζεται στή συστοιχία είναι ίση με το άθροισμα των μερικών τάσεων, δηλαδή είναι:

$$U = U_1 + U_2 + U_3 = Q \cdot \left( \frac{1}{C_1} + \frac{1}{C_2} + \frac{1}{C_3} \right) \quad \text{και}$$

$$\frac{U}{Q} = \frac{1}{C_1} + \frac{1}{C_2} + \frac{1}{C_3} \quad (1)$$

Η *ολική χωρητικότητα*  $C_{ολ}$  της συστοιχίας είναι:

$$C_{ολ} = \frac{Q}{U} \quad \text{άρα} \quad \frac{1}{C_{ολ}} = \frac{U}{Q} \quad (2)$$

Άπό τίς εξίσώσεις (1) καί (2) βρίσκουμε:

$$\frac{1}{C_{\text{ολ}}} = \frac{1}{C_1} + \frac{1}{C_2} + \frac{1}{C_3}$$

#### 42. Πυκνωτής μέ διηλεκτρικό ύλικό

Ένας επίπεδος πυκνωτής έχει στόν ένα όπλισμό του φορτίο  $+Q$  καί στόν άλλο  $-Q$ . Η επιφάνεια κάθε όπλισμοϋ έχει έμβασό  $S$  καί ή διαφορά δυναμικοϋ μεταξύ τών δύο όπλισμών είναι  $U_0$ . Η απόσταση τών δύο όπλισμών είναι  $l$ . Όταν ο πυκνωτής βρίσκεται στό κενό (ή τόν άέρα), τότε ή χωρητικότητα ( $C_0$ ) τοϋ πυκνωτή είναι :

$$C_0 = \epsilon_0 \cdot \frac{S}{l} \quad \text{καί ισχύει ή εξίσωση} \quad Q = C_0 \cdot U_0 \quad (1)$$

Μεταξύ τών όπλισμών αϋτοϋ τοϋ πυκνωτή τοποθετοϋμε μιά πλάκα από μονωτή, π.χ. γυαλί, πού έχει πάχος  $l$ , όσο ήταν προηγουμένως τό πάχος τοϋ στρώματος τοϋ άέρα. Μέ ένα ήλεκτρόμετρο παρατηρούμε ότι ή διαφορά δυναμικοϋ μεταξύ τών δύο όπλισμών τοϋ πυκνωτή *έλαττώνεται* καί γίνεται  $U < U_0$ . Σύμφωνα μέ τήν εξίσωση (1) τότε ή χωρητικότητα *αϋξάνει* καί από  $C_0$  γίνεται  $C > C_0$ . Ο λόγος  $C/C_0$  ονομάζεται *διηλεκτρική σταθερή* ( $\epsilon$ ) τοϋ γυαλιοϋ, δέν έχει διαστάσεις καί είναι διαφορετική γιά κάθε μονωτικό ύλικό. Γενικά οί μονωτές ονομάζονται καί *διηλεκτρικά ύλικά*. Άπό τά παραπάνω συνάγεται ο ακόλουθος *ορισμός* :

**Διηλεκτρική σταθερή ( $\epsilon$ )** ενός ύλικοϋ ονομάζεται ο λόγος τής χωρητικότητας ( $C$ ) ενός πυκνωτή, πού έχει ως διηλεκτρικό αϋτό τό ύλικό, πρós τή χωρητικότητα ( $C_0$ ) τοϋ ίδιοϋ πυκνωτή, όταν έχει ως διηλεκτρικό τό κενό (ή τόν άέρα).

διηλεκτρική σταθερή $\epsilon = \frac{C}{C_0}$
--

 (2)

Άπό τήν εξίσωση (2) βρίσκουμε ότι ή *χωρητικότητα* ( $C$ ) τοϋ επιπέδου πυκνωτή, όταν μεταξύ τών όπλισμών του ύπάρχει *ύλικό μέ διηλεκτρική σταθερή  $\epsilon$* , είναι:

χωρητικότητα  
πυκνωτή με  
διηλεκτρικό

$$C = \varepsilon \cdot C_0 \quad \text{ή} \quad C = \varepsilon \varepsilon_0 \cdot \frac{S}{l}$$

$$\left\{ \begin{array}{l} \varepsilon_0 \text{ σε } \text{Cb}^2/(\text{N} \cdot \text{m}^2) \\ S \text{ σε } \text{m}^2 \\ l \text{ σε } \text{m} \\ C \text{ σε } \text{F} \end{array} \right.$$

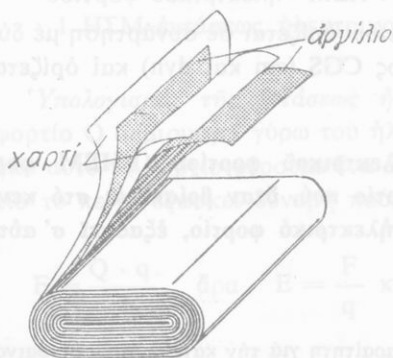
**Παρατήρηση.** Η διηλεκτρική σταθερή  $\varepsilon$  ονομάζεται και *σχετική διηλεκτρική σταθερή* του υλικού, δηλαδή σχετικά με τό κενό ή τόν άέρα.

*Διηλεκτρική σταθερή ( $\varepsilon$ ) μερικῶν διηλεκτρικῶν:*

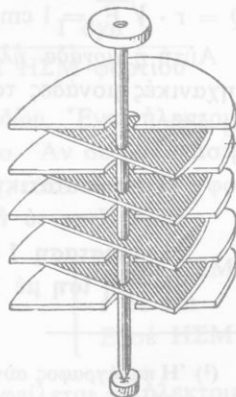
Παραφίνη 2. Χαρτί 2,4. Γυαλί 2-16. Μαρμαρυγίας 5-7.

### 43. Μορφές πυκνωτῶν

Ἐξέτάσαμε πού ἐξετάσαμε εἶναι *ἐπίπεδος πυκνωτής*. Στίς πρακτικές ἐφαρμογές χρησιμοποιοῦμε σήμερα διάφορες μορφές πυκνωτῶν. Ὁ *φυλλωτός πυκνωτής* ἀποτελεῖται ἀπό δύο στενόμακτρα φύλλα ἀργιλίου καί μεταξύ τους ὑπάρχει ὡς διηλεκτρικό μιά ταινία ἀπό παραφινωμένο χαρτί (σχ. 45). Οἱ ὀπλισμοί καί τό διηλεκτρικό τυλίγονται, ὥστε ὁ πυκνωτής νά ἔχει μικρό ὄγκο. Ὁ *μεταβλητός πυκνωτής* ἔχει ὡς διηλεκτρικό τόν ἀέρα (σχ. 46). Ὁ ἕνας ὀπλισμός του ἀποτελεῖται ἀπό ἀκίνητες ἡμικυκλικές πλάκες, πού συνδέονται μεταξύ τους μέ μεταλλικές ράβδους. Ὁ ἄλλος ὀπλισμός του ἀποτελεῖται ἀπό ὅμοιες ἡμικυκλικές πλάκες, πού εἶναι στερεωμένες πάνω σέ ἄξονα καί μποροῦν νά μπαίνουν περισσότερο ἢ λιγότερο ἀνάμεσα στίς μόνιμες πλά-



Σχ. 45. Φυλλωτός πυκνωτής.



Σχ. 46. Μεταβλητός πυκνωτής.

κες. Μέ τη μετακίνηση του κινητού όπλισμού μεταβάλλεται η επιφάνεια (S) των όπλισμών και έτσι μεταβάλλεται η χωρητικότητα του πυκνωτή. Οί μεταβλητοί πυκνωτές χρησιμοποιούνται στη ραδιοφωνία και την τηλεόραση. Σε μερικές περιπτώσεις χρησιμοποιούνται πυκνωτές με *ύγρα διηλεκτρικά* (π.χ. δορυκτέλαιο).

#### \*44. Έξιώσεις και μονάδες στο ηλεκτροστατικό σύστημα μονάδων (HΣΜ) <sup>(1)</sup>

α. Νόμος του Coulomb. Στο ηλεκτροστατικό σύστημα μονάδων (σύστημα ΗΣΜ) η *ηλεκτρική σταθερή*  $K_{ηλ}$  για τό κενό (ή τόν άέρα) είναι ίση μέ *τή μονάδα* και δέν έχει διαστάσεις.

$$\text{ηλεκτρική σταθερή του Coulomb } K_{ηλ} = 1$$

Έπομένως στο σύστημα ΗΣΜ *ο νόμος του Coulomb* για τό κενό (ή τόν άέρα) δίνεται από *τήν εξίσωση*:

$$\text{νόμος του Coulomb } F = \frac{Q_1 \cdot Q_2}{r^2} \quad (1)$$

*Μονάδα ηλεκτρικού φορτίου.* Άν στην εξίσωση (1) βάλουμε  $Q_1 = Q_2 = Q$ ,  $r = 1 \text{ cm}$  και  $F = 1 \text{ dyn}$ , βρίσκουμε:

$$Q = r \cdot \sqrt{F} = 1 \text{ cm} \cdot \sqrt{1 \text{ dyn}} = 1 \text{ ΗΣΜ - ηλεκτρικού φορτίου}$$

Αυτή η *μονάδα ηλεκτρικού φορτίου* όρίζεται σέ συνάρτηση μέ δύο μηχανικές μονάδες του συστήματος CGS (cm και dyn) και όρίζεται ως εξής:

Ήλεκτροστατική μονάδα ηλεκτρικού φορτίου (1 ΗΣΜ - φορτίου) είναι τό ηλεκτρικό φορτίο πού, όταν βρίσκεται στο κενό σέ απόσταση 1 cm από ίσο ηλεκτρικό φορτίο, εξασκεί σ' αυτό δύναμη ίση μέ 1 dyn.

(<sup>1</sup>) Ή παράγραφος αυτή δέν είναι απαραίτητη για *τήν κατανόηση των φαινομένων* και για *τίς μετρήσεις των ηλεκτρικών μεγεθών*, αλλά δείχνει *τίς σημαντικές διαφορές* πού υπάρχουν μεταξύ των συστημάτων MKSA και ΗΣΜ.

Από αυτή τη μονάδα προκύπτουν άλλες μονάδες του ηλεκτροστατικού συστήματος. Είναι:

$$1 \text{ Coulomb (1 Cb)} = 3 \cdot 10^9 \text{ ΗΣΜ-φορτίου}$$

β. Ένταση ηλεκτρικού πεδίου. Σε ένα σημείο A του ηλεκτρικού πεδίου υπάρχει ένα ηλεκτρικό φορτίο q. Το πεδίο εξασκεί σ' αυτό το φορτίο μία δύναμη F και ισχύει ο εξής ορισμός:

Ονομάζεται ένταση ( $\vec{E}$ ) του ηλεκτρικού πεδίου σε ένα σημείο του τόηλίκο της δυνάμεως ( $\vec{F}$ ) που ενεργεί στο ηλεκτρικό φορτίο q διά του ηλεκτρικού φορτίου q.

$$\text{ένταση ηλεκτρικού πεδίου} \quad \vec{E} = \frac{\vec{F}}{q}$$

Η ένταση ηλεκτρικού πεδίου είναι *άνυσμα* ( $\vec{E}$ ) που έχει φορά τό φορέα της δυνάμεως F, μέτρο ίσο μέ τό ηλίκο  $E = F/q$  καί φορά κατά σύμβαση τή φορά της δυνάμεως F, όταν αυτή ενεργεί σέ θετικό ηλεκτρικό φορτίο +q.

Μονάδα έντάσεως ηλεκτρικού πεδίου. Αν στην εξίσωση  $E = F/q$  βάλουμε  $F = 1 \text{ dyn}$  καί  $q = 1 \text{ ΗΣΜ-ηλεκτρικού φορτίου}$ , βρίσκουμε 1 ΗΣΜ -έντάσεως ηλεκτρικού πεδίου. Ωστε:

$$1 \text{ ΗΣΜ-έντάσεως ηλεκτρικού πεδίου} = \frac{1 \text{ dyn}}{1 \text{ ΗΣΜ-φορτίου}}$$

Υπολογισμός της έντάσεως ηλεκτρικού πεδίου. Ένα ηλεκτρικό φορτίο Q δημιουργεί γύρω του ηλεκτρικό πεδίο. Αν σέ απόσταση r από αυτό τό φορτίο φέρουμε ένα άλλο φορτίο q, τότε σ' αυτό τό φορτίο τό πεδίο εξασκεί δύναμη που έχει μέτρο:

$$F = \frac{Q \cdot q}{r^2} \quad \text{άρα} \quad E = \frac{F}{q} \quad \text{καί} \quad E = \frac{Q}{r^2} \quad \left\{ \begin{array}{l} Q \text{ σέ ΗΣΜ} \\ r \text{ σέ cm} \\ E \text{ σέ ΗΣΜ} \end{array} \right.$$

όπου Q είναι τό ηλεκτρικό φορτίο στό όποιο οφείλεται τό ηλεκτρικό πεδίο.

γ. Δυναμική γραμμή ηλεκτρικού πεδίου. Για *τή δυναμική γραμμή* ισχύουν οι όρισμοί που ισχύουν και στο σύστημα MKSA και σε κάθε σημείο της δυναμικής γραμμής το άνυσμα ( $\vec{E}$ ) της έντασεως του ηλεκτρικού πεδίου είναι εφαπτόμενο της δυναμικής γραμμής.

Στό ομογενές ηλεκτρικό πεδίο ή έντασή του είναι σταθερή σε όλα τα σημεία του.

δ. Δυναμικό σε ένα σημείο του ηλεκτρικού πεδίου. Για *τό δυναμικό* σε ένα σημείο του ηλεκτρικού πεδίου ισχύει και στο σύστημα ΗΣΜ ή εξίσωση όρισμού:

$$\begin{array}{l} \text{δυναμικό σε σημείο} \\ \text{του ηλεκτρικού πεδίου} \end{array} \quad U = \frac{W}{+q} \quad (2)$$

*Μονάδα δυναμικού.* \*Αν στην εξίσωση (2) βάλουμε  $W = 1 \text{ erg}$  και  $q = 1 \text{ ΗΣΜ-φορτίου}$ , βρίσκουμε :  $U = 1 \text{ ΗΣΜ-δυναμικού}$   
 \*Όστε είναι :

$$1 \text{ ΗΣΜ-δυναμικού} = \frac{1 \text{ erg}}{1 \text{ ΗΣΜ-φορτίου}} = 1 \frac{\text{erg}}{\text{ΗΣΜ-φορτίου}}$$

Γνωρίζουμε ότι είναι:

$$1 \text{ Volt} = \frac{1 \text{ Joule}}{1 \text{ Coulomb}} = \frac{10^7 \text{ erg}}{3 \cdot 10^9 \text{ ΗΣΜ-φορτίου}} \quad \text{άρα}$$

$$1 \text{ Volt} = \frac{1}{300} \text{ ΗΣΜ-δυναμικού}$$

\*Επίσης για *τή διαφορά δυναμικού* μεταξύ δύο σημείων του ηλεκτρικού πεδίου ισχύει η γνωστή (§ 44δ) εξίσωση :

$$\text{διαφορά δυναμικού} \quad U_1 - U_2 = \frac{W}{+q}$$

\*Αρα η διαφορά δυναμικού μεταξύ δύο σημείων του ηλεκτρικού πεδίου είναι ίση με 1 ΗΣΜ-δυναμικού, όταν ισχύει η σχέση:

$$U_1 - U_2 = 1 \text{ ΗΣΜ-δυναμικού} = \frac{1 \text{ erg}}{1 \text{ ΗΣΜ-φορτίου}} =$$

$$= 1 \frac{\text{erg}}{\text{ΗΣΜ-φορτίου}}.$$

Δυναμικό άγωγοῦ καί διαφορά δυναμικοῦ μεταξύ δύο άγωγῶν.  
Γιά τό δυναμικό άγωγοῦ καί τή διαφορά δυναμικοῦ μεταξύ δύο άγωγῶν  
ισχύουν οἱ γνωστές ἐξισώσεις ὀρισμοῦ:

$$\begin{array}{l} \text{δυναμικό} \\ \text{άγωγοῦ} \end{array} \quad U = \frac{W}{+q} \quad \begin{array}{l} \text{διαφορά δυναμικοῦ} \\ \text{μεταξύ δύο άγωγῶν} \end{array} \quad U_1 - U_2 = \frac{W}{+q}$$

Τά μεγέθη  $W$ ,  $q$ ,  $U$  καί  $U_1 - U_2$  μετριοῦνται σέ ηλεκτροστατικές  
μονάδες.

στ. Δυναμικό σφαιρικοῦ άγωγοῦ. Τό δυναμικό σφαιρικοῦ άγωγοῦ  
πού ἔχει φορτίο  $Q$  καί άκτίνα  $R$  δίνεται ἀπό τήν ἐξίσωση:

$$\begin{array}{l} \text{δυναμικό σφαιρικοῦ} \\ \text{άγωγοῦ} \end{array} \quad U = \frac{Q}{R} \quad \left\{ \begin{array}{l} Q \text{ σέ ΗΣΜ} \\ R \text{ σέ cm} \\ U \text{ σέ ΗΣΜ} \end{array} \right.$$

ζ. Χωρητικότητα άγωγοῦ καί μονάδα χωρητικότητας. Γιά τή χω-  
ρητικότητα άγωγοῦ ισχύει ἡ γνωστή ἐξίσωση ὀρισμοῦ:

$$\text{χωρητικότητα άγωγοῦ} \quad C = \frac{Q}{U}$$

Ἀπό αὐτή τήν ἐξίσωση βρίσκουμε ὅτι μονάδα χωρητικότητας  
εἶναι:

$$1 \text{ ΗΣΜ-χωρητικότητας} = \frac{1 \text{ ΗΣΜ-φορτίου}}{1 \text{ ΗΣΜ-δυναμικοῦ}}$$

Γνωρίζουμε ὅτι εἶναι:

$$1 \text{ Farad} = \frac{1 \text{ Coulomb}}{1 \text{ Volt}} = \frac{3 \cdot 10^9 \text{ ΗΣΜ-φορτίου}}{(1/300) \text{ ΗΣΜ-δυναμικοῦ}}$$

$$\text{ἄρα} \quad 1 \text{ Farad} = 9 \cdot 10^{11} \text{ ΗΣΜ-χωρητικότητας}$$

Ἡ χωρητικότητα σφαιρικοῦ ἀγωγοῦ βρίσκουμε ὅτι δίνεται ἀπὸ τὴν ἐξίσωση:

$$\text{χωρητικότητα σφαιρικοῦ ἀγωγοῦ} \quad C = R \quad \begin{cases} R \text{ σέ cm} \\ C \text{ σέ ΗΣΜ} \end{cases}$$

η. Ἐνέργεια φορτισμένου ἀγωγοῦ. Ἡ ἐνέργεια φορτισμένου ἀγωγοῦ δίνεται ἀπὸ τὴ γνωστή ἐξίσωση:

$$\text{ἐνέργεια φορτισμένου ἀγωγοῦ} \quad E_{\eta\lambda} = \frac{1}{2} Q \cdot U \quad \begin{cases} Q \text{ σέ ΗΣΜ} \\ U \text{ σέ ΗΣΜ} \\ E_{\eta\lambda} \text{ σέ erg} \end{cases}$$

θ. Πυκνωτής. Γιά τὴ χωρητικότητα πυκνωτῆ ἰσχύει ἡ γνωστή ἐξίσωση ὀρισμοῦ:

$$\text{χωρητικότητα πυκνωτῆ} \quad C = \frac{Q}{U} \quad \begin{cases} Q \text{ σέ ΗΣΜ} \\ U \text{ σέ ΗΣΜ} \\ C \text{ σέ ΗΣΜ} \end{cases}$$

Ἐπίσης γιά τὴν ἐνέργεια πού ἔχει ἓνας φορτισμένος πυκνωτής ἰσχύει ἡ γνωστή ἐξίσωση:

$$\text{ἐνέργεια πυκνωτῆ} \quad E_{\eta\lambda} = \frac{1}{2} Q \cdot U \quad \begin{cases} Q \text{ σέ ΗΣΜ} \\ U \text{ σέ ΗΣΜ} \\ E_{\eta\lambda} \text{ σέ erg} \end{cases}$$

Ὅταν ἐπίπεδος πυκνωτής βρίσκεται στό κενό (ἢ στόν ἀέρα) ἀποδεικνύεται ὅτι στό σύστημα ΗΣΜ ἡ χωρητικότητά του ( $C_0$ ) δίνεται ἀπὸ τὴν ἐξίσωση:

$$\text{χωρητικότητα ἐπίπεδου πυκνωτῆ} \quad C_0 = \frac{S}{4\pi l} \quad \begin{cases} S \text{ σέ cm}^2 \\ l \text{ σέ cm} \\ C_0 \text{ σέ ΗΣΜ} \end{cases}$$

Ἄν ὁ πυκνωτής ἔχει διηλεκτρικό ὕλικό μέ διηλεκτρική σταθερὴ  $\epsilon$ , τότε ἔχει χωρητικότητά  $C$  καί ἰσχύουν οἱ γνωστές ἐξισώσεις:



$$\epsilon = \frac{C}{C_0} \quad \text{\u03b1\u03c1\u03b1} \quad C = \epsilon \cdot C_0 \quad \text{και} \quad C = \epsilon \cdot \frac{S}{4\pi l} \quad \left\{ \begin{array}{l} S \text{ \u03c3\u03b5 cm}^2 \\ l \text{ \u03c3\u03b5 cm} \\ C \text{ \u03c3\u03b5 H\u039dM} \end{array} \right.$$

**Παρα\u03c4\u03ae\u03c1\u03b7\u03c3\u03b7.** \u03a3\u03c4\u03cc \u03b7\u03bb\u03b5\u03ba\u03c4\u03c1\u03bf\u03c3\u03c4\u03b1\u03c4\u03b9\u03ba\u03cc \u03c3\u03cd\u03c3\u03c4\u03b7\u03bc\u03b1 \u03bc\u03bf\u03bd\u03ac\u03b4\u03c9\u03bd \u03c3\u03c4\u03b9\u03c2 \u03b5\u03be\u03b9\u03c3\u03c9\u03c3\u03b5\u03b9\u03c2 \u03c4\u03c9\u03bd \u03c0\u03c5\u03ba\u03bd\u03c9\u03c4\u03c9\u03bd \u03b4\u03b5\u03bd \u03bc\u03c0\u03b1\u03b9\u03bd\u03b5 \u03b7 \u03b4\u03b9\u03b7\u03bb\u03b5\u03ba\u03c4\u03c1\u03b9\u03ba\u03ae \u03c3\u03c4\u03b1\u03b8\u03b5\u03c1\u03b7 \u03c4\u03bf\u03c5 \u03ba\u03b5\u03bd\u03bf\u03c5 \u03b5\u2080, \u03b3\u03b9\u03b1\u03c4\u03b9 \u03b1\u03c5\u03c4\u03b7 \u03b5\u03b9\u03bd\u03b1 \u03b9\u03c3\u03b7 \u03bc\u03b5 \u03c4\u03b7 \u03bc\u03bf\u03bd\u03ac\u03b4\u03b1 \u03ba\u03b1\u03b9 \u03b4\u03b5\u03bd \u03b5\u03be\u03b9 \u03b4\u03b9\u03b1\u03c3\u03c4\u03ac\u03c3\u03b5\u03b9\u03c2, \u03b4\u03b7\u03bb\u03b1\u03b4\u03b7 \u03b5\u03b9\u03bd\u03b1 \u03b5\u2080 = 1.

#### 45. \u0393\u03b5\u03bd\u03b9\u03ba\u03ad\u03c2 \u03c0\u03b1\u03c1\u03b1\u03c4\u03b7\u03c1\u03b7\u03c3\u03b5\u03b9\u03c2 \u03b3\u03b9\u03ac \u03c4\u03b1 \u03c3\u03cd\u03c3\u03c4\u03b7\u03bc\u03b1\u03c4\u03b1 \u03bc\u03bf\u03bd\u03ac\u03b4\u03c9\u03bd MKSA, HMM \u03ba\u03b1\u03b9 H\u039dM

\u201c\u039f\u03c9\u03c3 \u03b5\u03b9\u03b4\u03b1\u03bc\u03b5, \u03c4\u03cc \u03b7\u03bb\u03b5\u03ba\u03c4\u03c1\u03bf\u03bc\u03b1\u03b3\u03bd\u03b7\u03c4\u03b9\u03ba\u03cc (HMM) \u03ba\u03b1\u03b9 \u03c4\u03cc \u03b7\u03bb\u03b5\u03ba\u03c4\u03c1\u03bf\u03c3\u03c4\u03b1\u03c4\u03b9\u03ba\u03cc (H\u039dM) \u03c3\u03cd\u03c3\u03c4\u03b7\u03bc\u03b1 \u03bc\u03bf\u03bd\u03ac\u03b4\u03c9\u03bd \u03b5\u03b9\u03bd\u03b1 \u03c0\u03c1\u03bf\u03b5\u03ba\u03c4\u03ac\u03c3\u03b5\u03b9\u03c2 \u03c4\u03bf\u03c5 \u03c3\u03cd\u03c3\u03c4\u03b7\u03bc\u03b1\u03c4\u03bf\u03c2 CGS \u03c3\u03c4\u03cc \u039c\u03b1\u03b3\u03bd\u03b7\u03c4\u03b9\u03c3\u03bc\u03cc \u03ba\u03b1\u03b9 \u03c4\u03cc\u03bd \u2018\u0397\u03bb\u03b5\u03ba\u03c4\u03c1\u03b9\u03c3\u03bc\u03cc \u03ba\u03b1\u03b9 \u03c0\u03b1\u03c1\u03bf\u03c5\u03c3\u03b9\u03ac\u03b6\u03bf\u03bd \u03c3\u03b7\u03bc\u03b1\u03bd\u03c4\u03b9\u03ba\u03b5\u03c2 \u03b4\u03b9\u03b1\u03c6\u03bf\u03c1\u03b5\u03c2 \u03b1\u03c0\u03cc \u03c4\u03cc \u03c3\u03cd\u03c3\u03c4\u03b7\u03bc\u03b1 MKSA. \u039f\u03b9 \u03c0\u03b9\u03cc \u03c3\u03b7\u03bc\u03b1\u03bd\u03c4\u03b9\u03ba\u03b5\u03c2 \u03b4\u03b9\u03b1\u03c6\u03bf\u03c1\u03b5\u03c2 \u03b5\u03b9\u03bd\u03b1 \u03cc\u03b9 \u03b5\u03be\u03b9\u03c3\u03b7\u03c2:

\u039c\u03b5\u03b3\u03b5\u03b8\u03cc\u03c2	\u03a3\u03cd\u03c3\u03c4\u03b7\u03bc\u03b1 \u03bc\u03bf\u03bd\u03ac\u03b4\u03c9\u03bd		
	MKSA	H\u039dM	HMM
\u039c\u03b1\u03b3\u03bd\u03b7\u03c4\u03b9\u03ba\u03ae \u03b4\u03b9\u03b1\u03c0\u03b5\u03c1\u03b1\u03c4\u03cc\u03c4\u03b7\u03c4\u03b1 \u03c4\u03bf\u03c5 \u03ba\u03b5\u03bd\u03bf\u03c5	$\mu_0 = 4\pi \cdot 10^{-7} \frac{N}{A^2}$		$\mu_0 = 1$
\u0394\u03b9\u03b7\u03bb\u03b5\u03ba\u03c4\u03c1\u03b9\u03ba\u03ae \u03c3\u03c4\u03b1\u03b8\u03b5\u03c1\u03b7 \u03c4\u03bf\u03c5 \u03ba\u03b5\u03bd\u03bf\u03c5	$\epsilon_0 = 8,85 \cdot 10^{-12} \frac{Cb^2}{N \cdot m^2}$	$\epsilon_0 = 1$	
\u039c\u03b1\u03b3\u03bd\u03b7\u03c4\u03b9\u03ba\u03ae \u03c3\u03c4\u03b1\u03b8\u03b5\u03c1\u03b7 \u03c4\u03bf\u03c5 Coulomb	$K_{\mu\alpha\gamma\nu} = \frac{\mu_0}{4\pi} = 10^{-7} \frac{N}{A^2}$		$K_{\mu\alpha\gamma\nu} = 1$
\u2018\u0397\u03bb\u03b5\u03ba\u03c4\u03c1\u03b9\u03ba\u03ae \u03c3\u03c4\u03b1\u03b8\u03b5\u03c1\u03b7 \u03c4\u03bf\u03c5 Coulomb	$K_{\eta\lambda} = \frac{1}{4\pi\epsilon_0} = 9 \cdot 10^9 \frac{N \cdot m^2}{Cb^2}$	$K_{\eta\lambda} = 1$	
\u03a3\u03c7\u03b5\u03c3\u03b7 \u03c4\u03c9\u03bd \u03c3\u03c4\u03b1\u03b8\u03b5\u03c1\u03c9\u03bd $K_{\mu\alpha\gamma\nu}$ \u03ba\u03b1\u03b9 $K_{\eta\lambda}$	$K_{\eta\lambda} = K_{\mu\alpha\gamma\nu} \cdot c_0^2$		

**Παρα\u03c4\u03ae\u03c1\u03b7\u03c3\u03b7.** \u201c\u0391\u03bd \u03c3\u03c4\u03b7\u03bd \u03c4\u03b5\u03bb\u03b5\u03c5\u03c4\u03b1\u03b9\u03b1 \u03b5\u03be\u03b9\u03c3\u03c9\u03c3\u03b7 \u03b2\u03ac\u03bb\u03bf\u03bc\u03b5 \u03c4\u03b9\u03c2 \u03c4\u03b9\u03bc\u03ad\u03c2 \u03c4\u03c9\u03bd \u03c3\u03c4\u03b1\u03b8\u03b5\u03c1\u03c9\u03bd  $K_{\eta\lambda}$  \u03ba\u03b1\u03b9  $K_{\mu\alpha\gamma\nu}$ , \u03b2\u03c1\u03b9\u03c3\u03ba\u03bf\u03bc\u03b5:

$$\frac{1}{4\pi\epsilon_0} = \frac{\mu_0}{4\pi} \cdot c_0^2 \quad \text{\u03b1\u03c1\u03b1} \quad \frac{1}{\mu_0 \cdot \epsilon_0} = c_0^2$$

\u201c\u0397 \u03b5\u03be\u03b9\u03c3\u03c9\u03c3\u03b7 \u03c0\u03bf\u03c5 \u03b2\u03c1\u03b7\u03c3\u03ba\u03b5 \u03c3\u03c5\u03bd\u03b4\u03b5\u03b9 \u03c3\u03c4\u03cc \u03c3\u03cd\u03c3\u03c4\u03b7\u03bc\u03b1 MKSA \u03c4\u03b9\u03c2 \u03c4\u03c1\u03b5\u03b9\u03c2 \u03c3\u03c4\u03b1\u03b8\u03b5\u03c1\u03b5\u03c2 \u03c4\u03bf\u03c5 \u03ba\u03b5\u03bd\u03bf\u03c5  $\mu_0$ ,  $\epsilon_0$  \u03ba\u03b1\u03b9  $c_0$ .

### 46. Ἀρχή τῆς λειτουργίας τῶν ἠλεκτροστατικῶν μηχανῶν

Ὅπως ξέρουμε, ὅλα τὰ σώματα πού μᾶς ἐμφανίζονται οὐδέτερα, κλείνουν μέσα τους ἠλεκτρικά φορτία, τὰ ὅποια μποροῦν νά διαχωριστοῦν μέ *τριβή* ἢ μέ *ἐπαγωγή*. Καί στίς δύο αὐτές περιπτώσεις ἡ ἐμφάνιση τῶν ἠλεκτρικῶν φορτίων ὀφείλεται στήν ἰδιότητα πού ἔχουν τὰ ἠλεκτρόνια νά φεύγουν ἀπό ἕνα σῶμα καί νά πηγαίνουν σέ ἕνα ἄλλο. Εἰδικότερα ὀνομάζουμε *ἠλεκτροστατικές μηχανές* ὀρισμένες διατάξεις πού παράγουν ἠλεκτρικά φορτία μέ *τριβή* ἢ μέ *ἐπαγωγή*. Σήμερα χρησιμοποιοῦμε δύο τύπους ἠλεκτροστατικῶν μηχανῶν, τή *μηχανή Van de Graaff* καί τή *μηχανή Wimshurst*.

### 47. Μηχανή Van de Graaff

Ἡ λειτουργία τῆς *μηχανῆς Van de Graaff* στηρίζεται στήν ἐξῆς ἀρχή: Ὄταν ἕνα φορτισμένο σφαιρίδιο ἔρχεται σέ ἐπαφή μέ τὰ ἐσωτερικά τοιχώματα μονωμένου κοίλου ἀγωγοῦ τότε τό σφαιρίδιο δίνει

στόν ἀγωγό ὅλο τό φορτίο του, πού ἔρχεται στήν ἐξωτερική ἐπιφάνεια τοῦ ἀγωγοῦ. Στή μηχανή Van de Graaff τὰ ἠλεκτρικά φορτία τὰ μεταφέρει στό ἐσωτερικό τοῦ κοίλου ἀγωγοῦ μιᾶ συνεχῆς μονωτική ταινία πού κινεῖται μέ τή βοήθεια δύο τροχαλιῶν (σχ. 47). Τά φορτία δημιουργοῦνται πάνω στήν ταινία ὡς ἐξῆς: Ἡ ταινία περνάει πολύ κοντά ἀπό ἕνα σύστημα ἀκίδων ( $A_1$ ), πού ἔχουν π.χ. θετικό φορτίο καί δημιουργοῦν ἰσχυρό ἠλεκτρικό πεδίο. Αὐτό προκαλεῖ ἰσχυρό ἰονισμό τοῦ ἀέρα καί τὰ θετικά ἰόντα ἐκτοξεύονται πρὸς τήν ταινία. Αὐτή μεταφέρει τὰ θετικά φορτία μέσα στόν κοῖλο ἀγωγό καί, περνώντας πολύ κοντά ἀπό ἕνα ἄλλο σύστημα ἀκίδων ( $A_2$ ), τίς ἠλεκτρίζει μέ ἐπαγωγή. Τά ἀρνητικά φορτία φεύγουν ἀπό τίς ἀκίδες, ἔρχονται πάνω στήν ταινία καί ἐξουδετερώνουν τὰ θετικά φορτία της, ἐνῶ τὰ ἀρνητικά

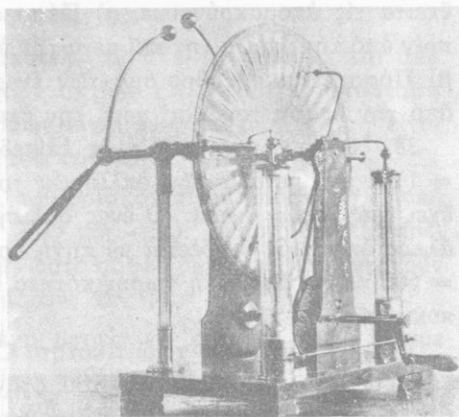


Σχ. 47. Σχηματική παράσταση τῆς μηχανῆς Van de Graaff.

φορτία έρχονται στην εξωτερική επιφάνεια του κοίλου άγωγού. Έτσι ο κοίλος άγωγός αποκτά μεγάλο δυναμικό, που μπορεί να φτάσει σε εκατομμύρια βόλτ. Η μηχανή Van de Graaff χρησιμοποιείται στα εργαστήρια πυρηνικών έρευνών, μικρές όμως τέτοιες μηχανές χρησιμοποιούνται και στα σχολικά εργαστήρια.

#### 48. Μηχανή Wimshurst

Σ' αυτή τή μηχανή δύο δίσκοι από μονωτικό ύλικό στρέφονται με αντίθετη φορά (σχ. 48). Στην περιφέρεια κάθε δίσκου και κατά τή διεύθυνση των άκτινων του είναι κολλημένες μικρές μεταλλικές άκτινες (άπο κασίτερο). Όταν οι δίσκοι στρέφονται, οι μεταλλικές ταινίες ηλεκτρίζονται με έπαγωγή και τά δύο έτερόνυμα ηλεκτρικά φορτία που δημιουργούνται, συγκεντρώνονται χωριστά τό καθένα σε δύο μεταλλικά σφαιρίδια. Μεταξύ των δύο σφαιριδίων αναπτύσσεται μεγάλη τάση, που μπορεί νά δημιουργήσει ηλεκτρικούς σπινθήρες μεταξύ των δύο σφαιριδίων άπο άπόσταση πολλών εκατοστομέτρων.



Σχ. 48. Μηχανή Wimshurst.

#### ΠΡΟΒΛΗΜΑΤΑ

33. Άγωγός έχει χωρητικότητα  $C = 10 \mu\text{F}$  και δυναμικό  $U = 4 \text{ V}$ . Πόσο είναι τό φορτίο του άγωγού;
34. Σφαιρικός άγωγός έχει άκτίνα  $R = 6 \text{ cm}$  και δυναμικό  $U = 33 \cdot 10^3 \text{ V}$ . Πόση είναι ή χωρητικότητα και πόσο τό φορτίο του άγωγού;
35. Δύο μεταλλικές σφαίρες έχουν άκτινες  $R_1 = 2 \text{ cm}$  και  $R_2 =$

= 1 cm και έχουν αντίστοιχα φορτία  $q_1 = 40 \cdot 10^{-9}$  Cb και  $q_2 = -30 \cdot 10^{-9}$  Cb. Αρχικά οι δύο σφαίρες είναι μονωμένες, έπειτα τις συνδέουμε με σύρμα που έχει άσημαντη χωρητικότητα. Πόσο είναι το δυναμικό των σφαιρών μετά τη σύνδεσή τους;

36. Σφαιρικός άγωγός έχει ακτίνα  $R = 9$  cm. Πόσο φορτίο πρέπει να λάβει ο άγωγός, για να έχει ενέργεια ίση με  $E_{\eta\lambda} = 5$  Joule; Πόσο είναι τότε το δυναμικό του άγωγού;

37. Δύο μεταλλικές σφαίρες A και B έχουν ακτίνες  $R_A = 5$  cm,  $R_B = 20$  cm και αντίστοιχα δυναμικό  $U_A = 30 \cdot 10^3$  V και  $U_B = 18 \cdot 10^3$  V. Για μία στιγμή φέρνουμε σε έπαφή τις δύο σφαίρες και έπειτα τις απομακρύνουμε. α) Πόσο είναι το φορτίο κάθε σφαίρας πριν από την έπαφή της και μετά την έπαφή της με την άλλη σφαίρα; β) Πόσο είναι το άθροισμα των ενεργειών των δύο σφαιρών πριν από την έπαφή τους και μετά την έπαφή τους;

38. Ο κάθε όπλισμός ενός επίπεδου πυκνωτή έχει έμβαδό  $S = 1$  m<sup>2</sup> και μεταξύ των όπλισμών του υπάρχει στρώμα άερα, που έχει πάχος  $l = 1$  mm. Ο ένας όπλισμός συνδέεται με τη γη, ενώ ο άλλος όπλισμός συνδέεται με πηγή που έχει σταθερό δυναμικό  $U = 600$  V. Να βρεθεί ή χωρητικότητα, τό φορτίο και ή ενέργεια του πυκνωτή.

39. Πυκνωτής έχει χωρητικότητα  $C = 25$  μF. Πόση τάση  $U$  υπάρχει μεταξύ των δύο όπλισμών του, όταν τό φορτίο του είναι  $q = 10^{-3}$  Cb; Πόση ενέργεια έχει τότε ο πυκνωτής;

40. Ο κάθε όπλισμός ενός επίπεδου πυκνωτή έχει έμβαδό  $S = 10$  cm<sup>2</sup> και ή απόσταση μεταξύ των όπλισμών του είναι  $l = 1$  mm. α) Πόση είναι ή χωρητικότητα του πυκνωτή, όταν ως διηλεκτρικό έχει τόν άερα ή τό γυαλί ( $\epsilon = 6$ ); β) Αν και στίς δύο περιπτώσεις εφαρμόζεται στους δύο όπλισμούς του ή ίδια τάση  $U = 1000$  V, πόση είναι ή ενέργεια του πυκνωτή σε κάθε περίπτωση;

41. Οι δύο όριζόντιοι όπλισμοί ενός πυκνωτή απέχουν μεταξύ τους  $l = 2$  cm και έχουν διαφορά δυναμικού  $U = 3000$  V. α) Πόση είναι ή ένταση του όμογενοϋς ήλεκτρικού πεδίου; β) Μεταξύ των δύο όπλισμών διατηρείται αιωρούμενη μία ήλεκτρισμένη σταγόνα λαδιού, που έχει μάζα  $m = 12 \cdot 10^{-12}$  gr. Πόσο είναι τό φορτίο  $q$  της σταγόνας;  $g = 10$  m/sec<sup>2</sup>.

42. Δύο πυκνωτές έχουν χωρητικότητα  $C_1 = 5$  μF και  $C_2 = 15$  μF.

α) Πόση είναι η χωρητικότητα της συστοιχίας, όταν συνδεθούν παράλληλα ή κατά σειρά; β) Όταν συνδεθούν παράλληλα, πόση τάση  $U$  πρέπει να εφαρμόζεται στις άκρες της συστοιχίας, ώστε το όλικό φορτίο της να είναι  $Q_{ολ} = 1 \text{ Cb}$ ; Πόσο είναι τότε το φορτίο κάθε πυκνωτή;

43. Πέντε όμοιοι πυκνωτές ( $n = 5$ ), πού ο καθένας έχει χωρητικότητα  $C = 20 \mu\text{F}$ , συνδέονται κατά σειρά και στις άκρες της συστοιχίας εφαρμόζεται τάση  $U = 1200 \text{ V}$ . Νά βρεθεί: α) η όλική χωρητικότητα  $C_{ολ}$  της συστοιχίας; β) τό φορτίο  $Q$  κάθε πυκνωτή και τό όλικό φορτίο  $Q_{ολ}$  της συστοιχίας και γ) η ενέργεια  $E$  κάθε πυκνωτή και η όλική ενέργεια  $E_{ολ}$  της συστοιχίας.

44. Μεταβλητός πυκνωτής αποτελείται από 16 σταθερά και από 15 στρεπτά ήμικύκλια, πού έχουν ακτίνα  $r = 4 \text{ cm}$ . Η απόσταση μεταξύ δύο διαδοχικών ήμικύκλιων είναι  $l = 1,25 \text{ mm}$ . Πόση είναι η μεγαλύτερη χωρητικότητα  $C$  του πυκνωτή;

\*45. Σέ δύο σημεία  $A$  και  $B$ , πού βρίσκονται σέ απόσταση  $15 \text{ cm}$ , υπάρχουν αντίστοιχα τά φορτία  $+Q$  και  $-2Q$ . Σέ ποιό σημείο πρέπει νά είναι τό φορτίο  $+1 \text{ ΗΣΜ}$ , ώστε οί δύο δυνάμεις πού ενεργοούν σ' αυτό νά έχουν συνισταμένη μηδέν;

\*46. Μιά μικρή ηλεκτρισμένη μεταλλική σφαίρα τή φέρνουμε κατακόρυφα πάνω από ηλεκτρικό φορτίο  $Q = +100 \text{ ΗΣΜ}$  και σέ απόσταση  $r = 3 \text{ cm}$  από αυτό. Τότε βλέπουμε ότι η σφαίρα έλκεται μέ δύναμη  $F = 10^3 \text{ dyn}$ . Πόσο είναι τό φορτίο  $q$  της σφαίρας;

\*47. Πόσο φορτίο  $q$  πρέπει νά δώσουμε σέ ένα σφαιρικό άγωγό ακτίνας  $r = 5 \text{ cm}$ , για νά έχει δυναμικό  $U = 3 \text{ ΗΣΜ}$ ; Πόση είναι η ενέργεια του άγωγού;

\*48. Ένας επίπεδος πυκνωτής θέλουμε νά έχει στόν άέρα χωρητικότητα  $C_0 = 100 \text{ ΗΣΜ}$ . Η απόσταση των όπλισμών του είναι  $l = 2 \text{ mm}$ . α) Πόσο είναι τό έμβαδό  $S$  κάθε όπλισμού του; β) Πόση γίνεται η χωρητικότητα του πυκνωτή, όταν μεταξύ των όπλισμών του βάλουμε πλακίδιο από μαρμαρυγία, πού έχει πάχος  $l = 2 \text{ mm}$  και διηλεκτρική σταθερή  $\epsilon = 6$ ; γ) Άν τό φορτίο του πυκνωτή είναι  $Q = 2 \cdot 10^5 \text{ ΗΣΜ}$ , πόση ενέργεια έχει ό πυκνωτής στίς δύο περιπτώσεις;

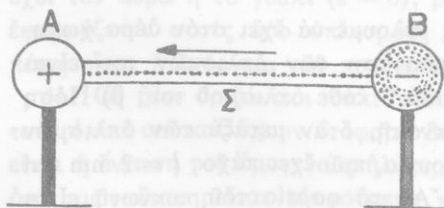
# Συνεχές ηλεκτρικό ρεύμα

## ΝΟΜΟΣ ΤΟΥ ΟΗΜ

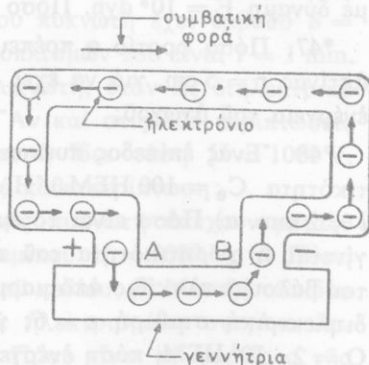
### 49. Τό ηλεκτρικό ρεύμα ως ροή ηλεκτρονίων

Δύο ίσοι σφαιρικοί άγωγοι Α και Β (σχ. 49) έχουν ηλεκτρικά φορτία  $+Q$  και  $-Q$  και επομένως μεταξύ αυτών των δύο άγωγών υπάρχει διαφορά δυναμικού  $U$ . Αν συνδέσουμε με σύρμα τους δύο άγωγους, τότε με την επίδραση του ηλεκτρικού πεδίου τα ηλεκτρόνια που πλεονάζουν στον άγωγό Β έρχονται μέσω του σύρματος στον άγωγό Α και εξουδετερώνουν τό θετικό φορτίο του. Έτσι οι δύο άγωγοι γίνονται ουδέτεροι. Αυτή η ροή ηλεκτρονίων μέσα στο σύρμα είναι ένα **ηλεκτρικό ρεύμα**. Σ' αυτή την περίπτωση ή διάρκεια του ηλεκτρικού ρεύματος είναι ελάχιστη.

Αν θέλουμε να είναι **συνεχής ή ροή** των ηλεκτρονίων μέσα στο σύρμα, τότε πρέπει συνεχώς να αφαιρούνται από τον άγωγό Α τα ηλεκτρόνια που έρχονται σ' αυτόν και να ξαναγυρίζουν στον άγωγό Β. Πρέπει δηλαδή να διατηρείται **σταθερή ή διαφορά δυναμικού  $U$**  μεταξύ των δύο άγωγών Α και Β. Η συνεχής αφαίρεση των ηλεκτρονίων από τον άγωγό Α και ή επαναφορά τους στον άγωγό Β γίνεται με ειδικές μηχανές που ονομάζονται **γεννήτριες ρεύματος** ή πιο απλά **γεννήτριες** (σχ. 50). Έτσι μπορούμε να πούμε ότι κάθε γεννή-



Σχ. 49. Ροή ηλεκτρονίων από τον άγωγό Β προς τον άγωγό Α.



Σχ. 50. Η γεννήτρια εξασφαλίζει τη ροή των ηλεκτρονίων μέσα στο σύρμα.

τρια είναι μιά άντλία ηλεκτρονίων. Οί δύο άγωγοί Α και Β άποτελοϋν τούς δύο πόλους τής γεννήτριας (θετικός και άρνητικός πόλος). Τό ηλεκτρικό ρεύμα πού περνάει μέσα από τό σύρμα έχει σταθερή φορά από τόν άρνητικό προς τό θετικό πόλο τής γεννήτριας (συνεχές ηλεκτρικό ρεύμα). Αϋτή ή φορά τού ρεύματος λέγεται πραγματική φορά. Όταν δέν ήταν άκόμη γνωστή ή φύση τού ηλεκτρικού ρεύματος, δέχτηκαν κατά συνθήκη ότι τό ρεύμα πηγαινεί από τό θετικό προς τόν άρνητικό πόλο τής γεννήτριας. Αϋτή ή φορά τού ρεύματος λέγεται συμβατική φορά και εξακολουθεϊ νά εφαρμόζεται στην τεχνική. Από τά παραπάνω καταλήγουμε στα έξής συμπεράσματα :

I. Τό ηλεκτρικό ρεύμα είναι ροή ηλεκτρονίων.

II. Η γεννήτρια δημιουργεί μεταξύ τών δύο πόλων της σταθερή διαφορά δυναμικού (τάση) και εξαιτίας της προκαλείται συνεχής ροή ηλεκτρονίων από τόν άρνητικό προς τό θετικό πόλο τής γεννήτριας μέσω τού άγωγού πού συνδέει τούς δύο πόλους της.

**Παρατήρηση.** Θα εξετάσουμε τό ηλεκτρικό ρεύμα χρησιμοποιώντας τή συμβατική φορά τού ρεύματος.

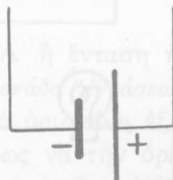
Είδη γεννητριών. Στην πράξη χρησιμοποιούμε κυρίως τρία είδη γεννητριών, τά ηλεκτρικά στοιχεία, τούς συσσωρευτές και τίς βιομηχανικές γεννήτριες.

Τά ηλεκτρικά στοιχεία χρησιμοποιούνται μόνο για τή λειτουργία μικρών φορητών συσκευών (ηλεκτρικά φανάρια, ραδιόφωνα, μαγνητόφωνα, άκουστικά, ύπολογιστές κ.ά.).

Οί συσσωρευτές χρησιμοποιούνται σε πάρα πολλές εφαρμογές (αϋτοκίνητα, ύποβρύχια, έργαστήρια κ.ά.).

Οί βιομηχανικές γεννήτριες άποτελοϋν τό σπουδαιότερο είδος γεννητριών και χρησιμοποιούνται για τή βιομηχανική παραγωγή ηλεκτρικού ρεύματος.

Συμβολικά παριστάνουμε μιά γεννήτρια συνεχούς ρεύματος μέ δύο άνισες παράλληλες μικρές εϋθειες (σχ. 51).



Σχ. 51. Συμβολική παράσταση γεννήτριας συνεχούς ρεύματος.



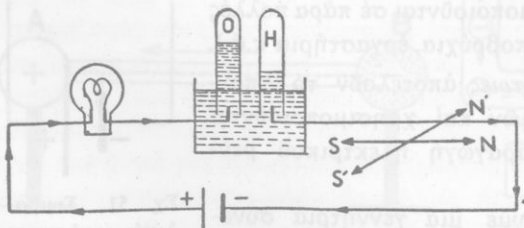
## 50. Ἀποτελέσματα τοῦ ἠλεκτρικοῦ ρεύματος

Τό ἠλεκτρικό ρεύμα προκαλεῖ θερμικά, χημικά καί μαγνητικά φαινόμενα.

α. *Θερμικά φαινόμενα.* Ἐνα σύρμα πού διαρρέεται ἀπό ἠλεκτρικό ρεύμα πάντοτε θερμαίνεται. Σ' αὐτό τό φαινόμενο στηρίζεται ἡ λειτουργία τοῦ ἠλεκτρικοῦ λαμπτήρα πυρακτώσεως καί πολλῶν θερμικῶν συσκευῶν πού χρησιμοποιοῦμε σέ διάφορες ἐφαρμογές (σχ. 52). Ἡ θέρμανση τοῦ σύρματος ἐξηγεῖται ὡς ἑξῆς: Τά ἠλεκτρόνια, μέ τήν ἐπίδραση τοῦ ἠλεκτρικοῦ πεδίου, κινούνται καί ἐπομένως ἀποκτοῦν *κινητική ἐνέργεια*. Καθώς ὅμως προχωροῦν μέσα στή μάζα τοῦ σύρματος συγκρούονται μέ τά ἀκίνητα ἄτομα τοῦ μετάλλου καί τότε μέρος τῆς κινητικῆς ἐνέργειας τῶν ἠλεκτρονίων μετατρέπεται σέ *θερμότητα*. Ἡ θέρμανση τῶν ἀγωγῶν ἐξαιτίας τοῦ ἠλεκτρικοῦ ρεύματος πού περνάει μέσα ἀπό αὐτούς ὀνομάζεται *φαινόμενο Joule*.

β. *Χημικά φαινόμενα.* Ὄταν τό ἠλεκτρικό ρεύμα περνάει μέσα ἀπό ὕδατικά διαλύματα ὀξέων, βάσεων καί ἀλάτων, ἐμφανίζονται προϊόντα πού προέρχονται ἀπό *τή χημική ἀποσύνθεση* αὐτῶν τῶν σωμάτων. Τό φαινόμενο αὐτό ὀνομάζεται *ἠλεκτρόλυση* καί ἡ συσκευή πού χρησιμοποιεῖται γιά τήν ἠλεκτρόλυση ὀνομάζεται *βολτάμετρο* (σχ. 52). Τά δύο ἠλεκτρόδια, πού συνδέονται μέ τό θετικό καί τόν ἀρνητικό πόλο τῆς γεννήτριας, ὀνομάζονται ἀντίστοιχα *ἄνοδος* καί *κάθοδος*.

Κατά τήν ἠλεκτρόλυση ἀραιῶν διαλυμάτων ὀξέων στήν *κάθοδο* συλλέγεται ὕδρογόνο, ἐνῶ κατά τήν ἠλεκτρόλυση διαλυμάτων βάσεων καί ἀλάτων συλλέγεται *μέταλλο*. Στό σχῆμα 52 φαίνονται τά



Σχ. 52. Θερμικά, χημικά καί μαγνητικά αποτελέσματα τοῦ ἠλεκτρικοῦ ρεύματος.

προϊόντα πού συλλέγονται στά δύο ἠλεκτρόδια κατά τήν ἠλεκτρόλυση διαλύματος θετικοῦ ὀξέος. Τήν ἐξήγηση τοῦ φαινομένου τῆς ἠλεκτρολύσεως θά δοῦμε σέ ἄλλο κεφάλαιο.

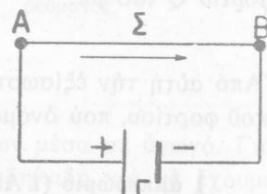
γ. *Μαγνητικά φαινόμενα*



μενα. Πάνω από μιά μαγνητική βελόνη πού ήρεμει, φέρνουμε ένα σύρμα πού είναι παράλληλο μέ τή βελόνη. Όταν αφήσουμε νά περάσει ηλεκτρικό ρεύμα μέσα από τό σύρμα, παρατηρούμε ότι ή μαγνητική βελόνη άμέσως άποκλίνει και ήσοροπει σέ μιά καινούρια θέση σχηματίζοντας γωνία μέ τή διεύθυνση του σύρματος (σχ. 52). Τό φαινόμενο αυτό δείχνει ότι τό ηλεκτρικό ρεύμα δημιουργεί γύρω του μαγνητικό πεδίο.

## 51. Ένταση του ηλεκτρικού ρεύματος

Μεταξύ των δύο πόλων της γεννήτριας διατηρείται σταθερή διαφορά δυναμικού και τότε τό σύρμα πού συνδέει τούς δύο πόλους της γεννήτριας διαρρέεται από ηλεκτρικό ρεύμα (σχ. 53). Αυτό τό ρεύμα έχει σταθερή φορά από τό θετικό προς τόν άρνητικό πόλο της γεννήτριας (συμβατική φορά) και ονομάζεται συνεχές ηλεκτρικό ρεύμα. Στη διάρκεια χρόνου  $t$  από μιά τομή του σύρματος περνάει ηλεκτρικό φορτίο  $Q$  και ισχύει ό εξής όρισμός:



Σχ. 53. Τό σύρμα ( $\Sigma$ ) διαρρέεται από συνεχές ηλεκτρικό ρεύμα.

Ένταση ( $I$ ) ηλεκτρικού ρεύματος ονομάζεται τό πηλίκο του ηλεκτρικού φορτίου ( $Q$ ) πού περνάει από μιά τομή του άγωγού διά του αντίστοιχου χρόνου ( $t$ ).

$$\text{ένταση ηλεκτρικού ρεύματος} = \frac{\text{φορτίο}}{\text{χρόνος}} \quad I = \frac{Q}{t}$$

Μονάδα έντάσεως ρεύματος. Στο σύστημα MKSA ή ένταση ηλεκτρικού ρεύματος είναι θεμελιώδες μέγεθος. Η μονάδα έντάσεως ρεύματος ονομάζεται *Ampère* (1 A) και όρίζεται από όρισμένη εξίσωση του ηλεκτρομαγνητισμού (§ 77), μπορούμε όμως νά τήν όρίσουμε από τήν εξίσωση  $I = Q/t$ , άν βάλουμε σ' αυτή  $Q = 1 \text{ Cb}$  και  $t = 1 \text{ sec}$ . Έτσι βρίσκουμε ότι :

1 Ampère είναι ή ένταση ρεύματος πού κατά δευτερόλεπτο (1 sec) μεταφέρει ηλεκτρικό φορτίο ίσο μέ 1 Coulomb (1 Cb).

$$1 \text{ Ampère} = \frac{1 \text{ Coulomb}}{1 \text{ sec}} \quad 1 \text{ A} = 1 \text{ Cb/sec}$$

Στις πρακτικές εφαρμογές χρησιμοποιούνται και τὰ υποπολλαπλάσια:

$$1 \text{ milliampère (1 mA)} = 10^{-3} \text{ A} \quad 1 \text{ microampère (1 } \mu\text{A)} = 10^{-6} \text{ A}$$

Ἡ μονάδα ἠλεκτρικοῦ φορτίου ἀμπερώριο. Από τήν ἐξίσωση ὀρισμοῦ τῆς ἐντάσεως ρεύματος  $I = Q/t$  βρίσκουμε ὅτι στή διάρκεια χρόνου  $t$  ἕνα ἠλεκτρικό ρεύμα πού ἔχει ἐνταση  $I$  μεταφέρει ἠλεκτρικό φορτίο  $Q$  ἴσο μέ:

$$Q = I \cdot t$$

Ἀπό αὐτή τήν ἐξίσωση ὀρίζουμε μιά νέα πρακτική μονάδα ἠλεκτρικοῦ φορτίου, πού ὀνομάζεται ἀμπερώριο (1 Ah) καί ὀρίζεται ὡς ἐξῆς:

**1 ἀμπερώριο (1 Ah) εἶναι τό ἠλεκτρικό φορτίο, πού μέσα σέ μιά ὥρα (1 h) μεταφέρεται ἀπό ἠλεκτρικό ρεύμα ἐντάσεως ἑνός Ampère (1 A).**

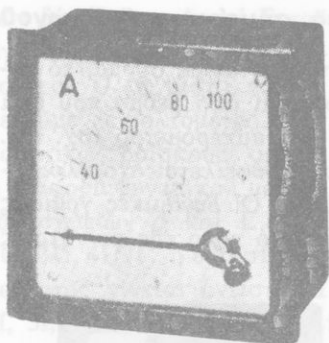
$$1 \text{ ἀμπερώριο (1 Ah)} = 1 \text{ A} \cdot 1 \text{ h}$$

$$\text{ἄρα} \quad 1 \text{ Ah} = 1 \frac{\text{Cb}}{\text{sec}} \cdot 3600 \text{ sec} \quad \text{καί} \quad 1 \text{ Ah} = 3600 \text{ Cb}$$

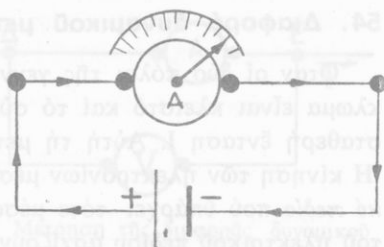
## 52. Μέτρηση τῆς ἐντάσεως τοῦ ρεύματος

Γιά τή μέτρηση τῆς ἐντάσεως τοῦ ρεύματος χρησιμοποιοῦμε ἐιδικά ὄργανα πού ὀνομάζονται ἀμπερόμετρα (σχ. 54). Ἡ λειτουργία τους στηρίζεται στά θερμικά ἢ τὰ μαγνητικά ἀποτελέσματα τοῦ ρεύματος. Τό ἀμπερόμετρο τό συνδέουμε μέ τόν ἀγωγό ἔτσι, ὥστε τό ρεύμα πού θέλουμε νά μετρήσουμε τήν ἐντασή του νά περνάει μέσα ἀπό τό ὄργανο (σχ. 55). Μέ τό ἀμπερόμετρο βρίσκουμε ὅτι:

**Σέ ὄλο τό μήκος τοῦ ἀγωγοῦ πού συνδέει τοὺς πόλους τῆς γεννήτριας ἢ ἐνταση (I) τοῦ ρεύματος εἶναι σταθερή.**



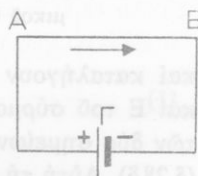
Σχ. 54. Αμπερόμετρο.



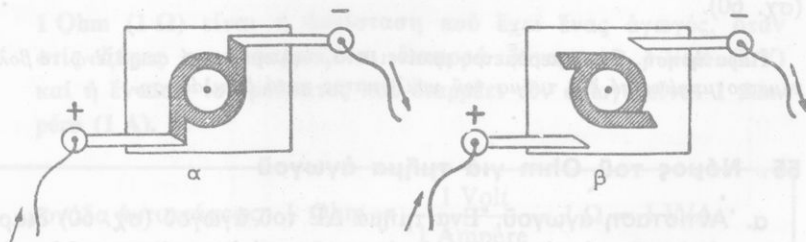
Σχ. 55. Μέτρηση της έντασης του ρεύματος.

### 53. Κύκλωμα

Τό ηλεκτρικό ρεύμα είναι ροή ηλεκτρονίων μέσα σέ άγωγό. Για νά είναι συνεχής αυτή ή ροή ηλεκτρονίων, δηλαδή για νά έχουμε συνεχές ηλεκτρικό ρεύμα, πρέπει οί δύο άκρες του σύρματος νά συνδέονται σταθερά μέ τούς δύο πόλους τής γεννήτριας (σχ. 56). Τότε λέμε ότι έχουμε *κλειστό κύκλωμα*. Άν σέ ένα σημείο του κυκλώματος παρεμβάλλουμε ένα μονωτή, π.χ. ένα στρώμα άερα, τότε συμβαίνει διακοπή τής ροής τών ηλεκτρονίων, δηλαδή *διακοπή* του ρεύματος καί λέμε ότι έχουμε *άνοιχτό κύκλωμα*. Για τή διακοπή ή τήν άποκατάσταση του ρεύματος χρησιμοποιούμε τούς *διακόπτες*, πού ως μονωτή έχουν συνήθως τόν άερα (σχ. 57).



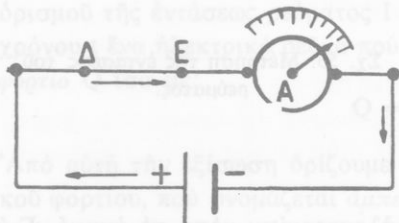
Σχ. 56. Κλειστό κύκλωμα.



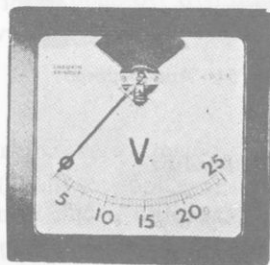
Σχ. 57. Διακόπτης (α κλειστό κύκλωμα, β άνοιχτό κύκλωμα).

## 54. Διαφορά δυναμικού μεταξύ δύο σημείων του άγωγού

Όταν οι δύο πόλοι της γεννήτριας συνδέονται με σύρμα, το κύκλωμα είναι κλειστό και το σύρμα διαρρέεται από ρεύμα που έχει σταθερή ένταση  $I$ . Αυτή τη μετράμε με ένα αμπερόμετρο (σχ. 58). Η κίνηση των ηλεκτρονίων μέσα στο σύρμα οφείλεται στο ηλεκτρικό πεδίο που υπάρχει τότε μέσα στο σύρμα. Οι δυναμικές γραμμές του ηλεκτρικού πεδίου αρχίζουν από το θετικό πόλο της γεννήτριας



Σχ. 58. Μεταξύ των σημείων Δ και Ε του κυκλώματος υπάρχει διαφορά δυναμικού (τάση).



Σχ. 59. Βολτόμετρο.

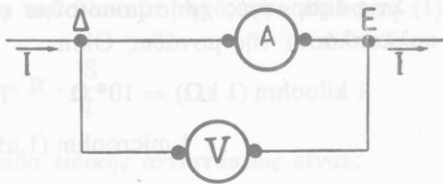
καί καταλήγουν στον αρνητικό πόλο της. Μεταξύ δύο σημείων Δ και Ε του σύρματος τά ηλεκτρόνια κινούνται, επειδή μεταξύ αυτών των δύο σημείων του ηλεκτρικού πεδίου υπάρχει *διαφορά δυναμικού* (§ 28δ). Αυτή τη μετράμε με ειδικά όργανα που ονομάζονται *βολτόμετρα* (σχ. 59). Η λειτουργία τους στηρίζεται στα θερμικά ή τά μαγνητικά αποτελέσματα του ρεύματος (όπως και στα αμπερόμετρα). Για να μετρήσουμε τη διαφορά δυναμικού (ή τάση) μεταξύ των δύο σημείων Δ και Ε του άγωγού, σχηματίζουμε μία *διακλάδωση* του ρεύματος συνδέοντας το βολτόμετρο με τά δύο σημεία Δ και Ε του άγωγού (σχ. 60).

**Παρατήρηση.** Το αμπερόμετρο μπαίνει στο κύκλωμα κατά σειρά, ενώ το βολτόμετρο μπαίνει σε ένα τμήμα του κυκλώματος κατά διακλάδωση.

## 55. Νόμος του Ohm για τμήμα άγωγού

α. Αντίσταση άγωγού. Ένα τμήμα ΔΕ του άγωγού (σχ. 60) διαρρέεται από ρεύμα έντασεως  $I$  που τη μετράμε με αμπερόμετρο. Μεταξύ

των δύο άκρων Δ και Ε του άγωγού υπάρχει διαφορά δυναμικού U (ή τάση), που τή μετράμε με βολτόμετρο. Πειραματικώς βρίσκουμε ότι, αν η διαφορά δυναμικού μεταξύ των σημείων Δ και Ε γίνει 2U, 3U, 4U... ή ένταση του ρεύματος γίνεται αντίστοιχα 2I, 3I, 4I...



Σχ. 60. Μέτρηση της διαφοράς δυναμικού μεταξύ των σημείων Δ και Ε.

Άρα για τό τμήμα ΔΕ του άγωγού τό πηλίκο της διαφοράς δυναμικού που εφαρμόζεται στις άκρες του άγωγού διά της έντάσεως του ρεύματος είναι σταθερό, χαρακτηριστικό γι' αυτό τον άγωγό (ΔΕ) και ονομάζεται αντίσταση του άγωγού. Ωστε:

Αντίσταση (R) ενός άγωγού ονομάζεται τό σταθερό πηλίκο της διαφοράς δυναμικού (U), που εφαρμόζεται στις άκρες του άγωγού, διά της έντάσεως (I) του ρεύματος, που διαρρέει αυτό τον άγωγό.

άντίσταση άγωγού  $R = \frac{U}{I}$  (1)

Η αντίσταση (R) ενός άγωγού εξαρτάται από τό υλικό και τις διαστάσεις του άγωγού και από τή θερμοκρασία του.

Μονάδα αντίστασεως άγωγού. Από τήν εξίσωση (1) βρίσκουμε τή μονάδα αντίστασεως άγωγού, ή όποία στό σύστημα MKSA ονομάζεται Ohm (ώμ, 1 Ω) και όρίζεται ως εξής:

1 Ohm (1 Ω) είναι ή αντίσταση που έχει ένας άγωγός, όταν στις άκρες του εφαρμόζεται διαφορά δυναμικού 1 Volt (1 V) και ή ένταση του ρεύματος που διαρρέει τόν άγωγό είναι 1 Ampère (1 A).

μονάδα αντίστασεως  $1 \text{ Ohm} = \frac{1 \text{ Volt}}{1 \text{ Ampère}} \quad 1 \Omega = 1 \text{ V/A}$

Στις εφαρμογές χρησιμοποιούμε και τά εξής πολλαπλάσια ή υποπολλαπλάσια της μονάδας Ohm:

$$1 \text{ kilohm (1 k}\Omega) = 10^3 \Omega \quad 1 \text{ megaohm (1 M}\Omega) = 10^6 \Omega$$

$$1 \text{ microohm (1 }\mu\Omega) = 10^{-6} \Omega$$

**Παρατήρηση.** Μιά στήλη υδραργύρου, πού σε θερμοκρασία  $0^\circ\text{C}$  έχει μήκος 106,3 cm και τό εμβαδό της διατομής της είναι 1 mm<sup>2</sup>, έχει αντίσταση ίση μέ 1 Ohm και αποτελεί τό πρότυπο της μονάδας αντίστασεως.

β. Νόμος του Ohm γιά τμήμα άγωγοϋ. Ή εξίσωση (1) πού βρήκαμε πειραματικώς εκφράζει τόν ακόλουθο νόμο του Ohm:

Ή ένταση (I) του ρεύματος πού διαρρέει έναν άγωγο είναι ανάλογη μέ τή διαφορά δυναμικού (U) πού εφαρμόζεται στις άκρες του άγωγοϋ και αντιστρόφως ανάλογη μέ τήν αντίσταση (R) του άγωγοϋ.

νόμος του Ohm

$$I = \frac{U}{R}$$

$$\left\{ \begin{array}{l} U \text{ σε V} \\ R \text{ σε } \Omega \\ I \text{ σε A} \end{array} \right.$$

## 56. Νόμος της αντίστασεως άγωγοϋ

Πειραματικώς βρίσκουμε ότι γιά τήν αντίσταση ενός άγωγοϋ ισχύει ό εξής νόμος της αντίστασεως άγωγοϋ:

Ή αντίσταση (R) ενός όμογενοϋς άγωγοϋ είναι ανάλογη μέ τό μήκος (l) του άγωγοϋ, αντιστρόφως ανάλογη μέ τό εμβαδό (S) της τομής του άγωγοϋ και εξαρτάται από τό ύλικό του άγωγοϋ.

νόμος αντίστασεως  
άγωγοϋ

$$R = \rho \cdot \frac{l}{S}$$

$$\left\{ \begin{array}{l} l \text{ σε m, S σε m}^2 \\ \rho \text{ σε } \Omega \cdot \text{m} \\ R \text{ σε } \Omega \end{array} \right. \quad (1)$$

όπου ρ είναι μία σταθερή, πού εξαρτάται από τό ύλικό του άγωγοϋ

καί ονομάζεται *ειδική αντίσταση* του ύλικού. Από την εξίσωση (1) βρίσκουμε:

$$\rho = R \cdot \frac{S}{l}$$

Άρα στο σύστημα MKSA μονάδα ειδικής αντιστάσεως είναι:

$$1 \Omega \cdot \frac{1 \text{ m}^2}{1 \text{ m}} \quad \text{ή} \quad 1 \Omega \cdot \text{m}$$

*Πειραματική απόδειξη.* 1. Παίρνουμε σύρματα από τό ίδιο μέταλλο καί μέ τό ίδιο έμβαδό τομής (S), αλλά τά μήκη των συρμάτων είναι  $l, 2l, 3l$ . Στίς άκρες αυτών των συρμάτων εφαρμόζουμε διαδοχικά τήν ίδια διαφορά δυναμικού U καί μέ άμπερόμετρο μετράμε τήν ένταση του ρεύματος πού διαρρέει κάθε σύρμα. Βρίσκουμε ότι οι αντίστοιχες έντάσεις των ρευμάτων είναι  $I, I/2, I/3$ . Σύμφωνα μέ τό νόμο του Ohm  $I = U/R$ , οι αντίστοιχες αντιστάσεις των συρμάτων είναι  $R, 2R, 3R$ , δηλαδή είναι *ανάλογες μέ τό μήκος* των συρμάτων.

2. Παίρνουμε σύρματα από τό ίδιο μέταλλο καί μέ τό ίδιο μήκος ( $l$ ), αλλά τό έμβαδό τής τομής τους είναι  $S, 2S, 3S$ . Εφαρμόζουμε σ' αυτά τά σύρματα διαφορά δυναμικού U καί βρίσκουμε ότι οι αντίστοιχες έντάσεις των ρευμάτων είναι  $I, 2I, 3I$ . Σύμφωνα μέ τό νόμο του Ohm  $I = U/R$  οι αντίστοιχες αντιστάσεις των συρμάτων είναι  $R, R/2, R/3$ , δηλαδή είναι *αντιστρόφως ανάλογες μέ τό έμβαδό* τής τομής των συρμάτων.

3. Παίρνουμε σύρματα από διαφορετικά μέταλλα, αλλά τά σύρματα αυτά έχουν τό ίδιο μήκος ( $l$ ) καί τό ίδιο έμβαδό τομής (S). Εφαρμόζουμε στα σύρματα τήν ίδια διαφορά δυναμικού (U). Τότε βρίσκουμε ότι οι έντάσεις των ρευμάτων πού διαρρέουν τά σύρματα είναι διαφορετικές, γιατί ή αντίσταση του κάθε σύρματος εξαρτάται από τό ύλικό του.

Μερικές ειδικές αντιστάσεις (σέ  $\Omega \cdot \text{m}$ )

Άργυρος	$1,5 \cdot 10^{-8}$	Χαλκός	$1,6 \cdot 10^{-8}$	Άργίλιο	$2,5 \cdot 10^{-8}$
Βολφράμιο	$6 \cdot 10^{-8}$	Σίδηρος	$10 \cdot 10^{-8}$	Υδράργυρος	$94 \cdot 10^{-8}$

**Σημείωση.** Παρατηρούμε ότι *τή μικρότερη* ειδική αντίσταση έχουν κατά σειρά ό άργυρος, ό χαλκός καί τό άργίλιο καί γι' αυτό τά σύρματα πού χρησιμοποιούμε

είναι κυρίως από χαλκό ή και από άργίλιο. Λέμε ότι αυτά τὰ τρία μέταλλα έχουν *τή μεγαλύτερη ηλεκτρική αγωγιμότητα.*

Μεταβολή τῆς ειδικῆς αντίστασεως με τή θερμοκρασία. Πειραματικῶς βρήκαμε ὅτι *ἡ ειδική αντίσταση τῶν καθαρῶν μετάλλων αὐξάνει με τή θερμοκρασία.* Ἐάν ἓνα μέταλλο στή θερμοκρασία  $0^{\circ}\text{C}$  ἔχει ειδική αντίσταση  $\rho_0$ , τότε στή θερμοκρασία  $\theta^{\circ}\text{C}$  ἔχει ειδική αντίσταση  $\rho$  πού δίνεται ἀπό τήν ἐξίσωση:

$$\text{ειδική αντίσταση} \quad \rho = \rho_0 \cdot (1 + \alpha\theta)$$

ὅπου  $\alpha$  εἶναι ὁ *θερμικός συντελεστής αντίστασεως* καί ὁ ὁποῖος γιά τὰ καθαρὰ μέταλλα ἔχει περίπου τήν τιμή  $\alpha = 0,004 \text{ grad}^{-1}$ . Ἡ μεταβολή τῆς ειδικῆς αντίστασεως με τή θερμοκρασία ὑπολογίζεται πάντοτε στήν τεχνική καί ἐφαρμόζεται γιά τή μέτρηση θερμοκρασιῶν με εἰδικὰ θερμομέτρα, πού ὀνομάζονται *θερμομέτρα αντίστασεως.*

*Ὑπεραγωγιμότητα.* Ὄταν ἡ θερμοκρασία τῶν μετάλλων πλησιάσει πρὸς τό ἀπόλυτο μηδέν, τότε ἡ ειδική αντίστασή τους γίνεται ἴση με μηδέν, δηλαδή οἱ ἄγωγοί δέν παρουσιάζουν αντίσταση. Τό φαινόμενο αὐτό τό ὀνομάζουμε *ὑπεραγωγιμότητα* καί εἶναι πολύ ἐνδιαφέρον, γιατί στίς θερμοκρασίες κοντά στό ἀπόλυτο μηδέν τὰ ἠλεκτρόνια τοῦ ρεύματος κινοῦνται μέσα στό μέταλλο χωρίς νά προκαλοῦν θέρμανση τοῦ ἄγωγου. Ἡ θερμοκρασία, πού κάτω ἀπό αὐτήν, ἐκδηλώνεται ἡ ὑπεραγωγιμότητα, εἶναι χαρακτηριστική γιά κάθε μέταλλο, π.χ. γιά τό μόλυβδο εἶναι  $T \leq 7^{\circ}\text{K}$ , ἐνῶ γιά τόν κασσίτερο εἶναι  $T \leq 4^{\circ}\text{K}$ .

*Ἀγωγοί σταθερῆς αντίστασεως.* Ὅρισμένα κράματα, ὅπως ἡ *κωνσταντάνη* (Cu, Ni), ἡ *μαγγάνη* (Mn, Cu, Ni) κ.ἄ. ἔχουν θερμικό συντελεστή αντίστασεως σχεδόν ἴσο με μηδέν ( $\alpha = 0$ ). Ἐπομένως ἡ αντίσταση συρμάτων ἀπό τέτοια κράματα εἶναι *ἀνεξάρτητη* ἀπό τή θερμοκρασία. Σέ ὄργανα ἀκριβείας καί γενικά σέ συσκευές πού θέλουμε νά ἔχουν σταθερή αντίσταση χρησιμοποιοῦμε σύρματα ἀπό κράματα σταθερῆς αντίστασεως.

*Ἡμιαγωγοί.* Οἱ *ἡμιαγωγοί* σέ χαμηλή θερμοκρασία (κάτω ἀπό  $0^{\circ}\text{C}$ ) ἔχουν μεγάλη ειδική αντίσταση. Ὄταν ὁμως ἡ θερμοκρασία τῶν ἡμιαγωγῶν *αὐξάνει*, ἡ ειδική αντίστασή τους *ἐλαττώνεται* πολύ γρήγορα. Ὄστε, *ἀντίθετα με τὰ μέταλλα*, στούς ἡμιαγωγούς ἡ αὔ-



ξηση τής θερμοκρασίας προκαλεί σημαντική *ελάττωση τής αντίστασως*. Έτσι από ήμιαγωγούς κατασκευάζουμε αντίστασεις πού είναι πολύ ευαίσθητες στις μεταβολές τής θερμοκρασίας. Αυτές οι αντίστασεις χρησιμοποιούνται σε διάφορες διατάξεις (π.χ. στή θερμομετρία).

## 57. Σύνδεση αντίστασεων

Μεταξύ δύο σημείων ενός κυκλώματος μπορεί νά υπάρχουν πολλές αντίστασεις πού συνδέονται μεταξύ τους με διάφορους τρόπους. Οί απλούστεροι τρόποι συνδέσεως αντίστασεων είναι *ή σύνδεση κατά σειρά* και *ή παράλληλη σύνδεση*.

α. Σύνδεση αντίστασεων κατά σειρά. Δύο αντίστασεις  $R_1$  και  $R_2$  συνδέονται κατά σειρά

(σχ. 61). Στις άκρες του συστήματος τών αντίστασών εφαρμόζεται τάση  $U$  και οί δύο αντίστασεις διαρρέονται από ρεύμα πού έχει *τήν ίδια ένταση*  $I$ . Στις άκρες τών αντίστασεων  $R_1$  και  $R_2$  εφαρμόζονται αντίστοιχα οί τάσεις  $U_1$  και  $U_2$ . Τότε σύμφωνα με τό νόμο τού Ohm έχουμε τίσ εξισώσεις:

$$\begin{aligned} \text{γιά τήν αντίσταση } R_1 & \quad U_1 = I \cdot R_1 \\ \text{γιά τήν αντίσταση } R_2 & \quad U_2 = I \cdot R_2 \end{aligned}$$

Αν προσθέσουμε κατά μέλη τίσ δύο εξισώσεις, βρίσκουμε:

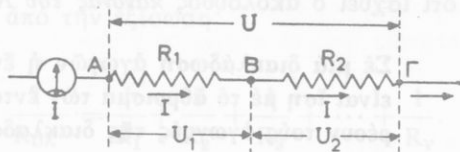
$$U_1 + U_2 = I \cdot (R_1 + R_2) \quad \text{ή} \quad U = I \cdot (R_1 + R_2) \quad (1)$$

Τό σύστημα τών δύο αντίστασεων  $R_1$  και  $R_2$  έχει *ολική αντίσταση*  $R_{ολ}$  και ισχύει ό νόμος τού Ohm:

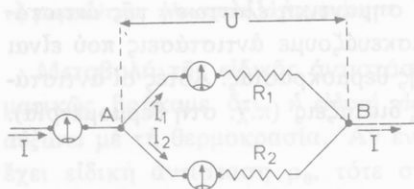
$$U = I \cdot R_{ολ} \quad (2)$$

Έξισώνοντας τά δεύτερα μέλη τών εξισώσεων (1) και (2) βρίσκουμε ότι *στή σύνδεση αντίστασεων κατά σειρά ή ολική αντίσταση* ( $R_{ολ}$ ) τού συστήματος είναι *ίση με τό άθροισμα* τών αντίστασεων τού συστήματος:

$$R_{ολ} = R_1 + R_2 \quad \text{καί γενικά} \quad R_{ολ} = R_1 + R_2 + R_3 + \dots + R_n$$



Σχ. 61. Σύνδεση δύο αντίστασεων κατά σειρά.



Σχ. 62. Παράλληλη σύνδεση δύο αντιστάσεων.

κυκλώματος τό κύριο ρεύμα, πού έχει ένταση  $I$ , διακλαδίζεται σέ δύο ρεύματα, πού έχουν έντάσεις  $I_1$  και  $I_2$ . Μέ άμπερόμετρα μετράμε τίς έντάσεις  $I$ ,  $I_1$ ,  $I_2$  τών αντίστοιχων τριών ρευμάτων και βρίσκουμε ότι ισχύει ό άκόλουθος κανόνας του Kirchhoff:

Σέ μία διακλάδωση άγωγών ή ένταση ( $I$ ) του κύριου ρεύματος είναι ίση μέ τό άθροισμα τών έντάσεων τών ρευμάτων πού διαρρέουν τούς άγωγούς τής διακλαδώσεως.

$$\text{κανόνας του Kirchhoff } I = I_1 + I_2 \quad (3)$$

Τό σημείο A λέγεται κόμβος του κυκλώματος. Ή εξίσωση (3) γράφεται και έτσι:

$$I - I_1 - I_2 = 0$$

Ή επομένως ό κανόνας του Kirchhoff μπορεί νά διατυπωθεί και ώς εξής:

Σέ κάθε κόμβο του κυκλώματος τό άλγεβρικό άθροισμα τών ρευμάτων, πού φτάνουν στον κόμβο και φεύγουν από αυτόν, είναι ίσο μέ μηδέν.

Οί έντάσεις τών ρευμάτων πού φτάνουν στον κόμβο θεωρούνται θετικές, ενώ οί έντάσεις τών ρευμάτων πού φεύγουν από τον κόμβο θεωρούνται άρνητικές.

Ή ολική αντίσταση του συστήματος. Στίς δύο αντιστάσεις  $R_1$  και  $R_2$  εφαρμόζεται ή ίδια τάση  $U$  και σύμφωνα μέ τό νόμο του Ohm έχουμε τίς εξισώσεις:

$$I_1 = \frac{U}{R_1} \quad \text{καί} \quad I_2 = \frac{U}{R_2}$$

Αν προσθέσουμε κατά μέλη τις δύο εξισώσεις, βρίσκουμε ότι είναι:

$$I_1 + I_2 = \frac{U}{R_1} + \frac{U}{R_2} \quad \text{ή} \quad I = U \cdot \left( \frac{1}{R_1} + \frac{1}{R_2} \right) \quad (4)$$

Τό σύστημα των δύο αντιστάσεων  $R_1$  και  $R_2$  έχει *ολική αντίσταση*  $R_{ολ}$  και ισχύει ο νόμος του Ohm :

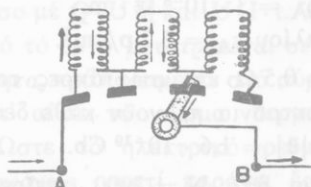
$$I = U/R_{ολ} \quad (5)$$

Εξισώνοντας τά δεύτερα μέλη των εξισώσεων (4) και (5) βρίσκουμε ότι *στην παράλληλη σύνδεση αντιστάσεων ή ολική αντίσταση* ( $R_{ολ}$ ) του συστήματος δίνεται από την εξίσωση:

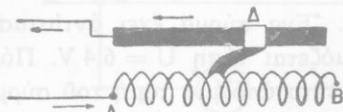
$$\frac{1}{R_{ολ}} = \frac{1}{R_1} + \frac{1}{R_2} \quad \text{καί γενικά} \quad \frac{1}{R_{ολ}} = \frac{1}{R_1} + \frac{1}{R_2} + \frac{1}{R_3} + \dots + \frac{1}{R_v}$$

## 58. Ρυθμιστικές αντιστάσεις

Σε πολλές περιπτώσεις είναι ανάγκη να μεταβάλουμε την ένταση (I) του ρεύματος που διαρρέει έναν άγωγο. Αυτό μπορεί να γίνει, αν μεταβληθεί ή αντίσταση (R) του κυκλώματος. Γι' αυτόν τό σκοπό χρησιμοποιούμε ειδικά όργανα, που μπαίνουν στο κύκλωμα κατά σειρά και ονομάζονται *ρυθμιστικές αντιστάσεις* (ή *ροοστάτες*). Τά σχήματα 63 και 64 δείχνουν δύο συνηθισμένους τύπους ρυθμιστικών αντιστάσεων (μέ μοχλό και μέ δρομέα).



Σχ. 63. Ρυθμιστική αντίσταση μέ μοχλό.



Σχ. 64. Ρυθμιστική αντίσταση μέ δρομέα.

## 59. Μέτρηση αντίστασεων

Ἡ μέτρηση τῆς ἀντίστασως ἑνός ἀγωγοῦ ΔΕ (σχ. 60) γίνεται εὐκόλῃ, ἂν μὲ τὸ ἀμπερόμετρο μετρήσουμε τὴν ἔνταση  $I$  τοῦ ρεύματος πού διαρρέει τὸν ἀγωγὸ καὶ μὲ τὸ βολτόμετρο μετρήσουμε τὴν τάση  $U$  πού ἐφαρμόζεται στὶς ἄκρες τοῦ ἀγωγοῦ. Τότε ἡ ἀντίσταση τοῦ ἀγωγοῦ εἶναι  $R = U/I$ . Στὴν πράξη γιὰ τὴ μέτρηση τῶν ἀντιστάσεων χρησιμοποιοῦμε εἰδικὰ ὄργανα, πού ὀνομάζονται *ὠμόμετρα*.

### ΠΡΟΒΛΗΜΑΤΑ

49. Στὶς ἄκρες ἑνός σύρματος πού ἔχει ἀντίσταση  $R = 2,5 \Omega$  ἐφαρμόζεται διαφορά δυναμικοῦ  $U = 75 \text{ V}$ . Πόσο ἠλεκτρικὸ φορτίο περνάει ἀπὸ τὸ σύρμα σὲ χρόνο  $t = 20 \text{ min}$ ;

50. Ἐνα σύρμα ἔχει εἰδική ἀντίσταση  $\rho = 1,6 \cdot 10^{-8} \Omega \cdot \text{m}$  καὶ διάμετρο  $\delta = 1 \text{ mm}$ . Πόσο μῆκος  $l$  ἀπὸ αὐτὸ τὸ σύρμα ἔχει ἀντίσταση  $R = 16 \Omega$ ;

51. Ἐνα σύρμα ἔχει διάμετρο  $\delta_1 = 1 \text{ mm}$  καὶ ἀντίσταση  $R_1 = 0,4 \Omega$  κατὰ μέτρο μῆκους. Ἐνα σύρμα ἀπὸ τὸ ἴδιο μέταλλο καὶ μὲ διάμετρο  $\delta_2 = 0,4 \text{ mm}$  θέλουμε νὰ ἔχει ἀντίσταση  $R_2 = 12,5 \Omega$ . Πόσο μῆκος  $l_2$  πρέπει νὰ ἔχει τὸ δεῦτερο σύρμα;

52. Τὸ χάλκινο σύρμα μιᾶς τηλεγραφικῆς γραμμῆς ἔχει μῆκος  $l$  καὶ διάμετρο  $\delta_{\chi} = 3 \text{ mm}$ . Θέλουμε νὰ ἀντικαταστήσουμε τὸ χάλκινο σύρμα μὲ σύρμα ἀπὸ ἀργίλιο, πού νὰ ἔχει τὴν ἴδια ἀντίσταση  $R$  μὲ τὸ χάλκινο σύρμα. Πόση πρέπει νὰ εἶναι ἡ διάμετρος  $\delta_A$  τοῦ σύρματος ἀπὸ ἀργίλιο καὶ πόσος εἶναι ὁ λόγος τοῦ βάρους τῆς νέας γραμμῆς πρὸς τὸ βᾶρος τῆς παλιᾶς γραμμῆς; Εἰδικές ἀντιστάσεις: χαλκοῦ  $\rho_{\chi} = 1,6 \cdot 10^{-8} \Omega \cdot \text{m}$ , ἀργιλίου  $\rho_A = 3 \cdot 10^{-8} \Omega \cdot \text{m}$ . Εἰδικὰ βᾶρη: χαλκοῦ  $\epsilon_{\chi} = 9 \text{ p/cm}^3$ , ἀργιλίου  $\epsilon_A = 2,7 \text{ p/cm}^3$ .

53. Ἐνα σύρμα ἔχει ἀντίσταση  $R = 0,5 \Omega$  καὶ στὶς ἄκρες του ἐφαρμόζεται τάση  $U = 6,4 \text{ V}$ . Πόσα ἠλεκτρόνια περνοῦν κάθε δευτερόλεπτο ἀπὸ μιὰ τομὴ τοῦ σύρματος;  $|e| = 1,6 \cdot 10^{-19} \text{ Cb}$ .

54. Ἐνα κυκλικὸ πλαίσιο ἀποτελεῖται ἀπὸ  $N = 2000$  σπεῖρες, πού καθεμιὰ ἔχει διάμετρο  $\Delta = 10 \text{ cm}$ . Τὸ σύρμα ἔχει διάμετρο  $\delta = 0,4 \text{ mm}$  καὶ εἰδική ἀντίσταση  $\rho = 10^{-8} \Omega \cdot \text{m}$ . Στὶς ἄκρες τοῦ

πλαίσιου εφαρμόζεται τάση  $U = 100 \text{ V}$ . Πόση είναι η ένταση του ρεύματος που διαρρέει τό πλαίσιο;

55. Τρεις αντίστασεις  $R_1 = 5 \Omega$ ,  $R_2 = 10 \Omega$ ,  $R_3 = 45 \Omega$  συνδέονται κατά σειρά. Στις άκρες του συστήματος εφαρμόζεται διαφορά δυναμικού  $U = 90 \text{ V}$ . Πόση είναι η ένταση του ρεύματος που διαρρέει τό σύστημα; Πόση είναι η διαφορά δυναμικού  $U_1$ ,  $U_2$ ,  $U_3$  που εφαρμόζεται αντίστοιχα στις άκρες κάθε αντίστασεως;

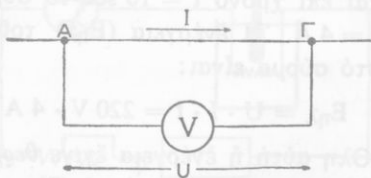
56. Δύο σύρματα, όταν συνδέονται κατά σειρά, έχουν αντίσταση  $R = 30 \Omega$ , ενώ όταν συνδέονται παράλληλα, έχουν όλική αντίσταση  $R' = 3 \Omega$ . Πόση είναι η αντίσταση κάθε σύρματος;

57. Τρεις αντίστασεις  $R_1 = 2 \Omega$ ,  $R_2 = 3 \Omega$ ,  $R_3 = 4 \Omega$  συνδέονται παράλληλα καί αυτό τό σύστημα συνδέεται κατά σειρά μέ αντίσταση  $R_4 = 1 \Omega$ . Στις άκρες όλου του συστήματος εφαρμόζεται διαφορά δυναμικού  $U = 20 \text{ V}$ . Πόση είναι η ένταση του ρεύματος που διαρρέει καθεμιά από τίς τέσσερις αντίστασεις;

## ΕΝΕΡΓΕΙΑ ΤΟΥ ΗΛΕΚΤΡΙΚΟΥ ΡΕΥΜΑΤΟΣ

### 60. Ένέργεια του ηλεκτρικού ρεύματος

Ένα κύκλωμα διαρρέεται από ρεύμα που έχει ένταση  $I$ . Θεωρούμε ένα τμήμα ΑΓ του σύρματος που συνδέει τούς πόλους της γεννήτριας (σχ. 65). Τό σύρμα ΑΓ έχει αντίσταση  $R$  καί μεταξύ τών δύο άκρων του Α καί Γ υπάρχει σταθερή διαφορά δυναμικού (τάση)  $U$ . Στή διάρκεια του χρόνου  $t$  τό ρεύμα μεταφέρει από τό σημείο Α στό σημείο Γ ένα ηλεκτρικό φορτίο ίσο μέ  $Q = I \cdot t$ . Άλλά, όπως ξέρουμε (§ 29), κατά τή μεταφορά αυτού του φορτίου παράγεται έργο ίσο μέ  $Q \cdot U$  ή καί  $U \cdot I \cdot t$ . Όλο αυτό τό έργο μετατρέπεται σέ θερμότητα, που παραμένει στό σύρμα καί γι' αυτό τό σύρμα θερμαίνεται. Όστε τό ηλεκτρικό ρεύμα έχει *ένέργεια*, γιατί παράγει έργο. Η *ένέργεια* του ρεύματος είναι ίση μέ τό έργο που παράγει τό ρεύμα.



Σχ. 65. Τό ρεύμα παράγει έργο πάνω στό σύρμα ΑΓ.

Όταν λοιπόν ένα ρεύμα έντάσεως  $I$  διαρρέει επί χρόνο  $t$  έναν αγωγό πού έχει αντίσταση  $R$ , τότε η *ένέργεια* ( $E_{\eta\lambda}$ ) του ηλεκτρικού ρεύματος ή όποια καταναλώνεται πάνω σ' αυτό τόν αγωγό, δίνεται από τις εξισώσεις:

ενέργεια του ρεύματος	$E_{\eta\lambda} = U \cdot I \cdot t$ $E_{\eta\lambda} = I^2 \cdot R \cdot t$	$\left\{ \begin{array}{l} Q \text{ σε Cb, } U \text{ σε V} \\ I \text{ σε A, } t \text{ σε sec} \\ R \text{ σε } \Omega \\ E_{\eta\lambda} \text{ σε Joule} \end{array} \right. \quad (1)$
-----------------------	---	--

Ίσχύς του ηλεκτρικού ρεύματος. Από τις εξισώσεις (1) βρίσκουμε ότι, αν ένα ρεύμα έντάσεως  $I$  διαρρέει αγωγό πού έχει αντίσταση  $R$ , τότε η *ισχύς* ( $P$ ) του ηλεκτρικού ρεύματος ή όποια καταναλώνεται πάνω σ' αυτό τόν αγωγό, είναι  $P = E_{\eta\lambda}/t$  και επομένως δίνεται από τις εξισώσεις:

ισχύς του ρεύματος	$P = U \cdot I$ $P = I^2 \cdot R$	$\left\{ \begin{array}{l} U \text{ σε V, } I \text{ σε A} \\ R \text{ σε } \Omega \\ P \text{ σε W} \end{array} \right.$
--------------------	-----------------------------------	--

Αν στις εξισώσεις (1) βάλουμε  $P = U \cdot I$  ή  $P = I^2 \cdot R$ , βρίσκουμε ότι η *ένέργεια* ( $E_{\eta\lambda}$ ) του ρεύματος, ή όποια καταναλώνεται πάνω σε έναν αγωγό, δίνεται από την εξίσωση:

$$\text{ένέργεια του ρεύματος} \quad E_{\eta\lambda} = P \cdot t$$

Όταν σ' αυτή την εξίσωση η ισχύς  $P$  μετριέται σε κιλοβάτ (kW) και ο χρόνος  $t$  σε ώρες (h), τότε η *ένέργεια*  $E_{\eta\lambda}$  βρίσκεται σε κιλοβατώρια (kWh).

*Παράδειγμα.* Στις άκρες σύρματος εφαρμόζεται τάση  $U = 220$  V και επί χρόνο  $t = 10$  sec τό σύρμα διαρρέεται από ρεύμα έντάσεως  $I = 4$  A. Η *ένέργεια* ( $E_{\eta\lambda}$ ) του ρεύματος πού καταναλώθηκε πάνω στό σύρμα είναι:

$$E_{\eta\lambda} = U \cdot I \cdot t = 220 \text{ V} \cdot 4 \text{ A} \cdot 10 \text{ sec} \quad \text{καί} \quad E_{\eta\lambda} = 8800 \text{ Joule}$$

Όλη αυτή η *ένέργεια* έγινε *θερμότητα* πού έμεινε πάνω στό σύρμα. Αυτό τό ρεύμα έχει ισχύ ( $P$ ):

$$P = U \cdot I = 220 \text{ V} \cdot 4 \text{ A} \quad \text{καί} \quad P = 880 \text{ W}$$

Αν το ρεύμα διαρρέει το σύρμα επί χρόνο  $t = 3 \text{ h}$ , τότε η ενέργεια ( $E_{\eta\lambda}$ ) του ρεύματος, η οποία καταναλώθηκε πάνω στο σύρμα, είναι:

$$E_{\eta\lambda} = P \cdot t = 0,880 \text{ kW} \cdot 3 \text{ h} \quad \text{καί} \quad E_{\eta\lambda} = 2,64 \text{ kWh}$$

## 61. Νόμος του Joule

Η θέρμανση των αγωγών που διαρρέονται από ηλεκτρικό ρεύμα ονομάζεται *φαινόμενο Joule* και οφείλεται στο ότι η ενέργεια του ρεύματος μετατρέπεται σε θερμότητα. Στις άκρες ενός σύρματος, που έχει αντίσταση  $R$ , εφαρμόζεται σταθερή τάση  $U$  και το σύρμα διαρρέεται από ρεύμα έντασης  $I = U/R$ . Στή διάρκεια χρόνου  $t$  πάνω στο σύρμα καταναλώνεται ενέργεια ( $E_{\eta\lambda}$ ) του ρεύματος ίση με:

$$E_{\eta\lambda} = I^2 \cdot R \cdot t \quad (1)$$

Όλη αυτή η ενέργεια έγινε *θερμότητα* ( $Q_{\theta\epsilon\rho\mu}$ ) που έμεινε πάνω στον αγωγό. Ξέρουμε ότι ισχύουν οι εξής σχέσεις ισοδυναμίας:

$$J = 4,19 \text{ Joule/cal} \quad \text{ή} \quad J = 0,24 \text{ cal/Joule}$$

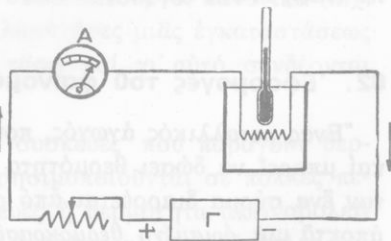
Επομένως η θερμότητα ( $Q_{\theta\epsilon\rho\mu}$ ), που αναπτύσσεται πάνω στον αγωγό, είναι  $Q_{\theta\epsilon\rho\mu} = 0,24 \cdot E_{\eta\lambda} \text{ cal}$  ή

νόμος του Joule $Q_{\theta\epsilon\rho\mu} = 0,24 \cdot I^2 \cdot R \cdot t$	$\left\{ \begin{array}{l} 0,24 \text{ cal/Joule} \\ I \text{ σε A, } R \text{ σε } \Omega \\ t \text{ σε sec, } Q_{\theta\epsilon\rho\mu} \text{ σε cal} \end{array} \right. \quad (2)$
--	---

Η εξίσωση (2) εκφράζει τον εξής νόμο του Joule :

Η θερμότητα ( $Q_{\theta\epsilon\rho\mu}$ ) που αναπτύσσεται πάνω σε έναν αγωγό είναι ανάλογη με το τετράγωνο της έντασης ( $I$ ) του ρεύματος, ανάλογη με την αντίσταση ( $R$ ) του αγωγού και ανάλογη με το χρόνο ( $t$ ) που το ρεύμα διαρρέει τον αγωγό.

Γιά την πειραματική επαλήθευση του νόμου του Joule χρησιμοποιούμε θερμιδόμετρο μέσα στο οποίο είναι βυθισμένο ένα σύρμα που διαρρέεται από ρεύμα (σχ. 66).



Σχ. 66. Γιά την πειραματική απόδειξη του νόμου του Joule

Διατηρούμε σταθερά τὰ μεγέθη  $R$  καὶ  $t$  καὶ μεταβάλλουμε μόνο τὴν ἔνταση  $I$  τοῦ ρεύματος. Ἐπειτα διατηροῦμε σταθερά τὰ μεγέθη  $I$  καὶ  $t$  καὶ μεταβάλλουμε μόνο τὴν ἀντίσταση  $R$  τοῦ σύρματος. Καὶ τέλος διατηροῦμε σταθερά τὰ μεγέθη  $I$  καὶ  $R$  καὶ μεταβάλλουμε μόνο τὸ χρόνο  $t$  πού τὸ ρεύμα διαρρέει τὸ σύρμα. Ἔτσι εὐκολὰ ἐπιβεβαιώνουμε πειραματικῶς τὸ νόμο τοῦ Joule.

α. Μονάδα θερμότητας στὸ σύστημα MKSA. Ἄγωγός ἔχει ἀντίσταση  $R$  καὶ διαρρέεται ἀπὸ ρεύμα ἐντάσεως  $I$  ἐπὶ χρόνο  $t$ . Τότε πάνω σ' αὐτὸ τὸν ἄγωγό καταναλώνεται ἐνέργεια τοῦ ρεύματος ἴση μὲ :

$$E_{\eta\lambda} = I^2 \cdot R \cdot t \quad (3)$$

Ἡ ὅλη αὐτὴ ἡ ἐνέργεια μετατρέπεται σὲ θερμότητα ( $Q_{\theta\epsilon\rho\mu}$ ). Ἡ ἐξίσωση (3) στὸ σύστημα MKSA ἐκφράζει αὐτὴ τὴ θερμότητα ( $Q_{\theta\epsilon\rho\mu}$ ) σὲ μονάδες ἐνέργειας αὐτοῦ τοῦ συστήματος, δηλαδή ἐκφράζει τὴ θερμότητα μετρημένη σὲ Joule. Ἄν στὴν ἐξίσωση (3) βάλουμε  $I = 1 \text{ A}$ ,  $R = 1 \Omega$  καὶ  $t = 1 \text{ sec}$ , βρίσκουμε  $E_{\eta\lambda} = 1 \text{ Joule}$ . Ἔτσι ἔχουμε τὸν ἐξῆς ὁρισμό:

**Στὸ σύστημα MKSA μονάδα θερμότητας εἶναι τὸ 1 Joule, δηλαδή ἡ θερμότητα ἡ ὁποία μέσα σὲ 1 sec ἀναπτύσσεται πάνω σὲ ἄγωγό πού ἔχει ἀντίσταση  $1 \Omega$  καὶ διαρρέεται ἀπὸ ρεύμα ἐντάσεως  $1 \text{ A}$ .**

β. Νεκρὴ ἀντίσταση. Μιά ἀντίσταση  $R$  διαρρέεται ἀπὸ ρεύμα ἐντάσεως  $I$ . Ἄν ὅλη ἡ ἐνέργεια τοῦ ρεύματος μετατρέπεται πάνω στὴν ἀντίσταση  $R$  σὲ θερμότητα, τότε λέμε ὅτι ἡ ἀντίσταση  $R$  εἶναι μιὰ *νεκρὴ ἀντίσταση*. Στὶς ἄκρες τῆς ἀντιστάσεως  $R$  ὑπάρχει τάση  $U = I \cdot R$  καὶ λέμε ὅτι πάνω στὴ νεκρὴ ἀντίσταση  $R$  συμβαίνει *πτώση τάσεως* ἴση μὲ  $U = I \cdot R$ .

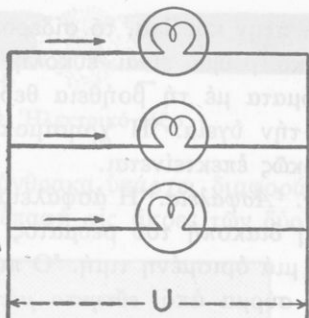
## 62. Ἐφαρμογές τοῦ φαινομένου Joule

Ἕνας μεταλλικός ἄγωγός, πού διαρρέεται ἀπὸ ρεύμα, θερμαίνεται καὶ μπορεῖ νὰ δώσει θερμότητα στὸ ἐξωτερικὸ περιβάλλον του. Ὄταν ἓνα σύρμα διαρρέεται ἀπὸ ρεύμα σταθερῆς ἐντάσεως, τὸ σύρμα ἀποκτᾶ μιὰ *ὀρισμένη θερμοκρασία*. Σ' αὐτὴ τὴν περίπτωση ἔχει ἀποκατασταθεῖ *θερμικὴ ἰσορροπία* μεταξύ τοῦ σύρματος καὶ τοῦ περιβάλλοντος. Τότε ὅλη ἡ ἰσχύς πού καταναλώνεται πάνω στὸ σύρμα





Σχ. 67. Ήλεκτρικός λαμπτήρας πυρακτώσεως



Σχ. 68. Παράλληλη σύνδεση τών λαμπτήρων

δίνεται στο περιβάλλον με τη μορφή θερμότητας. Γι' αυτό τό φαινόμενο Joule έχει πολλές εφαρμογές.

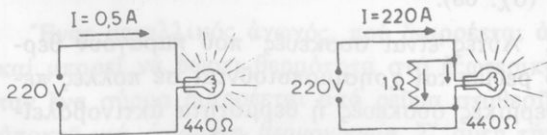
α. Ήλεκτρικός λαμπτήρας πυρακτώσεως. Αυτός αποτελείται από γυάλινο δοχείο μέσα στο οποίο υπάρχει ένα λεπτό σύρμα από πολύ δύστηκτο μέταλλο (βολφράμιο, ταμτάλιο, όσμιο). Τό μέταλλο πού χρησιμοποιούμε έχει θερμοκρασία τήξεως πάνω από  $2700^{\circ}\text{C}$  (σχ. 67). Μέσα στο δοχείο δέν υπάρχει όξυγόνο, για νά μή γίνει όξειδωση του μετάλλου, υπάρχει όμως ένα αδρανές άεριο (άργό, κρυπτό, άζωτο), πού έμποδίζει τήν εξαέρωση του μετάλλου. Όταν τό σύρμα φωτοβολεί, ή θερμοκρασία του είναι πάνω από  $2000^{\circ}\text{C}$ . Στους σημερινούς λαμπτήρες για φωτεινή ισχύ μιάς candela καταναλώνεται ισχύς ρεύματος 0,5 ως 0,9 Watt. Σέ κάθε λαμπτήρα σημειώνονται δύο ένδειξεις, ή τάση στην όποία ό λαμπτήρας λειτουργεί κανονικά και ή ισχύς πού καταναλώνει ό λαμπτήρας, όταν λειτουργεί κανονικά (π.χ. σημειώνονται 220 V, 60 W). Όλοι οί λαμπτήρες μιάς έγκαταστάσεως πρέπει νά λειτουργούν με τήν ίδια τάση και γι' αυτό συνδέονται μεταξύ τους παράλληλα (σχ. 68).

β. Θερμικές συσκευές. Αυτές είναι συσκευές πού παράγουν θερμότητα με τό ήλεκτρικό ρεύμα και χρησιμοποιούνται σε πολλές περιπτώσεις. Σέ μερικές θερμικές συσκευές ή θερμότητα άκτινοβολείται άπευθείας από τό σύρμα (π.χ. στή θερμάστρα), ενώ σε άλλες συσκευές ή θερμότητα συγκεντρώνεται πάνω σε μιά μεταλλική πλάκα

(π.χ. στην κουζίνα, τό σίδερο). Ἡ παραγωγή θερμότητας μέ τό ἤλεκτρικό ρεύμα εἶναι εὐκόλη, ἐξασφαλίζει καθαριότητα, ρυθμίζεται αὐτόματα μέ τή βοήθεια θερμοστάτη καί δέ δημιουργεῖ κινδύνους γιά τήν υἰγεία. Ἡ χρησιμοποίηση ἤλεκτρικῶν πηγῶν θερμότητας διαρκῶς ἐπεκτείνεται.

γ. Ἀσφάλεια. Ἡ ἀσφάλεια εἶναι μιά διάταξη πού προκαλεῖ αὐτόματη διακοπή τοῦ ρεύματος, ὅταν ἡ ἔντασή του γίνεῖ μεγαλύτερη ἀπό μιά ὀρισμένη τιμή. Ὁ πιό ἀπλός τύπος ἀσφάλειας εἶναι ἕνα μικρό σύρμα ἀπό εὐτηκτο μέταλλο. Μόλις ἡ ἔνταση τοῦ ρεύματος γίνεῖ μεγαλύτερη ἀπό ἕνα ὄριο, ἀμέσως συμβαίνει τήξη τοῦ μετάλλου καί διακοπή τοῦ ρεύματος. Σήμερα χρησιμοποιοῦμε κυρίως τίς αὐτόματες ἀσφάλειες. Ἡ λειτουργία τους στηρίζεται σέ ἕνα διμεταλλικό ἔλασμα, πού, ὅταν θερμανθεῖ πάνω ἀπό ἕνα ὄριο, λυγίζει καί προκαλεῖ αὐτόματα τή διακοπή τοῦ ρεύματος.

δ. Βραχυκύκλωμα. Κάθε ἤλεκτρική συσκευή ἢ ἤλεκτρική ἐγκατάσταση εἶναι ἔτσι κατασκευασμένη, ὥστε νά ἀντέχει σέ ὀρισμένη ἔνταση ρεύματος. Σέ μερικές ὁμως περιπτώσεις, διάφορα αἷτια προκαλοῦν σημαντική αὐξηση τῆς ἐντάσεως τοῦ ρεύματος. Τότε λέμε ὅτι δημιουργήθηκε βραχυκύκλωμα. Ἡ μεγάλη αὐξηση τῆς ἐντάσεως τοῦ ρεύματος θερμαίνει πάρα πολύ τούς ἀγωγούς καί μπορεῖ νά τούς καταστρέψει ἢ νά προκαλέσει πυρκαγιά. Βραχυκύκλωμα προκαλεῖται καί ὅταν παράλληλα μέ μιά συσκευή συνδεθεῖ μιά πολύ μικρή ἀντίσταση. Ἄν π.χ. ἕνας λαμπτήρας πυρακτώσεως, πού ἔχει ἀντίσταση  $R_{\Lambda} = 440 \Omega$ , λειτουργεῖ μέ τάση  $U = 220 \text{ V}$ , τότε ἡ ἔνταση τοῦ ρεύματος πού διαρρέει τό κύκλωμα εἶναι  $I = 0,5 \text{ A}$  (σχ. 69). Οἱ ὑπόλοιποι ἀγωγοί τοῦ κυκλώματος ἔχουν ἀσήμαντη ἀντίσταση. Παράλληλα μέ τό λαμπτήρα συνδέομε ἕνα σύρμα πού ἔχει ἀντίσταση  $R_{\Sigma} = 1 \Omega$ . Ἡ ὀλική ἀντίσταση  $R_{\text{ολ}}$  τοῦ κυκλώματος γίνεταί τότε πολύ μικρή καί περίπου ἴση μέ  $1 \Omega$  (εἶναι  $R_{\text{ολ}} = 440/441 \Omega$ ).



Σχ. 69. Ἡ μικρή ἀντίσταση  $1 \Omega$  δημιουργεῖ βραχυκύκλωμα.

Ἡ ἔνταση τοῦ ρεύματος στό κύκλωμα γίνεταί πολύ μεγάλη καί περίπου ἴση μέ  $220 \text{ A}$ . Ἡ θέρμανση τῶν ἀγωγῶν εἶναι πολύ ἰσχυρή

καί υπάρχει κίνδυνος νά καταστραφούν ή νά προκληθεῖ πυρκαγιά.

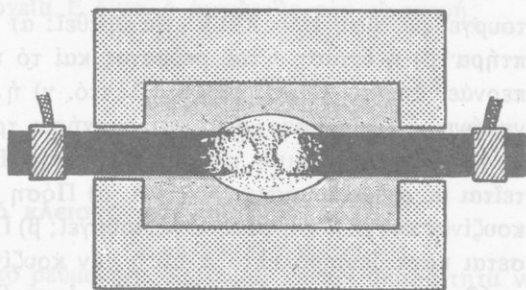


Σχ. 70. Ἡλεκτρικό τόξο

ε. Ἡλεκτρικό τό-

ξο. Μεταξύ δύο μικρῶν ράβδων ἀπό ἄνθρακα ὑπάρχει διαφορά δυναμικοῦ περίπου 60 V. Φέρνουμε σέ ἐπαφή τίς ἄκρες τῶν δύο ρά-

βδων καί ἔπειτα τίς ἀπομακρύνουμε. Παρατηροῦμε ὅτι τό ρεῦμα ἐξακολουθεῖ νά κυκλοφορεῖ μέσα στό κύκλωμα καί ὅτι μεταξύ τῶν δύο ράβδων σχηματίζεται ἰσχυρό φωτεινό τόξο, πού ὀνομάζεται ἠλεκτρικό τόξο (σχ.



Σχ. 71. Ἡλεκτρικός φούρνος

70). Στό θετικό ἠλεκτρόδιο σχηματίζεται ἓνας πολύ φωτεινός κρατήρας καί ἐκεῖ ἡ θερμοκρασία φτάνει ὡς 3500<sup>0</sup> C. Τό ἠλεκτρικό τόξο χρησιμοποιεῖται ὡς ἰσχυρή φωτεινή πηγή καί στόν ἠλεκτρικό φούρνο (σχ. 71) γιά τήν τήξη δύστηκτων σωμάτων, γιά τήν παρασκευή χημικῶν ἐνώσεων (ἄνθρακασβεστίου) καί στήν ἠλεκτρομεταλλουργία (παρασκευή ἀργιλίου).

**Παρατήρηση.** Τό φαινόμενο *Joule* εἶναι ἓνα πολύ γενικό φαινόμενο, πού συνοδεύει πάντοτε τό πέρασμα τοῦ ἠλεκτρικοῦ ρεύματος μέσα ἀπό τοὺς ἀγωγούς. Σέ πολλές ἐφαρμογές ἐκμεταλλεῖσθε τό φαινόμενο *Joule*, ἀλλά τό φαινόμενο αὐτό προκαλεῖ μεγάλες ἀπώλειες ἐνέργειας πάνω στους ἀγωγούς πού μεταφέρουν τό ἠλεκτρικό ρεῦμα. Σέ ἄλλο κεφάλαιο θά δοῦμε πῶς ἡ σύγχρονη τεχνική κατορθώνει κατά τή μεταφορά τῆς ἠλεκτρικῆς ἐνέργειας νά περιορίζει σημαντικά τίς ἀπώλειες ἐνέργειας ἐξαιτίας τοῦ φαινομένου *Joule*.

## ΠΡΟΒΛΗΜΑΤΑ

58. Στίς ἄκρες ἑνός σύρματος πού ἔχει ἀντίσταση  $R = 18 \Omega$  ἐφαρμόζεται τάση  $U = 54 \text{ V}$ . Πόση ἠλεκτρική ἰσχύς καταναλώνει

ται στην αντίσταση  $R$  και πόση ενέργεια καταναλώνεται σε χρόνο  $t = 30 \text{ min}$ ;

59. Τρεις αντιστάσεις  $R_1 = 2 \Omega$ ,  $R_2 = 3 \Omega$ ,  $R_3 = 5 \Omega$  συνδέονται κατά σειρά και στις άκρες του συστήματος εφαρμόζεται τάση  $U = 120 \text{ V}$ . Πόση ηλεκτρική ισχύς καταναλώνεται σε κάθε αντίσταση και πόση θερμότητα αναπτύσσεται σε καθεμιά από αυτές σε  $t = 1 \text{ min}$ ;

60. Ένας λαμπτήρας πυρακτώσεως έχει ισχύ  $P = 60 \text{ W}$  και λειτουργεί με τάση  $U = 220 \text{ V}$ . Νά βρεθεί: α) η αντίσταση  $R$  του λαμπτήρα· β) η ένταση  $I$  του ρεύματος και τό ηλεκτρικό φορτίο  $Q$  που περνάει από τό λαμπτήρα κατά λεπτό. γ) η ενέργεια  $E_{\text{ηλ}}$  που καταναλώνει ο λαμπτήρας, όταν λειτουργήσει τρεις ώρες.

61. Μιά ηλεκτρική κουζίνα έχει ισχύ  $P = 500 \text{ W}$  και τροφοδοτείται με ρεύμα εντάσεως  $I = 4 \text{ A}$ . α) Πόση είναι η αντίσταση  $R$  της κουζίνας και με πόση τάση  $U$  λειτουργεί; β) Πόση θερμότητα αναπτύσσεται κατά δευτερόλεπτο σ' αυτή τήν κουζίνα;

62. Μιά ηλεκτρική κουζίνα έχει ισχύ  $P = 500 \text{ W}$  και σε χρόνο  $t = 10 \text{ min}$  θερμαίνει μάζα νερού  $m = 500 \text{ gr}$  από  $20^\circ \text{ C}$  σε  $100^\circ \text{ C}$ . Πόσο μέρος από τή θερμότητα που αναπτύσσεται από τό ρεύμα χρησιμοποιείται για τή θέρμανση του νερού; Πόσος είναι ο συντελεστής αποδόσεως;

63. Για νά θερμάνουμε μέσα σε χρόνο  $t = 5 \text{ min}$  νερό που έχει μάζα  $m = 1 \text{ kg}$  από  $20^\circ \text{ C}$  σε  $100^\circ \text{ C}$ , βυθίζουμε μέσα στό νερό ένα σύρμα και στις άκρες του εφαρμόζουμε τάση  $U = 220 \text{ V}$ . Πόση πρέπει νά είναι η αντίσταση  $R$  του σύρματος;

64. Δύο σύρματα από τό ίδιο ύλικό έχουν τό ίδιο μήκος  $l$  αλλά η τομή τους έχει διαφορετικό έμβαδό και είναι  $S_2 > S_1$ . Τά δύο σύρματα συνδέονται πρώτα κατά σειρά και έπειτα παράλληλα. Όταν στις άκρες του συστήματος των αντιστάσεων εφαρμόζεται η ίδια τάση  $U$ , σε ποιό από τά δύο σύρματα αναπτύσσεται μεγαλύτερη θερμότητα σε καθεμιά από τίς δύο περιπτώσεις;

65. Ένας επίπεδος πυκνωτής έχει χωρητικότητα  $C = 1,6 \cdot 10^{-3} \text{ μF}$  και μεταξύ των όπλισμών του υπάρχει τάση  $U_0 = 50 \text{ 000 V}$ . Ό πυκνωτής εκφορτίζεται διαμέσου μιās αντιστάσεως  $R = 1000 \Omega$ , και δεχόμαστε ότι στη διάρκεια  $t$  τής εκφορτίσεως η τάση είναι κατά μέσο όρο ίση με  $U = 20 \text{ 000 V}$ . Πόσο χρόνο  $t$  διαρκεί η εκφόρτιση του πυκνωτή;

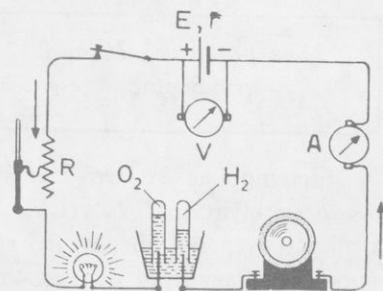
66. Μιά ηλεκτρονική συσκευή παίρνει την ενέργεια που χρειάζεται από τη μερική εκφόρτιση ενός πυκνωτή, που έχει χωρητικότητα  $C = 0,25 \mu\text{F}$ . Αρχικά η τάση στους όπλισμούς του πυκνωτή είναι  $U_1 = 100\,000 \text{ V}$  και έπειτα μέσα σε χρόνο  $t = 0,1 \text{ sec}$  ο πυκνωτής εκφορτίζεται και η τάση στους όπλισμούς του πέφτει και γίνεται  $U_2 = 40\,000 \text{ V}$ . Πόσο φορτίο  $Q$  δίνει ο πυκνωτής στη συσκευή, πόση είναι κατά μέσο όρο η ένταση  $I$  του ρεύματος που διαρρέει τη συσκευή και πόση ενέργεια  $E$  δίνει ο πυκνωτής στη συσκευή;

## ΚΛΕΙΣΤΟ ΚΥΚΛΩΜΑ

### 63. Η γεννήτρια στο κλειστό κύκλωμα

Γιά να διαρρέεται από ρεύμα ένα κύκλωμα, πρέπει απαραίτητα να υπάρχει στο κύκλωμα *γεννήτρια*. Όπως ξέρουμε (§ 49), η γεννήτρια διατηρεί σταθερή διαφορά δυναμικού μεταξύ των δύο πόλων της, γιατί διαρκώς μεταφέρει ηλεκτρόνια από το θετικό στον αρνητικό πόλο της. Όστε μέσα στη γεννήτρια υπάρχει άγωγός και μέσω αυτού κινούνται τά ηλεκτρόνια. Έπομένως κάθε γεννήτρια έχει ορισμένη *εσωτερική αντίσταση* ( $r$ ).

Στό κλειστό κύκλωμα που δείχνει τό σχήμα 72 υπάρχουν ρυθμιστική αντίσταση ( $R$ ), λαμπτήρας πυρακτώσεως, βολτάμετρο και κινητήρας. Αυτή ή σειρά των άγωγών άποτελεί τό *έξωτερικό κύκλωμα*. Έξαιτίας του φαινομένου Joule πάνω σε όλες τις αντιστάσεις του κυκλώματος αναπτύσσεται *θερμοτήτα*. Στό λαμπτήρα πυρακτώσεως ηλεκτρική ενέργεια μετατρέπεται τελικά σε *φωτεινή ενέργεια*. Στό βολτάμετρο ηλεκτρική ενέργεια μετατρέπεται σε *χημική ενέργεια*. Καί τέλος στόν κινητήρα ηλεκτρική ενέργεια μετατρέπεται σε *μηχανική ενέργεια*. Όστε



Σχ. 72. Η γεννήτρια δίνει ενέργεια στο κύκλωμα.

Ἡ γεννήτρια δίνει στό ἐξωτερικό κύκλωμα ἠλεκτρική ἐνέργεια, ἢ ὁποία μετατρέπεται σέ θερμότητα (ἐξαιτίας τοῦ φαινομένου Joule) καί σέ χημική ἢ μηχανική ἐνέργεια μέσα στά βολτάμετρα ἢ τούς κινητήρες.

#### 64. Ἡλεκτρεγερτική δύναμη γεννήτριας

Σέ ἓνα κλειστό κύκλωμα (σχ. 72) ἡ ἔνταση  $I$  τοῦ ρεύματος εἶναι σταθερή σέ ὅλο τό κύκλωμα. Τό ρεῦμα περνάει καί μέσα ἀπό τή γεννήτρια μέ συμβατική φορά ἀπό τόν ἀρνητικό πρὸς τό θετικό πόλο τῆς γεννήτριας. Ἡ γεννήτρια παρέχει διαρκῶς στό κύκλωμα ἰσχύ. Πειραματικῶς βρίσκουμε ὅτι

Ἡ ἰσχύς ( $P$ ) πού παρέχει ἡ γεννήτρια στό κύκλωμα εἶναι ἀνάλογη μέ τήν ἔνταση ( $I$ ) τοῦ ρεύματος πού διαρρέει τό κύκλωμα.

ἰσχύς γεννήτριας $P = E \cdot I$	(1)
----------------------------------	-----

Ὁ συντελεστής  $E$  εἶναι μέγεθος χαρακτηριστικό τῆς γεννήτριας καί ὀνομάζεται ἠλεκτρεγερτική δύναμη τῆς γεννήτριας. Ἀπό τήν ἐξίσωση (1) προκύπτει ὁ ἐξῆς ὁρισμός:

Ἡλεκτρεγερτική δύναμη ( $E$ ) γεννήτριας ὀνομάζεται τό σταθερό πηλίκο τῆς ἰσχύος ( $P$ ), πού παρέχει ἡ γεννήτρια στό κύκλωμα, πρὸς τήν ἔνταση ( $I$ ) τοῦ ρεύματος πού διαρρέει τό κύκλωμα.

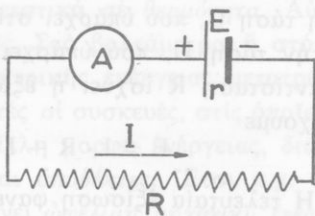
ἠλεκτρεγερτική δύναμη γεννήτριας $E = \frac{P}{I}$	$\left\{ \begin{array}{l} P \text{ σέ } W \\ I \text{ σέ } A \\ E \text{ σέ } W/A \text{ ἢ } V \end{array} \right.$ (2)
---	---

Παρατηροῦμε ὅτι στό σύστημα MKSA μονάδα ἠλεκτρεγερτικῆς δυνάμεως εἶναι τό 1 Volt (1 V). Ἀπό τήν ἐξίσωση (2) συνάγεται ὅτι ἡ ἠλεκτρεγερτική δύναμη ( $E$ ) τῆς γεννήτριας ἐκφράζει τήν ἰσχύ πού παρέχει ἡ γεννήτρια στό κύκλωμα γιά κάθε 1 Ampère τῆς ἐντάσεως τοῦ ρεύματος πού διαρρέει τό κύκλωμα. Ἐάν π.χ. μιά γεννήτρια ἔχει ἠλεκτρεγερτική δύναμη  $E = 50$  Volt, τότε γιά κάθε 1 Ampère τῆς

έντάσεως τοῦ ρεύματος ἢ γεννήτρια παρέχει ἰσχύ ἴση μέ 50 Watt, δηλαδή παρέχει ἰσχύ 50 Watt/Ampère.

### 65. Νόμος τοῦ Ohm γιά κλειστό κύκλωμα

Σέ ἕνα κλειστό κύκλωμα (σχ. 73) ὑπάρχει γεννήτρια, πού ἔχει ἠλεκτρεγερτική δύναμη  $E$  καί ἐσωτερική ἀντίσταση  $r$ . Τό ἐξωτερικό κύκλωμα ἀποτελεῖται μόνο ἀπό μιὰ νεκρή ἀντίσταση  $R$ . Οἱ ἀγωγοί πού χρησιμοποιοῦνται γιά τή συνδεσμολογία ἔχουν ἀσήμαντη ἀντίσταση. Τό κύκλωμα διαρρέεται ἀπό ρεῦμα έντάσεως  $I$ . Τότε ἡ γεννήτρια παρέχει στό κύκλωμα ἰσχύ  $P = E \cdot I$ . Ὅλη αὐτή ἡ ἰσχύς μετατρέπεται σέ θερμότητα πάνω στίς δύο ἀντιστάσεις  $R$  καί  $r$ . Σύμφωνα μέ τό νόμο τοῦ Joule ἡ ἰσχύς πού μετατρέπεται σέ θερμότητα, εἶναι



Σχ. 73. Γιά τήν ἀπόδειξη τοῦ νόμου τοῦ Ohm

$$\begin{array}{ll} \text{πάνω στήν ἀντίσταση } R & I^2 \cdot R \\ \text{πάνω στήν ἀντίσταση } r & I^2 \cdot r \end{array}$$

Σύμφωνα μέ τήν ἀρχή τῆς διατηρήσεως τῆς ἐνέργειας ἰσχύει ἡ ἐξίσωση

$$E \cdot I = I^2 \cdot R + I^2 \cdot r \quad \text{ἢ} \quad E = I \cdot (R + r) \quad (1)$$

Οἱ δύο ἀντιστάσεις  $R$  καί  $r$  συνδέονται κατά σειρά καί ἐπομένως ἡ ὀλική ἀντίσταση ( $R_{ολ}$ ) τοῦ κυκλώματος εἶναι  $R_{ολ} = R + r$ . Ἐτσι ἀπό τήν ἐξίσωση (1) βρίσκουμε τόν ἐξῆς νόμο τοῦ Ohm γιά κλειστό κύκλωμα:

Σέ κλειστό κύκλωμα, πού ἀποτελεῖται ἀπό γεννήτρια καί ἐξωτερικές ἀντιστάσεις, ἡ ἠλεκτρεγερτική δύναμη ( $E$ ) τῆς γεννήτριας εἶναι ἴση μέ τό γινόμενο τῆς έντάσεως ( $I$ ) τοῦ ρεύματος ἐπί τήν ὀλική ἀντίσταση ( $R_{ολ}$ ) τοῦ κυκλώματος.

νόμος τοῦ Ohm  
(κλειστό κύκλωμα)  $E = I \cdot R_{ολ}$

$$\left\{ \begin{array}{l} I \text{ σέ } A \\ R_{ολ} \text{ σέ } \Omega \\ E \text{ σέ } V \end{array} \right. \quad (2)$$



Ἡ ἐξίσωση (2) ἐπαληθεύεται πειραματικῶς, ἂν στό κύκλωμα βάλουμε διαδοχικά γνωστές ἀντιστάσεις καί μετρήσουμε τίς ἀντίστοιχες ἐντάσεις τοῦ ρεύματος.

Τάση στους πόλους τῆς γεννήτριας. Θεωροῦμε τό κύκλωμα πού εἶχαμε παραπάνω (σχ. 73). Ἐπειδή οἱ ἄγωγοί τῆς συνδεσμολογίας ἔχουν ἀσήμαντη ἀντίσταση, οἱ δύο ἄκρες τῆς ἀντιστάσεως  $R$  ἔχουν τό ἴδιο δυναμικό μέ τούς ἀντίστοιχους πόλους τῆς γεννήτριας. Ὡστε ἡ τάση  $U$ , πού ὑπάρχει στίς ἄκρες τῆς ἀντιστάσεως  $R$ , εἶναι ἴση μέ τήν τάση  $U$ , πού ὑπάρχει στους πόλους τῆς γεννήτριας. Γιά τήν ἀντίσταση  $R$  ἰσχύει ἡ ἐξίσωση  $U = I \cdot R$ . Ἀπό τήν ἐξίσωση (1) ἔχουμε

$$E = I \cdot R + I \cdot r \quad \text{ἄρα} \quad I \cdot R = E - I \cdot r$$

Ἡ τελευταία ἐξίσωση φανερώνει ὅτι

**Σέ κλειστό κύκλωμα ἡ τάση ( $U$ ) στους πόλους τῆς γεννήτριας εἶναι ἴση μέ τήν ἠλεκτρεγερτική δύναμη ( $E$ ) τῆς γεννήτριας ἐλαττωμένη κατά τήν πτώση τάσεως ( $I \cdot r$ ) μέσα στή γεννήτρια.**

τάση στους πόλους γεννήτριας	$U = E - I \cdot r$
---------------------------------	---------------------

Ἄν τό κύκλωμα εἶναι ἀνοιχτό, τότε εἶναι  $I = 0$  καί ἐπομένως εἶναι  $U = E$ . Ἐτσι ἔχουμε τόν ἐξῆς ὄρισμό:

**Ἡ ἠλεκτρεγερτική δύναμη ( $E$ ) τῆς γεννήτριας εἶναι ἴση μέ τήν τάση ( $U$ ) στους πόλους τῆς γεννήτριας, ὅταν τό κύκλωμα εἶναι ἀνοιχτό ( $I = 0$ ).**

*Παράδειγμα.* Στό κύκλωμα τοῦ σχήματος 73 εἶναι  $E = 10 \text{ V}$ ,  $r = 2 \Omega$  καί θέλουμε τό ρεῦμα νά ἔχει ἔνταση  $I = 2 \text{ A}$ . Ἡ ἐξωτερική ἀντίσταση  $R$  βρίσκεται ἀπό τήν ἐξίσωση

$$E = I \cdot (R + r) \quad \text{ἄρα} \quad R = \frac{E - I \cdot r}{I} = \frac{10 \text{ V} - (2 \text{ A} \cdot 2 \Omega)}{2 \text{ A}}$$

$$\text{καί} \quad R = 3 \Omega$$



Ἡ τάση  $U$  στους πόλους τῆς γεννήτριας εἶναι

$$U = E - I \cdot r = 10 \text{ V} - (2 \text{ A} \cdot 2 \Omega) \text{ καὶ } U = 6 \text{ V}$$

## 66. Ἀντηλεκτρεγερτική δύναμη ἀποδέκτη

Στό λαμπτήρα πυρακτώσεως καί στήν ἠλεκτρική θερμάστρα ἡ ἠλεκτρική ἐνέργεια μετατρέπεται ἀποκλειστικά σέ *θερμότητα*. Αὐτές οἱ συσκευές εἶναι νεκρές ἀντιστάσεις. Στό βολτάμετρο ἢ στόν ἠλεκτρικό κινητήρα ἓνα μέρος τῆς ἠλεκτρικῆς ἐνέργειας μετατρέπεται σέ *χημική ἢ μηχανική ἐνέργεια*. Αὐτές οἱ συσκευές, στίς ὁποῖες ἡ ἠλεκτρική ἐνέργεια μετατρέπεται σέ ἄλλη μορφή ἐνέργειας, διαφορετική ἀπό τή θερμότητα, ὀνομάζονται *ἀποδέκτες*. Ἔτσι π.χ. ὁ ἀνεμιστήρας εἶναι ἀποδέκτης, πού μᾶς δίνει *ὠφέλιμη μηχανική ἐνέργεια*. Πειραματικῶς βρίσκουμε ὅτι

Σέ ἓνα ἀποδέκτη ἡ ἠλεκτρική ἰσχύς ( $P'$ ) πού μετατρέπεται σέ ὠφέλιμη μορφή ἐνέργειας, ἐκτός ἀπό θερμότητα, εἶναι ἀνάλογη μέ τήν ἔνταση ( $I$ ) τοῦ ρεύματος πού περνάει ἀπό τόν ἀποδέκτη.

$$\text{ἰσχύς ἀποδέκτη} \quad P' = E' \cdot I \quad (1)$$

Ὁ συντελεστής  $E'$  εἶναι μέγεθος χαρακτηριστικό τοῦ ἀποδέκτη καί ὀνομάζεται *ἀντηλεκτρεγερτική δύναμη* τοῦ ἀποδέκτη. Ἀπό τήν ἐξίσωση (1) προκύπτει ὁ ἐξῆς *ὀρισμός*:

Ἀντηλεκτρεγερτική δύναμη ( $E'$ ) ἀποδέκτη ὀνομάζεται τό σταθερό πηλίκο τῆς ἠλεκτρικῆς ἰσχύος ( $P'$ ), πού μετατρέπεται σέ ὠφέλιμη ἐνέργεια (ἐκτός ἀπό θερμότητα) διά τῆς ἐντάσεως ( $I$ ) τοῦ ρεύματος πού περνάει ἀπό τόν ἀποδέκτη.

$$\text{ἀντηλεκτρεγερτική δύναμη ἀποδέκτη} \quad E' = \frac{P'}{I} \quad \left\{ \begin{array}{l} P' \text{ σέ } W \\ I \text{ σέ } A \\ E' \text{ σέ } W/A \text{ ἢ } V \end{array} \right. \quad (2)$$

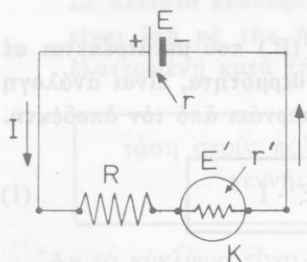
Παρατηροῦμε ὅτι στό σύστημα MKSA *μονάδα ἀντηλεκτρεγερ-*

τικής δυνάμεως είναι τό 1 Volt (1 V), όπως καί γιά τήν ηλεκτρεγερτική δύναμη γεννήτριας.

Από τήν εξίσωση (2) προκύπτει ότι ή αντίηλεκτρεγερτική δύναμη ( $E'$ ) αποδέκτη εκφράζει τήν ωφέλιμη ισχύ ( $P'$ ) πού δίνει ό αποδέκτης γιά κάθε 1 Ampère τής εντάσεως του ρεύματος πού περνάει από τόν αποδέκτη. Αν π.χ. ένας ηλεκτροκινητήρας έχει αντίηλεκτρεγερτική δύναμη  $E' = 200$  V, τότε γιά κάθε 1 Ampère τής εντάσεως του ρεύματος πού περνάει από τόν κινητήρα, αυτός δίνει ωφέλιμη μηχανική ισχύ ίση μέ 200 W, δηλαδή 200 W/A.

### 67. Κλειστό κύκλωμα μέ γεννήτρια καί αποδέκτη

Σέ ένα κλειστό κύκλωμα (σχ. 74) συνδέονται κατά σειρά γεννήτρια, πού έχει ηλεκτρεγερτική δύναμη  $E$  καί έσωτερική αντίσταση  $r$ ,



Σχ. 74. Κλειστό κύκλωμα μέ αποδέκτη (κινητήρα K)

μά έξωτερική αντίσταση  $R$  καί ένας αποδέκτης, π.χ. κινητήρας πού έχει αντίηλεκτρεγερτική δύναμη  $E'$  καί έσωτερική αντίσταση  $r'$ . Τό κύκλωμα έχει όλική αντίσταση  $R_{ολ} = R + r + r'$  καί διαρρέεται από ρεύμα εντάσεως  $I$ . Τότε ή γεννήτρια παρέχει στό κύκλωμα ηλεκτρική ισχύ  $P = E \cdot I$ . Ο κινητήρας μάς δίνει μηχανική ισχύ  $P' = E' \cdot I$ . Ταυτόχρονα πάνω σέ όλες τίσ αντιστάσεις του κυκλώματος αναπτύσσεται θερμότητα πού έχει ισχύ  $P_{θερμ} = I^2 \cdot R_{ολ}$ . Σύμφωνα μέ τήν αρχή τής διατηρήσεως τής ενέργειας είναι

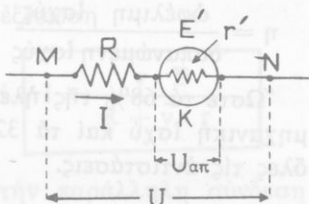
$$P = P' + P_{θερμ} \quad \eta \quad E \cdot I = E' \cdot I + I^2 \cdot R_{ολ}$$

Από τήν τελευταία εξίσωση βρίσκουμε τόν έξηξ γενικό νόμο του κλειστού κυκλώματος:

γενικός νόμος του κλειστού κυκλώματος	$E = E' + I \cdot R_{ολ}$	}	$E, E'$ σέ V $I$ σέ A $R$ σέ Ω
---------------------------------------	---------------------------	---	--------------------------------------

## 68. 'Αποδέκτης σέ τμήμα κυκλώματος

Μεταξύ τών σημείων Μ και Ν ενός κυκλώματος (σχ. 75) υπάρχει ένας αποδέκτης, π.χ. κινητήρας πού έχει ανηλεκτρεγερτική δύναμη  $E'$  και έσωτερική αντίσταση  $r'$ . Μεταξύ τών σημείων Μ και Ν υπάρχει τάση  $U$  και τό ρεύμα έχει ένταση  $I$ . Οί υπόλοιποι άγωγοί έχουν αντίσταση  $R$ . Τότε ή όλική αντίσταση του τμήματος ΜΝ είναι  $R_{ολ} = R + r'$ . Στο τμήμα ΜΝ του κυκλώματος τό ρεύμα παρέχει ισχύ  $P = U \cdot I$ . 'Ο κινητήρας μās δίνει μηχανική ισχύ  $P' = E' \cdot I$  και σύγχρονα πάνω στίς αντιστάσεις του τμήματος ΜΝ αναπτύσσεται θερμότητα πού έχει ισχύ  $P_{θερμ} = I^2 \cdot R_{ολ}$ . Σύμφωνα μέ τήν άρχή τής διατηρήσεως τής ενέργειας είναι



Σχ. 75. 'Αποδέκτης (Κ) σέ τμήμα κυκλώματος

$$P = P' + P_{θερμ} \quad \eta \quad U \cdot I = E' \cdot I + I^2 \cdot R_{ολ} \quad \alpha\alpha$$

αποδέκτης σέ τμήμα  
κυκλώματος  $U = E' + I \cdot R_{ολ}$

'Η τάση στους πόλους του αποδέκτη είναι

$$U_{αποδ} = E' + I \cdot r'$$

*Παράδειγμα.* Στο κύκλωμα πού δείχνει τό σχήμα 75 είναι  $U = 220 \text{ V}$ ,  $E' = 150 \text{ V}$ ,  $R = 8 \Omega$  και  $r' = 2 \Omega$ .

Τό ρεύμα έχει ένταση

$$I = \frac{U - E'}{R_{ολ}} = \frac{220 \text{ V} - 150 \text{ V}}{(8 + 2) \Omega} \quad \text{και} \quad I = 7 \text{ A}$$

'Η δαπανώμενη ήλεκτρική ισχύς είναι:

$$P = U \cdot I = 220 \text{ V} \cdot 7 \text{ A} \quad \text{και} \quad P = 1540 \text{ W}$$

'Η μηχανική ισχύς πού μās δίνει ό κινητήρας είναι

$$P' = E' \cdot I = 150 \text{ V} \cdot 7 \text{ A} \quad \text{και} \quad P' = 1050 \text{ W}$$

Ἡ τάση στους πόλους τοῦ κινητήρα εἶναι

$$U_{\text{αποδ}} = E' + I \cdot r' = 150 \text{ V} + 7 \text{ A} \cdot 2 \Omega \text{ καὶ } U_{\text{αποδ}} = 164 \text{ V}$$

Ἄρα ὁ συντελεστὴς ἀποδόσεως τῆς ἐγκαταστάσεως εἶναι

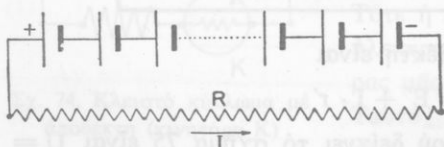
$$\eta = \frac{\text{ὠφέλιμη ἰσχύς}}{\text{δαπανώμενη ἰσχύς}} = \frac{P'}{P} = \frac{E' \cdot I}{U \cdot I} = \frac{E'}{U} = \frac{150 \text{ V}}{220 \text{ V}} = 0,68$$

Ὡστε τὰ 68% τῆς ἠλεκτρικῆς ἰσχύος μετατρέπονται σὲ ὠφέλιμη μηχανικὴ ἰσχύ καὶ τὰ 32% μετατρέπονται σὲ θερμότητα πάνω σὲ ὅλες τὶς ἀντιστάσεις.

## 69. Σύνδεση γεννητριῶν

Ἄν συνδέσουμε μεταξύ τους πολλές γεννήτριες, σχηματίζουμε μιὰ *συστοιχία γεννητριῶν* (μπαταρία). Θεωροῦμε ὅτι ὅλες οἱ γεννήτριες εἶναι ἴδιες καὶ καθεμιὰ ἔχει ἠλεκτρεγερτικὴ δύναμη  $E$  καὶ ἐσωτερικὴ ἀντίσταση  $r$ . Οἱ ἀπλούστεροι τρόποι συνδέσεως τῶν γεννητριῶν εἶναι ἡ *σύνδεση κατὰ σειρά* καὶ ἡ *παράλληλη σύνδεση*.

**α. Σύνδεση γεννητριῶν κατὰ σειρά.** Στὴ σύνδεση γεννητριῶν κατὰ σειρά ὁ ἀρνητικὸς πόλος κάθε γεννήτριας συνδέεται μὲ τὸ θετικὸ



Σχ. 76. Σύνδεση γεννητριῶν κατὰ σειρά

πόλο τῆς ἐπόμενης γεννήτριας (σχ. 76). Γιὰ ἐύκολία θεωροῦμε ὅτι τὸ ἐξωτερικὸ κύκλωμα ἀποτελεῖται μόνο ἀπὸ μιὰ ἀντίσταση  $R$ . Τότε τὸ κύκλωμα διαρρέεται ἀπὸ ρεῦμα ἐντάσεως  $I$  καὶ κάθε

γεννήτρια παρέχει στὸ κύκλωμα ἰσχύ ἴση μὲ  $P = E \cdot I$ . Ἄν ἔχουμε  $n$  ὅμοιες γεννήτριες, τότε αὐτὲς παρέχουν στὸ κύκλωμα ὀλική ἰσχύ ( $P_{\text{ολ}}$ ) ἴση μὲ

$$P_{\text{ολ}} = n \cdot P \quad \text{ἢ} \quad P_{\text{ολ}} = n \cdot E \cdot I$$

Ἡ σχέση πού βρήκαμε φανερώνει ὅτι ἡ συστοιχία τῶν γεννητριῶν ἔχει ὀλική ἠλεκτρεγερτικὴ δύναμη ( $E_{\text{ολ}}$ ) ἴση μὲ τὸ ἄθροισμα τῶν ἠλεκτρεγερτικῶν δυνάμεων τῶν γεννητριῶν τῆς συστοιχίας, δηλαδὴ εἶναι

$$\text{ἠλεκτρεγερτικὴ δύναμη συστοιχίας} \quad E_{\text{ολ}} = n \cdot E$$

Ἡ ὀλική ἐσωτερική ἀντίσταση ( $r_{ολ}$ ) τῆς συστοιχίας εἶναι

$$r_{ολ} = v \cdot r$$

Ἐπομένως ἡ ὀλική ἀντίσταση ( $R_{ολ}$ ) τοῦ κυκλώματος εἶναι

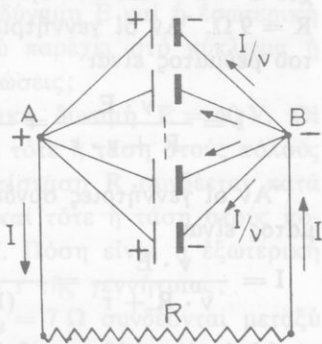
$$R_{ολ} = R + r_{ολ} \quad \text{ἢ} \quad R_{ολ} = R + v \cdot r$$

Σύμφωνα μέ τό νόμο τοῦ Ohm ἰσχύει ἡ ἐξίσωση

$$E_{ολ} = I \cdot R_{ολ} \quad \text{ἄρα} \quad I = \frac{E_{ολ}}{R_{ολ}} \quad \text{καί} \quad I = \frac{v \cdot E}{R + v \cdot r}$$

β. Παράλληλη σύνδεση γεννητριῶν. Στήν παράλληλη σύνδεση

γεννητριῶν συνδέονται ὄλοι οἱ θετικοί πόλοι καί ἀποτελοῦν τό θετικό πόλο τῆς συστοιχίας καί ὄλοι οἱ ἀρνητικοί πόλοι πού ἀποτελοῦν τόν ἀρνητικό πόλο τῆς (σχ. 77). Θεωροῦμε τίς  $v$  ὁμοίες γεννήτριες, πού εἶχαμε καί στήν προηγούμενη περίπτωση. Τό ἐξωτερικό κύκλωμα ἀποτελεῖται μόνο ἀπό μιά ἀντίσταση  $R$ , πού διαρρέεται ἀπό ρεῦμα ἐντάσεως  $I$ . Στόν κόμβο  $B$  τοῦ κυκλώματος τό ρεῦμα διαχωρίζεται σέ  $v$  ρεύματα, πού τό καθένα ἔχει ἐνταση  $I/v$ .



Σχ. 77. Παράλληλη σύνδεση γεννητριῶν

Ἐτσι κάθε γεννήτρια παρέχει στό κύκλωμα ἰσχύ  $P = EI/v$ . Ἄρα οἱ  $v$  ὁμοίες γεννήτριες παρέχουν στό κύκλωμα ὀλική ἰσχύ ( $P_{ολ}$ ) ἴση μέ

$$P_{ολ} = v \cdot P \quad \text{ἢ} \quad P_{ολ} = E \cdot I$$

Ἡ σχέση πού βρήκαμε φανερώνει ὅτι ἡ συστοιχία τῶν γεννητριῶν ἔχει ὀλική ἠλεκτρεγερτική δύναμη ( $E_{ολ}$ ) ἴση μέ τήν ἠλεκτρεγερτική δύναμη ( $E$ ) τῆς μῆς γεννήτριας, δηλαδή εἶναι

$$\text{ἠλεκτρεγερτική δύναμη συστοιχίας} \quad E_{ολ} = E$$

Οἱ  $v$  ἐσωτερικές ἀντιστάσεις τῶν γεννητριῶν συνδέονται παράλληλα καί ἐπομένως ἔχουμε:

$$\text{ἐσωτερική ἀντίσταση συστοιχίας} \quad r_{ολ} = \frac{r}{v}$$

Ἡ ὀλική ἀντίσταση ( $R_{ολ}$ ) τοῦ κυκλώματος εἶναι

$$R_{ολ} = R + r_{ολ} \quad \text{ἢ} \quad R_{ολ} = R + \frac{r}{v}$$

Σύμφωνα μέ τό νόμο τοῦ Ohm ἰσχύει ἡ ἐξίσωση

$$E_{ολ} = I \cdot R_{ολ} \quad \text{ἄρα} \quad I = \frac{E_{ολ}}{R_{ολ}} = \frac{E}{R + \frac{r}{v}} \quad \text{καί} \quad I = \frac{v \cdot E}{v \cdot R + r}$$

*Παράδειγμα* Ἔχουμε  $v = 10$  ὁμοιες γεννήτριες, πού καθεμιά ἔχει  $E = 2 \text{ V}$  καί  $r = 0,1 \Omega$ . Τό ἐξωτερικό κύκλωμα ἔχει ἀντίσταση  $R = 9 \Omega$ . Ἄν οἱ γεννήτριες συνδεθοῦν *κατά σειρά*, τότε ἡ ἔνταση τοῦ ρεύματος εἶναι

$$I = \frac{v \cdot E}{R + v \cdot r} = \frac{10 \cdot 2 \text{ V}}{9 \Omega + (10 \cdot 0,1 \Omega)} \quad \text{καί} \quad I = 2 \text{ A}$$

Ἄν οἱ γεννήτριες συνδεθοῦν *παράλληλα*, τότε ἡ ἔνταση τοῦ ρεύματος εἶναι

$$I = \frac{v \cdot E}{v \cdot R + r} = \frac{10 \cdot 2 \text{ V}}{(10 \cdot 9 \Omega) + 0,1 \Omega} \quad \text{καί} \quad I = 0,22 \text{ A}$$

Αὐτό τό παράδειγμα δείχνει ὅτι ἡ σύνδεση κατά σειρά συμφέρει, ὅταν ἡ ἐξωτερική ἀντίσταση ( $R$ ) εἶναι πολύ μεγάλη σχετικά μέ τήν ἐσωτερική ἀντίσταση ( $r$ ) τῆς κάθε γεννήτριας. Στήν ἀντίθετη περίπτωση συμφέρει ἡ παράλληλη σύνδεση.

## ΠΡΟΒΛΗΜΑΤΑ

67. Μιά γεννήτρια ἔχει ἠλεκτρεγερτική δύναμη  $E = 12 \text{ V}$  καί ἐσωτερική ἀντίσταση  $r = 10 \Omega$ . Τό ἐξωτερικό κύκλωμα ἀποτελεῖται μόνο ἀπό δύο ἀντιστάσεις  $R_1 = 26 \Omega$  καί  $R_2 = 36 \Omega$ . Πόση εἶναι ἡ διαφορά δυναμικοῦ στοῦς πόλους τῆς γεννήτριας καί πόση στίς ἄκρες κάθε ἀντιστάσεως;

68. Μιά γεννήτρια ἔχει ἠλεκτρεγερτική δύναμη  $E = 2 \text{ V}$  καί ἐσωτερική ἀντίσταση  $r = 8 \Omega$ . Τό ἐξωτερικό κύκλωμα ἀποτελεῖται ἀπό μία ἀντίσταση  $R$  πού συνδέεται κατά σειρά μέ βολτόμετρο πού ἔχει

έσωτερική αντίσταση  $R_0 = 300 \Omega$ . Πόση πρέπει να είναι η αντίσταση  $R$ , ώστε το βολτόμετρο να δείχνει  $U = 1,5 \text{ V}$ ;

69. Μιά γεννήτρια, όταν το εξωτερικό κύκλωμα έχει αντίσταση  $R_1 = 1 \Omega$ , δίνει ρεύμα έντασης  $I_1 = 1 \text{ A}$ , ενώ όταν το εξωτερικό κύκλωμα έχει αντίσταση  $R_2 = 2,5 \Omega$ , δίνει ρεύμα έντασης  $I_2 = 0,5 \text{ A}$ . Πόση είναι η ηλεκτρεγερτική δύναμη  $E$  και η έσωτερική αντίσταση  $r$  της γεννήτριας;

70. Όταν οι πόλοι μιάς γεννήτριας συνδέονται με εξωτερική αντίσταση  $R_1 = 1 \Omega$ , η τάση στους πόλους της γεννήτριας είναι  $U_1 = 1,5 \text{ V}$ , ενώ όταν οι πόλοι της γεννήτριας συνδέονται με εξωτερική αντίσταση  $R_2 = 2 \Omega$ , η τάση στους πόλους της γεννήτριας είναι  $U_2 = 2 \text{ V}$ . Πόση είναι η ηλεκτρεγερτική δύναμη  $E$  και η έσωτερική αντίσταση  $r$  της γεννήτριας; Πόση ισχύ παρέχει στο κύκλωμα η γεννήτρια σε καθεμιά από τις δύο περιπτώσεις;

71. Μιά γεννήτρια έχει ηλεκτρεγερτική δύναμη  $E = 40 \text{ V}$ . Οι πόλοι της συνδέονται με αντίσταση  $R$  και τότε η τάση στους πόλους της γεννήτριας είναι  $U = 30,8 \text{ V}$ . Η αντίσταση  $R$  συνδέεται κατά σειρά με μία άλλη αντίσταση  $R_1 = 5 \Omega$  και τότε η τάση στους πόλους της γεννήτριας γίνεται  $U_1 = 34,8 \text{ V}$ . Πόση είναι η εξωτερική αντίσταση  $R$  και η έσωτερική αντίσταση  $r$  της γεννήτριας;

72. Δύο αντιστάσεις  $R_1 = 3 \Omega$  και  $R_2 = 7 \Omega$  συνδέονται μεταξύ τους παράλληλα και οι δύο άκρες του συστήματος των αντιστάσεων συνδέονται με τους πόλους μιάς γεννήτριας, που έχει έσωτερική αντίσταση  $r = 0,9 \Omega$ . Οι δύο αντιστάσεις  $R_1$  και  $R_2$  διαρρέονται από ρεύματα, που αντίστοιχα έχουν ένταση  $I_1 = 14 \text{ A}$  και  $I_2 = 6 \text{ A}$ . Πόση είναι η ηλεκτρεγερτική δύναμη  $E$  της γεννήτριας; Πόση ισχύ παρέχει η γεννήτρια στο εξωτερικό κύκλωμα και πώς κατανέμεται αυτή η ισχύς στις δύο αντιστάσεις;

73. Μιά υδατόπτωση έχει ισχύ  $P_{\text{ολ}} = 29,44 \text{ kW}$  και κινεί μία γεννήτρια που έχει συντελεστή απόδοσης  $\eta = 80\%$ . Το ρεύμα χρησιμοποιείται για τό φωτισμό ενός συνοικισμού, που διαθέτει λαμπτήρες με ισχύ  $P_{\Lambda} = 75 \text{ W}$ . Οι απώλειες κατά τη μεταφορά της ηλεκτρικής ενέργειας είναι  $10\%$ . Πόσοι λαμπτήρες μπορεί να χρησιμοποιηθούν στο συνοικισμό;

74. Μιά γεννήτρια έχει πολική τάση  $U = 500 \text{ V}$  και δίνει ρεύμα έντασης  $I = 350 \text{ A}$ , που μεταφέρεται με μακρύ σύρμα στον τόπο



καταναλώσεως. Πόση πρέπει να είναι η αντίσταση του σύρματος, αν θέλουμε οι απώλειες ισχύος πάνω στο σύρμα εξαιτίας του φαινομένου Joule να είναι ίσες με το  $1/20$  της ισχύος της γεννήτριας;

75. Μιά γεννήτρια έχει ηλεκτρεγερτική δύναμη  $E = 120 \text{ V}$  και εσωτερική αντίσταση  $r = 1 \Omega$ . Οι πόλοι της γεννήτριας συνδέονται με κινητήρα. Όταν ο κινητήρας δέ στρέφεται, η τάση στους πόλους της γεννήτριας είναι  $U_1 = 90 \text{ V}$ , ενώ, όταν ο κινητήρας στρέφεται, η τάση στους πόλους της γεννήτριας είναι  $U_2 = 115 \text{ V}$ . Να βρεθεί: α) η εσωτερική αντίσταση  $r'$  και η αντηλεκτρεγερτική δύναμη  $E'$  του κινητήρα και β) η ισχύς ( $P_{\text{κιν}}$ ) του κινητήρα.

76. Μιά γεννήτρια έχει ηλεκτρεγερτική δύναμη  $E = 52 \text{ V}$  και εσωτερική αντίσταση  $r = 1 \Omega$ . Το εξωτερικό κύκλωμα αποτελείται από μία αντίσταση  $R = 5 \Omega$  και έναν κινητήρα. Όταν ο κινητήρας δέ στρέφεται, το ρεύμα έχει ένταση  $I_1 = 4 \text{ A}$  ενώ, όταν ο κινητήρας στρέφεται, το ρεύμα έχει ένταση  $I_2 = 1 \text{ A}$ . Να βρεθεί: α) η εσωτερική αντίσταση  $r'$  και η αντηλεκτρεγερτική δύναμη  $E'$  του κινητήρα β) η ισχύς ( $P_{\text{κιν}}$ ) του κινητήρα και γ) η ισχύς  $P_1$  και  $P_2$  που παρέχει η γεννήτρια στο κύκλωμα στις δύο περιπτώσεις.

77. Ένας ανεμιστήρας λειτουργεί με τάση  $U = 110 \text{ V}$ , διαρρέεται από ρεύμα έντασης  $I = 0,6 \text{ A}$  και έχει εσωτερική αντίσταση  $r = 110 \Omega$ . Πόση είναι η αντηλεκτρεγερτική δύναμη  $E'$  του κινητήρα, η μηχανική ισχύς ( $P_{\text{κιν}}$ ) που μας δίνει ο κινητήρας και ο συντελεστής αποδόσεως ( $\eta$ ) της συσκευής; Πόση ηλεκτρική ισχύς μετατρέπεται σε θερμότητα;

78. Ένας κινητήρας λειτουργεί με τάση  $U = 220 \text{ V}$ , τροφοδοτείται με ρεύμα έντασης  $I = 15 \text{ A}$  και έχει απόδοση  $80\%$ . Πόση είναι η εσωτερική αντίσταση  $r$  και η αντηλεκτρεγερτική δύναμη  $E'$  του κινητήρα; Πόση ισχύς του ρεύματος μετατρέπεται σε θερμότητα;

79. Μιά γεννήτρια έχει ηλεκτρεγερτική δύναμη  $E = 120 \text{ V}$  και εσωτερική αντίσταση  $r = 1 \Omega$ . Το εξωτερικό κύκλωμα αποτελείται από δύο παράλληλους κλάδους Α και Β. Ο κλάδος Α είναι μία αντίσταση  $R = 20 \Omega$  και ο κλάδος Β είναι ένας κινητήρας, που έχει αντηλεκτρεγερτική δύναμη  $E'$ , εσωτερική αντίσταση  $r' = 2 \Omega$  και διαρρέεται από ρεύμα έντασης  $I_B = 15 \text{ A}$ . Πόση είναι η ένταση  $I_A$  του ρεύματος που διαρρέει την αντίσταση  $R$ ; Πόση είναι η αντηλεκτρε-



γερτική δύναμη  $E'$  τοῦ κινητήρα καί πόση εἶναι ἡ μηχανική ἰσχύς ( $P_{κιν}$ ) πού μᾶς δίνει ὁ κινητήρας ; Πόση ἰσχύ ( $P$ ) παρέχει ἡ γεννήτρια στό κύκλωμα καί πόση ἀπό αὐτή τήν ἰσχύ μετατρέπεται σέ θερμότητα ;

80. Ἔχουμε  $n = 10$  ὅμοιες γεννήτριες, πού καθεμιά ἔχει ἠλεκτρεγερτική δύναμη  $E = 5 \text{ V}$  καί ἐσωτερική ἀντίσταση  $r = 0,5 \Omega$ . Συνδέουμε τίς γεννήτριες πρῶτα κατά σειρά καί ἔπειτα παράλληλα. Τό ἐξωτερικό κύκλωμα καί στίς δύο περιπτώσεις εἶναι μιά ἀντίσταση  $R = 1,5 \Omega$ . Πόση εἶναι ἡ ἔνταση  $I_1$  καί  $I_2$  τοῦ ρεύματος πού διαρρέει τήν ἀντίσταση  $R$  στήν πρώτη καί στή δεύτερη περίπτωση ; Πόση ἔνταση ἔχει τό ρεῦμα πού περνάει ἀπό μιά γεννήτρια στήν κάθε περίπτωση ; Πόση ἰσχύ παρέχει στό ἐξωτερικό κύκλωμα ἡ συστοιχία στίς δύο περιπτώσεις ;

81. Μιά ἀντίσταση  $R$  συνδέεται μέ συστοιχία πού ἀποτελεῖται ἀπό  $n$  ὅμοιες γεννήτριες, πού συνδέονται πρῶτα κατά σειρά καί ἔπειτα παράλληλα. Κάθε γεννήτρια ἔχει ἠλεκτρεγερτική δύναμη  $E$ . Πόση πρέπει νά εἶναι ἡ ἐσωτερική ἀντίσταση  $r$  κάθε γεννήτριας, ὥστε τό ρεῦμα στό ἐξωτερικό κύκλωμα νά ἔχει τήν ἴδια ἔνταση  $I$  εἴτε οἱ γεννήτριες συνδέονται κατά σειρά, εἴτε συνδέονται παράλληλα ;

82. Συνδέουμε κατά σειρά  $n = 60$  συσσωρευτές, πού ὁ καθένας ἔχει ἠλεκτρεγερτική δύναμη  $E = 2 \text{ V}$  καί ἐσωτερική ἀντίσταση  $r = 1/6 \Omega$ . Πόσοι λαμπτήρες πυρακτώσεως, πού συνδέονται μεταξύ τους παράλληλα, μποροῦν νά λειτουργήσουν κανονικά, ὅταν τροφοδοτοῦνται μέ αὐτή τή συστοιχία καί ὁ κάθε λαμπτήρας ἔχει ἰσχύ  $P = 50 \text{ W}$  καί λειτουργεῖ κανονικά μέ τάση  $U = 100 \text{ V}$  ;

83. Δύο γεννήτριες  $\Gamma_1$  καί  $\Gamma_2$ , πού καθεμιά ἔχει ἠλεκτρεγερτική δύναμη  $E = 1 \text{ V}$ , συνδέονται κατά σειρά, ἀλλά ἡ  $\Gamma_1$  ἔχει ἐσωτερική ἀντίσταση  $r_1 = 2 \Omega$ , ἐνῶ ἡ  $\Gamma_2$  ἔχει  $r_2 = 3 \Omega$ . Τό ἐξωτερικό κύκλωμα ἀποτελεῖται ἀπό μιά ἀντίσταση  $R = 5 \Omega$ . Νά βρεθεῖ: α) ἡ ἔνταση  $I$  τοῦ ρεύματος πού διαρρέει τό κύκλωμα, ἡ τάση  $U_1, U_2$  στούς πόλους κάθε γεννήτριας καί ἡ τάση  $U$  στούς πόλους τῆς συστοιχίας· β) ἡ ἰσχύς πού μετατρέπεται σέ θερμότητα μέσα σέ κάθε γεννήτρια καί στό ἐξωτερικό κύκλωμα· γ) ἂν μπορούμε νά δώσουμε στήν ἀντίσταση  $R$  τέτοια τιμή, ὥστε ἡ τάση  $U_2$  στούς πόλους τῆς γεννήτριας  $\Gamma_2$  νά εἶναι ἴση μέ μηδέν.

## ΗΛΕΚΤΡΟΜΑΓΝΗΤΙΣΜΟΣ

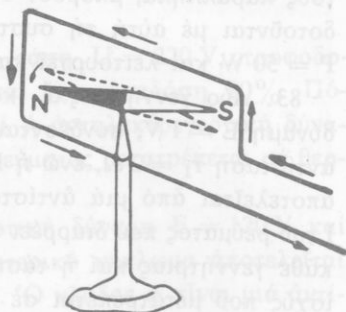
### 70. Μαγνητικό πεδίο του ρεύματος

Ξέρουμε (§ 50) ότι το ηλεκτρικό ρεύμα δημιουργεί γύρω του μαγνητικό πεδίο, που εκτρέπει τη μαγνητική βελόνη από τη θέση της ισορροπίας της. Ή φορά κατά την οποία εκτρέπεται ο βόρειος πόλος της μαγνητικής βελόνης εξαρτάται από τη φορά του ρεύματος. Ός φορά του ρεύματος παίρνουμε τη συμβατική φορά. Το πείραμα δείχνει ότι η έκτροπή της μαγνητικής βελόνης γίνεται σύμφωνα με τον εξής εμπειρικό κανόνα της δεξιάς παλάμης: "Αν φέρουμε τη δεξιά παλάμη μας πάνω από τον άγωγό έτσι, ώστε η επιφάνεια της παλάμης να βλέπει τον άγωγό και το ρεύμα να μπαίνει από τον καρπό και να βγαίνει από τα δάχτυλα, τότε ο βόρειος πόλος της βελόνης εκτρέπεται προς τη διεύθυνση του αντίχειρα (σχ. 78). Ή έκτροπή της μαγνητικής βελόνης είναι ανάλογη με την ένταση του ρεύματος. Όταν η μαγνητική βελόνη εκτρέπεται από την αρχική θέση ισορροπίας της, τότε ισορροπεί σε μία νέα θέση με την επίδραση δύο μαγνητικών πεδίων, του γήινου μαγνητικού πεδίου και του μαγνητικού πεδίου του ρεύματος.

Γιά να έχουμε αισθητή έκτροπή της μαγνητικής βελόνης και από ένα ασθενές ρεύμα, βάζουμε γύρω από τη βελόνη ένα κατακόρυφο πλαίσιο, που το επίπεδό του βρίσκεται πάνω στο επίπεδο του μαγνητικού μεσημβρινού (σχ. 79). Όταν το πλαίσιο διαρρέεται από ρεύμα,



Σχ. 78. Σχέση μεταξύ της φοράς του ρεύματος και της έκτροπής της μαγνητικής βελόνης

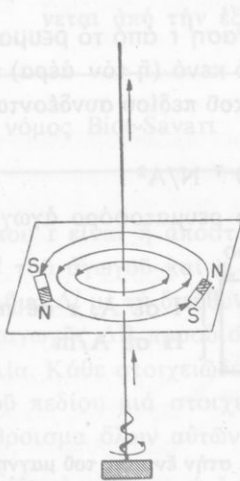


Σχ. 79. Ή έκτροπή της μαγνητικής βελόνης είναι μεγαλύτερη.

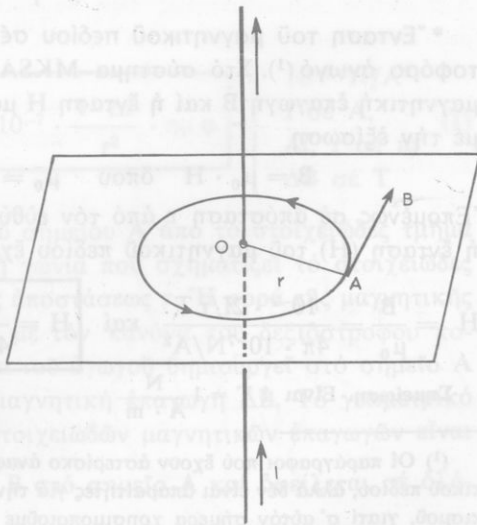
τότε κάθε τμήμα του πλαισίου προκαλεί έκτροπή της μαγνητικής βελόνης κατά την ίδια φορά. Σ' αυτή τή διάταξη στηρίζεται ή λειτουργία πολλών οργάνων που χρησιμοποιούμε για μετρήσεις (όπως π.χ. είναι τά άμπερόμετρα και τά βολτόμετρα).

### 71. Μαγνητικό πεδίο εϋθύγραμμου ρευματοφόρου άγωγού

Ένας μακρύς κατακόρυφος άγωγός διαρρέεται από ρεύμα έντάσεως  $I$  και περνάει από ένα όριζόντιο χαρτόνι (σχ. 80). Ρίχνουμε πάνω στό χαρτόνι ρινίσματα σιδήρου και χτυπάμε ελαφρά τό χαρτόνι. Τότε πάνω στό χαρτόνι σχηματίζεται ένα μαγνητικό φάσμα, που οί δυναμικές γραμμές του είναι *όμόκεντροι κύκλοι*: τά επίπεδα των κύκλων είναι *κάθετα* στόν άγωγό. Κατά μήκος μιάς δυναμικής γραμμής μετακινούμε μιά μικρή μαγνητική βελόνη. Παρατηρούμε ότι σε κάθε θέση ισορροπίας τής βελόνης, αυτή έχει τή διεύθυνση τής έφαπτομένης τής δυναμικής γραμμής σ' αυτό τό σημείο τής. *Η φορά των δυναμικών γραμμών είναι ή φορά κατά τήν όποία στρέφεται*



Σχ. 80. Μαγνητικό πεδίο γύρω από εϋθύγραμμο ρευματοφόρο άγωγό



Σχ. 81. Η μαγνητική έπαγωγή  $\vec{B}$  στό σημείο A του πεδίου

δεξιόστροφος κοχλίας, για να προχωρήσει κατά τη φορά του ρεύματος. Σε κάθε σημείο της δυναμικής γραμμής ή μαγνητική επαγωγή  $\vec{B}$  έχει τη διεύθυνση της εφαπτομένης της δυναμικής γραμμής σ' αυτό το σημείο (σχ. 81). Θεωρητικά και πειραματικά αποδεικνύεται ότι

**Η μαγνητική επαγωγή (B) του μαγνητικού πεδίου ενός εθύγραμμου ρευματοφόρου άγωγού, με μεγάλο μήκος, σε απόσταση r από τον άγωγό, είναι ανάλογη με την ένταση (I) του ρεύματος και αντίστροφα ανάλογη με την απόσταση (r) του θεωρούμενου σημείου από τον άγωγό.**

$$\text{μαγνητική επαγωγή (εθύγραμμος άγωγός)} \quad B = 10^{-7} \cdot \frac{2I}{r} \quad \left\{ \begin{array}{l} 10^{-7} \text{ N/A}^2, r \text{ σε m} \\ I \text{ σε A, } B \text{ σε T} \end{array} \right.$$

**Παρατήρηση.** \*Αν ο ρευματοφόρος άγωγός αποτελείται από n εθύγραμμα σύρματα, που τό καθένα διαρρέεται από ρεύμα έντάσεως I, τότε σε απόσταση r από τη δέσμη των συρμάτων ή μαγνητική επαγωγή είναι

$$B = 10^{-7} \cdot \frac{2I}{r} \cdot n$$

\*Ένταση του μαγνητικού πεδίου σε απόσταση r από τό ρευματοφόρο άγωγό<sup>(1)</sup>. Στο σύστημα MKSA για τό κενό (ή τόν άέρα) ή μαγνητική επαγωγή B και ή ένταση H μαγνητικού πεδίου συνδέονται με τήν εξίσωση

$$B = \mu_0 \cdot H \quad \text{όπου} \quad \mu_0 = 4\pi \cdot 10^{-7} \text{ N/A}^2$$

Έπομένως σε απόσταση r από τόν εθύγραμμο ρευματοφόρο άγωγό ή ένταση (H) του μαγνητικού πεδίου έχει μέτρο

$$H = \frac{B}{\mu_0} = \frac{10^{-7} \cdot 2I/r T}{4\pi \cdot 10^{-7} \text{ N/A}^2} \quad \text{και} \quad H = \frac{1}{4\pi} \cdot \frac{2I}{r} \quad \left\{ \begin{array}{l} I \text{ σε A, } r \text{ σε m} \\ H \text{ σε A/m} \end{array} \right.$$

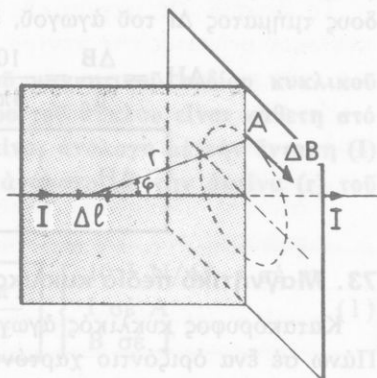
**Σημείωση.** Είναι  $1 \text{ T} = 1 \frac{\text{N}}{\text{A} \cdot \text{m}}$

(1) Οί παράγραφοι που έχουν άστερίσκο αναφέρονται στην ένταση του μαγνητικού πεδίου, αλλά δέν είναι απαραίτητες για τήν κατανόηση του Ήλεκτρομαγνητισμού, γιατί σ' αυτόν σήμερα χρησιμοποιούμε τή μαγνητική επαγωγή. Αναφέρουμε τήν ένταση του μαγνητικού πεδίου, για να φανεί ή διαφορά μεταξύ τών μεγεθών B και H.

## 72. Νόμος Biot - Savart

Μακρύς ευθύγραμμος αγωγός διαρρέεται από ρεύμα έντασης  $I$  (σχ. 82). Ένα στοιχειώδες τμήμα  $\Delta l$  του αγωγού δημιουργεί σε ένα σημείο  $A$  του πεδίου μία στοιχειώδη μαγνητική επαγωγή  $\Delta B$ , που προσδιορίζεται από τον εξής νόμο Biot - Savart:

Η μαγνητική επαγωγή  $\vec{\Delta B}$ , που δημιουργεί ένα στοιχειώδες τμήμα ( $\Delta l$ ) ευθύγραμμου ρευματοφόρου αγωγού σε ένα σημείο του μαγνητικού πεδίου, είναι κάθετη στο επίπεδο που περνάει από αυτό το σημείο και από το στοιχειώδες τμήμα του αγωγού· το μέτρο ( $\Delta B$ ) της μαγνητικής επαγωγής στο θεωρούμενο σημείο δίνεται από την εξίσωση



Σχ. 82. Νόμος Biot - Savart

νόμος Biot-Savart $\Delta B = 10^{-7} \cdot \frac{I \cdot \Delta l}{r^2} \cdot \eta \mu \varphi$	$\left\{ \begin{array}{l} 10^{-7} \text{ N/A}^2 \\ I \text{ σε A,} \\ \Delta l, r \text{ σε m} \\ \Delta B \text{ σε T} \end{array} \right. \quad (1)$
--	--

όπου  $r$  είναι η απόσταση του σημείου  $A$  από το στοιχειώδες τμήμα  $\Delta l$  του αγωγού και  $\varphi$  είναι η γωνία που σχηματίζει το στοιχειώδες τμήμα  $\Delta l$  με τη διεύθυνση της αποστάσεως  $r$ . Η φορά της μαγνητικής επαγωγής  $\Delta B$  προσδιορίζεται με τον κανόνα του δεξιόστροφου κοχλίου. Κάθε στοιχειώδες τμήμα του αγωγού δημιουργεί στο σημείο  $A$  του πεδίου μία στοιχειώδη μαγνητική επαγωγή  $\Delta B$ . Το γεωμετρικό άθροισμα όλων αυτών των στοιχειωδών μαγνητικών επαγωγών είναι η ολική μαγνητική επαγωγή  $\vec{B}$  στο σημείο  $A$  και οφείλεται σε όλοκληρο τον αγωγό.

\* Στοιχειώδης ένταση του μαγνητικού πεδίου στο σημείο  $A$ . Ξέ-

ρούμε ότι στο σύστημα MKSA είναι  $\mu_0 = 4\pi \cdot 10^{-7} \text{ N/A}^2$  και ισχύει η εξίσωση  $B = \mu_0 \cdot H$

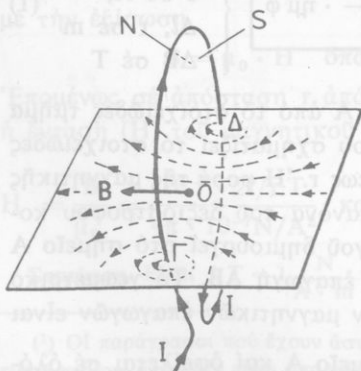
Άρα σύμφωνα με το νόμο Biot-Savart ή στοιχειώδης ένταση (ΔH) του μαγνητικού πεδίου στο σημείο A, εξαιτίας του στοιχειώδους τμήματος Δl του αγωγού, έχει μέτρο

$$\Delta H = \frac{\Delta B}{\mu_0} = \frac{10^{-7} \cdot I \cdot \Delta l}{4\pi \cdot 10^{-7} \cdot r^2} \cdot \eta\mu\phi \text{ και}$$

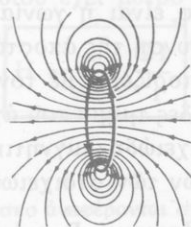
$$\Delta H = \frac{1}{4\pi} \cdot \frac{I \cdot \Delta l}{r^2} \cdot \eta\mu\phi \quad \left\{ \begin{array}{l} I \text{ σε A} \\ \Delta l, r \text{ σε m} \\ \Delta H \text{ σε A/m} \end{array} \right.$$

### 73. Μαγνητικό πεδίο κυκλικού ρευματοφόρου αγωγού

Κατακόρυφος κυκλικός αγωγός διαρρέεται από ρεύμα έντασεως I. Πάνω σε ένα οριζόντιο χαρτόνι, που περνάει από το κέντρο O του κυκλικού αγωγού, σχηματίζουμε το μαγνητικό φάσμα (σχ. 83). Παρατηρούμε ότι κοντά στα σημεία Γ και Δ οί δυναμικές γραμμές είναι όμοκεντροι κύκλοι. Όσο απομακρυνόμαστε από τα σημεία Γ και Δ ή άκτινα καμπυλότητας των δυναμικών γραμμών μεγαλώνει και μιά δυναμική γραμμή είναι ευθεία κάθετη στο επίπεδο του κυκλικού αγωγού και ταυτίζεται με τον άξονα συμμετρίας του συστήματος. Η φορά των δυναμικών γραμμών προσδιορίζεται με τον κανόνα του δεξιόστροφου κοχλίου.



Σχ. 83. Δυναμικές γραμμές του μαγνητικού πεδίου κυκλικού ρευματοφόρου αγωγού



Σχ. 84. Το κυκλικό ρεύμα είναι μαγνητικό δίπολο.

Τό μαγνητικό φάσμα του κυκλικού ρεύματος είναι ανάλογο με τό μαγνητικό φάσμα ενός μικρού εθύγραμμου μαγνήτη (σχ. 84). Οί δυναμικές γραμμές βγαίνουν από τή μιά όψη

του επιπέδου του κύκλου (βόρειος μαγνητικός πόλος) και μπαίνουν από την άλλη όψη του επιπέδου (νότιος μαγνητικός πόλος). Όστε το κυκλικό ρεύμα αποτελεί ένα μαγνητικό δίπολο και παρουσιάζει δύο ετερόνυμους μαγνητικούς πόλους. Θεωρητικά και πειραματικά αποδεικνύεται ότι

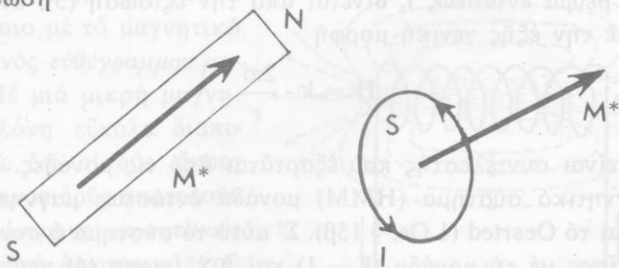
Η μαγνητική επαγωγή (B) του μαγνητικού πεδίου κυκλικού ρευματοφόρου άγωγού στο κέντρο του κύκλου είναι κάθετη στο επίπεδο του κυκλικού άγωγού, είναι ανάλογη με την ένταση (I) του ρεύματος και αντιστρόφως ανάλογη με την ακτίνα (r) του κύκλου.

μαγνητική επαγωγή (κυκλικός άγωγός)	$B = 10^{-7} \cdot \frac{2\pi I}{r}$	$\left\{ \begin{array}{l} 10^{-7} \text{ N/A}^2, \text{ r σε m} \\ I \text{ σε A} \\ B \text{ σε T} \end{array} \right. \quad (1)$
--	--------------------------------------	--

**Παρατήρηση.** Αν n σπείρες που έχουν την ίδια ακτίνα r σχηματίζουν επίπεδο κυκλικό πλαίσιο που διαρρέεται από ρεύμα έντασης I, τότε η μαγνητική επαγωγή στο κέντρο του κυκλικού πλαισίου είναι

$$B = 10^{-7} \cdot \frac{2\pi I}{r} \cdot n$$

α. Μαγνητική ροπή κυκλικού ρεύματος. Ένα κυκλικό ρεύμα αποτελεί μαγνητικό δίπολο και έχει μαγνητική ροπή (σχ. 85). Αν S είναι το έμβადο του κύκλου και I η ένταση του ρεύματος, τότε στο σύστημα MKSA ή μαγνητική ροπή (M\*) του κυκλικού ρεύματος δίνεται από την εξίσωση



Σχ. 85. Μαγνητική ροπή (M\*) μαγνήτη και κυκλικού ρεύματος (S έμβადο επιφάνειας κύκλου)



$$\boxed{\begin{array}{l} \text{μαγνητική ροπή} \\ \text{κυκλικού ρεύματος} \end{array}} \quad M^* = I \cdot S \quad \left\{ \begin{array}{l} I \text{ σε A, } S \text{ σε m}^2 \\ M^* \text{ σε A} \cdot \text{n}^2 \end{array} \right. \quad (2)$$

Τό άνωσμα τής μαγνητικής ροπής είναι κάθετο στο επίπεδο του κυκλικού ρεύματος στο κέντρο του κύκλου και έχει φορά από τό νότιο πρós τό βόρειο πόλο (όπως και στον ευθύγραμμο μαγνήτη).

*Μονάδα μαγνητικής ροπής.* Στο σύστημα MKSA ή μονάδα μαγνητικής ροπής ορίζεται από τήν εξίσωση (2) ως εξής:

**Μονάδα μαγνητικής ροπής είναι ή μαγνητική ροπή κυκλικού ρεύματος πού έχει ένταση 1 Ampère και έμβαδό 1 m<sup>2</sup>.**

$$\boxed{\text{μονάδα μαγνητικής ροπής} \quad 1 \text{ Ampère} \cdot 1 \text{ m}^2 \quad \text{ή} \quad 1 \text{ A} \cdot \text{m}^2}$$

\*β. Ένταση του μαγνητικού πεδίου στο κέντρο του κυκλικού άγωγού. Στο σύστημα MKSA ή ένταση H του μαγνητικού πεδίου στο κέντρο του κυκλικού άγωγού έχει μέτρο

$$H = \frac{B}{\mu_0} = \frac{10^{-7} \cdot (2\pi I/r) T}{4\pi \cdot 10^{-7} \text{ N/A}^2} \quad \text{και} \quad \boxed{H = \frac{I}{4\pi} \cdot \frac{2\pi I}{r}} \quad \left\{ \begin{array}{l} I \text{ σε A} \\ r \text{ σε m} \\ H \text{ σε A/m} \end{array} \right. \quad (3)$$

\*γ. Ηλεκτρομαγνητική μονάδα έντάσεως ρεύματος. Η ένταση του μαγνητικού πεδίου στο κέντρο του κυκλικού άγωγού, πού διαρρέεται από ρεύμα έντάσεως i, δίνεται από τήν εξίσωση (3), αν τή γράψουμε μέ τήν εξής γενική μορφή

$$H = k \cdot \frac{2\pi i}{r} \quad (4)$$

όπου k είναι συντελεστής πού εξαρτάται από τίς μονάδες. Στο ηλεκτρομαγνητικό σύστημα (HMM) μονάδα έντάσεως μαγνητικού πεδίου είναι τό Oersted (1 Oe, § 15β). Σ' αυτό τό σύστημα ό συντελεστής k είναι ίσος μέ τή μονάδα (k = 1) και ή εξίσωση (4) γράφεται

$$H = \frac{2\pi i}{r} \quad (5)$$



Από την εξίσωση (5) ορίζεται η ηλεκτρομαγνητική μονάδα έντασης ρεύματος. Αν σ' αυτή την εξίσωση βάλουμε

$r = 1 \text{ cm}$ ,  $i = 1 \text{ HMM}$  - έντασης ρεύματος, βρίσκουμε  $H = 2\pi$  Oersted.

Έτσι έχουμε τον εξής ορισμό:

Ηλεκτρομαγνητική μονάδα έντασης ρεύματος (1 HMM - έντασης ρεύματος) είναι η ένταση ρεύματος που διαρρέει κυκλικό άγωγό με ακτίνα 1 cm και παράγει στο κέντρο του κυκλικού άγωγού μαγνητικό πεδίο που έχει ένταση ίση με  $2\pi$  Oersted.

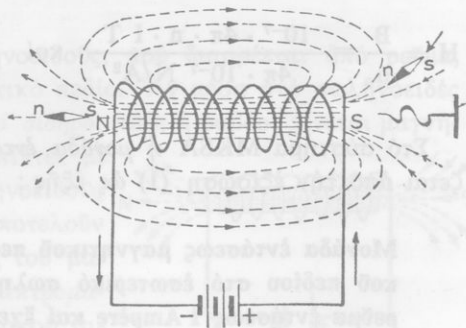
Για τις μονάδες έντασης ρεύματος MKSA και HMM ισχύει η σχέση

$$1 \text{ HMM} - \text{έντασης ρεύματος} = 10 \text{ Ampère}$$

Από την ηλεκτρομαγνητική μονάδα έντασης ρεύματος ορίζονται οι ηλεκτρομαγνητικές μονάδες των άλλων μεγεθών (φορτίου, τάσεως κ.λ.).

#### 74. Μαγνητικό πεδίο σωληνοειδούς

Ονομάζουμε σωληνοειδές ένα σύστημα από παράλληλα κυκλικά ρεύματα, που τ'α κέντρα τους βρίσκονται πάνω στην ίδια ευθεία. Τέτοιο σύστημα κυκλικών ρευμάτων παίρνουμε, αν σέ γυάλινο ή ξύλινο κύλινδρο τυλίξουμε σύρμα. Πάνω σέ οριζόντιο χαρτόνι, που περνάει από τον άξονα του σωληνοειδούς, σχηματίζουμε τό μαγνητικό φάσμα (σχ. 86). Παρατηρούμε ότι αυτό τό φάσμα είναι όμοιο μέ τό μαγνητικό φάσμα ενός εθθύγραμμου μαγνήτη. Μέ μιά μικρή μαγνητική βελόνη εύκολα διαπιστώνουμε ότι οι δύο άκρες του σωληνοειδούς αποτελούν δύο έτερόνυμους μαγνητικούς πόλους. Στο έσωτερικό του σωληνοειδούς οι δυναμικές γραμμές είναι παράλληλες. Τό



Σχ. 86, Μαγνητικό πεδίο σωληνοειδούς

μαγνητικό πεδίο του σωληνοειδούς προκύπτει από την πρόσθεση του μαγνητικού πεδίου που παράγεται από κάθε σπείρα του σωληνοειδούς. Η φορά των δυναμικών γραμμών βρίσκεται με τον έξης εμπειρικό κανόνα: Όταν κατά μήκος του άξονα του σωληνοειδούς τοποθετήσουμε κοχλία και τον στρέψουμε κατά τη φορά του ρεύματος μέσα στις σπείρες, τότε ο κοχλίας προχωρεί κατά τη φορά των δυναμικών γραμμών. Θεωρούμε ότι το μήκος του σωληνοειδούς είναι πολύ μεγάλο σχετικά με τη διάμετρο των σπειρών. Για ένα τέτοιο σωληνοειδές αποδεικνύεται ότι

Στό έσωτερικό του σωληνοειδούς το μαγνητικό πεδίο είναι ομογενές, ή μαγνητική επαγωγή (B) έχει διεύθυνση παράλληλη με τον άξονα του σωληνοειδούς και είναι ανάλογη με την ένταση (I) του ρεύματος και με τον αριθμό (n) των σπειρών κατά μέτρο μήκους.

μαγνητική επαγωγή (σωληνοειδές)	$B = 10^{-7} \cdot 4\pi \cdot n \cdot I$	$\left\{ \begin{array}{l} 10^{-7} \text{ N/A}^2 \\ n \text{ σπείρες/m} \\ I \text{ σε A, } B \text{ σε T} \end{array} \right.$
------------------------------------	--	--

**Παρατήρηση.** Αν το σωληνοειδές έχει συνολικά N σπείρες και μήκος l, τότε είναι  $n = N/l$ .

\* Ένταση του μαγνητικού πεδίου στο έσωτερικό σωληνοειδούς. Στο σύστημα MKSA ή ένταση H του μαγνητικού πεδίου στο έσωτερικό του σωληνοειδούς έχει μέτρο

$$H = \frac{B}{\mu_0} = \frac{10^{-7} \cdot 4\pi \cdot n \cdot I \text{ T}}{4\pi \cdot 10^{-7} \text{ N/A}^2} \quad \text{καί} \quad \boxed{H = n \cdot I} \quad \left\{ \begin{array}{l} n \text{ σπείρες/m} \\ I \text{ σε A} \\ H \text{ σε A/m} \end{array} \right. \quad (1)$$

Στό σύστημα MKSA ή μονάδα έντασεως μαγνητικού πεδίου ορίζεται από την εξίσωση (1) ως έξης :

**Μονάδα έντασεως μαγνητικού πεδίου** είναι ή ένταση μαγνητικού πεδίου στό έσωτερικό σωληνοειδούς που διαρρέεται από ρεύμα έντασεως 1 Ampère και έχει μία σπείρα κατά μέτρο.

$$\text{μονάδα έντάσεως μαγνητικού πεδίου} = \frac{1 \text{ σπειρά}}{1 \text{ m}} \cdot 1 \text{ A} \text{ ή } 1 \frac{\text{A}}{\text{m}}$$

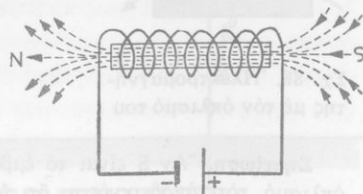
## 75. Προέλευση τών μαγνητικῶν πεδίων

Όταν ένας άγωγός διαρρέεται από ρεύμα, τότε γύρω από τόν άγωγό δημιουργείται πάντοτε *μαγνητικό πεδίο*. Αυτό τό φαινόμενο είναι γενικό καί μπορούμε νά ποῦμε ότι *όλα τά μαγνητικά πεδία οφείλονται σέ κινούμενα ηλεκτρικά φορτία*. Ένα κυκλικό ρεύμα αποτελεί μαγνητικό δίπολο, πού έχει όρισμένη μαγνητική ροπή. Στο άτομο υδρογόνου ή κίνηση τοῦ ηλεκτρονίου γύρω από τόν πυρήνα ισοδυναμεί μέ κυκλικό ρεύμα, δηλαδή δημιουργεί ένα στοιχειώδες μαγνητικό δίπολο. Γενικά ή κίνηση τών ηλεκτρονίων μέσα στοῦ άτομο δημιουργεί *στοιχειώδη μαγνητικά δίπολα*. Σέ ένα μαγνήτη (μόνιμο ή προσωρινό) τά στοιχειώδη κυκλικά ρεύματα προσανατολίζονται έτσι, ὥστε νά αποτελέσουν ένα σωληνοειδές πού έχει δύο ετερόνυμους μαγνητικούς πόλους. Ὡστε μπορούμε νά διατυπώσουμε τό ακόλουθο γενικό συμπέρασμα:

**Οί μαγνητικές ιδιότητες τῆς ὕλης οφείλονται στά στοιχειώδη μαγνητικά δίπολα πού δημιουργεί ή κίνηση τών ηλεκτρονίων γύρω από τούς πυρήνες τών ατόμων.**

## 76. Ἡλεκτρομαγνήτης

Στό έσωτερικό ενός σωληνοειδοῦς, πού διαρρέεται από ρεύμα, σχηματίζεται ὁμογενές μαγνητικό πεδίο. Ἄν μέσα στοῦ σωληνοειδές βάλουμε μιά ράβδο από *μαλακό σίδηρο*, τότε ή ράβδος γίνεται μαγνήτης καί κάθε πόλος του συμπίπτει μέ τόν ὁμώνυμο πόλο τοῦ σωληνοειδοῦς (σχ. 87). Τό σύστημα πού αποτελοῦν τό σωληνοειδές καί ή ράβδος τοῦ μαλακοῦ σιδήρου, ὀνομάζεται *ηλεκτρομαγνήτης*. Ἡ μαγνήτιση τοῦ μαλακοῦ σιδήρου είναι *προσωρινή* καί διαρκεί ὅσο



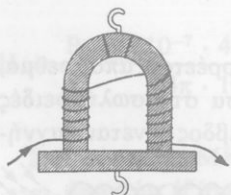
Σχ. 87. Ἡλεκτρομαγνήτης

χρόνο τό σωληνοειδές διαρρέεται από τό ρεύμα. Ἄν μέσα στό σωληνοειδές βάλουμε ράβδο από χάλυβα, ἡ ράβδος μεταβάλλεται σέ *μόμο* μαγνήτη.

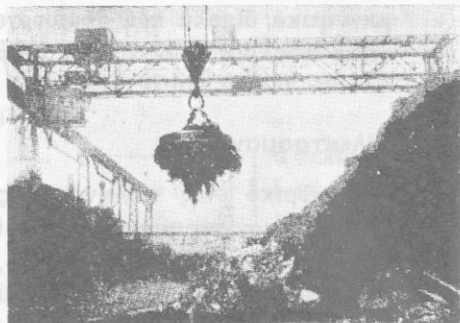
Τό σωληνοειδές ἔχει *n* σπείρες κατά μέτρο καί διαρρέεται από ρεύμα ἐντάσεως *I*. Ὄταν στό ἐσωτερικό τοῦ σωληνοειδοῦς ὑπάρχει ἀέρας, τότε ἡ μαγνητική ἐπαγωγή εἶναι  $B_0$ . Ἄν μέσα στό σωληνοειδές βάλουμε μιά ράβδο από μαλακό σίδηρο, πού ἔχει *μαγνητική διαπερατότητα*  $\mu$ , τότε στό ἐσωτερικό τοῦ σωληνοειδοῦς ἡ μαγνητική ἐπαγωγή γίνεται  $B = \mu \cdot B_0$ , δηλαδή γίνεται *πολύ μεγαλύτερη*.

Ἐφαρμογές τῶν ἠλεκτρομαγνητῶν. Ἡ παροδική μαγνήτιση τοῦ μαλακοῦ σιδήρου μέ τήν ἐπίδραση τοῦ ἠλεκτρικοῦ ρεύματος ἔχει πολλές ἐφαρμογές. Ἀναφέρουμε μερικές συνηθισμένες ἐφαρμογές τῶν ἠλεκτρομαγνητῶν.

**α. Ἡλεκτρομαγνητικός γερανός.** Αὐτός εἶναι ἕνας ἰσχυρός πεταλοειδής ἠλεκτρομαγνήτης, πού ἔλκει μέ μεγάλη δύναμη τόν από μαλακό σίδηρο ὄπλισμό του (σχ. 88). Γιά νά ἀποσπαστεῖ ὁ ὄπλισμός χρειάζεται ὀρισμένη δύναμη, πού λέγεται *φέρουσα δύναμη* τοῦ ἠλεκτρομαγνήτη καί σέ μερικούς γερανούς εἶναι πολύ μεγάλη. Ὄταν θέλουμε νά ἀνυψώσουμε ἀντικείμενα από σίδηρο, τότε αὐτά ἀποτελοῦν τόν ὄπλισμό τοῦ ἠλεκτρομαγνήτη (σχ. 89).



Σχ. 88. Ἡλεκτρομαγνήτης μέ τόν ὄπλισμό του



Σχ. 89. Ἡλεκτρομαγνητικός γερανός (ἀνύψωση ἀντικειμένων από σίδηρο)

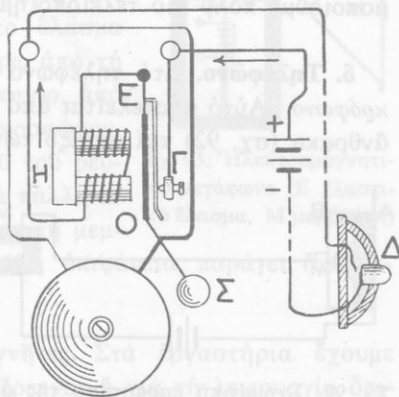
**Σημείωση.** Ἄν *S* εἶναι τό ἔμβαδό τῆς ἐπιφάνειας ἐπαφῆς τῶν πόλων μέ τόν ὄπλισμό, τότε ἀποδεικνύεται ὅτι ἡ *φέρουσα δύναμη* τοῦ ἠλεκτρομαγνήτη δίνεται από τήν ἐξίσωση

φέρουσα δύναμη  
ηλεκτρομαγνήτη

$$F = 10^7 \cdot \frac{B^2 \cdot S}{8\pi}$$

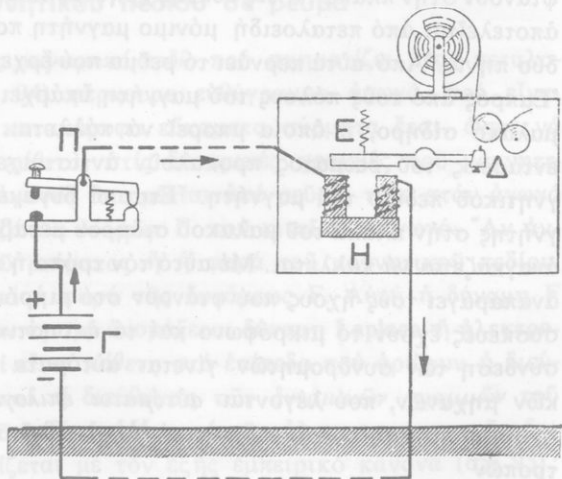
$$\left\{ \begin{array}{l} 10^7 \text{ A}^2/\text{N}, S \text{ σε m}^2 \\ B \text{ σε T}, F \text{ σε N} \end{array} \right.$$

**β. Ήλεκτρικό κουδούνι.** Πιέζοντας τό διακόπτη (Δ) κλείνουμε τό κύκλωμα (σχ. 90) και ό ευκίνητος όπλισμός (Ο) του ηλεκτρομαγνήτη (Η) έλκεται. Άλλά τότε τό κύκλωμα διακόπτεται (στό σημείο Γ), ό όπλισμός γυρίζει στή θέση του και τό κύκλωμα πάλι κλείνει. Ό όπλισμός άμέσως έλκεται κ.ο.κ. Σέ κάθε έλξη του όπλισμού αντιστοιχεί ένα χτύπημα τής σφαίρας Σ πάνω στό κουδούνι. Ή αυτόματη διακοπή και άποκατάσταση του ρεύματος γίνεται πολλές φορές στό δευτερόλεπτο.



Σχ. 90. Ήλεκτρικό κουδούνι

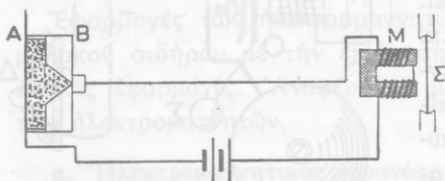
**γ. Μορσικός τηλεγράφος.** Ή λειτουργία του στηρίζεται στην έξής άρχή: Μέ κατάλληλο διακόπτη (πομπός) αφήνουμε νά φύγουν από τόν έναν τόπο ρεύματα μικρής ή μεγαλύτερης διάρκειας. Αυτά τά ρεύματα φτάνουν στό δέκτη, πού ύπάρχει στόν άλλο τόπο, και περνούν από ηλεκτρομαγνήτη, πού είναι έφοδιασμένος μέ πολύ ευκίνητο όπλισμό (σχ. 91). Όταν ό όπλισμός έλκεται, ή μιά άκρη του γράφει πα-



Σχ. 91. Άρχή του μορσιακού τηλεγράφου

νω σέ ταινία από χαρτί μικρές ή μεγαλύτερες γραμμές, ανάλογα μέ τή διάρκεια του ρεύματος πού πέρασε από τόν ήλεκτρομαγνήτη. Ἡ ταινία ξετυλίγεται όμαλά. Μέ τά μορσικά σήματα είναι δυνατή ή μεταβίβαση λέξεων καί αριθμῶν. Σήμερα στήν τηλεγραφία χρησιμοποιούμε πολύ πιά τελειοποιημένα συστήματα.

**δ. Τηλέφωνο.** Στο τηλέφωνο ὡς πομπός χρησιμοποιείται τό *μικρόφωνο*. Αυτό αποτελείται από δύο μονωμένες πλάκες Α καί Β από άνθρακα (σχ. 92) καί μεταξύ τῶν πλακῶν υπάρχουν κόκκοι από άνθρακα.



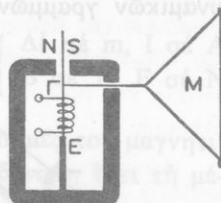
Σχ. 92. Σχηματική παράσταση τῆς ἀρχῆς του τηλεφώνου

Τό ρεύμα πηγαίνει από τήν πλάκα Α στήν πλάκα Β περνώντας από τούς κόκκους του άνθρακα. Όταν μιλάμε ἔμπρός από τήν πλάκα Α, αὐτή πάλλεται καί οί κόκκοι του άνθρακα μετακινούνται. Τότε ἀλλάζει ή ἀντίσταση του κυκλώματος. Ἔτσι ή ἀσταθής ἔπαφή τῶν κόκκων του άνθρακα προκαλεῖ διακυμάνσεις τῆς ἐντάσεως του ρεύματος, πού ἀντιστοιχοῦν στούς ἤχους οί ὁποιοί φτάνουν στήν πλάκα Α. Ὡς δέκτης χρησιμοποιεῖται τό *ἀκουστικό*. Αυτό αποτελείται από πεταλοειδή μόνιμο μαγνήτη πού ἔχει στίς ἄκρες του δύο πηνία. Ἀπό αὐτά περνάει τό ρεύμα πού ἔρχεται από τό μικρόφωνο. Ἐμπρός από τούς πόλους του μαγνήτη ὑπάρχει μιᾶ λεπτή πλάκα από μαλακό σίδηρο, ή ὁποία μπορεῖ νά πάλλεται. Οί διακυμάνσεις τῆς ἐντάσεως του ρεύματος προκαλοῦν ἀντίστοιχες μεταβολές του μαγνητικοῦ πεδίου του μαγνήτη. Ἔτσι οί δυνάμεις πού ἔξασκεῖ ὁ μαγνήτης στήν πλάκα του μαλακοῦ σιδήρου μεταβάλλονται καί ή πλάκα ἀναγκάζεται νά πάλλεται. Μέ αὐτό τόν τρόπο ή πλάκα του ἀκουστικοῦ ἀναπαράγει τούς ἤχους πού φτάνουν στο μικρόφωνο. Οί τηλεφωνικές συσκευές ἔχουν τό μικρόφωνο καί τό ἀκουστικό σέ μιᾶ διάταξη. Ἡ σύνδεση τῶν συνδρομητῶν γίνεται αὐτόματα μέ τή βοήθεια ειδικῶν μηχανῶν, πού λέγονται *αὐτόματοι ἐπιλογεῖς*. Ἡ μετάδοση του ἤχου μέ τό τηλέφωνο σχηματικά ἀκολουθεῖ τήν ἑξῆς σειρά μετατροπῶν

ἤχος → μεταβολές ἐντάσεως ρεύματος → ἤχος

Ἡ πρώτη μετατροπή γίνεται μέ τό μικρόφωνο καί ἡ δευτέρα γίνεται μέ τό ἀκουστικό.

ε. **Ἡλεκτρομαγνητικό μεγάφωνο.** Αὐτό ἀποτελεῖται ἀπό ἰσχυρό ἠλεκτρομαγνήτη πού ἔχει μεταξύ τῶν πόλων του εὐκίνητο ἔλασμα Γ ἀπό μαλακό σίδηρο (σχ. 93). Γύρω ἀπό τή βάση τοῦ ἔλασματος Γ ὑπάρχει πηνίο, ἀπό τό ὁποῖο περνάει τό ρεῦμα τοῦ μικροφώνου. Οἱ διακυμάνσεις τῆς ἐντάσεως αὐτοῦ τοῦ ρεύματος ἀναγκάζουν τό ἔλασμα Γ νά πάλλεται καί μαζί του πάλλεται καί μιὰ κωνική μεμβράνη (Μ). Αὐτή, ἐπειδή ἔχει μεγάλη ἐπιφάνεια, παράγει ἦχο μεγάλης ἐντάσεως.



Σχ. 93. Ἡλεκτρομαγνητικό μεγάφωνο (Ε ἔλαστικό ἔλασμα, Μ μεμβράνη)

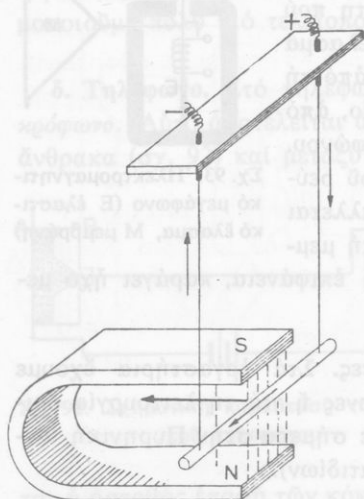
στ. **Ἐργαστηριακοί ἠλεκτρομαγνήτες.** Στά ἐργαστήρια ἔχουμε ἠλεκτρομαγνήτες γιά πειραματικές ἐρευνες ἢ γιά τή λειτουργία ὀρισμένων διατάξεων πού χρησιμοποιοῦμε σήμερα στήν Πυρηνική Φυσική (ἐπιταχυντές ἠλεκτρισμένων σωματιδίων).

## 77. Ἐπίδραση μαγνητικοῦ πεδίου σέ ρεῦμα

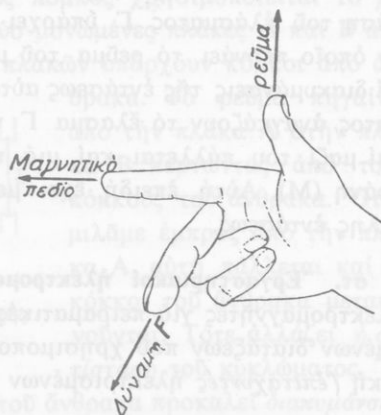
Μέσα στό ὁμογενές μαγνητικό πεδίο πού σχηματίζει ἕνας πεταλοειδῆς μαγνήτης (σχ. 94) φέρνουμε εὐθύγραμμο ἄγωγό, πού εἶναι στερεωμένος σέ δύο κατακόρυφα εὐκαμπτα σύρματα ἔτσι, ὥστε νά εἶναι ὀριζόντιος καί κάθετος στίς δυναμικές γραμμές τοῦ μαγνητικοῦ πεδίου. Ὄταν ὁ ἄγωγός διαρρέεται ἀπό ρεῦμα, τότε στόν ἄγωγό ἀναπτύσσεται μιὰ ὀριζόντια δύναμη  $F$  πού κινεῖ τόν ἄγωγό. Ἄν ἀντιστραφεῖ ἡ φορά τοῦ ρεύματος ἢ ἡ φορά τοῦ μαγνητικοῦ πεδίου, τότε ἀντιστρέφεται καί ἡ φορά τῆς δυνάμεως  $F$ . Αὐτή ἡ δύναμη  $F$  πού ἀναπτύσσεται στόν ἄγωγό ὀνομάζεται **δύναμη Laplace** ἢ **ἠλεκτρομαγνητική δύναμη** καί εἶναι κάθετη στό ἐπίπεδο πού ὀρίζουν ἡ διεύθυνση τοῦ ρεύματος καί ἡ διεύθυνση τῶν δυναμικῶν γραμμῶν τοῦ ὁμογενοῦς μαγνητικοῦ πεδίου. Ἡ φορά τῆς ἠλεκτρομαγνητικῆς δυνάμεως ( $F$ ) προσδιορίζεται μέ τόν ἐξῆς ἐμπειρικό κανόνα (σχ. 95): Ἄνοίγουμε τά τρία πρώτα δάχτυλα τοῦ δεξιοῦ χεριοῦ μας ἔτσι, ὥστε



νά σχηματίζουν μεταξύ τους ὀρθές γωνίες, καί κατευθύνουμε τὸν ἀντίχειρα κατὰ τὴ φορά τοῦ ρεύματος, τὸ δείκτη κατὰ τὴ φορά τῶν δυναμικῶν γραμμῶν τοῦ μαγνητικοῦ πεδίου. Τότε τὸ μεσαῖο δάχτυλο δείχνει τὴ φορά τῆς ἠλεκτρομαγνητικῆς δυνάμεως (κανόνας τῶν τριῶν δαχτύλων).



Σχ. 94. Τὸ μαγνητικὸ πεδίο ἐξασκεῖ στὸν ἀγωγὸ μιά δύναμη.



Σχ. 95. Πῶς βρίσκουμε τὴ φορά τῆς ἠλεκτρομαγνητικῆς δυνάμεως F.

Ἀπὸ τὴ μελέτη τῆς ἐπιδράσεως τοῦ μαγνητικοῦ πεδίου σὲ ἀγωγὸ πού διαρρέεται ἀπὸ ρεύμα συνάγεται ὁ ἀκόλουθος νόμος τοῦ Laplace :

I. Ὄταν εὐθύγραμμος ἀγωγὸς πού διαρρέεται ἀπὸ ρεύμα βρίσκεται μέσα σὲ ὁμογενές μαγνητικὸ πεδίο, τότε σὲ κάθε στοιχειώδες τμήμα ( $\Delta l$ ) τοῦ ἀγωγοῦ ἀναπτύσσεται ἠλεκτρομαγνητικὴ δύναμη, ἡ ὁποία ἐφαρμόζεται στὴ μέση τοῦ ἀγωγοῦ, εἶναι κάθετη στοῦ ἐπίπεδο πού ὀρίζεται ἀπὸ τὸν ἀγωγὸ καί τὴ διεύθυνση τῶν δυναμικῶν γραμμῶν καί ἔχει φορά πού προσδιορίζεται μὲ τὸν κανόνα τῶν τριῶν δαχτύλων.

II. Τὸ μέτρο (F) τῆς ἠλεκτρομαγνητικῆς δυνάμεως εἶναι ἀνάλογο: α) μὲ τὸ μήκος ( $\Delta l$ ) τοῦ στοιχειώδους τμήματος τοῦ ἀγωγοῦ, β) μὲ τὴν ἔνταση (I) τοῦ ρεύματος, γ) μὲ τὸ μέτρο (B) τῆς μαγνητικῆς ἐπαγωγῆς τοῦ πεδίου καί δ) μὲ τὸ ἥμιτονο



της γωνίας ( $\varphi$ ) που σχηματίζει ο άγωγός με τη διεύθυνση των δυναμικών γραμμών.

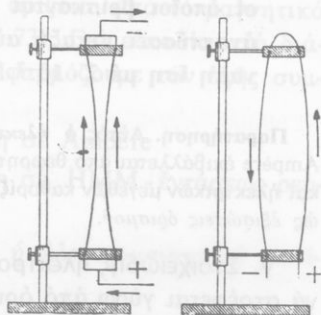
νόμος του Laplace  $F = \Delta l \cdot I \cdot B \cdot \eta \mu \varphi$

$$\left\{ \begin{array}{l} \Delta l \text{ σε m, } I \text{ σε A} \\ B \text{ σε T, } F \text{ σε N} \end{array} \right.$$

Αν ο άγωγός είναι κάθετος στις δυναμικές γραμμές του μαγνητικού πεδίου ( $\varphi = 90^\circ$ ), τότε η ηλεκτρομαγνητική δύναμη έχει τη μέγιστη τιμή της

$$F = \Delta l \cdot I \cdot B$$

α. Παράλληλα ρεύματα. Διαβιβάζουμε ρεύμα σε δύο κατακόρυφους και εύκαμπτους άγωγούς έτσι, ώστε να έχουμε δύο παράλληλα ρεύματα (σχ. 96). Παρατηρούμε ότι οι δύο άγωγοί έλκονται μεταξύ τους, όταν διαρρέονται από ομόρροπα ρεύματα, ενώ αντίθετα, οι δύο άγωγοί άπωθούνται μεταξύ τους, όταν διαρρέονται από αντίρροπα ρεύματα. Αυτή η άμοιβαία έλξη ή άπωση των δύο άγωγών είναι συνέπεια του νόμου του Laplace, γιατί κάθε ρεύμα δημιουργεί γύρω του μαγνητικό πεδίο που επιδρά στο άλλο ρεύμα. Αν τό μήκος κάθε άγωγού είναι  $l$ , ή μεταξύ τους απόσταση είναι  $r$  και οι δύο άγωγοί διαρρέονται από ρεύμα έντάσεως  $I$ , τότε εύκολα βρίσκουμε ότι η ηλεκτρομαγνητική δύναμη με την οποία έλκονται ή άπωθούνται μεταξύ τους οι δύο άγωγοί έχει μέτρο



Σχ. 96. Έλξη ή άπωση μεταξύ δύο παράλληλων ρευμάτων

δύναμη μεταξύ παράλληλων ρευμάτων

$$F = 10^{-7} \cdot \frac{2l \cdot I^2}{r}$$

$$\left\{ \begin{array}{l} 10^{-7} \text{ N/A}^2 \\ l, r \text{ σε m} \\ I \text{ σε A} \\ F \text{ σε N} \end{array} \right. \quad (1)$$

**Παρατήρηση.** Αν τά δύο παράλληλα ρεύματα έχουν έντάσεις  $I_1$  και  $I_2$ , τότε είναι

$$F = 10^{-7} \cdot \frac{2l \cdot I_1 \cdot I_2}{r}$$

β. Όρισμός τής θεμελιώδους μονάδος Ampère στο διεθνές σύστημα μονάδων (SI). Ξέρουμε ότι στο διεθνές σύστημα μονάδων (SI), επομένως και στο σύστημα MKSA (πού είναι τμήμα του συστήματος SI), η μονάδα έντάσεως ρεύματος 1 Ampère (1 A) είναι *θεμελιώδης μονάδα* και ορίζεται από τήν εξίσωση (1). \*Αν σ' αυτή τήν εξίσωση βάλουμε

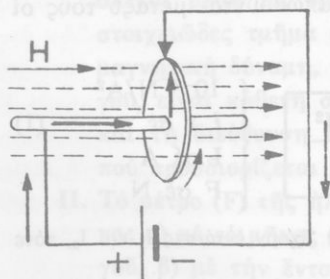
$$l = 1 \text{ m} \quad I = 1 \text{ A} \quad r = 1 \text{ m} \quad \text{βρίσκουμε} \quad F = 2 \cdot 10^{-7} \text{ N}$$

\*Έτσι έχουμε τόν εξής ορισμό:

**1 Ampère (1 A)** είναι ή ένταση ρεύματος πού, όταν διαρρέει δύο παράλληλους, ευθύγραμμους και μέ άπειρο μήκος άγωγούς οί όποιοι βρίσκονται στο κενό και απέχουν μεταξύ τους 1 m, αναπτύσσει μεταξύ αυτών των άγωγών ήλεκτρομαγνητική δύναμη ίση μέ  $2 \cdot 10^{-7}$  Newton κατά μέτρο μήκους.

**Παρατήρηση.** Αυτός ό ήλεκτρομαγνητικός όρισμός τής θεμελιώδους μονάδας Ampère επιβάλλεται από θεωρητικούς λόγους. Οί μονάδες των άλλων μαγνητικών και ήλεκτρικών μεγεθών καθορίζονται από όρισμένες εξισώσεις, πού τίς παίρνουμε ως εξισώσεις όρισμού.

γ. Στοιχειώδης ήλεκτροκινητήρας. \*Ένας χάλκινος δίσκος μπορεί νά στρέφεται γύρω από όριζόντιο άξονα (σχ. 97). \*Ο ένας πόλος τής γεννήτριας συνδέεται μέ τόν άξονα του δίσκου και ό άλλος συνδέεται μέ έλασμα πού διαρκώς είναι σέ έπαφή μέ τήν περιφέρεια του δίσκου. \*Ο δίσκος βρίσκεται μέσα σέ όμογενές μαγνητικό πεδίο και είναι κάθετος στις δυναμικές γραμμές του πεδίου. Παρατηρούμε ότι



Σχ. 97. Αρχή του ήλεκτροκινητήρα.

ό δίσκος περιστρέφεται. Αυτή ή κίνηση του δίσκου εξηγείται ως εξής: Τό ρεύμα διατρέχει μία άκτίνα του δίσκου, δηλαδή διατρέχει ένα ευθύγραμμο άγωγό πού βρίσκεται μέσα σέ όμογενές μαγνητικό πεδίο. Έπομένως στήν άκτίνα του δίσκου ενεργεί μία ήλεκτρομαγνητική δύναμη πού είναι κάθετη στήν άκτίνα, βρίσκεται πάνω στο επίπεδο του δίσκου και γι' αυτό προκαλεί τήν περιστροφή του δι-

σκου. Τό ίδιο συμβαίνει σέ κάθε άκτίνα τοῦ δίσκου, ὅταν αὐτή διαρρέεται ἀπό τό ρεύμα. Ἄν ἀντιστραφεῖ ἡ φορά τοῦ ρεύματος ἢ ἡ φορά τοῦ μαγνητικοῦ πεδίου, τότε ἀντιστρέφεται καί ἡ φορά τῆς περιστροφῆς τοῦ δίσκου. Τό πείραμα αὐτό ἐρμηνεύει τή λειτουργία τῶν *ἡλεκτροκινητήρων*.

### \*78. Οἱ ἐξισώσεις τοῦ Ἡλεκτρομαγνητισμοῦ στό σύστημα HMM

Στό *ἡλεκτρομαγνητικό σύστημα μονάδων* (HMM) γιά τήν ἔνταση ρεύματος χρησιμοποιεῖται ἡ *ἡλεκτρομαγνητική μονάδα ἐντάσεως ρεύματος* (1 HMM - ἐντάσεως ρεύματος) πού ὀρίζεται ἀπό τό μαγνητικό πεδίο κυκλικοῦ ρευματοφόρου ἀγωγοῦ (§ 73). Γιά εὐκολία στή διάκριση τῶν μονάδων ἐντάσεως ρεύματος ἐφαρμόζουμε τόν ἐξῆς συμβολισμό

I σημαίνει ἔνταση ρεύματος μετρημένη σέ Ampère

i σημαίνει ἔνταση ρεύματος μετρημένη σέ HMM - ἐντάσεως ρεύματος.

Ἀπό τήν ἐξίσωση  $Q = i \cdot t$  ὀρίζεται ἡ *ἡλεκτρομαγνητική μονάδα φορτίου*

1 HMM - φορτίου = 1 HMM — ἐντάσεως ρεύματος · sec

Εἶναι  $1 \text{ HMM - φορτίου} = 10 \text{ Coulomb}$

Ἀπό τήν ἐξίσωση  $U = W/Q$  ὀρίζεται ἡ *ἡλεκτρομαγνητική μονάδα τάσεως*

$$1 \text{ HMM - τάσεως} = \frac{1 \text{ erg}}{1 \text{ HMM - φορτίου}}$$

Εἶναι  $1 \text{ HMM - τάσεως} = 10^{-8} \text{ Volt}$

Ἐνταση μαγνητικοῦ πεδίου σέ ἀπόσταση r ἀπό εὐθύγραμμο ρευματοφόρο ἀγωγό

$$H = \frac{2i}{r} \quad \left\{ \begin{array}{l} i \text{ σέ HMM} \\ r \text{ σέ cm} \\ H \text{ σέ Oe} \end{array} \right.$$

Ἐνταση μαγνητικοῦ πεδίου στό κέντρο κυκλικοῦ ρευματοφόρου ἀγωγοῦ μέ άκτίνα r

$$H = \frac{2\pi i}{r} \quad \left\{ \begin{array}{l} i \text{ σε HMM} \\ r \text{ σε cm} \\ H \text{ σε Oe} \end{array} \right.$$

Νόμος Biot - Savart

$$\Delta H = \frac{i \cdot \Delta l}{r^2} \cdot \eta \mu \varphi \quad \left\{ \begin{array}{l} i \text{ σε HMM} \\ \Delta l, r \text{ σε cm} \\ \Delta H \text{ σε Oe} \end{array} \right.$$

Ένταση μαγνητικού πεδίου στο έσωτερικό σωληνοειδούς

$$H = 4\pi \cdot n \cdot i \quad \left\{ \begin{array}{l} n \text{ σπείρες /cm, } i \text{ σε HMM} \\ H \text{ σε Oe} \end{array} \right.$$

Μαγνητική επαγωγή μέσα σε υλικό με μαγνητική διαπερατότητα  $\mu$

$$B = \mu \cdot H \quad \left\{ \begin{array}{l} H \text{ σε Oe, } B \text{ σε Gauss} \end{array} \right.$$

Νόμος του Laplace

$$F = \Delta l \cdot i \cdot H \cdot \eta \mu \varphi \quad \left\{ \begin{array}{l} \Delta l \text{ σε cm, } i \text{ σε HMM} \\ H \text{ σε Oe, } F \text{ σε dyn} \end{array} \right.$$

Δύναμη μεταξύ δύο παράλληλων ρευμάτων που διαρρέονται από ρεύμα έντάσεως  $i$

$$F = \frac{2l \cdot i^2}{r} \quad \left\{ \begin{array}{l} l, r \text{ σε cm} \\ i \text{ σε HMM} \\ F \text{ σε dyn} \end{array} \right.$$

**Παρατήρηση.** Υπενθυμίζεται ότι στο σύστημα MKSA οι μονάδες των μαγνητικών και ηλεκτρικών μεγεθών ορίζονται σε συνάρτηση με τέσσερα θεμελιώδη μεγέθη ενώ στο σύστημα HMM ορίζονται σε συνάρτηση μόνο με τρία μηχανικά μεγέθη. Έτσι προκύπτουν σημαντικές διαφορές μεταξύ αυτών των δύο συστημάτων μονάδων.

## ΠΡΟΒΛΗΜΑΤΑ

84. Ένας εὐθύγραμμος αγωγός διαρρέεται από ρεύμα έντάσεως  $I = 31,4 \text{ A}$ . Πόση είναι ἡ μαγνητική επαγωγή  $B$  σε ἀπόσταση  $r = 5 \text{ cm}$  ἀπὸ τὸν αγωγό; Ἡ ἔνταση  $H$  τοῦ μαγνητικοῦ πεδίου δίνεται ἀπὸ τὴν ἐξίσωση  $H = B/\mu_0$ . Πόση εἶναι ἡ ἔνταση  $H$  τοῦ μαγνητικοῦ πεδίου στὴν ἀπόσταση  $r = 5 \text{ cm}$  ἀπὸ τὸν αγωγό;

85. Ένας εὐθύγραμμος ἄγωγός ἀποτελεῖται ἀπὸ μιά δέσμη 6 εὐθύγραμμων συρμάτων πού τό καθένα διαρρέεται ἀπὸ ρεύμα ἐντάσεως  $I = 10 \text{ A}$ . Πόση εἶναι ἡ μαγνητική ἐπαγωγή  $B$  σέ ἀπόσταση  $r = 2 \text{ cm}$  ἀπὸ τόν ἄγωγό; Ἄν σ' αὐτό τό σημεῖο τοῦ πεδίου εἶναι ἕνας μαγνητικός πόλος μέ ποσότητα μαγνητισμοῦ  $m = +4 \text{ A} \cdot \text{m}$ , πόση δύναμη ἐξασκεῖ τό πεδίο σ' αὐτό τόν πόλο;

86. Δύο εὐθύγραμμοι ἄγωγοί εἶναι παράλληλοι, ἀπέχουν μεταξύ τους  $6 \text{ cm}$  καί διαρρέονται ἀπὸ ρεύματα πού ἔχουν τήν ἴδια ἔνταση,  $I = 30 \text{ A}$ . Πόση εἶναι ἡ μαγνητική ἐπαγωγή σέ ἕνα σημεῖο  $\Delta$ , πού βρίσκεται μεταξύ τῶν δύο ἄγωγῶν καί ἀπέχει  $r_1 = 2 \text{ cm}$  ἀπὸ τόν ἕνα ἄγωγό καί  $r_2 = 4 \text{ cm}$  ἀπὸ τόν ἄλλο, ὅταν τά δύο παράλληλα ρεύματα εἶναι ὁμόρροπα καί ὅταν εἶναι ἀντίρροπα;

87. Ένας εὐθύγραμμος ἄγωγός διαρρέεται ἀπὸ ρεύμα ἐντάσεως  $I = 2 \text{ A}$ . Σέ ἀπόσταση  $r$  ἀπὸ τόν ἄγωγό βρίσκεται βόρειος μαγνητικός πόλος, πού ἔχει ποσότητα μαγνητισμοῦ  $m = 0,5 \text{ A} \cdot \text{m}$  καί μπορεῖ νά κινεῖται ἐλεύθερα μέ τήν ἐπίδραση τοῦ μαγνητικοῦ πεδίου τοῦ ρεύματος. Πόσο ἔργο ( $W$ ) παράγεται ἀπὸ τό πεδίο, ὅταν ὁ πόλος  $m$  διαγράψει μιά ὀλόκληρη δυναμική γραμμή τοῦ πεδίου; Ποιά σχέση ἔχει αὐτό τό ἔργο μέ τήν ἀπόσταση  $r$ ;

88. Ένας κυκλικός ἄγωγός ἔχει ἀκτίνα  $r = 20 \text{ cm}$  καί διαρρέεται ἀπὸ ρεύμα ἐντάσεως  $I = 5 \text{ A}$ . Πόση εἶναι ἡ μαγνητική ἐπαγωγή  $B$  στό κέντρο τοῦ κυκλικοῦ ἄγωγού; Ἀπό τήν ἐξίσωση  $H = B/\mu_0$  νά βρεθεῖ ἡ ἔνταση  $H$  τοῦ μαγνητικοῦ πεδίου στό κέντρο τοῦ κυκλικοῦ ἄγωγού.

89. Ένα κυκλικό πλαίσιο ἀποτελεῖται ἀπὸ  $n = 50$  σπείρες, πού καθεμιά ἔχει ἀκτίνα  $r = 10 \text{ cm}$ . Πόση πρέπει νά εἶναι ἡ ἔνταση  $I$  τοῦ ρεύματος, ὥστε ἡ μαγνητική ἐπαγωγή στό κέντρο τοῦ πλαισίου νά εἶναι ἴση μέ  $B = 6,28 \cdot 10^{-3} \text{ T}$ ; Πόση μαγνητική ροή  $\Phi$  περνάει ἀπὸ τό πλαίσιο;

90. Ένα κυκλικό πλαίσιο ἀποτελεῖται ἀπὸ  $n = 100$  σπείρες, πού ἡ ἀκτίνα τους εἶναι  $r = 10 \text{ cm}$ . Οἱ ἄκρες τοῦ πλαισίου συνδέονται μέ γεννήτρια, πού ἔχει ἠλεκτρεγερτική δύναμη  $E = 6 \text{ V}$  καί ἐσωτερική ἀντίσταση  $R_{\Gamma} = 2 \Omega$ . Τότε στό κέντρο τοῦ πλαισίου ἡ μαγνητική ἐπαγωγή ἔχει μέτρο  $B = 2 \cdot 10^{-5} \text{ T}$ . Πόση εἶναι ἡ ἀντίσταση  $R$  τοῦ πλαισίου;

91. Ένα πηνίο ἀποτελεῖται ἀπὸ  $N = 1600$  σπείρες, ἔχει μήκος  $l =$

= 10 cm και διαρρέεται από ρεύμα έντασεως  $I = 15$  A. Πόση είναι η μαγνητική επαγωγή στο κέντρο του πηνίου; Από την εξίσωση  $H = B/\mu_0$  να βρεθεί ή ένταση  $H$  του μαγνητικού πεδίου στο κέντρο του πηνίου.

92. Ένα πηνίο έχει μήκος  $l = 50$  cm και αποτελείται από  $N = 500$  σπείρες, που καθεμιά έχει εμβαδό  $S = 20$  cm<sup>2</sup>. Το πηνίο διαρρέεται από ρεύμα έντασεως  $I = 0,5$  A. Πόση είναι η μαγνητική επαγωγή  $B$  στο κέντρο του πηνίου και πόση είναι η μαγνητική ροή  $\Phi$  που περνάει από τό πηνίο;

93. Ένα πηνίο έχει  $N = 4000$  σπείρες, μήκος  $l = 40$  cm και στο κέντρο του η μαγνητική επαγωγή είναι  $B_0 = 251,2 \cdot 10^{-3}$  T. Πόση είναι ή ένταση  $I$  του ρεύματος; Πόση γίνεται ή μαγνητική επαγωγή στο κέντρο του πηνίου, αν μέσα σ' αυτό βάλουμε μιά ράβδο από μαλακό σίδηρο που έχει μαγνητική διαπερατότητα  $\mu = 3000$ ;

94. Ένας εϋθύγραμμος άγωγός μήκους  $l = 5$  cm διαρρέεται από ρεύμα έντασεως  $I = 20$  A και βρίσκεται μέσα σε όμογενές μαγνητικό πεδίο που έχει μαγνητική επαγωγή  $B = 0,02$  T. Ο άγωγός σχηματίζει γωνία  $\varphi = 30^\circ$  με τίς δυναμικές γραμμές του πεδίου. Πόση είναι ή ήλεκτρομαγνητική δύναμη  $F$  που αναπτύσσεται στον άγωγό; Πόση είναι ή μεγαλύτερη τιμή που μπορεί να έχει ή δύναμη  $F$  και τότε συμβαίνει αυτό;

95. Δύο εϋθύγραμμα σύρματα μήκους  $l = 40$  cm απέχουν μεταξύ τους  $r = 4$  cm. Τά σύρματα διαρρέονται από όμορροπα ρεύματα έντασεως  $I = 2$  A. Πόση είναι ή ήλεκτρομαγνητική δύναμη  $F$  που ενεργεί στο κάθε σύρμα εξαιτίας του μαγνητικού πεδίου του άλλου ρεύματος;

96. Στο άτομο του υδρογόνου τό ήλεκτρόνιο διαγράφει με ταχύτητα  $v = 2,2 \cdot 10^6$  m/sec κυκλική τροχιά, που έχει ακτίνα  $r = 0,53 \cdot 10^{-10}$  m.  
α) Πόσο ήλεκτρικό φορτίο  $q$  περνάει κατά δευτερόλεπτο από ένα σημείο τής τροχιάς του ήλεκτρονίου; β) Πόση είναι ή ένταση  $I$  του κυκλικού ρεύματος που δημιουργεί ή κίνηση του ήλεκτρονίου; γ) Πόση είναι ή μαγνητική επαγωγή  $B$  στο κέντρο αυτού του κυκλικού ρεύματος;

\*97. Ένας εϋθύγραμμος άγωγός διαρρέεται από ρεύμα έντασεως  $i = 5$  HMM. Πόση είναι ή ένταση  $H$  του μαγνητικού πεδίου σε απόσταση  $r = 2$  cm από τόν άγωγό;

\*98. Ένας κυκλικός άγωγός έχει ακτίνα  $r = 20 \text{ cm}$  και διαρρέεται από ρεύμα έντάσεως  $i = 0,5 \text{ HMM}$ . Πόση είναι ή ένταση  $H$  του μαγνητικού πεδίου στό κέντρο του κυκλικού άγωγού;

\*99. Ένα πηνίο έχει  $N = 1600$  σπείρες, μήκος  $l = 10 \text{ cm}$  και διαρρέεται από ρεύμα έντάσεως  $i = 1,5 \text{ HMM}$ . Πόση είναι ή ένταση  $H$  του μαγνητικού πεδίου στό κέντρο του πηνίου; Πόση είναι ή μαγνητική έπαγωγή  $B$  στό κέντρο του πηνίου, άν μέσα στό πηνίο ύπάρχει πυρήνας από μαλακό σίδηρο πού έχει μαγνητική διαπερατότητα  $\mu = 4000$ ;

\*100. Ένα εϋθύγραμμο σύρμα, μήκους  $l = 12 \text{ cm}$ , διαρρέεται από ρεύμα έντάσεως  $i = 0,4 \text{ HMM}$  και είναι κάθετο στις δυναμικές γραμμές όμογενοϋς μαγνητικού πεδίου πού έχει ένταση  $H = 200 \text{ Oe}$ . Πόση είναι ή ήλεκτρομαγνητική δύναμη πού αναπτύσσεται στόν άγωγό;

## ΗΛΕΚΤΡΟΛΥΣΗ

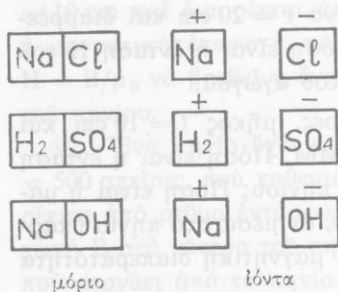
### 79. Έλεκτρολύτες

Η ήλεκτρική άγωγιμότητα των μετάλλων όφείλεται στά *ελεύθερα ήλεκτρονιά* τους, τά όποια κινούνται μέσα στό μέταλλο μέ τήν έπίδραση ήλεκτρικού πεδίου, και γι' αυτό λέμε ότι τά μέταλλα έχουν *ήλεκτρονική άγωγιμότητα*. Πειραματικώς βρήκαμε ότι από όλα τά υγρά ήλεκτρική άγωγιμότητα έχουν τά ύδατικά διαλύματα των όξέων των βάσεων και των άλάτων καθώς και τά τήγματα των βάσεων και των άλάτων. Αυτοί οί υγροί άγωγοί όνομάζονται *ήλεκτρολύτες*, γιατί παρουσιάζουν τό φαινόμενο τής ήλεκτρολύσεως, δηλαδή στά δύο ήλεκτρόδια έμφανίζονται όρισμένα προϊόντα (§ 50β). Λέμε ότι οί ήλεκτρολύτες έχουν *ήλεκτρολυτική άγωγιμότητα* (όπως θά δοϋμε αυτή διαφέρει από τήν ήλεκτρονική άγωγιμότητα των μετάλλων).

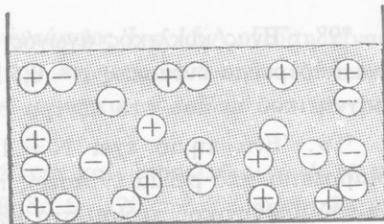
### 80. Έξήγηση τής ήλεκτρολυτικής άγωγιμότητας

α. Έλεκτρολυτική διάσταση. Η θεωρητική και ή πειραματική έρευνα απέδειξαν ότι τό μόριο κάθε ήλεκτρολύτη αποτελείται από τήν ένωση δύο έτερώνυμων ίόντων πού έχουν κατ' άπόλυτη τιμή ίσα





Σχ. 98. Το μόριο του ηλεκτρολύτη αποτελείται από έτεράνωμα ιόντα με ίσο ηλεκτρικό φορτίο.



$\oplus\ominus$  άκέραιο μόριο

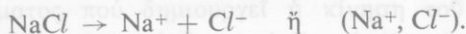
$\oplus$  θετικό ιόν

$\ominus$  άρνητικό ιόν

Σχ. 99. Ήλεκτρολυτική διάσταση

ηλεκτρικά φορτία. Τό θετικό ή άρνητικό φορτίο, πού έχει κάθε ιόν, είναι πάντοτε ίσο μέ άκέραιο πολλαπλάσιο τού στοιχειώδους ηλεκτρικού φορτίου ε. Ό αριθμός τών στοιχειωδών ηλεκτρικών φορτίων πού έχει πάνω του ένα ιόν, είναι ίσος μέ τό σθένος τού στοιχείου ή τής ρίζας πού άποτελεί τό ιόν. Έτσι π.χ. τό μόριο τού χλωριούχου νατρίου άποτελείται άπό ένα θετικό ιόν νατρίου  $\text{Na}^+$  καί ένα άρνητικό ιόν χλωρίου  $\text{Cl}^-$  (σχ. 98). Όταν τά δύο ιόντα είναι ένωμένα, τό μόριο είναι ουδέτερο.

Όταν τό χλωριούχο νάτριο διαλύεται στό νερό, τότε τά ιόντα νατρίου  $\text{Na}^+$  καί τά ιόντα χλωρίου  $\text{Cl}^-$  αποχωρίζονται τό ένα άπό τό άλλο καί διασκορπίζονται μέσα στό διάλυμα. Έτσι μέσα στό διάλυμα ύπάρχουν ελεύθερα ιόντα νατρίου  $\text{Na}^+$  καί ίσος αριθμός ελεύθερων ιόντων χλωρίου  $\text{Cl}^-$  (σχ. 99). Τό διάλυμα είναι ηλεκτρικώς ουδέτερο, γιατί τά φορτία τών θετικών καί τών άρνητικών ιόντων είναι ίσα (κατ' άπόλυτη τιμή). Αυτός ό διαχωρισμός τού μορίου τού ηλεκτρολύτη sé δύο έτεράνωμα ιόντα ονομάζεται *ηλεκτρολυτική διάσταση* καί παριστάνεται ώς έξής :

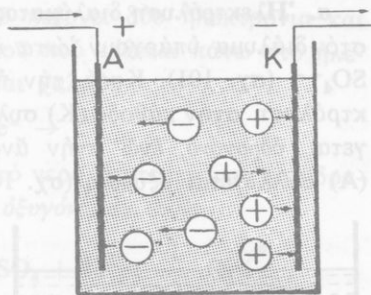


Στό φαινόμενο τής ηλεκτρολυτικής διαστάσεως παίζουν σημαντικό ρόλο καί τά μόρια τού νεροϋ, τά όποια ύποβοηθοϋν στόν αποχωρισμό τών δύο ιόντων τού μορίου.

β. Ή ηλεκτρολυτική άγωγιμότητα. Όταν τό ύδατικό διάλυμα τού



ήλεκτρολύτη είναι μέσα στο βολτάμετρο και κλείσουμε το κύκλωμα, τότε μεταξύ των δύο ηλεκτροδίων σχηματίζεται ηλεκτρικό πεδίο (σχ. 100), πού οι δυναμικές γραμμές του έχουν φορά από την άνοδο (Α) προς τη κάθοδο (Κ). Μέ την επίδραση του ηλεκτρικού πεδίου τα θετικά ιόντα κινούνται προς την κάθοδο (κατιόντα), ενώ τα αρνητικά ιόντα κινούνται προς την άνοδο (άνιόντα). Κάθε θετικό ιόν, όταν φτάσει στην κάθοδο, παίρνει από αυτή όσα ηλεκτρόνια του λείπουν και μεταβάλλεται σε ουδέτερο άτομο. Αντίθετα κάθε αρνητικό ιόν, όταν φτάσει στην άνοδο, δίνει σ' αυτή όσα ηλεκτρόνια πλεονάζουν πάνω του και μετατρέπεται σε ουδέτερο άτομο. Όσα ηλεκτρόνια αφαιρούνται από την κάθοδο μέσα σε ορισμένο χρόνο, τόσα ακριβώς ηλεκτρόνια δίνονται στην άνοδο μέσα στον ίδιο χρόνο, γιατί η ένταση του ρεύματος είναι σταθερή σε όλο το κύκλωμα. Έξαιτίας λοιπόν του ηλεκτρικού πεδίου δημιουργείται μέσα στον ηλεκτρολύτη κίνηση των ετερόνυμων ιόντων κατά αντίθετη φορά. Αυτή η κίνηση αποτελεί το ηλεκτρικό ρεύμα μέσα στον ηλεκτρολύτη. Από τα παραπάνω καταλήγουμε στα εξής συμπεράσματα:



Σχ. 100. Κίνηση των ιόντων με την επίδραση του ηλεκτρικού πεδίου

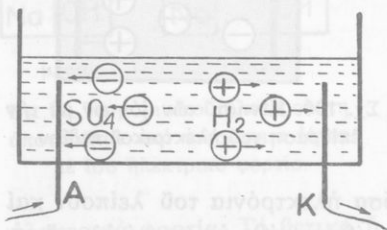
I. Η ηλεκτρολυτική αγωγιμότητα οφείλεται στην ταυτόχρονη, αλλά κατά αντίθετη φορά, κίνηση των θετικών και αρνητικών ιόντων του ηλεκτρολύτη με την επίδραση ηλεκτρικού πεδίου.

II. Ο αριθμός των ηλεκτρονίων που αφαιρούν από την κάθοδο τα θετικά ιόντα είναι ίσος με τον αριθμό των ηλεκτρονίων που δίνουν στην άνοδο τα αρνητικά ιόντα μέσα στον ίδιο χρόνο.

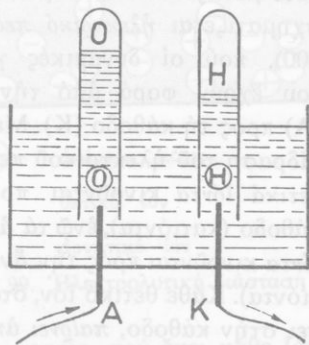
## 81. Παραδείγματα ηλεκτρολύσεων

Θά εξετάσουμε τρία παραδείγματα ηλεκτρολύσεων με βολτάμετρο, πού τα ηλεκτρόδιά του είναι από λευκόχρσο για να μην προσβάλλονται από τα οξέα.

α. Ήλεκτρολύση διαλύματος θειικού όξόος ( $2\text{H}^+$ ,  $\text{SO}_4^{--}$ ). Μέσα στό διάλυμα ύπάρχουν ίόντα ύδρογόνο $\nu$   $\text{H}^+$  και ίόντα θειικής ρίζας  $\text{SO}_4^{--}$  (σχ. 101). Κατά τήν ήλεκτρολύση στήν κάθοδο (Κ) συλλέγεται ύδρογόνο, ένώ στήν άνοδο (Α) συλλέγεται όξυγόνο (σχ. 102).

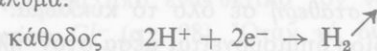


Σχ. 101. Κίνηση τών ίόντων ύδρογόνο $\nu$  και τής θειικής ρίζας

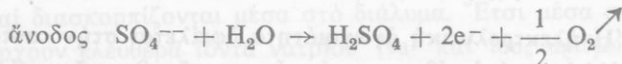


Σχ. 102. Στήν κάθοδο συλλέγομε ύδρογόνο και στήν άνοδο όξυγόνο.

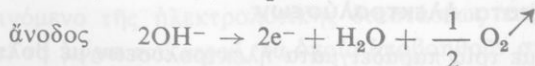
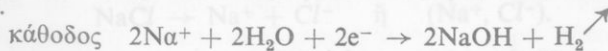
Αυτό τό φαινόμενο εξηγείται ώς εξής: Στήν κάθοδο κάθε ίόν ύδρογόνο $\nu$  παίρνει ένα ήλεκτρόνιο και γίνεται άτομο ύδρογόνο πού φεύγει από τό διάλυμα.



Στήν άνοδο τό ίόν τής θειικής ρίζας δέν έκφορτίζεται, αλλά αντιδρά μέ τό νερό (δευτερεύουσα αντίδραση). Τά δύο ήλεκτρόνια πού δίνονται στήν άνοδο προέρχονται από τή δευτερεύουσα αντίδραση

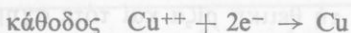


β. Ήλεκτρολύση διαλύματος καυστικού νατρίου ( $\text{Na}^+$ ,  $\text{OH}^-$ ). Μέσα στό διάλυμα ύπάρχουν ίόντα νατρίου  $\text{Na}^+$  και ίόντα ύδροξυλίου  $\text{OH}^-$ . Κατά τήν ήλεκτρολύση στήν κάθοδο συλλέγεται ύδρογόνο, ένώ στήν άνοδο συλλέγεται όξυγόνο. Αυτά τά προϊόντα πού συλλέγονται οφείλονται σέ δευτερεύουσες αντιδράσεις, πού συμβαίνουν στά δύο ήλεκτρόδια.

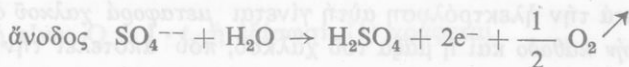


γ. Ήλεκτρολύση διαλύματος θειικού χαλκοϋ ( $\text{Cu}^{++}$ ,  $\text{SO}_4^{--}$ ). Μέσα στό διάλυμα ύπάρχουν ίόντα χαλκοϋ  $\text{Cu}^{++}$  και ίόντα θειικής ρίζας

SO<sub>4</sub><sup>-</sup>. Στην κάθοδο κάθε ιόν χαλκού παίρνει δύο ηλεκτρόνια και μεταβάλλεται σε ουδέτερο άτομο χαλκού που κάθεται πάνω στο ηλεκτρόδιο. Έτσι στην κάθοδο συλλέγεται χαλκός.



Στήν άνοδο ή θεϊκή ρίζα αντιδρά με το νερό (δευτερεύουσα αντίδραση) και έτσι στην άνοδο συλλέγεται οξυγόνο.



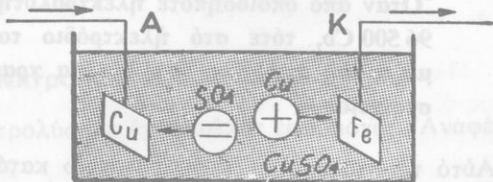
**δ. Τά προϊόντα της ηλεκτρολύσεως.** Το φαινόμενο της ηλεκτρολύσεως δείχνει ότι η εξουδετέρωση των ιόντων γίνεται, όταν τά ιόντα φτάσουν στα ηλεκτρόδια, και γι' αυτό τά προϊόντα της ηλεκτρολύσεως εμφανίζονται πάντοτε πάνω στα ηλεκτρόδια του βολταμέτρου.

Πειραματικώς βρίσκουμε επίσης ότι κατά την ηλεκτρόλυση υδατικού διαλύματος οξέος, βάσεως ή άλατος στην κάθοδο φτάνει τό θετικό ιόν υδρογόνου ή μετάλλου, ενώ στην άνοδο φτάνει τό αρνητικό ιόν αμετάλλου, υδροξυλίου ή ρίζας οξέος.

Πολλές φορές τά προϊόντα της ηλεκτρολύσεως που συλλέγονται στα ηλεκτρόδια δέν προέρχονται από την άμεση εξουδετέρωση των ιόντων που υπάρχουν στο διάλυμα, γιατί συμβαίνουν οί δευτερεύουσες αντιδράσεις.

Ήλεκτρόλυση διαλύματος θεϊκού χαλκού (Cu<sup>++</sup> SO<sub>4</sub><sup>--</sup>) με

άνοδο από χαλκό. Ή κάθοδος του βολταμέτρου είναι από σίδηρο, ενώ ή άνοδος είναι από χαλκό (σχ. 103). Μέσα στο διάλυμα υπάρχουν ιόντα χαλκού Cu<sup>++</sup> και ιόντα θεϊκής ρίζας SO<sub>4</sub><sup>--</sup>. Στην κάθοδο κάθε ιόν χαλκού παίρνει δύο ηλεκτρόνια και μεταβάλλεται σε ουδέτερο άτομο χαλκού, που κάθεται πάνω στην κάθοδο.



Σχ. 103. Ή κάθοδος επιχαλκώνεται.



Στήν άνοδο τό ιόν της θεϊκής ρίζας SO<sub>4</sub><sup>--</sup> προκαλεί ιονισμό ενός

άτομου χαλκού που βρίσκεται στην επιφάνεια της άνοδου, δηλαδή αναγκάζει τα δύο ηλεκτρόνια ενός ατόμου χαλκού να εγκαταλείψουν το άτομο του χαλκού. Έτσι αυτό το άτομο χαλκού γίνεται ιόν χαλκού  $\text{Cu}^{++}$  που ενώνεται με τη θεική ρίζα και τότε σχηματίζεται ένα μόριο θειικού χαλκού  $\text{CuSO}_4$ , που μπαίνει μέσα στο διάλυμα.



Όστε κατά την ηλεκτρόλυση αυτή γίνεται μεταφορά χαλκού από την άνοδο στην κάθοδο και η μάζα του χαλκού, που αποτελεί την άνοδο, διαρκώς ελαττώνεται.

## 82. Νόμος του Faraday

α. Σταθερή του Faraday. Στη Χημεία ονομάζεται γραμμοϊσοδύναμο ενός στοιχείου μάζα αυτού του στοιχείου σε γραμμάρια ίση με το χημικό ισοδύναμο του στοιχείου, δηλαδή μάζα σε γραμμάρια ίση με το πηλίκο της ατομικής μάζας (A) του στοιχείου διά του σθένους του (n). Άρα

$$1 \text{ γραμμοϊσοδύναμο} = A/n \text{ γραμμάρια}$$

Ο Faraday ανακάλυψε (1883) πειραματικώς ότι για τό φαινόμενο της ηλεκτρολύσεως ισχύει ένας γενικός νόμος, που ονομάζεται νόμος του Faraday:

Όταν από οποιοδήποτε ηλεκτρολύτη περάσει ηλεκτρικό φορτίο 96 500 Cb, τότε στο ηλεκτρόδιο του βολταμέτρου συλλέγεται μάζα του στοιχείου ίση με ένα γραμμοϊσοδύναμο από αυτό τό στοιχείο.

Αυτό τό σταθερό ηλεκτρικό φορτίο κατά γραμμοϊσοδύναμο ονομάζεται σταθερή του Faraday (F).

σταθερή του Faraday	$F = 96\,500 \text{ Cb/γραμμοϊσοδύναμο}$
---------------------	--

β. Μάζα του στοιχείου που συλλέγεται στο ηλεκτρόδιο. Όταν από τό βολτάμετρο περνάει ηλεκτρικό φορτίο 96 500 Cb, στο ήλε-

κτρόδιο συλλέγεται μάζα του στοιχείου ίση με  $A/n$  γραμμάρια. Όστε αν από τό βολτάμετρο περάσει ηλεκτρικό φορτίο  $Q$ , τότε στό ηλεκτρόδιο συλλέγεται μάζα  $m$  του στοιχείου, πού είναι ίση μέ

$$\text{νόμος του Faraday } m = \frac{1}{96500} \cdot \frac{A}{n} \cdot Q \quad \left\{ \begin{array}{l} Q \text{ σε Cb} \\ m \text{ σε gr} \end{array} \right. \quad (1)$$

Έπειδή είναι  $Q = I \cdot t$ , ή εξίσωση (1) γράφεται

$$\text{νόμος του Faraday } m = \frac{1}{96500} \cdot \frac{A}{n} \cdot I \cdot t \quad \left\{ \begin{array}{l} I \text{ σε A} \\ t \text{ σε sec} \\ m \text{ σε gr} \end{array} \right. \quad (2)$$

Οί εξισώσεις (1) καί (2) είναι άλλη έκφραση του νόμου του Faraday καί μās επιτρέπουν νά κάνουμε πειραματική επαλήθευση του νόμου.

*Παράδειγμα.* Από βολτάμετρο πού περιέχει διάλυμα θεικού ψευδαργύρου ( $ZnSO_4$ ) περνάει επί 16 min 5 sec ρεύμα έντάσεως  $I = 10$  A. Για τόν ψευδάργυρο είναι  $A = 65$ ,  $n = 2$ . Στήν κάθοδο συλλέγεται μάζα ψευδαργύρου

$$m = \frac{1}{96500} \cdot \frac{A}{n} \cdot I \cdot t = \frac{1}{96500} \cdot \frac{65}{2} \cdot 10 \text{ A} \cdot 965 \text{ sec}$$

$$\text{καί } m = 3,25 \text{ gr}$$

### 83. Έφαρμογές τής ηλεκτρολύσεως

Τό φαινόμενο τής ηλεκτρολύσεως έχει πολλές εφαρμογές. Αναφέρουμε τις πιο συνηθισμένες

**α. Ηλεκτρομεταλλουργία.** Η ηλεκτρόλυση εφαρμόζεται για την παρασκευή καθαρών μετάλλων π.χ. τό κάλιο, τό ασβέστιο, τό μαγνήσιο τά παρασκευάζουμε μέ ηλεκτρόλυση των τηγμένων χλωριούχων αλάτων τους. Τό άργίλιο τό παίρνουμε μέ την ηλεκτρόλυση μίγματος βοξίτη καί κρυσλίθου. Επίσης μέ ηλεκτρόλυση παρασκευάζεται ό χημικός καθαρός χαλκός, χρυσός καί άργυρος.

**β. Επιμετάλλωση.** Για νά προφυλάξουμε όρισμένα μέταλλα από τήν όξειδωση, τά επικαλύπτουμε ήλεκτρολυτικώς μέ ένα λεπτό στρώμα από νικέλιο, χρώμιο, άργυρο ή χρυσό. Τό μέταλλο πού θέλουμε νά επικαλύψουμε άποτελεί τήν *κάθοδο* τού βολταμέτρου, ενώ ή *άνοδος* είναι μιá πλάκα από τό μέταλλο μέ τό όποιο θά κάνουμε τήν επικάλυψη. Ό *ήλεκτρολύτης* είναι διάλυμα άλατος τού ίδιου μετάλλου μέ τήν άνοδο. Κατά τήν ήλεκτρόλυση τό άρνητικό ίόν, πού έρχεται στην άνοδο, προσβάλλει χημικώς τό μέταλλο τής άνόδου καί έτσι ένα ένα τά άτομα τής άνόδου μεταφέρονται στην κάθοδο.

**γ. Γαλβανοπλαστική.** Μέ τή γαλβανοπλαστική αναπαράγουμε διάφορα αντικείμενα (π.χ. νομίσματα, μέταλλια, προτομές κ.ά.). Γι' αυτόν τό σκοπό πρώτα παίρνουμε πάνω σε θερμή γουταπέρκα τή μήτρα, δηλαδή τό ακριβές άποτύπωμα τού αντικειμένου. Έπειτα σκεπάζουμε τήν επιφάνεια τής μήτρας μέ γραφίτη, για νά γίνει άγωγός, καί τή χρησιμοποιούμε ως κάθοδο. Πάνω σ' αυτή σχηματίζεται ένα στρώμα μετάλλου, όπως συμβαίνει καί κατά τήν επιμετάλλωση. Η γαλβανοπλαστική έχει πολλές εφαρμογές (π.χ. στην τσιγκογραφία, στην βιομηχανία δίσκων γραμμοφώνου κ.ά.).

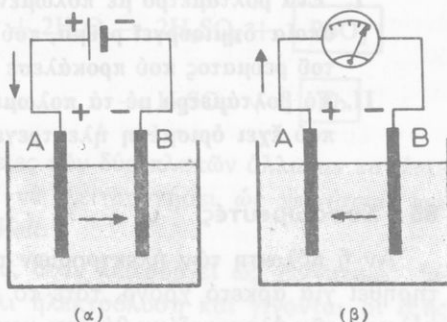
**δ. Χημική βιομηχανία.** Η χημική βιομηχανία εφαρμόζει τήν ήλεκτρόλυση σε πολλές περιπτώσεις, π.χ. μέ τήν ήλεκτρόλυση παρασκευάζονται εύκολα οι μεγάλες ποσότητες καθαρού *ύδρογόνου* καί *όξυγόνου* πού χρειάζεται ή σύγχρονη χημική βιομηχανία.

## 84. Πόλωση τών ήλεκτροδίων βολταμέτρου

Μέσα σε ένα βολτάμετρο υπάρχει διάλυμα θεικού όξεος καί τά δύο ήλεκτρόδια είναι από λευκόχρυσο. Μέ ένα βολτόμετρο βρίσκουμε ότι ή διαφορά δυναμικού μεταξύ τών δύο ήλεκτροδίων είναι *ίση μέ μηδέν*. Γενικά δύο ίδια ήλεκτρόδια, πού είναι βυθισμένα μέσα στον ίδιο ήλεκτρολύτη, δέν *παρουσιάζουν* διαφορά δυναμικού.

**α. Πόλωση τών ήλεκτροδίων.** Έχουμε τό βολτάμετρο μέ τό διάλυμα τού θεικού όξεος καί τά δύο ήλεκτρόδια από λευκόχρυσο (σχ. 104 α). Όταν συνδέσουμε τό βολτάμετρο μέ γεννήτρια, συμβαίνει ήλεκτρόλυση. Από τήν άνοδο (Α) φεύγει όξυγόνο καί από τήν κάθοδο (Κ) φεύγει ύδρογόνο. Μέρος όμως από αυτά τά άέρια μένει

πάνω στα ηλεκτρόδια και έτσι γύρω από κάθε ηλεκτρόδιο σχηματίζεται ένα λεπτό στρώμα αερίου. Ωστε η ηλεκτρόλυση προκαλεί *αλλαγή των ηλεκτροδίων*, ή οποία ονομάζεται *πόλωση των ηλεκτροδίων*. Τό βολτάμετρο είναι *αποδέκτης*, πού μετατρέπει τήν ηλεκτρική ενέργεια σέ χημική ενέργεια και έχει *όρισμένη αντηλεκτρεγερτική δύναμη*. Άρα



Σχ. 104. Πειραματική απόδειξη τής πολώσεως των ηλεκτροδίων του βολτάμετρου

Σέ ένα βολτάμετρο, πού στήν *άρχή* τά ηλεκτρόδιά του είναι *ίδια*, ή *ηλεκτρόλυση* προκαλεί *αλλαγές* στά *ηλεκτρόδια* (*πόλωση των ηλεκτροδίων*).

**Παρατήρηση.** Πρίν γίνει ηλεκτρόλυση, *υπάρχει συμμετρία* στίς *επαφές* των ηλεκτροδίων μέ τόν *ηλεκτρολύτη*, γιατί είναι

Pt — ηλεκτρολύτης — Pt

Κατά τήν *ηλεκτρόλυση* συμβαίνει *πόλωση* των *ηλεκτροδίων*, πού δημιουργεί *ασυμμετρία* στίς *επαφές* των *ηλεκτροδίων* μέ τόν *ηλεκτρολύτη*, γιατί είναι

Pt	—	ηλεκτρολύτης	—	Pt
σκεπασμένος μέ <i>όξυγόνο</i> (ηλεκτρόδιο A)				σκεπασμένος μέ <i>ύδρογόνο</i> (ηλεκτρόδιο B)

**β. Βολτάμετρο μέ πολωμένα ηλεκτρόδια.** Άφαιρούμε τή *γεννήτρια* από τό *προηγούμενο κύκλωμα* και *κλείνουμε* τό *κύκλωμα* (σχ. 104 β). Τότε τό *κύκλωμα διαρρέεται* από *ρεύμα*, πού *έχει φορά αντίθετη* μέ τή *φορά* του *ρεύματος* πού *προκάλεσε* τήν *ηλεκτρόλυση*. Αυτό τό *ρεύμα* *διαρκεί* λίγο *χρόνο* και *προκαλεί* νέα *ηλεκτρόλυση*, ή *όποια* *έξαφανίζει* τήν *πόλωση* των *ηλεκτροδίων* (γιατί στό *ηλεκτρόδιο A* *σχηματίζεται* τώρα *ύδρογόνο*, ενώ στό *ηλεκτρόδιο B* *σχηματίζεται* *όξυγόνο*). Έτσι τά *δύο ηλεκτρόδια* *παίρνουν* *πάλι* τήν *άρχική μορφή* τους (*καθαρός λευκόχρυσος*) και τότε τό *ρεύμα* *διακόπτεται*. Ωστε

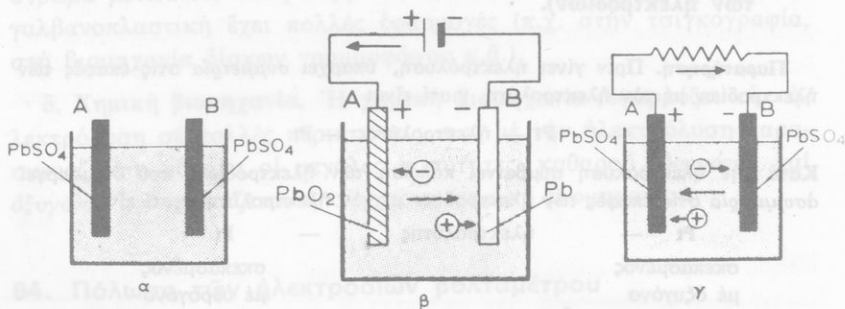


- I. Ένα βολτάμετρο με πολωμένα ηλεκτρόδια είναι γεννήτρια, η οποία δημιουργεί ρεύμα, που έχει φορά αντίθετη με τη φορά του ρεύματος που προκάλεσε την πόλωση των ηλεκτροδίων.
- II. Το βολτάμετρο με τα πολωμένα ηλεκτρόδια είναι γεννήτρια, που έχει ορισμένη ηλεκτρεγερτική δύναμη.

## 85. Συσσωρευτές

Αν η πόλωση των ηλεκτροδίων του βολταμέτρου μπορεί να διατηρηθεί για αρκετό χρόνο, τότε το ρεύμα που προέρχεται από την πόλωση των ηλεκτροδίων θα έχει μεγάλη διάρκεια. Σ' αυτή την αρχή στηρίζεται η λειτουργία των *συσσωρευτών* που αποτελούν έναν πολύ εύχρηστο τύπο γεννητριών. Στην πράξη χρησιμοποιούνται κυρίως οι *συσσωρευτές μολύβδου* και οι *αλκαλικοί συσσωρευτές*.

α. Συσσωρευτές μολύβδου. Αυτοί έχουν ως ηλεκτρολύτη διάλυμα θειικού οξέος και ως ηλεκτρόδια δύο πλάκες μολύβδου, οι οποίες



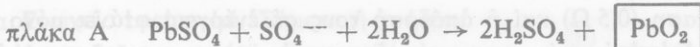
Σχ. 105. Συσσωρευτής (α πριν από τη φόρτιση, β φόρτιση, γ εκφόρτιση)

μόλις βυθιστούν μέσα στο διάλυμα καλύπτονται με ένα στρώμα *θειικού μολύβδου*,  $PbSO_4$  (σχ. 105).

**Φόρτιση.** Κατά την ηλεκτρόλυση ο συσσωρευτής *φορτίζεται*, δηλαδή συμβαίνει αλλαγή στην επιφάνεια των δύο ηλεκτροδίων. Τότε γίνονται οι εξής χημικές αντιδράσεις <sup>(1)</sup>

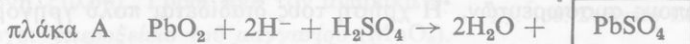
<sup>(1)</sup> Οι χημικές αντιδράσεις που συμβαίνουν κατά τη φόρτιση και την εκφόρτιση του συσσωρευτή είναι πολύπλοκες, και γι' αυτό απλώς επισημαίνουμε την αλλαγή που συμβαίνει στα ηλεκτρόδια.





Παρατηρούμε ότι οι επιφάνειες των δύο πλακών άλλαξαν και έπομένως ο συσσωρευτής μπορεί να λειτουργήσει ως γεννήτρια, που έχει ηλεκτρεγερτική δύναμη 2 Volt.

*Εκφόρτιση.* Ο συσσωρευτής, όταν λειτουργεί ως γεννήτρια, εκφορτίζεται. Τότε συμβαίνει πάλι ηλεκτρόλυση και γίνονται οι εξής χημικές αντιδράσεις



Παρατηρούμε ότι κατά την εκφόρτιση καταστρέφεται ή πόλωση των ηλεκτροδίων και οι επιφάνειές τους γίνονται ίδιες. Ο συσσωρευτής παύει τότε να λειτουργεί ως γεννήτρια και πρέπει να γίνει πάλι ηλεκτρόλυση, για να πολωθούν τα ηλεκτρόδια.

Όνομάζεται *χωρητικότητα* του συσσωρευτή τό ηλεκτρικό φορτίο σε άμπερώρια (Ah) που δίνει ο συσσωρευτής, όταν γίνει τέλεια εκφόρτισή του. Η χωρητικότητα του συσσωρευτή εξαρτάται από τη μάζα των ηλεκτροδίων που μετέχει στις χημικές αντιδράσεις. Για να αυξηθεί αυτή η μάζα, οι πλάκες έχουν κοιλότητες και μέσα σ' αυτές συμπιέζουμε κατάλληλα οξείδια του μολύβδου. Οι συσσωρευτές μας δίνουν ως ωφέλιμη ηλεκτρική ενέργεια τά 70 ως 80% της ηλεκτρικής ενέργειας που ξοδεύουμε για τή φόρτισή τους.

β. Άλκαλικοί συσσωρευτές. Αυτοί έχουν ως ηλεκτρολύτη διάλυμα καυστικού καλίου (KOH). Τό ένα ηλεκτρόδιο (τό θετικό) αποτελείται από υδροξείδιο του νικελίου, Ni(OH)<sub>2</sub>, ενώ τό άλλο (τό αρνητικό) αποτελείται από υδροξείδιο του καδμίου Cd(OH)<sub>2</sub>. Οι άλκαλικοί συσσωρευτές έχουν τό πλεονέκτημα ότι είναι ελαφρότεροι και ανθεκτικότεροι από τούς συσσωρευτές μολύβδου, έχουν μεγάλη χωρητικότητα και μπορούν να μείνουν αφόρτιστοι χωρίς να καταστραφούν. Είναι όμως ακριβότεροι από τούς συσσωρευτές μολύβδου, έχουν μικρότερη ηλεκτρεγερτική δύναμη (1,3 V), μεγάλη έσωτερική

αντίσταση ( $0,5 \Omega$ ) και η απόδοσή τους σε ενέργεια φτάνει μόνο σε 50%. Γι' αυτό στις πρακτικές εφαρμογές χρησιμοποιούμε κυρίως τους συσσωρευτές μολύβδου.

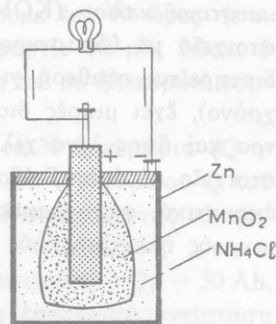
γ. Συσσωρευτές άργυρου. Αυτοί αποτελούν ένα νέο τύπο αλκαλικών συσσωρευτών, που ως ηλεκτρολύτη έχουν αλκαλικό διάλυμα, και όταν είναι φορτισμένοι, τό θετικό ηλεκτρόδιο αποτελείται από υπεροξείδιο άργύρου  $Ag_2O_2$ , ενώ τό άρνητικό ηλεκτρόδιο αποτελείται από ψευδάργυρο  $Zn$ . Οί συσσωρευτές άργύρου έχουν μεγάλη απόδοση σε ενέργεια που φτάνει σε 85%, είναι ελαφροί και για τήν ίδια μάζα αποταμιεύουν 6 φορές μεγαλύτερη ενέργεια από τούς άλλους τύπους συσσωρευτών. Η χρήση τους διαδίδεται πολύ γρήγορα.

δ. Έφαρμογές τών συσσωρευτών. Αν συνδέσουμε πολλούς συσσωρευτές κατά σειρά, σχηματίζουμε συστοιχία συσσωρευτών (μπαταρία). Τέτοιες συστοιχίες συσσωρευτών χρησιμοποιούνται σε αυτοκίνητα και πλοία για τό φωτισμό και για τή λειτουργία τών κινητήρων, στά όρυχεία για τή λειτουργία φορητών ηλεκτρικών λαμπτήρων, στά ύποβρύχια για τήν κίνησή τους, όταν είναι βυθισμένα μέσα στη θάλασσα. Σε μερικές περιπτώσεις (π.χ. για άκουστικά βαρυκοίας) χρησιμοποιούνται οί ελαφροί και στεγανοί συσσωρευτές νικελίου-καδμίου. Στά έργοστάσια ηλεκτροπαραγωγής ύπάρχουν συστοιχίες συσσωρευτών, οί όποιες αποταμιεύουν τήν ηλεκτρική ενέργεια που περισσεύει κατά τίσ ώρες που ή ζήτηση είναι έλαττωμένη και τή δίνουν στό κύκλωμα κατά τίσ ώρες που ή ζήτηση είναι μεγάλη (ώρες αιχμής).

## 86. Ηλεκτρικά στοιχεία

Στό φορτισμένο συσσωρευτή δύο διαφορετικά ηλεκτρόδια είναι βυθισμένα μέσα στόν ίδιο ηλεκτρολύτη. Τότε ή διάταξη αυτή είναι γεννήτρια μέ όρισμένη ηλεκτρεγερτική δύναμη, που είναι ανεξάρτητη από τίσ διαστάσεις τής συσκευής και έξαρτάται μόνο από τή φύση τών δύο ηλεκτροδίων και του ηλεκτρολύτη. Σ' αυτή τήν άρχή στηρίζεται ή λειτουργία τών ηλεκτρικών στοιχείων, που αποτελούν τό άρχαιότερο είδος γεννητριών. Γενικά τά ηλεκτρικά στοιχεία μετατρέπουν άμέσως τή χημική ενέργεια σε ηλεκτρική ενέργεια.

α. Στοιχείο Leclanché. Σήμερα ή χρήση των ηλεκτρικών στοιχείων είναι πολύ περιορισμένη και χρησιμοποιείται κυρίως τό στοιχείο *Leclanché* (σχ. 106). Στο στοιχείο αυτό θετικό ηλεκτρόδιο είναι μιά ράβδος από άνθρακα (C), αρνητικό ηλεκτρόδιο είναι ένας κύλινδρος από ψευδάργυρο (Zn) και ηλεκτρολύτης είναι ύδατικό διάλυμα χλωριούχου άμμωνίου (NH<sub>4</sub>Cl), πού έχει διαποτίσει κατάλληλη ούσία (συνήθως σκόνη ξύλου). Γύρω από τόν άνθρακα ύπάρχει ύπεροξειδίο του μαγγανίου (MnO<sub>2</sub>).



Σχ. 106. Στοιχείο Leclanché

Στό έξωτερικό κύκλωμα τό ρεύμα έχει (συμβατική) φορά από τόν άνθρακα (+ πόλος) πρós τόν ψευδάργυρο (-πόλος) και μέσα στό στοιχείο έχει φορά από τόν ψευδάργυρο πρós τόν άνθρακα.

Άρχικά στό διάλυμα ύπάρχουν ίοντα άμμωνίου NH<sub>4</sub><sup>+</sup> και ίοντα χλωρίου Cl<sup>-</sup>. Κατά τή λειτουργία του στοιχείου τά ίοντα χλωρίου Cl<sup>-</sup> έρχονται στόν ψευδάργυρο και σχηματίζεται χλωριούχος ψευδάργυρος (ZnCl<sub>2</sub>), ενώ τά ίοντα άμμωνίου NH<sub>4</sub><sup>+</sup> έρχονται στόν άνθρακα, όπου τελικά σχηματίζεται άμμωνία (NH<sub>3</sub>) πού διαλύεται στό νερό του διαλύματος και ύδρογόνο (H<sub>2</sub>) πού καίγεται μέ τό όξυγόνο του ύπεροξειδίου του μαγγανίου (MnO<sub>2</sub>).

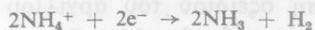
Τό στοιχείο Leclanché έχει ήλεκτρεγερτική δύναμη 1,5 Volt και είναι πολύ εύχρηστο, γιατί δέν έχει ύγρά (ξηρό στοιχείο).

\*Παρατήρηση. Κατά τή λειτουργία του στοιχείου Leclanché συμβαίνουν όί έξής χημικές αντιδράσεις

στόν ψευδάργυρο (άνοδος γιά τό ρεύμα μέσα στό στοιχείο)



στόν άνθρακα (κάθοδος γιά τό ρεύμα μέσα στό στοιχείο)



β. Στοιχείο μέ ύδράργυρο. Τά τελευταία χρόνια (από τό 1950) χρησιμοποιούμε σε πολλές περιπτώσεις ένα νέο στοιχείο, τό στοιχείο μέ ύδράργυρο. Αυτό έχει θετικό πόλο όξειδίο του ύδραργύρου (HgO), αρνητικό πόλο άμάλγαμα ψευδαργύρου και ήλεκτρολύτη διάλυμα

καυστικού καλίου (ΚΟΗ) πού έχει διαποτίσει κατάλληλη ουσία. Τό στοιχείο μέ υδράργυρο έχει ηλεκτρεγερτική δύναμη 1,4 Volt, πού διατηρείται σταθερή γιά μεγάλο χρονικό διάστημα (πάνω από ένα χρόνο), έχει μικρές διαστάσεις (διάμετρο περίπου ένα εκατοστόμετρο καί ύψος λίγα χιλιοστόμετρα), καί πολύ μικρό βάρος. Μέ τό στοιχείο αυτό εφοδιάζουμε σήμερα διάφορες μικρές συσκευές, π.χ. ακουστικά, φωτογραφικές μηχανές, ηλεκτρικά ρολόγια τοῦ χεριού, μικρούς ηλεκτρονικούς υπολογιστές κ.ἄ.

## ΠΡΟΒΛΗΜΑΤΑ

101. Ἀπό ένα βολτάμετρο πού περιέχει διάλυμα ὀξέος περνάει ρεύμα ἐντάσεως  $I = 10 \text{ A}$ . Ἐπί πόσο χρόνο  $t$  πρέπει νά περάσει τό ρεύμα, γιά νά λάβουμε στήν κάθοδο μάζα υδρογόνου ἴση μέ  $m = 0,2 \text{ gr}$ ; Ἀτομική μάζα  $A = 1$ , σθένος  $n = 1$ .

102. Ἀπό ένα βολτάμετρο πού περιέχει διάλυμα νιτρικοῦ ἀργύρου περνάει ἐπί 5 ὥρες ( $t = 5 \text{ h}$ ) ρεύμα ἐντάσεως  $I$ . Στήν κάθοδο συλλέγεται μάζα ἀργύρου ἴση μέ  $m = 16,2 \text{ gr}$ . Πόση εἶναι ἡ ἐνταση τοῦ ρεύματος; Ἀτομική μάζα  $\text{Ag}$   $A = 108$ , σθένος  $n = 1$ .

103. Μιά σιδερένια πλάκα, πού ἡ ἐπιφάνειά της έχει ἐμβαδό  $S = 100 \text{ cm}^2$ , θέλουμε νά τήν ἐπικαλύψουμε ηλεκτρολυτικά μέ ένα στρώμα ἀπό χαλκό πού νά έχει πάχος  $a = 2 \text{ mm}$ . Τό ρεύμα έχει ἐνταση  $I = 5 \text{ A}$ . Πόσο χρόνο  $t$  θά διαρκέσει ἡ ηλεκτρόλυση; Ἀτομική μάζα  $\text{Cu}$   $A = 63,6$ , σθένος  $n = 2$ , πυκνότητα  $\rho = 8,8 \text{ gr/cm}^3$ .

104. Ἀπό μιά ηλεκτρόλυση συλλέγουμε στήν κάθοδο μάζα χαλκοῦ ἴση μέ  $m = 128 \text{ gr}$ . Πόση ηλεκτρική ἐνέργεια ξοδεύεται, ὅταν ἡ ηλεκτρόλυση γίνεται μέ τάση  $U_1 = 2 \text{ V}$  καί ὅταν γίνεται μέ τάση  $U_2 = 10 \text{ V}$ ; Πόσος εἶναι ὁ λόγος αὐτῶν τῶν δύο ἐνεργειῶν  $E_1$  καί  $E_2$ ; Σέ ποιά περίπτωση ξοδεύεται λιγότερη ἐνέργεια;  $A = 64$ ,  $n = 2$ .

105. Σέ μιά ηλεκτρόλυση ὀξειδίου τοῦ ἀργιλίου στήν κάθοδο συλλέγεται κάθε ὥρα ( $t = 1 \text{ h}$ ) μάζα ἀργιλίου ἴση μέ  $m = 6700 \text{ gr}$ . Στούς πόλους τοῦ βολταμέτρου ἐφαρμόζεται τάση  $U = 5 \text{ V}$  καί ἡ ἀντιηλεκτρεγερτική δύναμη τοῦ βολταμέτρου εἶναι  $E' = 2,8 \text{ V}$ . α) Πόση ἰσχύς μετατρέπεται μέσα στό βολτάμετρο σέ θερμότητα καί πόση σέ χημική ἰσχύ. β) Πόση ἰσχύς ξοδεύεται, γιά νά ἐλευθερωθεῖ  $1 \text{ gr}$  ἀργιλίου; Ἀτομική μάζα  $\text{Al}$   $A = 27$ , σθένος  $n = 3$ .

106. Μέ ρεύμα έντάσεως  $I = 3 \text{ A}$  φορτίζουμε επί 10 ώρες ( $t = 10 \text{ h}$ ) ένα συσσωρευτή. Πόσο ηλεκτρικό φορτίο θά μᾶς δώσει ο συσσωρευτής, όταν εκφορτιστεί, ἂν ἡ ἀπόδοσή του σέ ηλεκτρικό φορτίο εἶναι 90%;

107. Ἐνας συσσωρευτής ἔχει χωρητικότητα 30 ἀμπερώρια ( $Q = 30 \text{ Ah}$ ) καί λειτουργεῖ ὥσπου νά δώσει τά  $2/3$  τοῦ φορτίου  $Q$  πού ἔχει ἀποταμιεύσει. Πόσες ὥρες μπορεῖ αὐτός ὁ συσσωρευτής νά τροφοδοτήσει ἕνα λαμπτήρα μέ ρεύμα έντάσεως  $I = 0,5 \text{ A}$ ;

108. Μιά συστοιχία συσσωρευτῶν ἔχει χωρητικότητα  $Q_0 = 50 \text{ Ah}$ , ηλεκτρεγερτική δύναμη  $E = 80 \text{ V}$ , ἀσήμαντη ἐσωτερική ἀντίσταση καί τροφοδοτεῖ 10 λαμπτήρες πυρακτώσεως, πού συνδέονται παράλληλα καί ὁ καθένας ἔχει ἰσχύ καταναλώσεως  $P_1 = 25 \text{ W}$ . Οἱ ἄλλοι ἄγωγοί τοῦ κυκλώματος ἔχουν ἀσήμαντη ἀντίσταση. α) Πόση πρέπει νά εἶναι ἡ ἀντίσταση κάθε λαμπτήρα καί πόση εἶναι ἡ ένταση  $I_1$  τοῦ ρεύματος πού περνάει ἀπό κάθε λαμπτήρα; β) Πόσες ὥρες μπορεῖ ἡ συστοιχία νά τροφοδοτήσει ταυτόχρονα τούς 10 λαμπτήρες, ἂν ἡ ἀπόδοσή της σέ ηλεκτρικό φορτίο εἶναι 85%; Πόση ἐνέργεια δίνει ἡ συστοιχία στό κύκλωμα;

109. Πόσο εἶναι σέ ἀμπερώρια τό μέγιστο ηλεκτρικό φορτίο πού μπορεῖ νά δώσει ἕνα στοιχεῖο Leclanché, ἂν κατά τή λειτουργία τοῦ στοιχείου χρησιμοποιηθεῖ ὅλη ἡ μάζα τοῦ ψευδαργύρου  $m = 200 \text{ gr}$ ; Ἀτομική μάζα  $Zn$   $A = 65$ , σθένος  $n = 2$ .

110. Τρία στοιχεῖα Leclanché συνδέονται κατά σειρά. Ἡ συστοιχία δίνει σέ ἕνα κύκλωμα ρεύμα έντάσεως  $I = 2 \text{ A}$  ἐπί 25 ὥρες ( $t = 25 \text{ h}$ ). Πόση μάζα ψευδαργύρου ξοδεύεται σ' αὐτό τό χρονικό διάστημα; Ἀτομική μάζα  $Zn$   $A = 65$ , σθένος  $n = 2$ .

# ὈΠΤΙΚΉ

## Γεωμετρικὴ Ὀπτικὴ

### ΔΙΑΔΟΣΗ ΤΟΥ ΦΩΤΟΣ

#### 87. Ὅρισμοί

Ὀνομάζουμε *φῶς* τὸ φυσικὸ αἶτιο πού διεγείρει τὸ μάτι μας καὶ τὸ κάνει νὰ βλέπουμε. Τὸ πείραμα ἀπέδειξε ὅτι τὸ φῶς εἶναι μιὰ *μορφή ἐνέργειας*, πού διαδίδεται μὲ τὰ ἠλεκτρομαγνητικὰ κύματα.

Ἐνα σῶμα εἶναι ὁρατό, ὅταν στέλνει φῶς στοῦ μάτι μας. Μερικὰ σῶματα ἐκπέμπουν ἀπὸ μόνα τους φῶς καὶ ὀνομάζονται *αὐτόφωτα σῶματα* ἢ *φωτεινὲς πηγές* (Ἥλιος, ἀπλανεῖς ἀστέρες, φλόγες). Ἐνα σῶμα, πού δὲν εἶναι αὐτόφωτο, γίνεται ὁρατό μόνο ὅταν πέφτει πάνω του τὸ φῶς μιᾶς φωτεινῆς πηγῆς καὶ ἓνα μέρος αὐτοῦ τοῦ φωτός ἐκπέμπεται ἀπὸ τὸ σῶμα. Αὐτὰ τὰ σῶματα ὀνομάζονται *ἐτερόφωτα σῶματα* (Σελήνη, πλανῆτες, τὰ περισσότερα ἀπὸ τὰ γύρω μας σῶματα). Τὸ φῶς, πού ἐκπέμπουν οἱ διάφορες φωτεινὲς πηγές (φυσικὲς καὶ τεχνητές), ἔχει τὴν ἴδια φύση καὶ ἀκολουθεῖ τοὺς ἴδιους νόμους. Ὀνομάζουμε *διαφανή σῶματα* ἐκεῖνα πού ἀφήνουν τὸ φῶς νὰ περάσει μέσα ἀπὸ τὴν ὕλη τους (γυαλί, ἀέρας, νερό σὲ μικρὸ πάχος). Ἀντίθετα πολλὰ σῶματα δὲν ἀφήνουν τὸ φῶς νὰ περάσει μέσα ἀπὸ τὴν ὕλη τους καὶ ὀνομάζονται *ἀδιαφανή* (πλάκα ἀπὸ μέταλλο, ξύλο κ.ἄ.). Μερικὰ ἄλλα σῶματα (ὀρισμένα εἶδη γυαλιοῦ), πού τὰ ὀνομάζουμε *ἡμιδιαφανή*, ἀφήνουν τὸ φῶς νὰ περάσει, ἀλλὰ δὲν ἐπιτρέπουν νὰ διακρίνεται τὸ σχῆμα τῶν φωτεινῶν ἀντικειμένων. Ἡ διάκριση τῶν σωμάτων σὲ διαφανή, ἀδιαφανή καὶ ἡμιδιαφανή δὲν εἶναι ἀπόλυτη, γιατί π.χ. τὸ νερό, ὅταν σχηματίζει παχὺ στρώμα, εἶναι ἀδιαφανές, ἐνῶ ἀντίθετα, ἓνα πολὺ λεπτὸ φύλλο χρυσοῦ εἶναι ἡμιδιαφανές.

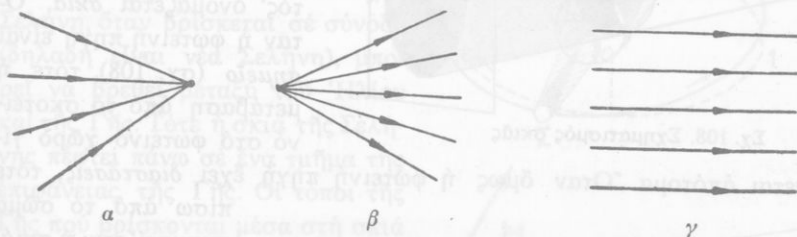
Ὅλες οἱ συνηθισμένες φωτεινὲς πηγές ἔχουν διαστάσεις, σὲ πολ-  
λές ὁμως περιπτώσεις δεχόμεστε ὅτι ἡ φωτεινὴ πηγὴ δὲν ἔχει διαστά-  
σεις καὶ τότε λέμε ὅτι ἡ φωτεινὴ πηγὴ εἶναι *φωτεινὸ σημεῖο*, πού ἐκ-  
πέμπει φῶς πρὸς ὅλες τὶς διευθύνσεις.

## 88. Ευθύγραμμη διάδοση του φωτός

Ἀπό διάφορα φαινόμενα τῆς καθημερινῆς ζωῆς (π.χ. τὸ σχηματισμὸ τῆς σκιάς ἑνὸς σώματος), κυρίως ὁμως ἀπὸ τὴ μελέτη τῶν ὀπτικῶν φαινομένων συνάγεται ὁ ἀκόλουθος νόμος τῆς *εὐθύγραμμης διαδόσεως τοῦ φωτός*:

**Μέσα σὲ ὁμογενὲς καὶ ἰσότροπο μέσο τὸ φῶς διαδίδεται εὐθύγραμμα.**

α. Φωτεινὴ ἀκτίνα, φωτεινὲς δέσμες. Ἡ εὐθεῖα γραμμὴ πού ἀκολουθεῖ τὸ φῶς κατὰ τὴ διάδοσή του ὀνομάζεται *φωτεινὴ ἀκτίνα*. Οἱ φωτεινὲς ἀκτίνες ξεφεύγουν ἀπὸ τῆ φωτεινῆ πηγῆ ὁμοίμορφα πρὸς



Σχ. 107. Φωτεινὲς δέσμες (α συγκλίνουσα, β ἀποκλίνουσα, γ παράλληλη)

ὅλες τὶς κατευθύνσεις. Πολλὲς φωτεινὲς ἀκτίνες ἀποτελοῦν μιά *φωτεινὴ δέσμη*. Ἄν ὅλες οἱ ἀκτίνες μιᾶς φωτεινῆς δέσμης περνοῦν ἀπὸ ἓνα σημεῖο, τότε ἡ δέσμη ὀνομάζεται *στιγματικὴ* καὶ τὸ θεωρούμενο σημεῖο ὀνομάζεται *ἐστία* τῆς δέσμης. Μιά φωτεινὴ δέσμη μπορεῖ νὰ εἶναι *συγκλίνουσα*, *ἀποκλίνουσα* ἢ *παράλληλη* (σχ. 107).

## 89. Γεωμετρικὴ καὶ Φυσικὴ Ὀπτικὴ

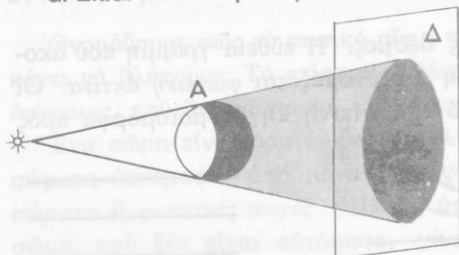
Ὄνομάζεται Ὀπτικὴ τὸ μέρος τῆς Φυσικῆς πού ἐξετάζει τὶς ιδιότητες τοῦ φωτός καὶ τὰ φαινόμενα πού προκαλεῖ τὸ φῶς (*ὀπτικὰ φαινόμενα*). Πολλὰ ὀπτικὰ φαινόμενα μποροῦμε νὰ τὰ ἐξετάσουμε χωρὶς νὰ λάβουμε ὑπόψη τῆ *φύση* τοῦ φωτός. Σ' αὐτὰ τὰ φαινόμενα οἱ φωτεινὲς ἀκτίνες θεωροῦνται ὡς γεωμετρικὲς ἀκτίνες καὶ ἰσχύει ὁ νόμος τῆς *εὐθύγραμμης διαδόσεως τοῦ φωτός*. Αὐτὸς ὁ τρόπος μελέτης τῶν



ὀπτικῶν φαινομένων ἀποτελεῖ τὴ *Γεωμετρικὴ Ὀπτική*. Ὑπάρχουν ὁμως καὶ ὀπτικά φαινόμενα πού, γιὰ νὰ τὰ ἐξηγήσουμε, πρέπει νὰ λάβουμε ὑπόψη ὅτι τὸ φῶς διαδίδεται μὲ κύματα. Αὐτός ὁ τρόπος μελέτης τῶν ὀπτικῶν φαινομένων ἀποτελεῖ τὴ *Φυσικὴ ἢ Κυματικὴ Ὀπτική* καὶ ἐρμηνεύει τὸ σύνολο τῶν ὀπτικῶν φαινομένων.

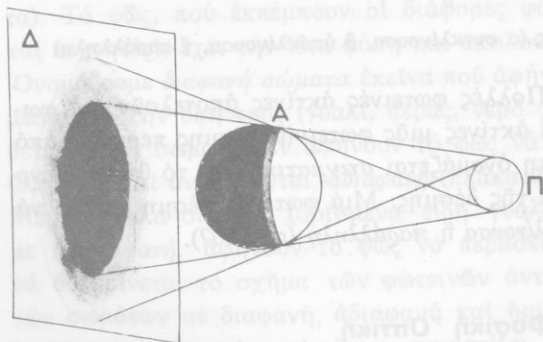
## 90. Ἀποτελέσματα τῆς εὐθύγραμμης διαδόσεως τοῦ φωτός

α. Σκιά. Ἄν στὴν πορεία τῶν φωτεινῶν ἀκτίνων βρεθεῖ ἓνα ἀδιαφανές σῶμα, τότε πίσω ἀπὸ τὸ σῶμα ὑπάρχει ἓνας χῶρος, στὸν ὁποῖο δὲν μπαίνει φῶς. Ὁ χῶρος αὐτός ὀνομάζεται *σκιά*. Ὅταν ἡ φωτεινὴ πηγὴ εἶναι *σημεῖο* (σχ. 108), τότε ἡ μετάβαση ἀπὸ τὸ σκοτεινὸ στὸ φωτεινὸ χῶρο γί-



Σχ. 108. Σχηματισμός σκιάς

νεται ἀπότομα. Ὅταν ὁμως ἡ φωτεινὴ πηγὴ ἔχει *διαστάσεις*, τότε



Σχ. 109. Σκιά καὶ παρασκιά

(σχ. 109). Σ' αὐτὴ τὴν περίπτωση ἡ μετάβαση ἀπὸ τὸ σκοτεινὸ στὸ φωτεινὸ χῶρο γίνεται *βαθμιαῖα*.

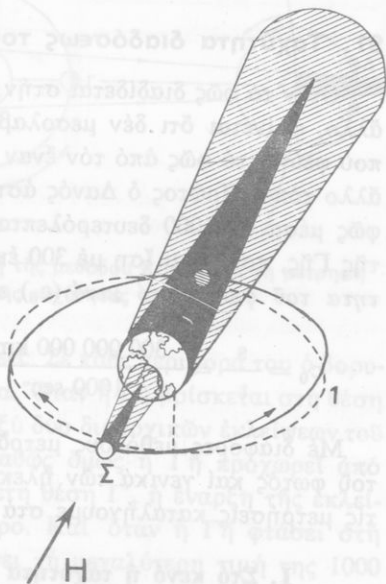
β. Ἐκλείψεις τῆς Σελήνης καὶ τοῦ Ἡλίου. Οἱ *ἐκλείψεις τῆς Σελήνης* ὀφείλονται στὴ σκιά πού σχηματίζεται πίσω ἀπὸ τὴ Γῆ (σχ.



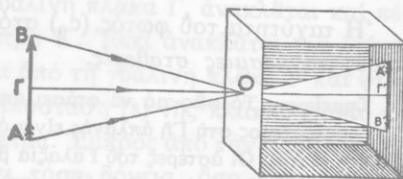
110). Σέ ὀρισμένες περιπτώσεις, ὅταν ἡ Σελήνη βρῖσκεται σέ ἀντίθεση (δηλαδή εἶναι πανσέληνος), ὀλόκληρη ἢ μέρος της μπαίνει μέσα στή σκιά τῆς Γῆς καί δέ φωτίζεται ἀπό τόν Ἥλιο. Τότε ὀλόκληρος ὁ δίσκος τῆς Σελήνης ἢ μέρος του γίνεται ἀόρατος γιά τούς κατοίκους τῆς Γῆς πού βρίσκονται στό σκοτεινό ἡμισφαίριο τῆς Γῆς.

Οἱ ἐκλείψεις τοῦ Ἡλίου ὀφείλονται στή σκιά, πού σχηματίζεται πίσω ἀπό τή Σελήνη (σχ. 110). Σέ ὀρισμένες πάλι περιπτώσεις, ἡ Σελήνη, ὅταν βρῖσκεται σέ σύνοδο (δηλαδή εἶναι νέα Σελήνη), μπορεῖ νά βρεθεῖ μεταξύ τοῦ Ἡλίου καί τῆς Γῆς. Τότε ἡ σκιά τῆς Σελήνης πέφτει πάνω σέ ἕνα τμήμα τῆς ἐπιφάνειας τῆς Γῆς. Οἱ τόποι τῆς Γῆς πού βρίσκονται μέσα στή σκιά τῆς Σελήνης ἔχουν ὀλική ἐκλείψη Ἡλίου, ἐνῶ οἱ τόποι πού εἶναι μέσα στήν παρασκιά τῆς Σελήνης ἔχουν μερικὴ ἐκλείψη καί ἐπομένως ἕνα τμήμα τοῦ δίσκου τοῦ Ἡλίου ἐξακολουθεῖ νά εἶναι ὀρατό.

γ. Σκοτεινός θάλαμος. Ὁ σκοτεινός θάλαμος εἶναι κλειστό κιβώτιο, πού στή μιὰ ἕδρα του ὑπάρχει μικρὴ τρύπα Ο (σχ. 111). Ἄν ἐμπρός ἀπό αὐτή τήν ἕδρα φέρουμε ἕνα φωτεινὸ ἀντικείμενο (ΑΒ), τότε πάνω στήν ἀπέναντι ἕδρα σχηματίζεται ἀντιστραμμένη ἢ εἰκόνα (Α'Β') τοῦ ἀντικειμένου. Ἡ εἰκόνα αὐτὴ ὀνομάζεται εἰδῶλο καί ὀφείλεται στήν εὐθύγραμμη διάδοση τοῦ φωτός. Τό μέγεθος τοῦ εἰδῶλου προσδιορίζεται ἀπό τή σχέση



Σχ. 110. Ἐξήγηση τῶν ἐκλείψεων τοῦ Ἡλίου καί τῆς Σελήνης (1 ἐκλειπτική, 2 τροχιά τῆς Σελήνης)



Σχ. 111. Σκοτεινός θάλαμος

$$\frac{(A'B')}{(AB)} = \frac{(OΓ')}{(OΓ)}$$

## 91. Ταχύτητα διαδόσεως του φωτός

Όταν τό φῶς διαδίδεται στήν ἐπιφάνεια τῆς Γῆς ἀπό ἕναν τόπο σέ ἄλλο, φαίνεται ὅτι δέν μεσολαβεῖ αἰσθητός χρόνος ἀπό τή στιγμή, πού φεύγει τό φῶς ἀπό τόν ἕναν τόπο, ὡς τή στιγμή πού φτάνει στόν ἄλλο τόπο. Πρῶτος ὁ Δανός ἀστρονόμος Rømer (1675) βρῆκε ὅτι τό φῶς μέσα σέ 1000 δευτερόλεπτα διατρέχει τή διάμετρο τῆς τροχιᾶς τῆς Γῆς, πού εἶναι ἴση μέ 300 ἑκατομμύρια χιλιόμετρα. Ἄρα ἡ ταχύτητα τοῦ φωτός στό κενό ( $c_0$ ) εἶναι

$$c_0 = \frac{s}{t} = \frac{300\,000\,000 \text{ km}}{1000 \text{ sec}} \quad \text{ἢ} \quad c_0 = 300\,000 \text{ km/sec}$$

Μέ διάφορες μεθόδους μετράμε σήμερα τήν ταχύτητα διαδόσεως τοῦ φωτός καί γενικά τῶν ἠλεκτρομαγνητικῶν κυμάτων. Ἀπό αὐτές τίς μετρήσεις καταλήγουμε στά ἀκόλουθα συμπεράσματα:

I. Στό κενό ἡ ταχύτητα τοῦ φωτός ( $c_0$ ) εἶναι 300 000 km/sec (ἢ ἀκριβέστερα 299 792 km/sec).

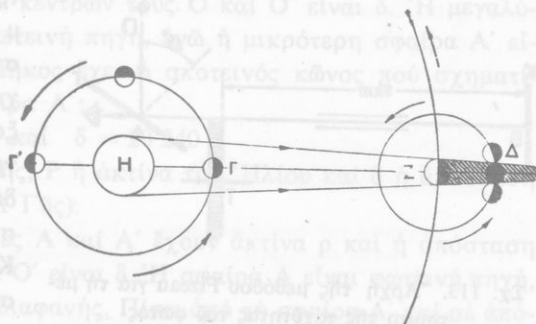
ταχύτητα φωτός στό κενό $c_0 = 3 \cdot 10^8 \text{ m/sec}$
--

- II. Στόν ἀέρα ἡ ταχύτητα τοῦ φωτός εὐλαχιστα διαφέρει ἀπό τήν ταχύτητα τοῦ φωτός στό κενό.  
 III. Στά διαφανή ὕλικά ἡ ταχύτητα τοῦ φωτός εἶναι μικρότερη ἀπό τήν ταχύτητα τοῦ φωτός στό κενό.

Ἡ ταχύτητα τοῦ φωτός ( $c_0$ ) στό κενό εἶναι μιά ἀπό τίς σπουδαιότερες παγκόσμιες σταθερές.

**Σημείωση.** Τό φῶς γιά νά φτάσει ἀπό τόν ἥλιο στή Γῆ χρειάζεται 8,5 min. Ὁ πλησιέστερος στή Γῆ ἀπλανής εἶναι ὁ α τοῦ Κενταύρου, πού ἀπέχει ἀπό τή Γῆ 4,3 ἔτη φωτός. Οἱ ἀστέρες τοῦ Γαλαξία βρίσκονται σέ ἀπόσταση 3000 - 10000 ἔτη φωτός καί οἱ ἐξω ἀπό τό Γαλαξία νεφελοειδεῖς ἀπέχουν ἀπό τή Γῆ ἑκατομμύρια ἔτη φωτός.

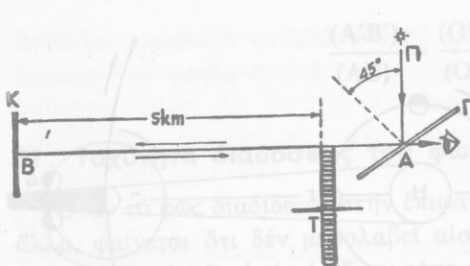
\*α. Μέτρηση τῆς ταχύτητας τοῦ φωτός. *I. Μέθοδος τοῦ Römer.* Ὁ Römer μέτρησε τὴν ταχύτητα τοῦ φωτός ἀπὸ τὶς παρατηρήσεις του σχετικά μὲ τὴν κίνηση τοῦ δορυφόρου τοῦ Δία. Ὁ χρόνος μιᾶς περιφορᾶς τοῦ δορυφόρου γύρω ἀπὸ τὸ Δία εἶναι στα-



Σχ. 112. Ἀρχὴ τῆς μεθόδου Römer γιὰ τὴν μέτρηση τῆς ταχύτητας τοῦ φωτός

θερός καὶ ἴσος μὲ  $t_{\Delta} = 42 \text{ h } 8 \text{ min } 32 \text{ sec}$ . Σὲ κάθε περιφορὰ του ὁ δορυφόρος βυθίζεται μέσα στὴ σκιά τοῦ Δία. Ὄταν ἡ Γῆ βρίσκεται στὴ θέση Γ τῆς τροχιάς της (σχ. 112), τότε μεταξύ δύο διαδοχικῶν ἐκλείψεων τοῦ δορυφόρου μεσολαβεῖ χρόνος  $t_{\Delta}$ . Καθὼς ὅμως ἡ Γῆ προχωρεῖ ἀπὸ τὴ θέση Γ πρὸς τὴ διαμετρικὰ ἀντίθετη θέση Γ', ἡ ἔναρξη τῆς ἐκλείψεως καθυστερεῖ ὄλο καὶ περισσότερο. Καὶ ὅταν ἡ Γῆ φτάσει στὴ θέση Γ', αὐτὴ ἡ καθυστέρηση παίρνει τὴ μεγαλύτερη τιμὴ τῆς 1000 δευτερόλεπτα (περίπου) καὶ ὀφείλεται στὴν ἐξῆς αἰτία: Ὄταν ἡ Γῆ βρίσκεται στὴ θέση Γ, τὸ φῶς πού ἐκπέμπει ὁ δορυφόρος Δ διατρέχει δρόμο κατὰ μιὰ διάμετρο (ΓΓ') τῆς τροχιάς τῆς Γῆς μεγαλύτερο ἀπὸ τὸ δρόμο πού διατρέχει, ὅταν ἡ Γῆ βρίσκεται στὴ θέση Γ. Ἐπειδὴ ἡ διάμετρος τῆς τροχιάς τῆς Γῆς εἶναι ἴση μὲ 300 000 000 km, συνάγεται ὅτι ἡ ταχύτητα τοῦ φωτός στὸ κενὸ εἶναι ἴση μὲ  $c_0 = 300 000 \text{ km/sec}$ . Ἡ μέτρα σὲ ἕξι μῆνες μετακίνηση τοῦ Δία πάνω στὴν τροχιά του θεωρεῖται ἀσήμαντη.

*II. Μέθοδος τοῦ Fizeau.* Ἀπὸ τὴ φωτεινὴ πηγὴ μιὰ φωτεινὴ ἀκτῖνα ΠΑ (σχ. 113) πέφτει πάνω σὲ γυάλινη πλάκα Γ, ἀνακλᾶται καὶ πέφτει κάθετα σὲ κατακόρυφο κάτοπτρο Κ. Ἐκεῖ ἀνακλᾶται γιὰ δευτέρη φορά καὶ ἐπιστρέφοντας περνάει ἀπὸ τὴ γυάλινη πλάκα Γ καὶ φτάνει στὸ μάτι τοῦ παρατηρητῆ. Ἡ ἀπόσταση (s) τῆς πλάκας Γ ἀπὸ τὸ κάτοπτρο Κ εἶναι λίγα μόνο χιλιόμετρα. Ἐμπρὸς ἀπὸ τὴν πλάκα ὑπάρχει ὀδοντωτὸς τροχὸς Τ, πού ἔχει τόσα δόντια, ὅσα εἶναι καὶ τὰ διάκενά του. Δόντια καὶ διάκενα ἔχουν τὸ ἴδιο πλάτος. Ἐστω ὅτι ὁ



Σχ. 113. Αρχή της μεθόδου Fizeau για τη μέτρηση της ταχύτητας του φωτός

τροχός έχει  $\mu$  δόντια και  $\mu$  διάκενα. Όταν ο τροχός στρέφεται ομαλά και η συχνότητά του συνεχώς αυξάνει, έρχεται κάποια στιγμή, που ο παρατηρητής δέ βλέπει τό φώς που επιστρέφει από τό κάτοπτρο K. Αυτό συμβαίνει, γιατί στή διάρκεια του χρόνου  $t$ , που τό φώς διέρξε τό διάστημα  $2s$ , ένα δόντι του τροχού μετακινήθηκε και ήρθε στή θέση του προηγούμενου διάκενου (από τό όποιο πέρασε τό φώς πηγαίνοντας προς τό κάτοπτρο K). Αν εκείνη τή στιγμή ή συχνότητα περιστροφής του τροχού είναι  $\nu$ , τότε ό χρόνος  $t$  είναι  $t = \frac{1}{\nu \cdot 2\mu}$  και επομένως ή ταχύτητα του φωτός στον άερα είναι

$$c = \frac{2s}{t} = \frac{2s}{\frac{1}{\nu \cdot 2\mu}} \quad \text{καί} \quad c = 4\nu \cdot \mu \cdot s$$

Μέ τή μέθοδο αυτή ό Fizeau βρήκε ότι ή ταχύτητα του φωτός στον άερα είναι περίπου 300 000 km/sec.

III. Άλλες μέθοδοι. Σήμερα μέσα στό εργαστήριο μπορούμε μέ διάφορες μεθόδους νά μετρήσουμε τήν ταχύτητα του φωτός στά διαφανή υλικά (άερα, νερό, γυαλί κ.ά.). Έτσι π.χ. βρήκαμε ότι ή ταχύτητα του φωτός στό νερό είναι ίση μέ τά  $3/4$  τής ταχύτητας του φωτός στον άερα.

## ΠΡΟΒΛΗΜΑΤΑ

111. Μιά φωτεινή πηγή που θεωρείται σημείο βρίσκεται σέ ύψος 5 m πάνω από τό έδαφος. Μιά κατακόρυφη ράβδος έχει μήκος 2 m και βρίσκεται σέ απόσταση 3 m από τήν κατακόρυφη που περνάει από τή φωτεινή πηγή. Πόσο είναι τό μήκος τής σκιάς τής ράβδου πάνω στό έδαφος;

112. Δύο σφαίρες A και A' έχουν αντίστοιχα άκτινες P και ρ και

ή απόσταση μεταξύ των κέντρων τους  $O$  και  $O'$  είναι  $\delta$ . Η μεγαλύτερη σφαίρα  $A$  είναι φωτεινή πηγή, ενώ ή μικρότερη σφαίρα  $A'$  είναι άδιαφανής. Πόσο μήκος έχει ό σκοτεινός κώνος πού σχηματίζεται πίσω από τή σφαίρα  $A'$ ;

Έφαρμογή:  $P = 108 \rho$  και  $\delta = 23\ 240 \rho$

( $\rho$  είναι ή άκτίνα τής  $\Gamma\etaς$ ,  $P$  ή άκτίνα του Έλίου και  $\delta$  ή απόσταση των κέντρων Έλίου και  $\Gamma\etaς$ ).

113. Δύο ίσες σφαίρες  $A$  και  $A'$  έχουν άκτίνα  $\rho$  και ή απόσταση των κέντρων τους  $O$  και  $O'$  είναι  $\delta$ . Η σφαίρα  $A$  είναι φωτεινή πηγή, ενώ ή σφαίρα  $A'$  είναι άδιαφανής. Πίσω από τή σφαίρα  $A'$  και σε απόσταση  $\epsilon$  από τό κέντρο της  $O'$  ύπάρχει επίπεδο διάφραγμα πού είναι κάθετο στην ευθεία  $OO'$ . Νά βρεθούν οί άκτίνες των κύκλων τής σκιάς και τής παρασκιάς πού σχηματίζονται πάνω στό διάφραγμα.

Έφαρμογή:  $\rho = 10$  cm,  $\delta = 40$  cm και  $\epsilon = 20$  cm

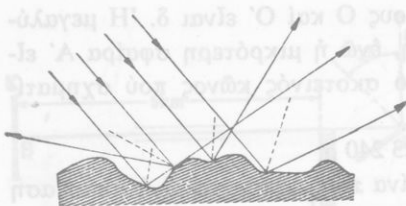
114. Έμπρός από ένα κατακόρυφο διάφραγμα και σε απόσταση 10 cm από αυτό βρίσκεται άδιαφανής ράβδος μήκους 2 cm. Η ράβδος είναι όριζόντια και παράλληλη μέ τό διάφραγμα. Δύο σημειακές φωτεινές πηγές  $A$  και  $B$  βρίσκονται στό ίδιο όριζόντιο επίπεδο μέ τή ράβδο και απέχουν 1 m από τό διάφραγμα. Πάνω στό διάφραγμα σχηματίζονται δύο ευθύγραμμες σκιές τής ράβδου πού έχουν μιά από τίς άκρες τους κοινή. Νά βρεθεί τό μήκος τής σκοτεινής ευθείας πού σχηματίζεται πάνω στό διάφραγμα και ή απόσταση  $AB$  των δύο φωτεινών πηγών.

115. Σκοτεινός θάλαμος έχει σχήμα κύβου και ή άκμή του έχει μήκος 50 cm. Στο κέντρο τής μιās κατακόρυφης έδρας του ύπάρχει ένα μικρό κυκλικό άνοιγμα και στην άπέναντι κατακόρυφη έδρα σχηματίζεται τό είδωλο ενός κατακόρυφου αντικειμένου πού έχει ύψος  $AB = 300$  m. Άν τό μήκος του ειδώλου είναι  $A'B' = 3$  cm, πόση είναι ή απόσταση του αντικειμένου από τό σκοτεινό θάλαμο;

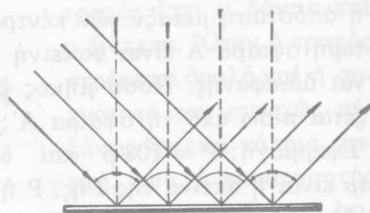
## ΑΝΑΚΛΑΣΗ ΤΟΥ ΦΩΤΟΣ

### 92. Διάχυση και ανάκλαση του φωτός

Άπό μιά μικρή τρύπα μπαίνει μέσα σε σκοτεινό δωμάτιο μιά λεπτή δέσμη ήλιακού φωτός, πού πέφτει πάνω σε λευκό χαρτί. Σε όποιοδήποτε σημείο του δωματίου κι άν σταθομε, βλέπουμε τό χαρτί.



Σχ. 114. Διάχυση του φωτός από ανώμαλη επιφάνεια



Σχ. 115. 'Ανάκλαση του φωτός από λεία και γυαλιστερή επιφάνεια

Αυτό φανερώνει ότι το χαρτί *διασκορπίζει* προς όλες τις διευθύνσεις το φως που πέφτει πάνω του (σχ. 114). Το φαινόμενο αυτό ονομάζεται **διάχυση** του φωτός. "Όλα τα γύρω μας σώματα, που δεν είναι αυτόφωτα, γίνονται ορατά χάρη στη διάχυση.

Τό *διάχυτο φως* της ημέρας οφείλεται στη διάχυση του ηλιακού φωτός, την οποία προκαλούν ή επιφάνεια της Γης, τα σώματα που βρίσκονται πάνω της και τα διάφορα συστατικά της ατμόσφαιρας.

"Αν ή λεπτή δέσμη ηλιακού φωτός πέσει πάνω σε μία λεία και γυαλιστερή μεταλλική πλάκα, τότε ή φωτεινή δέσμη *αλλάζει πορεία* και κατευθύνεται προς *ορισμένη διεύθυνση* (σχ. 115). Το φαινόμενο αυτό ονομάζεται **ανάκλαση** του φωτός. "Όποτε ή διάχυση συμβαίνει, όταν τό φως πέφτει πάνω σε *τραχιά και ανώμαλη* επιφάνεια, ενώ ή ανάκλαση συμβαίνει, όταν τό φως πέφτει πάνω σε *λεία και γυαλιστερή* (στιλπνή) επιφάνεια.

'Αλλά και μία λεία και γυαλιστερή επιφάνεια έχει πάντοτε μικρές ανωμαλίες, που προκαλούν μικρή διάχυση. Αυτό φαίνεται από τό ότι ή φωτεινή κηλίδα, που σχηματίζεται πάνω στη μεταλλική πλάκα, είναι ορατή από οποιοδήποτε σημείο του δωματίου παρατηρούμε την πλάκα.

### 93. 'Ανάκλαση του φωτός

α. 'Ορισμοί. Οί επιφάνειες που προκαλούν ανάκλαση του φωτός ονομάζονται *κάτοπτρα*. 'Ανάλογα με τή μορφή που έχει ή επιφάνεια του κατόπτρου, διακρίνουμε τά κάτοπτρα σε *επίπεδα, σφαιρικά,*

παραβολικά, κωνικά. Η ακτίνα ΑΟ (σχ. 116) ονομάζεται προσπίπτουσα ακτίνα και η ακτίνα ΟΒ ονομάζεται ανακλώμενη ακτίνα. Αν στο σημείο Ο φέρουμε την κάθετη ΚΟ στο κάτοπτρο, τότε σχηματίζονται η γωνία προσπτώσεως  $\text{AOK} = \pi$  και η γωνία ανακλάσεως  $\text{KOB} = \alpha$ . Το επίπεδο ΑΟΚ, πού ορίζουν η προσπίπτουσα ακτίνα ΑΟ και η κάθετη ΚΟ, ονομάζεται επίπεδο προσπτώσεως.

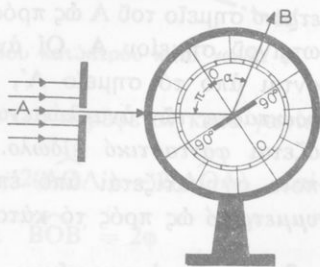
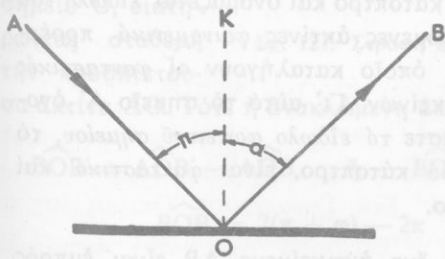
β. Νόμοι τής ανακλάσεως. Η θεωρητική και πειραματική έρευνα απέδειξε ότι ισχύουν οι εξής νόμοι τής ανακλάσεως του φωτός:

I. Η προσπίπτουσα και η ανακλώμενη ακτίνα βρίσκονται στο επίπεδο προσπτώσεως.

II. Η γωνία ανακλάσεως είναι ίση με τή γωνία προσπτώσεως.

Όστε, αν η προσπίπτουσα ακτίνα είναι κάθετη στο κάτοπτρο ( $\pi = 0^\circ$ ), τότε και η ανακλώμενη ακτίνα είναι κάθετη στο κάτοπτρο ( $\alpha = 0^\circ$ ).

Οι νόμοι τής ανακλάσεως του φωτός επαληθεύονται από τήν εφαρμογή τους στά κάτοπτρα. Κατά προσέγγιση οι νόμοι τής ανακλάσεως επαληθεύονται πειραματικώς με τή διάταξη πού δείχνει τό σχήμα 117. Στο κέντρο γωνιομετρικού κύκλου είναι στερεωμένο μικρό επίπεδο κάτοπτρο. Μιά πολύ λεπτή φωτεινή δέσμη πέφτει πάνω στο κάτοπτρο και ανακλάται. Στρέφοντας τό γωνιομετρικό κύκλο μεταβάλλουμε τή γωνία προσπτώσεως ( $\pi$ ). Βρίσκουμε ότι πάντοτε η γωνία ανακλάσεως ( $\alpha$ ) είναι ίση με τή γωνία προσπτώσεως.



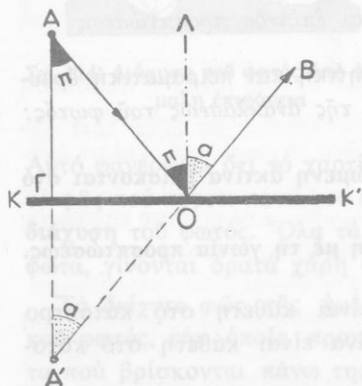
Σχ. 116. Οι γωνίες προσπτώσεως ( $\pi$ ) και ανακλάσεως ( $\alpha$ )

Σχ. 117. Για τήν απόδειξη των νόμων τής ανακλάσεως του φωτός

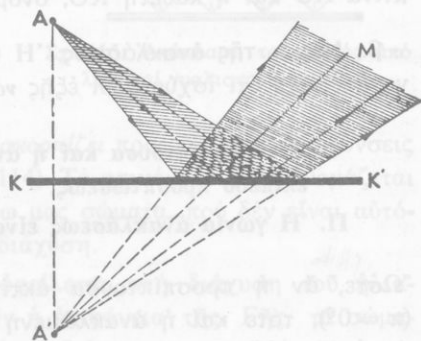


## 94. Ἐπίπεδα κάτοπτρα

α. Εἶδωλο φωτεινοῦ σημείου. Μιά φωτεινή ἀκτίνα ΑΟ (σχ. 118), πού προέρχεται ἀπό φωτεινό σημείο Α, δίνει τήν ἀνακλώμενη ἀκτίνα ΟΒ. Αὐτές οἱ δύο ἀκτίνες βρίσκονται στό ἴδιο ἐπίπεδο μέ τήν κάθετη



Σχ. 118. Ἀνάκλαση τοῦ φωτός ἀπό ἐπίπεδο κάτοπτρο



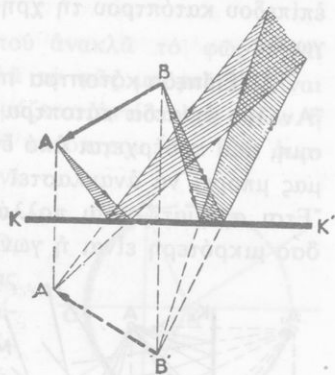
Σχ. 119. Τό εἶδωλο Α' τοῦ φωτεινοῦ σημείου Α εἶναι φανταστικό

ΛΟ στό κάτοπτρο. Ἄν φέρουμε τήν ΑΓ κάθετη στό κάτοπτρο, τότε ἡ προέκταση τῆς ΟΒ τέμνει τήν προέκταση τῆς ΑΓ σέ ἓνα σημείο Α'. Εὐκόλα βρίσκουμε ὅτι τά ὀρθογώνια τρίγωνα ΑΓΟ καί Α'ΓΟ εἶναι ἴσα, καί ἐπομένως εἶναι  $ΑΓ = Α'Γ$ . Στό ἴδιο συμπέρασμα καταλήγουμε γιά κάθε ἀκτίνα, πού προέρχεται ἀπό τό φωτεινό σημείο Α καί ἀνακλᾶται πάνω στό κάτοπτρο (σχ. 119). Τό σημείο Α' εἶναι τό *συμμετρικό* σημείο τοῦ Α ὡς πρός τό κάτοπτρο καί ὀνομάζεται *εἶδωλο* τοῦ φωτεινοῦ σημείου Α. Οἱ ἀνακλώμενες ἀκτίνες *φαινομενικά* προέρχονται ἀπό τό σημείο Α', στό ὅποιο καταλήγουν οἱ *φανταστικές* *προεκτάσεις* τῶν ἀνακλώμενων ἀκτίνων. Γι' αὐτό τό σημείο Α' ὀνομάζεται *φανταστικό εἶδωλο*. Ὡστε τό *εἶδωλο* *φωτεινοῦ* *σημείου*, τό ὅποιο σχηματίζεται ἀπό ἐπίπεδο κάτοπτρο, εἶναι *φανταστικό* καί *συμμετρικό* ὡς πρός τό κάτοπτρο.

β. Εἶδωλο ἀντικειμένου. Ἄν ἓνα ἀντικείμενο ΑΒ εἶναι ἐμπρός ἀπό τό ἐπίπεδο κάτοπτρο (σχ. 120), τότε σέ κάθε σημείο τοῦ ἀντικειμένου ἀντιστοιχεῖ ἓνα φανταστικό εἶδωλο συμμετρικό ὡς πρός



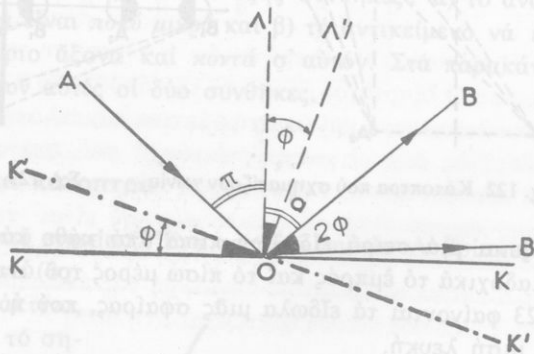
τό κάτοπτρο. Τό σύνολο αὐτῶν τῶν φανταστικῶν εἰδώλων σχηματίζει ἕνα φανταστικό εἶδωλο  $A'B'$ . Εὐκόλα βρῖσκουμε ὅτι τό εἶδωλο  $A'B'$  εἶναι ὄρθιο, ἴσο μέ τό ἀντικείμενο  $AB$  καί συμμετρικό τοῦ ἀντικειμένου  $AB$  ὡς πρὸς τό κάτοπτρο. Ἄλλά τό εἶδωλο καί τό ἀντικείμενο δέν εἶναι εφαρμόσιμα δηλαδή τό δεξι χέρι μας εἶναι ἀριστερό στό εἶδωλό μας. Ὡστε τό εἶδωλο ἀντικείμενον, τό ὁποῖο σχηματίζεται ἀπό ἐπίπεδο κάτοπτρο, εἶναι φανταστικό, ὄρθιο, ἴσο μέ τό ἀντικείμενο καί συμμετρικό ὡς πρὸς τό κάτοπτρο.



Σχ. 120. Τό εἶδωλο τοῦ ἀντικειμένου  $AB$  εἶναι φανταστικό.

γ. Περιστροφή ἐπίπεδο κάτοπτρου. Ἡ προσπίπτουσα ἀκτίνα  $AO$

(σχ. 121) δίνει ἀνακλωμένη τήν ἀκτίνα  $OB$ . Στρέφουμε τό κάτοπτρο  $K$  κατὰ γωνία  $\varphi$  γύρω ἀπό ἄξονα, πού εἶναι κάθετος στό ἐπίπεδο προσπίπτουσας  $AOB$  στό σημεῖο  $O$ , διατηρώντας σταθερή τήν προσπίπτου-



Σχ. 121. Στροφή ἐπίπεδο κάτοπτρου κατὰ γωνία  $\varphi$

σα ἀκτίνα  $AO$ . Τότε ἡ ἀνακλώμενη ἀκτίνα  $OB$  στρέφεται κατὰ γωνία

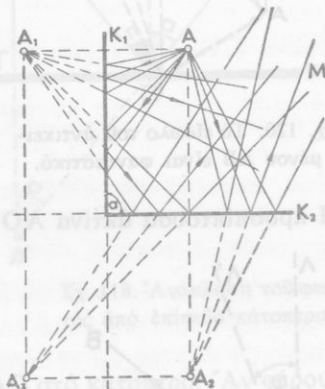
$$\widehat{BOB'} = \widehat{AOB'} - \widehat{AOB} \quad \text{ἢ} \quad \widehat{BOB'} = 2(\widehat{AOA'}) - 2(\widehat{AOA}) \quad \text{καί}$$

$$\widehat{BOB'} = 2(\pi + \varphi) - 2\pi \quad \text{ἄρα} \quad \widehat{BOB'} = 2\varphi$$

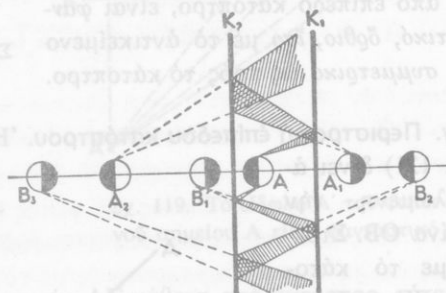
Ἄρα, ὅταν τό κάτοπτρο στρέφεται κατὰ γωνία  $\varphi$ , ἡ ἀνακλώμενη ἀκτίνα στρέφεται κατὰ διπλάσια γωνία ( $2\varphi$ ). Αὐτή τήν ιδιότητα τοῦ

επίπεδου κατόπτρου τή χρησιμοποιούμε για νά μετράμε πολύ μικρές γωνίες.

\* δ. **Επίπεδα κάτοπτρα** πού σχηματίζουν γωνία ή είναι παράλληλα. **Αν δύο επίπεδα κάτοπτρα σχηματίζουν γωνία**, τότε ή φωτεινή δέσμη, πού προέρχεται από ένα φωτεινό σημείο, πρίν φτάσει στό μάτι μας μπορεί νά ανακλαστεί διαδοχικά πάνω στά κάτοπτρα (σχ. 122). Έτσι σχηματίζονται πολλά είδωλα καί μάλιστα τόσο περισσότερα, όσο μικρότερη είναι ή γωνία α των κατόπτρων. **Αν ή γωνία α είναι ίση μέ μηδέν**, τά κάτοπτρα είναι παράλληλα (σχ. 123). Τότε σχημα-



Σχ. 122. Κάτοπτρα πού σχηματίζουν γωνία.



Σχ. 123. Κάτοπτρα παράλληλα

τίζεται μιά σειρά ειδώλων πίσω από κάθε κάτοπτρο καί βλέπουμε διαδοχικά τό έμπρός καί τό πίσω μέρος του αντικειμένου. Στο σχήμα 123 φαίνονται τά είδωλα μιάς σφαιράς, πού ή μισή είναι μαύρη καί ή μισή λευκή.

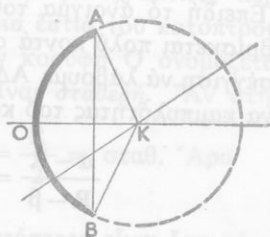
## 95. Αρχή τής αντίστροφης πορείας του φωτός

Αν προσπίπτουσα ακτίνα είναι ή BO (σχ. 116), τότε σύμφωνα μέ τό νόμο τής ανακλάσεως ή ακτίνα OA θά είναι ή ανακλωμένη. Αυτό έπαληθεύεται καί πειραματικώς. Στη Γεωμετρική Όπτική ισχύει γενικά ή ακόλουθη αρχή τής αντίστροφης πορείας του φωτός:

Όταν τό φώς ακολουθεί ήρισμένο δρόμο, μπορεί πάντοτε νά διατρέξει τόν ίδιο ακριβώς δρόμο, αν διαδοθεί κατά τήν αντίθετη φορά.

## 96. Σφαιρικά κάτοπτρα

Στά σφαιρικά κάτοπτρα ή επιφάνεια πού ανακλά τό φῶς εἶναι τμήμα σφαίρας. Ἡ ἐπιφάνεια πού ἀνακλά τό φῶς μπορεῖ νά εἶναι κοίλη ἢ κυρτή καί τότε τό κάτοπτρο ὀνομάζεται ἀντίστοιχα *κοίλο* ἢ *κυρτό* σφαιρικό κάτοπτρο. Τό μέσο  $O$  τοῦ κατόπτρου (σχ. 124) ὀνομάζεται *κορυφή* τοῦ κατόπτρου καί τό κέντρο  $K$  τῆς σφαίρας ὀνομάζεται *κέντρο καμπυλότητας* τοῦ κατόπτρου. Ἡ εὐθεία  $KO$ , πού περνάει ἀπό τό κέντρο καμπυλότητας  $K$  καί ἀπό τήν κορυφή  $O$ , ὀνομάζεται *κύριος ἄξονας* τοῦ κατόπτρου. Κάθε ἄλλη εὐθεία, πού περνάει ἀπό τό κέντρο καμπυλότητας  $K$ , ὀνομάζεται *δευτερεύων ἄξονας* τοῦ κατόπτρου. Ἡ γωνία  $AKB$  ὀνομάζεται *ἄνοιγμα* τοῦ κατόπτρου. Γιά νά σχηματισεῖ

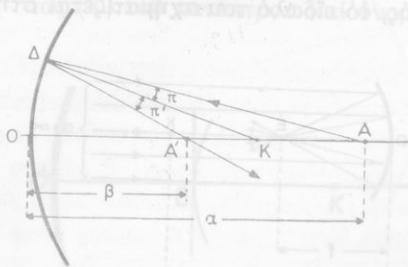


Σχ. 124. Σφαιρικό κάτοπτρο

εὐκρινές εἶδωλο, πρέπει νά ἰσχύουν οἱ ἐξῆς συνθήκες: α) τό ἄνοιγμα τοῦ κατόπτρου νά εἶναι *πολύ μικρό* καί β) τό ἀντικείμενο νά εἶναι *κάθετο* στόν κύριο ἄξονα καί *κοντά* σ' αὐτόν. Στά παρακάτω ὑποθέτουμε ὅτι ἰσχύουν αὐτές οἱ δύο συνθήκες.

## 97. Κοίλα σφαιρικά κάτοπτρα

α. Εἶδωλο φωτεινοῦ σημείου. Ἐνα φωτεινό σημεῖο  $A$  βρίσκεται πάνω στόν κύριο ἄξονα (σχ. 125). Κάθε φωτεινή ἀκτίνα, πού προέρχεται ἀπό τό σημεῖο  $A$  καί πέφτει στό κάτοπτρο, ἀνακλᾶται σχηματίζοντας ἴσες γωνίες ( $\pi = \pi'$ ) μέ τήν κάθετη στό σημεῖο πού πέφτει ἡ ἀκτίνα, δηλαδή μέ τήν ἀκτίνα καμπυλότητας ( $K\Delta$ ) τοῦ κατόπτρου. Ἔτσι ἡ προσπίπτουσα ἀκτίνα ( $A\Delta$ ), μετά τήν ἀνάκλασή της τέμ-



Σχ. 125. Σχηματισμός τοῦ εἰδώλου ( $A'$ ) ἑνός φωτεινοῦ σημείου ( $A$ )

νει τόν κύριο άξονα σέ ένα σημείο Α'. Στο τρίγωνο ΑΔΑ' ή ΔΚ είναι διχοτόμος τής γωνίας Δ και έπομένως έχουμε τή σχέση

$$\frac{(AK)}{(A'K)} = \frac{(AD)}{(A'D)} \quad (1)$$

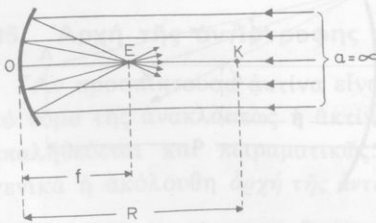
Έπειδή τό άνοιγμα τοῦ κατόπτρου είναι πολύ μικρό, τό σημείο Δ βρίσκεται πολύ κοντά στην κορυφή Ο. Μπορούμε λοιπόν κατά προσέγγιση νά λάβουμε  $AD \simeq AO = \alpha$  και  $A'D \simeq A'O = \beta$ . Αν ή άκτίνα καμπυλότητας τοῦ κατόπτρου είναι R, τότε ή σχέση (1) γράφεται

$$\frac{\alpha - R}{R - \beta} = \frac{\alpha}{\beta} \quad \text{άρα} \quad \beta R + \alpha R = 2\alpha\beta \quad (2)$$

Διαιρούμε και τά δύο μέλη τής εξίσωσης (2) διά αβR και βρίσκουμε

$$\frac{1}{\alpha} + \frac{1}{\beta} = \frac{2}{R} \quad (3)$$

Η εξίσωση (3) φανερώνει ότι ή απόσταση τοῦ σημείου Α' από τήν κορυφή Ο εξαρτάται μόνο από τήν απόσταση α τοῦ φωτεινοῦ σημείου από τό κάτοπτρο και από τήν άκτίνα καμπυλότητας R τοῦ κατόπτρου. Έπομένως *όλες οί φωτεινές άκτίνες*, πού φεύγουν από τό σημείο Α και πέφτουν κοντά στην κορυφή τοῦ κατόπτρου, μετά τήν ανάκλασή τους, *περνοῦν από τό σημείο Α'*, πού είναι τό *πραγματικό εἶδωλο* τοῦ φωτεινοῦ σημείου Α. Αν τό φωτεινό σημείο τό βάλουμε στή θέση Α', τότε, σύμφωνα μέ τήν άρχή τής αντίστροφης πορείας τοῦ φωτός, τό εἶδωλό του σχηματίζεται στή θέση Α. Ωστε τά σημεία Α και



Σχ. 126. Κύρια έστία (E) τοῦ κοίλου κατόπτρου

Α' είναι *συζυγή σημεία*. Είναι φανερό ότι, αν τό φωτεινό σημείο Α τό βάλουμε στό κέντρο καμπυλότητας ( $\alpha = R$ ), τό εἶδωλο Α' σχηματίζεται στην ίδια θέση ( $\beta = R$ ), δηλαδή σ' αὐτή τήν

περίπτωση τό φωτεινό σημείο και τό είδωλό του συμπίπτουν.

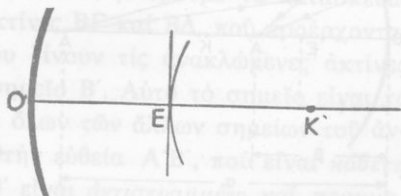
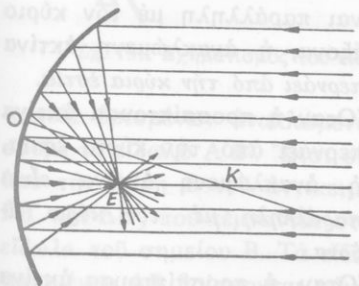
β. Κύρια έστία. Άν τό φωτεινό σημείο Α, κινούμενο πάνω στόν κύριο άξονα, συνεχώς απομακρύνεται από τό κάτοπτρο, τότε όλες οι φωτεινές άκτινες, πού προέρχονται από τό σημείο Α και πέφτουν πάνω στό κάτοπτρο, τελικά γίνονται παράλληλες μέ τόν κύριο άξονα (σχ. 126). Σ' αυτή τήν περίπτωση όλες οι ανακλώμενες άκτινες περνούν από ένα σημείο Ε, πού ονομάζεται κύρια έστία του κατόπτρου. Η απόσταση τής κύριας έστίας Ε από τήν κορυφή Ο ονομάζεται **έστιακή απόσταση** ( $f$ ) του κατόπτρου και είναι σταθερή. Άν στήν

έξίσωση (3) βάλουμε  $a = \infty$ , βρίσκουμε  $\beta = \frac{R}{2} = \text{σταθ.}$  Άρα

**Η έστιακή απόσταση ( $f$ ) του κοίλου κατόπτρου είναι ίση μέ τό μισό τής άκτίνας καμπυλότητας ( $R$ ).**

έστιακή απόσταση  $f = \frac{R}{2}$

γ. Έστιακό επίπεδο. Οι άκτινες μιās φωτεινής δέσμης είναι παράλληλες μέ ένα δευτερεύοντα άξονα του κατόπτρου (σχ. 127). Όλες οι άκτινες αυτής τής δέσμης, μετά τήν ανάκλασή τους, περνούν από ένα σημείο Ε του δευτερεύοντα άξονα, πού βρίσκεται σε απόσταση  $f = R/2$  από τό κέντρο καμπυλότητας ( $K$ ) του κατόπτρου και ονομά-

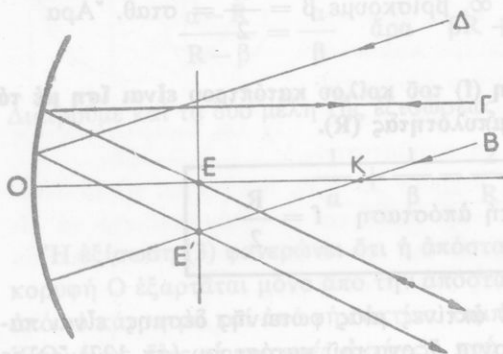


Σχ. 127. Δευτερεύουσα έστία του κοίλου κατόπτρου

Σχ. 128. Έστιακό επίπεδο του κοίλου κατόπτρου

ζεται δευτερεύουσα έστια του κατόπτρου. Όλες οι δευτερεύουσες έστιες βρίσκονται σε μία σφαιρική επιφάνεια, που έχει κέντρο τό Κ και ακτίνα  $R/2$ . Έπειδή όμως τό άνοιγμα του κατόπτρου είναι μικρό, μπορούμε κατά προσέγγιση νά θεωρήσουμε ότι όλες οι δευτερεύουσες έστιες βρίσκονται πάνω σε ένα επίπεδο, που είναι έφαπτόμενο αυτής της σφαιρικής επιφάνειας στή θέση της κύριας έστιας (Ε) και κάθετο στον κύριο άξονα (σχ. 128). Τό επίπεδο αυτό ονομάζεται *έστιακό επίπεδο* του κατόπτρου.

δ. Πορεία μερικων ανακλωμενων ακτινων. Από τά παραπάνω καταλήγουμε στα ακόλουθα συμπεράσματα για τήν πορεία που ακολουθούν όρισμένες ανακλώμενες ακτίνες και για τή θέση του ειδώλου Α' ενός φωτεινού σημείου, που βρίσκεται πάνω στον κύριο άξονα (σχ. 129).



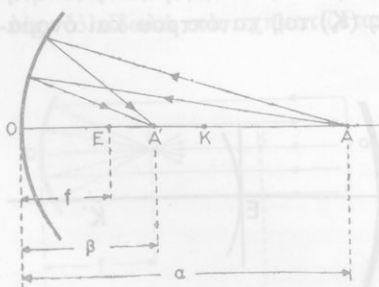
Σχ. 129. Πορεία μερικων ακτινων μετά τήν ανάκλασή τους

1. Όταν ή προσπίπτουσα ακτίνα περνάει από τό κέντρο καμπυλότητας, ή ανακλώμενη ακτίνα ακολουθεί αντίστροφα τήν ίδια πορεία.

2. Όταν ή προσπίπτουσα ακτίνα είναι παράλληλη μέ τόν κύριο άξονα, ή ανακλώμενη ακτίνα περνάει από τήν κύρια έστια.

3. Όταν ή προσπίπτουσα ακτίνα περνάει από τήν κύρια έστια, ή ανακλώμενη ακτίνα είναι παράλληλη μέ τόν κύριο άξονα.

4. Όταν ή προσπίπτουσα ακτίνα είναι παράλληλη μέ ένα δευτερεύοντα άξονα, ή ανακλώμενη ακτίνα περνάει από τήν αντί-



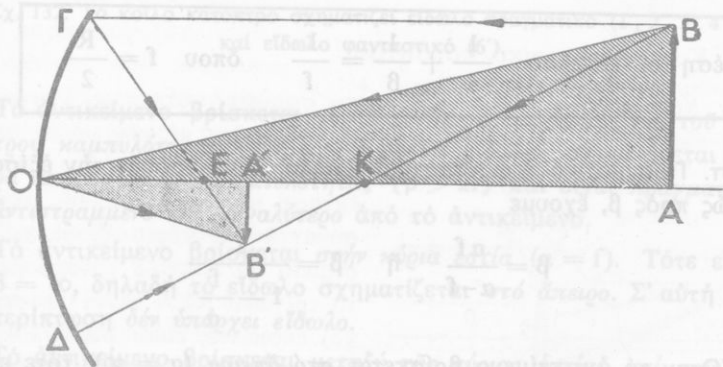
Σχ. 130. Προσδιορισμός της θέσεως του ειδώλου (Α') ενός φωτεινού σημείου (Α)

στοιχη δευτερεύουσα έστια, που βρίσκεται στο έστιακό επίπεδο.

5. Όταν φωτεινό σημείο βρίσκεται πάνω στον κύριο άξονα, το είδωλό του σχηματίζεται πάνω στον κύριο άξονα (σχ. 130). Οι αποστάσεις του φωτεινού σημείου ( $\alpha$ ) και του ειδώλου ( $\beta$ ) από την κορυφή του κατόπτρου συνδέονται μεταξύ τους με την εξίσωση

$$\text{θέση του ειδώλου} \quad \frac{1}{\alpha} + \frac{1}{\beta} = \frac{1}{f} \quad \text{όπου } f = \frac{R}{2}$$

- ε. Είδωλο αντικειμένου. Ός φωτεινό αντικείμενο θεωρούμε μία ευθεία AB κάθετη στον κύριο άξονα (σχ. 131). Έπειδή ξέρουμε την



Σχ. 131. Σχηματισμός του ειδώλου ( $A'B'$ ) ενός αντικειμένου (AB)

πορεία ορισμένων ανακλώμενων ακτίνων, μπορούμε να κατασκευάσουμε το είδωλο  $A'B'$ . Έτσι οι ακτίνες  $B\Gamma$  και  $B\Delta$ , που προέρχονται από την άκρη B του αντικειμένου δίνουν τις ανακλώμενες ακτίνες  $FB'$  και  $\Delta B'$ , που τέμνονται στο σημείο  $B'$ . Αυτό το σημείο είναι το είδωλο του σημείου B. Τά είδωλα όλων των άλλων σημείων του αντικειμένου AB βρίσκονται πάνω στην ευθεία  $A'B'$ , που είναι κάθετη στον κύριο άξονα. Το είδωλο  $A'B'$  είναι αντιστραμμένο και πραγματικό και επομένως μπορεί να σχηματιστεί πάνω σε διάφραγμα. Από τά δμοια τρίγωνα  $AOB$  και  $A'OB'$  έχουμε

$$\frac{A'B'}{AB} = \frac{OA'}{OA} \quad \eta \quad \frac{A'B'}{AB} = \frac{\beta}{\alpha}$$

Ο λόγος του μήκους  $E = A'B'$  του ειδώλου προς το μήκος  $A = AB$  του αντικειμένου ονομάζεται (γραμμική) *μεγέθυνση* και προσδιορίζεται από την εξίσωση

$$\text{μεγέθυνση} \quad \frac{E}{A} = \frac{\beta}{\alpha} \quad (4)$$

Οι αποστάσεις  $OA = \alpha$  και  $OA' = \beta$  του αντικειμένου και του ειδώλου από την κορυφή του κατόπτρου, δηλαδή η θέση του ειδώλου, προσδιορίζεται από τη γνωστή εξίσωση

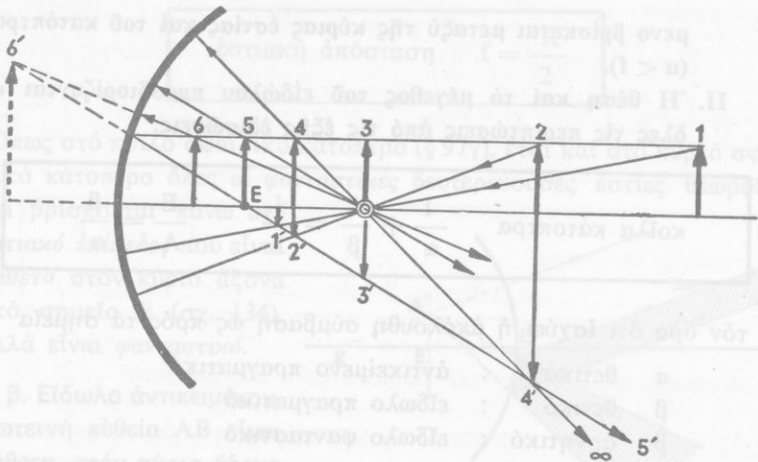
$$\text{θέση του ειδώλου} \quad \frac{1}{\alpha} + \frac{1}{\beta} = \frac{1}{f} \quad \delta\text{που} \quad f = \frac{R}{2} \quad (5)$$

στ. Πραγματικό ή φανταστικό είδωλο. Αν λύσουμε την εξίσωση (5) ως προς  $\beta$ , έχουμε

$$\beta = \frac{\alpha f}{\alpha - f} \quad \eta \quad \beta = \frac{f}{1 - \frac{f}{\alpha}} \quad (6)$$

1. Όταν το αντικείμενο βρίσκεται *στό άπειρο* ( $\alpha = \infty$ ), τότε είναι  $\beta = f$ , δηλαδή το είδωλο σχηματίζεται *στην κύρια εστία*, είναι *πραγματικό*, αλλά είναι *σημείο*.
2. Το αντικείμενο βρίσκεται *πέρα από το κέντρο καμπυλότητας* ( $\alpha > 2f$ ). Μέ τη γεωμετρική κατασκευή (σχ. 132) βρίσκουμε ότι το είδωλο σχηματίζεται *μεταξύ της κύριας εστίας και του κέντρου καμπυλότητας* ( $f < \beta < 2f$ ) και είναι *πραγματικό*, *αντιστραμμένο* και *μικρότερο* από το αντικείμενο.
3. Το αντικείμενο βρίσκεται *στό κέντρο καμπυλότητας* ( $\alpha = 2f$ ). Τότε είναι  $\beta = 2f$ , δηλαδή το είδωλο σχηματίζεται *στό κέντρο καμπυλότητας* και είναι *πραγματικό*, *αντιστραμμένο* και *ίσο* με το αντικείμενο.





Σχ. 132. Τό κοίλο κάτοπτρο σχηματίζει είδωλο πραγματικό (1', 2', 3', 4') και είδωλο φανταστικό (6').

4. Τό αντικείμενο βρίσκεται μεταξύ τῆς κύριας ἐστίας καί τοῦ κέντρου καμπυλότητος ( $f < a < 2f$ ). Τό είδωλο σχηματίζεται πέρα ἀπό τό κέντρο καμπυλότητος ( $\beta > 2f$ ) καί εἶναι πραγματικό, ἀντιστραμμένο καί μεγαλύτερο ἀπό τό αντικείμενο.
5. Τό αντικείμενο βρίσκεται στήν κύρια ἐστία ( $a = f$ ). Τότε εἶναι  $\beta = \infty$ , δηλαδή τό είδωλο σχηματίζεται στό ἄπειρο. Σ' αὐτή τήν περίπτωση δέν ὑπάρχει είδωλο.
6. Τό αντικείμενο βρίσκεται μεταξύ τῆς κύριας ἐστίας καί τοῦ κέντρου καμπυλότητος ( $a < f$ ). Ἀπό τήν ἐξίσωση (6) βρίσκουμε ὅτι τό  $\beta$  ἔχει ἀρνητική τιμή ( $\beta < 0$ ). Μέ τή γεωμετρική κατασκευή βρίσκουμε ὅτι τό είδωλο σχηματίζεται πίσω ἀπό τό κάτοπτρο, καί εἶναι φανταστικό, ὄρθιο καί μεγαλύτερο ἀπό τό αντικείμενο.

Τά παραπάνω εὐκολά ἐπαληθεύονται καί πειραματικῶς. Ἔτσι καταλήγουμε στά ἀκόλουθα συμπεράσματα γιά τά κοίλα σφαιρικά κάτοπτρα:

- I. Τό κοίλο σφαιρικό κάτοπτρο σχηματίζει είδωλο πραγματικό, ὅταν τό αντικείμενο βρίσκεται πέρα ἀπό τήν κύρια ἐστία ( $a > f$ ), ἐνῶ σχηματίζει είδωλο φανταστικό, ὅταν τό αντικεί-

μενο βρίσκεται μεταξύ της κύριας εστίας και του κατόπτρου ( $a < f$ ).

II. Η θέση και το μέγεθος του ειδώλου προσδιορίζονται σε όλες τις περιπτώσεις από τις εξής εξισώσεις:

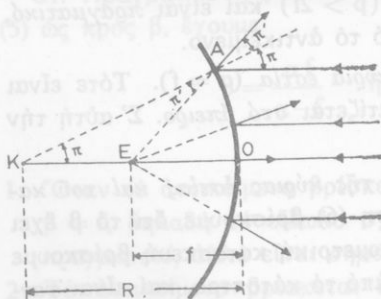
κοίλα κάτοπτρα	$\frac{1}{a} + \frac{1}{\beta} = \frac{1}{f}$	$\frac{E}{A} = \frac{\beta}{a}$
----------------	---	---------------------------------

μέ τον όρο ότι ισχύει η ακόλουθη σύμβαση ως προς τά σημεία

- |   |          |   |                        |                     |
|---|----------|---|------------------------|---------------------|
| α | θετικό   | : | άντικείμενο πραγματικό | και του ειδώλου από |
| β | θετικό   | : | είδωλο πραγματικό      | προσδιορίζεται από  |
| β | αρνητικό | : | είδωλο φανταστικό      | του ειδώλου.        |

### 98. Κυρτά σφαιρικά κάτοπτρα

α. Κύρια έστια. Πάνω στο κυρτό σφαιρικό κάτοπτρο πέφτει δέσμη φωτεινών ακτίνων, που είναι παράλληλες με τον κύριο άξονα του κατόπτρου (σχ. 133). Η προέκταση μιας ανακλώμενης ακτίνας



Σχ. 133. Η κύρια έστια (E) του κυρτού κατόπτρου είναι φανταστική.

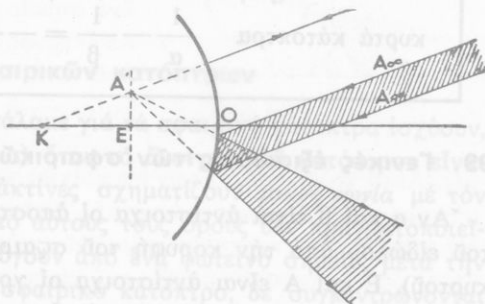
του κατόπτρου (σχ. 133). Η προέκταση μιας ανακλώμενης ακτίνας συναντά τον κύριο άξονα σε ένα σημείο E. Εύκολα βρίσκουμε ότι το τρίγωνο KEA είναι ισοσκελές και επομένως είναι  $EK = EA$ . Έπειδή το άνοιγμα του κατόπτρου είναι μικρό, μπορούμε κατά προσέγγιση να δεχτούμε ότι είναι  $EA = EO$ . Τότε είναι  $EK = EO = R/2$ . Όλες λοιπόν οι ανακλώμενες ακτίνες φαινομενικά προέρχονται από τη φανταστική κύρια έστια E, που βρίσκεται στη μέση της ακτίνας καμυλότητας. Όστε :

Η κύρια έστια E, που βρίσκεται στη μέση της ακτίνας καμυλότητας.

Η κύρια έστια του κυρτού σφαιρικού κατόπτρου είναι φανταστική και η έστιακή απόσταση (f) είναι ίση με το μισό της ακτίνας καμυλότητας (R) του κατόπτρου.

$$\text{έστιακή απόσταση } f = \frac{R}{2}$$

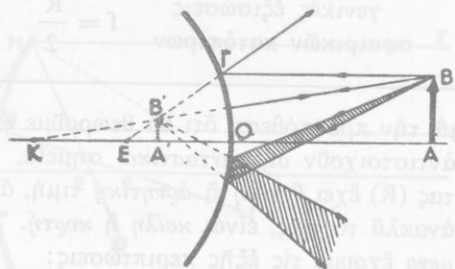
Όπως στο κοίλο σφαιρικό κάτοπτρο (§ 97γ), έτσι και στο κυρτό σφαιρικό κάτοπτρο όλες οι φανταστικές δευτερεύουσες έστιες θεωρούμε ότι βρίσκονται πάνω στο έστιακό επίπεδο, που είναι κάθετο στον κύριο άξονα στο σημείο E (σχ. 134), αλλά είναι φανταστικό.



Σχ. 134. Έστιακό επίπεδο του κυρτού κατόπτρου.

β. Είδωλο αντικειμένου. Φωτεινή ευθεία AB είναι κάθετη στον κύριο άξονα του κατόπτρου (σχ. 135). Οί άκτινες, που πέφτουν πάνω στο κάτοπτρο και

έχουν τή διεύθυνση του κύριου άξονα ή όποιουδήποτε δευτερεύοντα άξονα, μετά τήν ανάκλασή τους στο κάτοπτρο έχουν τήν ίδια διεύθυνση. Αν λοιπόν έργαστοϋμε όπως και στα κοίλα κάτοπτρα, κατασκευάζουμε τό είδωλο A'B'. Αυτό τό είδωλο είναι φανταστικό, όρθιο, μικρότερο άπό τό αντικείμενο και σχηματίζεται πάντοτε μεταξύ τής κύριας έστίας και τής κορυφής του κατόπτρου. Η θέση και τό μέγεθος του είδώλου δίνονται άπό τις



Σχ. 135. Σχηματισμός του είδώλου (A'B') ενός αντικειμένου (AB).

άντιστοιχες εξισώσεις, που ισχύουν για τά κοίλα κάτοπτρα, με τή διαφορά ότι πρέπει νά λάβουμε ύπόψη ότι ή κύρια έστία είναι φανταστική ( $f < 0$ ) και ότι τό είδωλο είναι επίσης φανταστικό ( $\beta < 0$ ). Έτσι καταλήγουμε στα ακόλουθα συμπεράσματα για τά κυρτά σφαιρικά κάτοπτρα:

- I. Τό κυρτό σφαιρικό κάτοπτρο σχηματίζει εἰδῶλο φανταστικό ὄρθιο καὶ μικρότερο ἀπὸ τὸ ἀντικείμενο. Τὸ εἰδῶλο σχηματίζεται πάντοτε μεταξύ τῆς κύριας ἐστίας καὶ τοῦ κατόπτρου ( $\beta < f$ ).
- II. Ἡ θέση καὶ τὸ μέγεθος τοῦ εἰδῶλου προσδιορίζονται ἀπὸ τὶς ἐξῆς ἐξισώσεις:

$$\text{κυρτὰ κάτοπτρα} \quad \frac{1}{a} - \frac{1}{\beta} = -\frac{1}{f} \quad \frac{E}{A} = -\frac{\beta}{a}$$

### 99. Γενικές ἐξισώσεις τῶν σφαιρικῶν κατόπτρων

Ἐὰν  $a$  καὶ  $\beta$  εἶναι ἀντίστοιχα οἱ ἀποστάσεις τοῦ ἀντικειμένου καὶ τοῦ εἰδῶλου ἀπὸ τὴν κορυφή τοῦ σφαιρικοῦ κατόπτρου (κοίλου ἢ κυρτοῦ),  $E$  καὶ  $A$  εἶναι ἀντίστοιχα οἱ γραμμικὲς διαστάσεις τοῦ εἰδῶλου καὶ τοῦ ἀντικειμένου, ποῦ εἶναι κάθετο στὸν κύριο ἄξονα, τότε γιὰ ὅλες τὶς δυνατὲς περιπτώσεις ἰσχύουν οἱ ἀκόλουθες γενικὲς ἐξισώσεις τῶν σφαιρικῶν κατόπτρων:

$$\text{γενικὲς ἐξισώσεις σφαιρικῶν κατόπτρων} \quad f = \frac{R}{2} \quad \frac{1}{a} + \frac{1}{\beta} = \frac{1}{f} \quad \frac{E}{A} = \frac{\beta}{a}$$

μέ τὴν προϋπόθεση ὅτι θὰ θεωροῦμε ὡς ἀρνητικούς τοὺς ὅρους, ποῦ ἀντιστοιχοῦν σὲ φανταστικὰ σημεῖα, καὶ ὅτι ἡ ἀκτίνα καμπυλότη-  
τας ( $R$ ) ἔχει θετικὴ ἢ ἀρνητικὴ τιμὴ, ἂν ἀντίστοιχα ἡ ἐπιφάνεια, ποῦ ἀνακλᾷ τὸ φῶς, εἶναι κοίλη ἢ κυρτή. Ἔτσι γιὰ πραγματικὸ ἀντικεί-  
μενο ἔχουμε τὶς ἐξῆς περιπτώσεις:

$$\left. \begin{array}{l} \text{κοῖλο κάτοπτρο} \\ (R > 0, f > 0) \end{array} \right\} \begin{array}{l} \frac{1}{a} + \frac{1}{\beta} = \frac{1}{f} \quad \text{εἰδῶλο πραγματικό} \\ (a > f \quad \beta > 0) \\ \frac{1}{a} - \frac{1}{\beta} = \frac{1}{f} \quad \text{εἰδῶλο φανταστικό} \\ (a < f \quad \beta < 0) \end{array}$$

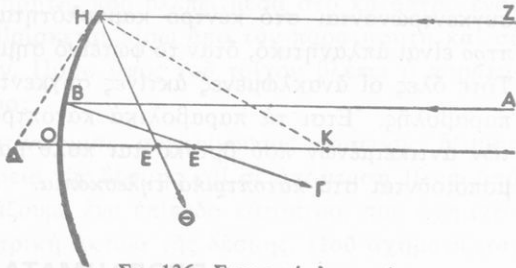
$$\left. \begin{array}{l} \text{κυρτό κάτοπτρο} \\ (R < 0, f < 0) \end{array} \right\} \frac{1}{a} - \frac{1}{\beta} = -\frac{1}{f} \quad \text{εἰδῶλο φανταστικό} \\ (a > 0 \quad \beta < 0)$$

Ἐφαρμογές τῶν σφαιρικῶν κατόπτρων. Τά κοίλα σφαιρικά κάτοπτρα τά χρησιμοποιοῦμε, γιά νά ἔχουμε *μεγεθυσμένα εἶδωλα* καί γιά νά πετύχουμε *συγκέντρωση τοῦ φωτός* (προβολεῖς, μικροσκοπία). Τά κυρτά σφαιρικά κάτοπτρα δίνουν μικρά εἶδωλα, ἔχουν ὅμως *μεγάλο ὀπτικό πεδίο* καί γι' αὐτό χρησιμοποιοῦνται ἀπό ὁδηγούς αυτοκινήτων γιά τήν παρακολούθηση τῆς κινήσεως τῶν ὀχημάτων πού ἔρχονται πίσω ἀπό τό αὐτοκίνητο (ὀπισωσκόπηση).

## 100. Σφάλματα τῶν σφαιρικῶν κατόπτρων

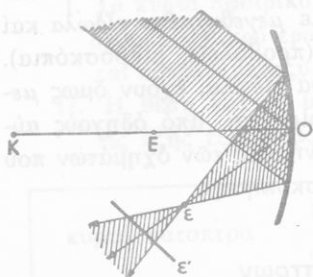
Τά συμπεράσματα πού βγάλαμε γιά τά σφαιρικά κάτοπτρα ἰσχύουν, μέ τίς ἐξῆς προϋποθέσεις : α) ὅταν τό ἄνοιγμα τοῦ κατόπτρου εἶναι *πολύ μικρό* καί β) ὅταν οἱ ἀκτίνες σχηματίζουν *μικρή γωνία* μέ τόν κύριο ἄξονα. Ὄταν ἕνας ἀπό αὐτούς τούς ὁρους δέν πραγματοποιεῖται, τότε οἱ ἀκτίνες πού φεύγουν ἀπό ἕνα φωτεινό σημεῖο, μετά τήν ἀνάκλασή τους πάνω στό σφαιρικό κάτοπτρο, δέ συγκεντρώνονται σέ ἕνα σημεῖο καί ἐπομένως δέ σχηματίζεται καθαρό εἶδωλο τοῦ ἀντικειμένου.

**α. Σφαιρική ἐκτροπή.** Σέ ἕνα κάτοπτρο μεγάλου ἀνοίγματος μιά ἀκτίνα  $ZH$ , πού εἶναι παράλληλη μέ τόν κύριο ἄξονα, πέφτει στό κάτοπτρο σέ ἀπόσταση ἀπό τήν κορυφή του (σχ. 136). Ἡ ἀνακλώμενη ἀκτίνα  $HΘ$  συναντᾷ τόν κύριο ἄξονα στό σημεῖο  $E'$ , πού εἶναι ἡ μέση τῆς εὐθείας  $KΔ$ . Ὅσο περισσότερο ἀπομακρύνεται τό σημεῖο  $H$  ἀπό τήν κορυφή, τό-



Σχ. 136. Σφαιρική ἐκτροπή

σο περισσότερο τό σημεῖο  $E'$  πλησιάζει πρὸς τήν κορυφή  $O$  τοῦ κατόπτρου. Ὡστε γιά τίς ἀκτίνες, πού πέφτουν στό κάτοπτρο μακριά ἀπό τήν κορυφή του, ἡ ἔστιακή τους ἀπόσταση γενικά εἶναι *μικρότερη* ἀπό τή μισή ἀκτίνα καμπυλότητος ( $f < R/2$ ). Αὐτό τό ἐλάττωμα τῶν σφαιρικῶν κατόπτρων πού ἔχουν μεγάλο ἄνοιγμα ὀνομάζεται *σφαιρική ἐκτροπή*.



Σχ. 137. Ἀστigmatική ἐκτροπή

μέσ. Αυτό τό ἐλάττωμα τῶν σφαιρικῶν κατόπτρων ὀνομάζεται ἀστigmatισμός (ἢ ἀστigmatική ἐκτροπή). Στό σχῆμα 137 ἡ ἐστιακή γραμμὴ  $\epsilon$  εἶναι κάθετη στό ἐπίπεδο τοῦ σχήματος, ἐνώ ἡ ἐστιακή γραμμὴ  $\epsilon'$  βρίσκεται στό ἐπίπεδο τοῦ σχήματος.

**γ. Ἀπλανητικά κάτοπτρα.** Λέμε ὅτι ἓνα κάτοπτρο εἶναι ἀπλανητικό, ὅταν ὅλες οἱ ἀκτίνες, πού προέρχονται ἀπό ἓνα φωτεινό σημεῖο, μετά τήν ἀνάκλασή τους, συγκεντρώνονται σέ ἓνα σημεῖο. Τό σφαιρικό κάτοπτρο εἶναι ἀπλανητικό, μόνο ὅταν τό φωτεινό σημεῖο βρίσκεται στό κέντρο καμπυλότητος. Τότε ὅλες οἱ ἀνακλώμενες ἀκτίνες συγκεντρώνονται στό κέντρο καμπυλότητος. Τό παραβολικό κάτοπτρο εἶναι ἀπλανητικό, ὅταν τό φωτεινό σημεῖο βρίσκεται στό ἄπειρο. Τότε ὅλες οἱ ἀνακλώμενες ἀκτίνες συγκεντρώνονται στήν ἐστία τῆς παραβολῆς. Ἔτσι τά παραβολικά κάτοπτρα δίνουν εὐκρινή εἰδῶλα τῶν ἀντικειμένων πού βρίσκονται πολύ μακριά καί γι' αὐτό χρησιμοποιοῦνται στά κατοπτρικά τηλεσκόπια.

## ΠΡΟΒΛΗΜΑΤΑ

### α. Ἐπίπεδα κάτοπτρα

116. Ἐνας κανόνας ἔχει μήκος  $AB = 60$  cm εἶναι κατακόρυφος καί βρίσκεται σέ ἀπόσταση  $\delta$  ἀπό κατακόρυφο ἐπίπεδο κάτοπτρο. Τό μάτι  $\Pi$  ἐνός παρατηρητῆ βρίσκεται σέ ἀπόσταση  $\Delta = 2\delta$  ἀπό τό κάτοπτρο καί πάνω στό κατακόρυφο ἐπίπεδο  $AB\Pi$ . Πόσο πρέπει νά εἶναι τό ὕψος τοῦ κατόπτρου, ὥστε ὁ παρατηρητής νά βλέπει τίς

ἄκρες τοῦ εἰδώλου τοῦ κανόνα νά συμπίπτουν μέ τίς ἄκρες τοῦ κατόπτρου;

117. Ἐνας παρατηρητής βλέπει τό μάτι του, πού ἔχει μήκος  $AB = 3$  cm, μέσα σέ επίπεδο κάτοπτρο, πού τό κρατεῖ σέ ἀπόσταση 10 cm ἀπό τό μάτι του. Σέ πόση ἀπόσταση ἀπό τό μάτι του βλέπει ὁ παρατηρητής τό εἶδωλο τοῦ ματιοῦ του καί μέ ποιά γωνία βλέπει αὐτό τό εἶδωλο;

118. Ἐνας πύργος καί ἕνας παρατηρητής βρίσκονται στό ἴδιο ὀριζόντιο ἐπίπεδο καί ἡ μεταξύ τους ἀπόσταση εἶναι 42 m. Τό μάτι τοῦ παρατηρητῆ βρίσκεται σέ ὕψος 1,60 m πάνω ἀπό τό ἔδαφος καί βλέπει τό εἶδωλο τοῦ πύργου μέσα σέ ἕνα μικρό ἐπίπεδο κάτοπτρο, πού βρίσκεται στό ἔδαφος καί σέ ἀπόσταση 2 m ἀπό τόν παρατηρητή. Πόσο εἶναι τό ὕψος τοῦ πύργου;

119. Ἐνας παρατηρητής ἔχει ὕψος 1,70 m καί ἡ ἀπόσταση τῶν ματιῶν του ἀπό τό ἔδαφος εἶναι 1,60 m. Νά βρεθεῖ πόσο ὕψος πρέπει νά ἔχει ἕνα κατακόρυφο ἐπίπεδο κάτοπτρο καί σέ πόση ἀπόσταση ἀπό τό ἔδαφος πρέπει αὐτό νά στερεωθεῖ, ὥστε ὁ παρατηρητής νά βλέπει τό εἶδωλο ὄλου τοῦ σώματός του.

120. Ἐνα ἐπίπεδο κάτοπτρο εἶναι κατακόρυφο καί ἔχει ὕψος 10 cm. Ἐμπρός ἀπό τό κάτοπτρο καί σέ ὀριζόντια ἀπόσταση 20 cm βρίσκεται τό μάτι παρατηρητῆ, πού βλέπει μέσα στό κάτοπτρο ἕναν κατακόρυφο τοῖχο, πού βρίσκεται πίσω ἀπό τόν παρατηρητή καί σέ ἀπόσταση 2 m ἀπό αὐτόν. Πόσο ὕψος τοῦ τοίχου βλέπει ὁ παρατηρητής μέσα στό κάτοπτρο;

121. Ἡ κεντρική ἀκτίνα μιᾶς συγκλίνουσας φωτεινῆς δέσμης εἶναι ὀριζόντια. Στήν πορεία τῆς δέσμης καί σέ ἀπόσταση 10 cm ἀπό τήν ἐστία τῆς δέσμης βάζουμε ἕνα ἐπίπεδο κάτοπτρο, πού σχηματίζει γωνία  $45^\circ$  μέ τήν κεντρική ἀκτίνα τῆς δέσμης. Ποῦ σχηματίζεται ἡ νέα ἐστία τῆς δέσμης;

122. Ἐνα ἐπίπεδο κυκλικό κάτοπτρο ἔχει ἀκτίνα 6 cm καί εἶναι στερεωμένο κατακόρυφα σέ ἀπόσταση 10 m ἀπό ἕναν τοῖχο. Μιά σημειακή φωτεινή πηγή Π βρίσκεται μεταξύ τοῦ κατόπτρου καί τοῦ τοίχου καί σέ ὕψος 10 cm πάνω ἀπό τήν κάθετη πού περνάει ἀπό τό κέντρο τοῦ κατόπτρου. Ἡ ὀριζόντια ἀπόσταση τῆς πηγῆς Π ἀπό τό κάτοπτρο εἶναι 1 m. Πόση εἶναι ἡ διάμετρος τοῦ φωτεινοῦ κύκλου πού

σχηματίζεται πάνω στον τοίχο και πόσο απέχει τό κέντρο αὐτοῦ τοῦ κύκλου ἀπό τήν κάθετη πού περνάει ἀπό τό κέντρο τοῦ κατόπτρου;

### β. Σφαιρικά κάτοπτρα

123. Πάνω στόν κύριο ἄξονα κοίλου κατόπτρου καί σέ ἀπόσταση δεκαπλάσια ἀπό τήν ἐστιακή ἀπόστασή του ( $a = 10f$ ) βρίσκεται ἕνα φωτεινό σημεῖο. Πόσο απέχει τό εἶδωλο ἀπό τή φωτεινή πηγῆ;

124. Ἐνα κοῖλο σφαιρικό κάτοπτρο ἔχει ἀκτίνα καμπυλότητος  $R = 40$  cm. Ποῦ πρέπει νά τοποθετηθεῖ ἕνα ἀντικείμενο AB, γιά νά σχηματιστεῖ εἶδωλο πραγματικό τρεῖς φορές μεγαλύτερο ἢ τέσσερις φορές μικρότερο ἀπό τό ἀντικείμενο;

125. Ἐνα κοῖλο σφαιρικό κάτοπτρο ἔχει ἐστιακή ἀπόσταση  $f$ . Σέ πόση ἀπόσταση ἀπό τό κάτοπτρο πρέπει νά τοποθετήσουμε ἕνα ἀντικείμενο, γιά νά πάρουμε εἶδωλο φανταστικό διπλάσιο ἀπό τό ἀντικείμενο ἢ εἶδωλο πραγματικό διπλάσιο ἀπό τό ἀντικείμενο;

126. Ἐνα κοῖλο σφαιρικό κάτοπτρο δίνει ὄρθιο εἶδωλο 5 φορές μεγαλύτερο ἀπό τό ἀντικείμενο. Ἡ ἀπόσταση τοῦ εἰδώλου ἀπό τό ἀντικείμενο εἶναι 80 cm. Πόση εἶναι ἡ ἀπόσταση τοῦ ἀντικειμένου ἀπό τό κάτοπτρο καί πόση εἶναι ἡ ἐστιακή ἀπόσταση τοῦ κατόπτρου;

127. Ἐνας παρατηρητής βλέπει τό μάτι του, πού ἔχει μήκος  $AB = 3$  cm, μέσα σέ κοῖλο κάτοπτρο πού ἔχει ἐστιακή ἀπόσταση 12 cm καί τό κρατεῖ σέ ἀπόσταση 10 cm ἀπό τό μάτι. Ποῦ σχηματίζεται τό εἶδωλο τοῦ ματιοῦ; Μέ ποιά γωνία βλέπει ὁ παρατηρητής αὐτό τό εἶδωλο; Νά συγκριθεῖ αὐτή ἡ γωνία μέ ἐκείνη πού βρέθηκε στό ἀντίστοιχο πρόβλημα 117.

128. Ἐνα ἀντικείμενο AB ἀπέχει 75 cm ἀπό ἕναν τοῖχο. Ποῦ πρέπει νά τοποθετήσουμε κοῖλο κάτοπτρο ἐστιακῆς ἀποστάσεως  $f = 20$  cm, γιά νά σχηματιστεῖ πάνω στόν τοῖχο καθαρό εἶδωλο τοῦ ἀντικειμένου;

129. Ἡ φαινόμενη διάμετρος τοῦ δίσκου τῆς Σελήνης εἶναι  $\omega = 31'$ . Πόση εἶναι ἡ διάμετρος τοῦ εἰδώλου τῆς Σελήνης πού σχηματίζεται ἀπό κοῖλο κάτοπτρο ἐστιακῆς ἀποστάσεως  $f = 12,90$  m;

130. Ἐνα φωτεινό σημεῖο A ἀπέχει 40 cm ἀπό κοῖλο κάτοπτρο K, ἐστιακῆς ἀποστάσεως  $f = 30$  cm. Κάθετα στόν κύριο ἄξονα αὐτοῦ τοῦ κατόπτρου τοποθετοῦμε ἐπίπεδο κάτοπτρο K'. Ποῦ πρέπει νά τοποθετήσουμε τό κάτοπτρο K', ὥστε οἱ ἀκτίνες πού φεύγουν ἀπό



τό σημείο Α, αφού ανακλασθούν διαδοχικά πάνω στά δύο κάτοπτρα νά συγκεντρώνονται στό σημείο Α;

131. Κυρτό σφαιρικό κάτοπτρο δίνει είδωλο 8 φορές μικρότερο από τό αντικείμενο. Ή απόσταση του είδώλου από τό αντικείμενο φαίνεται ότι είναι 90 cm. Πόση είναι ή απόσταση του αντικειμένου από τό κάτοπτρο καί ή ακτίνα καμπυλότητας του κατόπτρου;

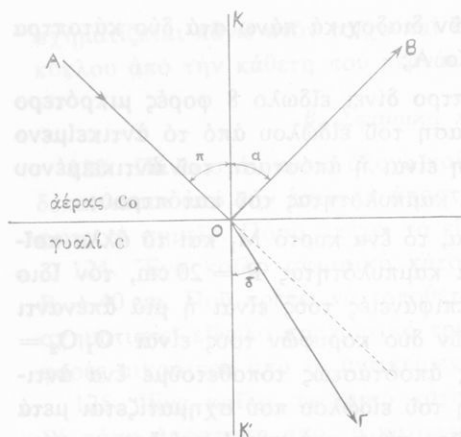
132. Δύο σφαιρικά κάτοπτρα, τό ένα κυρτό  $M_1$  καί τό άλλο κοίλο  $M_2$ , έχουν τήν ίδια ακτίνα καμπυλότητας  $R = 20$  cm, τόν ίδιο κύριο άξονα, οί κατοπτρικές επιφάνειές τους είναι ή μιά άπέναντι στην άλλη καί ή απόσταση των δύο κορυφών τους είναι  $O_1 O_2 = 40$  cm. Στή μέση αυτής τής αποστάσεως τοποθετούμε ένα αντικείμενο ΑΒ. Νά βρεθεί ή θέση του είδώλου που σχηματίζεται μετά τήν ανάκλαση των ακτίνων πρώτα πάνω στό κυρτό καί έπειτα πάνω στό κοίλο κάτοπτρο.

133. Έμπρός από κοίλο κάτοπτρο Μ έστιακής αποστάσεως 50 cm τοποθετούμε κάθετα στον κύριο άξονα ένα επίπεδο κάτοπτρο Ν έτσι, ώστε οί κατοπτρικές επιφάνειες των δύο κατόπτρων νά είναι ή μιά άπέναντι στην άλλη. Ή απόσταση μεταξύ των δύο κατόπτρων είναι  $\delta = 2$  m. Μιά μικρή φωτεινή ευθεία που έχει ύψος  $AB = 5$  cm καί είναι κάθετη στον κύριο άξονα βρίσκεται σε απόσταση 25 cm από τό κοίλο κάτοπτρο Μ. Νά βρεθεί ή θέση καί τό μέγεθος του είδώλου που σχηματίζεται μετά τήν ανάκλαση των ακτίνων πρώτα πάνω στό κοίλο κάτοπτρο Μ καί έπειτα πάνω στό επίπεδο κάτοπτρο Ν.

## ΔΙΑΘΛΑΣΗ ΤΟΥ ΦΩΤΟΣ

### 101. Διάθλαση του φωτός

α. Όρισμός. Όταν μιά λεπτή *μονοχρωματική* δέσμη φωτός πέφτει πλάγια πάνω στην επιφάνεια που διαχωρίζει δύο διαφορετικά διαφανή μέσα, τότε ένα μέρος του φωτός μπαίνει στό δεύτερο διαφανές μέσο, αλλάζοντας όμως διεύθυνση (σχ. 138). Αυτό τό φαινόμενο ονομάζεται *διάθλαση* του φωτός καί οφείλεται στό ότι ή ταχύτητα του φωτός είναι διαφορετική στά δύο διαφανή μέσα. Τό επίπεδο ΑΟΚ στό οποιο βρίσκονται ή προσπίπτουσα ακτίνα (ΑΟ) καί ή κάθετη



Σχ. 138. Οι γωνίες προσπίπτωσης ( $\pi$ ) και διαθλάσεως ( $\delta$ )

(ΚΚ') στη διαχωριστική επιφάνεια, είναι το επίπεδο προσπτώσεως. Η ακτίνα ΟΓ είναι η διαθλώμενη ακτίνα και η γωνία ΓΟΚ' είναι η γωνία διαθλάσεως.

β. Νόμοι της διαθλάσεως του φωτός. Από τη μελέτη του φαινομένου της διαθλάσεως βρέθηκαν οι εξής νόμοι της διαθλάσεως του φωτός:

**I. Η προσπίπτουσα και η διαθλώμενη ακτίνα βρίσκονται στο επίπεδο προσπτώσεως.**

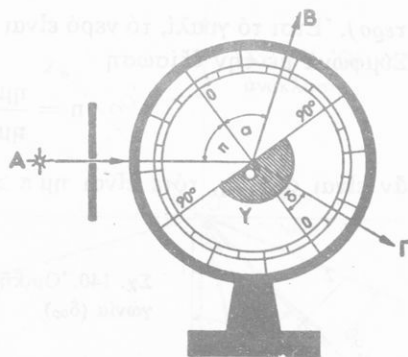
**II. Ο λόγος του ημίτονου της γωνίας προσπτώσεως ( $\pi$ ) προς το ημίτονο της γωνίας διαθλάσεως ( $\delta$ ) είναι σταθερός, ονομάζεται δείκτης διαθλάσεως ( $n$ ) και είναι ίσος με το λόγο των ταχυτήτων του φωτός στα δύο διαφανή μέσα.**

$$\text{δείκτης διαθλάσεως } n_{2,1} = \frac{\eta \mu \pi}{\eta \mu \delta} = \frac{c_1}{c_2}$$

Ο δείκτης διαθλάσεως εξαρτάται από τη φύση των δύο διαφανών μέσων και είναι ανεξάρτητος από τη γωνία προσπτώσεως. Ο δείκτης διαθλάσεως, που όρισαμε για το σύστημα αέρας - γυαλί, είναι ο σχετικός δείκτης διαθλάσεως του γυαλιού ως προς τον αέρα. Αν η ακτίνα πέφτει κάθετα στη διαθλαστική επιφάνεια ( $\pi = 0^\circ$ ), τότε η διαθλώμενη ακτίνα δεν αλλάζει διεύθυνση ( $\delta = 0^\circ$ ), δηλαδή δεν παθαίνει εκτροπή από τη διεύθυνση της προσπίπτουσας ακτίνας.

Κατά προσέγγιση οι νόμοι της διαθλάσεως επαληθεύονται με τη διάταξη που δείχνει το σχήμα 139. Στο κέντρο του γωνιομετρικού κύκλου υπάρχει γυάλινος ημικύλινδρος (Υ). Μία φωτεινή ακτίνα πέφτει κάθετα στον άξονα του ημικυλίνδρου. Η ακτίνα μπαίνοντας από

τόν αέρα στο γυαλί διαθλάται και τότε η γωνία διαθλάσεως ( $\delta$ ) είναι μικρότερη από τη γωνία προσπτώσεως ( $\pi$ ), δηλαδή η διαθλώμενη ακτίνα πλησιάζει προς την κάθετη στο σημείο προσπτώσεως. Η ακτίνα βγαίνοντας από το γυαλί στον αέρα δέν αλλάζει διεύθυνση, γιατί πέφτει κάθετα στην κυλινδρική επιφάνεια, πού διαχωρίζει το γυαλί από τον αέρα. Όταν μεταβάλλουμε τη γωνία προσπτώσεως  $\pi$ , μεταβάλλεται και η γωνία διαθλάσεως  $\delta$ , αλλά ο λόγος  $\eta\mu\pi/\eta\mu\delta$  μένει σταθερός.



Σχ. 139. Για την απόδειξη των νόμων της διαθλάσεως

γ. Απόλυτος δείκτης διαθλάσεως. Ο δείκτης διαθλάσεως, πού αντιστοιχεί σε μετάβαση του φωτός από το κενό στο διαφανές υλικό, ονομάζεται απόλυτος δείκτης διαθλάσεως του υλικού. Στην πράξη χρησιμοποιούμε το σχετικό δείκτη διαθλάσεως, πού αντιστοιχεί σε μετάβαση του φωτός από τον αέρα στα διάφορα διαφανή υλικά. Γενικά βρήκαμε ότι ο σχετικός δείκτης διαθλάσεως ενός υλικού ως προς τον αέρα είναι κατά μεγάλη προσέγγιση ίσος με τον απόλυτο δείκτη διαθλάσεως του υλικού.

Ο απόλυτος δείκτης διαθλάσεως του αέρα είναι

$$n = \frac{c_0 \text{ (κενό)}}{c \text{ (αέρας)}} = 1,000\ 293 \quad \eta \quad n \simeq 1$$

Δείκτες διαθλάσεως

(για την κίτρινη ακτινοβολία του νατρίου)

διαμάντι  $n = 2,470$ , κοινό γυαλί  $n = 1,540$ , νερό  $n = 1,333$

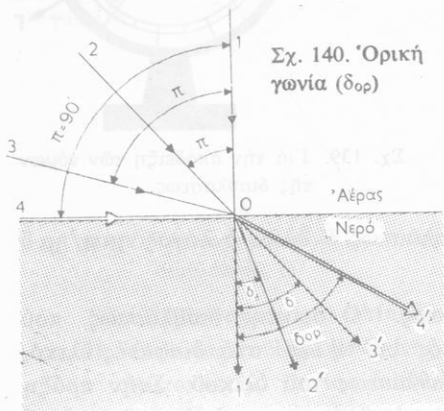
## 102. Όρική γωνία

Από δύο διαφανή μέσα εκείνο στο οποίο η ταχύτητα του φωτός έχει μικρότερη τιμή ονομάζεται οπτικά πυκνότερο (ή διαθλαστικό-

τερο). Έτσι τό γυαλί, τό νερό είναι οπτικά πυκνότερα από τόν άέρα(\*)  
 Σύμφωνα μέ τήν εξίσωση

$$n = \frac{\eta\mu \pi}{\eta\mu \delta} = \frac{c_1}{c_2} \quad (1)$$

άν είναι  $c_2 < c_1$ , τότε είναι  $\eta\mu \pi > \eta\mu \delta$  καί  $\pi > \delta$ . Όποτε, όταν μιά φωτεινή άκτίνα μπαίνει σέ οπτικά πυκνότερο διαφανές μέσο, ή γωνία διαθλάσεως είναι πάντοτε μικρότερη από τή γωνία προσπτώσεως, δηλαδή ή διαθλώμενη άκτίνα πλησιάζει προς τήν κάθετη στή διαχωριστική επιφάνεια.



Σχ. 140. Όρική γωνία ( $\delta_{ορ}$ )

Όταν αυξάνει ή γωνία προσπτώσεως  $\pi$ , αυξάνει καί ή γωνία διαθλάσεως  $\delta$  (σχ. 140). Καί όταν ή γωνία προσπτώσεως τείνει νά λάβει τή μέγιστη τιμή της  $\pi = 90^\circ$ , ή γωνία δια-

θλάσεως τείνει νά λάβει μιά όρική τιμή  $\delta_{ορ}$ , πού ονομάζεται *όρική γωνία*. Από τήν εξίσωση

$$n = \frac{\eta\mu 90^\circ}{\eta\mu \delta_{ορ}} \quad \text{βρίσκουμε} \quad \eta\mu \delta_{ορ} = \frac{1}{n}$$

Όποτε, τό ήμίτονο τής όρικής γωνίας ( $\delta_{ορ}$ ) είναι ίσο μέ τό αντίστροφο του δείκτη διαθλάσεως ( $n$ ). Γιά τό σύστημα άέρα - νερό είναι  $\delta_{ορ} = 48,5^\circ$

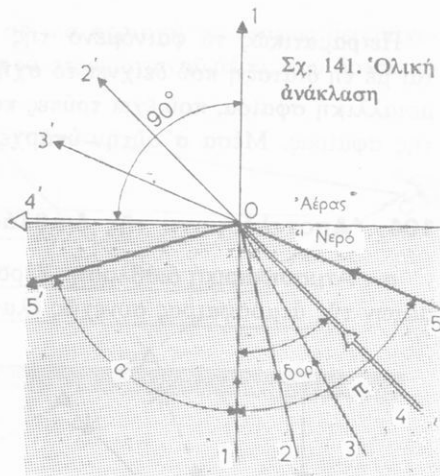
### 103. Όλική ανάκλαση

Σύμφωνα μέ τήν άρχή της αντίστροφης πορείας του φωτός (§ 95), όταν μιά φωτεινή άκτίνα μπαίνει από οπτικά πυκνότερο σέ οπτικά

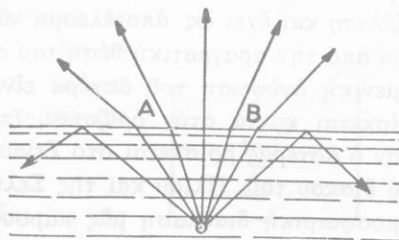
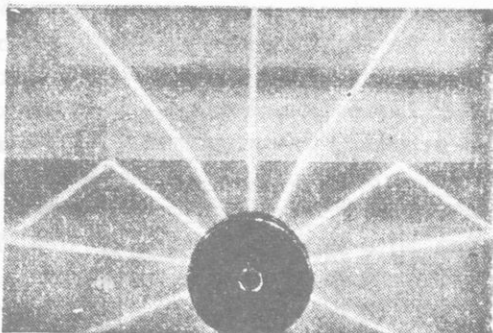
(\*) Τό οπτικά πυκνότερο υλικό δέν έχει πάντοτε καί τή μεγαλύτερη πυκνότητα ( $\rho$ ), π.χ. τό οίνόπνευμα είναι οπτικά πυκνότερο από τό νερό.

ἀραιότερο μέσο, τότε ἡ γωνία διαθλάσεως εἶναι *μεγαλύτερη* ἀπὸ τὴ γωνία προσπτώσεως καὶ ἡ διαθλωμένη ἀκτίνα ἀπομακρύνεται ἀπὸ τὴν κάθετη στὴ διαχωριστικὴ ἐπιφάνεια. Ἐάν ἡ γωνία προσπτώσεως γίνει ἴση μὲ τὴν ὀριζή γωνία  $\delta_{00}$ , τότε ἡ γωνία διαθλάσεως ἔχει τὴ μεγαλύτερη τιμὴ τῆς καὶ εἶναι ἴση μὲ  $90^\circ$  (σχ. 141). Ἐάν ἡ γωνία προσπτώσεως γίνει *μεγαλύτερη* ἀπὸ τὴν ὀριζή γωνία  $\delta_{00}$ , δὲν μπορεῖ νὰ συμβεῖ διάθλαση. Τότε ἡ προσπίπτουσα ἀκτίνα ἀνακλάται πάνω στὴ διαχωριστικὴ ἐπιφάνεια σύμφωνα μὲ τοὺς νόμους τῆς ἀνακλάσεως καὶ ἐξακολουθεῖ νὰ διαδίδεται μέσα στὸ ὀπτικά πυκνότερο μέσο. Αὐτὸ τὸ φαινόμενο ὀνομάζεται *ὀλική ἀνάκλαση*. Ὡστε

Ὀλική ἀνάκλαση συμβαίνει πάνω στὴ διαχωριστικὴ ἐπιφάνεια δύο διαφανῶν μέσων, ὅταν τὸ φῶς πηγαίνει ἀπὸ τὸ ὀπτικά πυκνότερο στὸ ὀπτικά ἀραιότερο μέσο καὶ ἡ γωνία προσπτώσεως εἶναι μεγαλύτερη ἀπὸ τὴν ὀριζή γωνία ( $\delta_{00}$ ).



Σχ. 141. Ὀλική ἀνάκλαση

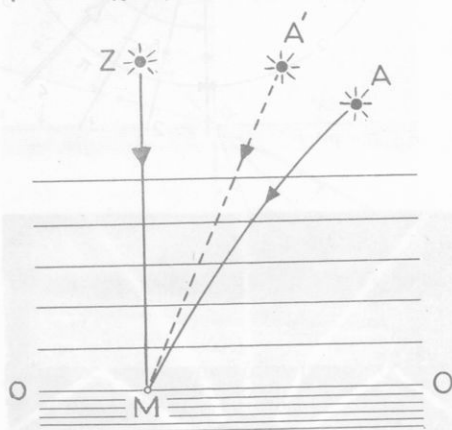


Σχ. 142. Πειραματικὴ διάταξη καὶ σχηματικὴ παράσταση τῆς διατάξεως γιὰ τὴν ἀπόδειξη τῆς ὀλικῆς ἀνακλάσεως

Πειραματικῶς τὸ φαινόμενο τῆς ὀλικῆς ἀνακλάσεως ἐπαληθεύεται μὲ τὴ διάταξη πού δείχνει τὸ σχῆμα 142. Μέσα στὸ νερὸ ὑπάρχει μεταλλικὴ σφαῖρα, πού ἔχει τρύπες κατὰ μῆκος ἑνὸς μέγιστου κύκλου τῆς σφαίρας. Μέσα σ' αὐτὴν ὑπάρχει ἠλεκτρικὸς λαμπτήρας.

#### 104. Ἀποτελέσματα τῆς διαθλάσεως

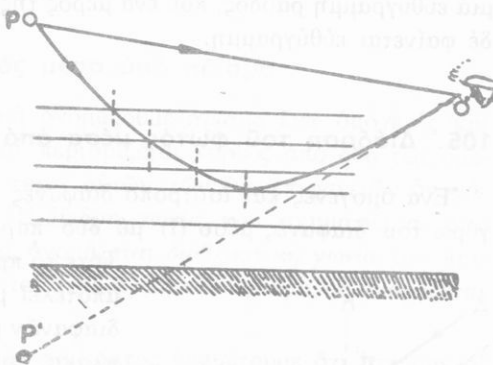
α. Ἀτμοσφαιρικὴ διάθλαση. Ξέρουμε ὅτι ἡ πυκνότητα τῶν στρωμάτων τῆς ἀτμόσφαιρας συνεχῶς ἐλαττώνεται, ὅσο ἀπομακρυνόμαστε



Σχ. 143. Ἀτμοσφαιρικὴ διάθλαση

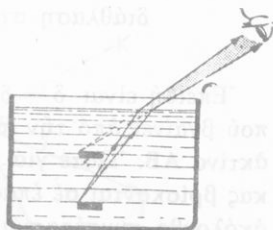
ἀπὸ τὴν ἐπιφάνεια τῆς θάλασσας. Μία φωτεινὴ ἀκτίνα, πού προέρχεται ἀπὸ ἕναν ἀστέρα, καθὼς προχωρεῖ μέσα στὴν ἀτμόσφαιρα, παθαίνει συνεχῶς διαδοχικὲς διαθλάσεις. Ἐπειδὴ ἡ ἀκτίνα συνεχῶς πηγαίνει ἀπὸ ὀπτικά ἀραιότερο σὲ ὀπτικά πυκνότερο στρώμα ἀέρα, γι' αὐτὸ ἡ ἀκτίνα διαθλάται πλησιάζοντας πρὸς τὴν κάθετη (σχ. 143). Ἔτσι ἡ φωτεινὴ ἀκτίνα παίρνει μορφή καμπύλης καὶ τὸ μάτι μας Μ βλέπει τὸν ἀστέρα κατὰ τὴ διεύθυνση τῆς ἐφαπτομένης τῆς καμπύλης στὸ σημεῖο Μ. Αὐτὸ τὸ φαινόμενο ὀνομάζεται *ἀτμοσφαιρικὴ διάθλαση* καὶ ἔχει ὡς ἀποτέλεσμα νὰ παρουσιάζει τὸν ἀστέρα *ψηλότερα* ἀπὸ τὴν πραγματικὴ θέση του σχετικὰ μὲ τὸν ὀρίζοντα. Ἡ φαινομενικὴ ἀνύψωση τοῦ ἀστέρα εἶναι μεγαλύτερη, ὅταν ὁ ἀστέρας βρίσκεται κοντὰ στὸν ὀρίζοντα, (περίπου 34'), ἐνῶ δὲ συμβαίνει, ὅταν ὁ ἀστέρας βρίσκεται στὸ Ζενίθ. Ἐπειδὴ ἡ φαινόμενη διάμετρος τοῦ δίσκου τοῦ Ἡλίου καὶ τῆς Σελήνης εἶναι μικρότερη ἀπὸ 34', ἡ ἀτμοσφαιρικὴ διάθλαση μᾶς παρουσιάζει τὸ δίσκο τοῦ Ἡλίου καὶ τῆς Σελήνης πάνω ἀπὸ τὸν ὀρίζοντα, ἐνῶ στὴν πραγματικότητα ὁ Ἡλιος καὶ ἡ Σελήνη ἢ δὲν ἔχουν ἀκόμη ἀνατεῖλει ἢ ἔχουν δύσει πρὶν ἀπὸ λίγο χρόνον.

β. Άντικατοπτρισμός. Όταν σε μία περιοχή το έδαφος θερμαίνεται πολύ (π.χ. στις έρημους), τότε τα στρώματα του αέρα, που βρίσκονται σε επαφή με το έδαφος θερμαίνονται πολύ και γίνονται αραιότερα από τα υπερκείμενα στρώματα. Μία φωτεινή ακτίνα, που προέρχεται από ένα ψηλό αντικείμενο (π.χ. ένα δέντρο), μπαίνει τότε συνεχώς από οπτικά πυκνότερο σε οπτικά αραιότερο στρώμα και μεταβάλλεται σε καμπύλη (σχ. 144).



Σχ. 144. Άντικατοπτρισμός

Στη διαχωριστική επιφάνεια δύο τέτοιων στρωμάτων η ακτίνα δεν μπαίνει στο αραιότερο στρώμα, αλλά εκεί παθαίνει *ολική ανάκλαση*. Τότε η ακτίνα ακολουθεί μία συμμετρική πορεία, γιατί τώρα συνεχώς μπαίνει από οπτικά αραιότερα σε οπτικά πυκνότερα στρώματα. Έτσι το μάτι ενός παρατηρητή βλέπει το είδωλο του αντικείμενου *αντιστραμμένο*, σαν να ήταν εμπρός του η ήρεμη επιφάνεια μιιάς λίμνης (επίπεδο κάτοπτρο). Αυτό το φαινόμενο ονομάζεται *άντικατοπτρισμός* και παρατηρείται συνήθως στις έρημους τις μεσημβρινές ώρες. Φαινόμενα άντικατοπτρισμού παρατηρούμε το καλοκαίρι στις άκτές, και τότε μακρινά τμήματα της ξηράς (άκρωτήρια, νησιά) τα βλέπουμε πάνω από την επιφάνεια της θάλασσας. Επίσης σε άντικατοπτρισμό οφείλεται και το ότι το καλοκαίρι οί ασφαλτοστρωμένοι δρόμοι σε μεγάλη απόσταση από μας φαίνονται βρεγμένοι.



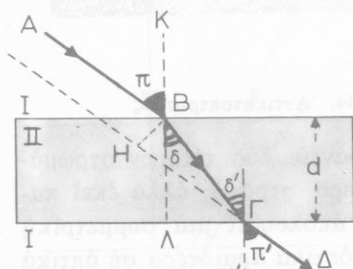
Σχ. 145. Φαινομενική άνύψωση σώματος που είναι μέσα στο νερό.

γ. Φαινομενική άνύψωση. Έξαιτίας της διαθλάσεως ο πυθμένας ενός δοχείου, που περιέχει νερό, ή ένα αντικείμενο που βρίσκεται μέσα στο νερό, φαίνονται πιο κοντά

στην ελεύθερη επιφάνεια του νερού από όσο είναι στην πραγματικότητα (σχ. 145). Σ' αυτή τή φαινομενική ανύψωση οφείλεται και τό ότι μιά εϋθύγραμμη ράβδος, πού ένα μέρος της βρίσκεται μέσα στό νερό, δέ φαίνεται εϋθύγραμμη.

### 105. Διάδοση του φωτός μέσα από πλάκα

Ένα όμογενές και ισότροπο διαφανές μέσο (II) χωρίζεται από τό γύρω του διαφανές μέσο (I) με δύο παράλληλα επίπεδα (σχ. 146).



Σχ. 146. Η ακτίνα AB παθαίνει μόνο παράλληλη μετατόπιση.

Τότε τό πρώτο από αυτά τά δύο μέσα αποτελεί μιά πλάκα. Τέτοιο σύστημα διαφανών μέσων αποτελεί μιά γυάλινη πλάκα, πού βρίσκεται μέσα στον αέρα. Μιά φωτεινή ακτίνα AB πέφτει στην πάνω έδρα τής πλάκας και αφού πάθει δύο διαθλάσεις βγαίνει στον αέρα. Οί δύο γωνίες δ και δ', πού σχηματίζονται μέσα στό γυαλί, είναι ίσες (γιατί είναι έντός έναλλάξ). Έπομένως για τίς δύο διαθλάσεις ισχύουν οί σχέσεις :

$$\text{διάθλαση στό σημείο B} \quad n = \frac{\eta \mu \pi}{\eta \mu \delta}$$

$$\text{διάθλαση στό σημείο Γ} \quad n = \frac{\eta \mu \pi'}{\eta \mu \delta'}$$

Έπειδή είναι  $\delta = \delta'$ , έπεται ότι είναι και  $\pi = \pi'$ . Η ακτίνα ΓΔ, πού βγαίνει από τήν πλάκα, είναι παράλληλη με τήν προσπίπτουσα ακτίνα AB. Ωστε για τήν περίπτωση πού και οί δύο έδρες τής πλάκας βρίσκονται σε έπαφή με τό ίδιο διαφανές μέσο καταλήγουμε στό ακόλουθο συμπέρασμα:

**Όταν μιά φωτεινή ακτίνα περνάει μέσα από πλάκα, τότε ή ακτίνα παθαίνει μόνο παράλληλη μετατόπιση.**



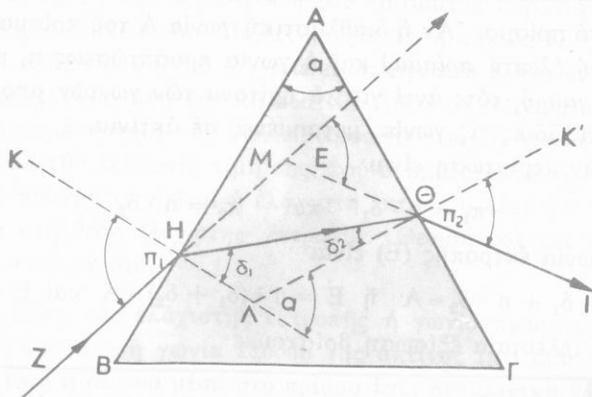
Ἡ φωτεινὴ ἀκτὴν δὲν παθαίνει παράλληλη μετατόπιση, ὅταν πέσει κάθετα στὴ μίαν ἕδραν τῆς πλάκας.

### 106. Διάδοση τοῦ φωτὸς μέσα ἀπὸ πρίσμα

α. Ὅρισμοί. Στὴν Ὀπτική ὀνομάζουμε πρίσμα ἓνα ὁμογενὲς καὶ ἰσότροπο διαφανὲς μέσο, πού περιορίζεται κυρίως ἀπὸ δύο τεμνόμενες ἐπίπεδες ἐπιφάνειες. Ἡ τομὴ αὐτῶν τῶν δύο ἐπιφανειῶν ὀνομάζεται ἀκμὴ τοῦ πρίσματος. Ἡ διέδρη γωνία, πού σχηματίζεται ἀπὸ τὶς δύο ἕδρες τοῦ πρίσματος, ὀνομάζεται διαθλαστικὴ γωνία τοῦ πρίσματος. Κάθε ἐπίπεδο κάθετο στὴν ἀκμὴ τοῦ πρίσματος ὀνομάζεται κύρια τομὴ τοῦ πρίσματος.

Στὴν παρακάτω μελέτη τοῦ πρίσματος ὑποθέτουμε ὅτι ἰσχύουν οἱ ἀκόλουθες συνθήκες: α) Ἡ προσπίπτουσα ἀκτὴν βρίσκεται πάνω σὲ μίαν κύρια τομὴ τοῦ πρίσματος. Τότε σύμφωνα μὲ τὸ νόμο τῆς διαθλάσεως καὶ ἡ διαθλώμενη ἀκτὴν βρίσκεται πάνω στὴν ἴδια κύρια τομὴ. β) Τὸ φῶς πού χρησιμοποιοῦμε εἶναι μονοχρωματικόν, γιατί, ἂν πάνω στό πρίσμα πέσει λευκὸ φῶς, αὐτό, καθὼς περνᾷ μέσα ἀπὸ τὸ πρίσμα, ἀναλύεται σὲ πολλὰ ἀπλά χρώματα.

β. Ἐξισώσεις τοῦ πρίσματος. Τὸ σχῆμα 147 δείχνει μίαν κύρια τομὴ πρίσματος, πού ἔχει διαθλαστικὴ γωνία  $A$  καὶ σχετικὸ δείκτη διαθλάσεως ὡς πρὸς τὸν ἀέρα  $n$ . Μία φωτεινὴ ἀκτὴν  $ZH$  διαθλάται στά ση-



Σχ. 147. Ἡ ἀκτὴν  $ZH$  ἐκτρέπεται κατὰ τὴ γωνία  $E$ .

μετα Η και Θ και βγαίνει στον αέρα. Γι' αυτές τις δύο διαθλάσεις ισχύουν οι εξισώσεις

$$\eta\mu \pi_1 = n \cdot \eta\mu \delta_1 \quad \text{καί} \quad \eta\mu \pi_2 = n \cdot \eta\mu \delta_2$$

Οι δύο κάθετες ΚΛ και Κ'Λ σχηματίζουν την όξεια γωνία α, που είναι ίση με τη διαθλαστική γωνία Α του πρίσματος. 'Επειδή η γωνία α είναι εξωτερική γωνία του τριγώνου ΛΗΘ, έχουμε τη σχέση

$$\alpha = \delta_1 + \delta_2 \quad \text{ή} \quad A = \delta_1 + \delta_2$$

'Η γωνία που σχηματίζουν οι προεκτάσεις της προσπίπτουσας ακτίνας ΖΗ και της εξερχόμενης ακτίνας ΘΙ ονομάζεται γωνία έκτροπής (E) και, επειδή είναι εξωτερική γωνία του τριγώνου ΗΜΘ, έχουμε τη σχέση

$$E = (\pi_1 - \delta_1) + (\pi_2 - \delta_2) \quad \text{ή} \quad E = \pi_1 + \pi_2 - (\delta_1 + \delta_2)$$

$$\text{Άρα} \quad E = \pi_1 + \pi_2 - A$$

'Από τα παραπάνω συνάγεται το συμπέρασμα:

**Όταν μία φωτεινή ακτίνα περνάει μέσα από πρίσμα, η ακτίνα παθαίνει δύο διαθλάσεις και ισχύουν οι εξισώσεις**

εξισώσεις του πρίσματος	$\left. \begin{array}{l} \eta\mu \pi_1 = n \cdot \eta\mu \delta_1 \\ A = \delta_1 + \delta_2 \end{array} \right\}$	$\begin{array}{l} \eta\mu \pi_2 = n \cdot \eta\mu \delta_2 \\ E = \pi_1 + \pi_2 - A \end{array}$
----------------------------	--	--

γ. Λεπτό πρίσμα. 'Αν η διαθλαστική γωνία Α του πρίσματος είναι πολύ μικρή (λεπτό πρίσμα) και η γωνία προσπτώσεως  $\pi_1$  είναι επίσης πολύ μικρή, τότε αντί για τα ήμίτονα των γωνιών μπορούμε να πάρουμε τις ίδιες τις γωνίες μετρημένες σε ακτίνα.

Σ' αυτή την περίπτωση είναι

$$\pi_1 = n \cdot \delta_1 \quad \text{καί} \quad \pi_2 = n \cdot \delta_2$$

'Αρα η γωνία έκτροπής (E) είναι

$$E = n \cdot \delta_1 + n \cdot \delta_2 - A \quad \text{ή} \quad E = n \cdot (\delta_1 + \delta_2) - A \quad \text{καί} \quad E = nA - A$$

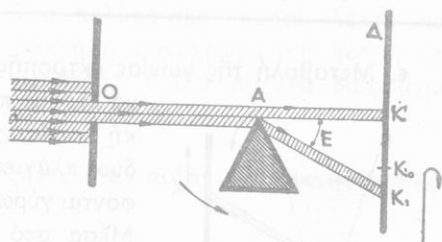
'Από την τελευταία εξίσωση βρίσκουμε

εξίσωση λεπτού πρίσματος	$E = A \cdot (n - 1)$
--------------------------	-----------------------

Όταν τό πρίσμα είναι λεπτό καί ή γωνία προσπτώσεως είναι μικρή, ή γωνία έκτροπής (E) είναι ανάλογη μέ τή διαθλαστική γωνία (A) τοῦ πρίσματος.

δ. Μεταβολή τῆς γωνίας έκτροπῆς. Ἐλάχιστη έκτροπή. Οἱ ἐξισώσεις τοῦ πρίσματος δείχνουν ὅτι ή γωνία έκτροπῆς E ἐξαρτᾶται ἀπό τή διαθλαστική γωνία A, τό δείκτη διαθλάσεως  $n$  τοῦ πρίσματος καί τή γωνία προσπτώσεως  $\pi_1$ .

Στήν πορεία μιᾶς λεπτῆς παράλληλης μονοχρωματικῆς δέσμης παρεμβάλλουμε πρίσμα ἔτσι, ὥστε ἓνα μέρος τῶν ἀκτίνων τῆς δέσμης νά πέφτει πάνω στό πρίσμα κάθετα στήν ἀκμή του (σχ. 148).



Σχ. 148. Μεταβολή τῆς γωνίας έκτροπῆς μέ τή γωνία προσπτώσεως

Τότε στό διάφραγμα σχηματίζονται δύο φωτεινές κηλίδες. Ἡ κηλίδα  $K'$  προέρχεται ἀπό τίς ἀκτίνες τῆς δέσμης πού δέν πέρασαν ἀπό τό πρίσμα, ἐνῶ ή κηλίδα  $K_1$  προέρχεται ἀπό τίς ἀκτίνες πού πέρασαν ἀπό τό πρίσμα καί ἔπαθαν έκτροπή. Παίρνουμε ὡς ἄξονα περιστροφῆς τήν ἀκμή τοῦ πρίσματος. Τότε στρέφοντας τό πρίσμα μεταβάλλουμε τή γωνία προσπτώσεως. Ἡ φορά τῆς περιστροφῆς τοῦ πρίσματος εἶναι τέτοια, ὥστε ή κηλίδα  $K_1$  νά πλησιάζει πρὸς τήν κηλίδα  $K'$ . Μέ αὐτή τήν περιστροφή τοῦ πρίσματος ή γωνία προσπτώσεως συνεχῶς ἐλαττώνεται. Παρατηροῦμε ὅτι ή κηλίδα  $K_1$  στήν ἀρχή πλησιάζει πρὸς τήν κηλίδα  $K'$ , φτάνει ὡς τή θέση K καί ἔπειτα συνεχῶς ἀπομακρύνεται ἀπό τήν κηλίδα  $K'$ . Αὐτό τό πείραμα δείχνει ὅτι γιά μιᾶ ὀρισμένη τιμή τῆς γωνίας προσπτώσεως ή γωνία έκτροπῆς (E) λαβαίνει τήν ἐλάχιστη τιμή της, πού ὀνομάζεται *ἐλάχιστη έκτροπή*. Ὄταν πραγματοποιεῖται ή ἐλάχιστη έκτροπή, λέμε ὅτι τό πρίσμα βρίσκεται στή *θέση ἐλάχιστης έκτροπῆς*. Θεωρητικά καί πειραματικά ἀποδεικνύεται ὅτι

Στή θέση τῆς ἐλάχιστης έκτροπῆς ή γωνία προσπτώσεως ( $\pi_1$ ) εἶναι ἴση μέ τή γωνία ἐξόδου τῆς ἀκτίνας ( $\pi_2$ ) ἀπό τό πρίσμα καί τότε ή ἀκτίνα μέσα στό πρίσμα ἔχει συμμετρική θέση σχετικά μέ τήν προσπίπτουσα καί τήν ἐξερχόμενη ἀκτίνα.

Έπειδή στη θέση της ελάχιστης έκτροπής είναι  $\pi_1 = \pi_2$ , έπεται ότι είναι και  $\delta_1 = \delta_2$ . Τότε από τις γνωστές εξισώσεις του πρίσματος βρίσκουμε ότι για τη θέση της ελάχιστης έκτροπής ισχύουν οι εξισώσεις

θέση ελάχιστης έκτροπής	$\pi_1 = \pi_2$	$\delta_1 = \delta_2$	$n \mu \pi_1 = n \cdot n \mu \delta_1$
	$A = 2\delta_1$	$E_{ελαχ} = 2\pi_1 - A$	



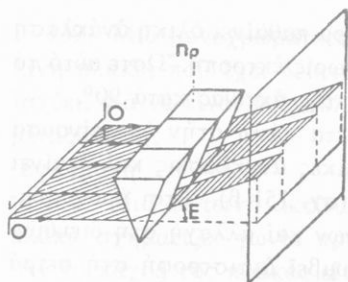
Σχ. 149. Μεταβολή της γωνίας έκτροπής με τη διαθλαστική γωνία του πρίσματος

Όταν αυξάνει ή διαθλαστική γωνία (A) του πρίσματος, αυξάνει και ή γωνία έκτροπής (E).

Αν συνεχιστεί ή αύξηση της διαθλαστικής γωνίας (A), έρχεται στιγμή πού ή φωτεινή δέσμη δέ βγαίνει από τό πρίσμα, αλλά πάνω στην έδρα ΑΓ παθαίνει ολική ανάκλαση. Έτσι βρέθηκε ότι

Η φωτεινή άκτινα βγαίνει από τό πρίσμα, όταν ή διαθλαστική γωνία του (A) είναι μικρότερη ή ίση με τό διπλάσιο της όρικής γωνίας ( $\delta_{op}$ ).

συνθήκη για τήν έξοδο της άκτινας	$A \leq 2 \delta_{op}$
-----------------------------------	------------------------



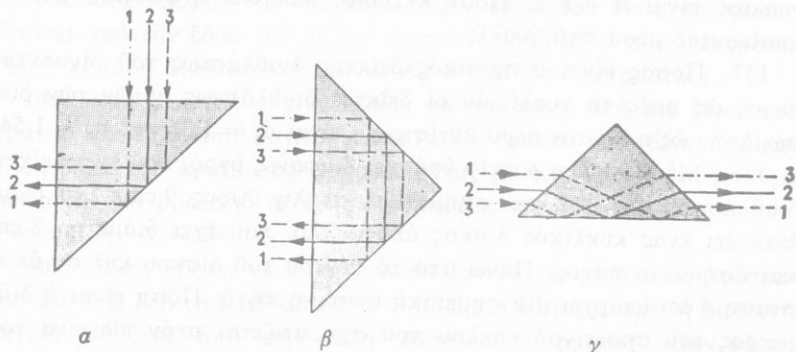
Σσ. 150. Μεταβολή τῆς γωνίας ἐκτροπῆς μέ τό δείκτη διαθλάσεως τοῦ πρίσματος

στ. Μεταβολή τῆς γωνίας ἐκτροπῆς μέ τό δείκτη διαθλάσεως. Ἔχουμε ἕνα σύστημα πρίσματος (πολύπρισμα), πού ἀποτελεῖται ἀπό πρίσματα, τά ὅποια ἔχουν τήν ἴδια διαθλαστική γωνία (A σταθερή), διαφορετικούς ὁμως δείκτες διαθλάσεως (σχ. 150). Στό πολύπρισμα πέφτει λεπτή παράλληλη μονοχρωματική δέσμη ( $\pi_1$  σταθερή). Πάνω σέ ἕνα διάφραγμα παρατηροῦμε ὅτι

Ἡ γωνία ἐκτροπῆς (E) αὐξάνει, ὅταν αὐξάνει ὁ δείκτης διαθλάσεως (n) τοῦ πρίσματος.

### 107. Πρίσματα ὀλικῆς ἀνακλάσεως

Τά πρίσματα ὀλικῆς ἀνακλάσεως εἶναι γυάλινα πρίσματα καί ἡ λειτουργία τους στηρίζεται στό φαινόμενο τῆς ὀλικῆς ἀνακλάσεως (γιά τό γυαλί ἡ ὀρική γωνία εἶναι  $\delta_{\text{ορ}} \approx 42^\circ$ ). Ἡ κύρια τομή ἑνός πρίσματος ὀλικῆς ἀνακλάσεως εἶναι ὀρθογώνιο ἰσοσκελές τρίγωνο (σχ. 151 α). Μιά φωτεινή ἀκτίνα, πού πέφτει κάθετα πάνω στή μιά κάθετη ἕδρα τοῦ πρίσματος, πέφτει πάνω στήν ὑποτείνουσα ἕδρα μέ γωνία προσπτώσεως  $45^\circ$ , δηλαδή μεγαλύτερη ἀπό τήν ὀρική γωνία.



Σχ. 151. Πρίσμα ὀλικῆς ἀνακλάσεως

Τότε η ακτίνα πάνω στην ύποτείνουσα έδρα παθαίνει όλικη ανάκλαση και βγαίνει από την άλλη κάθετη έδρα χωρίς έκτροπή. Ώστε αυτό τό πρίσμα προκαλεί *άλλαγή* στή διεύθυνση τής ακτίνας κατά  $90^\circ$ .

Αν οί φωτεινές ακτίνες πέσουν κάθετα πάνω στην ύποτείνουσα έδρα, τότε κάθε ακτίνα παθαίνει δύο όλικές ανακλάσεις και βγαίνει πάλι κάθετα από την ύποτείνουσα έδρα (σχ. 151 β). Έτσι όμως συμβαίνει *αντιστροφή* στή σειρά τών ακτίνων και *άλλαγή* στή διεύθυνσή τους κατά  $180^\circ$ . Μπορεί όμως νά συμβεί *αντιστροφή* στή σειρά τών ακτίνων, χωρίς νά *άλλάξει* ή διεύθυνσή τους (σχ. 151 γ). Τά πρίσματα όλικής ανακλάσεως χρησιμοποιούνται σέ πολλά όπτικά όργανα (τηλεσκόπια, περισκόπια, τηλέμετρα κ.ά.).

## ΠΡΟΒΛΗΜΑΤΑ

134. Μιά ακτίνα μονοχρωματικού φωτός μπαίνει από τόν άέρα σέ διαφανές σῶμα Α. Η γωνία προσπτώσεως είναι  $\pi = 45^\circ$  και ή γωνία διαθλάσεως είναι  $\delta = 30^\circ$ . Πόσος είναι ό δείκτης διαθλάσεως τού σώματος Α ως πρός τόν άέρα; Αν ή ταχύτητα τού φωτός στόν άέρα είναι  $c_0 = 300\ 000$  km/sec, πόση είναι ή ταχύτητα τού φωτός στό σῶμα Α;

135. Ό δείκτης διαθλάσεως τού νερού ως πρός τόν άέρα είναι  $n = 4/3$ . Πόση είναι ή ταχύτητα τού φωτός στό νερό;

136. Μιά φωτεινή ακτίνα πηγαίνοντας από τόν άέρα στό γυαλί σχηματίζει γωνία προσπτώσεως  $\pi = 45^\circ$ . Ό δείκτης διαθλάσεως τού γυαλιού είναι  $n = \sqrt{2}$ . Πόση έκτροπή παθαίνει ή φωτεινή ακτίνα μπαίνοντας μέσα στό γυαλί;

137. Πόσος είναι ό σχετικός δείκτης διαθλάσεως τού οίνοπνεύματος ως πρός τό γυαλί, αν οί δείκτες διαθλάσεως αυτών τών δύο σωμάτων ως πρός τόν άέρα αντίστοιχα είναι  $n_1 = 1,36$  και  $n_2 = 1,54$ ;

138. Μέσα σέ ένα δοχείο ύπάρχει διαφανές ύγρό, πού έχει δείκτη διαθλάσεως  $n = \sqrt{2}$  και σχηματίζει στήλη ύψους 9 cm. Στο ύγρό επιπλέει ένας κυκλικός δίσκος από φελλό, πού έχει διάμετρο 8 cm και άσήμαντο πάχος. Πάνω από τό κέντρο τού δίσκου και σέ απόσταση 4 cm ύπάρχει μιá σημειακή φωτεινή πηγή. Πόση είναι ή διάμετρος τού σκοτεινού κύκλου πού σχηματίζεται στόν πυθμένα τού δοχείου;

139. Μιά μονοχρωματική ακτίνα πέφτει πλάγια πάνω σε μία γυάλινη πλάκα, που έχει δείκτη διαθλάσεως  $n$ . Ποιά σχέση πρέπει να ισχύει, για να είναι ή ανακλώμενη και ή διαθλώμενη ακτίνα κάθετες μεταξύ τους;

Έφαρμογή  $n = 1,5$   $\epsilon\phi 57^\circ = 1,5$ .

140. Μιά φωτεινή ακτίνα μπαίνοντας από τον αέρα μέσα σε μία πλάκα σχηματίζει γωνία προσπτώσεως  $\pi$  και γωνία διαθλάσεως  $\delta$ . Αν τό πάχος τής πλάκας είναι  $d$ , να βρεθεί ότι ή παράλληλη μετατόπιση  $a$  τής φωτεινής ακτίνας δίνεται από τήν εξίσωση

$$a = d \cdot \frac{\eta\mu(\pi - \delta)}{\sigma\upsilon\nu \delta}$$

141. Μιά φωτεινή ακτίνα περνάει μέσα από πρίσμα που έχει διαθλαστική γωνία  $A = 60^\circ$  και δείκτη διαθλάσεως  $n = \sqrt{2}$ . Πόση είναι ή γωνία ελάχιστης έκτροπής;

142. Ένα πρίσμα έχει διαθλαστική γωνία  $A = 45^\circ$  και δείκτη διαθλάσεως  $n = 1,5$ . Η φωτεινή ακτίνα σχηματίζει γωνία προσπτώσεως  $\pi_1 = 30^\circ$ . Πόση είναι ή γωνία έκτροπής;

143. Η κύρια τομή πρίσματος είναι ισόπλευρο τρίγωνο  $AB\Gamma$ . Μιά φωτεινή ακτίνα πέφτει κάθετα πάνω στην έδρα  $AB$ . Νά κατασκευαστεί ή πορεία τής ακτίνας και να βρεθεί πόση είναι ή γωνία έκτροπής, αν ό δείκτης διαθλάσεως του πρίσματος είναι  $n = \sqrt{2}$ .

144. Ένα λεπτό γυάλινο πρίσμα έχει διαθλαστική γωνία  $A_1 = 5^\circ$ , δείκτη διαθλάσεως  $n_1 = 1,52$  και βρίσκεται σε έπαφή με ένα άλλο γυάλινο πρίσμα που έχει δείκτη διαθλάσεως  $n_2 = 1,63$ . Μιά φωτεινή ακτίνα, όταν πέφτει κάθετα πάνω στην έδρα του ενός πρίσματος, βγαίνει από τήν έδρα του άλλου πρίσματος χωρίς να πάθει έκτροπή. Πόση είναι ή διαθλαστική γωνία  $A_2$  του άλλου πρίσματος;

145. Μιά φωτεινή ακτίνα πέφτει κάθετα πάνω στη μιá έδρα πρίσματος, που έχει διαθλαστική γωνία  $A$ , και βγαίνει στον αέρα από τήν άλλη έδρα του πρίσματος σχηματίζοντας με τήν κάθετη στην έδρα γωνία  $\pi_2$ . Νά βρεθεί ό δείκτης διαθλάσεως  $n$  του πρίσματος. Έφαρμογή  $A = 30^\circ$ ,  $\pi_2 = 45^\circ$ .

146. Πόση πρέπει να είναι ή διαθλαστική γωνία  $A$  ενός πρίσματος που έχει δείκτη διαθλάσεως  $n = 1,75$ , για να μη μπορεί ή φωτεινή ακτίνα να βγει από τήν άλλη έδρα του πρίσματος στον αέρα;  $\eta\mu 35^\circ \simeq 0,571$ .

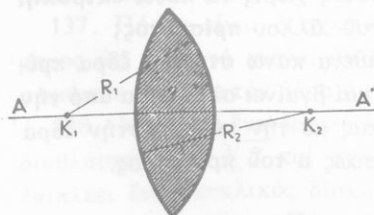
## ΣΦΑΙΡΙΚΟΙ ΦΑΚΟΙ

### 108. Φακός

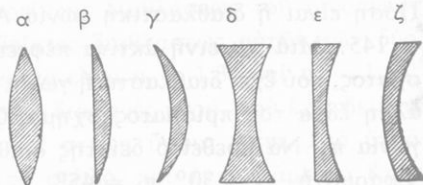
α. Όρισμοί. Όνομάζουμε *φακό* ένα διαφανές μέσο (συνήθως γυαλί), που περιορίζεται από δύο σφαιρικές επιφάνειες ή από μία σφαιρική και μία επίπεδη επιφάνεια (σχ. 152). Οι ακτίνες καμπυλότητας ( $R_1, R_2$ ) των σφαιρικών επιφανειών ονομάζονται *ακτίνες καμπυλότητας* του φακού. Τά κέντρα καμπυλότητας ( $K_1, K_2$ ) των σφαιρικών επιφανειών ονομάζονται *κέντρα καμπυλότητας* του φακού. Η ευθεία ( $AA'$ ) που περνάει από τά δύο κέντρα καμπυλότητας, ονομάζεται *κύριος άξονας* του φακού.

Στήν παρακάτω μελέτη των φακών δεχόμαστε ότι ισχύουν οι εξής συνθήκες: α) Ο φακός βρίσκεται μέσα στον αέρα, που ο δείκτης διαθλάσεώς του είναι κατά προσέγγιση ίσος με τή μονάδα ( $n_{\text{αερ}} = 1$ ). β) Οι φωτεινές ακτίνες που πέφτουν στο φακό βρίσκονται πολύ κοντά στον κύριο άξονα (κεντρικές ακτίνες). γ) Τό φώς που πέφτει στο φακό είναι *μονοχρωματικό*.

β. Συγκλίνοντες και άποκλίνοντες φακοί. Από τό συνδυασμό δύο σφαιρικών επιφανειών ή μιάς σφαιρικής και μιάς επίπεδης επιφάνειας προκύπτουν έξι είδη φακών (σχ. 153). Οι φακοί που είναι παχύτεροι στή μέση και λεπτότεροι στις άκρες ονομάζονται *συγκλίνοντες φακοί*, γιατί μεταβάλλουν σέ συγκλίνουσα δέσμη μιά παράλληλη δέσμη φωτεινών ακτίνων που πέφτει πάνω τους (σχ. 154). Αντίθετα οι φακοί, που είναι λεπτότεροι στή μέση και παχύτεροι στις άκρες, ονο-

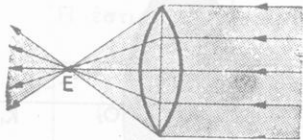


Σχ. 152. Σφαιρικός φακός ( $R_1, R_2$  ακτίνες καμπυλότητας,  $K_1, K_2$  κέντρα καμπυλότητας)

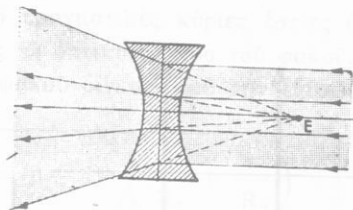


Σχ. 153. Σφαιρικοί φακοί (α, β, γ, συγκλίνοντες, δ, ε, ζ άποκλίνοντες φακοί)



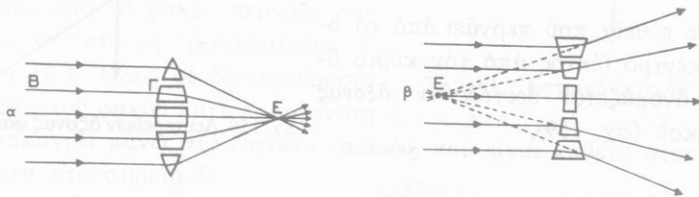


Σχ. 154. Ἡ κύρια ἐστία (E) τοῦ συγκλίνοντος φακοῦ



Σχ. 155. Ἡ κύρια ἐστία (E) στὸν ἀποκλίνοντα φακὸ εἶναι φανταστική.

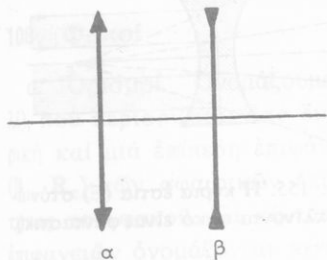
μάζονται, *ἀποκλίνοντες φακοί*, γιατί μεταβάλλουν σέ ἀποκλίνουσα δέσμη μιά παράλληλη δέσμη φωτεινῶν ἀκτίνων πού πέφτει πάνω τους (σχ. 155). Ἡ ιδιότητα αὐτῆ τῶν φακῶν ἐρμηνεύεται, ἂν θεωρήσουμε ὅτι ὁ φακὸς ἀποτελεῖται ἀπὸ μικρά τμήματα πρισμάτων, πού οἱ διαθλαστικές γωνίες τους (A) μεταβάλλονται συνεχῶς, ὅσο προχωροῦμε ἀπὸ τὸν κύριο ἄξονα πρὸς τίς ἄκρες τοῦ φακοῦ (σχ. 156).



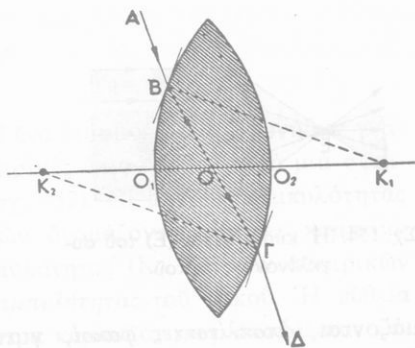
Σχ. 156. Ἐξήγηση τῆς ιδιότητας τῶν φακῶν νά σχηματίζουν συγκλίνουσα ἢ ἀποκλίνουσα δέσμη.

Τό πάχος τῶν φακῶν πού συνήθως χρησιμοποιοῦμε, ὅταν τό μετράμε κατά μήκος τοῦ κύριου ἄξονα, εἶναι πολύ μικρό σχετικά μέ τίς ἀκτίνες καμπυλότητας. Αὐτοί οἱ φακοί ὀνομάζονται *λεπτοί φακοί* καί γραφικά παριστάνονται ὅπως δείχνει τό σχῆμα 157.

γ. Ὀπτικό κέντρο τοῦ φακοῦ. Ὁ κύριος ἄξονας τοῦ φακοῦ τέμνει τίς δύο σφαιρικές ἐπιφάνειες σέ δύο σημεία  $O_1$  καί  $O_2$  (σχ. 158). Στούς λεπτούς φακοὺς θεωροῦμε ὅτι αὐτά τά δύο σημεία συμπίπτουν σέ ἓνα σημεῖο  $O$  τοῦ κύριου ἄξονα (σχ. 159). Αὐτό τό σημεῖο ὀνομάζεται *ὀπτικό κέντρο* τοῦ φακοῦ καί ἔχει τήν ἐξῆς ιδιότητα:



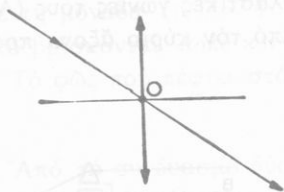
Σχ. 157. Σχηματική παράσταση των λεπτών φακών (α συγκλίνων, β άποκλίνων φακός)



Σχ. 158. 'Η άκτινα που περνάει από τό όπτικό κέντρο δέν παθαίνει έκτροπή.

Μιά φωτεινή άκτινα, που περνάει από τό όπτικό κέντρο, βγαίνει από τό φακό χωρίς έκτροπή.

Κάθε εϋθεια, που περνάει από τό όπτικό κέντρο (έκτός από τόν κύριο άξονα) όνομάζεται δευτερεύων άξονας του φακού (σχ. 159).

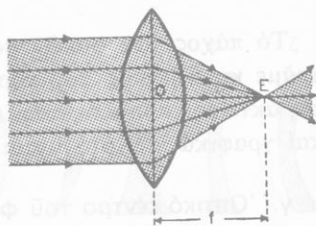


Σχ. 159. Δευτερεύων άξονας φακού

## 109. Συγκλίνοντες φακοί

α. Κύρια έστια. Έστιακή απόσταση. πέφτει μιά φωτεινή δέσμη παράλληλη μέ τόν κύριο άξονα (σχ. 160). Όλες οι άκτινες που βγαίνουν από τό φακό περνούν από ένα σημείο E του κύριου άξονα, που όνομάζεται κύρια έστια του φακού. 'Η απόσταση της κύριας έστιας από τό όπτικό κέντρο όνομάζεται έστιακή απόσταση (f) του φακού. Αϋτή είναι σταθερή και ανεξάρτητη από τή φορά των φωτεινών άκτινων που πέφτουν στό φακό. Ωστε :

Σέ ένα συγκλίνοντα φακό



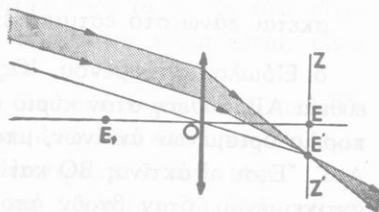
Σχ. 160. Έστιακή απόσταση (f) του φακού

Ο συγκλίνων φακός έχει δύο πραγματικές κύριες εστίες (E), που είναι συμμετρικές ως προς τό οπτικό κέντρο του φακού. Η εστιακή απόσταση (f) του φακού δίνεται από την εξίσωση:

$$\text{εστιακή απόσταση} \quad \frac{1}{f} = (n - 1) \cdot \left( \frac{1}{R_1} + \frac{1}{R_2} \right)$$

όπου n είναι ο δείκτης διαθλάσεως του γυαλιού ως προς τόν άερα και  $R_1, R_2$  είναι οι ακτίνες καμπυλότητας του φακού. Αν ή μιá επιφάνεια του φακού είναι επίπεδη, τότε είναι  $R_2 = \infty$  (άρα  $1/R_2 = 0$ ). Τά  $R_1$  και  $R_2$  έχουν θετική τιμή, όταν αντιστοιχούν σε κυρτές επιφάνειες τών φακών.

β. Έστιακό επίπεδο. Οι ακτίνες μιás λεπτής φωτεινής δέσμης, που είναι παράλληλη μέ ένα δευτερεύοντα άξονα (σχ. 161), όταν βγούν από τό φακό, περνούν από τήν αντίστοιχη δευτερεύουσα εστία (E'). Όλες οι δευτερεύουσες εστίες του φακού κατά προσέγγιση βρίσκονται πάνω στό έστιακό επίπεδο, που είναι κάθετο στόν κύριο άξονα στό σημείο E.

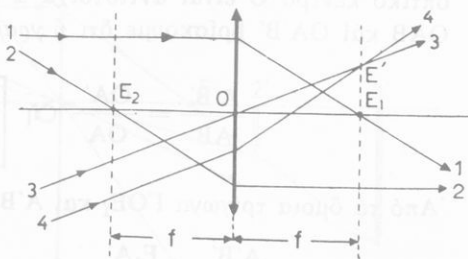


Σχ. 161. Έστιακό επίπεδο φακού

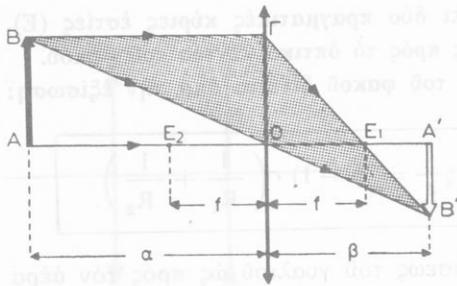
γ. Πορεία μερικών ακτίνων που περνούν μέσα από συγκλίνοντα φακό. Από τά παραπάνω καταλήγουμε στό ακόλουθα συμπεράσματα σχετικά μέ τήν πορεία ορισμένων ακτίνων (σχ. 162), που περνούν μέσα από συγκλίνοντα φακό:

1. Μιά ακτίνα παράλληλη μέ τόν κύριο άξονα, όταν βγει από τό φακό, περνάει από τήν κύρια εστία (ακτίνα 1).

2. Μιά ακτίνα που περνάει



Σχ. 162. Πορεία μερικών ακτίνων που περνούν μέσα από συγκλίνοντα φακό.



Σχ. 163. Πραγματικό είδωλο (A'B') ενός αντικειμένου (AB)

φακό, περνάει από την αντίστοιχη δευτερεύουσα εστία, πού βρίσκεται πάνω στο εστιακό επίπεδο (άκτινα 4).

δ. Είδωλο αντικειμένου. Ός φωτεινό αντικείμενο θεωρούμε μία εϋθεια AB, κάθετη στον κύριο άξονα (σχ. 163). Έπειδή ξέρουμε την πορεία ορισμένων ακτίνων, μπορούμε να κατασκευάσουμε τό είδωλο A'B'. Έτσι οι ακτίνες BO και ΒΓ, πού φεύγουν από την άκρη B του αντικειμένου, όταν βγούν από τό φακό, τέμνονται στο σημείο B', πού είναι τό είδωλο του φωτεινού σημείου B. Τά είδωλα όλων των άλλων σημείων του αντικειμένου AB βρίσκονται πάνω στην εϋθεια A'B', πού είναι κάθετη στον κύριο άξονα. Τό είδωλο A'B' είναι αντιστραμμένο και πραγματικό, επομένως μπορεί να σχηματιστεί πάνω σε διάφραγμα.

Οί αποστάσεις του αντικειμένου AB και του ειδώλου A'B' από τό οπτικό κέντρο O είναι αντίστοιχα α και β. Από τά όμοια τρίγωνα OAB και OA'B' βρίσκουμε δι η γραμμική μεγέθυνση είναι:

$$\frac{A'B'}{AB} = \frac{OA'}{OA} \quad \eta \quad \boxed{\frac{A'B'}{AB} = \frac{\beta}{\alpha}} \quad (1)$$

Από τά όμοια τρίγωνα ΓOE<sub>1</sub> και A'B'E<sub>1</sub> βρίσκουμε:

$$\frac{A'B'}{OG} = \frac{E_1A'}{OE_1} \quad \eta \quad \frac{A'B'}{AB} = \frac{\beta-f}{f} \quad (2)$$

Αν εξισώσουμε τά δεύτερα μέλη των εξισώσεων (1) και (2), έχουμε:

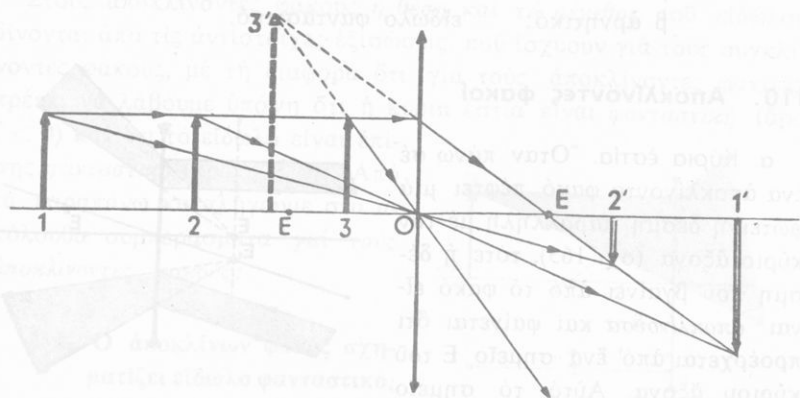
$$\frac{\beta}{\alpha} = \frac{\beta - f}{f} \quad \text{Άρα} \quad \boxed{\frac{1}{\alpha} + \frac{1}{\beta} = \frac{1}{f}} \quad (3)$$

Ἡ ἐξίσωση (1) προσδιορίζει τὸ μέγεθος τοῦ εἰδώλου καὶ ἡ ἐξίσωση (3) προσδιορίζει τὴ θέση τοῦ εἰδώλου.

ε. Πραγματικό ἢ φανταστικό εἶδωλο. Ἄν λύσουμε τὴν ἐξίσωση (3) ὡς πρὸς  $\beta$  ἔχουμε:

$$\beta = \frac{\alpha f}{\alpha - f} \quad \text{ἢ} \quad \beta = \frac{f}{1 - \frac{f}{\alpha}} \quad (4)$$

1. Ὄταν τὸ ἀντικείμενο βρίσκεται στὸ ἄπειρο ( $\alpha = \infty$ ), τότε εἶναι  $\beta = f$ , δηλαδή τὸ εἶδωλο σχηματίζεται στὴν κύρια ἐστία, εἶναι πραγματικό, ἀλλὰ εἶναι σημείο.
2. Τὸ ἀντικείμενο βρίσκεται πέρα ἀπὸ τὴν κύρια ἐστία ( $\alpha > f$ ). Τότε τὸ εἶδωλο σχηματίζεται πέρα ἀπὸ τὴν ἄλλη κύρια ἐστία ( $\beta > f$ ) καὶ εἶναι πραγματικό καὶ ἀντιστραμμένο (σχ. 164).
3. Τὸ ἀντικείμενο βρίσκεται στὴν κύρια ἐστία ( $\alpha = f$ ). Τότε τὸ εἶδωλο σχηματίζεται στὸ ἄπειρο ( $\beta = \infty$ ), δηλαδή σ' αὐτὴ τὴν περίπτωση δέν ὑπάρχει εἶδωλο.
4. Τὸ ἀντικείμενο βρίσκεται μεταξύ τῆς κύριας ἐστίας καὶ τοῦ φα-



Σχ. 164. Ὁ συγκλίνων φακός σχηματίζει εἶδωλο πραγματικό (1', 2') καὶ εἶδωλο φανταστικό (3').

κοῦ ( $\alpha < f$ ). Ἀπό τὴν ἐξίσωση (4) βρίσκουμε ὅτι τὸ  $\beta$  ἔχει ἀρνητική τιμὴ ( $\beta < 0$ ). Μὲ τὴ γεωμετρικὴ κατασκευὴ βρίσκουμε ὅτι τὸ εἶδωλο σχηματίζεται πρὸς τὸ ἴδιο μέρος τοῦ φακοῦ, εἶναι φανταστικό, ὄρθιο καὶ μεγαλύτερο ἀπὸ τὸ ἀντικείμενο.

Ἀπὸ τὰ παραπάνω καταλήγουμε στὰ ἀκόλουθα συμπεράσματα γιὰ τοὺς συγκλίνοντες φακοὺς:

- I. Ὁ συγκλίνων φακὸς σχηματίζει εἶδωλο πραγματικό, ὅταν τὸ ἀντικείμενο βρίσκεται πέρα ἀπὸ τὴν κύρια ἐστία ( $\alpha > f$ ), ἐνῶ σχηματίζει εἶδωλο φανταστικό, ὅταν τὸ ἀντικείμενο βρίσκεται μεταξύ τῆς κύριας ἐστίας καὶ τοῦ φακοῦ ( $\alpha < f$ ).
- II. Ἡ θέση καὶ τὸ μέγεθος τοῦ εἰδώλου προσδιορίζονται σὲ ὅλες τὶς περιπτώσεις ἀπὸ τὶς ἐξῆς ἐξισώσεις:

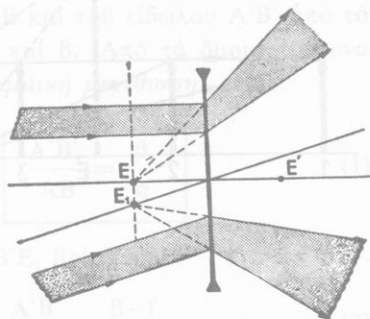
συγκλίνοντες φακοὶ	$\frac{1}{\alpha} + \frac{1}{\beta} = \frac{1}{f}$	$\frac{E}{A} = \frac{\beta}{\alpha}$
--------------------	--	--------------------------------------

ὅπου  $E$  καὶ  $A$  εἶναι ἀντίστοιχα οἱ γραμμικὲς διαστάσεις τοῦ εἰδώλου  $A'B'$  καὶ τοῦ ἀντικειμένου  $AB$ . Οἱ παραπάνω ἐξισώσεις ἰσχύουν μὲ τὸν ὄρο νὰ δεχτοῦμε τὴν ἐξῆς σύμβαση ὡς πρὸς τὰ σημεῖα:

- |                   |                        |
|-------------------|------------------------|
| $\alpha$ θετικό : | ἀντικείμενο πραγματικό |
| $\beta$ θετικό :  | εἶδωλο πραγματικό      |
| $\beta$ ἀρνητικό: | εἶδωλο φανταστικό.     |

### 110. Ἀποκλίνοντες φακοὶ

α. Κύρια ἐστία. Ὅταν πάνω σὲ ἓνα ἀποκλίνοντα φακὸ πέφτει μιά φωτεινὴ δέσμη παράλληλη μὲ τὸν κύριον ἄξονα (σχ. 165), τότε ἡ δέσμη πού βγαίνει ἀπὸ τὸ φακὸ εἶναι ἀποκλίνουσα καὶ φαίνεται ὅτι προέρχεται ἀπὸ ἓνα σημεῖο  $E$  τοῦ κύριου ἄξονα. Αὐτὸ τὸ σημεῖο εἶναι ἡ κύρια ἐστία τοῦ φακοῦ, ἡ ὁποία εἶναι φανταστική. Ὡστε:



Σχ. 165. Κύρια ἐστία ( $E$ ) καὶ ἐστιακὸ ἐπίπεδο σὲ ἀποκλίνοντα φακὸ

Ο αποκλίνων φακός έχει δύο φανταστικές κύριες εστίες (E) που είναι συμμετρικές ως προς το οπτικό κέντρο του φακού.

Η εστιακή απόσταση (f) του φακού είναι αρνητική και προσδιορίζεται από την εξίσωση:

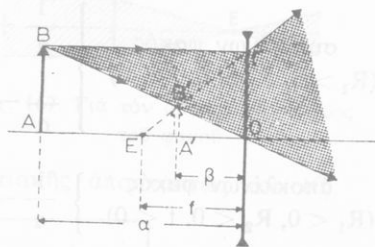
$$\text{εστιακή απόσταση } \frac{1}{f} = (n-1) \cdot \left( \frac{1}{-R_1} + \frac{1}{-R_2} \right)$$

Τα  $R_1$  και  $R_2$  έχουν αρνητική τιμή, όταν αντιστοιχούν σε κοίλες επιφάνειες των φακών. Στόν αποκλίνοντα φακό και οι δευτερεύουσες εστίες είναι φανταστικές και βρίσκονται πάνω σε δύο εστιακά επίπεδα φανταστικά.

β. Είδωλο αντικειμένου. Ως φωτεινό αντικείμενο θεωρούμε μία ευθεία AB κάθετη στον κύριο άξονα. Έπειδή ξέρουμε την πορεία ορισμένων ακτίνων, μπορούμε να κατασκευάσουμε το είδωλο A'B' (σχ. 166). Οί ακτίνες BΓ και ΒΟ, που προέρχονται από την άκρη Β του αντικειμένου, όταν βγούν από το φακό, φαίνεται ότι προέρχονται από το σημείο Β', που είναι το είδωλο του φωτεινού σημείου Β. Το είδωλο A'B' είναι κάθετο στον κύριο άξονα, φανταστικό, όρθιο και μικρότερο από το αντικείμενο. Έπομένως το είδωλο A'B' δεν μπορεί να σχηματιστεί πάνω σε διάφραγμα.

Στους αποκλίνοντες φακούς η θέση και το μέγεθος του ειδώλου δίνονται από τις αντίστοιχες εξισώσεις, που ισχύουν για τους συγκλίνοντες φακούς, με τη διαφορά ότι για τους αποκλίνοντες φακούς, πρέπει να λάβουμε υπόψη ότι η κύρια εστία είναι φανταστική (άρα  $f < 0$ ) και ότι το είδωλο είναι επίσης φανταστικό (άρα  $\beta < 0$ ). Από τα παραπάνω καταλήγουμε στα ακόλουθα συμπεράσματα για τους αποκλίνοντες φακούς:

**Ι. Ο αποκλίνων φακός σχηματίζει είδωλο φανταστικό, όρθιο και μικρότερο από το αντικείμενο. Το είδωλο**



Σχ. 166. Φανταστικό είδωλο (A'B') ενός αντικειμένου (AB)

(3) σχηματίζεται πάντοτε μεταξύ του φακού και της φανταστικής κύριας εστίας του.

II. Η θέση και τό μέγεθος του ειδώλου προσδιορίζονται από τις εξισώσεις:

$$\text{ἀποκλίνοντες φακοί} \quad \frac{1}{\alpha} - \frac{1}{\beta} = -\frac{1}{f} \quad \frac{E}{A} = -\frac{\beta}{\alpha}$$

### 111. Γενικές εξισώσεις τῶν φακῶν

Ἐάν α καὶ β εἶναι ἀντίστοιχα οἱ ἀποστάσεις τοῦ ἀντικειμένου καὶ τοῦ ειδώλου ἀπὸ τὸ φακὸ (συγκλίνοντα ἢ ἀποκλίνοντα), Ε καὶ Α εἶναι ἀντίστοιχα οἱ γραμμικὲς διαστάσεις τοῦ ειδώλου καὶ τοῦ ἀντικειμένου (πού εἶναι κάθετο στὸν κύριον ἄξονα) καὶ τέλος  $R_1$  καὶ  $R_2$  εἶναι οἱ ἀκτίνες καμπυλότητος τοῦ φακοῦ, τότε γιὰ ὅλες τὶς δυνατὲς περιπτώσεις ἰσχύουν οἱ ἀκόλουθες γενικὲς εξισώσεις τῶν φακῶν:

$$\frac{1}{f} = (n-1) \cdot \left( \frac{1}{R_1} + \frac{1}{R_2} \right) \quad \frac{1}{\alpha} + \frac{1}{\beta} = \frac{1}{f} \quad \frac{E}{A} = \frac{\beta}{\alpha}$$

Γιὰ τὶς παραπάνω εξισώσεις ἰσχύει ἡ ἐξῆς σύμβαση: θεωροῦμε ἀρνητικὰ τὰ μεγέθη α, β, f, ὅταν ἀντιστοιχοῦν σὲ σημεῖα φανταστικά, καὶ τὶς ἀκτίνες καμπυλότητος  $R_1$ ,  $R_2$ , ὅταν ἀντιστοιχοῦν σὲ κοίλες ἐπιφάνειες. Ἔτσι γιὰ πραγματικὸ ἀντικείμενο ( $\alpha > 0$ ) ἔχουμε τὶς ἐξῆς περιπτώσεις:

συγκλίνων φακός $(R_1 > 0, R_2 > 0, f > 0)$	}	$\frac{1}{\alpha} + \frac{1}{\beta} = \frac{1}{f}$ $\frac{1}{\alpha} - \frac{1}{\beta} = \frac{1}{f}$	εἶδωλο πραγματικό $(\alpha > f \quad \beta > 0)$ εἶδωλο φανταστικό $(\alpha > f \quad \beta < 0)$
ἀποκλίνων φακός $(R_1 < 0, R_2 < 0, f < 0)$	}	$\frac{1}{\alpha} - \frac{1}{\beta} = -\frac{1}{f}$	εἶδωλο φανταστικό $(\alpha > 0 \quad \beta < 0)$

*Παράδειγμα.* Ἀμφίκυρτος φακός ἔχει δείκτη διαθλάσεως  $n = 1,5$  καὶ ἀκτίνες καμπυλότητος  $R_1 = 40 \text{ cm}$  καὶ  $R_2 = 60 \text{ cm}$ . Σὲ ἀπόσταση



$a = 40 \text{ cm}$  από τό φακό τοποθετείται φωτεινή εὐθεία, πού ἔχει μήκος  $A = 5 \text{ cm}$ . Θά προσδιορίσουμε τή θέση ( $\beta$ ) καί τό μέγεθος ( $E$ ) τοῦ εἰδώλου. Οἱ δύο ἐπιφάνειες τοῦ φακοῦ εἶναι κυρτές, ἄρα οἱ ἀκτίνες καμπυλότητας εἶναι θετικές. Ἡ ἔστιακή ἀπόσταση ( $f$ ) τοῦ φακοῦ βρίσκεται ἀπό τήν ἐξίσωση:

$$\frac{1}{f} = (n-1) \cdot \left( \frac{1}{R_1} + \frac{1}{R_2} \right) = (1,5-1) \cdot \left( \frac{1}{40 \text{ cm}} + \frac{1}{60 \text{ cm}} \right)$$

καί  $f = 48 \text{ cm}$

Δίνεται ὅτι εἶναι  $a < f$ . Ἄρα τό εἶδωλο εἶναι φανταστικό. Αὐτό φαίνεται καί ὅταν ὑπολογίσουμε τήν ἀπόσταση  $\beta$  τοῦ εἰδώλου ἀπό τό φακό. Ἄπό τήν ἐξίσωση:

$$\frac{1}{a} + \frac{1}{\beta} = \frac{1}{f} \quad \text{βρίσκουμε} \quad \beta = \frac{a \cdot f}{a-f} = \frac{40 \text{ cm} \cdot 48 \text{ cm}}{(40-48) \text{ cm}}$$

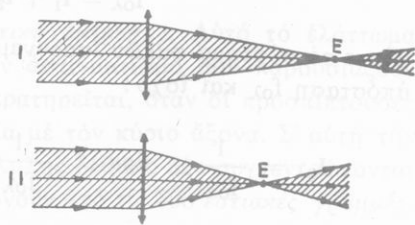
καί  $\beta = -240 \text{ cm}$

Τό μέγεθος τοῦ εἰδώλου (κατά ἀπόλυτη τιμή) εἶναι:

$$E = A \cdot \frac{\beta}{a} = 5 \text{ cm} \cdot \frac{240 \text{ cm}}{40 \text{ cm}} \quad \text{καί} \quad E = 30 \text{ cm}$$

## 112. Ἴσχύς φακοῦ

Σέ ἓνα συγκλίνοντα φακό πέφτει φωτεινή δέσμη παράλληλη μέ τόν κύριο ἄξονα (σχ. 167). Ὁ φακός μετατρέπει αὐτή τή δέσμη σέ τόσο περισσότερο συγκλίνουσα, ὅσο μικρότερη εἶναι ἡ ἔστιακή ἀπόσταση ( $f$ ) τοῦ φακοῦ. Ὀνομάζεται *ἰσχύς* ( $I$ ) ἑνός φακοῦ τό ἀντίστροφο τῆς ἔστιακῆς ἀποστάσεώς του ( $f$ ).



Σχ. 167. Γιά τόν ὀρισμό τῆς ἰσχύος τοῦ φακοῦ

$$\text{ἰσχύς φακοῦ} \quad I = \frac{1}{f}$$

Ἡ ἰσχύς εἶναι θετική στοὺς συγκλίνοντες φακούς καὶ ἀρνητική στοὺς ἀποκλίνοντες. Στὸ σύστημα SI μονάδα ἰσχύος εἶναι ἡ *διοπτρία* (1 dpt), πού ὀρίζεται ὡς ἐξῆς:

**Διοπτρία (1 dpt) εἶναι ἡ ἰσχύς φακοῦ, πού ἔχει ἐστιακὴ ἀπόσταση (f) ἴση μὲ ἓνα μέτρο (1 m).**

$$1 \text{ διοπτρία (1 dpt)} = \frac{1}{1 \text{ m}} \quad \text{ἢ} \quad 1 \text{ dpt} = 1 \text{ m}^{-1}$$

Ἔτσι π.χ. συγκλίνων φακός, πού ἔχει ἐστιακὴ ἀπόσταση  $f = 20 \text{ cm}$ , ἔχει ἰσχύ:

$$I = \frac{1}{f} = \frac{1}{0,20 \text{ m}} \quad \text{καὶ} \quad I = 5 \text{ dpt}$$

### 113. Σύστημα λεπτῶν φακῶν

Ὅταν πολλοὶ λεπτοὶ φακοὶ ἔχουν τὸν ἴδιο κύριο ἀξονα καὶ βρίσκονται σὲ ἐπαφή, τότε αὐτοὶ οἱ φακοὶ ἀποτελοῦν ἓνα *σύστημα φακῶν*, τοῦ ὁποίου ἡ ἰσχύς ( $I_{ολ}$ ) εἶναι ἴση μὲ τὸ ἀλγεβρικό ἄθροισμα τῶν ἰσχύων ὅλων τῶν φακῶν τοῦ συστήματος, δηλαδή εἶναι:

$$I_{ολ} = I_1 + I_2 + I_3 + \dots$$

Ὡστε τὸ σύστημα φακῶν ἰσοδυναμεῖ *μὲ ἓνα φακό*, πού ἔχει ἐστιακὴ ἀπόσταση  $f_{ολ}$  καὶ ἰσχύ:

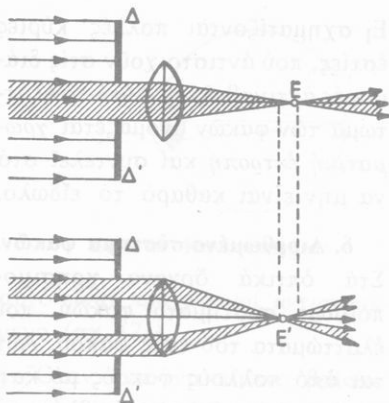
$$I_{ολ} = \frac{1}{f_{ολ}} \quad \text{ἄρα} \quad \frac{1}{f_{ολ}} = \frac{1}{f_1} + \frac{1}{f_2} + \frac{1}{f_3} + \dots$$

### 114. Σφάλματα τῶν φακῶν

Οἱ φακοὶ παρουσιάζουν συνήθως διάφορα σφάλματα, πού ὀνομάζονται *ἐκτροπές*.

**α. Σφαιρική ἐκτροπή.** Ἀφήνουμε νά πέσει πάνω στὴν κεντρικὴ ζώνη τοῦ φακοῦ μιά λεπτὴ φωτεινὴ δέσμη παράλληλη μὲ τὸν κύριο ἀξονα τοῦ φακοῦ (σχ. 168). Ἡ ἐξερχόμενη δέσμη συγκεντρώνεται

στην κύρια έστια  $E$ . Σκεπάζουμε τώρα την κεντρική ζώνη του φακού και αφήνουμε να τέσουν οι παράλληλες φωτεινές ακτίνες πάνω στην περιφερειακή ζώνη του φακού. Οι εξερχόμενες από το φακό ακτίνες συγκεντρώνονται σε μία άλλη κύρια έστια  $E'$ , που βρίσκεται πιά κοντά στο φακό. Αυτό συμβαίνει, γιατί οι ακτίνες που πέφτουν στην περιφερειακή ζώνη του φακού παθαίνουν μεγαλύτερη έκτροπή, επειδή αυτή ή ζώνη αντιστοιχεί



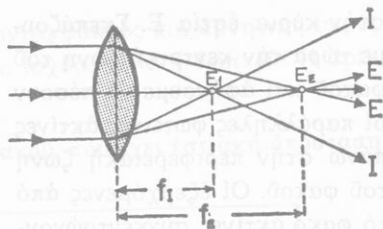
Σχ. 168. Σφαιρική έκτροπή του φακού

σε στοιχειώδη πρίσματα με μεγαλύτερη διαθλαστική γωνία. Όταν λοιπόν ή φωτεινή δέσμη πέφτει πάνω σ' δλόκληρο τό φακό, τότε μεταξύ των σημείων  $E$  και  $E'$  σχηματίζεται μία σειρά από κύριες έστιες και έπομένως δέ σχηματίζεται καθαρό είδωλο. Αυτό τό έλάττωμα των φακών ονομάζεται *σφαιρική έκτροπή*. Για νά περιορίσουμε τή σφαιρική έκτροπή, βάζουμε έμπρός από τό φακό διάφραγμα, που έχει κυκλικό άνοιγμα και αφήνει νά πέφτουν πάνω στο φακό μόνο κεντρικές ακτίνες.

**β. Άστιγματισμός (ή άστιγματική έκτροπή).** Αυτό τό έλάττωμα των φακών είναι ανάλογο με τόν άστιγματισμό που παρουσιάζουν και τά σφαιρικά κάτοπτρα και παρατηρείται, όταν οι προσπίπτουσες ακτίνες σχηματίζουν μεγάλη γωνία με τόν κύριο άξονα. Σ' αυτή τήν περίπτωση οι ακτίνες μιās παράλληλης δέσμης δέν συγκεντρώνονται στη δευτερεύουσα έστια, αλλά περνοδν από τίς δύο *έστιακές γραμμές*.

**γ. Χρωματική έκτροπή** Τό λευκό φώς, όταν περνάει μέσα από τό φακό, αναλύεται σε πολλές ακτινοβολίες (χρώματα), που καθεμιά έχει δικό της δείκτη διαθλάσεως. Όταν λοιπόν πάνω στο φακό πέφτει μιιά παράλληλη δέσμη ακτίνων *λευκοῦ φωτός*, τότε οι εξερχόμενες από τό φακό *ερυθρές ακτίνες* σχηματίζουν μιιά κύρια έστια  $E_E$ , ενώ οι *ιώδεις ακτίνες*, που παθαίνουν μεγαλύτερη έκτροπή, σχηματίζουν μιιά άλλη κύρια έστια  $E_I$  (σχ. 169). Μεταξύ των έστιων  $E_E$  και

Εί σχηματίζονται πολλές κύριες έστίες, που αντιστοιχούν στις διάφορες ακτινοβολίες. Αυτό τó ελάττωμα τών φακών ονομάζεται *χρωματική έκτροπή* και συντελεί στό νά μήν εΐναι καθαρό τó εΐδωλο.



Σχ. 169. Χρωματική έκτροπή τού φακού

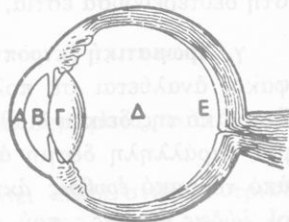
#### δ. Διορθωμένο σύστημα φακών.

Στά όπτικά όργανα χρησιμοποιούμε συστήματα φακών, που δέν παρουσιάζουν τά παραπάνω ελάττωματα τού ενός φακού. Αυτά τά συστήματα φακών αποτελούνται από πολλούς φακούς μέ κατάλληλες ακτίνες καμπυλότητας και κατάλληλους δείκτες διαθλάσεως. Ένα τέτοιο διορθωμένο σύστημα φακών λέμε ότι εΐναι *άπλανητικό* (τό εΐδωλο φωτεινού σημείου εΐναι σημείο), *άναστιγματικό* (δέν υπάρχει άστιγματισμός), *άχρωματικό* (δέν υπάρχει χρωματική έκτροπή).

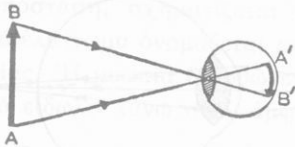
### 115. Λειτουργία τού ματιού

α. Κατασκευή τού ματιού. Από όπτική άποψη τó *μάτι* (όφθαλμός) αποτελείται από όρισμένα διαφανή μέσα, που χωρίζονται μεταξύ τους μέ σχεδόν σφαιρικές επιφάνειες. Τά κέντρα αυτών τών επιφανειών βρίσκονται πάνω στόν άξονα τού ματιού. Όταν προχωρούμε από τó εξωτερικό πρός τó έσωτερικό τού ματιού, συναντούμε διαδοχικά τά εξής (σχ. 170): α) Τό διαφανή *κερατοειδή χιτώνα* Α. β) Τό *ύδατώδες ύγρό* Β. γ) Ένα διάφραγμα, που τó ονομάζουμε *ίριδα* και στή μέση έχει κυκλικό άνοιγμα, τήν *κόρη* (ή διάμετρός της μπορεί νά μεταβάλλεται). δ) Έναν άμφίκυρτο έλαστικό φακό Γ, που ονομάζεται *κρυσταλλοειδής φακός* και ε) Τό *ύαλώδες ύγρό* Δ.

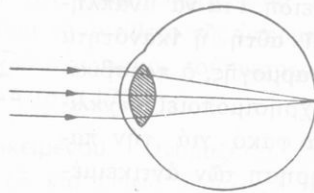
Στό έσωτερικό τοίχωμα τού ματιού άπλώνεται ό *άμφιβληστροειδής χιτώνας* Ε, που αποτελείται από τίς διακλαδώσεις τού όπτικού νεύρου. Για νά διακρίνουμε καθαρά ένα αντικείμενο, πρέπει τó εΐδωλο νά σχηματίζεται πάνω



Σχ. 170. Τομή τού ματιού



Σχ. 171. Τό είδωλο (Α'Β') σχηματίζεται πάνω στον άμφιβληστροειδή χιτώνα.



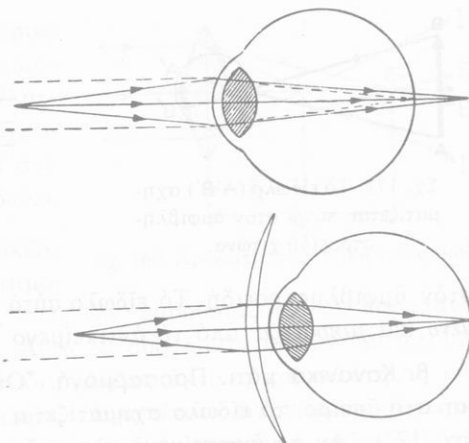
Σχ. 172. Κανονικό μάτι

στόν άμφιβληστροειδή. Τό είδωλο αυτό είναι *πραγματικό, αντίστροφο, μικρότερο* από τό αντικείμενο (σχ. 171).

**β. Κανονικό μάτι. Προσαρμογή.** Όταν ένα αντικείμενο βρίσκεται στο άπειρο, τό είδωλο σχηματίζεται πάνω στον άμφιβληστροειδή (σχ. 172). Αν τό αντικείμενο πλησιάζει συνεχώς προς τό μάτι, τότε τό είδωλο θά έπρεπε νά σχηματίζεται πίσω από τόν άμφιβληστροειδή και νά απομακρύνεται συνεχώς από αυτόν. Άλλά τό μάτι έχει τήν ικανότητα νά μεταβάλλει τίσ άκτίνες καμπυλότητας του κρυσταλλοειδούς φακού και έπομένως μεταβάλλει τήν έστιακή απόστασή του. Έτσι τό είδωλο σχηματίζεται πάντοτε πάνω στον άμφιβληστροειδή. Αυτή ή ικανότητα του ματιού ονομάζεται *προσαρμογή*. Τό μάτι, πού μπορεί νά βλέπει καθαρά χωρίς προσαρμογή, τά αντικείμενα πού βρίσκονται σέ πολύ μεγάλη απόσταση, και μέ προσαρμογή νά βλέπει καθαρά αντικείμενα πού βρίσκονται σέ απόσταση ώς 25 cm, ονομάζεται *κανονικό μάτι*. Η πιό μικρή απόσταση, στην όποία μπορεί νά πλησιάσει ένα αντικείμενο τό μάτι, ώστε τό μάτι νά τό βλέπει καθαρά, ονομάζεται *ελάχιστη απόσταση εύκρινους όράσεως*. Αυτή για τό κανονικό μάτι είναι περίπου 25 cm.

**γ. Έλαττώματα του ματιού. 1. Πρεσβυωπία.** Η ικανότητα του ματιού νά μεταβάλλει τήν έστιακή απόσταση του κρυσταλλοειδούς φακού ελαττώνεται, όσο αυξάνει ή ηλικία, γιατί ελαττώνεται συνεχώς ή έλαστικότητα του φακού. Η έλάττωση τής ικανότητας προσαρμογής έχει ως αποτέλεσμα νά αυξάνει συνεχώς ή ελάχιστη απόσταση εύκρινους όράσεως. Αυτό τό έλάττωμα ονομάζεται *πρεσβυωπία*. Ο πρεσβύωπας βλέπει καθαρά τά αντικείμενα πού βρίσκονται σέ μεγάλη απόσταση, αλλά δέν μπορεί νά διακρίνει τά αντικείμενα πού είναι κοντά, γιατί τό είδωλο σχηματίζεται *πίσω* από τόν άμφιβλη-

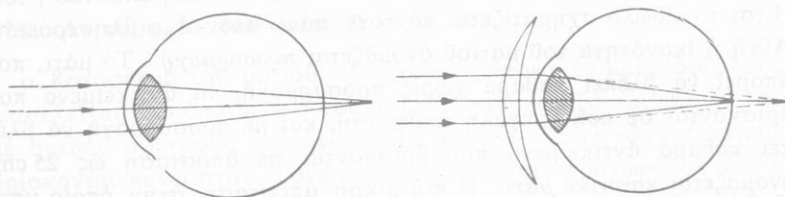
στροειδή. Για να αναπληρωθεί αυτή η ικανότητα προσαρμογής, ο πρεσβύπας χρησιμοποιεί συγκλίνοντα φακό για την παρατήρηση των αντικειμένων που βρίσκονται κοντά (σχ. 173).



Σχ. 173. Πρεσβυωπία και διόρθωσή της

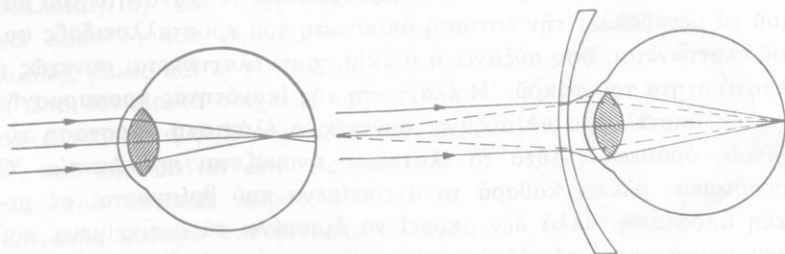
**II. Ύπερμετροπία.** Όταν ο βολβός του ματιού έχει μήκος μικρότερο από το κανονικό, τότε το είδωλο σχηματίζεται πίσω από τον άμφιβληστροειδή (σχ. 174). Αυτό το ελάττωμα ονομάζεται *ύπερμετροπία* και διορθώνεται με συγκλίνοντα φακό, όπως και στην πρεσβυωπία.

διορθώνεται με συγκλίνοντα φακό, όπως και στην πρεσβυωπία.



Σχ. 174. Ύπερμετροπία και διόρθωσή της

**III. Μυωπία.** Σε μερικές περιπτώσεις ο βολβός του ματιού έχει επιμηκυνθεί και τότε το είδωλο αντικειμένου, που βρίσκεται σε μεγάλη



Σχ. 175. Μυωπία και διόρθωσή της

απόσταση, σχηματίζεται εμπρός από τον άμφιβληστροειδή. Αυτό το ελάττωμα ονομάζεται *μυωπία* και είναι το αντίθετο της υπερμετρωπίας. Η μυωπία διορθώνεται με *άποκλίνοντα* φακό, που μετατοπίζει το είδωλο πάνω στον άμφιβληστροειδή (σχ. 175).

δ. Φαινόμενη διάμετρος ενός αντικειμένου. Ονομάζεται *φαινόμενη διάμετρος* ενός αντικειμένου AB (ή και *γωνία δόρασεως*) ή γωνία α με την οποία βλέπουμε το αντικείμενο (σχ. 176). Από το όρθογώνιο τρίγωνο AOB έχουμε τη σχέση:

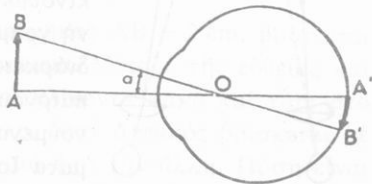
$$\epsilon\phi \alpha = \frac{AB}{OA}$$

Όταν το αντικείμενο βρίσκεται σε μεγάλη απόσταση, τότε η γωνία α είναι πολύ μικρή και αντί για την εφαπτομένη της παίρνουμε την ίδια τη γωνία α μετρημένη σε ακτίνια. Έπομένως τότε είναι:

$$\text{φαινόμενη διάμετρος } \alpha = \frac{AB}{OA}$$

Από τα παραπάνω βγάζουμε το συμπέρασμα ότι η φαινόμενη διάμετρος (α) ενός αντικειμένου είναι *ανάλογη* με το μέγεθος (AB) του αντικειμένου και *αντιστρόφως ανάλογη* με την απόσταση αυτού (OA) από το μάτι.

Το μέγεθος του ειδώλου A'B', που σχηματίζεται πάνω στον άμφιβληστροειδή, είναι *ανάλογο* με τη φαινόμενη διάμετρο (γιατί είναι  $A'B' = OA' \cdot \alpha$ ). Όταν θέλουμε να παρατηρήσουμε τις λεπτομέρειες ενός αντικειμένου, τό πλησιάζουμε προς τό μάτι και τότε αυξάνει η φαινόμενη διάμετρος του αντικειμένου (έπομένως αυξάνει και τό μέγεθος του ειδώλου). Έπειδή η απόσταση του αντικειμένου από τό μάτι δέν μπορεί νά γίνει μικρότερη από τήν ελάχιστη απόσταση εϋκρινουδς δόρασεως (25 cm για τό κανονικό μάτι), γι' αυτό η φαινόμενη διάμετρος του αντικειμένου έχει *τή μεγαλύτερη τιμή της*, όταν τό αντικείμενο βρίσκεται στην ελάχιστη απόσταση εϋκρινουδς δόρασεως.

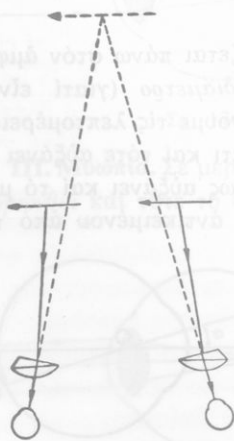


Σχ. 176. Φαινόμενη διάμετρος (α) του αντικειμένου (AB)

ε. Διόφθαλμη όραση. Στερεοσκόπιο. Όταν παρατηρούμε ένα αντικείμενο με τὰ δύο μάτια μας, τότε στόν ἀμφιβληστροειδή κάθε ματιού σχηματίζεται ιδιαίτερο εἶδωλο, πού τό ένα διαφέρει λίγο ἀπό τό ἄλλο. Αὐτές οἱ μικρές διαφορές συντελοῦν στό νά ἔχουμε τήν ἐντύπωση τοῦ ἀνάγλυφου, δηλαδή τήν ἐντύπωση ὅτι τό αντικείμενο βρίσκεται μέσα στό χῶρο ὄχι ὡς ἐπιφάνεια, ἀλλά ὡς σῶμα πού ἔχει διαστάσεις.

Τό στερεοσκόπιο ἀναπαράγει τήν ἐντύπωση τοῦ ἀνάγλυφου, πού μᾶς δίνει ἡ διόφθαλμη όραση. Μέ δύο φωτογραφικές μηχανές, πού ἀπέχουν μεταξύ τους ὅσο ἀπέχουν τὰ δύο μάτια (δηλαδή 6 ὡς 7 cm), παίρνουμε δύο εἰκόνες τοῦ ἀντικειμένου, πού δέν εἶναι τελείως ὅμοιες. Ἡ καθεμίᾳ ἀπό αὐτές ἀντιστοιχεῖ στήν εἰκόνα πού μᾶς δίνει χωριστά τό κάθε μάτι μας. Όταν μέ τό στερεοσκόπιο (σχ. 177) παρατηροῦμε τίς δύο εἰκόνες, τότε τό εἶδωλο πού βλέπουμε μᾶς δίνει τήν ἐντύπωση τοῦ ἀνάγλυφου. Τό σύστημα παρατηρήσεως ἀποτελεῖται συνήθως ἀπό σύστημα φακοῦ καί πρίσματος.

Σήμερα γιά τή χαρτογράφηση μᾶς περιοχῆς ἐφαρμόζουμε τήν ἐξῆς μέθοδο (στερεοφωτογραμμομετρία): Ἀπό ἀεροπλάνο παίρνουμε ζεύγη φωτογραφικῶν εἰκόνων. Αὐτές, ὅταν τίς παρατηροῦμε στερεοσκοπικά, μᾶς δίνουν τόσο καθαρή ἐντύπωση τοῦ ἀνάγλυφου, ὥστε ἀπό τίς εἰκόνες μπορούμε νά προσδιορίζουμε τίς ὑψομετρικές διαφορές πού παρουσιάζουν οἱ ἀνωμαλίες τοῦ ἐδάφους.



Σχ. 177. Ἀρχή τοῦ στερεοσκοπίου

στ. Διάρκεια τῆς ὀπτικῆς ἐντυπώσεως. Κάθε ὀπτική ἐντύπωση διαρκεῖ  $1/10$  τοῦ δευτερολέπτου. Γι' αὐτό, ὅταν ένα φωτεινό σημεῖο κινεῖται πολύ γρήγορα, δέν τό διακρίνουμε ὡς κινούμενο σημεῖο, ἀλλά βλέπουμε μιά φωτεινή γραμμή. Ἡ κινηματογραφία βασίζεται στή διάρκεια τῆς ὀπτικῆς ἐντυπώσεως. Πρῶτα παίρνουμε διαδοχικά φωτογραφίες ἑνός κινούμενου ἀντικειμένου κατά χρονικά διαστήματα ἴσα μέ  $1/24$  τοῦ δευτερολέπτου. Ἐπειτα προβάλλουμε αὐτές τίς φωτογραφίες μέ τόν ἴδιο ρυθμό, δηλαδή 24 κατά δευτερόλεπτο. Ὁ



παρατηρητής βλέπει προβαλλόμενες τīs διαδοχικές θέσεις του αντικειμένου, αλλά, εξαιτίας τής διάρκειας τών οπτικών έντυπώσεων, δέν αντιλαμβάνεται ότι συνεχώς αλλάζουν οι προβαλλόμενες εικόνες και νομίζει ότι βλέπει νά κινείται τό αντικείμενο.

## ΠΡΟΒΛΗΜΑΤΑ

147. Οί άκτίνες καμπυλότητας ενός φακού, πού έχει δείκτη διαθλάσεως  $n = 1,5$ , είναι  $R_1 = 40$  cm καί  $R_2 = 60$  cm. Πόση είναι ή έστιακή απόσταση  $f$  του φακού;

148. 'Η μιά άκτίνα καμπυλότητας άμφίκυρτου φακού είναι  $R_1 = 15$  cm, ό δείκτης διαθλάσεως του φακού είναι  $n = 1,5$  καί ή έστιακή απόστασή του είναι  $f = 10$  cm. Πόση είναι ή άλλη άκτίνα καμπυλότητας  $R_2$  του φακού;

149. Σέ έναν άμφίκυρτο φακό οί δύο άκτίνες καμπυλότητας είναι ίσες μέ  $R_1 = R_2 = 50$  cm. 'Η έστιακή απόσταση του φακού για όρισμένη άκτινοβολία είναι  $f = 45$  cm. Πόσος είναι ό δείκτης διαθλάσεως του γυαλιού γι' αυτή τήν άκτινοβολία;

150. Σέ πόση απόσταση από ένα συγκλίνοντα φακό έστιακής αποστάσεως  $f$  πρέπει νά τοποθετήσουμε ένα αντικείμενο, για νά είναι τό είδωλο 3 φορές μεγαλύτερο από τό αντικείμενο;

151. Ένα φωτεινό σημείο βρίσκεται στον κύριο άξονα συγκλίνοντος φακού έστιακής αποστάσεως 15 cm. 'Η απόσταση του ειδώλου από τό φακό είναι κατά 80 cm μικρότερη από τήν απόσταση του αντικειμένου από τό φακό. Νά βρεθούν οί αποστάσεις του ειδώλου καί του αντικειμένου από τό φακό.

152. Σέ πόση απόσταση από συγκλίνοντα φακό έστιακής αποστάσεως 15 cm πρέπει νά τοποθετήσουμε ένα αντικείμενο, ώστε τό είδωλο πού σχηματίζεται νά έχει επιφάνεια 9 φορές μεγαλύτερη από τήν επιφάνεια του αντικειμένου;

153. Μιά φωτεινή εϋθεία, πού έχει μήκος  $AB = 2$  cm, βρίσκεται σέ απόσταση  $d = 1$  m από ένα διάφραγμα. Μεταξύ τής εϋθείας καί του διαφράγματος τοποθετούμε ένα συγκλίνοντα φακό καί τότε στό διάφραγμα σχηματίζεται καθαρό είδωλο, όταν ό φακός βρίσκεται σέ δύο θέσεις πού απέχουν  $l = 40$  cm ή μιά από τήν άλλη. Πόση είναι ή έστιακή απόσταση του φακού καί πόσο είναι τό μήκος τών δύο ειδώλων πού σχηματίζονται πάνω στό διάφραγμα;

154. Σέ απόσταση 20 cm από αποκλίνοντα φακό έστιακής απόστασεως —12 cm τοποθετούμε, αντικείμενο πού έχει μήκος  $AB = 10$  cm. Νά βρεθεί ή θέση καί τό μέγεθος του ειδώλου.

155. Πάνω σέ έναν αποκλίνοντα φακό πέφτει μιά κυλινδρική δέσμη ακτίνων πού είναι παράλληλες μέ τον κύριο άξονα του φακού. Σέ απόσταση 16 cm από τό φακό καί κάθετα στον άξονά του φέρνουμε ένα διάφραγμα. Τότε πάνω στό διάφραγμα σχηματίζεται ένας φωτεινός κύκλος, πού ή διάμετρός του είναι 3 φορές μεγαλύτερη από τή διάμετρο τής δέσμης πού πέφτει στό φακό. Πόση είναι ή έστιακή απόσταση του φακού;

156. Ένας συμμετρικός άμφίκυρτος φακός έχει δείκτη διαθλάσεως  $n = 1,5$  καί επιπλέει στήν επιφάνεια ύδραργύρου. Σέ ύψος 25 cm πάνω από τό φακό είναι ένα φωτεινό σημείο A πού βρίσκεται πάνω στον κύριο άξονα του φακού. Τότε τό ειδώλο σχηματίζεται στή θέση πού είναι καί τό σημείο A. Πόση είναι ή έστιακή απόσταση του φακού;

157. Μέ ένα φακό, πού έχει ισχύ 5 διοπτρίες, θέλουμε νά σχηματίσουμε πάνω σέ έναν τοίχο (διάφραγμα) τό ειδώλο A'B' ενός αντικειμένου AB καί τό μήκος του ειδώλου νά είναι 20 φορές μεγαλύτερο από τό μήκος του αντικειμένου. Ο κύριος άξονας του φακού είναι κάθετος στον τοίχο. Νά βρεθούν οι αποστάσεις του φακού από τον τοίχο καί του αντικειμένου από τό φακό.

158. Ένα αντικείμενο έχει μήκος  $AB = 10$  cm καί βρίσκεται σέ απόσταση 40 cm από συγκλίνοντα φακό  $\Lambda_1$ , πού έχει έστιακή απόσταση  $f_1 = 30$  cm. Θέλουμε νά σχηματίσουμε τό ειδώλο του αντικειμένου πάνω σέ διάφραγμα πού απέχει 6 m από τό φακό  $\Lambda_1$ . Αυτό τό πετυχαίνουμε, άν φέρουμε σέ έπαφή μέ τό φακό  $\Lambda_1$  έναν άλλο φακό  $\Lambda_2$ , πού έχει έστιακή απόσταση  $f_2$ . Τί είδους φακός είναι ό  $\Lambda_2$  καί πόση είναι ή έστιακή απόστασή του; Πόσο είναι τό μέγεθος του ειδώλου πού σχηματίζεται πάνω στό διάφραγμα;

159. Έχουμε ένα συγκλίνοντα φακό, έστιακής απόστάσεως 50 cm. Πάνω στον κύριο άξονα του φακού καί σέ απόσταση 75 cm από τό φακό τοποθετούμε φωτεινό σημείο Σ καί πίσω από τό φακό σέ απόσταση  $d = 1$  m από αυτόν τοποθετούμε ένα επίπεδο κάτοπτρο Κ κάθετα στον κύριο άξονα του φακού. α) Νά βρεθεί ή θέση του τελικού ειδώλου Σ'. β) Νά βρεθεί πού πρέπει νά τοποθετήσουμε τό επίπεδο

κάτοπτρο Κ, ώστε τό τελικό είδωλο Σ' νά σχηματίζεται στή θέση πού βρίσκεται τό φωτεινό σημείο Σ.

160. Δύο συγκλίνοντες φακοί  $\Lambda_1$  και  $\Lambda_2$  έχουν τόν ίδιο κύριο άξονα, τήν ίδια έστιακή απόσταση  $f = 2 \text{ cm}$  και ή μεταξύ τους απόσταση είναι  $d$ . Πάνω στόν πρώτο φακό  $\Lambda_1$  πέφτει μιá φωτεινή δέσμη παράλληλη μέ τόν κύριο άξονα του συστήματος τών δύο φακών. Νά βρεθεί ή θέση και τό είδος του τελικού ειδώλου, όταν ή απόσταση τών φακών είναι  $d = 6 \text{ cm}$  και  $d = 3 \text{ cm}$ .

161. Ένας μύωπας δέν μπορεί νά διακρίνει καθαρά τά αντικείμενα πού βρίσκονται σέ απόσταση μεγαλύτερη από 3 m. Πόση πρέπει νά είναι ή ισχύς τών διορθωτικών φακών πού θά χρησιμοποιήσει, για νά διακρίνει καθαρά τά μακρινά αντικείμενα;

162. Σέ έναν υπερμέτρωπα ή ελάχιστη απόσταση ευκρινούς όράσεως είναι 90 cm. Πόση πρέπει νά είναι ή ισχύς τών διορθωτικών φακών πού θά χρησιμοποιήσει, για νά βλέπει καθαρά σέ απόσταση 40 cm;

163. Ένας πρεσβύωπας έχει ελάχιστη απόσταση ευκρινούς όράσεως 1,20 m και θέλει νά διαβάσει κείμενα πού βρίσκονται σέ απόσταση 30 cm από τά μάτια του. Πόση πρέπει νά είναι ή ισχύς τών φακών πού θά χρησιμοποιήσει;

## ΟΠΤΙΚΑ ΟΡΓΑΝΑ

### 116. Όπτικά όργανα. Μεγέθυνση

Όσο μεγαλύτερο είναι τό είδωλο πού σχηματίζεται πάνω στόν άμφιβληστροειδή, τόσο περισσότερες λεπτομέρειες του αντικειμένου διακρίνουμε. Ξέρουμε (§ 115) ότι τό μέγεθος του ειδώλου είναι ανάλογο μέ τή φαινόμενη διάμετρο του αντικειμένου, και ότι ή μέγιστη δυνατή φαινόμενη διάμετρος αντιστοιχεί στην ελάχιστη απόσταση ευκρινούς όράσεως. Για νά αυξήσουμε άκόμη περισσότερο τή φαινόμενη διάμετρο, χρησιμοποιούμε διάφορα *οπτικά όργανα*, για τά όποια ισχύει ο άκόλουθος όρισμός:

Μεγέθυνση (M) ενός οπτικού όργάνου ονομάζεται ο λόγος της γωνίας ( $\omega_2$ ), μέ τήν όποία βλέπουμε μέσω του όργάνου τό είδω-

λο (A'B'), πρὸς τὴ γωνία ( $\omega_1$ ), μὲ τὴν ὁποία βλέπουμε τὸ ἀντικείμενο (AB) μὲ γυμνὸ μάτι, ὅταν τὸ ἀντικείμενο βρίσκεται στὴν ἐλάχιστη ἀπόσταση εὐκρινοῦς ὁράσεως.

$$\text{μεγέθυνση } M = \frac{\omega_2}{\omega_1}$$

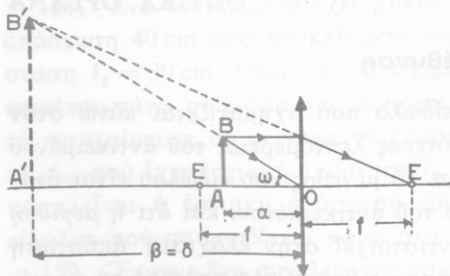
Ἡ μεγέθυνση πού ὀρίσαμε εἶναι ἡ *γωνιακή μεγέθυνση*. Ὁ λόγος τῶν γραμμικῶν διαστάσεων τοῦ εἰδώλου (A'B') καὶ τοῦ ἀντικειμένου (AB) ὀνομάζεται *γραμμική μεγέθυνση* ( $\gamma$ ):

$$\text{γραμμική μεγέθυνση } \gamma = \frac{A'B'}{AB}$$

Ἡ γωνία  $\omega_2$  ἔχει τὴ *μεγαλύτερη τιμή*, ὅταν τὸ εἶδωλο A'B' σχηματίζεται στὴν ἐλάχιστη ἀπόσταση εὐκρινοῦς ὁράσεως (περίπου 25 cm).

### 117. Ἀπλό μικροσκόπιο

Τὸ *ἀπλό μικροσκόπιο* (ἢ *μεγεθυντικός φακός*) εἶναι ἕνας συγκλίνων φακός μὲ μικρὴ ἐστιακὴ ἀπόσταση  $f$ . Τὸ ἀντικείμενο AB, πού θέλουμε νὰ παρατηρήσουμε, τὸ τοποθετοῦμε μεταξύ τῆς κύριας ἐστίας καὶ τοῦ φακοῦ (σχ. 178). Τότε τὸ εἶδωλο A'B', πού παρατηροῦμε, εἶναι *φανταστικό, ὀρθοῖο καὶ μεγαλύτερο* ἀπὸ τὸ ἀντικείμενο. Ἡ γωνία  $\omega_2$ , μὲ τὴν ὁποία βλέπουμε τὸ εἶδωλο A'B', ἔχει τὴ *μεγαλύτερη τιμή*, ὅταν τὸ εἶδωλο σχηματίζεται *στὴν ἐλάχιστη ἀπόσταση εὐκρινοῦς ὁράσεως* ( $\delta$ ), δηλαδή ὅταν εἶναι  $\beta = \delta$ .



Σχ. 178. Σχηματικὴ παράσταση τοῦ ἀπλοῦ μικροσκοπίου

Τότε ἰσχύει ἡ ἐξίσωση :

$$\frac{1}{\alpha} - \frac{1}{\delta} = \frac{1}{f} \quad \text{ἄρα} \quad \alpha = \frac{f \cdot \delta}{f + \delta} \quad (1)$$

Ἡ ἐξίσωση (1) καθορίζει σέ πόση ἀπόσταση ἀπό τό φακό πρέπει νά τοποθετηθεῖ τό ἀντικείμενο AB, ὥστε τό εἶδωλο A'B' νά διακρίνεται καθαρά. Ὑποθέτουμε ὅτι τό μάτι μας βρίσκεται σέ ἐπαφή μέ τό φακό, ὥστε τό σύστημα μάτι - φακός νά ἔχουν τό ἴδιο ὀπτικό κέντρο.

α. Ἴσχύς τοῦ ἀπλοῦ μικροσκοπίου. Ὄταν εἶναι  $\beta = \delta$ , τό εἶδωλο φαίνεται καθαρά μέ τή γωνία  $\omega$ . Ἄρα μέσω τοῦ φακοῦ ἡ μονάδα μήκους ἀντικειμένου AB φαίνεται μέ τή γωνία  $\omega/AB$ . Γιά ὅλα γεωμετρικά τά μικροσκόπια ἰσχύει ὁ ἀκόλουθος ὀρισμός:

**Ἴσχύς (I) τοῦ μικροσκοπίου ὀνομάζεται ἡ γωνία, μέ τήν ὁποία βλέπουμε, μέσω τοῦ φακοῦ, τή μονάδα μήκους τοῦ ἀντικειμένου.**

Σύμφωνα μέ τόν παραπάνω ὀρισμό ἡ ἰσχύς τοῦ ἀπλοῦ μικροσκοπίου εἶναι:

$$\text{ἰσχύς ἀπλοῦ μικροσκοπίου } I = \frac{\omega}{AB} \quad (2)$$

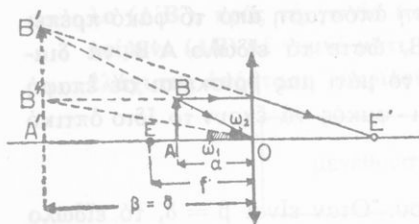
Ἀπό τήν ἐξίσωση (2) βρίσκουμε ὅτι μονάδα ἰσχύος τοῦ μικροσκοπίου εἶναι:

$$\text{μονάδα ἰσχύος } \frac{1 \text{ rad}}{1 \text{ m}} = 1 \text{ m}^{-1} \quad \text{ἄρα } 1 \text{ διοπτρία (1dpt)}$$

Στό ὀρθογώνιο τρίγωνο OAB εἶναι  $AB = OA \cdot \epsilon\phi \omega$ . Ἄν λάβουμε ὑπόψη ὅτι ἡ γωνία  $\omega$  εἶναι πολύ μικρή καί ἡ ἔστιακή ἀπόσταση  $f$  εἶναι ἐπίσης πολύ μικρή, τότε κατά μεγάλη προσέγγιση μπορούμε νά λάβουμε  $AB = f \cdot \omega$ . Ἐπομένως ἀπό τήν ἐξίσωση (2) βρίσκουμε ὅτι ἡ ἰσχύς τοῦ ἀπλοῦ μικροσκοπίου εἶναι:

$$\text{ἰσχύς ἀπλοῦ μικροσκοπίου } I = \frac{1}{f}$$

β. Μεγέθυνση τοῦ ἀπλοῦ μικροσκοπίου. Ὄταν εἶναι  $\beta = \delta$  (σχ.



Σχ. 179. Μεγέθυνση του άπλου μικροσκοπίου ( $M = \omega_2/\omega_1$ )

179), οί γωνίες  $\omega_2$  και  $\omega_1$  είναι πολύ μικρές και από τά ὀρθογώνια τρίγωνα  $OAB$  και  $OA'B''$  βρίσκουμε ὅτι εἶναι:

$$\omega_2 = \frac{AB}{OA} \quad \text{ἢ} \quad \omega_2 = \frac{AB}{a}$$

$$\text{καί} \quad \omega_1 = \frac{A'B''}{OA'} \quad \text{ἢ} \quad \omega_1 = \frac{AB}{\delta}$$

Ὡστε ἡ μεγέθυνση τοῦ άπλου μικροσκοπίου εἶναι :

$$M = \frac{\omega_2}{\omega_1} \quad \text{ἢ} \quad M = \frac{\delta}{a} \quad (3)$$

Ἄν στήν παραπάνω ἐξίσωση ἀντικαταστήσουμε τό  $a$  ἀπό τήν ἐξίσωση (1), βρίσκουμε ὅτι ἡ μεγέθυνση τοῦ άπλου μικροσκοπίου εἶναι:

$$\text{μεγέθυνση άπλου μικροσκοπίου} \quad M = 1 + \frac{\delta}{f} \quad (4)$$

Ἐπειδή ἡ ἔστιακή ἀπόσταση τοῦ φακοῦ εἶναι πολύ μικρή, μπορούμε νά θεωρήσουμε ὅτι εἶναι  $a \simeq f$ . Τότε ἀπό τήν ἐξίσωση (3) βρίσκουμε ὅτι κατά μεγάλη προσέγγιση ἡ μεγέθυνση τοῦ άπλου μικροσκοπίου εἶναι :

$$\text{μεγέθυνση άπλου μικροσκοπίου} \quad M = \frac{\delta}{f} \quad \text{ἢ} \quad M = I \cdot \delta$$

Σημείωση. Γιά ὅλα τά μικροσκόπια κατά συνθήκη ὀνομάζουμε ἐμπορική μεγέθυνση τοῦ μικροσκοπίου τή μεγέθυνση πού ἀντιστοιχεῖ στό κανονικό μάτι ( $\delta = 25 \text{ cm}$ ).

Παράδειγμα. Παρατηρητής, πού ἔχει ἐλάχιστη ἀπόσταση εὐκρινούς ὀράσεως  $\delta = 25 \text{ cm}$ , παρατηρεῖ μέ συγκλίνοντα φακό ἔστιακῆς ἀποστάσεως  $f = 2 \text{ cm}$  ἀντικείμενο πού ἔχει μήκος  $AB = 2 \text{ mm}$ .

Ἡ ἰσχύς τοῦ άπλου μικροσκοπίου εἶναι :

$$I = \frac{1}{f} = \frac{1}{0,02 \text{ m}} \quad \text{καί} \quad I = 50 \text{ dpt}$$

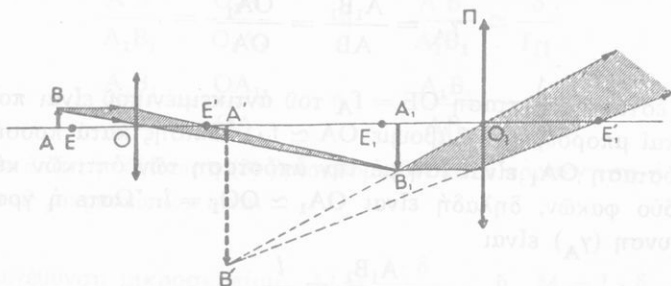
Ἡ μεγέθυνση εἶναι :

$$M = \frac{\delta}{f} = \frac{25 \text{ cm}}{2 \text{ cm}} \quad \text{καί} \quad M = 12,5$$

$$\text{ἢ} \quad M = 1 + \frac{\delta}{f} = 1 + 12,5 \quad \text{καί} \quad M = 13,5$$

### 118. Σύνθετο μικροσκόπιο

Γιὰ τὴν παρατήρηση πολὺ μικρῶν ἀντικειμένων χρησιμοποιοῦμε τὸ *σύνθετο μικροσκόπιο* πού συνήθως τὸ λέμε *μικροσκόπιο*. Αὐτὸ ἀποτελεῖται βασικά ἀπὸ δύο συγκλίνοντες φακούς, πού εἶναι στερεωμένοι στὶς δύο ἄκρες ἑνὸς σωλήνα. Ὁ ἕνας φακὸς ὀνομάζεται *ἀντικειμενικός*, καὶ ἔχει πολὺ μικρὴ ἐστιακὴ ἀπόσταση ( $f_A$ ). Λίγο πέρα ἀπὸ τὴν κύρια ἐστία του τοποθετοῦμε τὸ μικρὸ ἀντικείμενο AB πού θέλομε νὰ παρατηρήσουμε (σχ. 180). Ὁ ἀντικειμενικός φακὸς δίνει τότε τὸ εἶδωλο  $A_1B_1$ , πού εἶναι *πραγματικό*, ἀντιστραμμένο καὶ μεγαλύτερο ἀπὸ τὸ ἀντικείμενο. Ὁ δεῦτερος φακὸς ὀνομάζεται *προσοφθάλμιος* καὶ λειτουργεῖ ὡς ἀπλό μικροσκόπιο, γιατί τὸ πραγματικὸ εἶδωλο  $A_1B_1$  σχηματίζεται μεταξὺ τοῦ προσοφθάλμιου φακοῦ καὶ τῆς κύριας ἐστίας του. Γιὰ τὸν προσοφθάλμιον φακὸ τὸ πραγματικὸ εἶδωλο  $A_1B_1$  παίξει ρόλο πραγματικοῦ ἀντικειμένου. Ἔτσι ὁ προσοφθάλμιος φακὸς δίνει τὸ εἶδωλο  $A'B'$ , πού εἶναι *φανταστικό*, ὄρθιο καὶ με-



Σχ. 180. Πορεία τῶν ἀκτίνων στὸ μικροσκόπιο

γαλύτερο από το  $A_1B_1$ . Για να βλέπουμε καθαρά το τελικό είδωλο  $A'B'$ , πρέπει αυτό να σχηματίζεται στην ελάχιστη απόσταση εύκρινους όρασεως.

Με τη βοήθεια κατόπτρου το αντικείμενο  $AB$  φωτίζεται ισχυρά, ώστε το τελικό είδωλο  $A'B'$ , που είναι πολύ μεγαλύτερο από το αντικείμενο, να είναι φωτεινό. Ο αντικειμενικός και ο προσοφθάλμιος φακός είναι συστήματα φακών, για να αποφεύγονται τα σφάλματα που χαρακτηρίζουν τον ένα μόνο φακό.

α. Ίσχύς του μικροσκοπίου. Ξέρουμε (§ 117 α) ότι *ισχύς του μικροσκοπίου* ονομάζεται η γωνία με την οποία βλέπουμε μέσω του όργανου τη μονάδα μήκους του αντικειμένου. Αν λοιπόν βλέπουμε με γωνία  $\omega$  το αντικείμενο  $AB$ , τότε η ισχύς ( $I$ ) του μικροσκοπίου είναι:

$$I = \frac{\omega}{AB}$$

Η εξίσωση αυτή γράφεται και έτσι:

$$I = \frac{\omega}{A_1B_1} \cdot \frac{A_1B_1}{AB} \quad (1)$$

Αλλά  $\omega/A_1B_1$  είναι η *ισχύς* ( $I_{\Pi}$ ) του προσοφθάλμιου φακού. Αυτός λειτουργεί ως απλό μικροσκόπιο και η ισχύς του είναι  $I_{\Pi} = \frac{1}{f_{\Pi}}$

Ο λόγος  $A_1B_1/AB$  είναι η *γραμμική μεγέθυνση* ( $\gamma_A$ ) του αντικειμενικού και είναι:

$$\gamma_A = \frac{A_1B_1}{AB} = \frac{OA_1}{OA}$$

Η έστιακή απόσταση  $OE = f_A$  του αντικειμενικού είναι πολύ μικρή και μπορούμε να λάβουμε  $OA \simeq f_A$ . Επίσης κατά προσέγγιση η απόσταση  $OA_1$  είναι ίση με την απόσταση των οπτικών κέντρων των δύο φακών, δηλαδή είναι  $OA_1 \simeq OO_1 = l$ . Ωστε η γραμμική μεγέθυνση ( $\gamma_A$ ) είναι

$$\frac{A_1B_1}{AB} = \frac{l}{f_A}$$

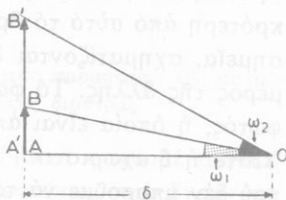


Έτσι από την εξίσωση (1) βρίσκουμε ότι κατά προσέγγιση ή ισχύς του μικροσκοπίου είναι :

$$\text{ισχύς του μικροσκοπίου } I = \frac{l}{f_A \cdot f_{\Pi}}$$

Στά συνηθισμένα μικροσκόπια ή ισχύς φτάνει ως 3000 διοπτρίες, ενώ στα πολύ καλά μικροσκόπια φτάνει σε 10 000 διοπτρίες.

β. Μεγέθυνση του μικροσκοπίου. Άς θεωρήσουμε ότι το τελικό είδωλο  $A'B'$  και το αντικείμενο  $AB$  βρίσκονται στην ελάχιστη απόσταση εύκρινους όρασεως  $\delta$  (σχ. 181). Τότε οι γωνίες  $\omega_2$  και  $\omega_1$  είναι :



Σχ. 181. Όρισμός της μεγέθυνσης στο μικροσκόπιο

$$\omega_2 = \frac{A'B'}{\delta} \quad \text{καί} \quad \omega_1 = \frac{AB}{\delta}$$

Άρα η μεγέθυνση του μικροσκοπίου είναι :

$$M = \frac{\omega_2}{\omega_1} \quad \text{ή} \quad M = \frac{A'B'}{AB} \quad (2)$$

Η εξίσωση (2) μπορεί να γραφεί και έτσι :

$$M = \frac{A'B'}{A_1B_1} \cdot \frac{A_1B_1}{AB} \quad (3)$$

Από το σχήμα 180 βρίσκουμε ότι είναι :

$$\frac{A'B'}{A_1B_1} = \frac{O_1A'}{O_1A_1} \quad \text{ή} \quad \frac{A'B'}{A_1B_1} \simeq \frac{\delta}{f_{\Pi}}$$

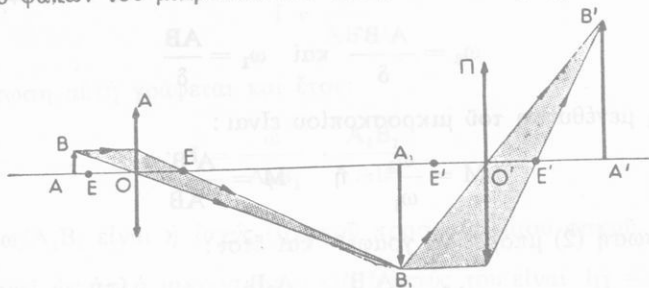
$$\frac{A_1B_1}{AB} = \frac{OA_1}{OA} \quad \text{ή} \quad \frac{A_1B_1}{AB} \simeq \frac{l}{f_A}$$

Έτσι από την εξίσωση (3) βρίσκουμε ότι κατά προσέγγιση ή μεγέθυνση του μικροσκοπίου είναι :

$$\text{μεγέθυνση μικροσκοπίου } M = \frac{l \cdot \delta}{f_A \cdot f_{\Pi}} \quad \text{ή} \quad M = I \cdot \delta$$

γ. Διαχωριστική ικανότητα του μικροσκοπίου. Όσο αυξάνει η μεγέθυνση του μικροσκοπίου, τόσο περισσότερο αυξάνουν και οι λεπτομέρειες που διακρίνει το μάτι μας. Άλλά δύο σημεία δεν μπορεί να διακρίνονται ως ξεχωριστά σημεία, όταν η απόστασή τους είναι μικρότερη από ένα όριο, που ονομάζεται *διαχωριστική ικανότητα* (ή διακριτική ικανότητα). Αν η απόσταση των δύο σημείων είναι μικρότερη από αυτό το όριο, τότε στο είδωλο, αντί για δύο ξεχωριστά σημεία, σχηματίζονται δύο μικρές κηλίδες, που ή μιá σκεπάζει ένα μέρος τής άλλης. Το φαινόμενο αυτό οφείλεται στην *περίθλαση* του φωτός, ή όποια είναι άποτέλεσμα τής κυματικής φύσεως του φωτός. Ωστε ή διαχωριστική ικανότητα του μικροσκοπίου έχει ένα όριο, που δεν μπορούμε να τό ξεπεράσουμε.

δ. Μικροφωτογραφία. Μπορούμε να ρυθμίσουμε τήν απόσταση των δύο φακών του μικροσκοπίου έτσι, ώστε τό πραγματικό είδωλο



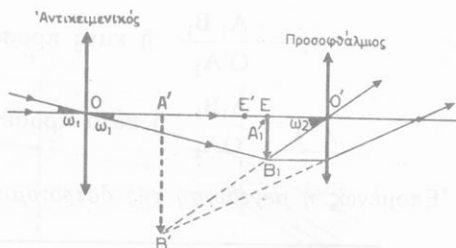
Σχ. 182. Σχηματισμός πραγματικού ειδώλου (A'B') από τό μικροσκόπιο

$A_1B_1$ , που δίνει ό αντικειμενικός, να σχηματίζεται εμπρός από τήν κύρια έστια του προσοφθάλμιου φακού (σχ. 182). Τότε ό προσοφθάλμιος φακός δίνει τό *πραγματικό* είδωλο A'B', που μπορεί να σχηματιστεί πάνω σε διάφραγμα ή σε φωτογραφική πλάκα (*μικροφωτογραφία*) ή σε κινηματογραφική ταινία (*κινηματομικρογραφία*). Αυτές οι κινηματογραφικές ταινίες προσφέρουν σήμερα πολύτιμη βοήθεια στην επιστημονική έρευνα και στη διδασκαλία.

### 119. Τηλεσκόπια

Γιά να παρατηρήσουμε αντικείμενα που βρίσκονται σε μεγάλη απόσταση, χρησιμοποιούμε τά *τηλεσκόπια*. Αυτά άποτελούνται από

άντικειμενικό σύστημα, πού σχηματίζει ένα πολύ μικρό πραγματικό είδωλο του μακρινού αντικειμένου. Τό είδωλο αυτό τό παρατηρούμε μέ ένα προσοφθάλμιο σύστημα, πού δίνει φανταστικό είδωλο. Ύπάρχουν δύο κατηγορίες τηλεσκοπίων, τά *διοπτρικά τηλεσκόπια*, πού έχουν ως αντικειμενικό σύστημα ένα συγκλίνοντα φακό μέ μεγάλη έστιακή απόσταση, καί τά *κατοπτρικά τηλεσκόπια*, πού έχουν ως αντικειμενικό σύστημα ένα κοίλο κάτοπτρο μέ μεγάλη έστιακή απόσταση. Τό αντικειμενικό καί τό προσοφθάλμιο σύστημα είναι κατάλληλα στερεωμένα σέ σωλήνα.



Σχ. 183. Σχηματική παράσταση τής αστρονομικής διόπτρας

## 120. Ύστρονομική διόπτρα

Ή *αστρονομική διόπτρα* (ή αστρονομικό τηλεσκόπιο) άποτελείται από τόν *άντικειμενικό* φακό, πού είναι συγκλίνων φακός, έχει μεγάλη έστιακή απόσταση ( $f_A$ ) καί σχηματίζει τό *πραγματικό*, πολύ μικρό καί άντιστραμμένο είδωλο  $A_1B_1$  (σχ. 183). Τό είδωλο αυτό σχηματίζεται σχεδόν στήν κύρια έστία του άντικειμενικού φακού. Ο *προσοφθάλμιος* φακός έχει μικρή έστιακή απόσταση ( $f_{\Pi}$ ) καί χρησιμοποιείται ως άπλό μικροσκόπιο γιά τήν παρατήρηση του πραγματικού ειδώλου  $A_1B_1$ . Έτσι ο προσοφθάλμιος σχηματίζει τό είδωλο  $A'B'$ , πού είναι *φανταστικό*, όρθιο σχετικά μέ τό είδωλο  $A_1B_1$  καί μεγαλύτερο άπό αυτό. Κατά τήν παρατήρηση χωρίς προσαρμογή (παρατήρηση στό άπειρο) οί κύριες έστίες του άντικειμενικού καί του προσοφθάλμιου φακού συμπίπτουν, καί τότε τό μήκος του όργάνου είναι

$$l = f_A + f_{\Pi}$$

α. Μεγέθυνση τής διόπτρας. Όπως στά μικροσκόπια, έτσι καί στά τηλεσκόπια ή μεγέθυνση είναι  $M = \omega_2/\omega_1$ . Άπό τά όρθογώνια τρίγωνα  $O'A_1B_1$  καί  $OA_1B_1$  βρίσκουμε ότι οί πολύ μικρές γωνίες  $\omega_2$  καί  $\omega_1$  είναι:

$$\omega_2 = \frac{A_1 B_1}{O'A_1} \quad \text{ή κατά προσέγγιση} \quad \omega_2 = \frac{A_1 B_1}{f_{\Pi}}$$

$$\omega_1 = \frac{A_1 B_1}{OA_1} \quad \text{ή κατά προσέγγιση} \quad \omega_1 = \frac{A_1 B_1}{f_A}$$

°Επομένως ή μεγέθυνση τής αστρονομικής διόπτρας είναι:

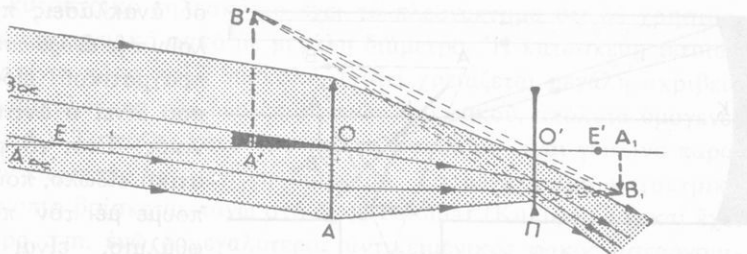
$$\text{μεγέθυνση αστρονομικής διόπτρας} \quad M = \frac{f_A}{f_{\Pi}}$$

Δηλαδή ή μεγέθυνση ( $M$ ) τής αστρονομικής διόπτρας είναι ίση μέ τό λόγο τής έστιακής απόστάσεως ( $f_A$ ) τού αντικειμενικού φακού πρός τήν έστιακή απόσταση ( $f_{\Pi}$ ) τού προσοφθάλμιου φακού.

β. Διαχωριστική ικανότητα τής διόπτρας. °Αν δύο σημεία  $A$  και  $B$  (π.χ. δύο άπλανείς άστέρες) βρίσκονται κοντά τό ένα στό άλλο, τότε ό αντικειμενικός φακός δίνει δύο ξεχωριστά είδωλα, μόνο όταν ή γωνιακή απόσταση τών δύο σημείων  $A$  και  $B$  είναι μεγαλύτερη από μά όρική τιμή  $\epsilon$ , πού όνομάζεται διαχωριστική ικανότητα τής διόπτρας. Θεωρητικά βρίσκουμε ότι ή διαχωριστική ικανότητα ( $\epsilon$ ) τής διόπτρας είναι τόσο μικρότερη, όσο μεγαλύτερη είναι ή διάμετρος τού αντικειμενικού φακού. Γι' αυτό στίς διόπτρες χρησιμοποιούμε πολύ μεγάλους αντικειμενικούς φακούς, πού έχουν μικρή διαχωριστική ικανότητα. Σήμερα οί καλύτερες διόπτρες έχουν διαχωριστική ικανότητα ( $\epsilon$ ) ίση μέ  $0,12''$ . Αύτή ή γωνία είναι ή γωνιακή απόσταση δύο σημείων τής επιφάνειας τής Σελήνης, πού ή μεταξύ τους απόσταση είναι 230 m.

### 121. Διόπτρα τού Γαλιλαίου

Στή διόπτρα τού Γαλιλαίου ό αντικειμενικός είναι συγκλίνων φακός, πού έχει έστιακή απόσταση  $f_A$  και σχηματίζει τό πραγματικό είδωλο  $A_1 B_1$  κοντά στήν κύρια έστία του (σχ. 184). °Ο προσοφθάλμιος είναι αποκλίνων φακός, πού παρεμβάλλεται μεταξύ τού αντικειμενικού φακού και τής κύριας έστίας του. °Ετσι τό είδωλο  $A_1 B_1$  παίξει ρόλο αντικειμένου για τόν προσοφθάλμιο φακό, ό όποιος σχη-



Σχ. 184. Πορεία των ακτίνων στη διόπτρα του Γαλιλαίου

ματίζει τό φανταστικό είδωλο  $A'B'$ , πού είναι ὄρθιο σχετικά μέ τό ἀντικείμενο  $AB$  καί μεγαλύτερο ἀπό τό είδωλο  $A_1B_1$ . Ὅταν οἱ κύριες ἐστίες τῶν δύο φακῶν συμπίπτουν, τότε τό μήκος τοῦ ὄργανου εἶναι ἴσο μέ  $l = f_A - f_{\Pi}$ .

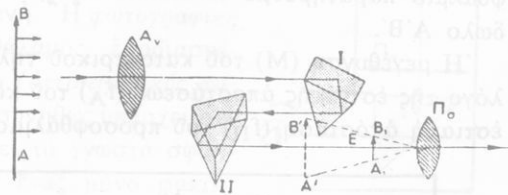
Ἡ διόπτρα τοῦ Γαλιλαίου εἶναι κατάλληλη γιά ἐπίγειες παρατηρήσεις, γιατί τό τελικό φανταστικό είδωλο ( $A'B'$ ) εἶναι ὄρθιο σχετικά μέ τό ἀντικείμενο ( $AB$ ).

Ὅπως στήν ἀστρονομική διόπτρα, ἔτσι καί στή διόπτρα τοῦ Γαλιλαίου βρίσκουμε ὅτι ἡ μεγέθυνση ( $M$ ) εἶναι ἴση μέ τό λόγο τῶν ἐστιακῶν ἀποστάσεων τῶν δύο φακῶν, δηλαδή εἶναι:

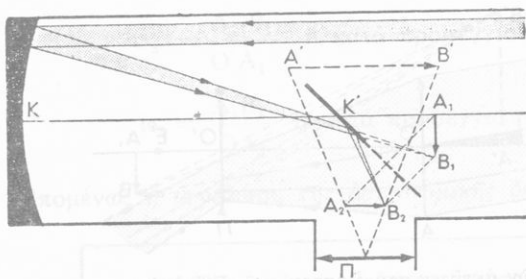
$$\text{μεγέθυνση διόπτρας τοῦ Γαλιλαίου } M = \frac{f_A}{f_{\Pi}}$$

## 122. Πρισματική διόπτρα

Στήν πρισματική διόπτρα μεταξύ τοῦ ἀντικειμενικοῦ καί τοῦ προσοφθάλμιου φακοῦ παρεμβάλλονται δύο πρίσματα ὀλικῆς ἀνακλάσεως (σχ. 185). Μιά φωτεινή ἀκτίνα, πού βγαίνει ἀπό τόν ἀντικειμενικό, παθαίνει δύο ὀλικές ἀνακλάσεις μέσα σέ κάθε πρίσμα. Αὐτές



Σχ. 185. Πορεία των ακτίνων στην πρισματική διόπτρα



Σχ. 186. Πορεία των ακτίνων στο κατοπτρικό τηλεσκόπιο

πίγειες παρατηρήσεις. Δύο τέτοιες διόπτρες ενώνονται και χρησιμοποιούνται για διόφθαλμη όραση. Οί διόφθαλμες πρισματικές διόπτρες δίνουν στερεοσκοπική άποψη του ειδώλου, γιατί ή απόσταση των δύο αντικειμενικών φακών είναι μεγαλύτερη από την απόσταση των δύο ματιών μας και επομένως κάθε μάτι βλέπει άλλη άποψη του αντικειμένου.

### 123. Κατοπτρικό τηλεσκόπιο

Τό κατοπτρικό τηλεσκόπιο ως αντικειμενικό σύστημα έχει ένα κοίλο κάτοπτρο Κ (σφαιρικό ή παραβολικό) μέ μεγάλη έστιϊκή απόσταση ( $f_A$ ). Τό κοίλο κάτοπτρο (σχ. 186) σχηματίζει πολύ κοντά στην έστια του τό είδωλο  $A_1B_1$ , πού είναι πραγματικό, πολύ μικρό και αντιστραμμένο. Έμπρός από την κύρια έστια του κοίλου κατόπτρου υπάρχει μικρό επίπεδο κάτοπτρο Κ' (ή πρίσμα όλικής ανακλάσεως), πού σχηματίζει τό πραγματικό είδωλο  $A_2B_2$ . Όταν μέ τόν προσοφθάλμιο παρατηρούμε τό είδωλο  $A_2B_2$ , βλέπουμε τό φανταστικό είδωλο  $A'B'$ .

Ή μεγέθυνση (M) του κατοπτρικού τηλεσκοπίου είναι ίση μέ τό λόγο τής έστιϊκής αποστάσεως ( $f_A$ ) του κοίλου κατόπτρου πρός τήν έστιϊκή απόσταση ( $f_{\Pi}$ ) του προσοφθάλμιου φακού.

$$\text{μεγέθυνση κατοπτρικού τηλεσκοπίου} \quad M = \frac{f_A}{f_{\Pi}}$$

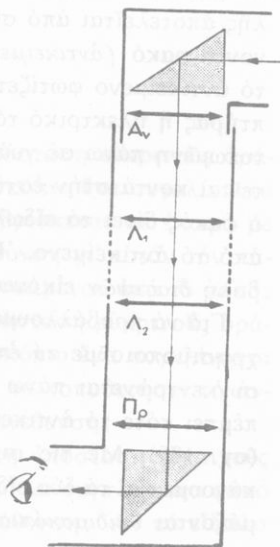
οί ανακλάσεις προκαλούν τήν ανόρθωση του πραγματικού ειδώλου, πού δίνει ό αντικειμενικός. Έτσι τό φανταστικό είδωλο, πού βλέπουμε μέ τόν προσοφθάλμιο, είναι όρθιο σχετικά μέ τό αντικείμενο. Αυτή ή διόπτρα είναι κατάλληλη για έ-

Τό κατοπτρικό τηλεσκόπιο έχει τό πλεονέκτημα ότι δέ χρησιμοποιοί άντικειμενικό φακό μέ μεγάλη διάμετρο. Ή κατασκευή τέτοιων φακών είναι πάρα πολύ δύσκολη (γιατί χρειάζεται μεγάλη ακρίβεια στην καμπυλότητα των δύο επιφανειών του φακού, άπόλυτα όμογενές γυαλί κ.ά.). Τό κοίλο κάτοπτρο του τηλεσκοπίου είναι γυάλινο παραβολικό κάτοπτρο μέ μεγάλη διάμετρο. Τό μεγαλύτερο κατοπτρικό τηλεσκόπιο βρίσκεται πάνω στό όρος Palomar (Καλιφόρνια) καί έχει διάμετρο 5 m, ενώ ό μεγαλύτερος άντικειμενικός φακός άστρονομικής διόπτρας έχει διάμετρο 1,02 m (άστεροσκοπείο Yerkes).

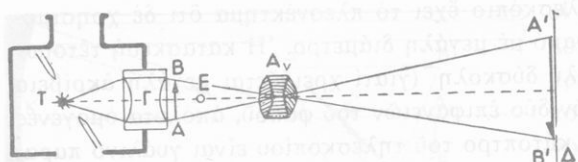
## 124. Άλλα συνηθισμένα όπτικά όργανα

α. Περισκόπιο. Τό *περισκόπιο* χρησιμοποιείται κυρίως από τά ύποβρύχια για τήν εξερεύνηση του όρίζοντα, όταν βρίσκονται σέ κατάδυση. Τό περισκόπιο είναι μιά άστρονομική διόπτρα, στην όποία ό σωλήνας σχηματίζει στις δύο άκρες του όρθή γωνία, χάρη σέ δύο πρίσματα όλικής άνακλάσεως (σχ. 187). Τό ένα από τά πρίσματα βρίσκεται έμπρός από τόν άντικειμενικό φακό, ενώ τό άλλο πρίσμα είναι έμπρός ή πίσω από τόν προσοφθάλμιο. Ήνα σύστημα φακών άνορθώνει τό είδωλο. Ή μεγέθυνση της διόπτρας είναι ίση μέ τή μονάδα, ώστε ό παρατηρητής νά έχει ακριβή ιδέα για τίς διαστάσεις των άντικειμένων. Τό μήκος του σωλήνα μπορεί νά μεταβάλλεται. Τό πάνω μέρος του σωλήνα μπορεί νά στρέφεται γύρω από τόν κατακόρυφο άξονα του όργάνου, για νά κατευτεται όλος ό όρίζοντας.

β) Φωτογραφική μηχανή. Ή *φωτογραφική μηχανή* είναι σκοτεινός θάλαμος, έφοδιασμένος μέ συγκλίνοντα φακό (άντικειμενικός φακός). Άντί για ένα φακό συνήθως ύπάρχει σύστημα φακών, πού δέν έχει τά γνωστά σφάλματα πού παρουσιάζει ό ένας μόνο φακός. Τό πραγματικό είδωλο πού δίνει ό φακός σχηματίζεται πάνω σέ φωτογραφική πλάκα ή φίλμ,



Σχ. 187. Πορεία μιας ακτίνας στό περισκόπιο



Σχ. 188. Σχηματική παράσταση του προβολέα

πού βρίσκεται άπέναντι από τό φακό. Ἡ απόσταση τοῦ φακοῦ ἀπό τήν πλάκα μπορεί νά μεταβάλλεται, γιατί

τά ἀντικείμενα πού θέλουμε νά φωτογραφίσουμε δέ βρίσκονται πάντοτε στήν ἴδια ἀπόσταση ἀπό τό φακό. Μέ ἕνα ρυθμιζόμενο διάφραγμα κανονίζουμε τό φωτισμό τοῦ φακοῦ. Ἡ φωτογραφία στηρίζεται στό ὅτι μερικές οὐσίες εἶναι *φωτοπαθεῖς*, δηλαδή μέ τήν ἐπίδραση τοῦ φωτός παθαίνουν χημική ἀλλοίωση καί ἔτσι πάνω στή φωτογραφική πλάκα ἢ στό φίλμ μπορεί νά ἀποτυπωθεῖ τό εἶδωλο πού σχηματίστηκε. Σήμερα χρησιμοποιοῦμε πολλές φωτοπαθεῖς οὐσίες.

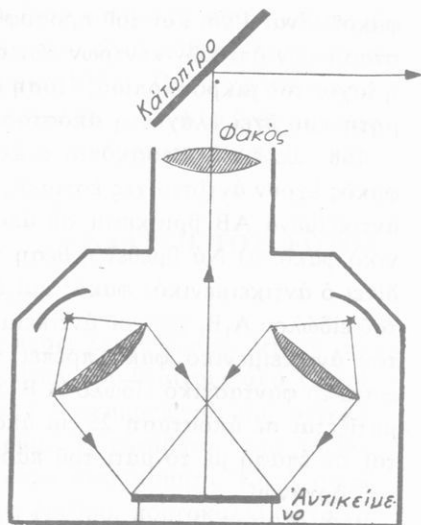
γ. Προβολέας. Ὁ *προβολέας* χρησιμεύει γιά νά σχηματίζεται πάνω σέ ὀθόνη (ἢ καί τοῖχο) ἕνα πραγματικό καί μεγάλο εἶδωλο, πού τό βλέπουν σύγχρονα πολλοί παρατηρητές. Κάθε συσκευή προβολῆς ἀποτελεῖται ἀπό σύστημα φακῶν, πού ἰσοδυναμεῖ μέ ἕνα συγκλίνοντα φακό (*ἀντικειμενικός φακός*). Γιά νά εἶναι τό εἶδωλο φωτεινό, τό ἀντικείμενο φωτίζεται μέ ἰσχυρή φωτεινή πηγή (ἤλεκτρικός λαμπτήρας ἢ ἤλεκτρικό τόξο). Μιά διαφανῆς εἰκόνα AB, πού εἶναι ἀποτυπωμένη πάνω σέ γυάλινη πλάκα (slide, σλάϊντ) ἢ σέ φίλμ, τοποθετεῖται κοντά στήν ἐστία E τοῦ ἀντικειμενικοῦ φακοῦ (σχ. 188). Τότε ὁ φακός δίνει τό εἶδωλο A'B', πού εἶναι πραγματικό καί μεγαλύτερο ἀπό τό ἀντικείμενο. Ἡ συσκευή πού χρησιμοποιοῦμε γιά τήν προβολή *διαφανῶν* εἰκόνων, ὀνομάζεται *διασκόπιο*.

Γιά νά προβάλλουμε *ἀδιαφανή* ἀντικείμενα (φωτογραφίες, κείμενα), χρησιμοποιοῦμε τό *ἐπισκόπιο*. Σ' αὐτό, τό φῶς μιᾶς ἰσχυρῆς πηγῆς συγκεντρώνεται πάνω στό ἀντικείμενο. Οἱ φωτεινές ἀκτίνες, πού ἐκπέμπει τότε τό ἀντικείμενο, πέφτουν πάνω στόν ἀντικειμενικό φακό (σχ. 189). Μέ τίς συνηθισμένες συσκευές προβολῆς μπορούμε νά κάνουμε καί τά δύο εἶδη προβολῆς καί γι' αὐτό οἱ συσκευές αὐτές ὀνομάζονται *ἐπιδιασκόπια*.

δ. Κινηματογραφική μηχανή. Ὅπως ξέρουμε, (§ 115 στ) ἡ λειτουργία τοῦ κινηματογράφου στηρίζεται στήν ιδιότητα πού ἔχει τό μάτι



μας νά διατηρεί τήν ὀπτική ἐντύπωση ἐπί 1/10 τοῦ δευτερολέπτου. Ἡ *κινηματογραφική μηχανή* εἶναι κατάλληλος προβολέας, ὁ ὁποῖος κάθε εἰκόνα πού εἶναι ἀποτυπωμένη πάνω στήν ταινία τήν προβάλλει πάνω στήν ὀθόνη περίπου ἐπί 1/24 τοῦ δευτερολέπτου. Ἐπειτα μέ ἓνα στρεφόμενο διάφραγμα διακόπτεται γιά ἐλάχιστο χρονικό διάστημα ἢ φωτεινὴ δέσμη ἢ ταινία προχωρεῖ τότε κατά μιὰ εἰκόνα, πού ἀμέσως φωτίζεται. Τό μάτι μας δέν ἀντιλαμβάνεται τήν ἀλλαγὴ τῆς εἰκόνας καί γι' αὐτό ἔχει τήν ἐντύπωση ὅτι βλέπει κινούμενα τὰ ἀντικείμενα.



Σχ. 189. Πορεία τῶν ἀκτίνων στό ἐπίσκοπιο

## ΠΡΟΒΛΗΜΑΤΑ

164. Ἐνας παρατηρητὴς ἔχει ἐλάχιστη ἀπόσταση εὐκρινοῦς ὁράσεως 12 cm καί χρησιμοποιεῖ ὡς ἀπλό μικροσκόπιο ἓνα συγκλίνοντα φακό ἑστιακῆς ἀποστάσεως 4 cm. Ὁ φακός βρίσκεται σέ ἐπαφή μέ τό μάτι τοῦ παρατηρητῆ. Πόση εἶναι ἡ μεγέθυνση γι' αὐτόν τόν παρατηρητῆ καί πόση εἶναι ἡ ἀπόσταση τοῦ ἀντικειμένου ἀπό τό φακό;

165. Ἐνας παρατηρητὴς ἔχει ἐλάχιστη ἀπόσταση εὐκρινοῦς ὁράσεως 25 cm καί χρησιμοποιεῖ ὡς ἀπλό μικροσκόπιο ἓνα συγκλίνοντα φακό ἑστιακῆς ἀποστάσεως 5 cm. Πού πρέπει νά τοποθετῆσει τό ἀντικείμενο πού παρατηρεῖ καί πόση εἶναι ἡ μεγέθυνση;

166. Ἐνας παρατηρητῆς, πού ἔχει ἐλάχιστη ἀπόσταση εὐκρινοῦς ὁράσεως 20 cm, χρησιμοποιεῖ ὡς ἀπλό μικροσκόπιο συγκλίνοντα φακό πού ἔχει ἰσχύ 12 διοπτρίες. Πόση εἶναι ἡ μεγέθυνση; Ἄν τό εἶδωλο πού παρατηρεῖ ἔχει μῆκος 4 cm, πόσο εἶναι τό μῆκος τοῦ ἀντικειμένου;

167. Σέ ἓνα μικροσκόπιο ἡ ἑστιακὴ ἀπόσταση τοῦ ἀντικειμενικοῦ

φακού είναι 1 cm και του προσοφθάλμιου φακού είναι 3 cm. Ἡ απόσταση τῶν ὀπτικῶν κέντρων τῶν δύο φακῶν είναι 15 cm. Πόση είναι ἡ ἰσχὺς τοῦ μικροσκοπίου; Πόση είναι ἡ μεγέθυνση γιὰ ἓναν παρατηρητὴ πού ἔχει ἐλάχιστη ἀπόσταση εὐκρινοῦς ὁράσεως 25 cm;

168. Σέ ἓνα μικροσκόπιο ὁ ἀντικειμενικός καὶ ὁ προσοφθάλμιος φακός ἔχουν ἀντίστοιχες ἐστιακές ἀποστάσεις 5 mm καὶ 20 mm. Ἐνα ἀντικείμενο AB βρίσκεται σέ ἀπόσταση 5,2 mm ἀπὸ τὸν ἀντικειμενικό φακό. α) Νά βρεθεῖ ἡ θέση τοῦ πραγματικοῦ εἰδώλου  $A_1B_1$  πού δίνει ὁ ἀντικειμενικός φακός καὶ ὁ λόγος ὧν γραμμικῶν διαστάσεων τοῦ εἰδώλου  $A_1B_1$  καὶ τοῦ ἀντικειμένου AB. β) Σέ πόση ἀπόσταση ἀπὸ τὸν ἀντικειμενικό φακό πρέπει νά εἶναι ὁ προσοφθάλμιος φακός, ὥστε τὸ φανταστικό εἶδωλο  $A'B'$  πού δίνει ὁ προσοφθάλμιος νά σχηματίζεται σέ ἀπόσταση 25 cm ἀπὸ αὐτὸν τὸ φακό, ὁ ὁποῖος βρίσκεται σέ ἐπαφή μὲ τὸ μάτι τοῦ παρατηρητῆ; Πόση εἶναι ἡ μεγέθυνση τοῦ ὄργάνου;

169. Σέ μιὰ ἀστρονομική διόπτρα ὁ ἀντικειμενικός καὶ ὁ προσοφθάλμιος φακός ἔχουν ἀντίστοιχα ἐστιακές ἀποστάσεις 2 m καὶ 2 cm. Μὲ πόση γωνία βλέπουμε διαμέσου τῆς διόπτρας δύο ἀστέρες πού ἡ γωνιακὴ ἀπόστασή τους εἶναι 3';

170. Σέ μιὰ ἀστρονομική διόπτρα ὁ ἀντικειμενικός καὶ ὁ προσοφθάλμιος φακός ἔχουν ἀντίστοιχα ἐστιακές ἀποστάσεις 100 cm καὶ 1 cm. Ὁ ἄξονας τῆς διόπτρας διευθύνεται πρὸς τὸ κέντρο τοῦ Ἡλίου. Πίσω ἀπὸ τὸν προσοφθάλμιό καὶ σέ ἀπόσταση 50 cm ἀπὸ αὐτὸν τοποθετοῦμε φωτογραφική πλάκα κάθετα στὸν ἄξονα τῆς διόπτρας. Πόσο πρέπει νά ἀπέχει ὁ προσοφθάλμιος ἀπὸ τὸν ἀντικειμενικό φακό, ὥστε τὸ εἶδωλο τοῦ Ἡλίου νά σχηματίζεται πάνω στὴν πλάκα καὶ πόσο εἶναι τὸ μέγεθος αὐτοῦ τοῦ εἰδώλου, ἂν ἡ φαινόμενη διάμετρος τοῦ Ἡλίου εἶναι 30';

171. Σέ μιὰ διόπτρα τοῦ Γαλιλαίου ὁ ἀντικειμενικός καὶ ὁ προσοφθάλμιος ἔχουν ἀντίστοιχα ἐστιακές ἀποστάσεις 42 cm καὶ -7 cm. Ἐνας παρατηρητῆς (μὲ κανονικὴ ὄραση) βλέπει μὲ τὴ διόπτρα ἓνα δέντρο πού ἔχει ὕψος 10 m καὶ βρίσκεται σέ ἀπόσταση 1500 m. Μὲ ποιά γωνία βλέπει τὸ εἶδωλο;

172. Ὁ φακός μιᾶς φωτογραφικῆς μηχανῆς ἔχει ἐστιακὴ ἀπόσταση 10 cm. α) Σέ πόση ἀπόσταση ἀπὸ τὸ φακό πρέπει νά εἶναι τὸ φιλμ, γιὰ νά φωτογραφίσουμε ἀντικείμενα πού βρίσκονται πολὺ μα-

κρία; β) Θέλουμε νά φωτογραφίσουμε έναν ποδηλάτη, πού κινείται μέ ταχύτητα  $v = 5 \text{ m/sec}$  πάνω σέ εὐθεία πού εἶναι κάθετη στόν κύριο ἄξονα τοῦ φακοῦ καί ἀπέχει ἀπό τό φακό  $100 \text{ m}$ . Πόσο χρόνο πρέπει νά μείνει ἀνοιχτό τό διάφραγμα, ἄν ξέρουμε ὅτι τό εἶδωλο ἑνός σημείου πάνω στό φιλμ δέν πρέπει νά μετακινηθεῖ περισσότερο ἀπό  $0,1 \text{ mm}$ ;

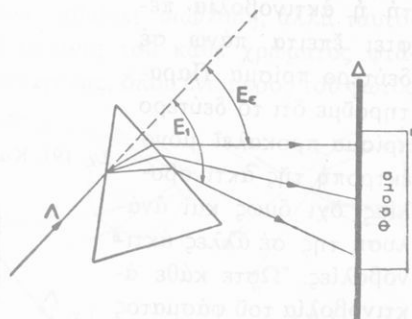
## ΑΝΑΛΥΣΗ ΤΟΥ ΦΩΤΟΣ

### 125. Ἀνάλυση τοῦ λευκοῦ φωτός

Πάνω σέ ἕνα πρίσμα ἀφήνουμε νά πέσει λεπτή δέσμη λευκοῦ φωτός (σχ. 190). Ἄν στήν πορεία τῶν ἀκτίνων πού βγαίνουν ἀπό τό πρίσμα βάλουμε ἕνα διάφραγμα, βλέπουμε ὅτι σχηματίζεται μιὰ *συνεχῆς ἑγχρωμη* ταινία, πού ὀνομάζεται **φάσμα**. Ἡ μετάβαση ἀπό τό ἕνα χρῶμα τοῦ φάσματος στό ἐπόμενο γίνεται ἀνεπαίσθητα. Κατά σειρά διακρίνουμε κυρίως τά ἐξῆς χρώματα: ἐρυθρό, πορτοκαλί, κίτρινο, πράσινο, κυανό, βαθύ κυανό καί ἰώδες. Τό φαινόμενο αὐτό ὀνομάζεται **ἀνάλυση** τοῦ φωτός καί δείχνει ὅτι τό λευκό φῶς εἶναι *σύνθετο*.

Κάθε χρῶμα τοῦ φάσματος ὀνομάζεται γενικά *ἀκτινοβολία* (π.χ. ἐρυθρή ἀκτινοβολία, κίτρινη ἀκτινοβολία κ.λ.). Τό φάσμα ἀποτελεῖται ἀπό ἕνα πολύ μεγάλο πλῆθος ἀκτινοβολιῶν. Ὡστε τό λευκό φῶς περνώντας μέσα ἀπό τό πρίσμα *ἀναλύεται* στίς ὄρατες ἀκτινοβολίες τοῦ φάσματος.

α. Ἐξήγηση τῆς ἀναλύσεως τοῦ φωτός. Στό *κενό* ὅλες οἱ ἀκτινοβολίες (δηλαδή οἱ ἀκτίνες ὅλων τῶν χρωμάτων τοῦ φάσματος) διαδίδονται *μέ τήν ἴδια ταχύτητα*. Μέσα ὅμως στά διάφορα ὑλικά (π.χ. τό γυαλί) οἱ ἀκτινοβολίες τοῦ φάσματος διαδίδονται *μέ διαφορετική ταχύτητα*. Ἔτσι κάθε ἀκτινοβολία ἔχει *ἰδιαίτερο* δείκτη διαθλάσεως. Στό παραπάνω πείραμα ὅλες οἱ ἀκτίνες τῆς δέσμης τοῦ λευκοῦ φωτός πέφτουν πάνω στό πρίσμα



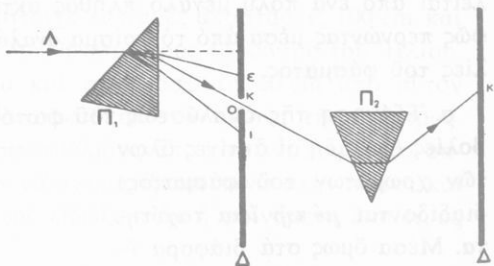
Σχ. 190. Ἀνάλυση τοῦ λευκοῦ φωτός μέ τό πρίσμα

μέ τήν ἴδια γωνία προσπτώσεως. Παρατηροῦμε ὅτι *τή μικρότερη* ἐκτροπή παρουσιάζει ἡ ἐρυθρή ἀκτινοβολία καί *τή μεγαλύτερη* ἡ ἰώδης ἀκτινοβολία. Ἐπειδή ξέρουμε (§ 106 στ) ὅτι ἡ γωνία ἐκτροπῆς εἶναι ἀνάλογη μέ τό δείκτη διαθλάσεως, καταλήγουμε στό συμπέρασμα ὅτι οἱ δείκτες διαθλάσεως, πού ἀντιστοιχοῦν στίς διάφορες ἀκτινοβολίες τοῦ φάσματος, *συνεχῶς ἀξάνουν, ὅσο προχωροῦμε ἀπό τήν ἐρυθρή πρὸς τήν ἰώδη ἀκτινοβολία τοῦ φάσματος.* Ἔτσι ὁ Νεύτων ἔδωσε τήν ἀκόλουθη ἐξήγηση στό φαινόμενο τῆς ἀναλύσεως τοῦ φωτός :

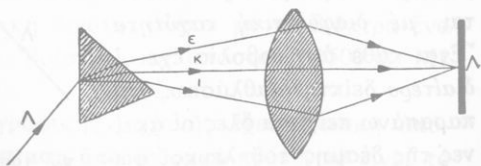
Τό λευκό φῶς ἀποτελεῖται ἀπό μεγάλο πλῆθος ἀκτινοβολιῶν καί σέ καθεμιά ἀπό αὐτές ἀντιστοιχεῖ ἰδιαιτερός δείκτης διαθλάσεως. Ὄταν τό λευκό φῶς περνάει μέσα ἀπό τό πρίσμα, οἱ ἀκτινοβολίες διαχωρίζονται, γιατί καθεμιά ἀπό αὐτές παθαίνει διαφορετική ἐκτροπή.

## 126. Ἰδιότητες τῶν ἀκτινοβολιῶν τοῦ φάσματος

Στό διάφραγμα πού σχηματίζεται τό φάσμα (σχ. 191) δημιουργοῦμε μικρό ἄνοιγμα καί ἀφήνουμε νά περάσει ἀπό αὐτό μόνο μιᾶ ἀκτινοβολία τοῦ φάσματος (π.χ. ἡ κίτρινη). Αὐτή ἡ ἀκτινοβολία πέφτει ἔπειτα πάνω σέ δεύτερο πρίσμα. Παρατηροῦμε ὅτι τό δεύτερο πρίσμα προκαλεῖ μόνο ἐκτροπή τῆς ἀκτινοβολίας, ὄχι ὅμως καί ἀνάλυσή της σέ ἄλλες ἀκτινοβολίες. Ὡστε κάθε ἀκτινοβολία τοῦ φάσματος εἶναι *ἀπλή* καί *δέν ἀναλύεται* σέ ἄλλες ἀπλούστερες.



Σχ. 191. Κάθε ἀκτινοβολία τοῦ φάσματος εἶναι ἀπλή.



Σχ. 192. Ἀνασύνθεση τοῦ λευκοῦ φωτός

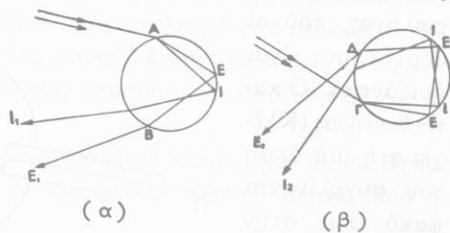
\*Αν μέ ένα συγκλίνοντα φακό συγκεντρώσουμε πάνω σέ διάφραγμα όλες τίς άκτινοβολίες του φάσματος, παίρνουμε λευκό φώς (σχ. 192). \*Ωστε οί άκτινοβολίες του φάσματος, όταν συγκεντρωθούν, δίνουν λευκό φώς.

*Συμπληρωματικά χρώματα.* Μέ ένα μικρό πρίσμα εκτρέπουμε ένα από τά χρώματα του φάσματος, π.χ. τό έρυθρό και συγκεντρώνουμε τά υπόλοιπα χρώματα. Αυτά δίνουν ένα πράσινο χρώμα, που προέρχεται από τήν ανάμιξη των υπόλοιπων χρωμάτων του φάσματος. Δύο χρώματα όπως π.χ. τό έρυθρό και τό πράσινο που, όταν αναμιγνύονται μέ όρισμένες αναλογίες, δίνουν λευκό φώς, ονομάζονται *συμπληρωματικά χρώματα*. Κάθε χρώμα λοιπόν του φάσματος είναι συμπληρωματικό του χρώματος που προέρχεται από τήν ανάμιξη όλων των άλλων χρωμάτων του φάσματος.

\*Υπάρχουν όμως και ζεύγη άπλών χρωμάτων του φάσματος, που είναι συμπληρωματικά χρώματα (π.χ. τό έρυθρό και τό πράσινο, τό πορτοκαλί και τό κυανό).

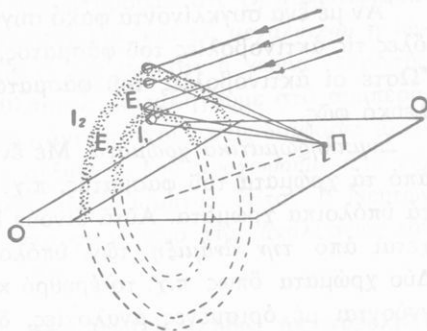
## 127. Ουράνιο τόξο

Τό ουράνιο τόξο είναι φάσμα του ήλιακού φωτός και παρατηρείται, όταν εμπρός από τον παρατηρητή υπάρχουν μικρές σταγόνες βροχής και πίσω από αυτόν βρίσκεται κοντά στον όριζοντα και άκάλυπτος από σύννεφα ό "Ήλιος." Ας θεωρήσουμε ότι στο πάνω μέρος μιās σταγόνας νερού πέφτει μιá άκτίνα λευκού φωτός (σχ. 193 α). Αυτή ή άκτίνα μπαίνοντας μέσα στη σταγόνα παθαίνει *διάθλαση*, αλλά ταυτόχρονα παθαίνει και *ανάλση*. Οί άκτίνες του κάθε χρώματος φτάνουν στην άπέναντι επιφάνεια τής σταγόνας, όπου ένα μέρος του φωτός διαθλάται και βγαίνει στον άερα (δέ σημειώνεται στο σχήμα), και ένα άλλο μέρος του φωτός *ανακλάται* και αφού διατρέξει πάλι τή σταγόνα, φτάνει στην εμπρόσθια επιφάνεια τής σταγόνας. Έκεί οί άκτίνες παθαίνουν νέα *διάθλαση* και βγαίνουν στον



Σχ. 193. Για τήν εξήγηση του ουράνιου τόξου

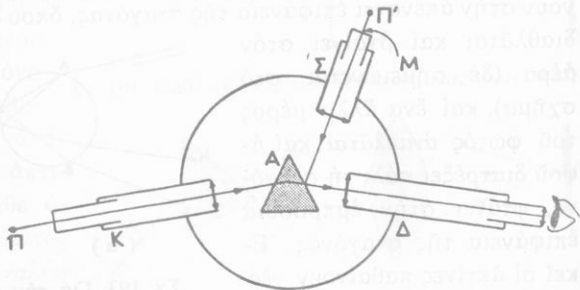
άερα. Όπως δείχνει τό σχήμα, οί έρυθρές άκτίνες  $E_1$ , πού μπαίνουν στό μάτι μας, μās φαίνεται ότι προέρχονται από σημεία πού βρίσκονται ψηλότερα παρά τά σημεία από τά όποία μās φαίνεται ότι προέρχονται οί ιώδες άκτίνες  $I_1$ , πού φτάνουν στό μάτι μας. Έτσι στό πρωτευόν ούράνιο τόξο τό έρυθρό χρώμα φαίνεται πάνω από τό ιώδες. Μερικές από τίς παράλληλες ήλιακές άκτίνες πέφτουν στό κάτω μέρος τών σταγόνων (σχ. 193 β). Οί άκτίνες, πού προκύπτουν από τήν άνάλυση του φωτός, παθαίνουν μέσα στή σταγόνα δύο ανακλάσεις και έπειτα ξαναβγαίνουν στον άερα. Αυτό τό φαινόμενο δημιουργεί τό δευτερευόν ούράνιο τόξο, στό όποίο βλέπουμε τό ιώδες χρώμα  $I_2$  πάνω από τό έρυθρό  $E_2$  (σχ. 194).



Σχ. 194. Τό πρωτευόν (κάτω) και τό δευτερευόν (πάνω) ούράνιο τόξο

## 128. Φασματοσκόπιο

Γιά τή μελέτη του φάσματος του φωτός, πού εκπέμπουν οί διάφορες φωτεινές πηγές, χρησιμοποιούμε τό φασματοσκόπιο (σχ. 195). Αυτό αποτελείται από ένα πρίσμα, πού είναι στερεωμένο σε όριζόντιο κύκλο και ή άκμή του είναι κατακόρυφη. Γύρω από τό πρίσμα μετακινούνται τρείς σωληνες, πού οί άξονές τους είναι όριζόντιοι. Ο κατευθυντήρας (Κ) έχει στή μιά άκρη του συγκλίνοντα φακό και στήν άλλη άκρη του έχει σχισμή πα-



Σχ. 195. Φασματοσκόπιο (σχηματική παράσταση)

ράλληλη με την άκμή του πρίσματος. Η σχισμή βρίσκεται στο έστιακό επίπεδο του συγκλίνοντος φακού και φωτίζεται από τη φωτεινή πηγή (Π), πού το φώς της θέλουμε νά τό αναλύσουμε. Έτσι πάνω στό πρίσμα πέφτουν παράλληλες άκτίνες (δηλαδή μέ τήν ίδια γωνία προσπτώσεως).

Η *διόπτρα* (Δ) δέχεται τίς άκτίνες πού βγαίνουν από τό πρίσμα (δηλαδή τό φάσμα). Ο αντικειμενικός φακός τής διόπτρας σχηματίζει πραγματικό είδωλο του φάσματος και μέ τόν προσοφθάλμιο φακό τής διόπτρας παρατηρούμε αυτό τό είδωλο. Ο τρίτος σωλήνας (Σ) έχει στή μιά άκρη του συγκλίνοντα φακό και στήν άλλη άκρη του, πού συμπίπτει μέ τό έστιακό επίπεδο του φακού, έχει διαφανή μικρομετρική κλίμακα (*σωλήνας τής κλίμακας*). Η κλίμακα φωτίζεται από μιά ισχυρή φωτεινή πηγή (Π'). Οί άκτίνες πού προέρχονται από τήν κλίμακα ανακλώνται πάνω στή μιά έδρα του πρίσματος και μπαίνουν στή διόπτρα. Όταν λοιπόν παρατηρούμε μέ τόν προσοφθάλμιο τής διόπτρας, βλέπουμε τό είδωλο του φάσματος πάνω στό είδωλο τής κλίμακας.

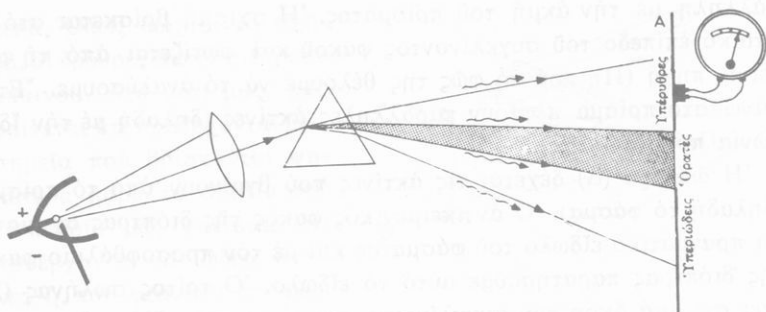
Αν αντικαταστήσουμε τή διόπτρα μέ φωτογραφικό θάλαμο, τότε μπορούμε νά φωτογραφίσουμε τό φάσμα. Η διάταξη αυτή ονομάζεται *φασματογράφος*. Γενικά ή παραγωγή και ή μελέτη των φασμάτων ονομάζεται *φασματοσκοπία* και είναι πάρα πολύ ένδιαφέρουσα(\*).

## 129. Άόρατες άκτινοβολίες

Όταν μιά δέσμη άκτίνων λευκού φωτός πέφτει πάνω σέ ένα σώμα, παρατηρούμε ότι τό σώμα *θερμαίνεται*, ενώ όταν πέφτει πάνω σέ μιά φωτογραφική πλάκα, προκαλεί *χημική αλλοίωση* τής φωτοπαθούς ουσίας. Τά φαινόμενα αυτά δείχνουν ότι τό λευκό φώς μεταφέρει *ένεργεια*, πού μετατρέπεται σέ άλλες μορφές ένέργειας π.χ. σέ *θερμότητα* ή *χημική ένεργεια*, όταν τό φώς απορροφάται από τά σώματα στά όποια πέφτει.

Χρησιμοποιώντας πρίσμα και φακό από κατάλληλο ύλικό σχηματίζουμε πάνω σέ διάφραγμα τό φάσμα του λευκού φωτός, πού εκ-

(\*) Για τά είδη των φασμάτων και για τά συμπεράσματα τής φασματοσκοπίας θά επανέλθουμε στήν επόμενη τάξη.



Σχ. 196. Σχηματική διάταξη για την εξέταση των όρατων και των άορατων ακτινοβολιών του φάσματος

πέμπει ηλεκτρικό τόξο (σχ. 196). Κατά μήκος του φάσματος μετακινούμε εύπαθές θερμομετρικό όργανο (θερμοηλεκτρική στήλη). Παρατηρούμε ότι η ύψωση της θερμοκρασίας, που προκαλούν οι ακτινοβολίες του φάσματος, αυξάνει συνεχώς όσο προχωρούμε από την ιώδη προς την ερυθρή περιοχή του φάσματος. Αν μετακινήσουμε τό θερμομετρικό όργανο πέρα από την ερυθρή άκρη του φάσματος, παρατηρούμε ότι η ύψωση της θερμοκρασίας συνεχίζεται μέσα σε μία περιοχή, που δεν υπάρχουν όρατες ακτινοβολίες. Άρα σ' αυτή την περιοχή υπάρχουν άορατες ακτινοβολίες, που ονομάζονται υπέρυθρες ακτινοβολίες. Αυτές αναπτύσσουν πολύ μεγαλύτερη θερμότητα από τις άλλες ακτινοβολίες του φάσματος και η γωνία έκτροπής τους είναι μικρότερη από τη γωνία έκτροπής της όρατης ερυθρής ακτινοβολίας.

Προβάλλουμε τό φάσμα πάνω σε φωτογραφική πλάκα. Όταν εμφανίσουμε την πλάκα, παρατηρούμε ότι η προσβολή της γίνεται τόσο πιο έντονη, όσο προχωρούμε προς την ιώδη περιοχή του φάσματος και ότι πέρα από την ιώδη άκρη του φάσματος ή προσβολή της πλάκας συνεχίζεται ακόμη πιο έντονη μέσα σε μία περιοχή, που δεν υπάρχουν όρατες ακτινοβολίες. Άρα σ' αυτή την περιοχή υπάρχουν άορατες ακτινοβολίες, που ονομάζονται υπεριώδεις ακτινοβολίες. Αυτές προσβάλλουν τη φωτογραφική πλάκα πιο έντονα από τις άλλες ακτινοβολίες του φάσματος και η γωνία έκτροπής τους είναι μεγαλύτερη από τη γωνία έκτροπής της όρατης ιώδους ακτινοβολίας. Από τά παριπάνω καταλήγουμε στα ακόλουθα συμπεράσματα:



- I. Μιά φωτεινή πηγή, εκτός από τις όρατες ακτινοβολίες, εκπέμπει και άορατες υπέρυθρες και υπεριώδεις ακτινοβολίες.
- II. Οι υπέρυθρες ακτινοβολίες έχουν δείκτη διαθλάσεως μικρότερο από το δείκτη διαθλάσεως της όρατης έρυθρης ακτινοβολίας. Αντίθετα οι υπεριώδεις ακτινοβολίες έχουν δείκτη διαθλάσεως μεγαλύτερο από το δείκτη διαθλάσεως της όρατης ιώδους ακτινοβολίας.

α. Υπέρυθρες ακτινοβολίες. Κάθε σώμα πού έχει θερμοκρασία μεγαλύτερη από τή θερμοκρασία του περιβάλλοντος ακτινοβολεί θερμότητα. Πειραματικώς βρίσκουμε ότι ή ακτινοβολία πού εκπέμπουν τά θερμά σώματα είναι υπέρυθρες ακτινοβολίες πού λέγονται και θερμικές ακτίνες και σχηματίζουν ένα φάσμα μεγάλης εκτάσεως. Όσο αυξάνει ή θερμοκρασία ενός σώματος, τόσο περισσότερο οι υπέρυθρες ακτινοβολίες πού εκπέμπει τό σώμα πλησιάζουν προς τις όρατες ακτινοβολίες. Καί όταν τό σώμα αποκτήσει μία ορισμένη θερμοκρασία, τότε αρχίζει νά εκπέμπει πρώτα όρατή έρυθρή ακτινοβολία και έπειτα διαδοχικά τις υπόλοιπες όρατες ακτινοβολίες.

Η μεγαλύτερη πηγή υπέρυθρων ακτίνων είναι ο Ήλιος. Γύρω μας κάθε θερμό σώμα εκπέμπει υπέρυθρες ακτίνες. Όταν πάνω σε ένα σώμα πέφτουν υπέρυθρες ακτίνες, τότε ένα μέρος της ενέργειάς τους πάντοτε απορροφάται από τό σώμα και ή υπόλοιπη ενέργειά τους ανακλάται ή διαχέεται ή περνάει μέσα από τό σώμα. Τό κοινό γυαλί απορροφά σχεδόν όλοκληρωτικά τις υπέρυθρες ακτίνες, ενώ αντίθετα τό χλωριούχο νάτριο είναι σχεδόν τελείως διαφανές γι' αυτές τις ακτίνες.

Οι υπέρυθρες ακτίνες έχουν σήμερα αρκετές εφαρμογές. Στα θερμοκήπια εκμεταλλευόμαστε τήν ιδιότητα πού έχει τό γυαλί νά είναι διαφανές γιά τις όρατες ήλιακές ακτίνες, αλλά άδιαφανές γιά τις υπέρυθρες ακτίνες. Οι όρατες ήλιακές ακτίνες περνούν από τό γυαλί και θερμαίνουν τό έδαφος. Αυτό όμως εκπέμπει υπέρυθρες ακτίνες, πού δέν περνούν από τό γυαλί, και έτσι ή θερμότητα μένει παγιδευμένη μέσα στό θερμοκήπιο. Άλλη ενδιαφέρουσα εφαρμογή είναι ή φωτογράφιση με υπέρυθρες ακτίνες, χρησιμοποιώντας ειδικά φίλμ, πού είναι ευαίσθητα σ' αυτές τις ακτίνες. Έπειδή τά σύννεφα και ή όμίχλη είναι σχεδόν τελείως διαφανή γιά τις υπέρυθρες ακτίνες, γι'

αυτό μπορούμε νά φωτογραφίζουμε καί περιοχές σκεπασμένες μέ σύννεφα ή όμίχλη.

β. Υπεριώδεις άκτινοβολίες. Οί *υπεριώδεις άκτινοβολίες* ή καί *υπεριώδεις άκτίνες* εκπέμπονται από τά διάπυρα σώματα μαζί μέ τίς υπέρυθρες καί τίς όρατές άκτινοβολίες. Φώς πλούσιο σέ υπεριώδεις άκτίνες μάς δίνει *ή λυχνία άτμών ύδραργύρου*. Τό δοχείο της εΐναι από χαλαζία, πού εΐναι διαφανής γιά τίς υπεριώδεις άκτίνες, ένώ άντίθετα τό γυαλί εΐναι τελείως άδιαφανές γι' αυτές τίς άκτίνες.

Ή ένέργεια, πού μεταφέρουν οί υπέρυθρες άκτίνες, όταν άπορροφάται από τήν ύλη, μετατρέπεται άποκλειστικά σέ *θερμότητα*. Ένδ ή ένέργεια πού μεταφέρουν οί υπεριώδεις άκτίνες, όταν άπορροφάται από τήν ύλη, μετατρέπεται εύκολα σέ άλλες μορφές *ένέργειας*, διαφορετικές από τή θερμότητα. Έτσι στό φωτοκύταρο ή ένέργεια τών υπεριωδών άκτίνων μετατρέπεται σέ *ήλεκτρική ένέργεια* καί σέ πολλές φωτοχημικές άντιδράσεις μετατρέπεται σέ *χημική ένέργεια*.

Οί υπεριώδεις άκτίνες προκαλούν *βιολογικά φαινόμενα*, π.χ. σκοτώνουν τά μικρόβια καί γι' αυτό τίς χρησιμοποιούμε γιά άποστείρωση του νερού καί στή θεραπευτική, προκαλούν τό καλοκαίρι τό μαύρισμα του δέρματος ή καί εγκαύματα, προσβάλλουν τά μάτια μας καί γι' αυτό τά προφυλάγουμε μέ μαύρα γυαλιά. Μέσα στους επιφανειακούς ιστούς μας οί ήλιακές υπεριώδεις άκτίνες προκαλούν τή σύνθεση της βιταμίνης D, πού εΐναι άπαραίτητη γιά τήν άνάπτυξη τών οστών. Όταν λείψουν αυτές οί άκτίνες, εμφανίζεται ραχιτισμός.

Οί υπεριώδεις άκτίνες έχουν πολλές εφαρμογές. Μιά συνηθισμένη εφαρμογή τους εΐναι οί *λαμπτήρες φθορισμού*. Σ' αυτούς οί διάπυροι άτμοί ύδραργύρου εκπέμπουν άόρατες υπεριώδεις άκτίνες, τίς όποίες οί φθορίζουσες ουσίες τίς μετατρέπουν σέ όρατές άκτίνες.

### 130. Φωτογραφία

Ή *φωτογραφία*, γιά νά άποτυπώσει μόνιμα τό είδωλο ένός αντικείμενου, χρησιμοποιεί τήν ιδιότητα πού ιδιαίτερα έχουν οί κυανές καί οί ιώδεις άκτινοβολίες του λευκού φωτός, νά προσβάλλουν όρισμένες φωτοπαθείς ουσίες. Μιά τέτοια ένωση εΐναι ό βρωμιούχος άρ-

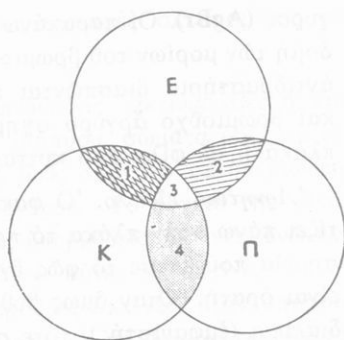
γυρος (AgBr). Οί παραπάνω ακτινοβολίες προκαλούν διατάραξη στή δομή τῶν μορίων τοῦ βρωμιούχου ἀργύρου, τά ὅποια ἔπειτα μέ χημικά ἀντιδραστήρια διασπῶνται εὐκόλα. Ἐνα γαλάκτωμα ἀπό ζελατίνη καί βρωμιούχο ἄργυρο σχηματίζει λεπτό στρώμα πάνω σέ γυάλινη πλάκα ἢ σέ φίλμ ἀπό κυτταρίνη.

*Ἀρνητικό εἶδωλο.* Ὁ φακός τῆς φωτογραφικῆς μηχανῆς σχηματίζει πάνω στήν πλάκα τό πραγματικό εἶδωλο τοῦ ἀντικειμένου. Στά σημεῖα πού ἔπεσε τό φῶς ἐγίνε μιά φωτοχημική μεταβολή, πού δέν εἶναι ὁρατή. Ὄταν ὁμως βυθίσουμε τήν πλάκα μέσα σέ κατάλληλο διάλυμα (ἐμφανιστής), τότε στά σημεῖα πού ἔπεσε φῶς, ἀπομένει ἀδιαφανῆς ἄργυρος. Αὐτή ἡ κατεργασία ὀνομάζεται *ἐμφάνιση*. Ἐπειτα ἡ πλάκα βυθίζεται σέ ἄλλο ὑγρό (στερεωτής), πού διαλύει τό βρωμιούχο ἄργυρο, πού εἶχε ἀπομείνει στήν πλάκα σέ ὅσα σημεῖα τῆς δέν ἔπεσε φῶς. Αὐτή ἡ δεύτερη κατεργασία τῆς πλάκας ὀνομάζεται *στερέωση*. Ἔτσι ἀποτυπώνεται πάνω στήν πλάκα τό *ἀρνητικό εἶδωλο* τοῦ ἀντικειμένου. Τά ἀδιαφανή μέρη αὐτοῦ τοῦ εἰδώλου ἀντιστοιχοῦν στά φωτεινά μέρη τοῦ ἀντικειμένου καί ἀντίστροφα τά διαφανή μέρη τοῦ εἰδώλου ἀντιστοιχοῦν στά σκοτεινά μέρη τοῦ ἀντικειμένου. Ἡ ἐμφάνιση καί ἡ στερέωση τῆς πλάκας γίνεται μέσα σέ θάλαμο, πού εἶναι σκοτεινός ἢ φωτίζεται ἀπό καθαρό ἐρυθρό φῶς, πού δέν προσβάλλει τήν πλάκα.

*Θετικό εἶδωλο.* Τήν πλάκα, στήν ὅποια ἀποτυπώθηκε τό ἀρνητικό εἶδωλο, τήν βάζουμε πάνω στό *φωτογραφικό χαρτί*. Στή μιά ἐπιφάνεια τοῦ χαρτιοῦ ὑπάρχει ἕνα στρώμα ἀπό τή φωτοπαθῆ οὐσία. Τήν πλάκα μαζί μέ τό χαρτί τήν ἐκθέτουμε στό ἡλιακό φῶς ἢ στό φῶς ἰσχυρῆς φωτεινῆς πηγῆς. Τότε τό φῶς περνάει ἀπό τά διαφανή μέρη τοῦ ἀρνητικοῦ εἰδώλου καί προσβάλλει τό φωτοπαθές στρώμα τοῦ χαρτιοῦ. Μετά τήν ἐμφάνιση καί τή στερέωση ἔχουμε πάνω στό χαρτί τό *θετικό εἶδωλο* τοῦ ἀντικειμένου.

*Εἶδη φωτογραφικῶν πλακῶν.* Ἡ συνηθισμένη φωτογραφική πλάκα προσβάλλεται μόνο ἀπό τίς πράσινες, τίς κυανές καί τίς ἰώδεις ακτινοβολίες. Σήμερα χρησιμοποιοῦμε *ὀρθοχρωματικές* πλάκες, πού εἶναι εὐαίσθητες ἀπό τίς κίτρινες ὡς τίς ἰώδεις ακτινοβολίες, καί *παγχρωματικές* πλάκες, πού εἶναι εὐαίσθητες σχεδόν σέ ὅλες τίς ακτινοβολίες τοῦ λευκοῦ φωτός.

“*Έγχρωμη φωτογραφία.* Πειραματικώς βρήκαμε ότι μπορούμε να πάροουμε όλα τὰ χρώματα, αν προσθέσουμε με κατάλληλες αναλογίες μόνο τρεις ακτινοβολίες, πού γι’ αυτό ονομάζονται *πρωτεύουσες ακτινοβολίες*. Αυτές είναι ή έρυθρή, ή πράσινη καί ή κυανή ακτινοβολία (σχ. 197). Στην παραπάνω αρχή στηρίζεται ή *έγχρωμη φωτογραφία*, πού γίνεται με διάφορες μεθόδους.



Σχ. 197. Χρώματα από τήν πρόσθεση τών πρωτεύοντων χρωμάτων (E έρυθρό, K κυανό, Π πράσινο, 1 πορφυρό, 2 κίτρινο, 3 λευκό, 4 κυανοπράσινο)

### 131. Τό χρώμα τών σωμάτων

“Όταν τό λευκό φώς πέφτει πάνω σέ ένα σώμα, τότε τό σώμα απορροφά όρισμένες ακτινοβολίες του λευκού φωτός. Αυτή ή απορρόφηση έξηγει τό *χρώμα* πού παίρνουν τὰ διάφορα σώματα. Εύκολα μπορούμε να βρούμε τίς ακτινοβολίες, πού *έκλεκτικά* απορροφά ένα σώμα. Φωτίζουμε τό σώμα με τό λευκό φώς μιās ισχυρής φωτεινής πηγής καί με τό φασματοσκόπιο *έξετάζουμε* τό φώς πού ανακλάται ή διαχέεται από τό σώμα ή περνάει μέσα από αυτό, αν τό σώμα είναι διαφανές.

Τά *διαφανή σώματα* (γυαλί, χαλαζίας, νερό κλπ), πού φαίνονται *έχρωμα*, αφήνουν να περάσουν μέσα από τήν ύλη τους σχεδόν *όλες* οί ακτινοβολίες του φάσματος του λευκού φωτός. Τά διαφανή σώματα, πού φαίνονται *έγχρωμα* (χρωματισμένο γυαλί, διαλύματα χρωστικών ουσιών), *απορροφούν* όρισμένες ακτινοβολίες του φάσματος του λευκού φωτός. Έτσι π.χ. μιá γυάλινη πλάκα φαίνεται πράσινη, γιατί μέσα από τό γυαλί περνούν μόνο οί πράσινες ακτινοβολίες, ενώ *όλες* τίς άλλες ακτινοβολίες τό γυαλί τίς απορροφά.

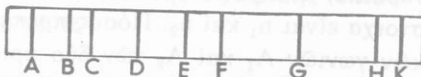
Τά *άδιαφανή σώματα* οφείλουν τό χρώμα τους στό φώς πού *ανακλάται* ή *διαχέεται* από τό σώμα. “Αν τό σώμα *απορροφά* *όλες* τίς ακτινοβολίες του φάσματος του λευκού φωτός, τότε τό σώμα φαίνεται *μαύρο*. Αντίθετα, αν με τήν ίδια αναλογία *διαχέονται* *όλες* οί ακτινοβολίες του φάσματος του λευκού φωτός, τότε τό σώμα φαίνεται

λευκό. Τέλος, αν το σώμα απορροφά ορισμένες ακτινοβολίες του φάσματος του λευκού φωτός, τότε το χρώμα του σώματος προσδιορίζεται από τις ακτινοβολίες που διαχέονται. Το χρώμα ενός σώματος εξαρτάται και από το είδος του φωτός που πέφτει πάνω στο σώμα. Αν π.χ. ένα χαρτί, που έχει χρώμα έρυθρό, το βάλουμε στο έρυθρό τμήμα του ηλιακού φάσματος, το χαρτί φαίνεται έρυθρό, ενώ σε κάθε άλλη περιοχή του φάσματος το χαρτί αυτό φαίνεται μαύρο. Από τα παραπάνω καταλήγουμε στο εξής συμπέρασμα:

**Τό χρώμα τῶν σωμάτων οφείλεται στό ὅτι κάθε σώμα ἀπορροφᾷ ἐκλεκτικά ὀρισμένες ἀκτινοβολίες τοῦ λευκοῦ φωτός, καί τίς ὑπόλοιπες τίς ἀφήνει νά περάσουν ἢ τίς ἀνακλᾷ καί τίς διαχέει.**

### 132. Ἡλιακό φάσμα

Μέ τό φασματοσκόπιο ἐξετάζουμε τό φάσμα τοῦ ἡλιακοῦ φωτός. Παρατηροῦμε ὅτι τό ἡλιακό φάσμα εἶναι ὅμοιο μέ τό φάσμα τοῦ λευκοῦ φωτός, μέ τή διαφορά ὅτι στό φάσμα τοῦ ἡλιακοῦ φωτός ὑπάρχουν πολλές σκοτεινές γραμμές. Οἱ πιό ζωηρές ἀπό αὐτές χαρακτηρίζονται μέ τά γράμματα τοῦ λατινικοῦ ἀλφαβήτου (σχ. 198). Οἱ σκοτεινές γραμμές βρίσκονται πάντοτε σέ ὀρισμένες θέσεις σχετικά μέ τό φάσμα τοῦ λευκοῦ φωτός καί φανερώνουν ὅτι ἀπό τό ἡλιακό φῶς λείπουν πάντοτε ὀρισμένες ἀκτινοβολίες. Ὡστε:



Σχ. 198. Ἡ θέση τῶν πιό ζωηρῶν σκοτεινῶν γραμμῶν στό φάσμα τοῦ ἡλιακοῦ φωτός

**Τό ἡλιακό φῶς δέν εἶναι τελείως λευκό φῶς, γιατί τοῦ λείπουν πολλές καί πάντοτε οἱ ἴδιες ἀκτινοβολίες.**

Σημείωση. Στήν ἐπόμενη τάξη θά δοῦμε ὅτι οἱ ἀκτινοβολίες πού λείπουν ἀπό τό ἡλιακό φῶς, ἀπορροφῶνται ἀπό τή διάπυρη ἀτμόσφαιρα τοῦ Ἡλίου.

## ΠΡΟΒΛΗΜΑΤΑ

173. Μιά φωτεινή ακτίνα λευκού φωτός πέφτει κάθετα πάνω στη μιά έδρα λεπτού πρίσματος που έχει διαθλαστική γωνία  $A = 8^\circ$ . Γι' αυτό τό πρίσμα οί δείκτες διαθλάσεως γιά τήν έρυθρή και τήν ιώδη ακτινοβολία είναι αντίστοιχα  $n_E = 1,505$  και  $n_I = 1,520$ . Πόση είναι ή γωνία έκτροπής  $E_E$  και  $E_I$  γι' αυτές τίς δύο άκραιοές ακτινοβολίες του φάσματος; Πόση είναι ή διαφορά τών γωνιών έκτροπής  $E_I - E_E$ ;

174. Μιά φωτεινή ακτίνα λευκού φωτός πέφτει κάθετα πάνω στη μιά έδρα λεπτού πρίσματος που έχει διαθλαστική γωνία  $A = 10^\circ$ . Οί δείκτες διαθλάσεως γιά τήν έρυθρή και τήν ιώδη ακτινοβολία είναι αντίστοιχα  $n_E = 1,53$  και  $n_I = 1,55$ . Τό φάσμα σχηματίζεται πάνω σε διάφραγμα που απέχει 2 m από τό πρίσμα; Κατά προσέγγιση θεωρούμε ότι ή έξερχόμενη από τό πρίσμα έρυθρή ακτίνα είναι κάθετη στο διάφραγμα. Πόσο μήκος έχει τό φάσμα που σχηματίζεται πάνω στο διάφραγμα;

175. Ένα σύστημα από δύο λεπτά πρίσματα μέ διαθλαστικές γωνίες  $A_1$  και  $A_2$  θέλουμε νά μήν προκαλεί έκτροπή σε όρισμένη ακτινοβολία, που γιά τά δύο αυτά πρίσματα οί δείκτες διαθλάσεως αντίστοιχα είναι  $n_1$  και  $n_2$ . Πόσος πρέπει νά είναι ό λόγος τών διαθλαστικών γωνιών  $A_1$  και  $A_2$  τών δύο πρισμάτων;

## ΦΩΤΟΜΕΤΡΙΑ

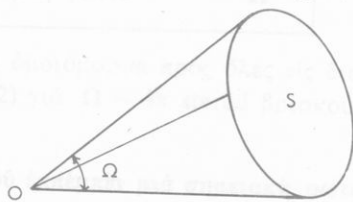
### 133. Φωτεινή ενέργεια

Από τήν καθημερινή παρατήρηση διαπιστώνουμε ότι οί φωτεινές πηγές είναι σώματα που συνήθως έχουν μεγάλη θερμοκρασία. Αντίστροφα διαπιστώνουμε ότι, όταν τό φώς απορροφάται από ένα σώμα, τότε τό σώμα θερμαίνεται. Οί άπλές αυτές παρατηρήσεις φανερόνουν ότι ή θερμότητα μετατρέπεται σε φώς και αντίστροφα τό φώς μετατρέπεται σε θερμότητα. Έτσι καταλήγουμε στο έξής συμπέρασμα:

**Τό φώς είναι μιά μορφή ενέργειας, που τήν ονομάζουμε φωτεινή ενέργεια.**

### 134. Στερεή γωνία και μονάδα της

Μία σφαίρα έχει κέντρο  $O$  και ακτίνα  $R$ . Στην επιφάνεια της σφαίρας θεωρούμε ένα τμήμα της που έχει έμβαδό  $S$  (σχ. 199). Οι ακτίνες της σφαίρας, που καταλήγουν σε όλα τα σημεία της περιμέτρου της επιφάνειας  $S$ , σχηματίζουν μία στερεή γωνία  $\Omega$  και αποδεικνύεται ότι ισχύει η εξίσωση  $S = \Omega \cdot R^2$ . Από αυτή την εξίσωση έχουμε την ακόλουθη εξίσωση ορισμού της στερεής γωνίας :



Σχ. 199. Ορισμός στερεής γωνίας

$$\text{στερεή γωνία } \Omega = \frac{S}{R^2}$$

Αν είναι  $S = R^2$ , τότε είναι  $\Omega = 1$ . Η μονάδα στερεής γωνίας ονομάζεται στερακτίνο (1 sterad). Έτσι :

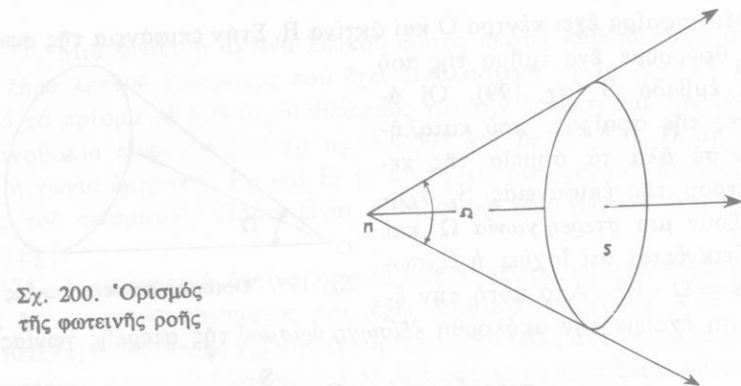
Μονάδα στερεής γωνίας είναι το στερακτίνο (1 sterad), δηλαδή η στερεή γωνία που έχει την κορυφή της στο κέντρο σφαίρας με ακτίνα  $R$  και αντιστοιχεί σε τμήμα της σφαιρικής επιφάνειας που έχει έμβαδό ( $S$ ) ίσο με  $R^2$ .

Η στερεή γωνία ( $\Omega$ ) που έχει κορυφή της το κέντρο  $O$  της σφαίρας και αντιστοιχεί σε όλη τη σφαιρική επιφάνεια ( $S = 4\pi R^2$ ) είναι :

$$\Omega = \frac{S}{R^2} = \frac{4\pi R^2}{R^2} \quad \text{άρα} \quad \Omega = 4\pi \text{ sterad}$$

### 135. Φωτομετρικά μεγέθη

α. Φωτεινή ροή. Κάθε φωτεινή πηγή εκπέμπει συνεχώς φωτεινή ενέργεια, που διαδίδεται στο γύρω από την πηγή διαφανές μέσο, το οποίο θεωρούμε ομογενές και ισότροπο. Ως φωτεινή πηγή παίρνουμε ένα φωτεινό σημείο (σχ. 200) που εκπέμπει φωτεινή ενέργεια ομοιόμορφα προς όλες τις διευθύνσεις. Θεωρούμε έναν κώνο που έχει κορυφή τη φωτεινή πηγή και στερεή γωνία  $\Omega$ . Μέσα σ' αυτή τη στερεή γωνία η φωτεινή πηγή στη διάρκεια του χρόνου  $t$  εκπέμπει ενέργεια  $E$ .



Σχ. 200. Όρισμός της φωτεινής ροής

Έπομένως από μία τομή του κώνου περνάει κατά δευτερόλεπτο φωτεινή ενέργεια ίση με  $E/t$ . Αυτή η ενέργεια ονομάζεται **φωτεινή ροή** ( $\Phi$ ) και εκφράζει την ισχύ που περνάει από τη θεωρούμενη επιφάνεια. Ώστε:

**Φωτεινή ροή** ( $\Phi$ ) ονομάζεται η ισχύς που περνάει από μία επιφάνεια (δηλαδή η φωτεινή ενέργεια που περνάει κατά δευτερόλεπτο από τη θεωρούμενη επιφάνεια).

$$\text{φωτεινή ροή} = \frac{\text{φωτεινή ενέργεια}}{\text{χρόνος}} \quad \Phi = \frac{E}{t} \quad (1)$$

β. Ένταση φωτεινής πηγής. Μέσα στη στερεή γωνία  $\Omega$  (σχ. 200) η φωτεινή πηγή εκπέμπει φωτεινή ροή  $\Phi$ . Έπομένως κατά μονάδα στερεής γωνίας η φωτεινή πηγή εκπέμπει φωτεινή ροή ίση με  $\Phi/\Omega$ . Αυτή η φωτεινή ροή ονομάζεται **ένταση** ( $I$ ) της φωτεινής πηγής (\*). Ώστε:

Ένταση ( $I$ ) φωτεινής πηγής ονομάζεται η φωτεινή ροή που εκπέμπει η φωτεινή πηγή κατά μονάδα στερεής γωνίας.

(\*) Η ένταση φωτεινής πηγής ονομάζεται και φωτοβολία της πηγής.



$$\text{\textit{\textbf{Ένταση φωτεινής πηγής}}} = \frac{\text{\textit{\textbf{φωτεινή ροή}}}}{\text{\textit{\textbf{στερεή γωνία}}} } \quad I = \frac{\Phi}{\Omega} \quad (2)$$

Έπειδή η φωτεινή πηγή εκπέμπει ομοιόμορφα προς όλες τις διευθύνσεις, γι' αυτό από την εξίσωση (2) για  $\Omega = 4\pi$  sterad βρίσκουμε ότι:

**Η ολική φωτεινή ροή ( $\Phi_{ολ}$ ) που εκπέμπει μιά σημειακή φωτεινή πηγή, ή όποια έχει σταθερή ένταση ( $I$ ) προς όλες τις διευθύνσεις, είναι ίση με  $4\pi \cdot I$ .**

$$\text{\textit{\textbf{ολική φωτεινή ροή}}} \quad \Phi_{ολ} = 4\pi \cdot I \quad (3)$$

**γ. Φωτισμός επιφάνειας.** Ένα μέρος της φωτεινής ροής που εκπέμπει η φωτεινή πηγή (π.χ. ο ηλεκτρικός λαμπτήρας) πέφτει πάνω σε μιά επιφάνεια (π.χ. στή σελίδα του βιβλίου). Τότε λέμε ότι η επιφάνεια *φωτίζεται*. Αν η επιφάνεια έχει έμβαδό  $S$  και πάνω της πέφτει ομοιόμορφα φωτεινή ροή  $\Phi$ , τότε ισχύει ο εξής *όρισμός*:

**Φωτισμός ( $B$ ) μιās επιφάνειας ονομάζεται τό πηλίκο της φωτεινής ροής ( $\Phi$ ) διά του έμβαδού ( $S$ ) της επιφάνειας (όταν η φωτεινή ροή πέφτει ομοιόμορφα πάνω στην επιφάνεια).**

$$\text{\textit{\textbf{φωτισμός επιφάνειας}}} = \frac{\text{\textit{\textbf{φωτεινή ροή}}}}{\text{\textit{\textbf{έμβαδό επιφάνειας}}} } \quad B = \frac{\Phi}{S} \quad (4)$$

Είναι φανερό ότι τό πηλίκο  $\Phi/S$  φανερώνει τή φωτεινή ροή που πέφτει πάνω στή μονάδα επιφάνειας.

### 136. Μονάδες τών φωτομετρικῶν μεγεθῶν

Γνωρίσαμε τρία φωτομετρικά μεγέθη, τή φωτεινή ροή ( $\Phi$ ), τήν ένταση φωτεινής πηγής ( $I$ ) και τό φωτισμό επιφάνειας ( $B$ ). Αυτά τά μεγέθη τά μετράμε μέ κατάλληλες μονάδες, που προκύπτουν από τόν όρισμό της μονάδας έντάσεως φωτεινής πηγής.

α. Μονάδα έντάσεως φωτεινής πηγής. Ός μονάδα έντάσεως φωτεινής πηγής παίρνουμε τήν ένταση μιās πρότυπης φωτεινής πηγής, πού δίνει λευκό φώς καί διατηρεί σταθερή τήν έκπομπή της. Η μονάδα έντάσεως φωτεινής πηγής ονομάζεται candela (1 cd) καί πραγματοποιείται από όρισμένη πρότυπη φωτεινή πηγή (\*). Ωστε:

Μονάδα έντάσεως φωτεινής πηγής είναι ή candela (1 cd), δηλαδή ή ένταση μιās όρισμένης πρότυπης φωτεινής πηγής.

μονάδα έντάσεως φωτεινής πηγής 1 candela (1 cd)

Η μονάδα έντάσεως φωτεινής πηγής candela (1 cd) είναι θεμελιώδης μονάδα στό Διεθνές Σύστημα μονάδων (SI).

Ένταση μερικῶν φωτεινῶν πηγῶν.

Λαμπτήρας πυρακτώσεως (100 W) 150 cd. Φανός αυτοκινήτου (32 W)  $15 \cdot 10^3$  cd. Αντιαεροπορικός προβολέας  $8 \cdot 10^8$  cd.

Ήλιος  $2 \cdot 10^{27}$  cd.

β. Μονάδα φωτεινής ροής. Από τήν εξίσωση όρισμού τής έντάσεως φωτεινής πηγής  $I = \Phi/\Omega$  βρίσκουμε

$$\Phi = I \cdot \Omega$$

Αν είναι  $I = 1$  cd καί  $\Omega = 1$  sterad, τότε είναι  $\Phi = 1$ . Η μονάδα φωτεινής ροής ονομάζεται lumen (1 lm). Ωστε:

Μονάδα φωτεινής ροής είναι τό lumen (1 lm), δηλαδή ή φωτεινή ροή, τήν όποία εκπέμπει φωτεινή πηγή έντάσεως μιās candela (1 cd) μέσα σέ στερεή γωνία ίση μέ ένα στερακτίνο (1 sterad).

μονάδα φωτεινής ροής 1 lumen (1 lm)  $1 \text{ lm} = 1 \text{ cd} \cdot 1 \text{ sterad}$

Επομένως μία σημειακή φωτεινή πηγή, πού έχει τήν ίδια ένταση I πρός όλες τίσ διευθύνσεις, εκπέμπει όλική φωτεινή ροή ίση μέ :

(\*) Candela (1 cd) είναι τό 1/60 τής φωτεινής ισχύος πού εκπέμπει κάθετα επίφάνεια  $1 \text{ cm}^2$  λευκοχρύσου, ό όποίος έχει θερμοκρασία ίση μέ τή θερμοκρασία τής τήξεώς του ( $1773,5^\circ \text{C}$ ).

$$\text{όλική φωτεινή ροή } \Phi_{\text{ολ}} = 4\pi \cdot I \text{ lumen}$$

γ. Μονάδα φωτισμοῦ. Ἐάν στήν ἐξίσωση ὀρισμοῦ τοῦ φωτισμοῦ μιᾶς ἐπιφάνειας  $B = \Phi/S$  εἶναι  $\Phi = 1 \text{ lm}$  καί  $S = 1 \text{ m}^2$ , τότε εἶναι  $B = 1$ . Ἡ μονάδα φωτισμοῦ ὀνομάζεται *lux* ( $1 \text{ lx}$ ). Ὡστε:

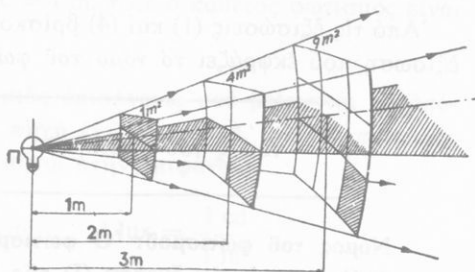
Μονάδα φωτισμοῦ εἶναι τό *lux* ( $1 \text{ lux}$ ), δηλαδή ὁ φωτισμός, τόν ὁποῖο προκαλεῖ φωτεινή ροή ἑνός lumen ( $1 \text{ lm}$ ), ὅταν πέφτει κάθετα πάνω σέ ἐπιφάνεια ἑνός τετραγωνικοῦ μέτρου ( $1 \text{ m}^2$ ).

$$\text{μονάδα φωτισμοῦ } 1 \text{ lux (1 lx), } 1 \text{ lux} = \frac{1 \text{ lm}}{1 \text{ m}^2} = 1 \text{ lm/m}^2$$

Γιά νά διαβάζουμε ἄνετα, πρέπει ὁ φωτισμός τοῦ κειμένου νά εἶναι ἴσος μέ  $25 \text{ lux}$ .

### 137. Νόμος τοῦ φωτισμοῦ

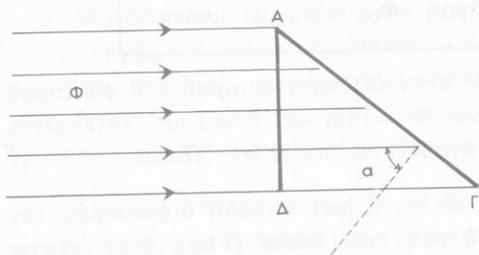
Μιά σημειακή φωτεινή πηγή (σχ. 201) ἔχει σταθερή ἔνταση  $I$  πρὸς ὅλες τίς διευθύνσεις καί ἐκπέμπει ὀλική φωτεινή ροή  $\Phi_{\text{ολ}} = 4\pi \cdot I$ . Αὐτή περνάει διαδοχικά ἀπό σφαιρικές ἐπιφάνειες, πού οἱ ἀκτίνες τους συνεχῶς αὐξάνουν. Τά ἐμβαδά τῶν σφαιρικῶν ἐπιφανειῶν αὐξάνουν ἀνάλογα μέ τά τετράγωνα τῶν ἀκτίνων τους. Οἱ φωτεινές ἀκτίνες πέφτουν κάθετα πάνω σέ κάθε σφαιρική ἐπιφάνεια. Ἐάν γιά μιᾶ σφαιρική ἐπιφάνεια μέ ἀκτίνα  $R$  ὁ κάθετος φωτισμός της ( $B_{\text{καθ}}$ ) εἶναι:



Σχ. 201. Μεταβολή τοῦ φωτισμοῦ μέ τήν ἀπόσταση

$$B_{\text{καθ}} = \frac{\Phi_{\text{ολ}}}{4\pi \cdot R^2} = \frac{4\pi \cdot I}{4\pi \cdot R^2} \text{ καί}$$

$$B_{\text{καθ}} = \frac{I}{R^2} \quad (1)$$



Σχ. 202. Μεταβολή του φωτισμού με τή γωνία προσπτώσεως

Μιά παράλληλη φωτεινή δέσμη πέφτει πάνω σε επιφάνεια ΑΓ (σχ. 202), που έχει έμβαδό S. Η γωνία προσπτώσεως είναι α. Πάνω στην επιφάνεια ΑΓ πέφτει φωτεινή ροή Φ και ό φωτισμός (B) αυτής τής επιφάνειας είναι

$$B = \frac{\Phi}{S} \quad (2)$$

Η ίδια φωτεινή ροή Φ πέφτει κάθετα πάνω στην επιφάνεια ΑΔ, που έχει έμβαδό  $S' = S \cdot \text{συν } \alpha$ . Ο κάθετος φωτισμός ( $B_{\text{καθ}}$ ) τής επιφάνειας ΑΔ είναι:

$$B_{\text{καθ}} = \frac{\Phi}{S'} \quad \text{ή} \quad B_{\text{καθ}} = \frac{\Phi}{S \cdot \text{συν } \alpha} \quad (3)$$

Διαιρώντας κατά μέλη τής εξισώσεως (2) και (3) έχουμε:

$$\frac{B}{B_{\text{καθ}}} = \frac{S \cdot \text{συν } \alpha}{S} \quad \text{άρα} \quad B = B_{\text{καθ}} \cdot \text{συν } \alpha \quad (4)$$

Από τής εξισώσεως (1) και (4) βρίσκουμε τήν ακόλουθη γενικότερη εξίσωση που εκφράζει τό νόμο τοῦ φωτισμοῦ:

νόμος τοῦ φωτισμοῦ  $B = \frac{I}{R^2} \cdot \text{συν } \alpha$

**Νόμος τοῦ φωτισμοῦ:** Ο φωτισμός (B) μιᾶς επιφάνειας είναι ανάλογος μέ τήν ένταση (I) τής φωτεινῆς πηγῆς, αντίστροφος ανάλογος μέ τό τετράγωνο τής ἀποστάσεως (R) τής επιφάνειας ἀπό τή φωτεινή πηγή και ανάλογος μέ τό συνημίτονο τής γωνίας προσπτώσεως (α).

Αν οἱ φωτεινές ἀκτίνες πέφτουν κάθετα πάνω στην επιφάνεια ( $\alpha = 0^\circ$ ), τότε ό φωτισμός τής επιφάνειας έχει τή μεγαλύτερη τιμή  $B_{\text{καθ}} = I/R^2$ .

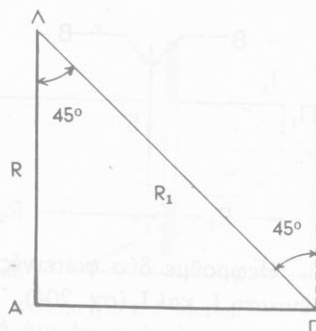
**Παράδειγμα.** Ένας οριζόντιος δρόμος φωτίζεται από ηλεκτρικό λαμπτήρα, πού έχει ένταση  $I = 500 \text{ cd}$  και βρίσκεται σε ύψος  $R = 5 \text{ m}$  από τό κατάστρωμα του δρόμου. Άκριβώς κάτω από τό λαμπτήρα (σχ. 203) ό φωτισμός του δρόμου είναι:

$$B_{\text{καθ}} = \frac{I}{R^2} = \frac{500 \text{ cd}}{25 \text{ m}^2}$$

$$\text{καί } B_{\text{καθ}} = 20 \text{ lux}$$

Σέ απόσταση  $ΑΓ = 5 \text{ m}$  από τήν κα-  
τακόρυφη πού περνάει από τό λαμπτήρα  
οί φωτεινές άκτίνες πέφτουν μέ γωνία προσπτώσεως  $\alpha = 45^\circ$  και ή  
άπόσταση από τό λαμπτήρα είναι  $R_1 = \sqrt{2R^2}$ . Στο σημείο  $\Gamma$  ό φω-  
τισμός του δρόμου είναι :

$$B = \frac{I}{R_1^2} \cdot \text{συν } \alpha = \frac{500 \text{ cd}}{50 \text{ m}^2} \cdot \text{συν } 45^\circ \text{ καί } B \simeq 7,1 \text{ lux}$$



Σχ. 203. Ύπολογισμός του φω-  
τισμού στά σημεία Α και Γ του  
έδαφους

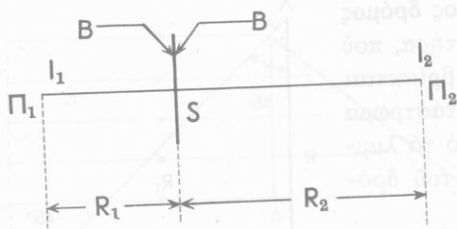
**Άλλος όρισμός τής μονάδας φωτισμοϋ lux.** Άν στην εξίσωση  $B_{\text{καθ}} = I/R^2$  είναι  $I = 1 \text{ cd}$ ,  $R = 1 \text{ m}$ , τότε ό κάθετος φωτισμός είναι  $B_{\text{καθ}} = 1 \text{ lux}$ . Ωστε :

**1 lux είναι ό φωτισμός μιās επιφάνειας πού βρίσκεται σε από-  
σταση 1 m από φωτεινή πηγή έντάσεως 1 cd, όταν οι φωτεινές  
άκτίνες πέφτουν κάθετα πάνω στην επιφάνεια.**

$$\text{κάθετος φωτισμός } 1 \text{ lux} = \frac{1 \text{ cd}}{1 \text{ m}^2}$$

### 138. Σύγκριση τής έντάσεως φωτεινών πηγών

Ή **φωτομετρία** άσχολείται μέ τόν όρισμό των φωτομετρικών με-  
γεθών, τόν όρισμό των μονάδων τους και βρίσκει τίς σχέσεις πού  
συνδέουν τά διάφορα φωτομετρικά μεγέθη. Ένα τέτοιο θέμα είναι ή  
σχέση πού ύπάρχει μεταξύ των έντάσεων δύο φωτεινών πηγών.



Σχ. 204. Σύγκριση τής έντάσεως δύο φωτεινών πηγών

Θεωρούμε δύο φωτεινές πηγές  $\Pi_1$  και  $\Pi_2$ , πού αντίστοιχα έχουν ένταση  $I_1$  και  $I_2$  (σχ. 204). Αν οι δύο πηγές προκαλούν τόν ίδια κάθετο φωτισμό πάνω σε μία επιφάνεια  $S$ , τότε ισχύει ή εξίσωση:

$$B_{\text{καθ}} = \frac{I_1}{R_1^2} = \frac{I_2}{R_2^2} \quad \text{άρα} \quad \frac{I_1}{I_2} = \frac{R_1^2}{R_2^2} \quad (1)$$

Η εξίσωση (1) ονομάζεται *εξίσωση τών ίσων φωτισμών* και φανερώνει ότι:

Όταν δύο φωτεινές πηγές φωτίζουν εξίσου μία επιφάνεια, οι έντασεις τών φωτεινών πηγών είναι ανάλογες με τά τετράγωνα τών αποστάσεων τών πηγών από τήν επιφάνεια πού φωτίζεται εξίσου.

Από τήν εξίσωση (1) μπορούμε νά υπολογίσουμε τήν ένταση τής μᾶς φωτεινῆς πηγῆς, ἄν εἶναι γνωστά τά ἄλλα μεγέθη. Αν π.χ. εἶναι  $I_2 = 45 \text{ cd}$ ,  $R_1 = 0,5 \text{ m}$  καί  $R_2 = 1,5 \text{ m}$ , τότε εἶναι:

$$I_1 = I_2 \cdot \frac{R_1^2}{R_2^2} = 45 \text{ cd} \cdot \frac{(0,5 \text{ m})^2}{(1,5 \text{ m})^2} \quad \text{καί} \quad I_1 = 5 \text{ cd}$$

### 139. Φωτόμετρα

Όνομάζουμε *φωτόμετρα* τά ὄργανα πού χρησιμοποιοῦμε γιά νά συγκρίνουμε τήν ένταση δύο φωτεινών πηγών ή γιά νά μετρήσουμε τό φωτισμό.

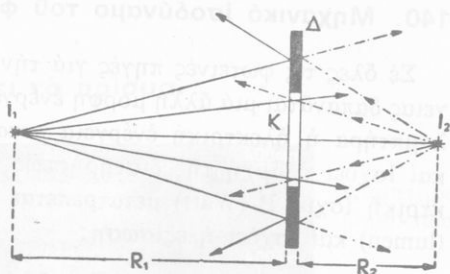
α. Φωτόμετρο Bunsen. Η λειτουργία του στηρίζεται στην εξίσωση τών ίσων φωτισμών. Αποτελείται από ένα λευκό φύλλο χαρτιού με μία κηλίδα, ή ὁποία σχηματίστηκε από λιπαρή ουσία. Η κηλίδα

είναι περισσότερο διαφανής από το υπόλοιπο χαρτί. Το διάφραγμα (Δ) με την κηλίδα (Κ) τοποθετείται μεταξύ των δύο φωτεινών πηγών και κάθετα στην ευθεία που τις συνδέει (σχ. 205). Όταν οι δύο πηγές φωτίζουν εξίσου την κηλίδα, αυτή εξαφανίζεται και όλο το διάφραγμα είναι ομοιόμορφα φωτισμένο. Τότε ισχύει η εξίσωση

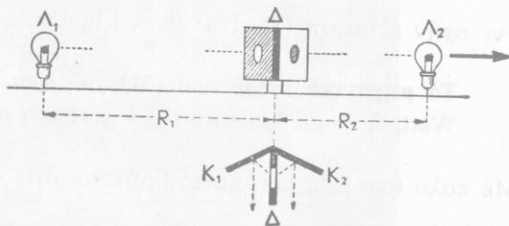
$$\frac{I_1}{I_2} = \frac{R_1^2}{R_2^2}$$

από την οποία βρίσκουμε την ένταση της μιᾶς πηγῆς, όταν είναι γνωστή ή ένταση της ἄλλης πηγῆς. Τό διάφραγμα βρίσκεται ἀνάμεσα σέ δύο ἐπίπεδα κάτοπτρα καί μέσα σ' αὐτά βλέπουμε ταυτόχρονα καί τίς δύο ὀψεις τοῦ χαρτιοῦ (σχ. 206). Στά ἐπιστημονικά ἐργαστήρια γιά τή μέτρηση τῆς ἐντάσεως τῶν φωτεινῶν πηγῶν χρησιμοποιοῦμε πολύ πιά ἀκριβή φωτόμετρα.

β. Μέτρηση τοῦ φωτισμοῦ. Γιά τήν ἄμεση μέτρηση τοῦ φωτισμοῦ μιᾶς ἐπιφάνειας (π.χ. κατά τή φωτογράφιση) χρησιμοποιοῦμε εἰδικά φωτόμετρα, στά ὁποῖα ἡ φωτεινή ἐνέργεια μετατρέπεται σέ ἠλεκτρική ἐνέργεια. Τό φῶς πού πέφτει πάνω σέ ὀρισμένη ἐπιφάνεια, δημιουργεῖ ἠλεκτρικό ρεύμα, πού ἡ ἐντάσή του εἶναι ἀνάλογη μέ τή φωτεινή ροή πού φωτίζει τήν ἐπιφάνεια. Τό ἀμπερόμετρο ἀντί νά δείχνει ἀμπέρ, εἶναι ἔτσι βαθμολογημένο, ὥστε ἀμέσως δείχνει τό φωτισμό τῆς ἐπιφάνειας σέ lux.



Σχ. 205. Φωτόμετρο τοῦ Bunsen



Σχ. 206. Παρατηροῦμε τό διάφραγμα μέσα στά δύο κάτοπτρα.

## 140. Μηχανικό ισοδύναμο του φωτός

Σε όλες τις φωτεινές πηγές για την παραγωγή της φωτεινής ενέργειας δαπανάται μία άλλη μορφή ενέργειας. Έτσι π.χ. στον ηλεκτρικό λαμπτήρα ή ηλεκτρική ενέργεια μετατρέπεται σε φωτεινή ενέργεια και ισχύει η αρχή της διατηρήσεως της ενέργειας. Έπομένως ηλεκτρική ισχύς  $P$  (Watt) μετατρέπεται σε *ισοδύναμη* φωτεινή ροή  $\Phi$  (lumen) και ισχύει η εξίσωση:

$$P = M \cdot \Phi$$

όπου  $M$  είναι μία σταθερή, που ονομάζεται *μηχανικό ισοδύναμο του φωτός*. Ωστε είναι:

$$\text{μηχανικό ισοδύναμο του φωτός} \quad M = \frac{P \text{ (Watt)}}{\Phi \text{ (lumen)}} \quad (1)$$

Αν στην εξίσωση (1) είναι  $\Phi = 1$  lumen, τότε είναι  $M = P$ . Άρα:

Τό *μηχανικό ισοδύναμο* ( $M$ ) του φωτός εκφράζει την *ισχύ* σε Watt, ή όποια *ισοδυναμεί* με φωτεινή ροή ίση με 1 lumen.

Με πολύ ακριβείς μετρήσεις βρήκαμε ότι:

Στίς συνηθισμένες φωτεινές πηγές 1 lumen λευκού φωτός *ισοδυναμεί* με ισχύ ίση με 0,01 Watt.

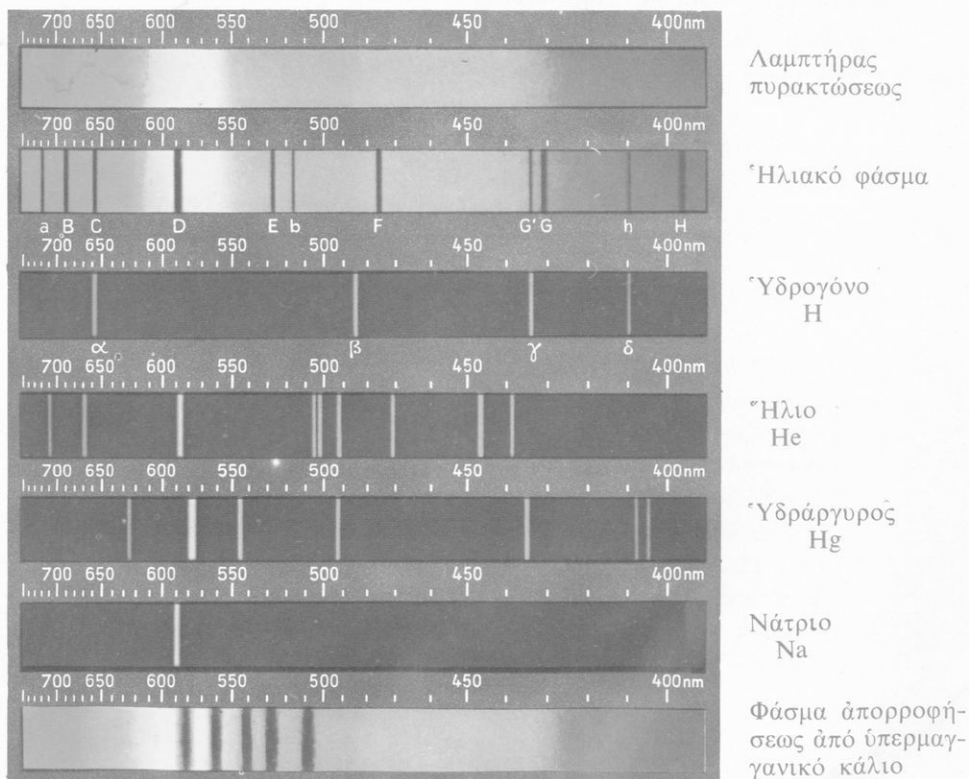
$$\text{μηχανικό ισοδύναμο λευκού φωτός} \quad M = 0,01 \frac{\text{Watt}}{\text{lumen}}$$

Συντελεστής αποδόσεως φωτεινής πηγής. Όπως σε όλες τις περιπτώσεις που μία μορφή ενέργειας μετατρέπεται σε άλλη, έτσι και στην περίπτωση των φωτεινών πηγών ισχύει ο ακόλουθος *όρισμός*.

Όνομάζουμε *συντελεστή αποδόσεως* ( $\eta$ ) μίας φωτεινής πηγής τό λόγο της *ωφέλιμης* ολικής φωτεινής ροής ( $\Phi_{ολ}$ ) που παράγεται πρὸς τή *δαπανώμενη* ισχύ ( $P_{δαπ}$ ).



## A. Φάσμα πού δίνει τό πρίσμα



Φάσματα έκπομπής και απορροφήσεως.

Οί διαιρέσεις τής κλίμακας δείχνουν τά μήκη κύματος ( $1 \text{ nm} = 10^{-9} \text{ m}$ )



$$\text{συντελεστής αποδόσεως φωτεινής πηγής} \quad \eta = \frac{\text{όλική φωτεινή ροή}}{\text{δαπανώμενη ισχύς}} \quad \eta = \frac{\Phi_{\text{ολ}}}{P_{\text{δαπ}}}$$

Ένας συνηθισμένος ηλεκτρικός λαμπτήρας πυρακτώσεως που έχει ισχύ καταναλώσεως  $P_{\text{δαπ}} = 25 \text{ Watt}$ , δίνει ολική φωτεινή ροή  $\Phi_{\text{ολ}} = 260 \text{ lumen}$ , ή όποια ισοδυναμεί με μηχανική ισχύ  $P_{\text{ωφελ}}$  ίση με:

$$P_{\text{ωφελ}} = M \cdot \Phi_{\text{ολ}} = 0,01 \frac{\text{W}}{\text{lm}} \cdot 260 \text{ lm} \quad \text{καί} \quad P_{\text{ωφελ}} = 2,60 \text{ Watt}$$

Άρα ο συντελεστής αποδόσεως ( $\eta$ ) του λαμπτήρα είναι

$$\eta = \frac{P_{\text{ωφελ}}}{P_{\text{δαπ}}} = \frac{2,60 \text{ Watt}}{25 \text{ Watt}} \quad \text{καί} \quad \eta = 0,104$$

Αυτός ο λαμπτήρας έχει απόδοση 10%, δηλαδή μόνο τό 1/10 της δαπανώμενης ηλεκτρικής ενέργειας μετατρέπεται σε *ωφέλιμη φωτεινή ενέργεια*. Όλες οι φωτεινές πηγές, εκτός από τις όρατες ακτινοβολίες, εκπέμπουν και πολλές άορατες ακτινοβολίες, που πρακτικώς είναι άχρηστες, γιατί *ωφέλιμη ισχύς* είναι μόνο οι όρατες ακτινοβολίες. Γενικά όλες οι συνηθισμένες φωτεινές πηγές έχουν *πολύ μικρό* συντελεστή αποδόσεως. Από τους ηλεκτρικούς λαμπτήρες οι λαμπτήρες φθορισμού έχουν τό μεγαλύτερο συντελεστή αποδόσεως. Για τήν ίδια ισχύ καταναλώσεως, π.χ. 40 W, ο λαμπτήρας πυρακτώσεως έχει  $\eta = 0,116$ , ενώ ο λαμπτήρας φθορισμού έχει  $\eta = 0,580$ .

## ΠΡΟΒΛΗΜΑΤΑ

176. Μιά φωτεινή πηγή παράγει φωτεινή ροή  $\Phi = 60 \text{ lumen}$ . Πόση είναι ή ένταση I τής φωτεινής πηγής και πόσος είναι ο κάθετος φωτισμός που προκαλεί αυτή ή πηγή σε μία επιφάνεια που βρίσκεται σε απόσταση 2 m από τήν πηγή;

177. Δύο όμοιοι ηλεκτρικοί λαμπτήρες A και B, που ό καθένας έχει ένταση  $I = 500 \text{ cd}$ , βρίσκονται σε ύψος 3 m πάνω από τό έδαφος και ή όριζόντια απόστασή τους είναι  $AB = 12 \text{ m}$ . Πόσος εί-

ναι ό φωτισμός του εδάφους ακριβώς κάτω από κάθε λαμπτήρα και στη μέση της απόστασεως μεταξύ των δύο λαμπτήρων;

178. Νά βρεθεί ό λόγος των φωτισμών που προκαλεί ό "Ήλιος σε έναν τόπο, όταν ό "Ήλιος βρίσκεται στό ζηνίθ αυτού του τόπου και όταν είναι σε ύψος  $30^\circ$  πάνω από τόν όρίζοντα.

179. Δύο φωτεινές πηγές  $\Pi_1$  και  $\Pi_2$ , που έχουν αντίστοιχα έντάσεις  $I_1$  και  $I_2$ , βρίσκονται στις άκρες μιās ευθείας. Ένα σημείο  $\Gamma$  αὐτῆς τῆς ευθείας απέχει από τις δύο φωτεινές πηγές  $\Pi_1\Gamma = a$  και  $\Pi_2\Gamma = \beta$ . Πάνω στην κάθετο που περνάει από τό σημείο  $\Gamma$  μετακινείται μιὰ μικρή σφαίρα  $\Sigma$ . Σε πόση απόσταση από τό σημείο  $\Gamma$  πρέπει νά βρεθεί ή σφαίρα  $\Sigma$ , για νά δέχεται τόν ίδιο φωτισμό από τις δύο φωτεινές πηγές;

180. Ήλεκτρικός λαμπτήρας πυρακτώσεως έχει ισχύ καταναλώσεως  $P_{κατ} = 60 \text{ W}$  και φωτεινή ισχύ  $I$ , που αντιστοιχεί σε  $1,2 \text{ cd}$  κατά Watt. Πόση φωτεινή ροή παράγει ό λαμπτήρας; Πόσος είναι ό συντελεστής αποδόσεως του λαμπτήρα, αν τό μηχανικό ισοδύναμο του φωτός είναι  $M = 0,01 \text{ Watt/lumen}$ ;

# ΠΙΝΑΚΑΣ 1

## Μερικές φυσικές σταθερές

Ταχύτητα φωτός στο κενό	$c = 3 \cdot 10^8 \frac{\text{m}}{\text{sec}}$
Στοιχειώδες ηλεκτρικό φορτίο	$ e  = 1,602 \cdot 10^{-19} \text{ Cb}$
Μαγνητική διαπερατότητα κενού	$\mu_0 = 4\pi \cdot 10^{-7} \frac{\text{N}}{\text{A}^2}$
Διηλεκτρική σταθερή κενού	$\epsilon_0 = 8,85 \cdot 10^{-12} \frac{\text{Cb}^2}{\text{N} \cdot \text{m}^2}$
Σταθερή Faraday	$F = 96490 \frac{\text{Cb}}{\text{γραμμοίσοδύναμο}}$
Μάζα ήρεμίας ηλεκτρονίου	$m_e = 9,109 \cdot 10^{-31} \text{ kg}$
Μαγνητική σταθερή του Coulomb	$K_{\mu\alpha\gamma\nu} = \frac{\mu_0}{4\pi} = 10^{-7} \frac{\text{N}}{\text{A}^2}$
Ηλεκτρική σταθερή του Coulomb	$\left\{ \begin{array}{l} K_{\eta\lambda} = 9 \cdot 10^9 \frac{\text{N} \cdot \text{m}^2}{\text{Cb}^2} \\ K_{\eta\lambda} = \frac{1}{4\pi\epsilon_0} \frac{\text{N} \cdot \text{m}^2}{\text{Cb}^2} \end{array} \right.$
Σχέση των σταθερών $K_{\eta\lambda}$ και $K_{\mu\alpha\gamma\nu}$	$K_{\eta\lambda} = K_{\mu\alpha\gamma\nu} \cdot c^2$

## ΠΙΝΑΚΑΣ 2

### Κυριότερες ηλεκτρικές μονάδες του συστήματος MKSA

Μέγεθος	Μονάδα	
Μήκος	1 μέτρο	1 m
Μάζα	1 χιλιόγραμμα	1 kgr
Χρόνος	1 δευτερόλεπτο	1 sec
Ένταση ρεύματος	1 Ampère	1 A
Δύναμη	1 Newton	1 N = 1 kgr · $\frac{m}{sec^2}$
Ένέργεια	1 Joule	1 J = 1 N · m
Ίσχύς	1 Watt	1 W = 1 $\frac{J}{sec}$
Ηλεκτρικό φορτίο	1 Coulomb	1 Cb = 1 A · sec
Δυναμικό	1 Volt	1 V = 1 $\frac{J}{Cb}$
Ένταση ηλεκτρικού πεδίου	1 $\frac{Newton}{Cb}$	1 $\frac{N}{Cb} = 1 \frac{V}{m}$
Χωρητικότητα	1 Farad	1 F = 1 $\frac{Cb}{V} = 1 \frac{Cb^2}{J}$
Αντίσταση άγωγού	1 Ohm	1 Ω = 1 $\frac{V}{A}$
Ειδική αντίσταση	1 Ohm · m	1 Ω · m
Ποσότητα μαγνητισμού	1 Ampère · m	1 A · m
Μαγνητική ροή	1 Weber	1 Wb = 1 $\frac{J}{A}$
Ένταση μαγνητικού πεδίου	1 Ampère/m	1 $\frac{A}{m}$
Μαγνητική επαγωγή	1 Tesla	1 T = 1 $\frac{N}{A \cdot m} = 1 \frac{Wb}{m^2}$
Μαγνητική ροπή	1 Ampère · m <sup>2</sup>	1 A · m <sup>2</sup>

### ΠΙΝΑΚΑΣ 3

#### Σχέση των μονάδων του συστήματος MKSA με τις μονάδες των συστημάτων ΗΣΜ και ΗΜΜ

Φυσικό μέγεθος	Σύστημα MKSA		'Ηλεκτροστατικό σύστημα (ΗΣΜ)		'Ηλεκτρομαγνητικό σύστημα (ΗΜΜ)	
	Μονάδα		Μονάδα		Μονάδα	
	Εξίσωση όρισμού	Μονάδα	Μονάδα	Μονάδα	Μονάδα	Μονάδα
Μήκος	l, s	1 μέτρο	—	1 cm	1 cm	10 <sup>2</sup>
Μάζα	m	1 χιλιόγραμμο	—	1 gr	1 gr	10 <sup>3</sup>
Χρόνος	t, T	1 δευτερόλεπτο	—	1 sec	1 sec	1
'Ενταση ρεύματος	I, i	1 Ampère	—	1 ΗΣΜ	1 ΗΜΜ	1/10
Δύναμη	F, f	1 Newton	$F = m \cdot \gamma$	1 dyn	1 dyn	10 <sup>5</sup>
'Εργο, ενέργεια	W, E	1 Joule	$W = Q \cdot U = U \cdot I \cdot t$	1 erg	1 erg	10 <sup>7</sup>
'Ισχύς	P	1 Watt	$P = U \cdot I$	1 erg/sec	1 erg/sec	10 <sup>7</sup>
'Ηλεκτρικό φορτίο	Q, q	1 Coulomb	$Q = I \cdot t$	1 ΗΣΜ	1 ΗΜΜ	1/10
Δυναμικό, ηλεκτρε- γερτική δύναμη, τάση	U, E	1 Volt	$U = W/Q$	1 ΗΣΜ	1 ΗΜΜ	10 <sup>8</sup>
'Αντίσταση άγωγού	R, r	1 Ohm	$R = U/I$	1 ΗΣΜ	1 ΗΜΜ	10 <sup>9</sup>
Ειδική αντίσταση	$\rho$	1 Ohm · m	$\rho = R \cdot S/l$	1 ΗΣΜ	1 ΗΜΜ	10 <sup>11</sup>
Χωρητικότητα	C	1 Farad	$C = Q/U$	1 ΗΣΜ	1 ΗΜΜ	10 <sup>-9</sup>
'Ενταση ηλεκ. πεδίου	E	1 Volt/m	$E = U/l$	1 ΗΣΜ	1 ΗΜΜ	10 <sup>6</sup>
Ποσότητα μαγνητισμού	m	1 Ampère · m	$m = (N/l) \cdot I \cdot S$	1 ΗΣΜ	1 ΗΜΜ	10
'Ενταση μαγν. πεδίου	H	1 Ampère/m	$H = (N/l) \cdot I$	1 ΗΣΜ	1 ΗΜΜ	4π · 10 <sup>-3</sup>
Μαγνητική επαγωγή	B	1 Tesla	$B = F/m$	1 ΗΣΜ	1 ΗΜΜ	10 <sup>4</sup>
Μαγνητική ροή	$\Phi$	1 Weber	$\Phi = B \cdot S$	1 ΗΣΜ	1 ΗΜΜ	10 <sup>8</sup>
Μαγνητική ροπή	M*	1 Ampère · m <sup>2</sup>	$M^* = I \cdot S$	1 ΗΣΜ	1 ΗΜΜ	10 <sup>3</sup>

Σημείωση. Οι μονάδες των μαγνητικών μεγεθών στο σύστημα ΗΣΜ παραλείπονται. 'Από τον πίνακα 3 φαίνεται η ανάγκη να χρησιμοποιούμε μόνο το σύστημα MKSA, που οι μονάδες του χρησιμοποιούνται στις έφαρμογές.

## ΠΙΝΑΚΑΣ 4

### Κυριότερες εξισώσεις του Μαγνητισμού και του Ήλεκτρισμού στο σύστημα μονάδων MKSA

#### ΜΑΓΝΗΤΙΣΜΟΣ (\*)

Νόμος του Coulomb (σημειακοί πόλοι στο κενό ή στον άερα)

$$F = 10^{-7} \cdot \frac{m_1 \cdot m_2}{r^2}$$

$$\left\{ \begin{array}{l} 10^{-7} \text{ N/A}^2 \\ m_1, m_2 \text{ σε } \text{A} \cdot \text{m} \\ r \text{ σε } \text{m} \\ F \text{ σε } \text{N} \end{array} \right.$$

Μαγνητική επαγωγή

$$B = \frac{F}{m}$$

$$\left\{ \begin{array}{l} F \text{ σε } \text{N}, m \text{ σε } \text{A} \cdot \text{m} \\ B \text{ σε } \text{T} \end{array} \right.$$

Μαγνητική επαγωγή σε απόσταση  $r$  από σημειακό μαγνητικό πόλο  $m$  στο κενό ή στον άερα

$$B_0 = 10^{-7} \cdot \frac{m}{r^2}$$

$$\left\{ \begin{array}{l} 10^{-7} \text{ N/A}^2 \\ m \text{ σε } \text{A} \cdot \text{m} \\ r \text{ σε } \text{m} \\ B \text{ σε } \text{T} \end{array} \right.$$

Μαγνητική επαγωγή μέσα σε υλικό με μαγνητική διαπερατότητα  $\mu$

$$B = \mu \cdot 10^{-7} \cdot \frac{m}{r^2}$$

$$\left\{ \begin{array}{l} 10^{-7} \text{ N/A}^2 \\ m \text{ σε } \text{A} \cdot \text{m}, r \text{ σε } \text{m} \\ B \text{ σε } \text{T} \end{array} \right.$$

Ένταση μαγνητικού πεδίου σε απόσταση  $r$  από σημειακό πόλο  $m$  στο κενό ή στον άερα

$$H_0 = \frac{B_0}{\mu_0}$$

$$H_0 = \frac{m}{4\pi r^2}$$

$$\left\{ \begin{array}{l} \mu_0 \text{ σε } \text{N/A}^2 \\ m \text{ σε } \text{A} \cdot \text{m} \\ r \text{ σε } \text{m} \\ B_0 \text{ σε } \text{T} \\ H_0 \text{ σε } \text{A/m} \end{array} \right.$$

Μαγνητική ροή

$$\Phi = B \cdot S \cdot \text{συν } \alpha$$

$$\left\{ \begin{array}{l} B \text{ σε } \text{T}, S \text{ σε } \text{m}^2 \\ \Phi \text{ σε } \text{Wb} \end{array} \right.$$

Μαγνητική ροπή μαγνητικού διπόλου

$$M^* = m \cdot l$$

$$\left\{ \begin{array}{l} m \text{ σε } \text{A} \cdot \text{m}, l \text{ σε } \text{m} \\ M^* \text{ σε } \text{A} \cdot \text{m}^2 \end{array} \right.$$

#### ΗΛΕΚΤΡΙΣΜΟΣ

Νόμος του Coulomb (σημειακά φορτία στο κενό ή στον άερα)

$$F = 9 \cdot 10^9 \cdot \frac{Q_1 \cdot Q_2}{r^2}$$

$$\left\{ \begin{array}{l} 9 \cdot 10^9 \text{ N} \cdot \text{m}^2 / \text{Cb}^2 \\ Q_1, Q_2 \text{ σε } \text{Cb} \\ r \text{ σε } \text{m} \\ F \text{ σε } \text{N} \end{array} \right.$$

Ένταση ηλεκτρικού πεδίου

$$E = \frac{F}{q} \quad E = \frac{U}{l}$$

$$\left\{ \begin{array}{l} F \text{ σε } \text{N}, q \text{ σε } \text{Cb} \\ U \text{ σε } \text{V}, l \text{ σε } \text{m} \\ E \text{ σε } \text{N/Cb} \text{ ή } \text{V/m} \end{array} \right.$$

(\*) Στο σύστημα MKSA το μαγνητικό πεδίο χαρακτηρίζεται με τη μαγνητική επαγωγή  $B$ .



## ΠΙΝΑΚΑΣ 4 (συνέχεια)

Ένταση ηλεκτρικού πεδίου σε απόσταση $r$ από σημειακό φορτίο $Q$ στο κενό ή στον αέρα	$E = 9 \cdot 10^9 \cdot \frac{Q}{r^2}$	$\left\{ \begin{array}{l} 9 \cdot 10^9 \text{ N} \cdot \text{m}^2 / \text{Cb}^2 \\ Q \text{ σε Cb, } r \text{ σε m} \\ E \text{ σε N/Cb ή V/m} \end{array} \right.$
Δυναμικό σε απόσταση $r$ από σημειακό φορτίο $Q$ στο κενό ή στον αέρα	$U = 9 \cdot 10^9 \cdot \frac{Q}{r}$	$\left\{ \begin{array}{l} 9 \cdot 10^9 \text{ N} \cdot \text{m}^2 / \text{Cb}^2 \\ Q \text{ σε Cb, } r \text{ σε m} \\ U \text{ σε V} \end{array} \right.$
Δυναμικό σφαιρικού αγωγού με ακτίνα $R$ και φορτίο $Q$	$U = 9 \cdot 10^9 \cdot \frac{Q}{R}$	$\left\{ \begin{array}{l} 9 \cdot 10^9 \text{ N} \cdot \text{m}^2 / \text{Cb}^2 \\ Q \text{ σε Cb, } R \text{ σε m} \\ U \text{ σε V} \end{array} \right.$
Χωρητικότητα αγωγού	$C = \frac{Q}{U}$	$\left\{ \begin{array}{l} Q \text{ σε Cb, } U \text{ σε V} \\ C \text{ σε F} \end{array} \right.$
Χωρητικότητα σφαιρικού αγωγού με ακτίνα $R$	$C = 8,85 \cdot 10^{-12} \cdot 4\pi R$	$\left\{ \begin{array}{l} 8,85 \cdot 10^{-12} \text{ Cb}^2 / (\text{N} \cdot \text{m}^2) \\ R \text{ σε m} \\ C \text{ σε F} \end{array} \right.$
Ενέργεια φορτισμένου αγωγού	$E = \frac{1}{2} Q \cdot U = \frac{1}{2} C \cdot U^2$	$\left\{ \begin{array}{l} Q \text{ σε Cb, } U \text{ σε V} \\ C \text{ σε F, } E \text{ σε J} \end{array} \right.$
Χωρητικότητα επίπεδου πυκνωτή στο κενό ή στον αέρα	$C = 8,85 \cdot 10^{-12} \cdot \frac{S}{l}$	$\left\{ \begin{array}{l} 8,85 \cdot 10^{-12} \text{ Cb}^2 / (\text{N} \cdot \text{m}^2) \\ S \text{ σε m}^2, l \text{ σε m} \\ C \text{ σε F} \end{array} \right.$
Ενέργεια φορτισμένου πυκνωτή	$E = \frac{1}{2} Q \cdot U = \frac{1}{2} C \cdot U^2$	$\left\{ \begin{array}{l} Q \text{ σε Cb, } U \text{ σε V} \\ C \text{ σε F, } E \text{ σε J} \end{array} \right.$
Χωρητικότητα επίπεδου πυκνωτή με διηλεκτρικό υλικό ( $\epsilon$ )	$C = 8,85 \cdot 10^{-12} \cdot \frac{\epsilon S}{l}$	$\left\{ \begin{array}{l} 8,85 \cdot 10^{-12} \text{ Cb}^2 / (\text{N} \cdot \text{m}^2) \\ S \text{ σε m}^2, l \text{ σε m} \\ C \text{ σε F} \end{array} \right.$
Ένταση ρεύματος	$I = \frac{Q}{t}$	$\left\{ \begin{array}{l} Q \text{ σε Cb, } t \text{ σε sec} \\ I \text{ σε A} \end{array} \right.$
Αντίσταση αγωγού	$R = \frac{U}{I} \quad R = \rho \cdot \frac{l}{S}$	$\left\{ \begin{array}{l} U \text{ σε V, } I \text{ σε A} \\ l \text{ σε m, } S \text{ σε m}^2 \\ \rho \text{ σε } \Omega \cdot \text{m, } R \text{ σε } \Omega \end{array} \right.$
Κλειστό κύκλωμα	$E = E' + I \cdot R_{\text{ολ}}$	$\left\{ \begin{array}{l} E, E' \text{ σε V, } I \text{ σε A} \\ R_{\text{ολ}} \text{ σε } \Omega \end{array} \right.$
Νόμος Biot - Savart	$\Delta B = 10^{-7} \cdot \frac{I \cdot \Delta l}{r^2} \cdot \eta \mu \phi$	$\left\{ \begin{array}{l} 10^{-7} \text{ N/A}^2 \\ l, r \text{ σε m, } I \text{ σε A} \\ \Delta B \text{ σε T} \end{array} \right.$
Μαγνητική επαγωγή σε απόσταση $r$ από ευθύγραμμο αγωγό	$B = 10^{-7} \cdot \frac{2I}{r}$	$\left\{ \begin{array}{l} 10^{-7} \text{ N/A}^2 \\ I \text{ σε A, } r \text{ σε m} \\ B \text{ σε T} \end{array} \right.$

## ΠΙΝΑΚΑΣ 4 (συνέχεια)

Μαγνητική επαγωγή στο κέντρο κυκλικού αγωγού ακτίνας R	$B = 10^{-7} \cdot \frac{2\pi I}{r}$	$\left\{ \begin{array}{l} 10^{-7} \text{ N/A}^2, I \text{ σε A} \\ r \text{ σε m} \\ B \text{ σε T} \end{array} \right.$
Μαγνητική επαγωγή στη μέση σωληνοειδούς	$B = 10^{-7} \cdot 4\pi \cdot n \cdot I$	$\left\{ \begin{array}{l} 10^{-7} \text{ N/A}^2 \\ n \text{ σπειρες/m}, I \text{ σε A} \\ B \text{ σε T} \end{array} \right.$
Μαγνητική επαγωγή σωληνοειδούς με πυρήνα σιδήρου ( $\mu$ )	$B = 10^{-7} \cdot 4\pi \cdot \mu \cdot n \cdot I$	$\left\{ \begin{array}{l} 10^{-7} \text{ N/A}^2, I \text{ σε A} \\ n \text{ σπειρες/m} \\ B \text{ σε T} \end{array} \right.$
Μαγνητική ροπή κυκλικού ρεύματος (I σπείρα)	$M^* = I \cdot S$	$\left\{ \begin{array}{l} I \text{ σε A}, S \text{ σε m}^2 \\ M^* \text{ σε A} \cdot \text{m}^2 \end{array} \right.$
Ποσότητα μαγνητισμού ενός μαγνητικού πόλου σωληνοειδούς	$m = n \cdot I \cdot S$	$\left\{ \begin{array}{l} n \text{ σπειρες/m}, I \text{ σε A} \\ S \text{ σε m}^2, m \text{ σε A} \cdot \text{m} \end{array} \right.$
Νόμος του Laplace	$F = l \cdot I \cdot B \cdot \eta\mu \varphi$	$\left\{ \begin{array}{l} l \text{ σε m}, I \text{ σε A} \\ B \text{ σε T}, F \text{ σε N} \end{array} \right.$
Ήλεκτρομαγνητική δύναμη μεταξύ δύο παράλληλων ρευμάτων	$F = 10^{-7} \cdot \frac{2l \cdot I_1 \cdot I_2}{r}$	$\left\{ \begin{array}{l} 10^{-7} \text{ N/A}^2, l, r \text{ σε m} \\ I_1, I_2 \text{ σε A} \\ F \text{ σε N} \end{array} \right.$

# ΠΕΡΙΕΧΟΜΕΝΑ

## ΜΑΓΝΗΤΙΣΜΟΣ

### Ίδιότητες τῶν μαγνητῶν

1. Μαγνήτες. Μαγνητισμός.—2. Πόλοι τοῦ μαγνήτη.—3. Μαγνήτιση μέ ἐπαφή καί μέ ἐπαγωγή.—4. Στοιχειώδεις μαγνήτες.—5. Συστήματα μονάδων στό Μαγνητισμό.—6. Νόμος τοῦ Coulomb.....

Σελίδες

5 - 9

### Μαγνητικό πεδίο

7. Μαγνητικό φάσμα. Ὁρισμός τοῦ μαγνητικοῦ πεδίου.—8. Στοιχεῖα τοῦ μαγνητικοῦ πεδίου.—9. Ἐπίδραση ὁμογενοῦς μαγνητικοῦ πεδίου σέ μαγνητικό δίπολο.—10. Μαγνητική ροή.—11. Μαγνητική διαπερατότητα τοῦ σιδήρου.—12. Μαγνητική κατάταξη τῶν ὕλικῶν.—13. Μαγνητική διαπερατότητα τοῦ κενοῦ.—14. Ἐνταση μαγνητικοῦ πεδίου.—15. Ἐξισώσεις καί μονάδες στό ἠλεκτρομαγνητικό σύστημα μονάδων (HMM).....

12 - 25

### Μαγνητικό πεδίο τῆς Γῆς

16. Μαγνητική ἀπόκλιση.—17. Μαγνητική ἐγκλιση.—18. Γήινο μαγνητικό πεδίο.—19. Μαγνητικά στοιχεῖα ἐνός τόπου.—20. Μαγνητική πυξίδα.....

29 - 33

## ΗΛΕΚΤΡΙΣΜΟΣ

### ΣΤΑΤΙΚΟΣ ΗΛΕΚΤΡΙΣΜΟΣ

#### Ἡλεκτρικό φορτίο

21. Θεμελιώδη φαινόμενα.—22. Μονωτές, ἀγωγοί, ἡμιαγωγοί.—23. Ἡλεκτροσκόπιο.—24. Κατανομή τοῦ ἠλεκτρικοῦ φορτίου.—25. Συστήματα μονάδων στόν Ἡλεκτισμό.—26. Νόμος τοῦ Coulomb. ..

37 - 40

#### Ἡλεκτρικό πεδίο

27. Ὁρισμός τοῦ ἠλεκτρικοῦ πεδίου.—28. Στοιχεῖα τοῦ ἠλεκτρικοῦ πεδίου.—29. Δυναμικό ἀγωγῶν καί διαφορά δυναμικοῦ μεταξὺ δύο ἀγωγῶν.—30. Σχέση μεταξύ διαφορᾶς δυναμικοῦ καί ἐντάσεως ἠλεκτρικοῦ πεδίου.—31. Ἡλέκτριση ἀγωγῶν μέ ἐπαγωγή.....

43 - 51

257

## Φύση του ηλεκτρισμού

Σελίδες

32. Στοιχειώδεις ηλεκτρικό φορτίο.—33. Έμφάνιση ηλεκτρικών φορτίων.—34. Τά ελεύθερα ηλεκτρόνια των μετάλλων.—35. Εξήγηση της ηλεκτρίσεως των σωμάτων. .... 53 - 56

## Χωρητικότητα άγωγού — Πυκνωτής

36. Χωρητικότητα άγωγού.—37. Ένέργεια φορτισμένου άγωγού.—38. Πυκνωτής.—39. Ένέργεια φορτισμένου πυκνωτή.—40. Επίπεδος πυκνωτής.—41. Σύνδεση πυκνωτών.—42. Πυκνωτής με διηλεκτρικό ύλικό.—43. Μορφές πυκνωτών.—44. Έξισώσεις και μονάδες στο ηλεκτροστατικό σύστημα μονάδων (HSM).—45. Γενικές παρατηρήσεις για τά συστήματα μονάδων MKSA, HMM και HSM. .... 58 - 73

## Ήλεκτροστατικές μηχανές

46. Αρχή της λειτουργίας των ηλεκτροστατικών μηχανών.—47. Μηχανή Van de Graaff.—48. Μηχανή Wimshurst. .... 74 - 75

## ΣΥΝΕΧΕΣ ΗΛΕΚΤΡΙΚΟ ΡΕΥΜΑ

### Νόμος του Ohm

49. Τό ηλεκτρικό ρεύμα ως ροή ηλεκτρονίων.—50. Αποτελέσματα του ηλεκτρικού ρεύματος.—51. Ένταση του ηλεκτρικού ρεύματος.—52. Μέτρηση της έντάσεως του ρεύματος.—53. Κύκλωμα.—54. Διαφορά δυναμικού μεταξύ δύο σημείων του άγωγού.—55. Νόμος του Ohm για τμήμα άγωγού.—56. Νόμος της αντίστάσεως άγωγού.—57. Σύνδεση αντίστάσεων.—58. Ρυθμιστικές αντίστάσεις.—59. Μέτρηση αντίστάσεων. .... 78 - 92

### Ένέργεια του ηλεκτρικού ρεύματος

60. Ένέργεια του ηλεκτρικού ρεύματος.—61. Νόμος του Joule.—62. Εφαρμογές του φαινομένου Joule. .... 60

### Κλειστό κύκλωμα

63. Η γεννήτρια στο κλειστό κύκλωμα.—64. Ηλεκτρεγερτική δύναμη γεννήτριας.—65. Νόμος του Ohm για κλειστό κύκλωμα.—66. Αντηλεκτρεγερτική δύναμη αποδέκτη.—67. Κλειστό κύκλωμα με γεννήτρια και αποδέκτη.—68. Αποδέκτης σε τμήμα κυκλώματος.—69. Σύνδεση γεννητριών. .... 101 - 108

## Ἡλεκτρομαγνητισμός

Σελίδες

70. Μαγνητικό πεδίο τοῦ ρεύματος.—71. Μαγνητικό πεδίο εὐθύγραμμου ρευματοφόρου ἀγωγοῦ.—72. Νόμος Biot-Savart.—73. Μαγνητικό πεδίο κυκλικοῦ ρευματοφόρου ἀγωγοῦ.—74. Μαγνητικό πεδίο σωληνοειδοῦς.—75. Προέλευση τῶν μαγνητικῶν πεδίων.—76. Ἡλεκτρομαγνήτης.—77. Ἐπίδραση μαγνητικοῦ πεδίου σέ ρεύμα.—78. Οἱ ἐξισώσεις τοῦ Ἡλεκτρομαγνητισμοῦ στό σύστημα HMM

114 - 131

## Ἡλεκτρόλυση

79. Ἡλεκτρολύτες.—80. Ἐξήγηση τῆς ἠλεκτρολυτικῆς ἀγωγιμότητος.—81. Παραδείγματα ἠλεκτρολύσεων.—82. Νόμος τοῦ Faraday.—83. Ἐφαρμογές τῆς ἠλεκτρολύσεως.—84. Πόλωση τῶν ἠλεκτροδίων βολταμέτρου.—85. Συσσωρευτές.—86. Ἡλεκτρικά στοιχεῖα. ....

135 - 146

## ΟΠΤΙΚΗ

### ΓΕΩΜΕΤΡΙΚΗ ΟΠΤΙΚΗ

#### Διάδοση τοῦ φωτός

87. Ὁρισμοί.—88. Εὐθύγραμμη διάδοση τοῦ φωτός.—89. Γεωμετρική καί Φυσική Ὀπτική.—90. Ἀποτελέσματα τῆς εὐθύγραμμης διαδόσεως τοῦ φωτός.—91. Ταχύτητα διαδόσεως τοῦ φωτός. ....

150 - 154

#### Ἀνάκλαση τοῦ φωτός

92. Διάχυση καί ἀνάκλαση τοῦ φωτός.—93. Ἀνάκλαση τοῦ φωτός.—94. Ἐπίπεδα κάτοπτρα.—95. Ἀρχή τῆς ἀντίστροφης πορείας τοῦ φωτός.—96. Σφαιρικά κάτοπτρα.—97. Κοῖλα σφαιρικά κάτοπτρα.—98. Κυρτά σφαιρικά κάτοπτρα.—99. Γενικές ἐξισώσεις τῶν σφαιρικῶν κατόπτρων.—100. Σφάλματα τῶν σφαιρικῶν κατόπτρων. ....

157 - 173

#### Διάθλαση τοῦ φωτός

101. Διάθλαση τοῦ φωτός.—102. Ὀρική γωνία.—103. Ὀλική ἀνάκλαση.—104. Ἀποτελέσματα τῆς διαθλάσεως.—105. Διάδοση τοῦ φωτός μέσα ἀπό πλάκα.—106. Διάδοση τοῦ φωτός μέσα ἀπό πρίσμα.—107. Πρίσματα ὀλικῆς ἀνακλάσεως. ....

177 - 189

#### Σφαιρικοί φακοί

108. Φακοί.—109. Συγκλίνοντες φακοί.—110. Ἀποκλίνοντες φακοί.—111. Γενικές ἐξισώσεις τῶν φακῶν.—112. Ἴσχύς φακοῦ.—113. Σύστημα λεπτῶν φακῶν.—114. Σφάλματα τῶν φακῶν.—115. Λειτουργία τοῦ ματιοῦ. ....

209

259

## Όπτικά όργανα

Σελίδες

116. Όπτικά όργανα. Μεγέθυνση.—117. Άπλό μικροσκόπιο.—  
118. Σύνθετο μικροσκόπιο.—119. Τηλεσκόπια.—120. Άστρονομική  
διόπτρα.—121. Διόπτρα του Γαλιλαίου.—122. Πρισματική διόπτρα.—  
123. Κατοπτρικό τηλεσκόπιο.—124. Άλλα συνηθισμένα όπτικά όργανα. 211 - 225

## Άνάλυση του φωτός

125. Άνάλυση του λευκού φωτός.—126. Ιδιότητες των άκτινο-  
βολιών του φάσματος.—127. Ουράνιο τόξο.—128. Φασματοσκόπιο.—  
129. Άόρατες άκτινοβολίες.—130. Φωτογραφία. —131. Τό χρώμα  
των σωμάτων. 132. Ήλιακό φάσμα ..... 227 - 237

## Φωτομετρία

133. Φωτεινή ενέργεια.—134. Στερεή γωνία και μονάδα της—135.  
Φωτομετρικά μεγέθη.—136. Μονάδες των φωτομετρικών μεγεθών.—  
137. Νόμος του φωτισμού.—138. Σύγκριση τής εντάσεως φωτεινών  
πηγών.—139. Φωτόμετρα.—140. Μηχανικό ισοδύναμο του φωτός. ... 238 - 249

## Πίνακες

- Πίνακας 1. Μερικές φυσικές σταθερές. — Πίνακας 2. Κυριότε-  
ρες ηλεκτρικές μονάδες του συστήματος MKSA. — Πίνακας 3. Σχέ-  
ση των μονάδων του συστήματος MKSA με τις μονάδες των συ-  
στημάτων ΗΣΜ και ΗΜΜ.—Πίνακας 4. Κυριότερες εξισώσεις του  
Μαγνητισμού και του Ήλεκτρισμού στο σύστημα μονάδων MKSA 251 - 256



## ΠΙΝΑΚΑΣ ΠΕΡΙΕΧΟΜΕΝΩΝ

Σελίδες

ΕΙΣΑΓΩΓΗ	211
ΚΕΦΑΛΑΙΟ ΠΡΩΤΟ	225

ΚΕΦΑΛΑΙΟ ΔΕΥΤΕΡΟ	235
ΚΕΦΑΛΑΙΟ ΤΡΙΤΟ	245
ΚΕΦΑΛΑΙΟ ΤΕΤΑΡΤΟ	255

ΚΕΦΑΛΑΙΟ ΠΕΝΤΟ	265
ΚΕΦΑΛΑΙΟ ΕΚΤΟ	275
ΚΕΦΑΛΑΙΟ ΕΒΔΟΜΟ	285
ΚΕΦΑΛΑΙΟ ΟΚΤΩ	295

## ΠΙΝΑΚΑΣ

ΚΕΦΑΛΑΙΟ ΕΝΝΕΑ	305
ΚΕΦΑΛΑΙΟ ΔΕΚΑ	315
ΚΕΦΑΛΑΙΟ ΕΚΑΤΟ	325
ΚΕΦΑΛΑΙΟ ΕΚΑΤΟΝ	335





ΕΚΔΟΣΗ ΙΗ', ΙΘ' 1978 (ΙΙΙ) – ΑΝΤΙΤΥΠΑ 100.000 – ΣΥΜΒΑΣΗ 3001/31-1-78

Έκτύπωση — Βιβλιοδεσία: ΑΔΕΛΦΟΙ Γ. ΡΟΔΗ Α.Ε.



